

Andres Lahe

VARRASSÜSTEEMIDE VÕNKUMINE

EST-meetod



Raamatus vaadeldakse varraskonstruksioonide võnkumist rajaülesandena, s.t diferentsiaalvõrrandite lahendid peavad rahuldama rajatingimusi. Rajatingimusteks on siin pidevus- ja tasakaalutingimused sõlmedes, kõrvaltingimused (liigendid varraste otstes) ning toetingimused tugedel. Varda diferentsiaalvõrrandi lahendit kirjeldatakse algparameetrite meetodiga. Algparameetrite leidmiseks luuakse võrrandisüsteem, kus tundmatute vektori moodustavad piki- ja põiksiirded, paindenurgad, piki- ja põikjõud ning paindemomendid varda algul ja lõpus. Tundmatute vektoris on ka toereaktsioonid. Tundmatute kordajad moodustavad hõreda maatriksi. EST-meetodis erinevalt ülekanemaatriksimeetodist algparameetrite leidmisel ülekanemaatrikseid ei korrutata. Nii välditakse ümardusvigu, mis tekivad ülekanemaatriksite korrutamisel.



Autorist

Andres Lahe on sündinud 30. märtsil 1938 Kõnnu vallas Harjumaal. 1956 lõpetas Loxa keskkooli. 1956–1959 õppis Tartu Riiklikus Ülikoolis. 1964 lõpetas Tallinna Polütehnilise Instituudi tööstus- ja tsiviilehituse insenerina. 1965–1970 täiendas teadmisi Leningradi Riikliku Ülikooli matemaatika ja mehaanika teaduskonna kaugõppes. Õppis aspirantuuris Eesti Teaduste Akadeemia Küberneetika Instituudi juures, kus kaitses füüsika-matemaatikakandidaadi kraadi 1973. Kandidaaditöö teemaks oli mittelineaarne lainelevi plaatides ja koorikutes. 1959. aastast töötas Tallinna Tehnikaülikoolis ehitustöölise, laborandi, inseneri, dotsendi ja professorina. Aastast 2005 on Tallinna Tehnikaülikooli emeriitprofessor.

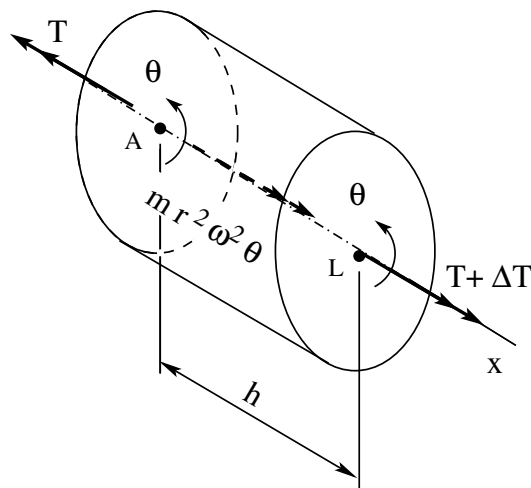


9 789949 832231 >

Andres Lahe

Varrassüsteemide võnkumine

EST-meetod



Retsenseerinud [Eerik Peeker](#)
Keeletoimetaja [Aime-Rutt Hall](#)
Kaane kujundanud Tiia Eikholm

Autoriõigus: [Andres Lahe](#), 2018

ISBN 978-9949-83-223-1 (köites)

ISBN 978-9949-83-224-8 (pdf)

[Tallinna Tehnikaülikooli kirjastus](#) 2018



See raamat on avaldatud Creative Commons Attribution-ShareAlike 3.0 litsentsi alusel. Litsentsi terviktekstiga tutvumiseks külastage aadressi <https://creativecommons.org/licenses/by-sa/3.0/ee/> või kirjutage aadressil Creative Commons, 543 Howard Street, 5th Floor, San Francisco, California, 94105, USA.



Raamatus sisalduvad väljavõtted programmidest alluvad GNU GPL 2.0 või uuemale litsentsile. Litsentsi terviktekstiga tutvumiseks külastage aadressi <http://www.gnu.org/licenses/old-licenses/gpl-2.0.html> või kirjutage aadressil Copyright (C) 1989, 1991 Free Software Foundation, Inc. 51 Franklin Street, Fifth Floor, Boston, MA 02110-1301, USA.

Varraskonstruksioonide võnkumist vaadeldakse siin rajaülesandena, s.t diferentsiaalvõrrandite lahendid peavad rahuldama rajatingimusi. Varda diferentsiaalvõrrandi lahend on väljendatav algparameetrite meetodiga: $\mathbf{z}_x = \mathbf{U}^x \mathbf{z}_a + \mathring{\mathbf{z}}$. Vektori \mathbf{z}_a elementideks on algparameetrid, s.o piki- ja põiksiirded, paindenurgad, piki- ja põikjõud ning paindemomendid varda algul. Seda vektorit nimetatakse olekuvektoriks varda algul, vektorit $\mathring{\mathbf{z}}$ aga varda koormusvektoriks. Olekuvektori elemente varda lõpus \mathbf{z}_1 [HRZ12, lk 5] nimetame lõppparameetriteks. Maatriks \mathbf{U}^x on ülekandemaatriks. Olekuvektori elemendid \mathbf{z}_x – piki- ja põiksiirded, paindenurgad, piki- ja põikjõud ning paindemomendid varda ristlõikes x (koordinaat varda teljel) – arvutatakse pärast seda, kui on leitud algparameetrid \mathbf{z}_a varda algul ($x = 0$).

Varrassüsteemi algparameetrid võib leida ka ülekandemaatriksmeetodiga [PW94], [GV06]. Nimetatud meetodi puhul asendatakse eelmise varda $i-1$ lõpus olev olekuvektor \mathbf{z}_{i-1} järgmise varda i alguses oleva olekuvektoriga \mathbf{z}_i . Nii saadakse ülekandemaatriksite korrutis $\mathbf{z}_j = \mathbf{U}^j \dots \mathbf{U}^2 \mathbf{U}^1 \mathbf{z}_a = \mathbf{U} \mathbf{z}_a$. Seda meetodit kasutades võib aga kaduda arvutustäpsus ümardusvigadest ülekandemaatriksite korrutamisel [PW94, lk 236], sest ülekandemaatriksite elemendid koosnevad suurtest ja väikestest arvudest.

EST-meetodit [Lah97] rakendades algparameetrite leidmisel ülekandemaatrikseid ei korrutata. Siin luuakse võrrandisüsteem $\mathbf{spA} \cdot \mathbf{Z} = \mathbf{B}$, kus tundmatute vektori moodustavad olekuvektorid kõigi N varda alguses ja lõpus ($\mathbf{z}_a^i, \mathbf{z}_1^i, i = 1, 2, \dots, N$) ning M toereaktsiooni (\mathbf{C}_j ($j = 1, 2, \dots, M$)). Nii on võrrandisüsteemis $2 \times N + M$ tundmatut. Tundmatute kordajatest moodustatakse hõre maatriks \mathbf{spA} . Võrrandisüsteem koosneb EST-meetodi põhivõrranditest $\mathbf{U}^i \mathbf{z}_a^i - \mathbf{I} \mathbf{z}_1^i = -\mathring{\mathbf{z}}_i$ ($i = 1, 2, \dots, N$, siin korduva indeksi i järgi ei summeerita) ja $N + M$ rajatingimusest. Toodud avaldised tähistavad \mathbf{z}_a^i ja \mathbf{z}_1^i olekuvektoreid varda alguses ja lõpus, \mathbf{I} on ühikmaatriks ning $\mathring{\mathbf{z}}_i$ varda koormusvektor.

Rajatingimusteks on:

- pidevustingimused sõlmedes, nt avaldised (3.89), (3.170);
- tasakaalutingimused sõlmedes, nt avaldised (3.90), (3.171);
- kõrvaltingimused liigenditele varraste otstes, nt avaldis (3.172);
- toetingimused tugedel, nt avaldised (3.91), (3.173).

Rajatingimuste määramist saame jälgida GNU Octave'is kirjutatud programmi väljavõttes 5.3.

EST-meetodi võrrandisüsteemi tundmatute kordajatest moodustatud hõreda maatriksi \mathbf{spA} mustrit näeme joonistelt 3.18, 3.37, 4.21 ja 5.5.

EST-meetodi testimiseks on lisatud näiteülesandeid, millel on teiste meetoditega leitud lahendid (vt tabelid 3.3, 4.4, 5.3, 6.2).

Esimeses peatükis vaadeldakse võnkumist varda pikiteljel. Tuletatakse ülekan demaatriks varda pikke diferentsiaalvõrrandi lahendi kirjeldamiseks algparameetrite meetodiga (1.20). Koostatakse EST-meetodi põhivõrrandid algparameetrite leidmiseks pikkel (1.44). Uuritakse varda omavõnkesagedusi ja -vorme pikivõnkumisel.

Teises peatükis esitatakse ülekan demaatriks võlli väände diferentsiaalvõrrandi lahendi kirjeldamiseks algparameetrite meetodiga (2.19). Tuletatakse EST-meetodi põhivõrrandid algparameetrite leidmiseks väändel (2.43). Uuritakse võlli omavõnkesagedusi ja -vorme väändevõnkumisel.

Kolmas peatükis käsitleb Euleri-Bernoulli tala vaba- ja sundvõnkumist. Esitatakse ülekan demaatriks tala põiksiirde diferentsiaalvõrrandi lahendi kirjeldamiseks algparameetrite meetodiga (3.31). Koostatakse EST-meetodi põhivõrrandid tala paindel (3.34). Uuritakse tala omavõnkesagedusi ja -vorme paindevõnkumisel.

Neljandas peatükis on vaatluse all Timošenko tala võnkumine. Tuletatakse ülekan demaatriks tala põiksiirde ja paindenurga diferentsiaalvõrrandi lahendi kirjeldamiseks algparameetrite meetodiga (4.60). Luuakse EST-meetodi põhivõrrandid (4.61) algparameetrite leidmiseks paindel (arvesse on võetud suhteline nihkedeformatsioon). Uuritakse tala omavõnkesagedusi ja -vorme paindevõnkumisel.

Viiendas peatükis käsitletakse raamide võnkumist nii Euleri-Bernoulli kui ka Timošenko teooria järgi. Siirded ja sisejõud raami varraste otstes leitakse algparameetrite meetodiga (5.1). EST-meetodi raami võnkumise põhivõrrandid (5.3) Euleri-Bernoulli ja Timošenko teooria järgi erinevad ülekan demaatriksites (5.9) ja (5.11).

Kuuendas peatükis võetakse vaatluse alla sõrestikud. Vaadeldakse sõrestiku varda lausmassi koondamist sõlmedesse konsistentse ja diagonaalile keskendatud massimaatriksina.

Lisas A käsitletakse vektorite teisendusi kohalikest koordinaatidest üldkoordinaatidesse ja vastupidi.

Lisas B esitatakse EST-meetodiga lahendatud ülesandeid.

Lisas C on viited vabavara GNU Octave'i¹² abil kirjutatud programmidele, kus kümnendkoha märkimiseks kasutatakse punkti. Ühtluse huvides eraldatakse kümnendkohad punktiga ka mujal.

Andres Lahe

¹<http://vabavara.eu/index.php?programm=501> (03.02.2016)

²http://en.wikipedia.org/wiki/GNU_Octave (03.02.2016)

Sisukord

1	Varda pike	17
1.1	Pikke ülekandemaatriks	17
1.2	Koormusvektor pikkel	20
1.3	Põhivõrrandid varda pikkel	22
1.4	Koondmass pikkel	23
1.5	Varda omavõnkesagedused pikkel	24
2	Varda vääne	39
2.1	Väände ülekandemaatriks	39
2.2	Koormusvektor väändel	42
2.3	Põhivõrrandid võlli väändel	44
2.4	Pöörlev hooratas	45
2.5	Võlli omavõnkesagedused	45
2.6	Võlli omavõnkevormid	48
3	Euleri-Bernoulli tala võnkumine	65
3.1	Euleri-Bernoulli tala vabavõnkumine	65
3.1.1	Tala vabavõnkumise diferentsiaalvõrrand	65
3.1.2	Põhivõrrandid tala paindel	69
3.1.3	Koondatud mass tala paindel	70
3.2	Euleri-Bernoulli tala omavõnkesagedused	71
3.3	Euleri-Bernoulli tala sundvõnkumine	91
3.3.1	Koormusvektor paindel	94
4	Timošenko tala võnkumine	123
4.1	Timošenko tala diferentsiaalvõrrandid	124
4.1.1	Timošenko tala diferentsiaalseosed	124
4.1.2	Timošenko tala vabavõnkumise diferentsiaalvõrrand	125
4.1.3	Timošenko tala ülekandemaatriks	129
4.1.4	Timošenko tala põhivõrrandid	133
5	Raamid	155
5.1	Raami võnkumise põhivõrrandid	155
5.1.1	Koondatud mass raamil	159

5.2	Raami vabavõnkumine	161
5.3	Raami sundvõnkumine	174
5.3.1	Raami staatiline koormamine	175
5.3.2	Raami antisümmeetriline sundvõnkumine	182
5.3.3	Raami sümmeetriline sundvõnkumine	189
6	Sõrestikud	197
6.1	Sõrestiku ülekan demaatriks	197
6.1.1	Sõrestikuvarda massi koondamine sõlmedesse	199
6.1.2	Koondmassi element sõrestikul	199
6.2	Sõrestiku omavõnkesagedused	200
A	Vektorite teisendused	217
A.1	Kohalik ja üldteljestik	217
A.2	Märgikokkulepped	217
A.3	Koordinaatide teisendus	218
B	EST-meetodiga lahendatud ülesandeid	223
B.1	Varda võnkumise arvutusi	223
B.2	Raami sundvõnkumise arvutusi	229
B.2.1	Jäikade sõlmedega põikraami antisümmeetriline sundvõnkumine	229
B.2.2	Jäikade sõlmedega põikraami sümmeetriline sundvõnkumine	240
B.3	Sõrestiku arvutusi staatilisel koormusel	251
B.4	Valemeid	252
C	Arvutiprogrammid	255
C.1	Programmid varda pikivõnkumise arvutamiseks	255
C.2	Programmid võlli väändevõnkumise arvutamiseks	262
C.3	Programmid tala võnkumise arvutamiseks	268
C.3.1	Programmid Euleri-Bernoulli tala võnkumise arvutamiseks	268
C.3.2	Programmid Timošenko tala võnkumise arvutamiseks	275
C.3.3	Programmid jätkuvtala võnkumise arvutamiseks	281
C.4	Programmid raami võnkumise arvutamiseks	284
C.5	Programmid sõrestiku võnkumise arvutamiseks	288
C.6	Varia	292
	Kirjandus	299
	Aineregister	307
	Näited	
1.1	Konsoolvarda omavõnkumine	26
1.2	Jäikade tuge dega varda omavõnkumine	31
1.3	Jäikade tuge dega varda sundvõnkumine	34

2.1	Konsoolvõlli omavõnkumine	48
2.2	Jäigalt kinnitatud võlli omavõnkumine	53
2.3	Hoorattaga konsoolvõlli omavõnkumine	56
2.4	Hoorattaga võlli omavõnkumine	60
3.1	Konsooltala omavõnkumine	76
3.2	Jäikade tugeodega tala omavõnkumine	79
3.3	Viiesildeline jätkuvtala	83
3.4	Paigalseisva ja liikuva liigendtoega tala sundvõnkumine	95
3.5	Liikuva liigendtoe ja jäiga toega tala sundvõnkumine	103
3.6	Koondatud massi kandev tala	109
3.7	Kolmesildeline jätkuvtala	114
4.1	Timošenko konsooltala omavõnkumine	134
4.2	Jäikade tugeodega Timošenko tala omavõnkumine	137
4.3	Astmeliselt muutuva ristlõikega Timošenko konsooltala omavõnkumine	141
4.4	Muutuva ristlõikega Timošenko konsooltala omavõnkumine	147
5.1	Jäikade sõlmedega põikraami vabavõnkumine	161
5.2	Muutuva ristlõikega põikraami vabavõnkumine	169
5.3	Jäikade sõlmedega põikraami antisümmeetriline staatiline koormamine	175
5.4	Jäikade sõlmedega põikraami sümmeetriline staatiline koormamine	178
5.5	Jäikade sõlmedega põikraami antisümmeetriline sundvõnkumine	182
5.6	Jäikade sõlmedega põikraami sümmeetriline sundvõnkumine	189
6.1	Kahe vardaga tarindi omavõnkumine	201
6.2	Koondmassi ja kahe vardaga tarindi omavõnkumine	203
6.3	Sõrestiku T omavõnkumine	207
6.4	Sõrestiku AM omavõnkumine	209
6.5	Sõrestiku KB omavõnkumine	212
A.1	Vektorite teisendus pöördel	221
B.1	Varda S1 omavõnkumine	223
B.2	Varda S2 omavõnkumine	226

Joonised

1.1	Varda elementaarlõik pikkel	17
1.2	Varda element pikkel	20
1.3	Koondmass pikkel	23
1.4	Pikijõud dünaamilisel koormusel	24
1.5	Varda muutujate järjenumbrid pikkel	24
1.6	Konsoolvarras	26
1.7	Konsoolvarda muutujate järjenumbrid	27
1.8	Konsoolvarda omavõnkesagedused	29
1.9	Konsoolvarda omavõnkevormid	30
1.10	Jäikade tugeodega varras	31
1.11	Jäikade tugeodega varda muutujate järjenumbrid	31
1.12	Jäikade tugeodega varda omavõnkesagedused	32
1.13	Jäikade tugeodega varda omavõnkevormid	34
1.14	Jäikade tugeodega varda sundvõnkumine	34
1.15	Jäikade tugeodega varda muutujate järjenumbrid	35
1.16	Sundiv jõud amplituudiga 100 N jäikade tugeodega vardal	37
2.1	Võlli elementaarlõik väändel	39
2.2	Võlli element väändel	41
2.3	Pöörlev hooratas	45
2.4	Võlli muutujate järjenumbrid	46
2.5	Konsoolvõll	48
2.6	Konsoolvõlli muutujate järjenumbrid	49
2.7	Konsoolvõlli omavõnkesagedused	51
2.8	Konsoolvõlli omavõnkevormid	53
2.9	Jäigalt kinnitatud võll	53
2.10	Jäigalt kinnitatud võlli muutujate järjenumbrid	54
2.11	Jäigalt kinnitatud võlli omavõnkesagedused	55
2.12	Jäigalt kinnitatud võlli omavõnkevormid	56
2.13	Hoorattaga konsoolvõll	56
2.14	Hoorattaga konsoolvõlli muutujate järjenumbrid	57
2.15	Hoorattaga konsoolvõlli elemendid ja muutujate järjenumbrid	58
2.16	Hoorattaga konsoolvõlli omavõnkesagedused	59
2.17	Hoorattaga konsoolvõlli omavõnkevormid	60

2.18	Hoorattaga völli	60
2.19	Hoorattaga völli muutujate järjenumbrid	61
2.20	Hoorattaga völli omavõnkesagedused	62
2.21	Hoorattaga völli omavõnkevormid	63
3.1	Koondatud mass	70
3.2	Põikjõud dünaamilisel koormusel	70
3.3	Tala muutujate järjenumbrid	71
3.4	Konsooltala sagedusvõrrandi juured	72
3.5	Jäikade tugeodega tala sagedusvõrrandi juured	74
3.6	Liikuva liigendtoe ja jäiga toega tala sagedusvõrrandi juured	76
3.7	Konsooltala	76
3.8	Konsooltala muutujate järjenumbrid	77
3.9	Konsooltala omavõnkesagedused	77
3.10	Konsooltala omavõnkevormid	79
3.11	Jäikade tugeodega tala	79
3.12	Jäikade tugeodega tala muutujate järjenumbrid	80
3.13	Jäikade tugeodega tala omavõnkesagedused	81
3.14	Jäikade tugeodega tala omavõnkevormid	83
3.15	Viiesildeline jätkuvtala	83
3.16	Viiesildelise jätkuvtala muutujate järjenumbrid	85
3.17	Viiesildelise jätkuvtala omavõnkesagedused	87
3.18	Viiesildelise jätkuvtala maatriksi spA muster	88
3.19	Viiesildelise jätkuvtala muutujad omavõnkevormide arvutamiseks	89
3.20	Viiesildelise jätkuvtala omavõnkevormid	91
3.21	Paigalseisva ja liikuva liigendtoega tala	95
3.22	Paigalseisva ja liikuva liigendtoega tala muutujate järjenumbrid	95
3.23	Paigalseisva ja liikuva liigendtoega tala omavõnkesagedused	96
3.24	Paigalseisva ja liikuva liigendtoega tala siirded eri sagedustel	98
3.25	Paigalseisva ja liikuva liigendtoega tala momendid eri sagedustel	99
3.26	Liikuva liigendtoe ja jäiga toega tala	103
3.27	Liikuva liigendtoe ja jäiga toega tala muutujate järjenumbrid	104
3.28	Liikuva liigendtoe ja jäiga toega tala omavõnkesagedused	105
3.29	Liikuva liigendtoe ja jäiga toega tala epüürid sagedusel $\omega = 2562.4 \text{ s}^{-1}$	106
3.30	Liikuva liigendtoe ja jäiga toega tala epüürid sagedusel $\omega = 9341.7 \text{ s}^{-1}$	107
3.31	Koondatud massi kandev tala	109
3.32	Koondatud massi kandva tala muutujate järjenumbrid	110
3.33	Koondatud massi kandva tala omavõnkesagedused	111
3.34	Koondatud massi kandva tala epüürid sagedusel $\omega = 30 \text{ s}^{-1}$	112
3.35	Kolmesildeline jätkuvtala	114
3.36	Kolmesildelise jätkuvtala muutujate järjenumbrid	116
3.37	Kolmesildelise jätkuvtala maatriksi spA muster	117
3.38	Kolmesildelise jätkuvtala omavõnkesagedused	118
3.39	Kolmesildelise jätkuvtala omavõnkevormid	119

3.40	Kolmesildelise jätkuvtala epüürid sagedusel $\omega = 100 \text{ s}^{-1}$	121
4.1	Timošenko tala	123
4.2	Talaelemendi tasakaal	124
4.3	Toetingimusi Timošenko talal	134
4.4	Timošenko konsooltala	134
4.5	Timošenko konsooltala muutujate järjenumbrid	135
4.6	Timošenko konsooltala omavõnkesagedused	136
4.7	Timošenko konsooltala omavõnkevormid	137
4.8	Jäikade tugedegaga Timošenko tala	138
4.9	Jäikade tugedegaga Timošenko tala muutujate järjenumbrid	138
4.10	Jäikade tugedegaga Timošenko tala omavõnkesagedused	139
4.11	Jäikade tugedegaga Timošenko tala omavõnkevormid	141
4.12	Astmeliselt muutuva ristlõikega Timošenko konsooltala lapiti- ja servitiasendis	141
4.13	Astmeliselt muutuva ristlõikega Timošenko konsooltala muutujate järjenumbrid	143
4.14	Astmeliselt muutuva ristlõikega lapitiasendis konsooltala omavõnkesagedused	144
4.15	Astmeliselt muutuva ristlõikega servitiasendis Timošenko konsooltala omavõnkesagedused	145
4.16	Astmeliselt muutuva ristlõikega servitiasendis Timošenko konsooltala omavõnkevormid	147
4.17	Muutuva ristlõikega Timošenko konsooltala	147
4.18	Ristlõike inertsimomendi muutus	147
4.19	Pikkusühiku kohta tuleva massi muutus	148
4.20	Muutuva ristlõikega Timošenko konsooltala muutujate järjenumbrid	149
4.21	Muutuva ristlõikega Timošenko konsooltala maatriksi spA muster	151
4.22	Muutuva ristlõikega Timošenko konsooltala omavõnkesagedused	152
4.23	Muutuva ristlõikega Timošenko konsooltala omavõnkevormid	153
5.1	Raami elemendi jõudude ja siirete positiivsed suunad	155
5.2	Koondatud mass	160
5.3	Jäikade sõlmedega põikraam	161
5.4	Jäikade sõlmedega põikraami muutujate järjenumbrid	162
5.5	Jäikade sõlmedega põikraami maatriksi spA muster	165
5.6	Jäikade sõlmedega põikraami omavõnkesagedused	165
5.7	Jäikade sõlmedega põikraami muutujate muudetud järjenumbrid	167
5.8	Jäikade sõlmedega põikraami omavõnkevormid	168
5.9	Muutuva ristlõikega põikraam	169
5.10	Muutuva ristlõikega põikraami omavõnkesagedused	172
5.11	Muutuva ristlõikega põikraami omavõnkevormid	174
5.12	Sundvõnkumise piirkonnad	175
5.13	Jäikade sõlmedega põikraam koormusega $F_x = 1 \text{ N}$	175
5.14	Jäikade sõlmedega põikraami epüürid staatilisel koormusel $F_x = 1 \text{ N}$	178
5.15	Jäikade sõlmedega põikraam koormusega $F_z = 1 \text{ N}$	179
5.16	Jäikade sõlmedega põikraami epüürid staatilisel koormusel $F_z = 1 \text{ N}$	180

5.17	Jäikade sõlmedega põikraam antisümmeetrilise koormusega	182
5.18	Paindemomendi dünaamikategur k_d antisümmeetrilisel võnkumisel	184
5.19	Jäikade sõlmedega põikraami epüürid sagedusel $\omega = 1.3627 \times 10^2 \text{ s}^{-1}$	186
5.20	Jäikade sõlmedega põikraami epüürid sagedusel $\omega = 1.8889 \times 10^2 \text{ s}^{-1}$	189
5.21	Jäikade sõlmedega põikraam sümmeetrilise koormusega	189
5.22	Paindemomendi dünaamikategur k_d sümmeetrilisel võnkumisel	191
5.23	Jäikade sõlmedega põikraami epüürid sagedusel $\omega = 7.2886 \times 10^2 \text{ s}^{-1}$	194
5.24	Jäikade sõlmedega põikraami epüürid sagedusel $\omega = 7.3813 \times 10^2 \text{ s}^{-1}$	196
6.1	Sõrestiku varras	197
6.2	Koondmass	200
6.3	Kahe vardaga tarind	200
6.4	Sõlmes on kaks eri sirgeil asuvat varrast	201
6.5	Kahe vardaga tarindi muutujate järjenumbrid	202
6.6	Kahe vardaga tarindi omavõnkesagedused	203
6.7	Koondmassi ja kahe vardaga tarind	203
6.8	Koondmassi ja kahe vardaga tarindi muutujate järjenumbrid	204
6.9	Koondmassi ja kahe vardaga tarindi omavõnkesagedused	206
6.10	Koond- ja lausmassiga kahe vardaga tarindi omavõnkesagedused	206
6.11	Sõrestik T	207
6.12	Sõrestiku T muutujate järjenumbrid	207
6.13	Sõrestiku T koondmasside muutujate järjenumbrid	208
6.14	Sõrestiku T omavõnkesagedused	208
6.15	Sõrestik AM	209
6.16	Sõrestiku AM muutujate järjenumbrid	210
6.17	Sõrestiku AM koondmasside muutujate järjenumbrid	210
6.18	Sõrestiku AM omavõnkesagedused	211
6.19	Sõrestik KB	212
6.20	Sõrestiku KB muutujate järjenumbrid	213
6.21	Sõrestiku KB koondmasside muutujate järjenumbrid	213
6.22	Sõrestiku KB omavõnkesagedused	214
A.1	Vasaku ja parema käe teljestik	217
A.2	Märgikokkulepped	218
A.3	Koordinaatide teisendus	218
A.4	Varda suunakoosinused	219
B.1	Konsoolvarras S1	223
B.2	Konsoolvarda S1 muutujate järjenumbrid	224
B.3	Varda S1 omavõnkesagedused	225
B.4	Varda S1 omavõnkevormid	226
B.5	Konsoolvarras S2	226
B.6	Konsoolvarda S2 muutujate järjenumbrid	227
B.7	Varda S2 omavõnkesagedused	228

B.8	Varda S2 omavõnkevormid	229
B.9	Jäikade sõlmedega põikraami epüürid sagedusel $\omega = 7.2216 \times 10 \text{ s}^{-1}$	232
B.10	Jäikade sõlmedega põikraami epüürid sagedusel $\omega = 1.8599 \times 10^2 \text{ s}^{-1}$	234
B.11	Jäikade sõlmedega põikraami epüürid sagedusel $\omega = 7.300 \times 10^2 \text{ s}^{-1}$	237
B.12	Jäikade sõlmedega põikraami epüürid sagedusel $\omega = 1.206 \times 10^3 \text{ s}^{-1}$	240
B.13	Jäikade sõlmedega põikraami epüürid sagedusel $\omega = 2.83 \times 10^2 \text{ s}^{-1}$	242
B.14	Jäikade sõlmedega põikraami epüürid sagedusel $\omega = 5.34 \times 10^2 \text{ s}^{-1}$	245
B.15	Jäikade sõlmedega põikraami epüürid sagedusel $\omega = 9.95084 \times 10^2 \text{ s}^{-1}$	248
B.16	Jäikade sõlmedega põikraami epüürid sagedusel $\omega = 1.2860274 \times 10^3 \text{ s}^{-1}$	250
B.17	Kahe vardaga tarind	251
B.18	Sõrestik T	251
B.19	Sõrestik AM	251
B.20	Sillasõrestik	252
B.21	Sillasõrestiku muutujad	252

Tabelid

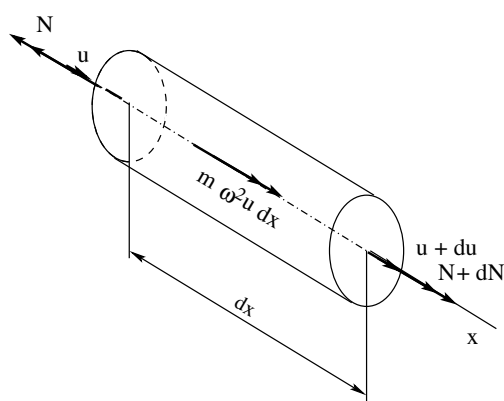
1.1	Konsoolvarda sagedusvõrrandi juured	29
1.2	Jäikade tugeodega varda sagedusvõrrandi juured	33
2.1	Konsoolvõlli eri meetodeil leitud sagedusvõrrandi juured	51
2.2	Jäigalt kinnitatud võlli eri meetodeil leitud sagedusvõrrandi juured	55
3.1	Konsooltala sagedusvõrrandi juured	78
3.2	Jäikade tugeodega tala sagedusvõrrandi juured	81
3.3	Viiesildelise jätkuvtala omavõnkesagedused	88
3.4	Paigalseisva ja liikuva liigendtoega tala leitud sagedusvõrrandi juured	97
3.5	Liikuva liigendtoe ja jäiga toega talasagedusvõrrandi juured	105
4.1	Timošenko konsooltala sagedusvõrrandi mõõduta juured	136
4.2	Jäikade tugeodega Timošenko tala sagedusvõrrandi mõõduta juured	140
4.3	Astmeliselt muutuva ristlõikega lapitiasendis Timošenko konsooltala omavõnkesagedused	144
4.4	Astmeliselt muutuva ristlõikega servitiasendis Timošenko konsooltala omavõnkesagedused	145
4.5	Muutuva ristlõikega Timošenko konsooltala omavõnkesagedused	154
5.1	Jäikade sõlmedega pöikraami omavõnkesagedused	166
5.2	Muutuva ristlõikega pöikraami omavõnkesagedused	172
5.3	EST-meetodiga arvatud ja katsega leitud omavõnkesageduste erinevus	173
5.4	Jäikade sõlmedega pöikraami toereaktsioonid staatilisel koormusel $F_x = 1 \text{ N}$	176
5.5	Jäikade sõlmedega pöikraami toereaktsioonid staatilisel koormusel $F_z = 1 \text{ N}$	181
5.6	Jäikade sõlmedega pöikraami toereaktsioonid sagedusel $\omega = 1.3627 \times 10^2 \text{ s}^{-1}$	184
5.7	Jäikade sõlmedega pöikraami toereaktsioonid sagedusel $\omega = 1.8889 \times 10^2 \text{ s}^{-1}$	187
5.8	Jäikade sõlmedega pöikraami toereaktsioonid sagedusel $\omega = 7.2886 \times 10^2 \text{ s}^{-1}$	191
5.9	Jäikade sõlmedega pöikraami toereaktsioonid sagedusel $\omega = 7.3813 \times 10^2 \text{ s}^{-1}$	194
6.1	Sõrestiku T omavõnkesagedused	209
6.2	Sõrestiku AM omavõnkesagedused	211
6.3	Sõrestiku KB omavõnkesagedused	215
B.1	Jäikade sõlmedega pöikraami toereaktsioonid sagedusel $\omega = 7.2216 \times 10 \text{ s}^{-1}$	229

B.2	Jäikade sõlmedega pöikraami toereaktsioonid sagedusel $\omega = 1.8599 \times 10^2 \text{ s}^{-1}$	232
B.3	Jäikade sõlmedega pöikraami toereaktsioonid sagedusel $\omega = 7.300 \times 10^2 \text{ s}^{-1}$	235
B.4	Jäikade sõlmedega pöikraami toereaktsioonid sagedusel $\omega = 1.206 \times 10^3 \text{ s}^{-1}$	237
B.5	Jäikade sõlmedega pöikraami toereaktsioonid sagedusel $\omega = 2.83 \times 10^2 \text{ s}^{-1}$	240
B.6	Jäikade sõlmedega pöikraami toereaktsioonid sagedusel $\omega = 5.34 \times 10^2 \text{ s}^{-1}$	243
B.7	Jäikade sõlmedega pöikraami toereaktsioonid sagedusel $\omega = 9.95084 \times 10^2 \text{ s}^{-1}$	245
B.8	Jäikade sõlmedega pöikraami toereaktsioonid sagedusel $\omega =$ $1.2860274 \times 10^3 \text{ s}^{-1}$	248

1. Varda pike

1.1 Pikke ülekandemaatriks

Vaatleme pikitelje sihis võnkuva varda elementaarlõiku pikkel (jn 1.1). Varda elementaarlõigu otstes mõjuvad pikijõud N ja $N + dN$. Pikisiirde u juurdekasv on du . Elementaarlõigu inertsjõud on $(m dx) \omega^2 u$, kus m on mass ühikpikkuse kohta, ω – võnkumise nurksagedus, u – pikisiire.



Joonis 1.1. Varda elementaarlõik pikkel

Vaadeldavate jõudude mõjul on varda elementaarlõik tasakaalus:

$$\frac{dN}{dx} + m \omega^2 u = 0 \quad (1.1)$$

Suhtelise normaaldeformatsiooni (normaalmoonde) du/dx ja pikijõu N seos on

$$\frac{du}{dx} = \frac{N}{EA} \quad (1.2)$$

kus EA on varda ristlõike pikkejäikus, E – (normaal)elastsusmoodul (Youngi¹ moodul), A – ristlõikepindala.

Asendades avaldises (1.1) pikijõu N suhtelise normaaldeformatsiooniga, saame teist järku diferentsiaalvõrrandi

$$\frac{d^2 u}{dx^2} + \frac{m \omega^2}{EA} u = 0 \quad (1.3)$$

ehk

$$u'' + \kappa^2 u = 0 \quad (1.4)$$

kus

$$\kappa^2 = \frac{m \omega^2}{EA} = \frac{\rho \omega^2}{E} \quad (1.5)$$

Täht ρ tähistab siin materjali tihedust.

¹Thomas Young (1773–1829), inglise polümaat ja arst.

Diferentsiaalvõrrandi (1.4) lahendite süsteemi otsime kujul

$$u_1^* = \cos \kappa x, \quad u_2^* = \sin \kappa x \quad (1.6)$$

kus κ on diferentsiaalvõrrandi karakteristliku võrrandi lahend ehk pikkekarakteristik.

$$\kappa = \omega \sqrt{\frac{m}{AE}} = \omega \sqrt{\frac{\rho}{E}} \quad (1.7)$$

Varda piket iseloomustava karakteristikuna on kasutatud ka varda tunnusarvu pikkel ϵ_0 [PL63]:

$$\epsilon_0 = \ell \omega \sqrt{\frac{m}{AE}} = \ell \kappa \quad (1.8)$$

kus ℓ on varda pikkus.

Diferentsiaalvõrrandi lahendite süsteemi (1.6) nimetame lahendite fundamentaalsüsteemiks, sest Wronski² determinant³ ei võrdu nulliga.

$$W(x) = \begin{vmatrix} \cos \kappa x & \sin \kappa x \\ -\kappa \sin \kappa x & \kappa \cos \kappa x \end{vmatrix} = \kappa \neq 0 \quad (1.9)$$

Diferentsiaalvõrrandi lahendite fundamentaalsüsteemi nimetatakse normeerituks [Kna17, lk 231], kui Wronski determinandi $W(x)$ väärtus kohal $x = 0$ on ühikmaatriks $I_{n \times n}$, s.o

$$W(0) = I_{2 \times 2} = \begin{vmatrix} 1 & 0 \\ 0 & 1 \end{vmatrix} \quad (1.10)$$

Lahendite süsteemi (1.6) normeerimiseks kirjutame välja Wronski determinandi W väärtuse kohal $x = 0$:

$$W(0) = \begin{vmatrix} 1 & 0 \\ 0 & \kappa \end{vmatrix} \quad (1.11)$$

Selleks et determinandi (1.11) väärtus oleks üks, jagame teise veeru κ -ga. Tulemuseks on ühikmaatriks

$$W(0) = \begin{vmatrix} 1 & 0 \\ 0 & 1 \end{vmatrix} \quad (1.12)$$

Teeme samalaadse teisenduse normeerimata lahendite süsteemiga (1.6). Saame

$$u_1 = \cos \kappa x, \quad u_2 = \frac{1}{\kappa} \sin \kappa x \quad (1.13)$$

²Józef Maria Wronski (1776–1853), poola filosoof, matemaatik ja füüsik.

³Determinant, kus iga järgmine rida on eelmise rea tuletis.

Normeeritud lahendite fundamentaalsüsteemi (1.13) abil saame algtingimustega ülesande ehk Cauchy⁴ ülesande.⁵ Algtingimused ehk algparameetrid [Jür85, lk 248] valime vastavalt rajajõudude märgikokkuleppele.

Varda sisejõudude leidmisel kasutatakse rajajõudude määramiseks kahte erinevat märgikokkulepet (jn A.2). Esimese märgikokkuleppe puhul

$$u(x=0) = u_0, \quad u'_0 = \frac{N(x=0)}{EA} = \frac{N_0}{EA} \quad (1.14)$$

ja teise märgikokkuleppe korral

$$u(x=0) = u_0, \quad u'_0 = -\frac{N(x=0)}{EA} = -\frac{N_0}{EA} \quad (1.15)$$

Homogeense diferentsiaalvõrrandi üldlahend esimese märgikokkuleppe järgi on

$$u_x = u_0 \cos \kappa x + \frac{N_0}{EA} \frac{1}{\kappa} \sin \kappa x \quad (1.16)$$

ning teise märgikokkuleppe korral

$$u_x = u_0 \cos \kappa x - N_0 \frac{1}{EA} \frac{1}{\kappa} \sin \kappa x \quad (1.17)$$

Viimasel juhul on normaalsiirde tuletis koordinaadi x järgi

$$u'_x = -u_0 \kappa \sin \kappa x - N_0 \frac{1}{EA} \cos \kappa x \quad (1.18)$$

mille korrutamisel EA -ga saame pikijõu

$$N_x = -u_0 EA \kappa \sin \kappa x - N_0 \cos \kappa x \quad (1.19)$$

Teise märgikokkuleppe korral on varda (jn 1.2) ülekandevõrrand

$$\mathbf{Z}_L(\mathbf{x}) = \mathbf{U} \cdot \mathbf{Z}_A + \overset{\circ}{\mathbf{Z}} \quad (1.20)$$

Siin on \mathbf{Z}_L , \mathbf{Z}_A varda lõpus ja alguses olevad siirded ning pikijõud

$$\mathbf{Z}_L = \begin{bmatrix} u_L \\ N_L \end{bmatrix}, \quad \mathbf{Z}_A = \begin{bmatrix} u_A \\ N_A \end{bmatrix} \quad (1.21)$$

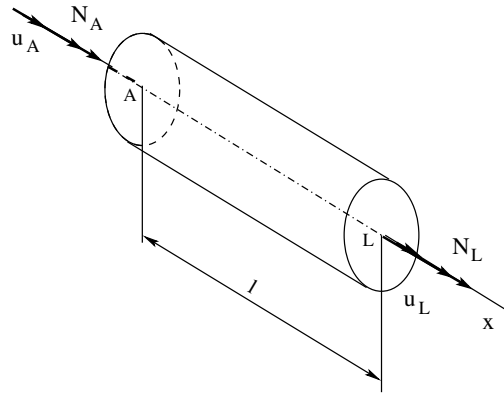
ülekanemaatriks pikkel \mathbf{U} avaldub (vt GNU Octave'i programm [siiremPike.m](#))

$$\mathbf{U} = \begin{bmatrix} \cos \kappa x & -\frac{1}{EA} \frac{1}{\kappa} \sin \kappa x \\ -EA \kappa \sin \kappa x & -\cos \kappa x \end{bmatrix} \quad (1.22)$$

⁴Augustin-Louis Cauchy (1789–1857), prantsuse matemaatik.

⁵http://www.staff.ttu.ee/~kairik/dvloeng9_2013.pdf (10.06.2017)

ning $\mathring{\mathbf{Z}}$ on koormusvektor.



Joonis 1.2. Varda element pikkel

1.2 Koormusvektor pikkel

Vaatleme varda liikumisvõrrandit [SALŠ84, lk 184]

$$EA \frac{\partial^2 u}{\partial x^2} = p_x(x, t) + \rho A \frac{\partial^2 u}{\partial t^2} \quad (1.23)$$

Juhul kui talale mõjuv koormus muutub ajas viisil $p_x(x, t) = n(x) \sin \theta t$, saame

$$EA \frac{\partial^2 u}{\partial x^2} - \rho A \frac{\partial^2 u}{\partial t^2} = n(x) \sin \theta t \quad (1.24)$$

Otsime sundvõnkumise kuju kahe funktsiooni korrutisena:

$$u(x, t) = f(x) \sin \theta t \quad (1.25)$$

Esimene tegur sõltub siin ainult koordinaadist x ja teine ainult ajast t .

Asetame saadud avaldise diferentsiaalvõrrandisse (1.24). Mittehomogeense diferentsiaalvõrrandi vabaliikmele lisame lauskoormusega ekvivalentse üldistatud koormuse [YSM00]:

$$EA f''(x) + \rho A u^2 f(x) = n(x) + F_x(x) \delta(x - x_o) \quad (1.26)$$

ehk

$$f''(x) + \kappa^2 f(x) = \frac{n(x)}{EA} + \frac{F_x(x) \delta(x - x_o)}{EA} \quad (1.27)$$

Siin on

$F_x(x) \delta(x - x_o)$ lauskoormusega $n_x(x)$ ekvivalentne koondjõud;

$$\kappa^2 = \frac{m \omega^2}{EA} = \frac{\rho \omega^2}{E} \quad (1.28)$$

ning $\delta(x - x_0)$ on Dirac'i⁶ deltafunktsioon.

Diferentsiaalvõrrandi (1.27) lahend $f(x)$ koosneb homogeenest lahendist $f_h(x)$ ja erilahendist $f_e(x)$, seega $f(x) = f_h(x) + f_e(x)$.

Homogeenne diferentsiaalvõrrandi lahend teise märgikokkuleppe puhul $f_h(x) = u_h(x)$ on toodud avaldisega (1.17).

Mittehomogeenne diferentsiaalvõrrandi (1.27) erilahendit $f_e(x)$ otsime Cauchy valemi [Ste59] abil:

$$f_e(x) = \int_{x_0}^x G_n(x, \xi) g_n(\xi) d\xi \quad (1.29)$$

kus $G(x, \xi)$ on vastava homogeenne diferentsiaalvõrrandi normeeritud lahend. Täpsemalt,

$$f_e(x) = \int_{x_0}^x G_2(x, \xi) g_2(\xi) d\xi + \int_{x_0}^x G_1(x, \xi) g_1(\xi) d\xi \quad (1.30)$$

Siin kasutame normeeritud lahendite fundamentaalsüsteemi (1.13):

$$G_2(x, \xi) = f_2(x - \xi) = \frac{1}{\kappa} \sin \kappa(x - \xi) \quad (1.31)$$

$$G_1(x, \xi) = f_1(x - \xi) = \cos \kappa(x - \xi) \quad (1.32)$$

ja koormusfunktsioone $g_n(\xi)$:

$$g_2(\xi) = \frac{n_x(\xi)}{EA}, \quad g_1(\xi) = \frac{F_x(\xi)}{EA} \quad (1.33)$$

Vaatleme juhtu, kui $n_x/EA = \text{const}$. Erilahendi (1.30) saamiseks tuleb integreerida avaldis

$$f_{2e}(x) = \int_{x_0}^x G_2(x, t) g_2(t) dt = \frac{n_x}{EA \kappa} \int_{x_0}^x \sin \kappa(x - \xi) d\xi \quad (1.34)$$

Saame

$$\int_a^x \sin \kappa(x - \xi) d\xi = \frac{1}{\kappa} \cos \kappa(x - \xi) \Big|_a^x = \frac{1}{\kappa} - \frac{1}{\kappa} \cos \kappa \langle x - a \rangle_+ \quad (1.35)$$

kus $\langle x - a \rangle_+$ on katkevusfunktsioon (ingl discontinuity function⁷, singularity function⁸), mille tähistamiseks kasutame Macaulay⁹ noolsulgusid [Fel16, lk 12-3] (sks Macaulay Klammern, ingl Macaulay brackets).

$$\langle x - a \rangle_+^n = (x - a)^n H(x - a) \quad (1.36)$$

⁶Paul Adrien Maurice Dirac (1902–1984), inglise füüsik.

⁷<http://www.colorado.edu/engineering/CAS/courses.d/Structures.d/IAST.Lect12.d/IAST.Lect12.pdf> (11.06.2017)

⁸https://en.wikipedia.org/wiki/Singularity_function (11.06.2017)

⁹William Herrick Macaulay (1853–1936), inglise matemaatik.

kus $H(x - a)$ on Heaviside'i¹⁰ funktsioon.

$$H(x - a) = \begin{cases} 0, & kui \quad (x - a) < 0 \\ 1, & kui \quad (x - a) \geq 0 \end{cases} \quad (1.37)$$

Asetame leitud integraali erilahendisse (1.34):

$$f_{2e}(x) = \frac{n_x}{EA} \frac{1}{\kappa^2} [1 - \cos \kappa \langle x - a \rangle_+] = \frac{n_x}{EA} \frac{\ell^2}{\lambda^2} \left[1 - \cos \frac{\lambda}{\ell} \langle x - a \rangle_+ \right] \quad (1.38)$$

Siin võtame arvesse, et $\lambda = \kappa \ell$.

Mittehomogeense diferentsiaalvõrrandi (1.27) teisele vabaliikmele ($F_x/EA = const$) vastava erilahendi leiame avaldist (1.30) integreerides:

$$f_{1e}(x) = \int_{x_0}^x G_1(x, \xi) g_1(t) d\xi = \frac{F_x}{EA} \int_{x_0}^x \cos \kappa (x - \xi) d\xi \quad (1.39)$$

Saame

$$\int_a^x \cos \kappa (x - \xi) d\xi = -\frac{1}{\kappa} \sin \kappa (x - \xi) \Big|_a^x = \frac{1}{\kappa} \sin \kappa \langle x - a \rangle_+ \quad (1.40)$$

Asetame leitud integraali erilahendisse (1.39):

$$f_{1e}(x) = \frac{F_x}{EA} \frac{1}{\kappa} [\sin \kappa \langle x - a \rangle_+] = \frac{F_x}{EA} \frac{\ell}{\lambda} [\sin \kappa \langle x - a \rangle_+] \quad (1.41)$$

Erilahenditest (1.38) ja (1.41) koostame koormusvektori $\overset{\circ}{\mathbf{Z}}$ (1.20): $\overset{\circ}{\mathbf{Z}} = \overset{\circ}{\mathbf{Z}}_n + \overset{\circ}{\mathbf{Z}}_F$.

$$\overset{\circ}{\mathbf{Z}}_n = \begin{bmatrix} \overset{\circ}{u}_e \\ \overset{\circ}{N}_e \end{bmatrix} = \begin{bmatrix} f_{2e} \\ EA f'_{2e} \end{bmatrix} = \begin{bmatrix} \frac{n_x}{EA} \frac{1}{\kappa^2} [1 - \cos \kappa \langle x - a \rangle_+] \\ n_x \frac{1}{\kappa} [\sin \kappa \langle x - a \rangle_+] \end{bmatrix} \quad (1.42)$$

$$\overset{\circ}{\mathbf{Z}}_F = \begin{bmatrix} \overset{\circ}{u}_e \\ \overset{\circ}{N}_e \end{bmatrix} = \begin{bmatrix} f_{1e} \\ EA f'_{1e} \end{bmatrix} = \begin{bmatrix} \frac{F_x}{EA} \frac{1}{\kappa} [\sin \kappa \langle x - a \rangle_+] \\ F_x [\cos \kappa \langle x - a \rangle_+] \end{bmatrix} \quad (1.43)$$

1.3 Põhivõrrandid varda pikkel

Pikke põhivõrrandid teise märgikokkuleppe puhul (1.20) saab kirjutada võrrandisüsteemina

$$\mathbf{U} \cdot \mathbf{Z}_A - \mathbf{I}_{2 \times 2} \cdot \mathbf{Z}_L = -\overset{\circ}{\mathbf{Z}} \quad (1.44)$$

¹⁰ Oliver Heaviside (1850–1925), inglise füüsik ja elektriinsener.

Lühemalt,

$$\widehat{\mathbf{U}}_{2 \times 4} \cdot \widehat{\mathbf{Z}} = -\overset{\circ}{\mathbf{Z}} \quad (1.45)$$

Siin

$$\widehat{\mathbf{Z}} = \begin{bmatrix} \mathbf{Z}_A \\ \mathbf{Z}_L \end{bmatrix} \quad (1.46)$$

ja $\widehat{\mathbf{U}}_{2 \times 4}$ on laiendatud ülekanematriks ($U_{2 \times 2} \mid -I_{2 \times 2}$).

$$\widehat{\mathbf{U}}_{2 \times 4} = \left[\begin{array}{cc|cc} \cos \kappa \ell & -i_o \frac{1}{EA} \frac{1}{\kappa} \sin \kappa \ell & -1 & 0 \\ -\frac{1}{i_o} EA \kappa \sin \kappa \ell & -\cos \kappa \ell & 0 & -1 \end{array} \right] \quad (1.47)$$

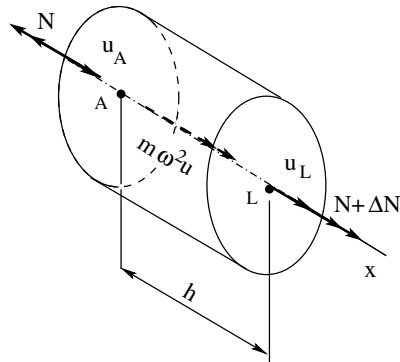
kus ℓ on varda elemendi pikkus, $\overset{\circ}{\mathbf{Z}}$ – koormusvektor, i_o – siirete u_i skaleerimistegur.

Ülekanematriksi (1.47) arvutame GNU Octave'i programmiga [splvfmPike.m](#).

Siirete arvvaartused võrrandisüsteemis (1.44) erinevad sisejõudude arvvaartustest mitu suurusjärku, mis võib põhjustada arvutusraskusi. Korrutame siirete võrrandid skaleerimisteguriga. Sellist teisendust nimetatakse võrrandisüsteemi skaleerimiseks (ingl scaling) [Lah12, lk 384]. Peame arvestama, et skaleeritud võrrandisüsteemiga leitavad siirded on i_o korda suuremad.

1.4 Koondmass pikkel

Vaatleme koondmassi pikkel (jn 1.3). Koondmassile mõjuvad pikijõud N , $N + \Delta N$ ja inertsjõud $m\omega^2 u$.



Joonis 1.3. Koondmass pikkel

Siin on m koondmass, ω – võnkumise nurksagedus, u – pikisiire, $\Delta N = N_L - N_A$, kus N_A ja N_L on pikijõud koondmassi vasakul ja paremal küljel. Joonisel 1.3 tähistavad u_A ja u_L pikisiirdeid.

Koostame koondmassi tasakaaluvõrrandi

$$\Delta N + m\omega^2 u = 0 \quad (1.48)$$

Teise märgikokkuleppe korral saame tasakaaluvõrrandiks

$$N_L + m\omega^2 u - N_A = 0 \quad (1.49)$$

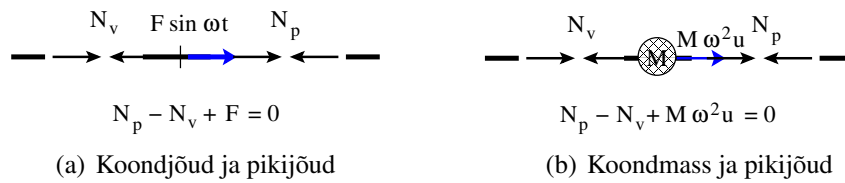
Lugedes pikisiirdeid võrdseks ja sidudes inertsjõu pikisiirdega u_L ([splfHRmassPike.m](#)), saame

$$\begin{bmatrix} 1 & 0 & -1 & 0 \\ 0 & -1 & \frac{1}{i_o} m\omega^2 & 1 \end{bmatrix} \begin{bmatrix} u_A \\ N_A \\ u_L \\ N_L \end{bmatrix} = 0 \quad (1.50)$$

Inertsjõu võime siduda ka pikisiirdega u_A (splfHLmassPike.m):

$$\begin{bmatrix} 1 & 0 & -1 & 0 \\ \frac{1}{i_\circ} m \omega^2 & -1 & 0 & 1 \end{bmatrix} \begin{bmatrix} u_A \\ N_A \\ u_L \\ N_L \end{bmatrix} = 0 \quad (1.51)$$

Koondmass tekitab pikijõu epüüris katkevuse $M\omega^2 u$ (jn 1.4).



Joonis 1.4. Pikijõud dünaamilisel koormusel

1.5 Varda omavõnkesagedused pikkel

Pikkusega ℓ ja pikkejäikusega EA varda omavõnkesageduse arvutamiseks koostame EST-meetodi võrrandisüsteemi

$$\text{spA} \cdot \mathbf{Z} = 0 \quad (1.52)$$

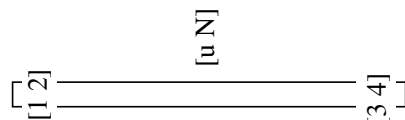
kus \mathbf{Z} on võrrandisüsteemi tundmatute vektor:

$$\mathbf{Z} = \hat{\mathbf{Z}} = \begin{bmatrix} \mathbf{Z}_a \\ \mathbf{Z}_b \end{bmatrix} \quad (1.53)$$

Vektori komponentideks on pikisiirded ja pikijõud varda ab alguses ning lõpus (1.21):

$$\mathbf{Z}_a = \begin{bmatrix} u_A^{(ab)} \\ N_A^{(ab)} \end{bmatrix} = \begin{bmatrix} Z(1) \\ Z(2) \end{bmatrix}, \quad \mathbf{Z}_b = \begin{bmatrix} u_L^{(ab)} \\ N_L^{(ab)} \end{bmatrix} = \begin{bmatrix} Z(3) \\ Z(4) \end{bmatrix} \quad (1.54)$$

Muutujate $Z(i)$ ($i = 1, 2, 3, 4$) järjenumbrid on toodud joonisel 1.5.



Joonis 1.5. Varda muutujate järjenumbrid pikkel

Võrrandisüsteemi (1.52) kaks esimest võrrandit on põhivõrrandid (1.44). Ülejäänud kaks võrrandit saame rajatingimustest.

Konsoolvarda rajatingimused:

$$\begin{aligned} Z(1) &= u_A^{(ab)} = 0 \\ Z(4) &= N_L^{(ab)} = 0 \end{aligned} \quad (1.55)$$

Kahel toel töötava varda rajatingimused:

$$\begin{aligned} Z(1) &= u_A^{(ab)} = 0 \\ Z(3) &= u_L^{(ab)} = 0 \end{aligned} \quad (1.56)$$

Konsoolvarda omavõnkesagedused (sks Eigenfrequenzen, ingl natural frequencies, вn частоты собственных колебаний) määrame võrrandisüsteemi (1.57) determinandi nullisuse tingimusest:

$$\begin{bmatrix} \cos \kappa \ell & -i_o \frac{1}{EA} \frac{1}{\kappa} \sin \kappa \ell & -1 & 0 \\ -\frac{1}{i_o} EA \kappa \sin \kappa \ell & -\cos \kappa \ell & 0 & -1 \\ 1 & 0 & 0 & 0 \\ 0 & 0 & 0 & 1 \end{bmatrix} \begin{bmatrix} Z(1) \\ Z(2) \\ Z(3) \\ Z(4) \end{bmatrix} = 0 \quad (1.57)$$

Arvutame võrrandisüsteemi determinandi $\det(A)$:

$$\begin{aligned} \det(A) &= 1 \cdot \begin{vmatrix} \cos \kappa \ell & -i_o \frac{1}{EA} \frac{1}{\kappa} \sin \kappa \ell & -1 \\ -\frac{1}{i_o} EA \kappa \sin \kappa \ell & -\cos \kappa \ell & 0 \\ 1 & 0 & 0 \end{vmatrix} = \\ &= 1 \cdot 1 \cdot \begin{vmatrix} -i_o \frac{1}{EA} \frac{1}{\kappa} \sin \kappa \ell & -1 \\ -\cos \kappa \ell & 0 \end{vmatrix} = -\cos \kappa \ell = 0 \end{aligned} \quad (1.58)$$

Koosinus $\kappa \ell$ (1.7) on null, kui

$$\lambda_n = \kappa \ell = \ell \omega \sqrt{\frac{\rho}{E}} = (2n - 1) \frac{\pi}{2}, \quad n = 1, 2, 3, \dots \quad (1.59)$$

Siin tähistab λ_n konsoolvarda sagedusvõrrandi ehk karakteristliku võrrandi (sks Frequenzgleichung, ingl frequency equation e characteristic equation e secular equation [Sob64, lk 334], вn уравнение частот) juuri, vrd [Yan05, lk 625].

Nüüd saame konsoolvarda omavõnkesagedused ω_n .

$$\omega_n = (2n - 1) \frac{\pi}{2\ell} \sqrt{\frac{E}{\rho}}, \quad n = 1, 2, 3, \dots \quad (1.60)$$

Kahel toel töötava varda omavõnkesageduste määramiseks koostame võrrandisüsteemi

$$\begin{bmatrix} \cos \kappa \ell & -i_{\circ} \frac{1}{EA} \frac{1}{\kappa} \sin \kappa \ell & -1 & 0 \\ -\frac{1}{i_{\circ}} EA \kappa \sin \kappa \ell & -\cos \kappa \ell & 0 & -1 \\ 1 & 0 & 0 & 0 \\ 0 & 0 & 1 & 0 \end{bmatrix} \begin{bmatrix} Z(1) \\ Z(2) \\ Z(3) \\ Z(4) \end{bmatrix} = 0 \quad (1.61)$$

Arvutame determinandi $\det(A)$:

$$\begin{aligned} \det(A) &= -1 \cdot \begin{vmatrix} \cos \kappa \ell & -i_{\circ} \frac{1}{EA} \frac{1}{\kappa} \sin \kappa \ell & 0 \\ -\frac{1}{i_{\circ}} EA \kappa \sin \kappa \ell & -\cos \kappa \ell & -1 \\ 1 & 0 & 0 \end{vmatrix} = \\ &= -1 \cdot 1 \cdot \begin{vmatrix} -i_{\circ} \frac{1}{EA} \frac{1}{\kappa} \sin \kappa \ell & 0 \\ -\cos \kappa \ell & -1 \end{vmatrix} = i_{\circ} \frac{1}{EA} \frac{1}{\kappa} \sin \kappa \ell = 0 \end{aligned} \quad (1.62)$$

Siinus $\kappa \ell$ (1.7) on null, kui

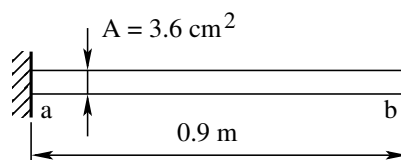
$$\lambda_n = \kappa \ell = \ell \omega \sqrt{\frac{\rho}{E}} = n\pi, \quad n = 1, 2, 3, \dots \quad (1.63)$$

Siin tähistab λ_n jäigalt kinnitatud varda sagedusvõrrandi juuri, vrd [Yan05, lk 625].

Nüüd saame jäigalt kinnitatud varda omavõnkesagedused ω_n .

$$\omega_n = (n-1) \frac{\pi}{\ell} \sqrt{\frac{E}{\rho}}, \quad n = 1, 2, 3, \dots \quad (1.64)$$

Näide 1.1 (konsoolvarda omavõnkumine). Leida joonisel 1.6 kujutatud konsoolvarda omavõnkesagedused ja -vormid (sks Eigenschwingungsformen¹¹ e Eigenformen, ingl natural modes, vn формы собственных колебаний).



Joonis 1.6. Konsoolvarras

¹¹<https://de.glosbe.com/de/de/Eigenschwingungsform> (03.04.2017)

Andmed. Varda pikkus $\ell = 0.9$ m, ristlõikepindala $A = 3.6$ cm², elastsusmoodul $E = 200$ GPa, materjali tihedus $\rho = 7.80 \times 10^3$ kg/m³.

Lahendus. Omavõnkesageduste arvutamiseks koostame EST-meetodi võrrandisüsteemi

$$\text{spA} \cdot \mathbf{Z} = 0 \quad (1.65)$$

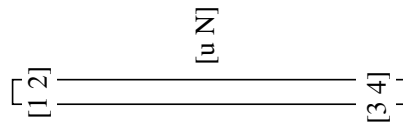
kus \mathbf{Z} on võrrandisüsteemi tundmatute vektor:

$$\mathbf{Z} = \widehat{\mathbf{Z}} = \begin{bmatrix} \mathbf{Z}_a \\ \mathbf{Z}_b \end{bmatrix} \quad (1.66)$$

Vektori $\widehat{\mathbf{Z}}$ elementideks on pikisiirded ja pikijõud varda ab alguses ning lõpus (1.21):

$$\mathbf{Z}_a = \begin{bmatrix} u_A^{(ab)} \\ N_A^{(ab)} \end{bmatrix} = \begin{bmatrix} Z(1) \\ Z(2) \end{bmatrix}, \quad \mathbf{Z}_b = \begin{bmatrix} u_L^{(ab)} \\ N_L^{(ab)} \end{bmatrix} = \begin{bmatrix} Z(3) \\ Z(4) \end{bmatrix} \quad (1.67)$$

Muutujate $Z(i)$ ($i = 1, 2, 3, 4$) järjenumbrid on toodud joonisel 1.7.



Joonis 1.7. Konsoolvarda muutujate järjenumbrid

Võrrandisüsteemi (1.65) kaks esimest võrrandit on põhivõrrandid (1.47). Ülejäänud kaks võrrandit saame rajatingimustest.

$$\begin{aligned} Z(1) &= u_A^{(ab)} = 0 \\ Z(4) &= N_L^{(ab)} = 0 \end{aligned} \quad (1.68)$$

GNU Octave'i programmiga **NaidePike1.m** leiame hõreda võrrandisüsteemi (1.65) determinandi nullid. Determinandi arvutuse leiab programmi väljavõttes 1.1.

Väljavõte programmist 1.1 (**NaidePike1.m**) %

```
# hõreda laiendatud ülekanndemaatriksi arvutus
spvF=splvfmPike(baasi0, l, A, wF, md, E);
IIv=1;
IJv=1;

# sisestab ülekanndemaatriksi võrrandisüsteemi spA*Z=0
spA=spInsertBtoA(spA, IIv, IJv, spvF);
##### Rajatingimused
spA=spSisestaArv(spA, 3, 1, 1); # $u_A$ - pikisiire
spA=spSisestaArv(spA, 4, 4, 1); # $T_L$ - $N_L$ - pikijõud

spA determinant
D(j)=det(spA);
```

Võrrandisüsteemi (1.65) determinandi märk muutub nurksageduse ω vahemikus, mida täpsustatakse kuni etteantud täpsuseni $eps0$ (vt arvutuspäeviku väljavõte 1.1).

Väljavõte arvutuspäevikust 1.1 (NaidePike1.m)

```
octave:1> NaidePike1
l = 0.90000
E = 2.1000e+11
md = 7800
A = 3.6000e-04
EA = 75600000
Mass = 2.8080
baasi0 = 75600000
samm = 15
lop = 89090

Arvutuse algus.
NNK = 4
----- Sparse matrix instantiation -----
      spA=sparse(NNK,NNK)

Lähme esimest determinandi nulli täpsustama.
wf_enne = 9056.1
wf_parast = 9056.1
Oota! Arvutan.
*****
Arvutus on lõppenud.
octave:2>
```

Varda (jn 1.6) esimesed kuus omavõnkesagedust on: $\omega_1 = 9056.06881 \text{ s}^{-1}$, $\omega_2 = 2.71682064 \times 10^4 \text{ s}^{-1}$, $\omega_3 = 4.52803440 \times 10^4 \text{ s}^{-1}$, $\omega_4 = 6.33924817 \times 10^4 \text{ s}^{-1}$, $\omega_5 = 8.15046193 \times 10^4 \text{ s}^{-1}$, $\omega_6 = 9.96167569 \times 10^4 \text{ s}^{-1}$.

Võtame kasutusele sagedusvõrrandi juurte ja omavõnkesageduste seose

$$\lambda_i = \omega_i \sqrt{\frac{\rho A}{EA}} \ell \quad (1.69)$$

Programmiga **NaidePike1.m** arvatud omavõnkesagedused ω_i teisendame sagedusvõrrandi juurteks λ_i : $\lambda_1 = 1.570796$, $\lambda_2 = 4.712389$, $\lambda_3 = 7.853982$, $\lambda_4 = 10.995574$, $\lambda_5 = 14.137167$, $\lambda_6 = 17.278760$.

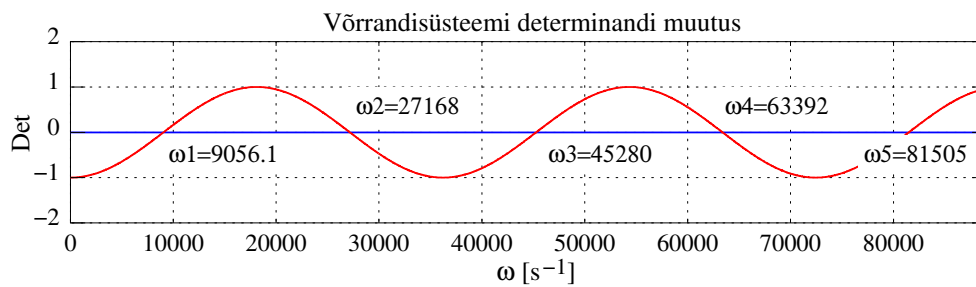
Konsoolvarda sagedusvõrrandi täpsed juured λ_n ja omavõnkesagedused ω_n arvutame valemitega (1.59) ja (1.60).

Tabelis 1.1 on toodud EST-meetodiga leitud konsoolvarda sagedusvõrrandi juured. Need ühtivad täpsete sagedusvõrrandi juurtega (vt (1.59)) ja spektraalelementide meetodi [Mal13, lk 40], [Bla05] abil leitudga.

Tabel 1.1. Konsoolvarda sagedusvõrrandi juured

Omavõnkesagedus	EST-meetod		Täpne sagedusvõrrandi juur (1.59)
	ω [s^{-1}]	λ	λ
1.	9056.06881	1.570796	1.570796
2.	27168.2064	4.712389	4.712389
3.	45280.3440	7.853982	7.853982
4.	63392.4817	10.995574	10.995574
5.	81504.6193	14.137167	14.137167
6.	99616.7569	17.278760	17.278760

Võrrandisüsteemi (1.65) determinandi sõltuvus nurksagedusest ω selgub jooniselt 1.8.



Joonis 1.8. Konsoolvarda omavõnkesagedused

Valime pikisiirde skaleerimisteguri võrdseks ristlõike pikkejäikusega (baasi0 = EA). Nüüd saame suuremad amplituudid, kuid omavõnkesagedused jäävad samaks.

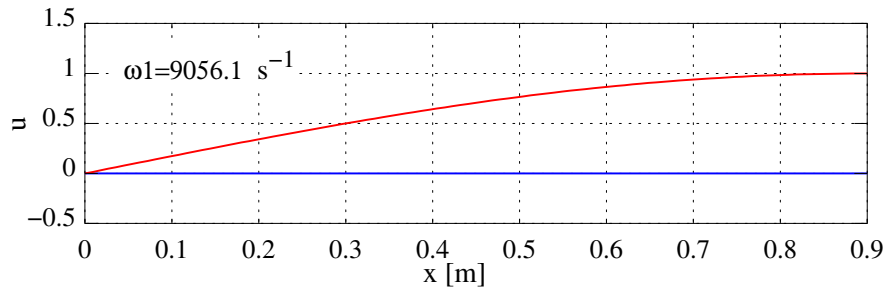
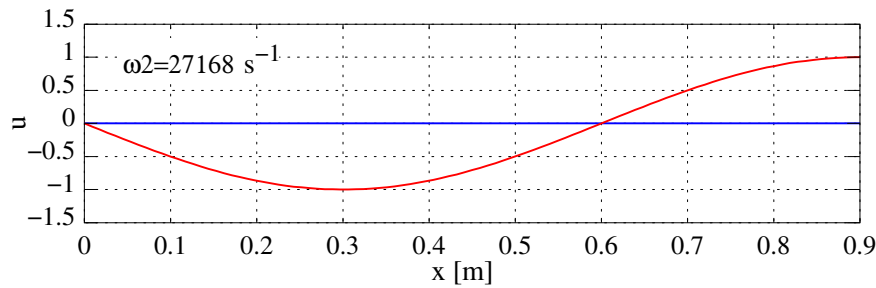
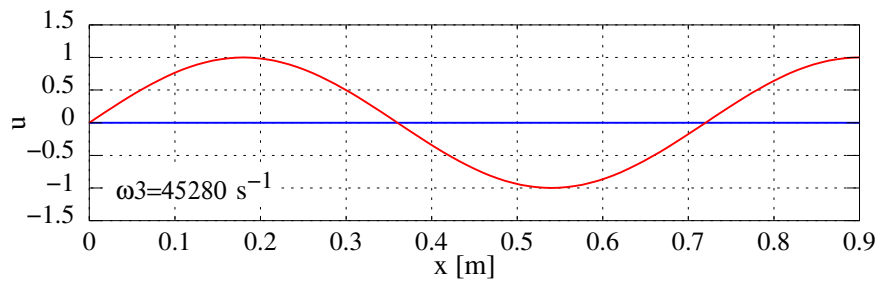
Omavõnkevormid sagedustel $\omega_1 = 9056.1 s^{-1}$, $\omega_2 = 2.7168 \times 10^4 s^{-1}$ ja $\omega_3 = 4.5280 \times 10^4 s^{-1}$ leiame vastavalt GNU Octave'i programmidega **NaidePike1w1.m**, **NaidePike1w2.m** ning **NaidePike1w3.m**. Nendes programmides viime kolmanda veeru paremale poolele ja võrdsustame ühega. Hõreda võrrandisüsteemi lahendamisel vähimruutude meetodiga saame lahendist valida algparameetrid (vt programmi väljavõtte 1.2).

Omavõnkevormid on toodud jooniselt 1.9.

Väljavõtte programmist 1.2 (NaidePike1.m)

```
# Hõreda laiendatud ülekandemaatriksi arvutus
spvF=splvfmPike(baasi0, l, A, wf, md, E);
IIv=1;
IJv=1;

# sisestab ülekandemaatriksi võrrandisüsteemi spA*Z=0
spA=spInsertBtoA(spA, IIv, IJv, spvF);
##### Rajatingimused
spA=spSisestaArv(spA, 3, 1, 1); # $u_A$ - pikisiire
spA=spSisestaArv(spA, 4, 4, 1); # $N_L$ - pikijõud
columns_to_remove = [3];
```

(a) Omavõnkevorm sagedusel $\omega_1 = 9.0561 \times 10^3 \text{ s}^{-1}$ (b) Omavõnkevorm sagedusel $\omega_2 = 2.7168 \times 10^4 \text{ s}^{-1}$ (c) Omavõnkevorm sagedusel $\omega_3 = 4.5280 \times 10^4 \text{ s}^{-1}$

Joonis 1.9. Konsoolvarda omavõnkevormid

```

Anull=full(spAnull);
B=Anull(:,columns_to_remove);
Anull(:,columns_to_remove)=[];
Cnull=Anull;
spCnull=sparse(Cnull)
B=-B
spCnullX=spCnull\B
Xvect = spCnullX;
SalgPar=Xvect(1:2,1) # Algparameetrid
xx=0;
Nmitmeks=100
xsammgr=1/Nmitmeks;
for ij=1:Nmitmeks+1
Xloikes(1,ij)=xx;

```



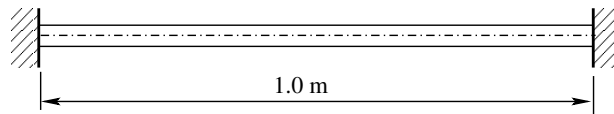
```

Xloikes (2, ij) = xx;

siirF = siiremVoll (baasi0, xx, d, wf, md, G);
siirded (1:2, ij) = siirF * SalgPar;
%siirdedXx = siirF * SalgParXx
%
xx = xx + xsammgr;
endfor

```

Näide 1.2 (jäikade tugegeda varda omavõnkesagedused). Leida joonisel 1.10 kujutatud jäikade tugegeda varda omavõnkesagedused ja -vormid.



Joonis 1.10. Jäikade tugegeda varras

Andmed. Varda pikkus $\ell = 1.0$ m, ristlõikepindala $A = 4.0$ cm², elastsusmoodul $E = 210$ GPa, materjali tihedus $\rho = 7.86 \times 10^3$ kg/m³ (cf. [CCD10, lk 41]).

Lahendus. Omavõnkesageduste arvutamiseks koostame EST-meetodi võrrandisüsteemi

$$\text{spA} \cdot \mathbf{Z} = 0 \quad (1.70)$$

kus \mathbf{Z} on võrrandisüsteemi tundmatute vektor:

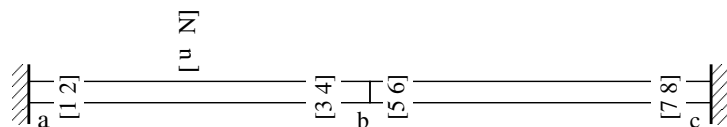
$$\mathbf{Z} = \begin{bmatrix} \mathbf{Z}_a^{(ab)} \\ \mathbf{Z}_b^{(ab)} \\ \mathbf{Z}_b^{(bc)} \\ \mathbf{Z}_c^{(bc)} \end{bmatrix} \quad (1.71)$$

Vektori komponentideks on pikisiirded ja pikijõud varda elementide ab ja bc (jn 1.11) alguses ning lõpus:

$$\mathbf{Z}_a^{(ab)} = \begin{bmatrix} u_A^{(ab)} \\ N_A^{(ab)} \end{bmatrix} = \begin{bmatrix} Z(1) \\ Z(2) \end{bmatrix}, \quad \mathbf{Z}_b^{(ab)} = \begin{bmatrix} u_L^{(ab)} \\ N_L^{(ab)} \end{bmatrix} = \begin{bmatrix} Z(3) \\ Z(4) \end{bmatrix} \quad (1.72)$$

$$\mathbf{Z}_b^{(bc)} = \begin{bmatrix} u_A^{(bc)} \\ N_A^{(bc)} \end{bmatrix} = \begin{bmatrix} Z(5) \\ Z(6) \end{bmatrix}, \quad \mathbf{Z}_c^{(bc)} = \begin{bmatrix} u_L^{(bc)} \\ N_L^{(bc)} \end{bmatrix} = \begin{bmatrix} Z(7) \\ Z(8) \end{bmatrix} \quad (1.73)$$

Muutujate $Z(i)$ ($i = 1, 2, \dots, 8$) järjenumbrid on toodud joonisel 1.11.



Joonis 1.11. Jäikade tugegeda varda muutujate järjenumbrid

Võrrandisüsteemi (1.70) neli esimest võrrandit on põhivõrrandid (1.47). Järgnevad sõlme b pidevus- ja tasakaaluvõrrand

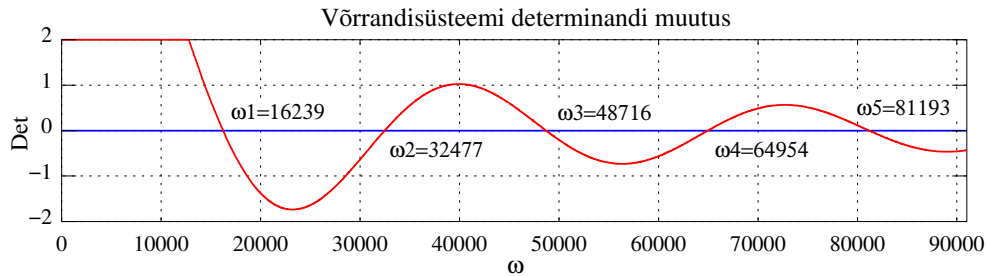
$$\begin{aligned} Z(3) - Z(5) &= u_L^{(ab)} - u_A^{(bc)} = 0 \\ Z(4) + Z(6) &= N_L^{(ab)} + N_A^{(bc)} = 0 \end{aligned} \quad (1.74)$$

Ülejäänud kaks võrrandit saame rajatingimustest.

$$\begin{aligned} Z(1) &= u_A^{(ab)} = 0 \\ Z(7) &= u_L^{(bc)} = 0 \end{aligned} \quad (1.75)$$

GNU Octave'i programmiga **NaidePike2.m** leiame hõreda võrrandisüsteemi (1.70) determinandi nullid. Varda (jn 1.10) esimesed kuus omavõnkesagedust on $\omega_1 = 1.62386 \times 10^4 \text{ s}^{-1}$, $\omega_2 = 3.24772 \times 10^4 \text{ s}^{-1}$, $\omega_3 = 4.87158 \times 10^4 \text{ s}^{-1}$, $\omega_4 = 6.49543 \times 10^4 \text{ s}^{-1}$, $\omega_5 = 8.11929 \times 10^4 \text{ s}^{-1}$, $\omega_6 = 9.74315 \times 10^4 \text{ s}^{-1}$.

Võrrandisüsteemi (1.70) determinandi sõltuvus nurksagedusest ω on toodud joonisel 1.12.



Joonis 1.12. Jäikade tugedegaga varda omavõnkesagedused

Võtame kasutusele sagedusvõrrandi juurte ja omavõnkesageduste seose

$$\lambda_i = \omega_i \sqrt{\frac{\rho A}{EA}} \ell \quad (1.76)$$

Programmiga **NaidePike2.m** leitud omavõnkesagedused ω_i teisendame sagedusvõrrandi juurteks λ_i : $\lambda_1 = 3.141593$, $\lambda_2 = 6.283185$, $\lambda_3 = 9.424778$, $\lambda_4 = 12.566371$, $\lambda_5 = 15.707963$, $\lambda_6 = 18.849556$.

Jäikade tugedegaga varda sagedusvõrrandi täpsed juured λ_n ja omavõnkesagedused ω_n arvutame valemitega (1.63) ja (1.64).

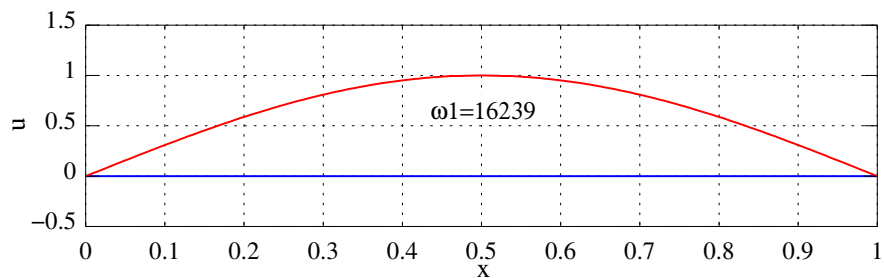
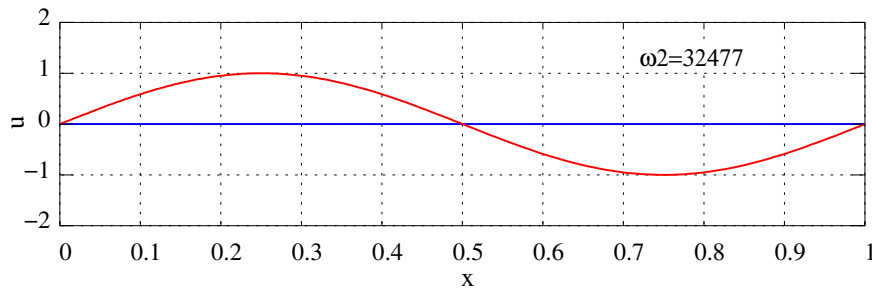
Tabelis 1.2 on toodud EST-meetodiga leitud jäikade tugedegaga varda sagedusvõrrandi juured. Need ühtivad täpsete sagedusvõrrandi juurtega (vt (1.63)) ja spektraalelementide meetodi [Mal13, lk 41] abil leitudutega.

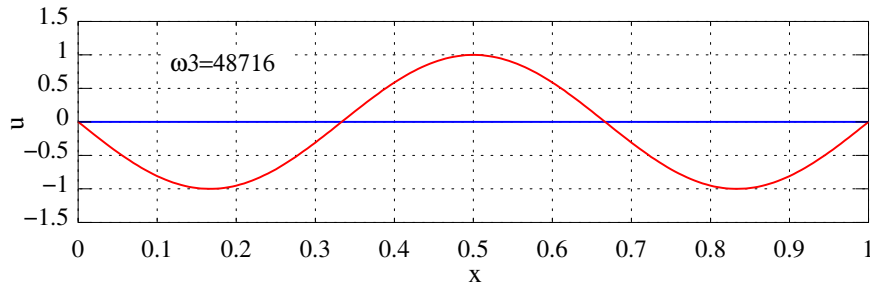
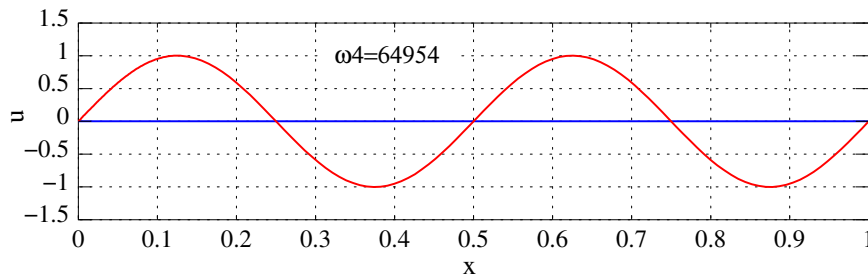
Tabel 1.2. Jäikade tugelega varda sagedusvõrrandi juured

Omavõnkesagedus	EST-meetod		Täpne sagedusvõrrandi juur (1.63)
	ω [s^{-1}]	λ	λ
1.	16238.5874	3.141593	3.141593
2.	32477.1748	6.283185	6.283185
3.	48715.7622	9.424778	9.424778
4.	64954.3496	12.566371	12.566371
5.	81192.9370	15.707963	15.707963
6.	97431.5244	18.849556	18.849556

Omavõnkevormid sagedustel $\omega_1 = 1.62386 \times 10^4 s^{-1}$, $\omega_2 = 3.24772 \times 10^4 s^{-1}$, $\omega_3 = 4.87158 \times 10^4 s^{-1}$, $\omega_4 = 6.49543 \times 10^4 s^{-1}$ leiame vastavalt GNU Octave'i programmidega [NaidePike2w1.m](#), [NaidePike2w2.m](#), [NaidePike2w3.m](#) ja [NaidePike2w4.m](#).

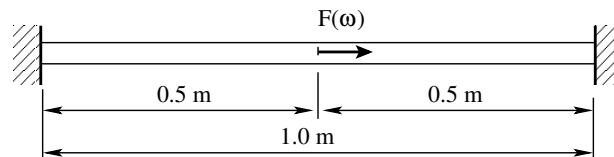
Omavõnkevormid leiab jooniselt 1.13.

(a) Omavõnkevorm sagedusel $\omega_1 = 1.62386 \times 10^4 s^{-1}$ (b) Omavõnkevorm sagedusel $\omega_2 = 3.24772 \times 10^4 s^{-1}$

(c) Omavõnkevorm sagedusel $\omega_3 = 4.87158 \times 10^4 \text{ s}^{-1}$ (d) Omavõnkevorm sagedusel $\omega_4 = 6.49543 \times 10^4 \text{ s}^{-1}$

Joonis 1.13. Jäikade tugegeda varda omavõnkevormid

Näide 1.3 (jäikade tugegeda varda sundvõnkumine). Leida joonisel 1.14 kujutatud jäikade tugegeda varda omavõnkesagedused. Koostada siirde ja pikijõu epüürid sundivast jõust, mille amplituud $F_b = 100 \text{ N}$ ja sagedus $\omega_b = 9743.2 \text{ s}^{-1}$, mis on 60% näites 1.2 leitud esimesest omavõnkesagedusest $\omega_1 = 16238.5874 \text{ s}^{-1}$.



Joonis 1.14. Jäikade tugegeda varda sundvõnkumine

Andmed. Varda pikkus $\ell = 1.0 \text{ m}$, ristlõikepindala $A = 4.0 \text{ cm}^2$, elastsusmoodul $E = 210 \text{ GPa}$, materjali tihedus $\rho = 7.86 \times 10^3 \text{ kg/m}^3$ (cf. [CCD10, lk 41]).

Lahendus. Omavõnkesageduste arutamiseks koostame EST-meetodi võrrandisüsteemi

$$\mathbf{spA} \cdot \mathbf{Z} = 0 \quad (1.77)$$

kus \mathbf{Z} on võrrandisüsteemi tundmatute vektor:

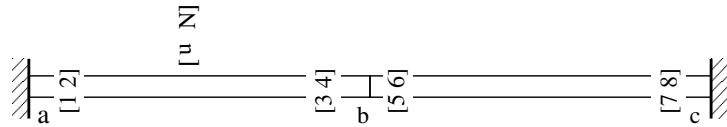
$$\mathbf{Z} = \begin{bmatrix} \mathbf{Z}_a^{(ab)} \\ \mathbf{Z}_b^{(ab)} \\ \mathbf{Z}_b^{(bc)} \\ \mathbf{Z}_c^{(bc)} \end{bmatrix} \quad (1.78)$$

Vektori komponentideks on pikisiirded ja pikijõud varda elementide ab ja bc (jn 1.15) alguses ning lõpus:

$$\mathbf{Z}_a^{(ab)} = \begin{bmatrix} u_A^{(ab)} \\ N_A^{(ab)} \end{bmatrix} = \begin{bmatrix} Z(1) \\ Z(2) \end{bmatrix}, \quad \mathbf{Z}_b^{(ab)} = \begin{bmatrix} u_L^{(ab)} \\ N_L^{(ab)} \end{bmatrix} = \begin{bmatrix} Z(3) \\ Z(4) \end{bmatrix} \quad (1.79)$$

$$\mathbf{Z}_b^{(bc)} = \begin{bmatrix} u_A^{(bc)} \\ N_A^{(bc)} \end{bmatrix} = \begin{bmatrix} Z(5) \\ Z(6) \end{bmatrix}, \quad \mathbf{Z}_c^{(bc)} = \begin{bmatrix} u_L^{(bc)} \\ N_L^{(bc)} \end{bmatrix} = \begin{bmatrix} Z(7) \\ Z(8) \end{bmatrix} \quad (1.80)$$

Muutujate $Z(i)$ ($i = 1, 2, \dots, 8$) järjenumbrid on toodud joonisel 1.15.



Joonis 1.15. Jäikade tugelega varda muutujate järjenumbrid

Võrrandisüsteemi (1.77) neli esimest võrrandit on põhivõrrandid (1.47). Järgnevad sõlme b pidevus- ja tasakaaluvõrrand

$$\begin{aligned} Z(3) - Z(5) &= u_L^{(ab)} - u_A^{(bc)} = 0 \\ Z(4) + Z(6) &= N_L^{(ab)} + N_A^{(bc)} = 0 \end{aligned} \quad (1.81)$$

Ülejäänud kaks võrrandit saame rajatingimustest.

$$\begin{aligned} Z(1) &= u_A^{(ab)} = 0 \\ Z(7) &= u_L^{(bc)} = 0 \end{aligned} \quad (1.82)$$

GNU Octave'i programmiga **NaidePike2Fx.m** arvutame siirde u_d ja pikijõu N_d sundivast jõust sagedusel $\omega_b = 9.7432 \times 10^3 \text{ s}^{-1}$. Dünaamikateguri k_d leidmiseks arvutame ka siirde u_{st} ja pikijõu N_{st} sundiva jõu amplituudi F_b staatilisel rakendamisel. Arvutused teeme GNU Octave'i programmiga **NaidePike2FxAstaat.m** (kasutab funktsioone **splvfmPikeStaat.m** ja **siiremPikeStaat.m**). Leitud siirde ja pikijõu väärtused tala koormamisel sundiva jõuga (amplituud F_b) on esitatud arvutuspäeviku väljavõtetes 1.2 ja 1.3.

Väljavõtte arvutuspäevikust 1.2 (**NaidePike2Fx.m**)

```
1. element
l1 = 0.50000
Nmitmeks = 4
```

x =	0.000	0.125	0.250	0.375	0.500
u -	0.000e+00	1.254e-07	2.439e-07	3.489e-07	4.346e-07
N -	8.507e+01	8.272e+01	7.579e+01	6.468e+01	5.000e+01

2. element
 l2 = 0.50000
 Nmitmeks = 4

x =	0.000	0.125	0.250	0.375	0.500
u -	4.346e-07	3.489e-07	2.439e-07	1.254e-07	0.000e+00
N -	-5.000e+01	-6.468e+01	-7.579e+01	-8.272e+01	-8.507e+01

Väljavõte arvutuspäevikust 1.3 (NaidePike2FxStaat.m)

1. element
 l1 = 0.50000
 Nmitmeks = 4

x =	0.000	0.125	0.250	0.375	0.500
u -	0.000e+00	7.440e-08	1.488e-07	2.232e-07	2.976e-07
N -	5.000e+01	5.000e+01	5.000e+01	5.000e+01	5.000e+01

2. element
 l2 = 0.50000
 Nmitmeks = 4

x =	0.000	0.125	0.250	0.375	0.500
u -	2.976e-07	2.232e-07	1.488e-07	7.440e-08	-5.294e-23
N -	-5.000e+01	-5.000e+01	-5.000e+01	-5.000e+01	-5.000e+01

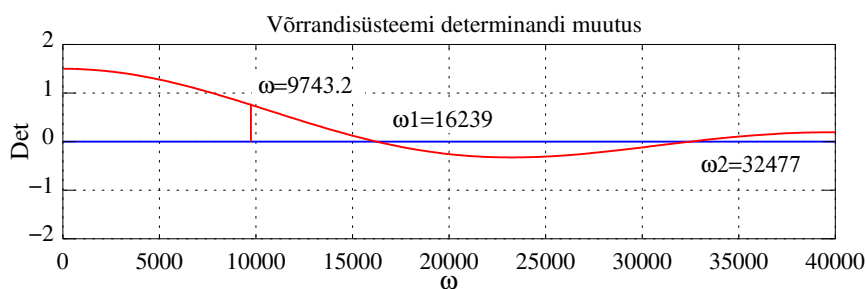
Pikisiirde ja pikijõu dünaamikategurid k_d^s ning k_d^N sagedusel $\omega_b = 9.7432 \times 10^3 \text{ s}^{-1}$ on erinevad:

$$k_d^s = \frac{u_d^b}{u_{st}^b} = \frac{4.346 \times 10^{-7}}{2.976 \times 10^{-7}} = 1.4603 \quad (1.83)$$

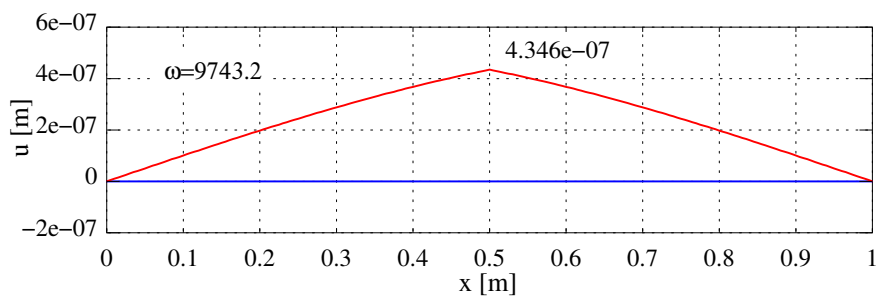
$$k_d^N = \frac{N_d^a}{N_{st}^a} = \frac{85.07}{50.0} = 1.7014 \quad (1.84)$$

Võrdsed on nad ainult ühe vabadusastmega süsteemi korral.

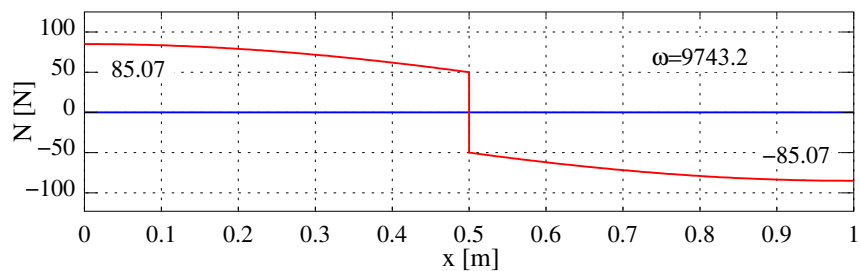
Joonisel 1.16 on jäikade tugelega varda pikisiirde ja pikijõu epüürid sundiva jõu sagedusel $\omega = 9.7432 \times 10^3 \text{ s}^{-1}$.



(a) Võnkesagedus $\omega = 9.7432 \times 10^3 \text{ s}^{-1}$



(b) Pikisiire



(c) Pikijõud

Joonis 1.16. Sundiv jõud amplituudiga 100 N jäikade tugegeda vardal

2. Varda vääne

2.1 Väände ülekandemaatriks

Vaatleme võlli (jn 2.1) elementaarlõiku väändel. Võlli elementaarlõigu otstes mõjuvad väändemomendid T ja $T + dT$. Väändenurga θ juurdekasv on $d\theta$. Elementaarlõigu inertsjõud on $\mu i_p^2 \omega^2 \theta dx$. Siin on i_p inertsiraadius (polaarinertsiraadius) x -telje suhtes, μ – mass ühikpikkuse kohta, ω – võnkumise nurksagedus, θ – väändenurk.

Vaadeldavate jõudude mõjul on võlli elementaarlõik tasakaalus:

$$\frac{dT}{dx} + i_p^2 \mu \omega^2 \theta = 0 \quad (2.1)$$

Suhtelise väändenurga $d\theta/dx$ ja väändemomendi T jaoks kehtib seos

$$\frac{d\theta}{dx} = \frac{T}{GI_p} \quad (2.2)$$

kus GI_p on väändejäikus, G – nihkeelastsusmoodul ehk nihkemoodul ehk Coulomb'i¹ moodul, I_p – polaarinerstisimoment.

Asendades avaldises (2.1) väändemomendi T suhtelise väändenurgaga θ' , saame teist järku diferentsiaalvõrrandi

$$\frac{d^2\theta}{dx^2} + \frac{i_p^2 \mu \omega^2}{GI_p} \theta = 0 \quad (2.3)$$

ehk

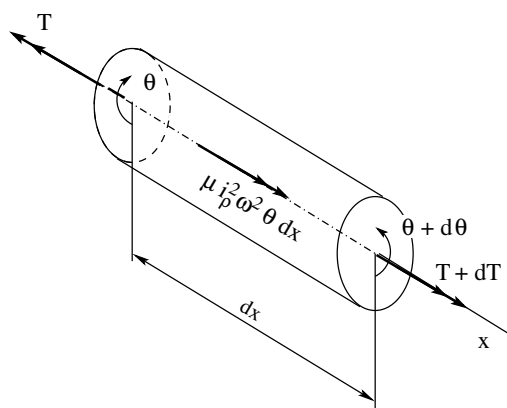
$$\theta'' + \kappa^2 \theta = 0 \quad (2.4)$$

kus

$$\kappa^2 = \frac{i_p^2 \mu \omega^2}{GI_p} = \frac{\rho \omega^2}{G} \quad (2.5)$$

Siin tähistab ρ materjali tihedust.

¹Charles Augustin de Coulomb (1736–1806), prantsuse füüsik ja insener.



Joonis 2.1. Võlli elementaarlõik väändel

Diferentsiaalvõrrandi (2.4) normeerimata lahendite süsteemi otsime kujul

$$\theta_1^* = \cos \kappa x, \quad \theta_2^* = \sin \kappa x \quad (2.6)$$

kus κ on diferentsiaalvõrrandi karakteristliku võrrandi lahend ehk väändekarakteristik.

$$\kappa = i_\rho \omega \sqrt{\frac{\mu}{GI_p}} = \omega \sqrt{\frac{\rho}{G}} \quad (2.7)$$

Võlli vääned iseloomustava karakteristikuna on kasutatud ka võlli *tunnusarvu väändel* ϵ_o [PL63].

$$\epsilon_o = \ell i_\rho \omega \sqrt{\frac{\mu}{GI_p}} = \ell \kappa \quad (2.8)$$

kus ℓ on võlli pikkus.

Lahendite süsteemi (2.6) normeerimiseks kirjutame välja Wronski determinandi

$$W(x) = \begin{vmatrix} \cos \kappa x & \sin \kappa x \\ -\kappa \sin \kappa x & \kappa \cos \kappa x \end{vmatrix} \quad (2.9)$$

Wronski determinandi W väärtus kohal $x = 0$:

$$W(0) = \begin{vmatrix} 1 & 0 \\ 0 & \kappa \end{vmatrix} \quad (2.10)$$

Selleks et determinandi (2.10) väärtus oleks üks, jagame teise veeru κ -ga. Tulemuseks on ühikmaatriks

$$W(0) = \begin{vmatrix} 1 & 0 \\ 0 & 1 \end{vmatrix} \quad (2.11)$$

Teeme sama teisenduse normeerimata lahendite süsteemis (2.6). Saame

$$\theta_1 = \cos \kappa x, \quad \theta_2 = \frac{1}{\kappa} \sin \kappa x \quad (2.12)$$

Võlli sisejõudude leidmisel kasutatakse rajajõudude (kontaktjõudude) määramiseks kaht erinevat märgikokkulepet (jn A.2). Esimese märgikokkuleppe puhul

$$\theta(x=0) = \theta_0, \quad \theta'_0 = \frac{T(x=0)}{GI_p} = \frac{T_o}{GI_p} \quad (2.13)$$

ja teise märgikokkuleppe korral

$$\theta(x=0) = \theta_0, \quad \theta'_0 = -\frac{T(x=0)}{GI_p} = -\frac{T_o}{GI_p} \quad (2.14)$$

Homogeense diferentsiaalvõrrandi üldlahend esimese märgikokkuleppe puhul on

$$\theta_x = \theta_0 \cos \kappa x + \frac{T_0}{GI_p} \frac{1}{\kappa} \sin \kappa x \quad (2.15)$$

ning teise märgikokkuleppe kohaselt

$$\theta_x = \theta_0 \cos \kappa x - T_0 \frac{1}{GI_p} \frac{1}{\kappa} \sin \kappa x \quad (2.16)$$

Nüüd on väändenurga tuletis koordinaadi x järgi

$$\theta'_x = -\theta_0 \kappa \sin \kappa x - T_0 \frac{1}{GI_p} \cos \kappa x \quad (2.17)$$

mille korrutamisel väändejäikusega GI_p saame väändemomendi

$$T_x = -\theta_0 GI_p \kappa \sin \kappa x - T_0 \cos \kappa x \quad (2.18)$$

Teise märgikokkuleppe korral on võlli (jn 2.2) ülekandevõrrand

$$\mathbf{Z}_L(\mathbf{x}) = \mathbf{U} \cdot \mathbf{Z}_A + \mathring{\mathbf{Z}} \quad (2.19)$$

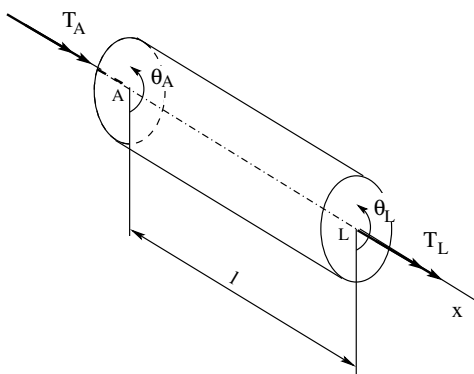
kus \mathbf{Z}_L , \mathbf{Z}_A on väändenurgad ja -momendid võlli lõpus ja alguses

$$\mathbf{Z}_L = \begin{bmatrix} \theta_L \\ T_L \end{bmatrix}, \quad \mathbf{Z}_A = \begin{bmatrix} \theta_A \\ T_A \end{bmatrix} \quad (2.20)$$

ülekanemaatriks väändel \mathbf{U} avaldub (vt GNU Octave'i programm [siiremVoll.m](#))

$$\mathbf{U} = \begin{bmatrix} \cos \kappa x & -\frac{1}{GI_p} \frac{1}{\kappa} \sin \kappa x \\ -GI_p \kappa \sin \kappa x & -\cos \kappa x \end{bmatrix} \quad (2.21)$$

ning $\mathring{\mathbf{Z}}$ on koormusvektor.



Joonis 2.2. Võlli element väändel

2.2 Koormusvektor väändel

Vaatleme võlli liikumisvõrrandit [Yan05, lk 620]

$$GI_p \frac{\partial^2 \theta}{\partial x^2} = p_x(x, t) + \rho I_p \frac{\partial^2 \theta}{\partial t^2} \quad (2.22)$$

Juhul kui $p_x(x, t) = m_x(x) \sin \phi t$, saame siit

$$GI_p \frac{\partial^2 \theta}{\partial x^2} - \rho I_p \frac{\partial^2 \theta}{\partial t^2} = m_x(x) \sin \phi t \quad (2.23)$$

Otsime sundvõnkumise kuju kahe funktsiooni korrutisena [SALŠ84, lk 196]:

$$\theta(x, t) = f(x) \sin \phi t \quad (2.24)$$

kus esimene tegur sõltub ainult koordinaadist x ja teine ainult ajast t .

Asetame saadud avaldise diferentsiaalvõrrandisse (2.23). Mittehomogeense diferentsiaalvõrrandi vabaliikmele lisame lausmomendiga *ekvivalentse üldistatud koormuse* [YSM00].

$$GI_p f''(x) + \rho I_p \theta^2 f(x) = m_x(x) + \mathfrak{M}_x(x) \delta(x - x_o) \quad (2.25)$$

ehk

$$f''(x) + \kappa^2 f(x) = \frac{m_x(x)}{GI_p} + \frac{\mathfrak{M}_x(x) \delta(x - x_o)}{GI_p} \quad (2.26)$$

kus

$\mathfrak{M}_x(x) \delta(x - x_o)$ on lausmomendiga $m_x(x)$ ekvivalentne koondmoment;

$$\kappa^2 = \frac{i_p^2 \mu \omega^2}{GI_p} = \frac{\rho \omega^2}{G}; \quad (2.27)$$

$\delta(x - x_o)$ on Dirac'i deltafunktsioon.

Diferentsiaalvõrrandi (2.26) lahend $f(x)$ koosneb homogeensest lahendist $f_h(x)$ ja erilahendist $f_e(x)$, seega $f(x) = f_h(x) + f_e(x)$.

Homogeense diferentsiaalvõrrandi lahend teise märgikokkuleppe puhul $f_h(x) = \theta_h(x)$ on toodud avaldisega (2.16).

Mittehomogeense diferentsiaalvõrrandi (2.26) erilahendit $f_e(x)$ otsime Cauchy valemi abil [Ste59]:

$$f_e(x) = \int_{x_o}^x G_n(x, \xi) g_n(\xi) d\xi \quad (2.28)$$

kus $G_n(x, \xi)$ on vastava homogeense diferentsiaalvõrrandi normeeritud lahend. Täpsemalt,

$$f_e(x) = \int_{x_o}^x G_2(x, \xi) g_2(\xi) d\xi + \int_{x_o}^x G_1(x, \xi) g_1(\xi) d\xi \quad (2.29)$$

Siin kasutame normeeritud lahendite fundamentaalsüsteemi (2.12)

$$G_2(x, \xi) = f_2(x - \xi) = \frac{1}{\kappa} \sin \kappa(x - \xi) \quad (2.30)$$

$$G_1(x, \xi) = f_1(x - \xi) = \cos \kappa(x - \xi) \quad (2.31)$$

ja koormusfunktsioone $g_n(\xi)$:

$$g_2(\xi) = \frac{m_x(\xi)}{GI_p}, \quad g_1(\xi) = \frac{\mathfrak{M}_x(\xi)}{GI_p} \quad (2.32)$$

Vaatleme juhtu, kui $m_x/GI_p = const$. Erilahendi (2.29) saamiseks tuleb integreerida avaldis

$$f_{2e}(x) = \int_{x_0}^x G_2(x, t) g_2(t) d\xi = \frac{m_x}{GI_p} \frac{1}{\kappa} \int_{x_0}^x \sin \kappa(x - \xi) d\xi \quad (2.33)$$

Siit integreerime

$$\int_a^x \sin \kappa(x - \xi) d\xi = \frac{1}{\kappa} \cos \kappa(x - \xi) \Big|_a^x = \frac{1}{\kappa} - \frac{1}{\kappa} \cos \kappa \langle x - a \rangle_+ \quad (2.34)$$

kus $\langle x - a \rangle_+$ on katkevusfunktsioon.

$$\langle x - a \rangle_+^n = (x - a)^n H(x - a) \quad (2.35)$$

Siin on $H(x - a)$ Heaviside'i funktsioon.

$$H(x - a) = \begin{cases} 0, & \text{kui } (x - a) < 0 \\ 1, & \text{kui } (x - a) \geq 0 \end{cases} \quad (2.36)$$

Asetame leitud integraali erilahendisse (2.33):

$$f_{2e}(x) = \frac{m_x}{GI_p} \frac{1}{\kappa^2} [1 - \cos \kappa \langle x - a \rangle_+] = \frac{m_x}{GI_p} \frac{\ell^2}{\lambda^2} \left[1 - \cos \frac{\lambda}{\ell} \langle x - a \rangle_+ \right] \quad (2.37)$$

kus on võetud arvesse, et $\lambda = \kappa \ell$.

Mittehomogeense diferentsiaalvõrrandi (2.26) teisele vabaliikmele ($\mathfrak{M}_x/GI_p = const$) vastava erilahendi saame avaldist (2.29) integreerides:

$$f_{1e}(x) = \int_{x_0}^x G_1(x, \xi) g_1(t) d\xi = \frac{\mathfrak{M}_x}{GI_p} \int_{x_0}^x \cos \kappa(x - \xi) d\xi \quad (2.38)$$

Nüüd integreerime

$$\int_a^x \cos \kappa(x - \xi) d\xi = -\frac{1}{\kappa} \sin \kappa(x - \xi) \Big|_a^x = \frac{1}{\kappa} \sin \kappa \langle x - a \rangle_+ \quad (2.39)$$

Asetame leitud integraali erilahendisse (2.38):

$$f_{1e}(x) = \frac{\mathfrak{M}_x}{GI_p \kappa} \frac{1}{\kappa} [\sin \kappa \langle x - a \rangle_+] = \frac{\mathfrak{M}_x \ell}{GI_p \lambda} [\sin \kappa \langle x - a \rangle_+] \quad (2.40)$$

Erilahenditest (2.37) ja (2.40) koostame koormusvektori $\mathring{\mathbf{Z}}$ (2.19): $\mathring{\mathbf{Z}} = \mathring{\mathbf{Z}}_{\mathbf{m}} + \mathring{\mathbf{Z}}_{\mathfrak{M}}$.

$$\mathring{\mathbf{Z}}_{\mathbf{m}} = \begin{bmatrix} \mathring{\theta}_e \\ \mathring{T}_e \end{bmatrix} = \begin{bmatrix} f_{2e} \\ GI_p f'_{2e} \end{bmatrix} = \begin{bmatrix} \frac{m_x}{GI_p \kappa^2} \frac{1}{\kappa} [1 - \cos \kappa \langle x - a \rangle_+] \\ m_x \frac{1}{\kappa} [\sin \kappa \langle x - a \rangle_+] \end{bmatrix} \quad (2.41)$$

$$\mathring{\mathbf{Z}}_{\mathfrak{M}} = \begin{bmatrix} \mathring{\theta}_e \\ \mathring{T}_e \end{bmatrix} = \begin{bmatrix} f_{1e} \\ GI_p f'_{1e} \end{bmatrix} = \begin{bmatrix} \frac{\mathfrak{M}_x}{GI_p \kappa} \frac{1}{\kappa} [\sin \kappa \langle x - a \rangle_+] \\ \mathfrak{M}_x [\cos \kappa \langle x - a \rangle_+] \end{bmatrix} \quad (2.42)$$

2.3 Põhivõrrandid võlli väändel

Väände põhivõrrandid teise märgikokkuleppe puhul (2.19) saab kirjutada võrrandisüsteemina

$$\mathbf{U} \cdot \mathbf{Z}_A - \mathbf{I}_{2 \times 2} \cdot \mathbf{Z}_L = -\mathring{\mathbf{Z}} \quad (2.43)$$

Lühemalt,

$$\widehat{\mathbf{U}} \mathbf{I}_{2 \times 4} \cdot \widehat{\mathbf{Z}} = -\mathring{\mathbf{Z}} \quad (2.44)$$

kus

$$\widehat{\mathbf{Z}} = \begin{bmatrix} \mathbf{Z}_A \\ \mathbf{Z}_L \end{bmatrix} \quad (2.45)$$

ning $\widehat{\mathbf{U}} \mathbf{I}_{2 \times 4}$ on laiendatud ülekandemaatriks ($U_{2 \times 2} \mid -I_{2 \times 2}$) (`splvfmVoll.m`):

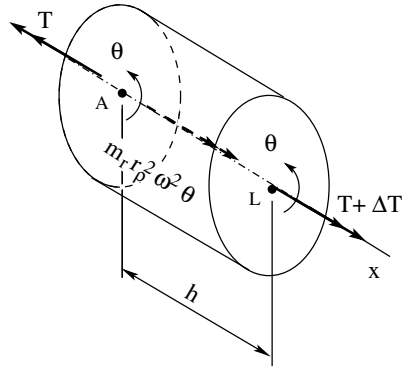
$$\widehat{\mathbf{U}} \mathbf{I}_{2 \times 4} = \left[\begin{array}{cc|cc} \cos \kappa \ell & -i_o \frac{1}{GI_p} \frac{1}{\kappa} \sin \kappa \ell & -1 & 0 \\ -\frac{1}{i_o} GI_p \kappa \sin \kappa \ell & -\cos \kappa \ell & 0 & -1 \end{array} \right] \quad (2.46)$$

Siin on ℓ võlli elemendi pikkus, i_o – väändenurga θ skaleerimistegur (võrrandisüsteemiga (2.44) leitavad väändenurgad on i_o korda suuremad).

Võlli ülekandevõrranditele (2.44) lisame rajatingimused.

2.4 Pöörlev hooratas

Vaatleme hooratast joonisel 2.3. Hoorattele mõjuvad vändemomendid T , $T + \Delta T$ ja inertsjõud $(m_r r_\rho^2) \omega^2 \theta$.



Joonis 2.3. Pöörlev hooratas

Siin on m_r hooratta mass, r_ρ – hooratta inertsiraadius x-telje suhtes, ω – võnkumise nurksagedus, θ – vändenurk, $\Delta T = T_L - T_A$, kus T_A ja T_L on vändemomendid hooratta vasakul ja paremal küljel. Joonisel 2.3 on θ_A ja θ_L vändenurgad.

Koostame hooratta tasakaaluvõrrandi

$$\Delta T + (m_r r_\rho^2) \omega^2 \theta = 0 \quad (2.47)$$

Teise märgikokkuleppe korral saame tasakaaluvõrrandiks

$$T_L + (m_r r_\rho^2) \omega^2 \theta - T_A = 0 \quad (2.48)$$

Võtame vändenurgad võrdseks ja seome inertsimomendi vändenurgaga θ_L ([splfHRratas.m](#)):

$$\begin{bmatrix} 1 & 0 & -1 & 0 \\ 0 & -1 & \frac{1}{i_o} (m_r r_\rho^2) \omega^2 & 1 \end{bmatrix} \begin{bmatrix} \theta_A \\ T_A \\ \theta_L \\ T_L \end{bmatrix} = 0 \quad (2.49)$$

Inertsimomendi võib siduda ka vändenurgaga θ_A ([splfHLratas.m](#)):

$$\begin{bmatrix} 1 & 0 & -1 & 0 \\ \frac{1}{i_o} (m_r r_\rho^2) \omega^2 & -1 & 0 & 1 \end{bmatrix} \begin{bmatrix} \theta_A \\ T_A \\ \theta_L \\ T_L \end{bmatrix} = 0 \quad (2.50)$$

2.5 Võlli omavõnkesagedused

Omavõnkesageduste arvutamiseks võllile pikkusega ℓ ja väändejäikusega GI_p koostame EST-meetodi võrrandisüsteemi

$$\text{spA} \cdot \mathbf{Z} = 0 \quad (2.51)$$

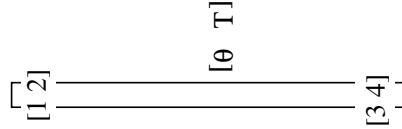
kus \mathbf{Z} on võrrandisüsteemi tundmatute vektor.

$$\mathbf{Z} = \hat{\mathbf{Z}} = \begin{bmatrix} \mathbf{Z}_A \\ \mathbf{Z}_L \end{bmatrix} \quad (2.52)$$

Vektori komponentideks on väändenurgad ja -momendid völli alguses ja lõpus (2.20):

$$\mathbf{Z}_A = \begin{bmatrix} \theta_A \\ T_A \end{bmatrix} = \begin{bmatrix} Z(1) \\ Z(2) \end{bmatrix}, \quad \mathbf{Z}_L = \begin{bmatrix} \theta_L \\ T_L \end{bmatrix} = \begin{bmatrix} Z(3) \\ Z(4) \end{bmatrix} \quad (2.53)$$

Muutujate $Z(i)$ ($i = 1, 2, 3, 4$) järjenumbriid on toodud joonisel 2.4.



Joonis 2.4. Völli muutujate järjenumbriid

Vörrandisüsteemi (2.51) kaks esimest vörrandit on pöhvörrandid (2.43). Ülejäänud kaks vörrandit saame rajatingimustest.

Konsoolvölli rajatingimused:

$$\begin{aligned} Z(1) &= \theta_A = 0 \\ Z(4) &= T_L = 0 \end{aligned} \quad (2.54)$$

Kahel toel töötava völli rajatingimused:

$$\begin{aligned} Z(1) &= \theta_A = 0 \\ Z(3) &= \theta_L = 0 \end{aligned} \quad (2.55)$$

Konsoolvölli omavönkesagedused määrame vörrandisüsteemi determinandi nullisuse tingimusest:

$$\begin{bmatrix} \cos \kappa l & -i_o \frac{1}{GI_p} \frac{1}{\kappa} \sin \kappa l & -1 & 0 \\ -\frac{1}{i_o} GI_p \kappa \sin \kappa l & -\cos \kappa l & 0 & -1 \\ 1 & 0 & 0 & 0 \\ 0 & 0 & 0 & 1 \end{bmatrix} \begin{bmatrix} Z(1) \\ Z(2) \\ Z(3) \\ Z(4) \end{bmatrix} = 0 \quad (2.56)$$

Arvutame saadud vörrandisüsteemi determinandi:

$$\begin{aligned} \det(A) &= 1 \cdot \begin{vmatrix} \cos \kappa l & -i_o \frac{1}{GI_p} \frac{1}{\kappa} \sin \kappa l & -1 \\ -\frac{1}{i_o} GI_p \kappa \sin \kappa l & -\cos \kappa l & 0 \\ 1 & 0 & 0 \end{vmatrix} = \\ &= 1 \cdot 1 \cdot \begin{vmatrix} -i_o \frac{1}{GI_p} \frac{1}{\kappa} \sin \kappa l & -1 \\ -\cos \kappa l & 0 \end{vmatrix} = -\cos \kappa l = 0 \end{aligned} \quad (2.57)$$

Koosinus κl (2.7) on null, kui

$$\lambda_n = \kappa l = l\omega \sqrt{\frac{\rho}{G}} = (2n-1) \frac{\pi}{2}, \quad n = 1, 2, 3, \dots \quad (2.58)$$

Siin tähistab λ_n konsoolvölli sagedusvörrandi juuri, vrd [Yan05, lk 625].

Saame konsoolvölli omavönkesagedused ω_n :

$$\omega_n = (2n - 1) \frac{\pi}{2\ell} \sqrt{\frac{G}{\rho}}, \quad n = 1, 2, 3, \dots \quad (2.59)$$

Kahel toel töötava võlli omavõnkesageduste määramiseks koostame võrrandisüsteemi

$$\begin{bmatrix} \cos \kappa \ell & -i_0 \frac{1}{GI_p} \frac{1}{\kappa} \sin \kappa \ell & -1 & 0 \\ -\frac{1}{i_0} GI_p \kappa \sin \kappa \ell & -\cos \kappa \ell & 0 & -1 \\ 1 & 0 & 0 & 0 \\ 0 & 0 & 1 & 0 \end{bmatrix} \begin{bmatrix} Z(1) \\ Z(2) \\ Z(3) \\ Z(4) \end{bmatrix} = 0 \quad (2.60)$$

Arvutame saadud võrrandisüsteemi determinandi:

$$\begin{aligned} \det(A) &= -1 \cdot \begin{vmatrix} \cos \kappa \ell & -i_0 \frac{1}{GI_p} \frac{1}{\kappa} \sin \kappa \ell & 0 \\ -\frac{1}{i_0} GI_p \kappa \sin \kappa \ell & -\cos \kappa \ell & -1 \\ 1 & 0 & 0 \end{vmatrix} = \\ &= -1 \cdot 1 \cdot \begin{vmatrix} -i_0 \frac{1}{GI_p} \frac{1}{\kappa} \sin \kappa \ell & 0 \\ -\cos \kappa \ell & -1 \end{vmatrix} = i_0 \frac{1}{GI_p} \frac{1}{\kappa} \sin \kappa \ell = 0 \end{aligned} \quad (2.61)$$

Siinus $\kappa \ell$ (2.7) on null, kui

$$\lambda_n = \kappa \ell = \ell \omega \sqrt{\frac{\rho}{G}} = n\pi, \quad n = 1, 2, 3, \dots \quad (2.62)$$

Siin tähistab λ_n jäigalt kinnitatud võlli sagedusvõrrandi juuri, vrd [Yan05, lk 625].

Saame jäigalt kinnitatud võlli omavõnkesagedused ω_n :

$$\omega_n = (n - 1) \frac{\pi}{\ell} \sqrt{\frac{G}{\rho}}, \quad n = 1, 2, 3, \dots \quad (2.63)$$

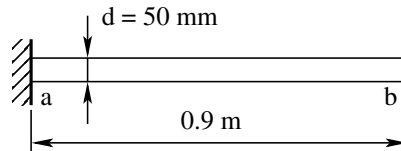
2.6 Võlli omavõnkevormid

Võlli omavõnkevormide määramiseks koostame hõreda võrrandisüsteemi mingil omavõnkesagedusel ω_n (vt [Lah12], [Lah14], [Lah16]). Koostatud võrrandisüsteemi determinant on null. Algpameetrite määramiseks viime võrrandisüsteemi ühe veeru paremale poolele. Saadud võrrandisüsteemi lahendamiseks kasutame vähimruutude meetodit (sks Methode der kleinsten Quadrate, ingl method of least squares).^{2,3} Hõreda võrrandisüsteemi, kus võrrandeid on rohkem kui tundmatuid, saab GNU Octave'is lahendada ka kurakalkkriipsuga ($X = \text{spA}\backslash\text{B}$).

Erilist tähelepanu nõuab võrrandisüsteemi paremale poolele viidava veeru valik. Konsoolvõlli (jn 2.5) esimese kolme omavõnkevormi leidmiseks piisab võlli ühest elemendist, mille puhul viime kolmanda veeru võrrandisüsteemi (2.56) paremale poolele. Kolmandas veerus on tundmatu $Z(3) = \theta_L^{(ab)}$ kordajad. Pärast hõreda võrrandisüsteemi lahendamist saame algpameetrid $\theta_A^{(ab)} = Z(1)$ ja $T_A^{(ab)} = Z(2)$ (2.66). Väändenurgad leiame võrrandiga (2.19).

Järgalt kinnitatud võlli omavõnkevormide leidmisel tuleb võll jagada vähemalt kaheks elemendiks, et oleks võimalik ühikuline siire võlli keskel. Võlli elementide pikkused valime vastavalt poollainete arvule.

Näide 2.1 (konsoolvõlli omavõnkekumine). Leida joonisel 2.5 kujutatud konsoolvõlli omavõnkesagedused ja -vormid.



Joonis 2.5. Konsoolvõll

Andmed. Võlli pikkus $\ell = 0.9$ m, läbimõõt $d = 50$ mm, nihkeelastsusmoodul $G = 80$ GN/m², materjali tihedus $\rho = 7.80 \times 10^3$ kg/m³.

Lahendus. Omavõnkesageduste arvutamiseks koostame EST-meetodi võrrandisüsteemi

$$\text{spA} \cdot \mathbf{Z} = 0 \quad (2.64)$$

kus \mathbf{Z} on tundmatute vektor:

$$\mathbf{Z} = \hat{\mathbf{Z}} = \begin{bmatrix} \mathbf{Z}_a \\ \mathbf{Z}_b \end{bmatrix} \quad (2.65)$$

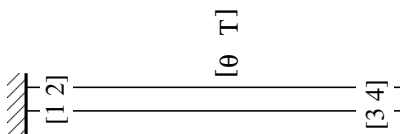
Vektori komponentideks on väändenurgad ja -momendid võlli ab alguses ning lõpus:

²<https://www.gnu.org/software/octave/doc/v4.0.0/Linear-Least-Squares.html#XREFlscov> (27.06.2016)

³https://fossies.org/dox/octave-4.0.2/lscov_8m_source.html (27.06.2016)

$$\mathbf{Z}_a = \begin{bmatrix} \theta_A^{(ab)} \\ T_A^{(ab)} \end{bmatrix} = \begin{bmatrix} Z(1) \\ Z(2) \end{bmatrix}, \quad \mathbf{Z}_b = \begin{bmatrix} \theta_L^{(ab)} \\ T_L^{(ab)} \end{bmatrix} = \begin{bmatrix} Z(3) \\ Z(4) \end{bmatrix} \quad (2.66)$$

Muutujate $Z(i)$ ($i = 1, 2, 3, 4$) järjenumbrid on toodud joonisel 2.6.



Joonis 2.6. Konsoolvõlli muutujate järjenumbrid

Võrrandisüsteemi (2.64) kaks esimest võrrandit on põhivõrrandid (2.43). Ülejäänud kaks võrrandit saame rajatingimustest.

$$\begin{aligned} Z(1) &= \theta_A^{(ab)} = 0 \\ Z(4) &= T_L^{(ab)} = 0 \end{aligned} \quad (2.67)$$

GNU Octave'i programmiga **NaideKvoll1.m** leiame hõreda võrrandisüsteemi (2.56) determinandi nullid. Determinandi arvutuskäik selgub programmi väljavõttest 2.1.

Väljavõte programmist 2.1 (**NaideKvoll1.m**)

```
# Võlli hõreda laiendatud ülekandemaatriksi arvutus
spvF=splvmVoll(baasi0,l,d,wf,md,G);
IIv=1;
IJv=1;

# sisestab ülekandemaatriksi võrrandisüsteemi spA*Z=0
spA=spInsertBtoA(spA,IIv,IJv,spvF);
% Rajatingimused
spA=spSisestaArv(spA,3,1,1); # $theta_A$ - väändenurk
spA=spSisestaArv(spA,4,4,1); # $T_L$ - väändemoment

% spA determinant
D(j)=det(spA);
```

Võrrandisüsteemi (2.56) determinandi märk muutub nurksageduse ω vahemikus, mida täpsustatakse kuni etteantud täpsuseni $eps0$ (vt arvutuspäeviku väljavõte 2.1).

Väljavõte arvutuspäevikust 2.1 (**NaideKvoll1.m**)

```
octave:1> NaideKvoll1
eps0=0.000001
l = 0.90000 # m
d = 0.050000 # m
G = 8.0000e+10 # Pa
```

```

md = 7800 # KG/m3
GIp = 4.9087e+04 # Nm2
baasi0=GIp
valemiga_w1 = 5589.5
valemiga_w2 = 1.6769e+04
valemiga_w3 = 2.7948e+04

Arvutuse algus.
NNK = 4

----- Sparse matrix instantiation -----
spA=sparse(NNK,NNK)

Lähme esimest determinandi nulli täpsustama.
wf_enne = 5589.5
wf_parast = 5590

Oota! Arvutan.

Lähme esimest determinandi nulli täpsustama.
wf_enne = 5589.5
wf_parast = 5589.5
Oota! Arvutan.

Arvutus on lõppenud.
octave:2>

```

Võlli (jn 2.5) esimesed kuus omavõnkesagedust: $\omega_1 = 5.589527018 \times 10^3 \text{ s}^{-1}$, $\omega_2 = 1.6768581054 \times 10^4 \text{ s}^{-1}$, $\omega_3 = 2.7947635090 \times 10^4 \text{ s}^{-1}$, $\omega_4 = 3.9126689126 \times 10^4 \text{ s}^{-1}$, $\omega_5 = 5.0305743163 \times 10^4 \text{ s}^{-1}$, $\omega_6 = 6.1484797199 \times 10^4 \text{ s}^{-1}$.

Võtame kasutusele sagedusvõrrandi juurte ja omavõnkesageduste seose

$$\lambda_i = \omega_i \sqrt{\frac{\rho}{G}} \ell \quad (2.68)$$

Programmiga **NaideKvõlli.m** leitud omavõnkesagedused ω_i teisendame sagedusvõrrandi juurteks λ_i : $\lambda_1 = 1.570796$, $\lambda_2 = 4.712389$, $\lambda_3 = 7.853982$, $\lambda_4 = 10.995574$, $\lambda_5 = 14.137167$, $\lambda_6 = 17.278760$.

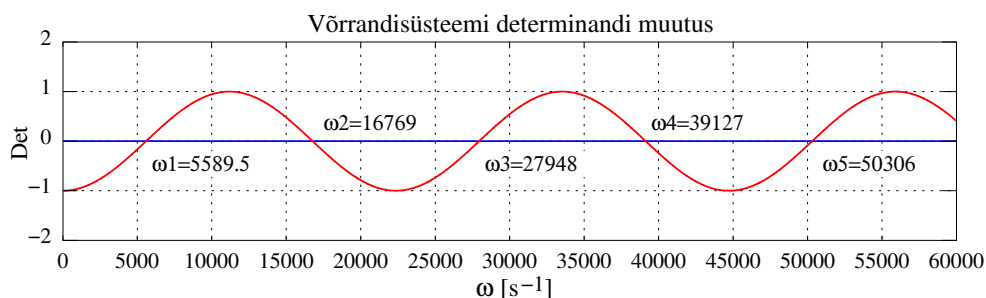
Konsoolvõlli sagedusvõrrandi täpsed juured λ_n ja omavõnkesagedused ω_n arvutame valemitega (2.58) ja (2.59).

Tabelis 2.1 võrreldakse EST-meetodiga leitud ja täpseid sagedusvõrrandi juuri (2.58).

Tabel 2.1. Konsoolvõlli eri meetodeil leitud sagedusvõrrandi juured

Omavõnkesagedus	EST-meetod		Täpne sagedusvõrrandi juur (2.58)
	ω [s^{-1}]	λ	λ
1.	5589.52702	1.570796	1.570796
2.	16768.5811	4.712389	4.712389
3.	27947.6351	7.853982	7.853982
4.	39126.6891	10.995574	10.995574
5.	50305.7432	14.137167	14.137167
6.	61484.7972	17.278760	17.278760

Võrrandisüsteemi (2.64) determinandi sõltuvus nurksagedusest ω selgub jooniselt 2.7.



Joonis 2.7. Konsoolvõlli omavõnkesagedused

Valime pöördnurga skaleerimisteguri võrdseks väändejäikusega (baasi0 = GI_p). Nüüd saame suuremad omavõnkevormi amplituudid, kuid omavõnkesagedused jäävad samaks.

Omavõnkevormid sagedustel $\omega_1 = 5589.5 s^{-1}$, $\omega_2 = 1.6769 \times 10^4 s^{-1}$ ja $\omega_3 = 2.7948 \times 10^4 s^{-1}$ leiame vastavalt GNU Octave'i programmidega [NaideKvoll1w1.m](#), [NaideKvoll1w2.m](#) ning [NaideKvoll1w3.m](#). Nendes programmides viime kolmanda, s.t tundmatu Z (3) veeru paremale poolele ja võrdsustame ühega. Hõreda võrrandisüsteemi lahendamisel vähimruutude meetodiga saame lahendist valida algparameetrid (vt programmi väljavõte 2.2).

Väljavõte programmist 2.2 ([NaideKvoll1w1.m](#))

```
# Võlli hõreda laiendatud ülekandemaatriksi arvutus
spvF=splvfmVoll(baasi0, l, d, wf, md, G);
IIv=1;
IJv=1;

# sisestab ülekandemaatriksi võrrandisüsteemi spA*Z=0
spA=spInsertBtoA(spA, IIv, IJv, spvF);

% Rajatingimused
```

```

spA=spSisestaArv(spA,3,1,1); # $theta_A$ - väändenurk
spA=spSisestaArv(spA,4,4,1); # $T_L$ - väändemoment

columns_to_remove = [3];
Anull=full(spAnull);
B=Anull(:,columns_to_remove);
Anull(:,columns_to_remove)=[];
Cnull=Anull;

spCnull=sparse(Cnull)

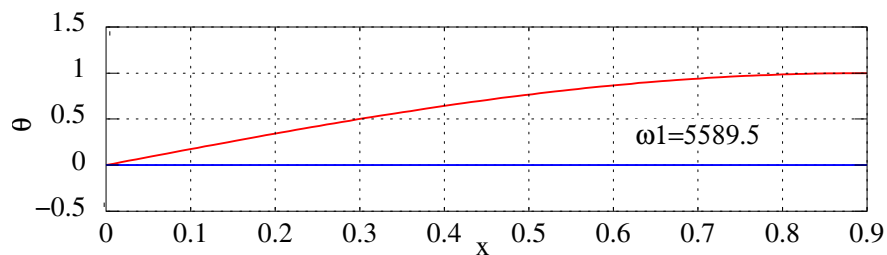
B=-B
spCnullX=spCnull\B
Xvect = spCnullX;
SalgPar=Xvect(1:2,1) # Algparameetrid

xx=0;
Nmitmeks=100
xsammgr=1/Nmitmeks;

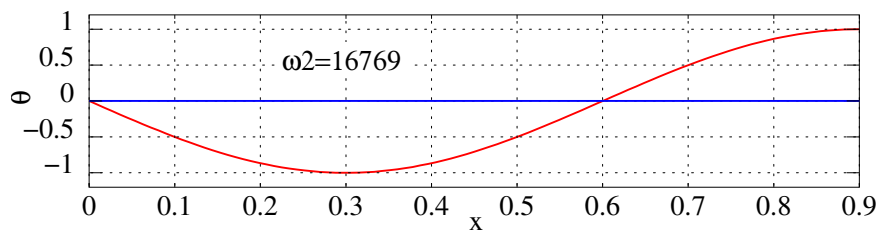
for ij=1:Nmitmeks+1
Xloikes(1,ij)=xx;
Xloikes(2,ij)=xx;
siirF=siiremVoll(baasi0,xx,d,wf,md,G);
siirded(1:2,ij)=siirF*SalgPar;
%siirdedXx=siirF*SalgParXx
%
xx=xx+xsammgr;
endfor

```

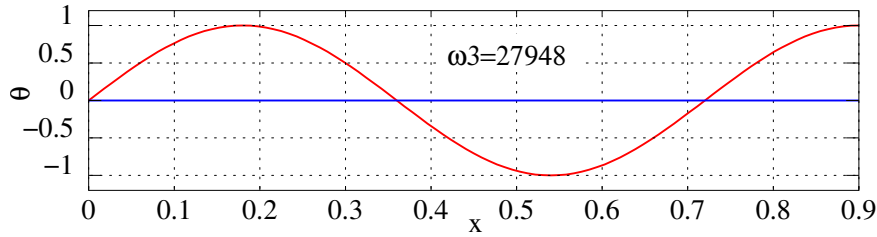
Konsoolvõlli omavõnkevormid esitame joonisel 2.8.



(a) Omavõnkevorm sagedusel $\omega_1 = 5589.5 \text{ s}^{-1}$

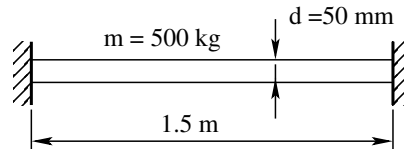


(b) Omavõnkevorm sagedusel $\omega_2 = 1.6769 \times 10^4 \text{ s}^{-1}$

(c) Omavõnkevorm sagedusel $\omega_3 = 2.7948 \times 10^4 \text{ s}^{-1}$

Joonis 2.8. Konsoolvõlli omavõnkevormid

Näide 2.2 (jäigalt kinnitatud võlli omavõnkumine). Leida joonisel 2.9 kujutatud võlli omavõnkesagedused ja -vormid.



Joonis 2.9. Jäigalt kinnitatud võll

Andmed. Võlli pikkus $\ell = 1.5 \text{ m}$, läbimõõt $d = 50 \text{ mm}$, mass $m = 500 \text{ kg}$, nihkeelastusmoodul $G = 80 \text{ GN/m}^2$, materjali tihedus $\rho = 7.80 \times 10^3 \text{ kg/m}^3$.

Lahendus. Omavõnkesageduste arvutamiseks koostame EST-meetodi võrrandisüsteemi

$$\text{spA} \cdot \mathbf{Z} = 0 \quad (2.69)$$

kus \mathbf{Z} on võrrandisüsteemi tundmatute vektor:

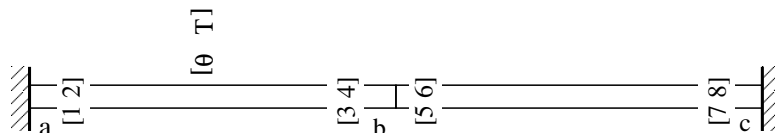
$$\mathbf{Z} = \begin{bmatrix} \mathbf{Z}_a^{(ab)} \\ \mathbf{Z}_b^{(ab)} \\ \mathbf{Z}_b^{(bc)} \\ \mathbf{Z}_c^{(bc)} \end{bmatrix} \quad (2.70)$$

Vektori komponentideks on väändenurgad ja -momendid võlli elementide ab ja bc (jn 2.10) alguses ja lõpus:

$$\mathbf{Z}_a^{(ab)} = \begin{bmatrix} \theta_A^{(ab)} \\ T_A^{(ab)} \end{bmatrix} = \begin{bmatrix} Z(1) \\ Z(2) \end{bmatrix}, \quad \mathbf{Z}_b^{(ab)} = \begin{bmatrix} \theta_L^{(ab)} \\ T_L^{(ab)} \end{bmatrix} = \begin{bmatrix} Z(3) \\ Z(4) \end{bmatrix} \quad (2.71)$$

$$\mathbf{Z}_b^{(bc)} = \begin{bmatrix} \theta_A^{(bc)} \\ T_A^{(bc)} \end{bmatrix} = \begin{bmatrix} Z(5) \\ Z(6) \end{bmatrix}, \quad \mathbf{Z}_c^{(bc)} = \begin{bmatrix} \theta_L^{(bc)} \\ T_L^{(bc)} \end{bmatrix} = \begin{bmatrix} Z(7) \\ Z(8) \end{bmatrix} \quad (2.72)$$

Muutujate $Z(i)$ ($i = 1, 2, \dots, 8$) järjenumbrid on toodud joonisel 2.10.



Joonis 2.10. Jäigalt kinnitatud võlli muutujate järjenumbrid

Võrrandisüsteemi (2.69) neli esimest võrrandit on põhivõrrandid (2.43). Järgnevad sõlme b pidevus- ja tasakaaluvõrrand

$$\begin{aligned} Z(3) - Z(5) &= \theta_L^{(ab)} - \theta_A^{(bc)} = 0 \\ Z(4) + Z(6) &= T_L^{(ab)} + T_A^{(bc)} = 0 \end{aligned} \quad (2.73)$$

Ülejäänud kaks võrrandit saame rajatingimustest.

$$\begin{aligned} Z(1) &= \theta_A^{(ab)} = 0 \\ Z(7) &= \theta_L^{(bc)} = 0 \end{aligned} \quad (2.74)$$

GNU Octave'i programmiga **NaideVoll2M.m** leiame hõreda võrrandisüsteemi (2.69) determinandi nullid.

Jäigalt kinnitatud võlli (jn 2.9) esimesed kuus omavõnkesagedust: $\omega_1 = 6.707432422 \times 10^3 \text{ s}^{-1}$, $\omega_2 = 1.3414864843 \times 10^4 \text{ s}^{-1}$, $\omega_3 = 2.0122297265 \times 10^4 \text{ s}^{-1}$, $\omega_4 = 2.6829729687 \times 10^4 \text{ s}^{-1}$, $\omega_5 = 3.3537162108 \times 10^4 \text{ s}^{-1}$, $\omega_6 = 4.0244594530 \times 10^4 \text{ s}^{-1}$.

Võtame kasutusele sagedusvõrrandi juurte ja omavõnkesageduste seose

$$\lambda_i = \omega_i \sqrt{\frac{\rho}{G}} \ell \quad (2.75)$$

Leitud omavõnkesagedused ω_i teisendame sagedusvõrrandi juurteks λ_i : $\lambda_1 = 3.141593$, $\lambda_2 = 6.283185$, $\lambda_3 = 9.424778$, $\lambda_4 = 12.566371$, $\lambda_5 = 15.707963$, $\lambda_6 = 18.849556$.

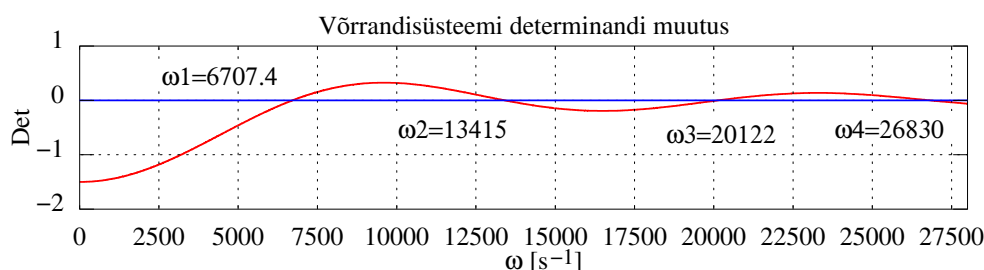
Jäigalt kinnitatud võlli sagedusvõrrandi täpsed juured λ_n ja omavõnkesagedused ω_n arvutame valemitega (2.62) ja (2.63).

Tabelis 2.2 võrreldakse EST-meetodiga leitud ja täpseid sagedusvõrrandi juuri (2.62).

Tabel 2.2. Järgalt kinnitatud võlli eri meetodeil leitud sagedusvõrrandi juured

Omavõnkesagedus	EST-meetod		Täpne sagedusvõrrandi juur (2.62)
	ω [s^{-1}]	λ	λ
1.	6707.43242	3.141593	3.141593
2.	13414.8648	6.283185	6.283185
3.	20122.2973	9.424778	9.424778
4.	26829.7297	12.566371	12.566371
5.	33537.1621	15.707963	15.707963
6.	40244.5945	18.849556	18.849556

Võrrandisüsteemi (2.69) determinandi sõltuvus nurksagedusest ω on kujutatud joonisel 2.11.



Joonis 2.11. Järgalt kinnitatud võlli omavõnkesagedused

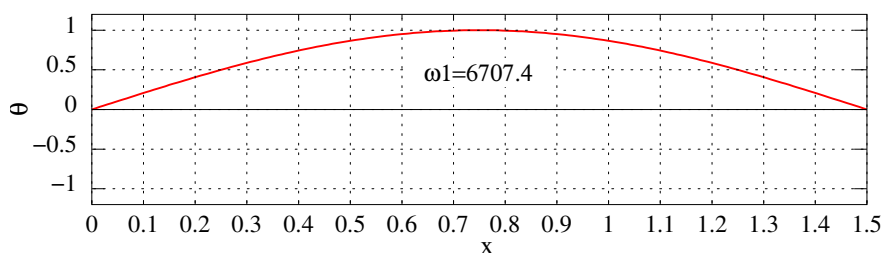
Omavõnkevormide määramisel jagame võlli pikkusega $\ell = 1.5$ m kaheks elemendiks (jn 2.10). Võlli elementide pikkuse ℓ_i valime vastavalt poollainete arvule n : $\ell_1 = \ell/2n$ ja $\ell_2 = \ell - \ell_1$.

Esimese omavõnkesageduse $\omega_1 = 6707.4 s^{-1}$ puhul valime elementide pikkuseks $\ell_1 = 0.75$ m ja $\ell_2 = 0.75$ m. Viime saadud võrrandisüsteemis kolmanda veeru paremale poolele. Lahendanud hõreda võrrandisüsteemi vähimruutude meetodiga, valime lahendist algparameetrid. Võrrandisüsteemi koostamiseks ja lahendamiseks kasutatakse GNU Octave'i programmi [NaideVoll2Mw1.m](#).

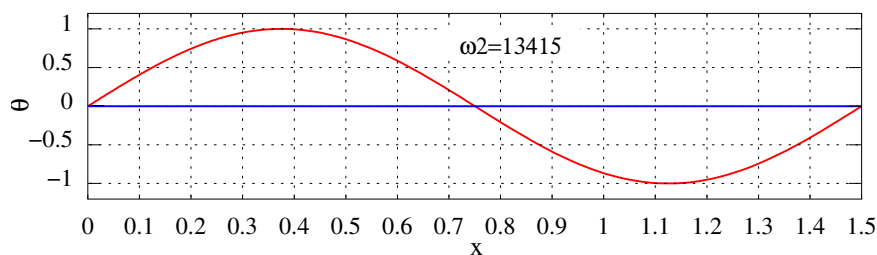
Teise omavõnkesageduse $\omega_2 = 13415 s^{-1}$ korral valime elementide pikkuseks $\ell_1 = 0.375$ m ja $\ell_2 = 1.125$ m. Saadud võrrandisüsteemis viime kolmanda veeru paremale poolele. Võrrandisüsteemi koostamiseks ja lahendamiseks kasutatakse GNU Octave'i programmi [NaideVoll2Mw2.m](#).

Kolmanda omavõnkesageduse $\omega_3 = 20122 s^{-1}$ puhul valime elementide pikkuseks $\ell_1 = 0.25$ m ja $\ell_2 = 1.25$ m. Saadud võrrandisüsteemis viime kolmanda veeru paremale poolele. Võrrandisüsteemi koostamiseks ja lahendamiseks kasutatakse GNU Octave'i programmi [NaideVoll2Mw3.m](#).

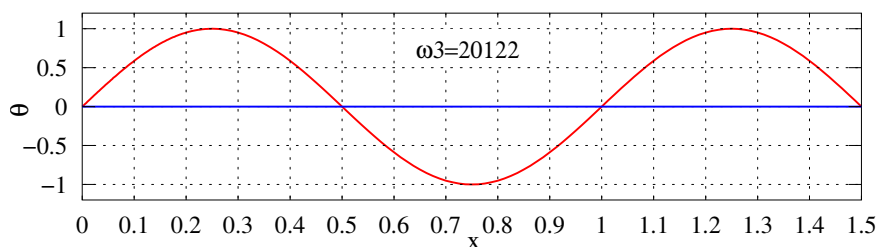
Ostavõnkevormid on toodud joonisel 2.12.



(a) Omavõnkevorm sagedusel $\omega_1 = 6707.4 \text{ s}^{-1}$



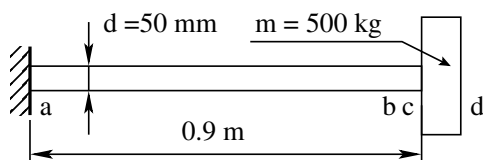
(b) Omavõnkevorm sagedusel $\omega_2 = 13415 \text{ s}^{-1}$



(c) Omavõnkevorm sagedusel $\omega_3 = 20122 \text{ s}^{-1}$

Joonis 2.12. Jäigalt kinnitatud võlli omavõnkevormid

Näide 2.3 (hoorattaga konsoolvõlli omavõnkumine). Leida joonisel 2.13 kujutatud hoorattaga konsoolvõlli omavõnkesagedused ja -vormid.



Joonis 2.13. Hoorattaga konsoolvõll

Andmed. Võlli pikkus $\ell = 0.9 \text{ m}$, läbimõõt $d = 50 \text{ mm}$, hooratta mass $m = 500 \text{ kg}$, hooratta inertsiraadius $r_p = 0.5 \text{ m}$, nihkeelastsusmoodul $G = 80 \text{ GN/m}^2$, materjali tihedus $\rho = 7.80 \times 10^3 \text{ kg/m}^3$.

Lahendus. Omavõnkesageduste arvutamiseks koostame EST-meetodi võrrandisüsteemi

$$\text{spA} \cdot \mathbf{Z} = 0 \quad (2.76)$$

kus \mathbf{Z} on võrrandisüsteemi tundmatute vektor:

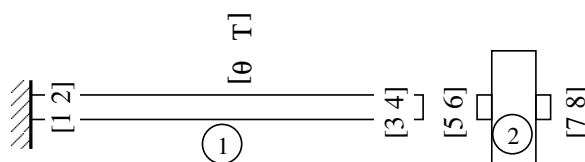
$$\mathbf{Z} = \hat{\mathbf{Z}} = \begin{bmatrix} \mathbf{Z}_a \\ \mathbf{Z}_b \\ \mathbf{Z}_c \\ \mathbf{Z}_d \end{bmatrix} \quad (2.77)$$

Vektori komponentideks on väändenurgad ja -momendid võlli ab ning hooratta cd alguses ja lõpus:

$$\mathbf{Z}_a = \begin{bmatrix} \theta_A^{(ab)} \\ T_A^{(ab)} \end{bmatrix} = \begin{bmatrix} Z(1) \\ Z(2) \end{bmatrix}, \quad \mathbf{Z}_b = \begin{bmatrix} \theta_L^{(ab)} \\ T_L^{(ab)} \end{bmatrix} = \begin{bmatrix} Z(3) \\ Z(4) \end{bmatrix} \quad (2.78)$$

$$\mathbf{Z}_c = \begin{bmatrix} \theta_A^{(cd)} \\ T_A^{(cd)} \end{bmatrix} = \begin{bmatrix} Z(5) \\ Z(6) \end{bmatrix}, \quad \mathbf{Z}_d = \begin{bmatrix} \theta_L^{(cd)} \\ T_L^{(cd)} \end{bmatrix} = \begin{bmatrix} Z(7) \\ Z(8) \end{bmatrix} \quad (2.79)$$

Muutujate $Z(i)$ ($i = 1, 2, \dots, 8$) järjenumbrid on joonisel 2.14.



Joonis 2.14. Hoorattaga konsoolvõlli muutujate järjenumbrid

Võrrandisüsteemi (2.76) kaks esimest võrrandit on põhivõrrandid (2.43). Kolmas ja neljas võrrand kirjeldavad hooratust (2.50). Järgnevad pidevus- ja tasakaaluvõrrand

$$\begin{aligned} Z(3) - Z(5) &= \theta_L^{(ab)} - \theta_A^{(cd)} = 0 \\ Z(4) + Z(6) &= T_L^{(ab)} + T_A^{(cd)} = 0 \end{aligned} \quad (2.80)$$

Ülejäänud kaks võrrandit saame rajatingimustest.

$$\begin{aligned} Z(1) &= \theta_A^{(ab)} = 0 \\ Z(8) &= T_L^{(cd)} = 0 \end{aligned} \quad (2.81)$$

Võrrandisüsteemil (2.76) on nüüd kuju

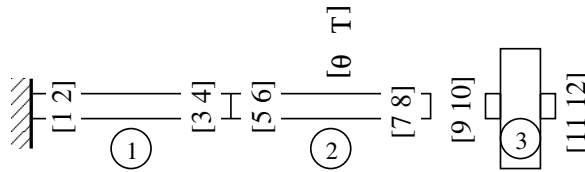
$$\begin{bmatrix} \cos \kappa \ell & -i_o \frac{1}{GI_p} \frac{1}{\kappa} \sin \kappa \ell & -1 & 0 & 0 & 0 & 0 & 0 & 0 \\ \frac{1}{-i_o} GI_p \kappa \sin \kappa \ell & -\cos \kappa \ell & 0 & -1 & 0 & 0 & 0 & 0 & 0 \\ 0 & 0 & 0 & 0 & 1 & 0 & -1 & 0 & 0 \\ 0 & 0 & 0 & 0 & \frac{1}{i_o} (mr_\rho^2) \omega^2 & 1 & 0 & 1 & 0 \\ 0 & 0 & 1 & 0 & -1 & 0 & 0 & 0 & 0 \\ 0 & 0 & 0 & 1 & 0 & 1 & 0 & 0 & 0 \\ 1 & 0 & 0 & 0 & 0 & 0 & 0 & 0 & 0 \\ 0 & 0 & 0 & 0 & 0 & 0 & 0 & 0 & 1 \end{bmatrix} \cdot \begin{bmatrix} Z(1) \\ Z(2) \\ Z(3) \\ Z(4) \\ Z(5) \\ Z(6) \\ Z(7) \\ Z(8) \end{bmatrix} = 0 \quad (2.82)$$

Siin

$$\kappa = i_\rho \omega \sqrt{\frac{\mu}{GI_p}} = \omega \sqrt{\frac{\rho}{G}} \quad (2.83)$$

Võrrandisüsteemi (2.82) determinandi nullid leiame GNU Octave'i programmiga **NaideKvõllHratas1.m** ($\omega_1 = 20.888 \text{ s}^{-1}$, $\omega_2 = 1.1179 \times 10^4 \text{ s}^{-1}$, $\omega_3 = 2.2358 \times 10^4 \text{ s}^{-1}$).

Omavõnkevormide määramiseks suurendame võlli elementide arvu nii, nagu näidatud joonisel 2.15.



Joonis 2.15. Hoorattaga konsoolvõlli elemendid ja muutujate järjenumbriid

Võrrandisüsteemi (2.76) tundmatute transponeeritud vektor \mathbf{Z}

$$\mathbf{Z}^T = \begin{bmatrix} \mathbf{Z}_A^{(1)T} & \mathbf{Z}_L^{(1)T} & \mathbf{Z}_A^{(2)T} & \mathbf{Z}_L^{(2)T} & \mathbf{Z}_A^{(3)T} & \mathbf{Z}_L^{(3)T} \end{bmatrix} \quad (2.84)$$

mille komponentideks on väändenurgad ja -momendid elementide 1, 2, 3 alguses ja lõpus (2.20). Muutujate $Z(i)$ ($i = 1, 2, \dots, 12$) järjenumbriid on joonisel 2.15.

$$\mathbf{Z}_A^{(1)} = \begin{bmatrix} \theta_A^{(1)} \\ T_A^{(1)} \end{bmatrix} = \begin{bmatrix} Z(1) \\ Z(2) \end{bmatrix}, \quad \mathbf{Z}_L^{(1)} = \begin{bmatrix} \theta_L^{(1)} \\ T_L^{(1)} \end{bmatrix} = \begin{bmatrix} Z(3) \\ Z(4) \end{bmatrix} \quad (2.85)$$

$$\mathbf{Z}_A^{(2)} = \begin{bmatrix} \theta_A^{(2)} \\ T_A^{(2)} \end{bmatrix} = \begin{bmatrix} Z(5) \\ Z(6) \end{bmatrix}, \quad \mathbf{Z}_L^{(2)} = \begin{bmatrix} \theta_L^{(2)} \\ T_L^{(2)} \end{bmatrix} = \begin{bmatrix} Z(7) \\ Z(8) \end{bmatrix} \quad (2.86)$$

$$\mathbf{Z}_A^{(3)} = \begin{bmatrix} \theta_A^{(3)} \\ T_A^{(3)} \end{bmatrix} = \begin{bmatrix} Z(9) \\ Z(10) \end{bmatrix}, \quad \mathbf{Z}_L^{(3)} = \begin{bmatrix} \theta_L^{(3)} \\ T_L^{(3)} \end{bmatrix} = \begin{bmatrix} Z(11) \\ Z(12) \end{bmatrix} \quad (2.87)$$

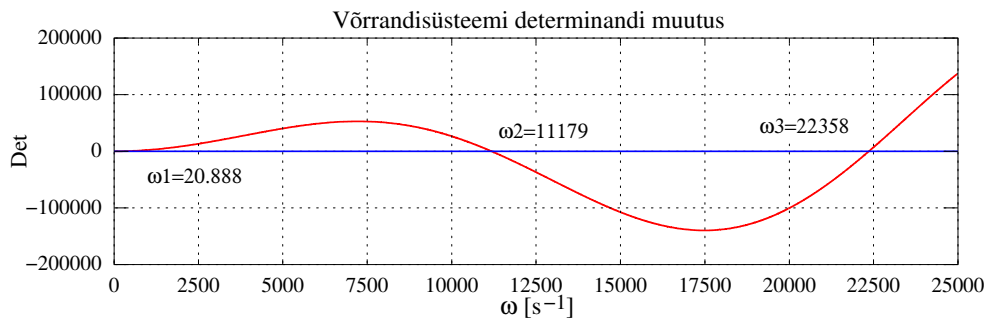
Võrrandisüsteemi (2.76) esimesed kuus võrrandit on põhivõrrandid (2.43). Järgmised neli on sõlmede pidevus- ja tasakaaluvõrrandid

$$\begin{aligned} Z(3) - Z(5) &= \theta_L^{(1)} - \theta_A^{(2)} = 0 \\ Z(4) + Z(6) &= T_L^{(1)} + T_A^{(2)} = 0 \\ Z(7) - Z(9) &= \theta_L^{(2)} - \theta_A^{(3)} = 0 \\ Z(8) + Z(10) &= T_L^{(2)} + T_A^{(3)} = 0 \end{aligned} \quad (2.88)$$

Viimased kaks võrrandit saame rajatingimustest.

$$\begin{aligned} Z(1) &= \theta_A^{(1)} = 0 \\ Z(12) &= T_L^{(3)} = 0 \end{aligned} \quad (2.89)$$

Võrrandisüsteemi (2.76) determinandi sõltuvus nurksagedusest ω selgub jooniselt 2.16.

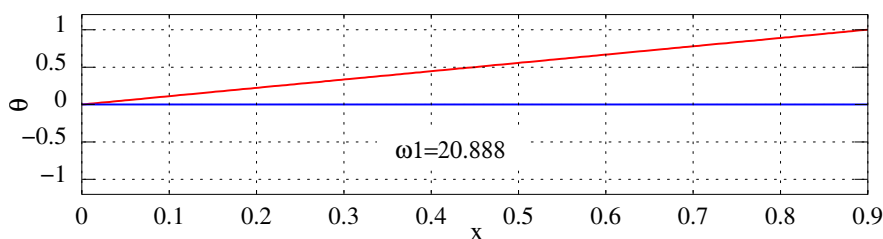
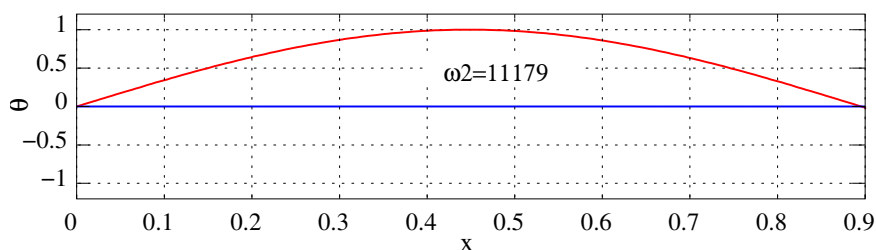
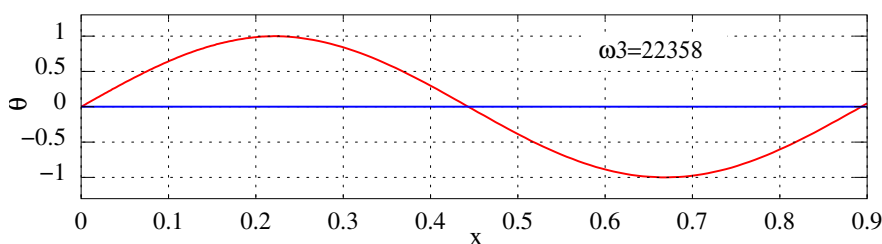


Joonis 2.16. Hoorattaga konsoolvõlli omavõnkesagedused

Võrrandisüsteemis (2.76) viime seitsmenda veeru, s.t $Z(7)$ kordajad, paremale poolele. Lahendanud hõreda võrrandisüsteemi (vt GNU Octave'i programm [NaideKvöllHratas1w1M.m](#)) sagedusel $\omega_1 = 20.888 \text{ s}^{-1}$ vähimruutude meetodiga, valime lahendist algparameetrid. Saame omavõnkevormi, mis on joonisel 2.17a.

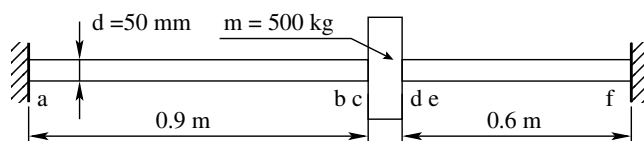
Omavõnkesageduse $\omega_2 = 1.1179 \times 10^4 \text{ s}^{-1}$ puhul valime elementide pikkuseks $\ell_1 = 0.45 \text{ m}$ ja $\ell_2 = 0.45 \text{ m}$. Saadud võrrandisüsteemis viime kolmanda veeru paremale poolele. Võrrandisüsteem koostatakse ja lahendatakse GNU Octave'i programmiga [NaideKvöllHratas1w2M.m](#). Omavõnkevorm on toodud joonisel 2.17b.

Omavõnkesagedusel $\omega_3 = 2.2358 \times 10^4 \text{ s}^{-1}$ valime elementide pikkuseks $\ell_1 = 0.225 \text{ m}$ ja $\ell_2 = 0.675 \text{ m}$. Saadud võrrandisüsteemis viime kolmanda veeru paremale poolele. Võrrandisüsteemi koostamiseks ja lahendamiseks kasutatakse GNU Octave'i programmi [NaideKvöllHratas1w3M.m](#). Omavõnkevorm on joonisel 2.17c.

(a) Omavõnkevorm sagedusel $\omega_1 = 20.888 \text{ s}^{-1}$ (b) Omavõnkevorm sagedusel $\omega_2 = 1.1179 \times 10^4 \text{ s}^{-1}$ (c) Omavõnkevorm sagedusel $\omega_3 = 2.2358 \times 10^4 \text{ s}^{-1}$

Joonis 2.17. Hoorattaga konsoolvõlli omavõnkevormid

Näide 2.4 (hoorattaga võlli omavõnkkumine). Leida joonisel 2.18 kujutatud hoorattaga võlli omavõnkesagedused ja -vormid.



Joonis 2.18. Hoorattaga võll

Andmed. Võlli pikkus $\ell_1 = 0.9 \text{ m}$, $\ell_2 = 0.6 \text{ m}$, läbimõõt $d = 50 \text{ mm}$, hooratta mass $m = 500 \text{ kg}$, hooratta inertsiraadius $r_p = 0.5 \text{ m}$, nihkeelastsusmoodul $G = 80 \text{ GN/m}^2$, materjali tihedus $\rho = 7.80 \times 10^3 \text{ kg/m}^3$. Valitud andmed vastavad kirjanduses⁴ kasutatutele.

⁴http://www.academia.edu/8715878/MACHINERY_VIBRATIONS_ENGINEERING_MECHANICS-IV_LECTURE_NOTES_OF_MEEN-421_Handouts_to_students_email-kiranmedesig_n_at_gmail.com_p.52 (3.07.2016)

Lahendus. Omavõnkesageduste arvutamiseks koostame EST-meetodi võrrandisüsteemi

$$\text{spA} \cdot \mathbf{Z} = 0 \quad (2.90)$$

kus \mathbf{Z} on võrrandisüsteemi tundmatute vektor. Transponeeritud kujul

$$\mathbf{Z}^T = \left[\mathbf{Z}_A^{(1)T} \quad \mathbf{Z}_L^{(1)T} \quad \mathbf{Z}_A^{(2)T} \quad \mathbf{Z}_L^{(2)T} \quad \mathbf{Z}_A^{(3)T} \quad \mathbf{Z}_L^{(3)T} \quad \mathbf{Z}_A^{(4)T} \quad \mathbf{Z}_L^{(4)T} \quad \mathbf{Z}_A^{(5)T} \quad \mathbf{Z}_L^{(5)T} \right] \quad (2.91)$$

Vektor koosneb väändenurkadest ja -momentidest võlli elementide alguses ja lõpus.

$$\mathbf{Z}_A^{(1)} = \begin{bmatrix} \theta_A^{(1)} \\ T_A^{(1)} \end{bmatrix} = \begin{bmatrix} Z(1) \\ Z(2) \end{bmatrix}, \quad \mathbf{Z}_L^{(1)} = \begin{bmatrix} \theta_L^{(1)} \\ T_L^{(1)} \end{bmatrix} = \begin{bmatrix} Z(3) \\ Z(4) \end{bmatrix} \quad (2.92)$$

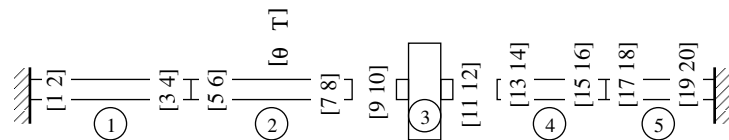
$$\mathbf{Z}_A^{(2)} = \begin{bmatrix} \theta_A^{(2)} \\ T_A^{(2)} \end{bmatrix} = \begin{bmatrix} Z(5) \\ Z(6) \end{bmatrix}, \quad \mathbf{Z}_L^{(2)} = \begin{bmatrix} \theta_L^{(2)} \\ T_L^{(2)} \end{bmatrix} = \begin{bmatrix} Z(7) \\ Z(8) \end{bmatrix} \quad (2.93)$$

$$\mathbf{Z}_A^{(3)} = \begin{bmatrix} \theta_A^{(3)} \\ T_A^{(3)} \end{bmatrix} = \begin{bmatrix} Z(9) \\ Z(10) \end{bmatrix}, \quad \mathbf{Z}_L^{(3)} = \begin{bmatrix} \theta_L^{(3)} \\ T_L^{(3)} \end{bmatrix} = \begin{bmatrix} Z(11) \\ Z(12) \end{bmatrix} \quad (2.94)$$

$$\mathbf{Z}_A^{(4)} = \begin{bmatrix} \theta_A^{(4)} \\ T_A^{(4)} \end{bmatrix} = \begin{bmatrix} Z(13) \\ Z(14) \end{bmatrix}, \quad \mathbf{Z}_L^{(4)} = \begin{bmatrix} \theta_L^{(4)} \\ T_L^{(4)} \end{bmatrix} = \begin{bmatrix} Z(15) \\ Z(16) \end{bmatrix} \quad (2.95)$$

$$\mathbf{Z}_A^{(5)} = \begin{bmatrix} \theta_A^{(5)} \\ T_A^{(5)} \end{bmatrix} = \begin{bmatrix} Z(17) \\ Z(18) \end{bmatrix}, \quad \mathbf{Z}_L^{(5)} = \begin{bmatrix} \theta_L^{(5)} \\ T_L^{(5)} \end{bmatrix} = \begin{bmatrix} Z(19) \\ Z(20) \end{bmatrix} \quad (2.96)$$

Muutujate $Z(i)$ ($i = 1, 2, \dots, 20$) järjenumbri toome joonisel 2.19.



Joonis 2.19. Hoorattaga võlli muutujate järjenumbri

Võrrandisüsteemi (2.90) esimesed kümme võrrandit on põhivõrrandid (2.43). Järgmised kaheksa on sõlmede pidevus- ja tasakaaluvõrrandid:

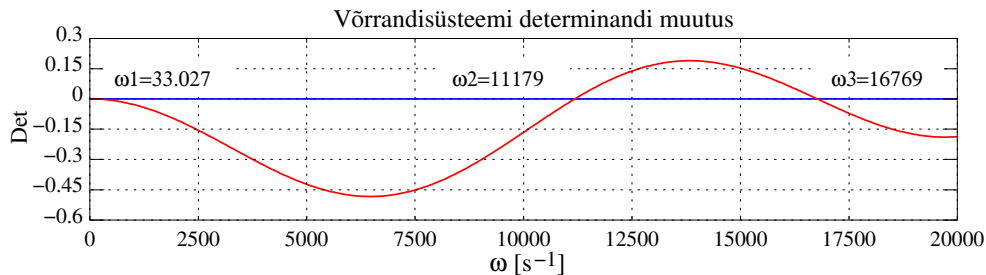
$$\begin{aligned} Z(3) - Z(5) &= \theta_L^{(1)} - \theta_A^{(2)} = 0 \\ Z(4) + Z(6) &= T_L^{(1)} + T_A^{(2)} = 0 \\ Z(7) - Z(9) &= \theta_L^{(2)} - \theta_A^{(3)} = 0 \\ Z(8) + Z(10) &= T_L^{(2)} + T_A^{(3)} = 0 \\ Z(11) - Z(13) &= \theta_L^{(3)} - \theta_A^{(4)} = 0 \\ Z(12) + Z(14) &= T_L^{(3)} + T_A^{(4)} = 0 \\ Z(15) - Z(17) &= \theta_L^{(4)} - \theta_A^{(5)} = 0 \\ Z(16) + Z(18) &= T_L^{(4)} + T_A^{(5)} = 0 \end{aligned} \quad (2.97)$$

Viimased kaks võrrandit saame rajatingimustest.

$$\begin{aligned} Z(1) &= \theta_A^{(1)} = 0 \\ Z(19) &= \theta_L^{(5)} = 0 \end{aligned} \quad (2.98)$$

Omvõnkesagedused $\omega_1 = 33.027 \text{ s}^{-1}$, $\omega_2 = 1.1179 \times 10^4 \text{ s}^{-1}$ ja $\omega_3 = 1.6769 \times 10^4 \text{ s}^{-1}$ on leitud GNU Octave'i programmiga [NaideVoll2Hratas1.m](#).

Võrrandisüsteemi (2.90) determinandi sõltuvus nurksagedusest ω selgub jooniselt 2.20.



Joonis 2.20. Hoorattaga võlli omavõnkesagedused

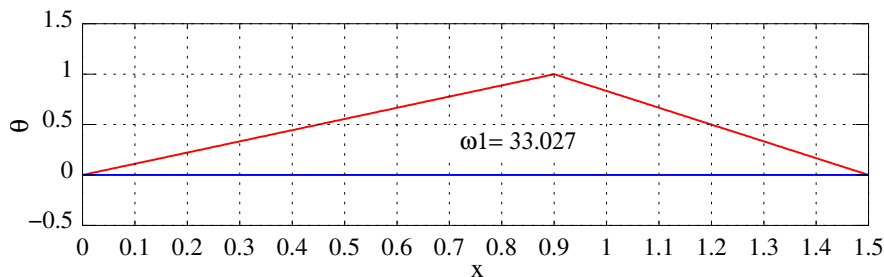
Omvõnkevormide määramisel jagame võlli (jn 2.19) neljaks elemendiks (1, 2, 4, 5) pikkusega $\ell_1 = 0.45 \text{ m}$, $\ell_2 = 0.45 \text{ m}$, $\ell_4 = 0.3 \text{ m}$ ja $\ell_5 = 0.3 \text{ m}$.

Omvõnkesagedusel $\omega_1 = 33.027 \text{ s}^{-1}$ viime saadud võrrandisüsteemis üheteistkümneenda veeru paremale poolele. Pärast hõreda võrrandisüsteemi lahendamist vähimruutude meetodiga saame lahendist valida algparameetrid. Võrrandisüsteemi koostamiseks ja lahendamiseks kasutatakse GNU Octave'i programmi [NaideVoll2Hratas1w1.m](#).

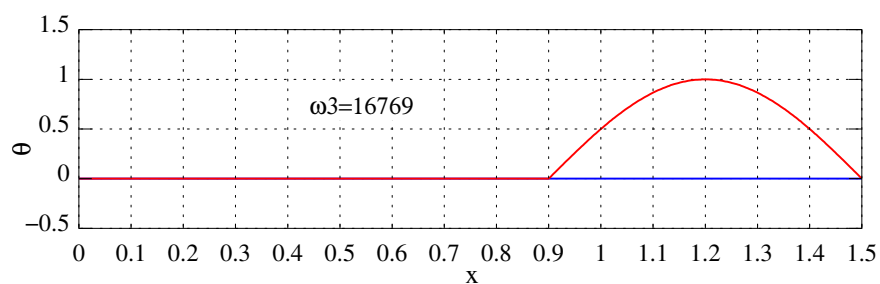
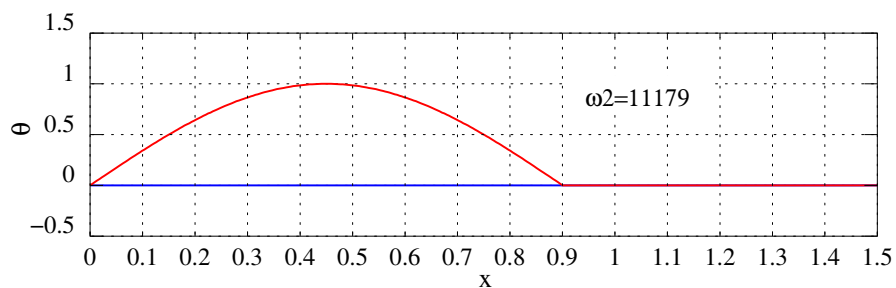
Omvõnkesagedusel $\omega_2 = 1.1179 \times 10^4 \text{ s}^{-1}$ viime saadud võrrandisüsteemis kolmanda veeru paremale poolele. Võrrandisüsteemi koostamiseks ja lahendamiseks kasutatakse GNU Octave'i programmi [NaideVoll2Hratas1w2.m](#).

Omvõnkesagedusel $\omega_3 = 1.6769 \times 10^4 \text{ s}^{-1}$ viime saadud võrrandisüsteemis viieteistkümneenda veeru paremale poolele. Võrrandisüsteemi koostamiseks ja lahendamiseks kasutame GNU Octave'i programmi [NaideVoll2Hratas1w3.m](#)

Omvõnkevormid leiab jooniselt 2.21.



(a) Omavõnkevorm sagedusel $\omega_1 = 33.027 \text{ s}^{-1}$



Joonis 2.21. Hoorattaga võlli omavõnkevormid

3. Euleri-Bernoulli tala võnkumine

3.1 Euleri-Bernoulli tala vabavõnkumine

Vaatleme tala jaotatud massiga $m = \rho A$, kus m on mass ühikpikkuse kohta, ρ – materjali tihedus ja A – ristlõikepindala. Vabavõnkumise uurimisel eeldatakse, et [EP67, lk 220]

- tala masspunktid liiguvad ainult risti tala kõverdumata teljega (tala massielementide pöörete mõju omavõnkesagedusele on hüljatav);
- põikjõu deformeeriva mõju talale võib hüljata;
- sumbuvus võrdub nulliga.

3.1.1 Tala vabavõnkumise diferentsiaalvõrrand

Vaatleme tala liikumisvõrrandit [EP67, lk 221]

$$EI_y \frac{\partial^4 w}{\partial x^4} = p_z(x, t) - \rho A \frac{\partial^2 w}{\partial t^2} \quad (3.1)$$

Vabavõnkumisel $p_z(x, t) = 0$, seega

$$EI_y \frac{\partial^4 w}{\partial x^4} + \rho A \frac{\partial^2 w}{\partial t^2} = 0 \quad (3.2)$$

Otsime vabavõnkumise kuju lõpmatu reana, mille iga liige koosneb kahe funktsiooni korutisest:

$$w(x, t) = \sum_{n=1}^{\infty} f_n(x) \cdot \psi_n(t) \quad (3.3)$$

Siin sõltub esimene tegur ainult koordinaadist x ja teine ainult ajast t .

Asetame rea (3.3) diferentsiaalvõrrandisse (3.2). Rida rahuldab diferentsiaalvõrrandit siis, kui seda rahuldab rea iga üksik liige.

$$EI_y f^{IV}(x) \psi(t) + \rho A f(x) \ddot{\psi}(t) = 0 \quad (3.4)$$

Jagades saadud võrrandi avaldisega $\rho A f(x) \psi(t)$, eraldame muutujad:

$$\frac{EI_y f^{IV}(x)}{\rho A f(x)} = - \frac{\ddot{\psi}(t)}{\psi(t)} \quad (3.5)$$

Siin peavad võrrandi mõlemad pooled võrduma suvaliste x ja t korral, mis on võimalik ainult siis, kui mõlemad pooled kujutavad endast konstantset suurust. Selle konstandi tähiseks on ω^2 . Suurust ω nimetatakse omavõnkesageduseks.

Võrrand (3.5) jaguneb kaheks:

$$\frac{EI_y f^{IV}(x)}{\rho A f(x)} = \omega^2 \quad (3.6)$$

$$-\frac{\ddot{\psi}(t)}{\psi(t)} = \omega^2 \quad (3.7)$$

ehk

$$EI_y f^{IV}(x) - \omega^2 \rho A f(x) = 0 \quad (3.8)$$

$$\ddot{\psi}(t) - \omega^2 \psi(t) = 0 \quad (3.9)$$

Viimase võrrandi lahendiks on

$$\psi(t) = A \sin(\omega t + \varphi) \quad (3.10)$$

Omvõnkumised on seega harmoonilised võnkumised nurksagedusega ω . Omavõnkesageduste kompleksi $\omega_1, \omega_2, \dots, \omega_m$ nimetatakse omavõnkesageduste spektriiks.

Kui tala ristlõige A ja inertsimoment I_y on konstantsed, saab diferentsiaalvõrrandi (3.8) esitada kujul

$$f^{IV}(x) - \frac{\omega^2 \rho A}{EI_y} f(x) = 0 \quad (3.11)$$

ehk

$$f^{IV}(x) - \kappa^4 f(x) = 0 \quad (3.12)$$

Siin on kasutatud tähistust

$$\kappa^4 = \frac{\omega^2 \rho A}{EI_y} \quad (3.13)$$

kus κ on diferentsiaalvõrrandi karakteristliku võrrandi lahend:

$$\kappa_{1,2} = \sqrt[4]{\frac{\omega^2 \rho A}{EI_y}}, \quad \kappa_{3,4} = i \sqrt[4]{\frac{\omega^2 \rho A}{EI_y}} \quad (3.14)$$

Omvõnkesagedus

$$\omega = \kappa^2 \sqrt{\frac{EI_y}{\rho A}} \quad (3.15)$$

Diferentsiaalvõrrandi (3.12) normeerimata lahendite süsteemi otsime kujul

$$f_1^*(\kappa x) = \operatorname{ch} \kappa x, \quad f_2^*(\kappa x) = \operatorname{sh} \kappa x, \quad f_3^*(\kappa x) = \cos \kappa x, \quad f_4^*(\kappa x) = \sin \kappa x \quad (3.16)$$

Lahendite süsteemi normeerimiseks kirjutame välja Wronski determinandi

$$W(\kappa, x) = \begin{vmatrix} \operatorname{ch} \kappa x & \operatorname{sh} \kappa x & \cos \kappa x & \sin \kappa x \\ \kappa \operatorname{sh} \kappa x & \kappa \operatorname{ch} \kappa x & -\kappa \sin(\kappa x) & \kappa \cos(\kappa x) \\ \kappa^2 \operatorname{ch} \kappa x & \kappa^2 \operatorname{sh} \kappa x & -\kappa^2 \cos(\kappa x) & -\kappa^2 \sin(\kappa x) \\ \kappa^3 \operatorname{sh} \kappa x & \kappa^3 \operatorname{ch} \kappa x & \kappa^3 \sin(\kappa x) & -\kappa^3 \cos(\kappa x) \end{vmatrix} \quad (3.17)$$

Wronski determinandi W väärtus kohal $x = 0$ on

$$W(\kappa, 0) = \begin{vmatrix} 1 & 0 & 1 & 0 \\ 0 & \kappa & 0 & \kappa \\ \kappa^2 & 0 & -\kappa^2 & 0 \\ 0 & \kappa^3 & 0 & -\kappa^3 \end{vmatrix} \neq 1 \quad (3.18)$$

Selleks et determinandi (3.18) väärtus oleks üks, liidame esimesele veerule kolmanda veeru ja jagame tulemuse kahega. Teisele veerule liidame neljanda ja jagame 2κ -ga. Kolmandast veerust lahutame esimese ja jagame $-2\kappa^2$ -ga. Neljandast veerust lahutame teise ja jagame $-2\kappa^3$ -ga.

Teeme sarnased teisendused normeerimata lahendite süsteemiga (3.16), tulemuseks on normeeritud lahendite fundamentaalsüsteem:

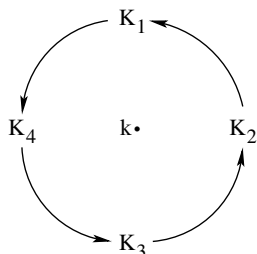
$$f_1(\kappa x) = \frac{1}{2}(\operatorname{ch} \kappa x + \cos \kappa x) = K_1(\kappa x) \quad (3.19)$$

$$f_2(\kappa x) = \frac{1}{2\kappa}(\operatorname{sh} \kappa x + \sin \kappa x) = \frac{1}{\kappa} K_2(\kappa x) \quad (3.20)$$

$$f_3(\kappa x) = \frac{1}{2\kappa^2}(\operatorname{ch} \kappa x - \cos \kappa x) = \frac{1}{\kappa^2} K_3(\kappa x) \quad (3.21)$$

$$f_4(\kappa x) = \frac{1}{2\kappa^3}(\operatorname{sh} \kappa x - \sin \kappa x) = \frac{1}{\kappa^3} K_4(\kappa x) \quad (3.22)$$

Funktsioone $K_i(\kappa x)$ nimetatakse ka Krõlovi¹ funktsioonideks.



Krõlovi funktsioonide diferentseerimisel saab kasutada järgmisi valemeid [SALŠ84, lk 192]:

$$\begin{aligned} K_1'(\kappa x) &= \kappa K_4(\kappa x) \\ K_4'(\kappa x) &= \kappa K_3(\kappa x) \\ K_3'(\kappa x) &= \kappa K_2(\kappa x) \\ K_2'(\kappa x) &= \kappa K_1(\kappa x) \end{aligned} \quad (3.23)$$

Skeem näitab indeksite muutust diferentseerimisel.

¹Aleksei Nikolajevitš Krõlov (1863–1945), vene laevaehitaja, mehaanik ja matemaatik, akadeemik.

Tala sisejõudude leidmisel kasutatakse rajajõudude (kontaktjõudude) määramiseks kahte märgikokkulepet (joonis A.2).

Võnkumise kuju funktsiooni $f(x)$ ja selle tuletiste väärtused kohal $x = 0$ (algpameetrid) esimese märgikokkuleppe puhul on

$$f_{\circ} = w_{\circ}, \quad f'_{\circ} = -\varphi_0, \quad f''_{\circ} = -\frac{M_{\circ}}{EI}, \quad f'''_{\circ} = -\frac{Q_{\circ}}{EI} \quad (3.24)$$

ja teise märgikokkuleppe puhul

$$f_{\circ} = w_{\circ}, \quad f'_{\circ} = -\varphi_0, \quad f''_{\circ} = \frac{M_{\circ}}{EI}, \quad f'''_{\circ} = \frac{Q_{\circ}}{EI} \quad (3.25)$$

Homogeense diferentsiaalvõrrandi lahend esimese märgikokkuleppe järgi on

$$f(x) = w(x) = w_0 K_1(\kappa x) - \varphi_0 \frac{1}{\kappa} K_2(\kappa x) - \frac{M_{\circ}}{EI} \frac{1}{\kappa^2} K_3(\kappa x) - \frac{Q_{\circ}}{EI} \frac{1}{\kappa^3} K_4(\kappa x) \quad (3.26)$$

ning teise märgikokkuleppe kohaselt

$$f(x) = w(x) = w_0 K_1(\kappa x) - \varphi_0 \frac{1}{\kappa} K_2(\kappa x) + \frac{Q_{\circ}}{EI} \frac{1}{\kappa^3} K_4(\kappa x) + \frac{M_{\circ}}{EI} \frac{1}{\kappa^2} K_3(\kappa x) \quad (3.27)$$

$$\varphi_y = -w'(x) = -w_0 \kappa K_4(\kappa x) + \varphi_0 K_1(\kappa x) - \frac{Q_{\circ}}{EI} \frac{1}{\kappa^2} K_3(\kappa x) - \frac{M_{\circ}}{EI} \frac{1}{\kappa} K_2(\kappa x) \quad (3.28)$$

$$Q_z(x) = -EI_y w'''(x) = -w_0 EI \kappa^3 K_2(\kappa x) + \varphi_0 EI \kappa^2 K_3(\kappa x) - Q_{\circ} K_1(\kappa x) - M_{\circ} \kappa K_4(\kappa x) \quad (3.29)$$

$$M_y(x) = -EI_y w''(x) = -w_0 EI \kappa^2 K_3(\kappa x) + \varphi_0 EI \kappa K_4(\kappa x) - Q_{\circ} \frac{1}{\kappa} K_2(\kappa x) - M_{\circ} K_1(\kappa x) \quad (3.30)$$

Esitame võrrandid (3.27) – (3.30) maatrikskujul

$$\mathbf{Z}_{\mathbf{x}} = \mathbf{U}_{\mathbf{x}} \cdot \mathbf{Z}_{\mathbf{A}} + \overset{\circ}{\mathbf{Z}} \quad (3.31)$$

Siin

$$\mathbf{Z}_{\mathbf{x}} = \begin{bmatrix} w(x) \\ \varphi_y(x) \\ Q(x) \\ M(x) \end{bmatrix}_{\mathbf{x}}, \quad \mathbf{Z}_{\mathbf{A}} = \begin{bmatrix} w_0 \\ \varphi_0 \\ Q_{\circ} \\ M_{\circ} \end{bmatrix}_{\mathbf{A}} \quad (3.32)$$

koormusvektor $\overset{\circ}{\mathbf{Z}} = 0$ ning ülekandemaatriks (vt GNU Octave'i funktsioon [talaylekM.m](#))

$$\mathbf{U}_{\mathbf{x}} = \begin{bmatrix} K_1(\kappa x) & -\frac{1}{\kappa} K_2(\kappa x) & \frac{1}{EI} \frac{1}{\kappa^3} K_4(\kappa x) & \frac{1}{EI} \frac{1}{\kappa^2} K_3(\kappa x) \\ -\kappa K_4(\kappa x) & K_1(\kappa x) & -\frac{1}{EI} \frac{1}{\kappa^2} K_3(\kappa x) & -\frac{1}{EI} \frac{1}{\kappa} K_2(\kappa x) \\ -EI \kappa^3 K_2(\kappa x) & EI \kappa^2 K_3(\kappa x) & -K_1(\kappa x) & -\kappa K_4(\kappa x) \\ -EI \kappa^2 K_3(\kappa x) & EI \kappa K_4(\kappa x) & -\frac{1}{\kappa} K_2(\kappa x) & -K_1(\kappa x) \end{bmatrix} \quad (3.33)$$

Siin leitud ülekan demaatriksi elemendid erinevad töös [ST94, lk 84] leituist $\Phi_{i,j}$ märgi poolest. Sama töö leheküljel 82 on pöördenurga ja paindemomendi suund vastupidine siin vaadeldutele.

3.1.2 Põhivõrrandid tala paindel

Tala painde põhivõrrandid teise märgikokkuleppe puhul saab kirjutada võrrandisüsteemina

$$\mathbf{U} \cdot \mathbf{Z}_A - \mathbf{I}_{4 \times 4} \cdot \mathbf{Z}_L = -\overset{\circ}{\mathbf{Z}} \quad (3.34)$$

Lühemalt,

$$\widehat{\mathbf{U}}\mathbf{I}_{4 \times 8} \cdot \widehat{\mathbf{Z}} = -\overset{\circ}{\mathbf{Z}} \quad (3.35)$$

kus

$$\widehat{\mathbf{Z}} = \begin{bmatrix} \mathbf{Z}_A \\ \mathbf{Z}_L \end{bmatrix} \quad (3.36)$$

$\overset{\circ}{\mathbf{Z}}$ on koormusvektor ning $\widehat{\mathbf{U}}\mathbf{I}_{4 \times 8}$ on laiendatud ülekan demaatriks $(U_{4 \times 4} \mid -I_{4 \times 4})$ (vt GNU Octave'i funktsioon [sptalaylekM.m](#)).

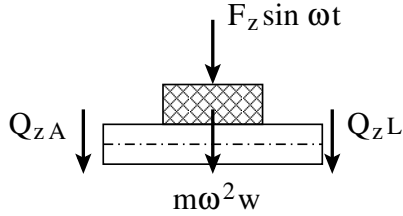
$$\widehat{\mathbf{U}}\mathbf{I}_{4 \times 8} = \begin{bmatrix} K_1(\kappa\ell) & -\frac{1}{\kappa}K_2(\kappa\ell) & \frac{i_o}{EI} \frac{1}{\kappa^3}K_4(\kappa\ell) & \frac{i_o}{EI} \frac{1}{\kappa^2}K_3(\kappa\ell) \\ -\kappa K_4(\kappa\ell) & K_1(\kappa\ell) & -\frac{i_o}{EI} \frac{1}{\kappa^2}K_3(\kappa\ell) & -\frac{i_o}{EI} \frac{1}{\kappa}K_2(\kappa\ell) \\ -\frac{1}{i_o} EI \kappa^3 K_2(\kappa\ell) & \frac{1}{i_o} EI \kappa^2 K_3(\kappa\ell) & -K_1(\kappa\ell) & -\kappa K_4(\kappa\ell) \\ -\frac{1}{i_o} EI \kappa^2 K_3(\kappa\ell) & \frac{1}{i_o} EI \kappa K_4(\kappa\ell) & -\frac{1}{\kappa}K_2(\kappa\ell) & -K_1(\kappa\ell) \\ & & -1 & 0 & 0 & 0 \\ & & 0 & -1 & 0 & 0 \\ & & 0 & 0 & -1 & 0 \\ & & 0 & 0 & 0 & -1 \end{bmatrix} \quad (3.37)$$

kus ℓ on tala elemendi pikkus ning i_o on siirde ja paindenurga θ skaleerimistegur (võrrandisüsteemiga (3.35) leitavad siirded ja paindenurgad on i_o korda suuremad).

Tala iga elemendi ülekan devõrrandite (3.35) kohta lisame neli rajatingimust.

3.1.3 Koondatud mass tala paindel

Vaatleme tala elementi (jn 3.1), millel on koondatud mass m . Elemendile on rakendatud vibreeriv jõud $F_z \sin \omega t$. Talale mõjuvad veel inertsjõud $m\omega^2 w$ ning põikjõud Q_{zA} ja Q_{zL} . Siin on ω võnkumise nurksagedus ja w – tala siire.



Joonis 3.1. Koondatud mass

Koostame tasakaaluvõrrandid maatrikskujul

$$\mathbf{U}_M \cdot \mathbf{Z}_A - \mathbf{I}_{4 \times 4} \cdot \mathbf{Z}_L = \mathring{\mathbf{Z}} \quad (3.38)$$

kus

$$\mathbf{Z}_A = \begin{bmatrix} w_A \\ \varphi_A \\ Q_A \\ M_A \end{bmatrix}_A, \quad \mathbf{Z}_L = \begin{bmatrix} w_L \\ \varphi_L \\ Q_L \\ M_L \end{bmatrix}_x \quad (3.39)$$

ülekan demaatriks

$$\mathbf{U}_M = \begin{bmatrix} 1.0 & 0.0 & 0.0 & 0.0 \\ 0.0 & 1.0 & 0.0 & 0.0 \\ -m\omega^2 & 0.0 & -1.0 & 0.0 \\ 0.0 & 0.0 & 0.0 & -1.0 \end{bmatrix} \quad (3.40)$$

ning koormusvektor

$$\mathring{\mathbf{Z}} = \begin{bmatrix} 0.0 \\ 0.0 \\ F_z \\ 0.0 \end{bmatrix} \quad (3.41)$$

Võrrandisüsteemi (3.38) esitame hõreda võrrandisüsteemina

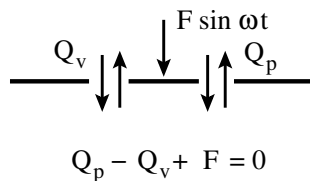
$$\widehat{\mathbf{U}}_{\mathbf{I}_{4 \times 8}} \cdot \widehat{\mathbf{Z}} = \mathring{\mathbf{Z}} \quad (3.42)$$

kus

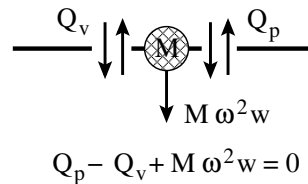
$$\widehat{\mathbf{Z}} = \begin{bmatrix} \mathbf{Z}_A \\ \mathbf{Z}_L \end{bmatrix} \quad (3.43)$$

Laiendatud ülekan demaatriksi $\widehat{\mathbf{U}}_{\mathbf{I}_{4 \times 8}} \equiv (\mathbf{U}_{M_{4 \times 4}} | -\mathbf{I}_{4 \times 4})$ saab arvutada GNU Octave'i funktsiooniga [koondMassHLtala.m](#).

Koondjõu ja koondmassi mõju põikjõule on kujutatud joonisel 3.2.



(a) Koondjõud ja põikjõud



(b) Koondmass ja põikjõud

Joonis 3.2. Põikjõud dünaamilisel koormusel

3.2 Euleri-Bernoulli tala omavõnkesagedused

Omavõnkesageduse arvutamiseks koostame võrrandisüsteemi

$$\text{spA} \cdot \mathbf{Z} = 0 \quad (3.44)$$

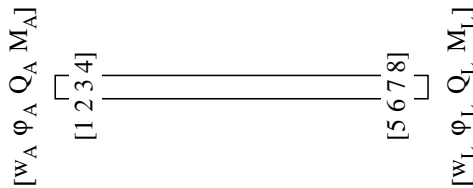
kus \mathbf{Z} on võrrandisüsteemi tundmatute vektor:

$$\mathbf{Z} = \begin{bmatrix} \mathbf{Z}_a \\ \mathbf{Z}_b \end{bmatrix} \quad (3.45)$$

Vektori komponentideks on siirded, paindenurgad, põikjõud ja paindemomendid talaelemendi alguses ning lõpus:

$$\mathbf{Z}_a = \begin{bmatrix} w_A \\ \varphi_A \\ Q_A \\ M_A \end{bmatrix} = \begin{bmatrix} Z(1) \\ Z(2) \\ Z(3) \\ Z(4) \end{bmatrix}, \quad \mathbf{Z}_b = \begin{bmatrix} w_L \\ \varphi_L \\ Q_L \\ M_L \end{bmatrix} = \begin{bmatrix} Z(5) \\ Z(6) \\ Z(7) \\ Z(8) \end{bmatrix} \quad (3.46)$$

Muutujate $Z(i)$ ($i = 1, 2, \dots, 8$) järjenumbrid on toodud joonisel 3.3.



Joonis 3.3. Tala muutujate järjenumbrid

Võrrandisüsteemi (3.44) neli esimest võrrandit on põhivõrrandid (3.34). Ülejäänud neli võrrandit saame rajatingimustest.

Konsooltala rajatingimused:

$$\begin{aligned} Z(1) &= w_A = 0 \\ Z(2) &= \varphi_A = 0 \\ Z(7) &= Q_L = 0 \\ Z(8) &= M_L = 0 \end{aligned} \quad (3.47)$$

Konsooltala omavõnkesagedused määrame tingimusest, kus võrrandisüsteemi (3.44) determinandi väärtus võrdub nulliga:

$$\det \mathbf{A} = |\mathbf{A}| = 0 \quad (3.48)$$

Siin on determinant $|\mathbf{A}|$ 8×8 maatriks.

$$\det \mathbf{A} = \begin{vmatrix} u_{11} & u_{12} & u_{13} & u_{14} & -1 & 0 & 0 & 0 \\ u_{21} & u_{22} & u_{23} & u_{24} & 0 & -1 & 0 & 0 \\ u_{31} & u_{32} & u_{33} & u_{34} & 0 & 0 & -1 & 0 \\ u_{41} & u_{42} & u_{43} & u_{44} & 0 & 0 & 0 & -1 \\ 1 & 0 & 0 & 0 & 0 & 0 & 0 & 0 \\ 0 & 1 & 0 & 0 & 0 & 0 & 0 & 0 \\ 0 & 0 & 0 & 0 & 0 & 0 & 1 & 0 \\ 0 & 0 & 0 & 0 & 0 & 0 & 0 & 1 \end{vmatrix} =$$

$$\begin{vmatrix} u_{33} & u_{34} & -1 & 0 \\ u_{43} & u_{44} & 0 & -1 \\ 0 & 0 & 1 & 0 \\ 0 & 0 & 0 & 1 \end{vmatrix} = 1 \cdot 1 \cdot 1 \cdot 1 \cdot \begin{vmatrix} u_{33} & u_{34} \\ u_{43} & u_{44} \end{vmatrix} = 0 \quad (3.49)$$

Ülekandemaatriksi elemendid u_{33} , u_{34} , u_{43} ja u_{44} saab avaldisest (3.33).

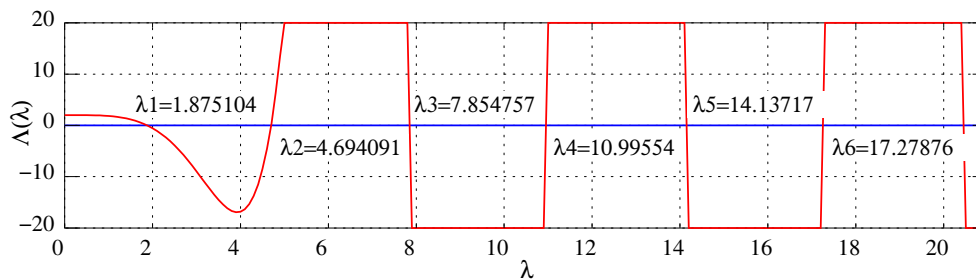
$$\begin{vmatrix} -K_1(\kappa\ell) & -\kappa K_4(\kappa\ell) \\ -\frac{1}{\kappa} K_2(\kappa\ell) & -K_1(\kappa\ell) \end{vmatrix} = K_1^2(\kappa\ell) - K_2(\kappa\ell) K_4(\kappa\ell) =$$

$$\frac{1}{4} (\operatorname{ch}\kappa\ell + \cos \kappa\ell)^2 - \frac{1}{4} (\operatorname{sh}\kappa\ell + \sin \kappa\ell) (\operatorname{sh}\kappa\ell - \sin \kappa\ell) = 0 \quad (3.50)$$

Edasi teisendades saame sagedusvõrrandi, kus $\lambda = \kappa\ell$, vrd [Kis64, lk 110].

$$\Lambda^I(\lambda) = 1 + \operatorname{ch}(\lambda) \cos(\lambda) = 0 \quad (3.51)$$

Funktsiooni $\Lambda^I(\lambda)$ nullpunktide asukohad λ -teljel määrame GNU Octave'i programmiga **Kjuured.m**. Need nullpunktide asukohad on konsooltala sagedusvõrrandi mõõduta juured $\lambda_i = \kappa_i\ell$: $\lambda_1 = 1.8751040$, $\lambda_2 = 4.6940911$, $\lambda_3 = 7.8547574$, $\lambda_4 = 10.9955407$, $\lambda_5 = 14.1371684$, $\lambda_6 = 17.2787595$, vrd [Yan05, lk 527], [Sto02, lk 7.17]. Funktsiooni $\Lambda^I(\lambda)$ graafik on joonisel 3.4.



Joonis 3.4. Konsooltala sagedusvõrrandi juured

Jäikade tagedega tala rajatingimused:

$$\begin{aligned} Z(1) &= w_A = 0 \\ Z(2) &= \varphi_A = 0 \\ Z(5) &= w_L = 0 \\ Z(6) &= \varphi_L = 0 \end{aligned} \quad (3.52)$$

Jäikade tagedega tala omavõnkesagedused määratakse tingimusest, kus võrrandisüsteemi (3.44) determinandi väärtus võrdub nulliga:

$$\det \mathbf{A} = |\mathbf{A}| = 0 \quad (3.53)$$

Siin on determinant $|\mathbf{A}|$ 8×8 maatriks.

$$\det \mathbf{A} = \begin{vmatrix} u_{11} & u_{12} & u_{13} & u_{14} & -1 & 0 & 0 & 0 \\ u_{21} & u_{22} & u_{23} & u_{24} & 0 & -1 & 0 & 0 \\ u_{31} & u_{32} & u_{33} & u_{34} & 0 & 0 & -1 & 0 \\ u_{41} & u_{42} & u_{43} & u_{44} & 0 & 0 & 0 & -1 \\ 1 & 0 & 0 & 0 & 0 & 0 & 0 & 0 \\ 0 & 1 & 0 & 0 & 0 & 0 & 0 & 0 \\ 0 & 0 & 0 & 0 & 1 & 0 & 0 & 0 \\ 0 & 0 & 0 & 0 & 0 & 1 & 0 & 0 \end{vmatrix} = \begin{vmatrix} u_{13} & u_{14} & -1 & 0 \\ u_{23} & u_{24} & 0 & -1 \\ 0 & 0 & 1 & 0 \\ 0 & 0 & 0 & 1 \end{vmatrix} = 1 \cdot 1 \cdot 1 \cdot 1 \cdot \begin{vmatrix} u_{13} & u_{14} \\ u_{23} & u_{24} \end{vmatrix} = 0 \quad (3.54)$$

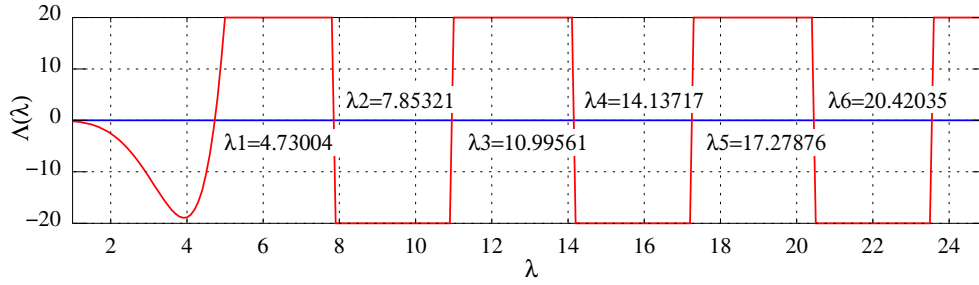
Ülekandemaatriksi elemendid u_{13} , u_{14} , u_{23} ja u_{24} saab avaldisest (3.33).

$$\begin{vmatrix} \frac{1}{EI} \frac{1}{\kappa^3} K_4(\kappa\ell) & \frac{1}{EI} \frac{1}{\kappa^2} K_3(\kappa\ell) \\ -\frac{1}{EI} \frac{1}{\kappa^2} K_3(\kappa\ell) & -\frac{1}{EI} \frac{1}{\kappa} K_2(\kappa\ell) \end{vmatrix} = \frac{1}{(EI)^2} \frac{1}{\kappa^4} [K_3^2(\kappa\ell) - K_2(\kappa\ell) K_4(\kappa\ell)] = \frac{1}{4} \frac{1}{(EI)^2} \frac{1}{\kappa^4} [(\operatorname{ch}\kappa x - \cos \kappa x)^2 - (\operatorname{sh}\kappa\ell + \sin \kappa\ell)(\operatorname{sh}\kappa\ell - \sin \kappa\ell)] = 0 \quad (3.55)$$

Teisendamist jätkates saame sagedusvõrrandi, kus $\lambda = \kappa\ell$ (vrd [Kis64, lk 109]).

$$\Lambda^{II}(\lambda) = \operatorname{ch}(\lambda) \cos(\lambda) - 1 = 0 \quad (3.56)$$

Funktsiooni $\Lambda^I(\lambda)$ nullpunktide asukohad λ -teljel määratakse GNU Octave'i programmiga **JaikJaikJuured.m**. Need nullpunktide asukohad on jäikade tagedega tala sagedusvõrrandi täpsed mõõduta juured $\lambda_i = \kappa_i\ell$: $\lambda_1 = 4.7300407$, $\lambda_2 = 7.8532046$, $\lambda_3 = 10.9956078$, $\lambda_4 = 14.1371655$, $\lambda_5 = 17.2787597$, $\lambda_6 = 20.4203522$, vrd [Yan05, lk 527], [Sto02, lk 7.17]. Funktsiooni $\Lambda^{II}(\lambda)$ graafiku toome joonisel 3.5.



Joonis 3.5. Jäikade tugelega tala sagedusvõrrandi juured

Paigalseisva ja liikuva liigendtoega tala rajatingimused:

$$\begin{aligned}
 Z(1) &= w_A = 0 \\
 Z(4) &= M_A = 0 \\
 Z(5) &= w_L = 0 \\
 Z(8) &= M_L = 0
 \end{aligned} \tag{3.57}$$

Paigalseisva ja liikuva liigendtoega tala omavõnkesagedused määratakse tingimusest, kus võrrandisüsteemi (3.44) determinandi väärtus võrdub nulliga:

$$\det \mathbf{A} = |\mathbf{A}| = 0 \tag{3.58}$$

Determinant $|\mathbf{A}|$ on siin 8×8 maatriks.

$$\det \mathbf{A} = \begin{vmatrix} u_{11} & u_{12} & u_{13} & u_{14} & -1 & 0 & 0 & 0 \\ u_{21} & u_{22} & u_{23} & u_{24} & 0 & -1 & 0 & 0 \\ u_{31} & u_{32} & u_{33} & u_{34} & 0 & 0 & -1 & 0 \\ u_{41} & u_{42} & u_{43} & u_{44} & 0 & 0 & 0 & -1 \\ 1 & 0 & 0 & 0 & 0 & 0 & 0 & 0 \\ 0 & 0 & 0 & 1 & 0 & 0 & 0 & 0 \\ 0 & 0 & 0 & 0 & 1 & 0 & 0 & 0 \\ 0 & 0 & 0 & 0 & 0 & 0 & 0 & 1 \end{vmatrix} = \begin{vmatrix} u_{12} & u_{13} & -1 & 0 \\ u_{42} & u_{43} & 0 & -1 \\ 0 & 0 & 1 & 0 \\ 0 & 0 & 0 & 1 \end{vmatrix} = 1 \cdot 1 \cdot 1 \cdot 1 \cdot \begin{vmatrix} u_{12} & u_{13} \\ u_{42} & u_{43} \end{vmatrix} = 0 \tag{3.59}$$

Ülekandemaatriksi elemendid u_{12} , u_{13} , u_{42} ja u_{43} saame avaldisest (3.33).

$$\begin{aligned}
 & \begin{vmatrix} -\frac{1}{\kappa} K_2(\kappa x) & \frac{1}{EI} \frac{1}{\kappa^3} K_4(\kappa x) \\ EI \kappa K_4(\kappa x) & -\frac{1}{\kappa} K_2(\kappa x) \end{vmatrix} = \frac{1}{\kappa^2} [K_2^2(\kappa \ell) - K_4^2(\kappa \ell)] = \\
 & \frac{1}{4} \frac{1}{\kappa^2} [(\text{sh} \kappa \ell + \sin \kappa \ell)^2 - (\text{sh} \kappa \ell - \sin \kappa \ell)^2] = \frac{1}{\kappa^2} [\text{sh} \kappa \ell \sin \kappa \ell] = 0
 \end{aligned} \tag{3.60}$$

Siit saame sagedusvõrrandi, kus $\lambda = \kappa\ell$ (vrd [Kis64, lk 108]).

$$\Lambda(\lambda) = \text{sh}\lambda \sin \lambda = 0 \quad (\text{kui } \lambda \neq 0, \text{ siis } \sin \lambda = 0) \quad (3.61)$$

Paigalseisva ja liikuva liigendtoega tala sagedusvõrrandi (3.61) juured

$$\lambda_n = \kappa_n \ell = n\pi \quad n = 1, 2, 3, \dots \quad (3.62)$$

Võrrandi mõõduta juured $\lambda_i = \kappa_i \ell$: $\lambda_1 = 3.1415927$, $\lambda_2 = 6.2831853$, $\lambda_3 = 9.4247780$, $\lambda_4 = 12.5663706$, $\lambda_5 = 15.7079633$, $\lambda_6 = 18.8495559$.

Liikuva liigendtoe ja jäiga toega tala rajatingimused:

$$\begin{aligned} Z(1) &= w_A = 0 \\ Z(4) &= M_A = 0 \\ Z(5) &= w_L = 0 \\ Z(6) &= \varphi_L = 0 \end{aligned} \quad (3.63)$$

Liikuva liigendtoe ja jäiga toega tala omavõnkesagedused määratakse tingimusest, kus võrrandisüsteemi (3.44) determinandi väärtus võrdub nulliga:

$$\det \mathbf{A} = |\mathbf{A}| = 0 \quad (3.64)$$

Determinant $|\mathbf{A}|$ on 8×8 maatriks.

$$\det \mathbf{A} = \begin{vmatrix} u_{11} & u_{12} & u_{13} & u_{14} & -1 & 0 & 0 & 0 \\ u_{21} & u_{22} & u_{23} & u_{24} & 0 & -1 & 0 & 0 \\ u_{31} & u_{32} & u_{33} & u_{34} & 0 & 0 & -1 & 0 \\ u_{41} & u_{42} & u_{43} & u_{44} & 0 & 0 & 0 & -1 \\ 1 & 0 & 0 & 0 & 0 & 0 & 0 & 0 \\ 0 & 0 & 0 & 1 & 0 & 0 & 0 & 0 \\ 0 & 0 & 0 & 0 & 1 & 0 & 0 & 0 \\ 0 & 0 & 0 & 0 & 0 & 1 & 0 & 0 \end{vmatrix} = \begin{vmatrix} u_{12} & u_{13} & -1 & 0 \\ u_{22} & u_{23} & 0 & -1 \\ 0 & 0 & 1 & 0 \\ 0 & 0 & 0 & 1 \end{vmatrix} = 1 \cdot 1 \cdot 1 \cdot 1 \cdot \begin{vmatrix} u_{12} & u_{13} \\ u_{22} & u_{23} \end{vmatrix} = 0 \quad (3.65)$$

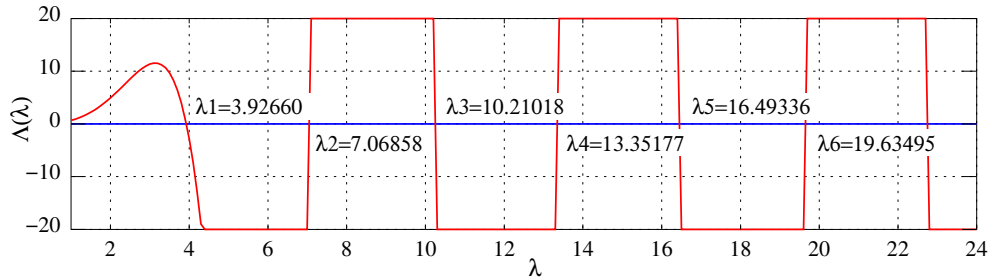
Ülekandemaatriksi elemendid u_{12} , u_{13} , u_{22} ja u_{23} saab avaldisest (3.33).

$$\begin{aligned} \begin{vmatrix} -\frac{1}{\kappa} K_2(\kappa x) & \frac{1}{EI \kappa^3} K_4(\kappa x) \\ K_1(\kappa x) & -\frac{1}{EI \kappa^2} K_3(\kappa x) \end{vmatrix} &= \frac{1}{EI \kappa^3} [K_2(\kappa\ell) K_3(\kappa\ell) - K_1(\kappa\ell) K_4(\kappa\ell)] = \\ \frac{1}{4} \frac{1}{EI \kappa^3} [(\text{sh}\kappa x + \sin \kappa x)(\text{ch}\kappa x - \cos \kappa x) - (\text{ch}\kappa x + \cos \kappa x)(\text{sh}\kappa x - \sin \kappa x)] &= \\ \frac{1}{2} \frac{1}{EI \kappa^3} [\text{ch}\kappa x \sin \kappa\ell - \text{sh}\kappa\ell \cos \kappa x] &= 0 \end{aligned} \quad (3.66)$$

Siit saame sagedusvõrrandi, kus $\lambda = \kappa\ell$ (vrd $\text{th}\lambda = \tan \lambda$ [Kis64, lk 110]).

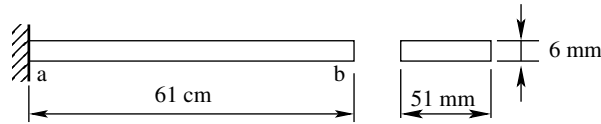
$$\Lambda^{III}(\lambda) = \text{ch}\lambda \sin \lambda - \text{sh}\lambda \cos \lambda = 0 \quad (3.67)$$

Funktsiooni $\Lambda^{III}(\lambda)$ nullpunktide asukohad λ -teljel määrame GNU Octave'i programiga [LiigJaikJuured.m](#). Need nullpunktide asukohad on konsooltala sagedusvõrrandi mõõduta juured $\lambda_i = \kappa_i\ell$: $\lambda_1 = 3.9266023$, $\lambda_2 = 7.0685827$, $\lambda_3 = 10.2101761$, $\lambda_4 = 13.3517687$, $\lambda_5 = 16.4933614$, $\lambda_6 = 19.6349541$ (vrd [Yan05, lk 527], [Sto02, lk 7.17]). Funktsiooni $\Lambda^{III}(\lambda)$ graafiku toome joonisel 3.6.



Joonis 3.6. Liikuva liigendtoe ja jääga toega tala sagedusvõrrandi juured

Näide 3.1 (konsooltala omavõnkumine). Leida joonisel 3.7 kujutatud konsooltala omavõnkesagedused ja -vormid.



Joonis 3.7. Konsooltala

Andmed. Konsooltala pikkus $\ell = 61$ cm, ristlõike kõrgus $h = 6$ mm, ristlõike laius $b = 51$ mm, elastsusmoodul $E = 210$ GN/m², materjali tihedus $\rho = 7.80 \times 10^3$ kg/m³.

Lahendus. Omavõnkesageduste arvutamiseks koostame EST-meetodi võrrandisüsteemi

$$\text{spA} \cdot \mathbf{Z} = 0 \quad (3.68)$$

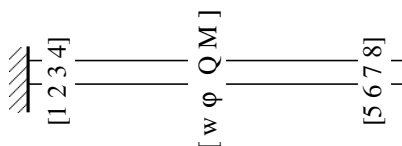
kus \mathbf{Z} on võrrandisüsteemi tundmatute vektor.

$$\mathbf{Z} = \hat{\mathbf{Z}} = \begin{bmatrix} \mathbf{Z}_a \\ \mathbf{Z}_b \end{bmatrix} \quad (3.69)$$

Vektori komponentideks on siirded, paindenurgad, põikjõud ja paindemomendid konsooli ab alguses ning lõpus.

$$\mathbf{Z}_a = \begin{bmatrix} w_A^{(ab)} \\ \varphi_A^{(ab)} \\ Q_A^{(ab)} \\ M_A^{(ab)} \end{bmatrix} = \begin{bmatrix} Z(1) \\ Z(2) \\ Z(3) \\ Z(4) \end{bmatrix}, \quad \mathbf{Z}_b = \begin{bmatrix} w_L^{(ab)} \\ \varphi_L^{(ab)} \\ Q_L^{(ab)} \\ M_L^{(ab)} \end{bmatrix} = \begin{bmatrix} Z(5) \\ Z(6) \\ Z(7) \\ Z(8) \end{bmatrix} \quad (3.70)$$

Muutujate $Z(i)$ ($i = 1, 2, \dots, 8$) järjenumbrid on joonisel 3.8.

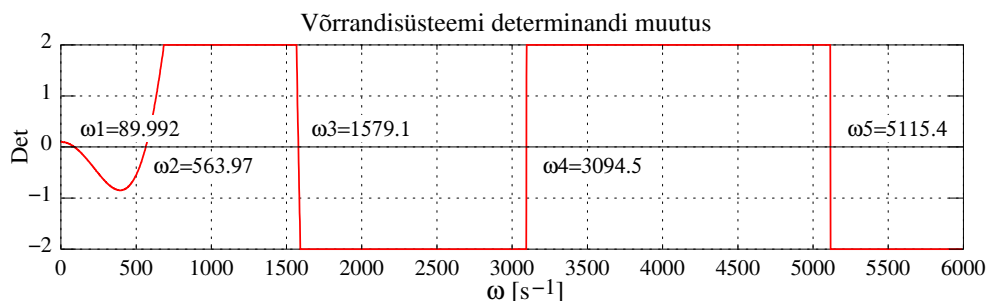


Joonis 3.8. Konsooltala muutujate järjenumbrid

Võrrandisüsteemi (3.68) neli esimest võrrandit on põhivõrrandid (3.34). Ülejäänud neli võrrandit saame rajatingimustest:

$$\begin{aligned} Z(1) &= w_A^{(ab)} = 0 \\ Z(2) &= \varphi_A^{(ab)} = 0 \\ Z(7) &= Q_L^{(ab)} = 0 \\ Z(8) &= M_L^{(ab)} = 0 \end{aligned} \quad (3.71)$$

GNU Octave'i programmiga **NaideKonsool1.m** leiame hõreda võrrandisüsteemi (3.68) determinandi nullid. Konsooltala esimesed kuus omavõnkesagedust: $\omega_1 = 8.9992 \times 10 \text{ s}^{-1}$, $\omega_2 = 5.6397 \times 10^2 \text{ s}^{-1}$, $\omega_3 = 1.5791 \times 10^3 \text{ s}^{-1}$, $\omega_4 = 3.0945 \times 10^3 \text{ s}^{-1}$, $\omega_5 = 5.1154 \times 10^3 \text{ s}^{-1}$, $\omega_6 = 7.6415 \times 10^3 \text{ s}^{-1}$. Võrrandisüsteemi (3.68) determinandi sõltuvus nurksagedusest ω selgub jooniselt 3.9.



Joonis 3.9. Konsooltala omavõnkesagedused

Omavõnkesageduste ω_i (3.15) ja sagedusvõrrandi juurte λ_i [Kis64, lk 110] ning κ_i [Sto02, lk 7.15] vaheline seos ($\lambda_i = \kappa_i \ell$):

$$\omega_i = \kappa_i^2 \sqrt{\frac{EI}{A\rho}} = \frac{\lambda_i^2}{\ell^2} \sqrt{\frac{EI}{A\rho}} = \lambda_i^2 \sqrt{\frac{EI}{m\ell^4}} \quad (3.72)$$

Leitud omavõnkesagedused ω_i teisendame sagedusvõrrandi juurteks $\kappa_i \ell$: $\kappa_1 \ell = 1.875104$, $\kappa_2 \ell = 4.694091$, $\kappa_3 \ell = 7.854757$, $\kappa_4 \ell = 10.995541$, $\kappa_5 \ell = 14.137168$, $\kappa_6 \ell = 17.278760$.

Tabelis 3.1 on toodud EST-meetodiga konsooltala sagedusvõrrandi juured. Need ühtivad täpsete sagedusvõrrandi juurtega (vt lk 72) ja spektraalelementide meetodi [Mal13, lk 42] abil leitud. Tala kõrguse h ja pikkuse ℓ suhe $h/\ell = 0.01$.

Tabel 3.1. Konsooltalasagedusvõrrandi juured

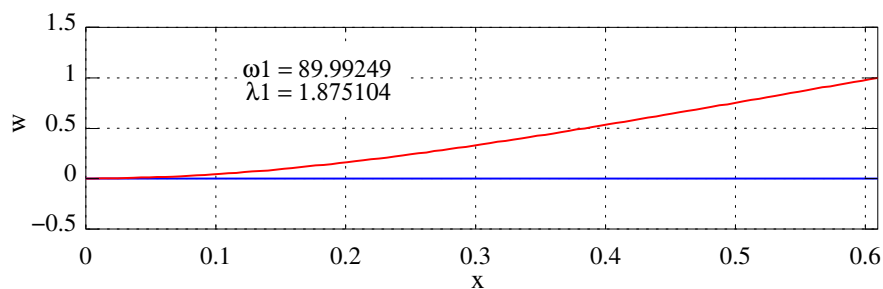
Oma võnke sagedus	EST-meetod Bernoulli teooria		Täpne sagedusvõrrandi juur
	ω [s^{-1}]	λ	λ
1.	89.99249	1.87510	1.87510
2.	563.97333	4.69409	4.69409
3.	1579.14165	7.85476	7.85476
4.	3094.48738	10.99554	10.99554
5.	5115.40936	14.13717	14.13717
6.	7641.53581	17.27876	17.27876

Tabelis tähistab λ sagedusvõrrandi mõõduta juurt:

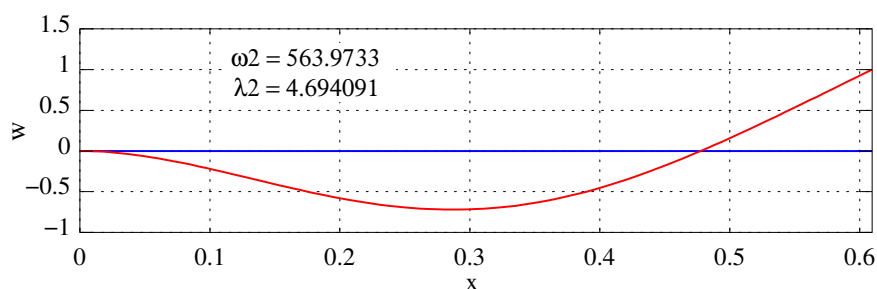
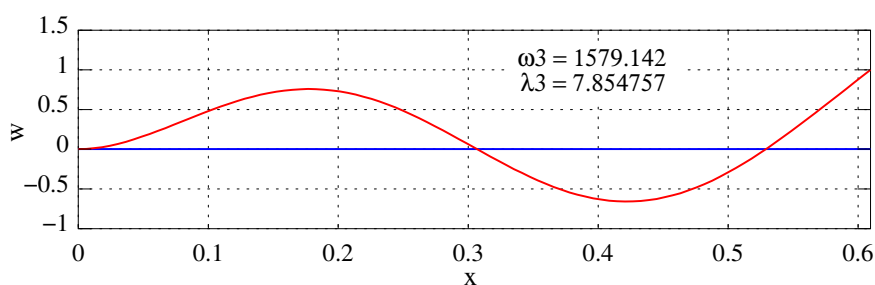
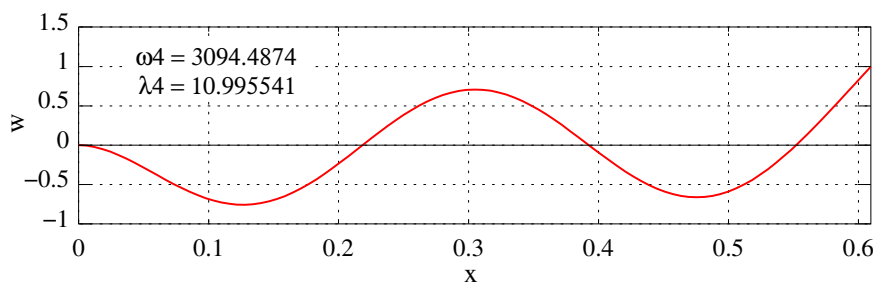
$$\lambda_i = \kappa_i \ell = \sqrt{\omega_i} \left(\frac{\rho A}{EI} \right)^{1/4} \ell \quad (3.73)$$

Omavõnkevormid sagedustel $\omega_1 = 8.9992 \times 10^3 s^{-1}$, $\omega_2 = 5.6397 \times 10^2 s^{-1}$, $\omega_3 = 1.5791 \times 10^3 s^{-1}$ ja $\omega_4 = 3.0945 \times 10^3 s^{-1}$ leiame vastavalt GNU Octave'i programmeerimisega [NaideKonsool1w1.m](#), [NaideKonsool1w2.m](#), [NaideKonsool1w3.m](#) ning [NaideKonsool1w4.m](#). Võrrandisüsteemis (3.68) viime viienda veeru paremale poolele. Lahendame hõreda võrrandisüsteemi vähimruutude meetodiga ja valime lahendist algarvemeetrid.

Konsooltala omavõnkevormid on kujutatud joonisel 3.10.

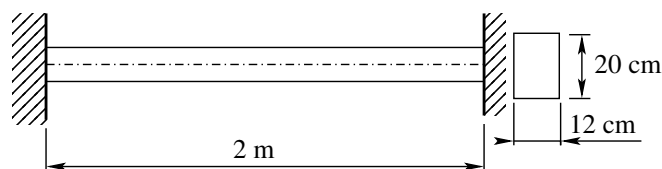


(a) Omavõnkevorm sagedusel $\omega_1 = 8.9992 \times 10^3 s^{-1}$

(b) Omavõnkevorm sagedusel $\omega_2 = 5.6397 \times 10^2 \text{ s}^{-1}$ (c) Omavõnkevorm sagedusel $\omega_3 = 1.5791 \times 10^3 \text{ s}^{-1}$ (d) Omavõnkevorm sagedusel $\omega_4 = 3.0945 \times 10^3 \text{ s}^{-1}$

Joonis 3.10. Konsooltala omavõnkevormid

Näide 3.2 (jäikade tugegeda tala omavõnkumine). Leida joonisel 3.11 kujutatud jäikade tugegeda tala omavõnkesagedused ja -vormid.



Joonis 3.11. Jäikade tugegeda tala

Andmed. Jäikade tugegeda tala pikkus $\ell = 2 \text{ m}$, ristlõike kõrgus $h = 20 \text{ cm}$, ristlõike laius $b = 12 \text{ cm}$, elastsusmodul $E = 210 \text{ GN/m}^2$, materjali tihedus $\rho = 7.80 \times 10^3 \text{ kg/m}^3$.

Lahendus. Omavõnkesageduste arvutamiseks koostame EST-meetodi võrrandisüsteemi

$$\text{spA} \cdot \mathbf{Z} = 0 \quad (3.74)$$

kus \mathbf{Z} on võrrandisüsteemi tundmatute vektor:

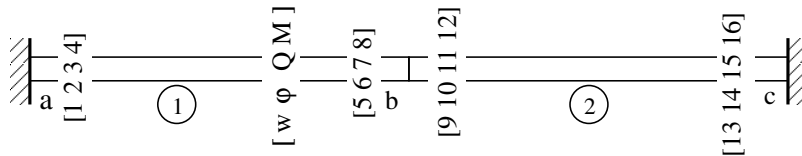
$$\mathbf{Z} = \begin{bmatrix} \mathbf{Z}_a^{(1)} \\ \mathbf{Z}_b^{(1)} \\ \mathbf{Z}_b^{(2)} \\ \mathbf{Z}_c^{(2)} \end{bmatrix} \quad (3.75)$$

Vektori komponentideks on siirded, paindenurgad, põikjõud ja paindemomendid tala elementide ab ja bc (jn 3.12) alguses ning lõpus:

$$\mathbf{Z}_a^{(1)} = \begin{bmatrix} w_A^{(ab)} \\ \varphi_A^{(ab)} \\ Q_A^{(ab)} \\ M_A^{(ab)} \end{bmatrix} = \begin{bmatrix} Z(1) \\ Z(2) \\ Z(3) \\ Z(4) \end{bmatrix}, \quad \mathbf{Z}_b^{(1)} = \begin{bmatrix} w_L^{(ab)} \\ \varphi_L^{(ab)} \\ Q_L^{(ab)} \\ M_L^{(ab)} \end{bmatrix} = \begin{bmatrix} Z(5) \\ Z(6) \\ Z(7) \\ Z(8) \end{bmatrix} \quad (3.76)$$

$$\mathbf{Z}_b^{(2)} = \begin{bmatrix} w_A^{(bc)} \\ \varphi_A^{(bc)} \\ Q_A^{(bc)} \\ M_A^{(bc)} \end{bmatrix} = \begin{bmatrix} Z(9) \\ Z(10) \\ Z(11) \\ Z(12) \end{bmatrix}, \quad \mathbf{Z}_c^{(2)} = \begin{bmatrix} w_L^{(bc)} \\ \varphi_L^{(bc)} \\ Q_L^{(bc)} \\ M_L^{(bc)} \end{bmatrix} = \begin{bmatrix} Z(13) \\ Z(14) \\ Z(15) \\ Z(16) \end{bmatrix} \quad (3.77)$$

Muutujate $Z(i)$ ($i = 1, 2, \dots, 16$) järjenumbrid on joonisel 3.12.



Joonis 3.12. Jäikade tugelega tala muutujate järjenumbrid

Võrrandisüsteemi (3.74) kaheksa esimest võrrandit on põhivõrrandid (3.34). Järgnevad sõlme b pidevus- ja tasakaaluvõrrandid

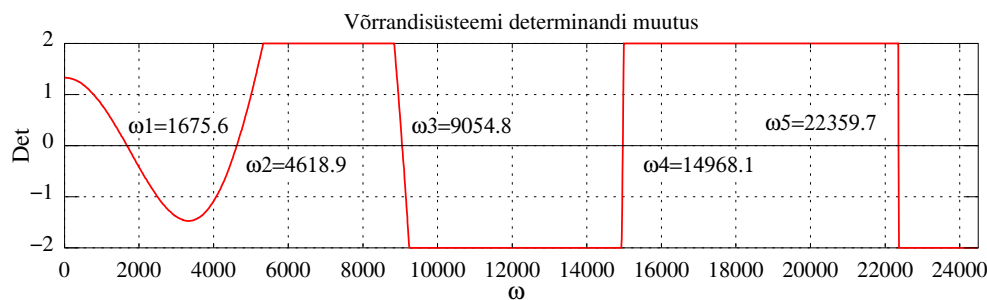
$$\begin{aligned} Z(5) - Z(9) &= w_L^{(ab)} - w_A^{(bc)} = 0 \\ Z(6) - Z(10) &= \varphi_L^{(ab)} - \varphi_A^{(bc)} = 0 \\ Z(7) + Z(11) &= Q_L^{(ab)} + Q_A^{(bc)} = 0 \\ Z(8) + Z(12) &= M_L^{(ab)} + M_A^{(bc)} = 0 \end{aligned} \quad (3.78)$$

Ülejäänud neli võrrandit saame toetingimustest:

$$\begin{aligned} Z(1) &= w_A^{(ab)} = 0 \\ Z(2) &= \varphi_A^{(ab)} = 0 \\ Z(13) &= w_L^{(bc)} = 0 \\ Z(14) &= \varphi_L^{(bc)} = 0 \end{aligned} \quad (3.79)$$

GNU Octave'i programmiga **NaideTala1.m** leiame hõreda võrrandisüsteemi (3.74) determinandi nullid. Võrrandisüsteemi esimesed kuus omavõnkesagedust: $\omega_1 = 1.67560 \times 10^3 \text{ s}^{-1}$, $\omega_2 = 4.618868 \times 10^3 \text{ s}^{-1}$, $\omega_3 = 9.054828 \times 10^3 \text{ s}^{-1}$, $\omega_4 = 1.49681 \times 10^4 \text{ s}^{-1}$, $\omega_5 = 2.23597 \times 10^4 \text{ s}^{-1}$, $\omega_6 = 3.12297 \times 10^4 \text{ s}^{-1}$.

Võrrandisüsteemi (3.74) determinandi sõltuvus nurksagedusest ω on kujutatud joonisel 3.13.



Joonis 3.13. Jäikade tugegedega tala omavõnkesagedused

Leitud omavõnkesagedused ω_i teisendame sagedusvõrrandi juurteks $\lambda_i = \kappa_i \ell$ (vt seos (3.72)): $\kappa_1 \ell = 4.73004$, $\kappa_2 \ell = 7.85321$, $\kappa_3 \ell = 10.99561$, $\kappa_4 \ell = 14.13717$, $\kappa_5 \ell = 17.27876$, $\kappa_6 \ell = 20.42035$. Sagedusvõrrandi juurte võrdlus raamatus [Sto02, lk 7.15] leiduvatega – $\kappa_1 \ell = 4.730$, $\kappa_2 \ell = 7.853$, $\kappa_3 \ell = 10.996$, $\kappa_4 \ell = 14.137$ – näitab head kokkulangevust.

Tabelis 3.2 on toodud EST-meetodiga jäikade tugegedega tala sagedusvõrrandi juured. Need ühtivad täpsete sagedusvõrrandi juurtega (vt lk 73) ja spektraalelementide meetodi [Mal13, lk 45] abil leitudega. Tala kõrguse h ja pikkuse ℓ suhe $h/\ell = 0.01$.

Tabel 3.2. Jäikade tugegedega tala sagedusvõrrandi juured

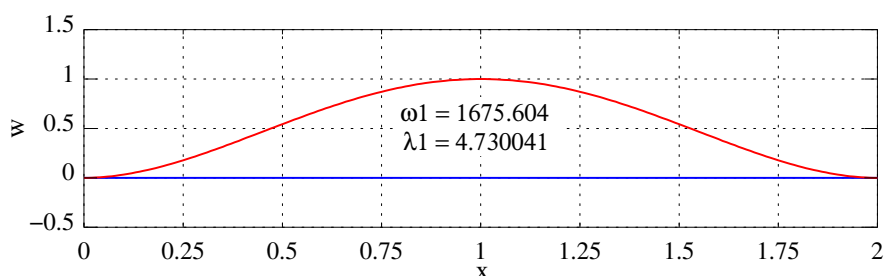
Omavõnkesagedus	EST-meetod Bernoulli teooria		Täpne sagedusvõrrandi juur (3.56)
	$\omega \text{ [s}^{-1}\text{]}$	λ	λ
1.	1675.60440	4.73004	4.73004
2.	4618.86804	7.85321	7.85321
3.	9054.82814	10.99561	10.99561
4.	14968.09087	14.13717	14.13717
5.	22359.74543	17.27876	17.27876
6.	31229.72701	20.42035	20.42035

Tabelis tähistab λ sagedusvõrrandi mõõduta juurt.

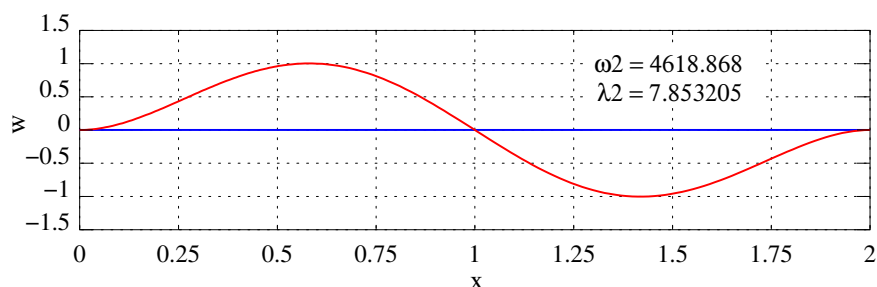
$$\lambda_i = \sqrt{\omega_i} \left(\frac{\rho A}{EI} \right)^{1/4} \ell \quad (3.80)$$

Omaõnkevormid sagedustel $\omega_1 = 1.67560 \times 10^3 \text{ s}^{-1}$, $\omega_2 = 4.618868 \times 10^3 \text{ s}^{-1}$, $\omega_3 = 9.054828 \times 10^3 \text{ s}^{-1}$, $\omega_4 = 1.49681 \times 10^4 \text{ s}^{-1}$ leiame vastavalt GNU Octave'i programmidega **NaideTala1w1.m**, **NaideTala1w2.m**, **NaideTala1w3.m** ja **NaideTala1w4.m**. Nendes programmides on tala pikkus $\ell = 2 \text{ m}$ jagatud kaheks elemendiks, mille pikkuseks vastavalt omaõnkesagedusele võtame $(1.0 + 1.0) \text{ m}$, $(0.6 + 1.4) \text{ m}$, $(0.4 + 1.6) \text{ m}$ ja $(0.3 + 1.7) \text{ m}$. Neljas võrrandisüsteemis (3.74) viime viienda, s.t tundmatu $Z(5)$ veeru paremale poolele ja võrdsustame ühega. Lahendades hõreda võrrandisüsteemi vähimruutude meetodiga, saame lahendist valida algparameetrid.

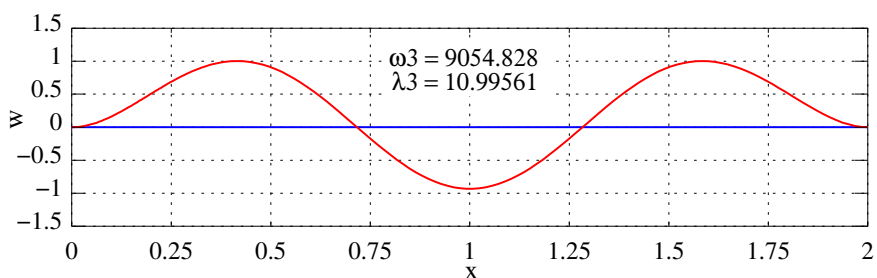
Omaõnkevormid on kujutatud joonisel 3.14.



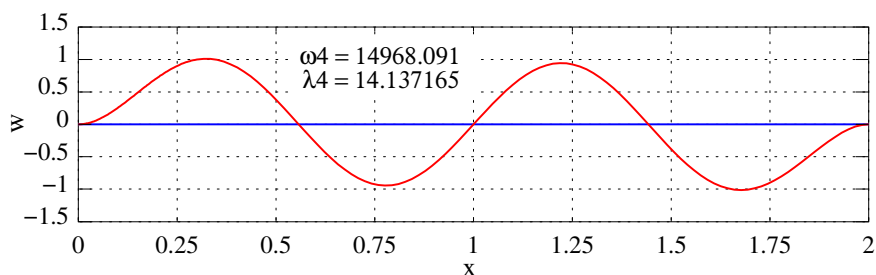
(a) Omaõnkevorm sagedusel $\omega_1 = 1.67560 \times 10^3 \text{ s}^{-1}$



(b) Omaõnkevorm sagedusel $\omega_2 = 4.618868 \times 10^3 \text{ s}^{-1}$

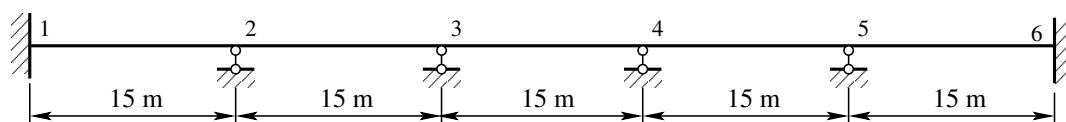


(c) Omaõnkevorm sagedusel $\omega_3 = 9.054828 \times 10^3 \text{ s}^{-1}$

(d) Omavõnkevorm sagedusel $\omega_4 = 1.49681 \times 10^4 \text{ s}^{-1}$

Joonis 3.14. Jäikade tugelega tala omavõnkevormid

Näide 3.3 (viiesildeline jätkuvtala). Leida joonisel 3.15 kujutatud viiesildelise jätkuvtala omavõnkesagedused ja -vormid.



Joonis 3.15. Viiesildeline jätkuvtala

Andmed. Jätkuvtatal on võrdsed silded $\ell_i = 15 \text{ m}$ ($i = 1, 2, \dots, 5$). Ristlõike inertsimoment $I = 2.23 \times 10^{-2} \text{ m}^4$, elastsusmoodul $E = 2.3544 \times 10^{10} \text{ Pa}$, ristlõikepindala $A = 0.20752 \text{ m}^2$, materjali tihedus $\rho = 7.80 \times 10^3 \text{ kg/m}^3$.

Jätkuvtala geomeetriselised mõõtmed ja materjali omadused on vastavuses raamatus [Kol65, lk 176] leiduvatega, kus elastsusmoodul $E = 2.4 \times 10^6 \text{ tm}^{-2}$ ja tala lausmass meetri kohta $m = 0.165 \text{ tm}^{-2}\text{s}^2$.

Lahendus. Algpameetrite leidmiseks koostame EST-meetodi võrrandisüsteemi

$$\text{spA} \cdot \mathbf{Z} = \mathbf{B} \quad (3.81)$$

kus spA on võrrandisüsteemi kordajate hõre maatriks, milles on 152 nullist erinevat elementi:

Compressed Column Sparse (rows = 48, cols = 48, nnz = 152 [6.6%])

\mathbf{B} on vabaliikmete vektor ja \mathbf{Z} on võrrandisüsteemi tundmatute vektor:

$$\mathbf{Z} = \begin{bmatrix} \mathbf{Z}_1^{(1)} \\ \mathbf{Z}_2^{(1)} \\ \mathbf{Z}_2^{(2)} \\ \mathbf{Z}_3^{(2)} \\ \mathbf{Z}_3^{(3)} \\ \mathbf{Z}_4^{(3)} \\ \vdots \\ \mathbf{Z}_5^{(5)} \\ \mathbf{Z}_6^{(5)} \\ \mathbf{Z}_1^{(C)} \\ \mathbf{Z}_{2\&3}^{(C)} \\ \mathbf{Z}_{4\&5}^{(C)} \\ \mathbf{Z}_6^{(C)} \end{bmatrix} \quad (3.82)$$

Vektori komponentideks on siirded, paindenurgad, põikjõud ja paindemomendid tala elementide alguses ja lõpus ning toereaktsioonid (jn 3.16):

$$\mathbf{Z}_1^{(1)} = \begin{bmatrix} w_A^{(1)} \\ \varphi_A^{(1)} \\ Q_A^{(1)} \\ M_A^{(1)} \end{bmatrix} = \begin{bmatrix} Z(1) \\ Z(2) \\ Z(3) \\ Z(4) \end{bmatrix}, \quad \mathbf{Z}_2^{(1)} = \begin{bmatrix} w_L^{(1)} \\ \varphi_L^{(1)} \\ Q_L^{(1)} \\ M_L^{(1)} \end{bmatrix} = \begin{bmatrix} Z(5) \\ Z(6) \\ Z(7) \\ Z(8) \end{bmatrix} \quad (3.83)$$

$$\mathbf{Z}_2^{(2)} = \begin{bmatrix} w_A^{(2)} \\ \varphi_A^{(2)} \\ Q_A^{(2)} \\ M_A^{(2)} \end{bmatrix} = \begin{bmatrix} Z(9) \\ Z(10) \\ Z(11) \\ Z(12) \end{bmatrix}, \quad \mathbf{Z}_3^{(2)} = \begin{bmatrix} w_L^{(2)} \\ \varphi_L^{(2)} \\ Q_L^{(2)} \\ M_L^{(2)} \end{bmatrix} = \begin{bmatrix} Z(13) \\ Z(14) \\ Z(15) \\ Z(16) \end{bmatrix} \quad (3.84)$$

$$\mathbf{Z}_3^{(3)} = \begin{bmatrix} w_A^{(3)} \\ \varphi_A^{(3)} \\ Q_A^{(3)} \\ M_A^{(3)} \end{bmatrix} = \begin{bmatrix} Z(17) \\ Z(18) \\ Z(19) \\ Z(20) \end{bmatrix}, \quad \mathbf{Z}_4^{(3)} = \begin{bmatrix} w_L^{(3)} \\ \varphi_L^{(3)} \\ Q_L^{(3)} \\ M_L^{(3)} \end{bmatrix} = \begin{bmatrix} Z(21) \\ Z(22) \\ Z(23) \\ Z(24) \end{bmatrix} \quad (3.85)$$

...

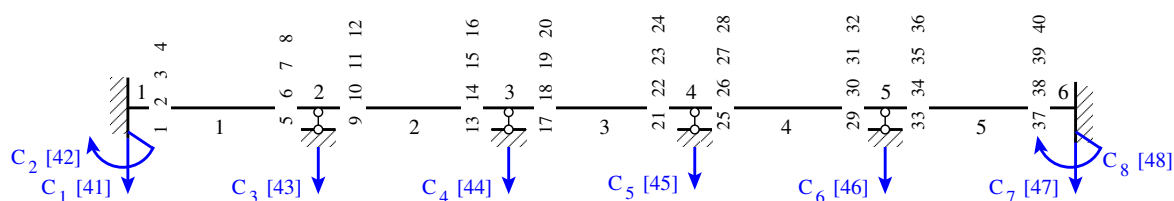
...

$$\mathbf{Z}_5^{(5)} = \begin{bmatrix} w_A^{(5)} \\ \varphi_A^{(5)} \\ Q_A^{(5)} \\ M_A^{(5)} \end{bmatrix} = \begin{bmatrix} Z(33) \\ Z(34) \\ Z(35) \\ Z(36) \end{bmatrix}, \quad \mathbf{Z}_6^{(5)} = \begin{bmatrix} w_L^{(5)} \\ \varphi_L^{(5)} \\ Q_L^{(5)} \\ M_L^{(6)} \end{bmatrix} = \begin{bmatrix} Z(37) \\ Z(38) \\ Z(39) \\ Z(40) \end{bmatrix} \quad (3.86)$$

$$\mathbf{Z}_1^{(C)} = \begin{bmatrix} C_1 \\ C_2 \end{bmatrix} = \begin{bmatrix} Z(41) \\ Z(42) \end{bmatrix}, \quad \mathbf{Z}_{2\&3}^{(C)} = \begin{bmatrix} C_3 \\ C_4 \end{bmatrix} = \begin{bmatrix} Z(43) \\ Z(44) \end{bmatrix} \quad (3.87)$$

$$\mathbf{Z}_{4\&5}^{(C)} = \begin{bmatrix} C_5 \\ C_6 \end{bmatrix} = \begin{bmatrix} Z(45) \\ Z(46) \end{bmatrix}, \quad \mathbf{Z}_6^{(C)} = \begin{bmatrix} C_7 \\ C_8 \end{bmatrix} = \begin{bmatrix} Z(47) \\ Z(48) \end{bmatrix} \quad (3.88)$$

Muutujate $Z(i)$ ($i = 1, 2, \dots, 48$) järjenumbri on joonisel 3.16.



Joonis 3.16. Viiesildelise jätkuvtala muutujate järjenumbri

Võrrandisüsteemi (3.81) esimesed kaksikümmend võrrandit on põhivõrrandid (3.34). Need koostatakse GNU Octave'i programmis [NaideJtkTala5det.m](#) (vt programmi väljavõtet 3.1).

Väljavõte programmist 3.1 ([NaideJtkTala5det.m](#))

```
# hõreda laiendatud ülekanematriksi arvutus
spvFn1=sptalaylekM(baasi0, l1, wf, mg, A, EI);
```

```
# hõreda laiendatud ülekanematriksi arvutus
spyleF1=sptalaylekM(baasi0, l1, wf, mg, A, EI); ;
IIv=1;
```

```
IJv=1;
# asetab ülekanematriksi võrrandisüsteemi
spA=spInsertBtoA(spA, IIv, IJv, spyleF1);
```

```
spyleF2=sptalaylekM(baasi0, l2, wf, mg, A, EI); ;
IIv=5;
```

```
IJv=9;
spA=spInsertBtoA(spA, IIv, IJv, spyleF2);
```

```
spyleF3=sptalaylekM(baasi0, l3, wf, mg, A, EI); ;
IIv=9;
```

```
IJv=17;
spA=spInsertBtoA(spA, IIv, IJv, spyleF3);
```

```
spyleF4=sptalaylekM(baasi0, l4, wf, mg, A, EI); ;
IIv=13;
```

```
IJv=25;
spA=spInsertBtoA(spA, IIv, IJv, spyleF4);
```

```
spyleF5=sptalaylekM(baasi0, l5, wf, mg, A, EI); ;
IIv=17;
```

```
IJv=33;
spA=spInsertBtoA(spA, IIv, IJv, spyleF5);
```

```
%IIv=21; - 20 võrrandit
```

```
%IJv=41; - 40 tundmatut + 8 toereaktsiooni
```

Järgnevad sõlmede pidevus- ja tasakaaluvõrrandid.

Pidevusvõrrandid

Sõlm 2

$$Z(5) - Z(9) = w_L^{(1)} - w_A^{(2)} = 0$$

$$Z(6) - Z(10) = \varphi_L^{(1)} - \varphi_A^{(2)} = 0$$

Sõlm 3

$$Z(13) - Z(17) = w_L^{(2)} - w_A^{(3)} = 0$$

$$Z(14) - Z(18) = \varphi_L^{(2)} - \varphi_A^{(3)} = 0$$

Sõlm 4

$$Z(21) - Z(25) = w_L^{(3)} - w_A^{(4)} = 0$$

$$Z(22) - Z(26) = \varphi_L^{(3)} - \varphi_A^{(4)} = 0$$

Sõlm 5

$$Z(29) - Z(33) = w_L^{(4)} - w_A^{(5)} = 0$$

$$Z(30) - Z(34) = \varphi_L^{(4)} - \varphi_A^{(5)} = 0$$

(3.89)

Tasakaaluvõrrandid

Sõlm 1

$$Z(7) + Z(11) + Z(41) = Q_L^{(1)} + Q_A^{(2)} + C_1 = 0$$

$$Z(8) + Z(12) + Z(42) = M_L^{(1)} + M_A^{(2)} + C_2 = 0$$

Sõlm 2

$$Z(7) + Z(11) + Z(43) = Q_L^{(1)} + Q_A^{(2)} + C_3 = 0$$

$$Z(8) + Z(12) = M_L^{(1)} + M_A^{(2)} = 0$$

Sõlm 3

$$Z(15) + Z(19) + Z(44) = Q_L^{(2)} + Q_A^{(3)} + C_4 = 0$$

$$Z(16) + Z(20) = M_L^{(2)} + M_A^{(3)} = 0$$

Sõlm 4

$$Z(23) + Z(27) + Z(45) = Q_L^{(3)} + Q_A^{(4)} + C_5 = 0$$

$$Z(24) + Z(27) = M_L^{(3)} + M_A^{(4)} = 0$$

Sõlm 5

$$Z(31) + Z(35) + Z(46) = Q_L^{(4)} + Q_A^{(5)} + C_6 = 0$$

$$Z(32) + Z(36) = M_L^{(4)} + M_A^{(5)} = 0$$

Sõlm 6

$$Z(31) + Z(35) + Z(47) = Q_L^{(4)} + Q_A^{(5)} + C_7 = 0$$

$$Z(32) + Z(36) + Z(48) = M_L^{(4)} + M_A^{(5)} + C_8 = 0$$

(3.90)

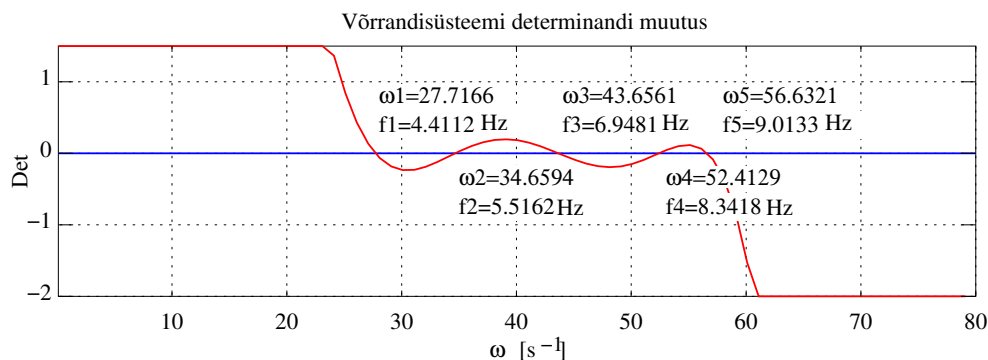
Ülejäänud kaheksa võrrandit saame toetingimustest.

$$\begin{aligned}
 &\text{Sõlm 1} \\
 &Z(1) = w_A^{(1)} = 0 \\
 &Z(2) = \varphi_A^{(1)} = 0 \\
 &\text{Sõlm 2} \\
 &Z(9) = w_A^{(1)} = 0 \\
 &\text{Sõlm 3} \\
 &Z(17) = w_A^{(1)} = 0 \\
 &\text{Sõlm 4} \\
 &Z(25) = w_A^{(1)} = 0 \\
 &\text{Sõlm 5} \\
 &Z(33) = w_A^{(1)} = 0 \\
 &\text{Sõlm 6} \\
 &Z(37) = w_L^{(5)} = 0 \\
 &Z(38) = \varphi_L^{(5)} = 0
 \end{aligned} \tag{3.91}$$

Koostatud võrrandisüsteemil (3.81) on 48 võrrandit 48 tundmatuga, kus nullist erinevaid elemente on 152 (6.6%):

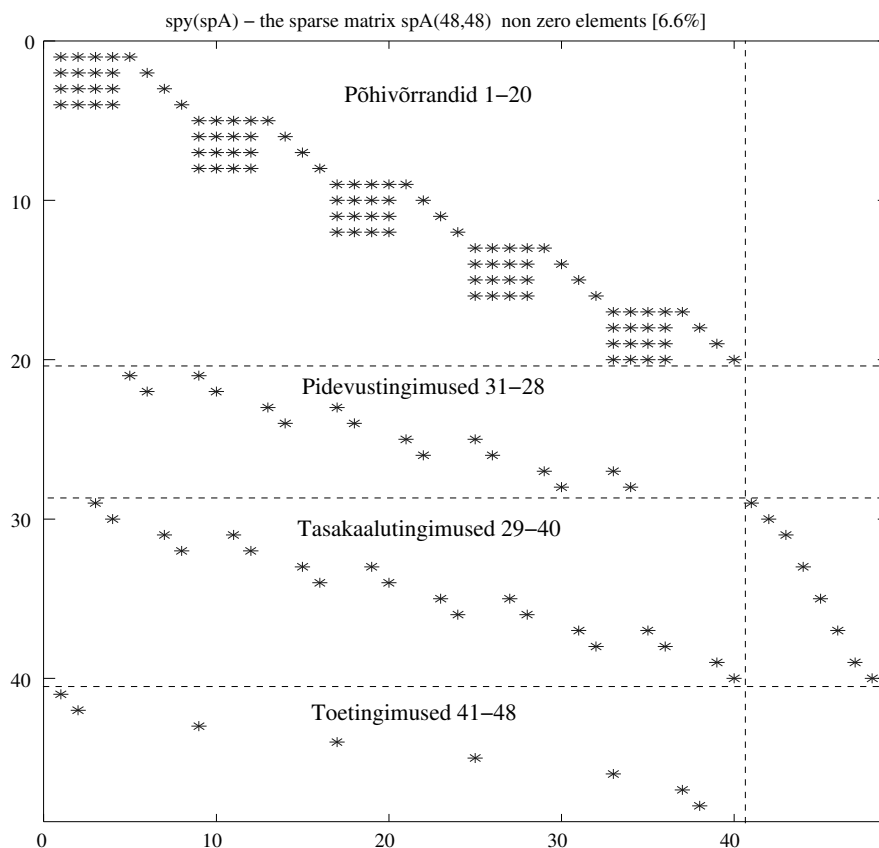
Compressed Column Sparse (rows = 48, cols = 48, nnz = 152 [6.6%])

GNU Octave'i programmiga [NaideJtkTala5det.m](#) leiame võrrandisüsteemi (3.81) determinandi nullid, s.t viiesildelise jätkuvtala omavõnkesagedused (jn 3.17).



Joonis 3.17. Viiesildelise jätkuvtala omavõnkesagedused

Võrrandisüsteemi tundmatute kordajate maatriksi sp_A muster on joonisel 3.18.



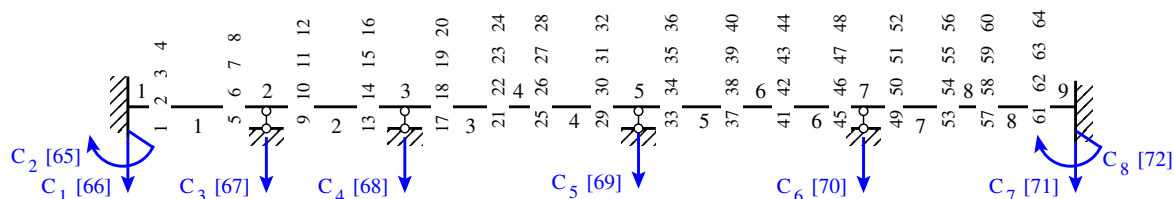
Joonis 3.18. Viiesildelise jätkuvtala maatriksi spA muster

Tabelis 3.3 võrreldakse EST-meetodiga arvatatud ja raamatus [Kol65, lk 176] deformatsioonimeetodiga leitud viiesildelise jätkuvtala omavõnkesagedusi.

Tabel 3.3. Viiesildelise jätkuvtala omavõnkesagedused

Omavõnkesagedus	EST-meetod. Euleri-Bernoulli teooria			Def-meetod [Kol65, lk 176]
	Sagedus ω [s^{-1}]	Sagedus f [Hz]	Erinevus def-meetodist %	Sagedus f [Hz]
1.	27.7166	4.4112	0.25	4.40
2.	34.6594	5.5162	0.069	5.52
3.	43.6561	6.9481	0.32	6.97
4.	52.4129	8.3418	0.098	8.35
5.	56.6321	9.0133	0.15	9.00
6.	105.6309	16.8117		

Viiesildelise jätkuvtala omavõnkevormide arvutamiseks jagame elemendid 3, 4 ja 5 (jn 3.16) pooleks. Lisame sõlmed 4, 6 ja 8 (jn 3.19).



Joonis 3.19. Viiesildeline jätkuvtala muutujate järjestumbrid omavõnkevormide arvutamiseks

Nüüd on koostatud võrrandisüsteemil 72 võrrandit 72 tundmatuga:

```
spAnull =
Compressed Column Sparse (rows = 72, cols = 72, nnz = 236 [4.6%])
```

Omavõnkesagedustel on kordajate maatriksi `spAnull` astak 71. Viime ühe veeru, mis kirjeldab siiret talaelemendi lõpus, võrrandisüsteemi paremale poolele. Lineaarne võrrandisüsteem on lahenduv, sest tema astak võrdub laiendatud maatriksi astakuga ja see on võrdne tundmatute arvuga võrrandisüsteemis.²

Valides GNU Octave'i programmis `NaideJtkTala5Vormid.m` sagedusvariandi 1 ($\omega_1 = 27.7166$), viime veeru `Z` (21) paremale poolele.

Lahendanud hõreda võrrandisüsteemi vähimruutude meetodiga, saame lahendist (`Xvect`) valida algparameetrid (vt programmi väljavõtte 3.2).

Väljavõtte programmist 3.2 (`NaideJtkTala5Vormid.m`)

```
SalgPar1=Xvect(1:4,1); %% SalgPar1=Xvect(1:4,1);
SalgPar2=Xvect(9:12,1); %% SalgPar2=Xvect(9:12,1)
SalgPar3=Xvect(17:20,1); %% SalgPar3=Xvect(17:20,1);
SalgPar4=Xvect(24:27,1); %% SalgPar4=Xvect(25:28,1); Algparameetrid
SalgPar5=Xvect(32:35,1); %% SalgPar5=Xvect(33:36,1); on
SalgPar6=Xvect(40:43,1); %% SalgPar6=Xvect(41:44,1); nihutatud
SalgPar7=Xvect(48:51,1); %% SalgPar7=Xvect(49:52,1); ühe võrra
SalgPar8=Xvect(56:59,1); %% SalgPar8=Xvect(57:60,1); ettepoole
```

Algparameetrite meetodi maatriksvõrrandiga (3.31)

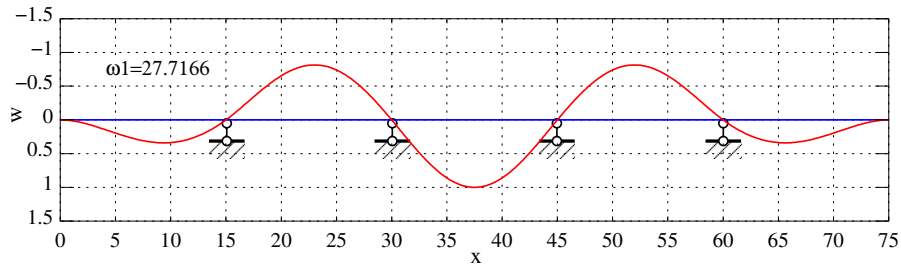
$$\mathbf{Z}_x = \mathbf{U}_x \cdot \mathbf{Z}_A \quad (3.92)$$

arvutame kuue elemendi siirded.

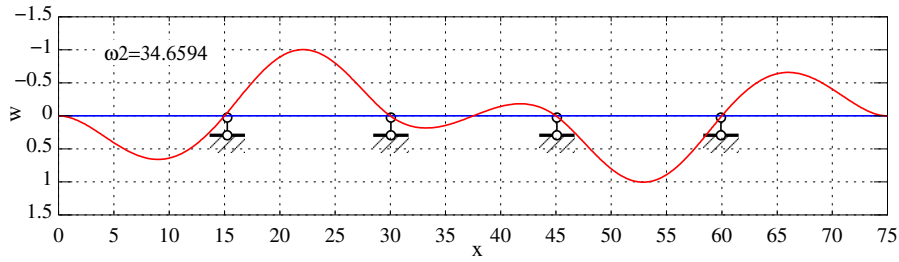
Omavõnkesagedustele ($\omega_1 = 27.7166$, $\omega_2 = 34.6594$, $\omega_3 = 43.6561$, $\omega_4 = 52.4129$, $\omega_5 = 56.6321$, $\omega_6 = 105.6309$) vastavad omavõnkevormid leiame GNU Octave'i programmis `NaideJtkTala5Vormid.m`, kus eelnevalt valime sagedusvariandi numbrit.

Omavõnkevormid on kujutatud joonisel 3.20.

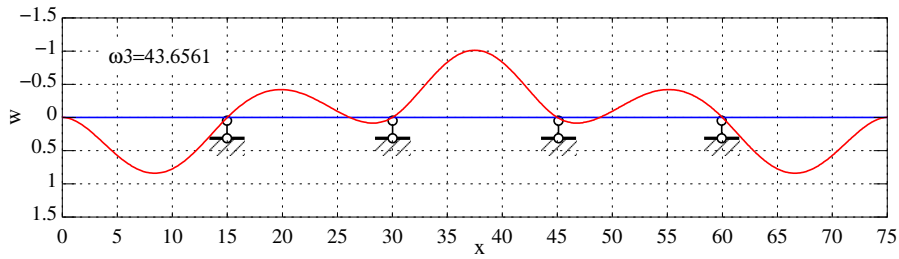
²<http://enos.itcollege.ee/~lepikult/lineaaralgebra/Astak.ppt> (10.07.2017)



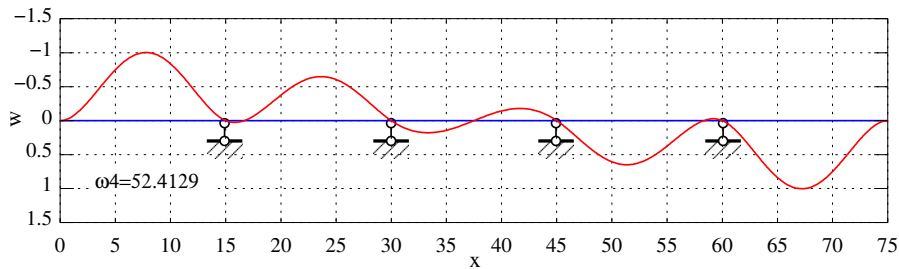
(a) Omavõnkevorm sagedusel $f_1 = 4.4112$ Hz



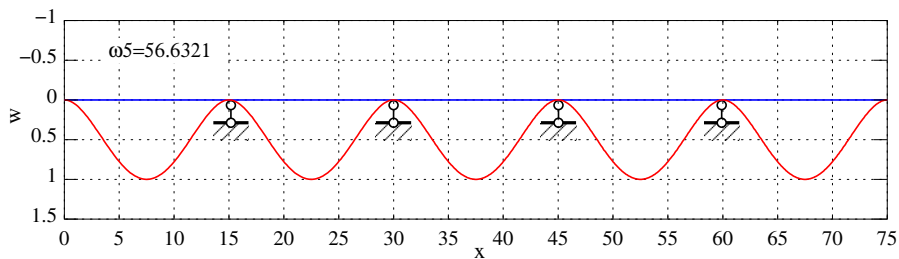
(b) Omavõnkevorm sagedusel $f_2 = 5.5162$ Hz



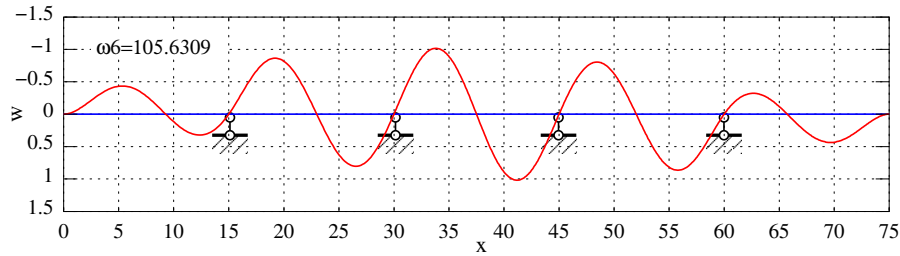
(c) Omavõnkevorm sagedusel $f_3 = 6.9481$ Hz



(d) Omavõnkevorm sagedusel $f_4 = 8.3418$ Hz



(e) Omavõnkevorm sagedusel $f_5 = 9.0133$ Hz

(f) Omavõnkevorm sagedusel $f_6 = 16.8117$ Hz

Joonis 3.20. Viiesildelise jätkuvtala omavõnkevormid

3.3 Euleri-Bernoulli tala sundvõnkumine

Vaatleme tala liikumisvõrrandit [EP67, lk 221], [Kis64, lk 102]

$$EI_y \frac{\partial^4 w}{\partial x^4} = p_z(x, t) - \rho A \frac{\partial^2 w}{\partial t^2} \quad (3.93)$$

Kui talale mõjuv koormus muutub ajas viisil $p_z(x, t) = q(x) \sin \theta t$ [SALŠ84, lk 196], siis saame

$$EI_y \frac{\partial^4 w}{\partial x^4} + \rho A \frac{\partial^2 w}{\partial t^2} = q(x) \sin \theta t \quad (3.94)$$

Otsime sundvõnkumise kuju kahe funktsiooni korrutisena [SALŠ84, lk 196]:

$$w(x, t) = f(x) \sin \theta t \quad (3.95)$$

Esimene tegur sõltub siin ainult koordinaadist x ja teine ainult ajast t .

Asetame avaldise (3.95) diferentsiaalvõrrandisse (3.94). Mittehomogeense diferentsiaalvõrrandi vabaliikmele lisame lauskoormusega ekvivalentse üldistatud koormuse [YSM00], [Abu03, lk 193].

$$EI_y f^{IV}(x) - \rho A \theta^2 f(x) = q(x) \quad (3.96)$$

ehk

$$f^{IV}(x) - \kappa^4 f(x) = \frac{q(x)}{EI_y} + \frac{F_z(x) \delta(x - x_o)}{EI_y} + \frac{\mathcal{M}_y(x) \delta^{(1)}(x - x_o)}{EI_y} \quad (3.97)$$

Siin

$$\kappa^4 = \frac{\omega^2 \rho A}{EI_y} \quad (3.98)$$

$F_z(x) \delta(x - x_o)$ on lauskoormusega $q_z(x)$ ekvivalentne koondjõud,
 $\mathcal{M}_y(x) \delta^{(1)}(x - x_o)$ – lauskoormusega $q_z(x)$ ekvivalentne koondmoment,

$\delta(x - x_0)$ – Dirac'i deltafunktsioon,
 $\delta^{(1)}(x - x_0)$ – Dirac'i deltafunktsiooni tuletis.

Diferentsiaalvõrrandi (3.97) lahend $f(x)$ koosneb homogeenest lahendist $f_h(x)$ ja erilahendist $f_e(x)$, s.t $f(x) = f_h(x) + f_e(x)$.

Homogeenne diferentsiaalvõrrandi lahend teise märgikokkuleppe puhul $f_h(x) = w_h(x)$ on toodud avaldisega (3.27).

Mittehomogeenne diferentsiaalvõrrandi (3.97) erilahendit $f_e(x)$ otsime Cauchy valemi [Ste59] abil:

$$f_e(x) = \int_{x_0}^x G_n(x, \xi) g_n(\xi) d\xi \quad (3.99)$$

kus $G(x, \xi)$ on vastava homogeenne diferentsiaalvõrrandi normeeritud lahendite fundamentaalsüsteem. Täpsemalt,

$$f_e(x) = \int_{x_0}^x G_4(x, \xi) g_4(\xi) d\xi + \int_{x_0}^x G_3(x, \xi) g_3(\xi) d\xi + \int_{x_0}^x G_2(x, \xi) g_2(t) d\xi \quad (3.100)$$

Siin kasutame normeeritud lahendite fundamentaalsüsteemi (3.20)–(3.22):

$$G_4(x, \xi) = f_4(x - \xi) = \frac{1}{2\kappa^3} (\text{sh}\kappa(x - \xi) - \sin \kappa(x - \xi)) = \frac{1}{\kappa^3} K_4(\kappa(x - \xi)) \quad (3.101)$$

$$G_3(x, \xi) = f_3(x - \xi) = \frac{1}{2\kappa^2} (\text{ch}\kappa(x - \xi) - \cos \kappa(x - \xi)) = \frac{1}{\kappa^2} K_3(\kappa(x - \xi)) \quad (3.102)$$

$$G_2(x, \xi) = f_2(x - \xi) = \frac{1}{2\kappa} (\text{sh}\kappa(x - \xi) + \sin \kappa(x - \xi)) = \frac{1}{\kappa} K_2(\kappa(x - \xi)) \quad (3.103)$$

ja koormusfunktsioone $g_n(\xi)$:

$$g_4(\xi) = \frac{q_z(\xi)}{EI_y}, \quad g_3(\xi) = \frac{F_z(\xi)}{EI_y}, \quad f_2(\xi) = \frac{\mathcal{M}_y(\xi)}{EI_y} \quad (3.104)$$

Vaatleme juhtu, kui $q_z/EI_y = \text{const}$. Erilahendi (3.100) saamiseks tuleb integreerida avaldis

$$f_{4e}(x) = \int_{x_0}^x G_4(x, t) g_4(t) d\xi = \frac{q_z}{EI_y} \frac{1}{2\kappa^3} \int_{x_0}^x (\text{sh}\kappa(x - \xi) - \sin \kappa(x - \xi)) d\xi \quad (3.105)$$

Esmalt integreerime integraalide (3.105) esimese liikme:

$$\int_a^x \text{sh}\kappa(x - \xi) d\xi = -\frac{1}{\kappa} \text{ch}\kappa(x - \xi) \Big|_a^x = \frac{1}{\kappa} (\text{ch}\kappa(x - a)_+ - 1) \quad (3.106)$$

kus $\langle x - a \rangle_+$ on katkevusfunktsioon.

$$\langle x - a \rangle_+^n = (x - a)^n H(x - a) \quad (3.107)$$

Siin on $H(x - a)$ Heaviside'i funktsioon.

$$H(x - a) = \begin{cases} 0, & kui \quad (x - a) < 0 \\ 1, & kui \quad (x - a) \geq 0 \end{cases} \quad (3.108)$$

Integraali (3.105) teise liikme integreerimisel saame

$$\int_a^x \sin \kappa(x - \xi) d\xi = \frac{1}{\kappa} \cos \kappa(x - \xi) \Big|_a^x = \frac{1}{\kappa} - \frac{1}{\kappa} \cos \langle x - a \rangle_+ \quad (3.109)$$

Asetame leitud integraalid erilahendisse (3.105):

$$\begin{aligned} f_{4e}(x) &= \frac{q_z}{EI_y} \frac{1}{2\kappa^4} [\operatorname{ch} \kappa \langle x - a \rangle_+ + \cos \kappa \langle x - a \rangle_+ - 2] \\ &= \frac{q_z}{EI_y} \frac{1}{\kappa^4} [K_1(\kappa \langle x - a \rangle_+) - 1] = \frac{q_z}{EI_y} \frac{\ell^4}{\lambda^4} [K_1(\kappa \langle x - a \rangle_+) - 1] \end{aligned} \quad (3.110)$$

Saadud erilahendi $f_{4e}(x)$ võrdlemiseks raamatus [PL63, lk 143] olevaga võtame arvesse, et $\lambda = \kappa \ell$. Leitud erilahend ühtib raamatus [SALŠ84, lk 197] esitatuga.

Mittehomogeense diferentsiaalvõrrandi (3.97) teisele vabaliikmele ($F_z/EI_y = \text{const}$) vastava erilahendi saab avaldist (3.100) integreerides:

$$f_{3e}(x) = \int_{x_0}^x G_3(x, \xi) g_3(t) d\xi = \frac{F_z}{EI_y} \frac{1}{2\kappa^2} \int_{x_0}^x (\operatorname{ch} \kappa(x - \xi) - \cos \kappa(x - \xi)) d\xi \quad (3.111)$$

Integreerime integraalide (3.111) esimese liikme:

$$\int_a^x \operatorname{ch} \kappa(x - \xi) d\xi = -\frac{1}{\kappa} \operatorname{sh} \kappa(x - \xi) \Big|_a^x = \frac{1}{\kappa} \operatorname{sh} \kappa \langle x - a \rangle_+ \quad (3.112)$$

Teise liikme integreerimisel saame

$$\int_a^x \cos \kappa(x - \xi) d\xi = -\frac{1}{\kappa} \sin \kappa(x - \xi) \Big|_a^x = \frac{1}{\kappa} \sin \kappa \langle x - a \rangle_+ \quad (3.113)$$

Asetame leitud integraalid erilahendisse (3.111):

$$\begin{aligned} f_{3e}(x) &= \frac{F_z}{EI_y} \frac{1}{2\kappa^3} [\operatorname{sh} \kappa \langle x - a \rangle_+ - \sin \kappa \langle x - a \rangle_+] \\ &= \frac{F_z}{EI_y} \frac{1}{\kappa^3} [K_4(\kappa \langle x - a \rangle_+)] = \frac{F_z}{EI_y} \frac{\ell^3}{\lambda^3} [K_4(\kappa \langle x - a \rangle_+)] \end{aligned} \quad (3.114)$$

Mittehomogeense diferentsiaalvõrrandi (3.97) kolmandale vabaliikmele ($\mathcal{M}_y/EI_y = \text{const}$) vastava erilahendi saab avaldist (3.100) integreerides:

$$f_{2e}(x) = \int_{x_0}^x G_2(x, \xi) g_2(t) d\xi = \frac{\mathcal{M}_y}{EI_y} \frac{1}{2\kappa} \int_{x_0}^x (\operatorname{sh} \kappa(x - \xi) + \sin \kappa(x - \xi)) d\xi \quad (3.115)$$

Esmalt integreerime integraalide (3.115) esimese liikme:

$$\int_a^x \operatorname{sh} \kappa (x - \xi) d\xi = -\frac{1}{\kappa} \operatorname{ch} \kappa (x - \xi) \Big|_a^x = \frac{1}{\kappa} (\operatorname{ch} \kappa \langle x - a \rangle_+ - 1) \quad (3.116)$$

Teise liikme integreerimisel saame

$$\int_a^x \sin \kappa (x - \xi) d\xi = \frac{1}{\kappa} \cos \kappa (x - \xi) \Big|_a^x = \frac{1}{\kappa} - \frac{1}{\kappa} \cos \kappa \langle x - a \rangle_+ \quad (3.117)$$

Asetame leitud integraalid erilahendisse (3.115):

$$\begin{aligned} f_{2e}(x) &= \frac{\mathcal{M}_y}{EI_y} \frac{1}{2\kappa^2} [\operatorname{ch} \kappa \langle x - a \rangle_+ - \cos \kappa \langle x - a \rangle_+] \\ &= \frac{\mathcal{M}_y}{EI_y} \frac{1}{\kappa^2} [K_3(\kappa \langle x - a \rangle_+)] = \frac{\mathcal{M}_y \ell^2}{EI_y \lambda^2} [K_3(\kappa \langle x - a \rangle_+)] \end{aligned} \quad (3.118)$$

Erilahenditest (3.110), (3.114) ja (3.118) koostame koormusvektorid $-\overset{\circ}{\mathbf{Z}}$ (3.34).

3.3.1 Koormusvektor paindel

Koormusvektor $\overset{\circ}{\mathbf{Z}} = \overset{\circ}{\mathbf{Z}}_q + \overset{\circ}{\mathbf{Z}}_F + \overset{\circ}{\mathbf{Z}}_M$.

Koormusvektor lauskoormusest q_z leitakse programmiga **ysndvnkZq.m**.

$$\overset{\circ}{\mathbf{Z}}_q = \begin{bmatrix} \overset{\circ}{w}_e \\ \overset{\circ}{\varphi}_e \\ \overset{\circ}{Q}_e \\ \overset{\circ}{M}_e \end{bmatrix} = \begin{bmatrix} f_{4e} \\ -f'_{4e} \\ -EI_y f'''_{4e} \\ -EI_y f''_{4e} \end{bmatrix} = \begin{bmatrix} \frac{q_z}{EI_y} \frac{1}{\kappa^4} [K_1(\kappa \langle x - a \rangle_+) - 1] \\ -\frac{q_z}{EI_y} \frac{1}{\kappa^3} [K_4(\kappa \langle x - a \rangle_+)] \\ -\frac{q_z}{\kappa} [K_2(\kappa \langle x - a \rangle_+)] \\ -\frac{q_z}{\kappa^2} [K_3(\kappa \langle x - a \rangle_+)] \end{bmatrix} \quad (3.119)$$

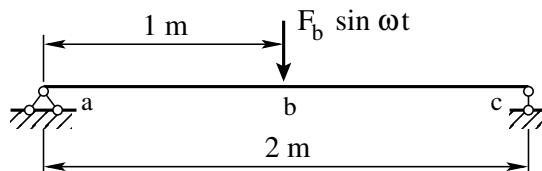
Koormusvektor koondjõust F_z arvutatakse programmiga **ysndvnkZF.m**.

$$\overset{\circ}{\mathbf{Z}}_F = \begin{bmatrix} \overset{\circ}{w}_e \\ \overset{\circ}{\varphi}_e \\ \overset{\circ}{Q}_e \\ \overset{\circ}{M}_e \end{bmatrix} = \begin{bmatrix} f_{3e} \\ -f'_{3e} \\ -EI_y f'''_{3e} \\ -EI_y f''_{3e} \end{bmatrix} = \begin{bmatrix} \frac{F_z}{EI_y} \frac{1}{\kappa^3} [K_4(\kappa \langle x - a \rangle_+)] \\ -\frac{F_z}{EI_y} \frac{1}{\kappa^2} [K_3(\kappa \langle x - a \rangle_+)] \\ -F_z [K_1(\kappa \langle x - a \rangle_+)] \\ -\frac{F_z}{\kappa} [K_2(\kappa \langle x - a \rangle_+)] \end{bmatrix} \quad (3.120)$$

Koormusvektor koondmomentidist \mathcal{M}_y arvutatakse programmiga **ysndvnkZM.m**.

$$\overset{\circ}{\mathbf{Z}}_M = \begin{bmatrix} \overset{\circ}{w}_e \\ \overset{\circ}{\varphi}_e \\ \overset{\circ}{Q}_e \\ \overset{\circ}{M}_e \end{bmatrix} = \begin{bmatrix} f_{2e} \\ -f'_{2e} \\ -EI_y f'''_{2e} \\ -EI_y f''_{2e} \end{bmatrix} = \begin{bmatrix} \frac{\mathcal{M}_y}{EI_y} \frac{1}{\kappa^2} [K_3(\kappa \langle x - a \rangle_+)] \\ -\frac{\mathcal{M}_y}{EI_y} \frac{1}{\kappa} [K_2(\kappa \langle x - a \rangle_+)] \\ -\mathcal{M}_y \kappa [K_4(\kappa \langle x - a \rangle_+)] \\ -\mathcal{M}_y [K_1(\kappa \langle x - a \rangle_+)] \end{bmatrix} \quad (3.121)$$

Näide 3.4 (paigalseisva ja liikuva liigendtoega tala sundvõnkumine). Koostada vibree-riva jõuga koormatud tala (jn 3.21) siirde ja paindemomentide epüürid.



Joonis 3.21. Paigalseisva ja liikuva liigendtoega tala

Andmed. Tala pikkus $\ell = 2$ m, jõu rakenduspunkti kaugus vasakust toest on 1 m, elastsusmoodul $E = 210$ GPa, inertsimoment $I = 8.0 \times 10^{-5} \text{ m}^4 = 8000 \text{ cm}^4$, vibree-riva jõu F_b sagedus $\omega_b = 400 \text{ s}^{-1}$, tala lausmass $m = 105 \text{ kg/m}$ (koormus omakaalust $q = 9.81 \cdot 105 = 1030 \text{ N/m}$).

Lahendus. Algaparameetrite leidmiseks koostame EST-meetodi võrrandisüsteemi

$$\mathbf{spA} \cdot \mathbf{Z} = \mathbf{B} \quad (3.122)$$

kus \mathbf{Z} on võrrandisüsteemi tundmatute vektor:

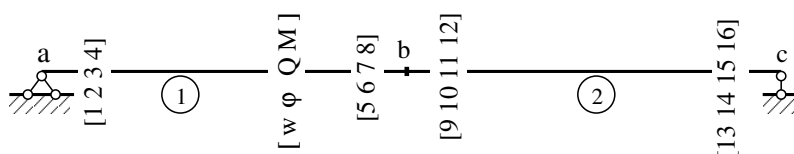
$$\mathbf{Z} = \begin{bmatrix} \mathbf{Z}_a^{(1)} \\ \mathbf{Z}_b^{(1)} \\ \mathbf{Z}_b^{(2)} \\ \mathbf{Z}_c^{(2)} \end{bmatrix} \quad (3.123)$$

Vektori komponentideks on siirded, paindenurgad, põikjõud ja paindemomendid tala elementide ab ja bc alguses ning lõpus:

$$\mathbf{Z}_a^{(1)} = \begin{bmatrix} w_A^{(ab)} \\ \varphi_A^{(ab)} \\ Q_A^{(ab)} \\ M_A^{(ab)} \end{bmatrix} = \begin{bmatrix} Z(1) \\ Z(2) \\ Z(3) \\ Z(4) \end{bmatrix}, \quad \mathbf{Z}_b^{(1)} = \begin{bmatrix} w_L^{(ab)} \\ \varphi_L^{(ab)} \\ Q_L^{(ab)} \\ M_L^{(ab)} \end{bmatrix} = \begin{bmatrix} Z(5) \\ Z(6) \\ Z(7) \\ Z(8) \end{bmatrix} \quad (3.124)$$

$$\mathbf{Z}_b^{(2)} = \begin{bmatrix} w_A^{(bc)} \\ \varphi_A^{(bc)} \\ Q_A^{(bc)} \\ M_A^{(bc)} \end{bmatrix} = \begin{bmatrix} Z(9) \\ Z(10) \\ Z(11) \\ Z(12) \end{bmatrix}, \quad \mathbf{Z}_c^{(2)} = \begin{bmatrix} w_L^{(bc)} \\ \varphi_L^{(bc)} \\ Q_L^{(bc)} \\ M_L^{(bc)} \end{bmatrix} = \begin{bmatrix} Z(13) \\ Z(14) \\ Z(15) \\ Z(16) \end{bmatrix} \quad (3.125)$$

Muutujate $Z(i)$ ($i = 1, 2, \dots, 16$) järjenumbriid on joonisel 3.22.



Joonis 3.22. Paigalseisva ja liikuva liigendtoega tala muutujate järjenumbriid

Võrrandisüsteemi (3.122) kaheksa esimest võrrandit on põhivõrrandid (3.34). Järgnevad sõlme b pidevus- ja tasakaaluvõrrandid

$$\begin{aligned}
 Z(5) - Z(9) &= w_L^{(ab)} - w_A^{(bc)} = 0 \\
 Z(6) - Z(10) &= \varphi_L^{(ab)} - \varphi_A^{(bc)} = 0 \\
 Z(7) + Z(11) &= Q_L^{(ab)} + Q_A^{(bc)} = 0 \\
 Z(8) + Z(12) &= M_L^{(ab)} + M_A^{(bc)} = 0
 \end{aligned} \tag{3.126}$$

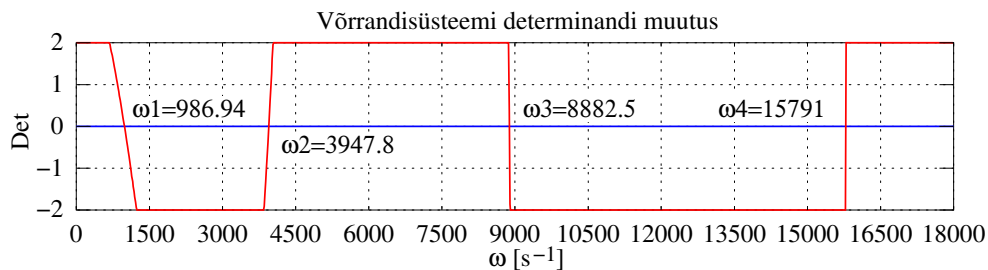
Ülejäänud neli võrrandit saame toetingimustest

$$\begin{aligned}
 Z(1) &= w_A^{(ab)} = 0 \\
 Z(4) &= M_A^{(ab)} = 0 \\
 Z(13) &= w_L^{(bc)} = 0 \\
 Z(16) &= M_L^{(bc)} = 0
 \end{aligned} \tag{3.127}$$

Kahetoelise tala (jn 3.21) siirete, paindenurkade, põikjõudude ja paindemomentide leidmiseks on koostatud GNU Octave'i programmid **NaideTala2Toel1w0.m** ja **NaideTalaKahelToel1.m**. Programmiga **NaideTalaKahelToel1.m** arvutatakse tala ühe elemendina ($\ell = 2$ m). Talale mõjuvat koormust vaadeldakse elementkoormusena (vt koormusvektor $\overset{\circ}{Z}_F$ (3.120)).

Programmis **NaideTala2Toel1w0.m** kirjeldatakse kahe elemendiga tala ($\ell_1 = 1$ m, $\ell_2 = 1$ m), vt jn 3.22. Talale mõjuvat koormust vaadeldakse sõlmkoormusena. Nimetatud programmidega leitud sisejõud ei erine.

GNU Octave'i programmiga **NaideTalaKahelToel1.m** leiame hõreda võrrandisüsteemi (3.122) determinandi nullid. Kahetoelise tala (jn 3.21) esimesed neli omavõnkesagedust: $\omega_1 = 9.8694 \times 10^2 \text{ s}^{-1}$, $\omega_2 = 3.9478 \times 10^3 \text{ s}^{-1}$, $\omega_3 = 8.8825 \times 10^3 \text{ s}^{-1}$, $\omega_4 = 1.5791 \times 10^4 \text{ s}^{-1}$. Võrrandisüsteemi (3.122) determinandi sõltuvus nurksagedusest ω selgub jooniselt 3.23.



Joonis 3.23. Paigalseisva ja liikuva liigendtoega tala omavõnkesagedused

Tabelis 3.4 on toodud EST-meetodiga leitud paigalseisva ja liikuva liigendtoega tala sagedusvõrrandi juured. Need ühtivad täpsete sagedusvõrrandi juurtega (vt lk 75) ja spektraalelementide meetodi [Mal13, lk 43] abil leitudtega.

Tabel 3.4. Paigalseisva ja liikuva liigendtoega tala leitud sagedusvõrrandi juured

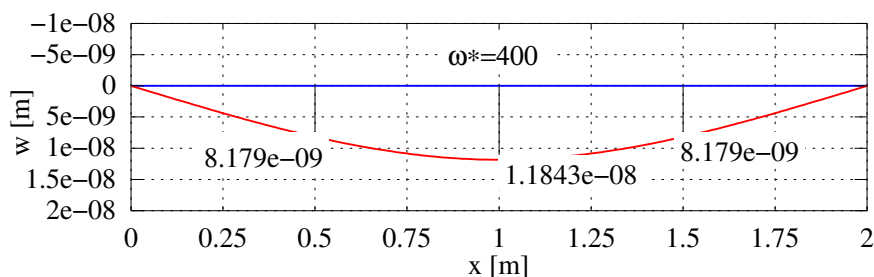
Oma­võnke­ sagedus	EST-meetod Bernoulli teooria		Täpne sagedus­ võrrandi juur
	ω [s ⁻¹]	λ	λ
1.	986.943521	3.141593	3.1415927
2.	3947.774085	6.283185	6.2831853
3.	8882.491691	9.424778	9.4247780
4.	15791.096339	12.566371	12.5663706
5.	24673.588030	15.707963	15.7079633
6.	35529.966755	18.849556	18.8495559

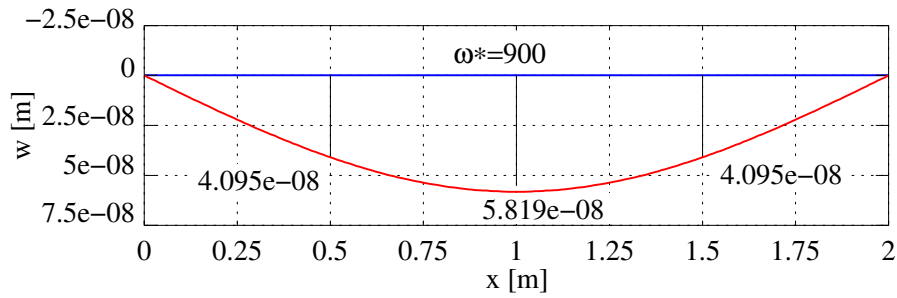
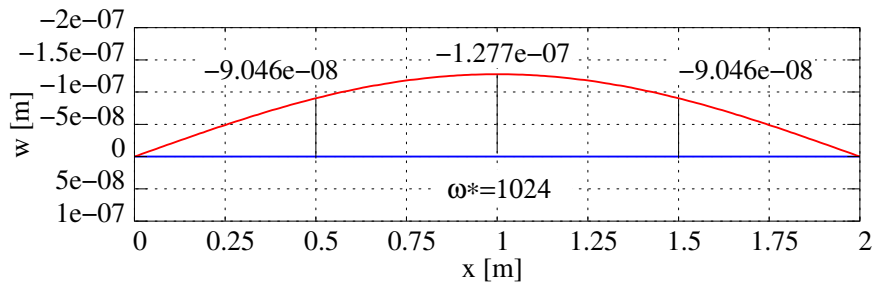
Tabelis on λ sagedusvõrrandi mõõduta juur.

$$\lambda_i = \sqrt{\omega_i} \left(\frac{\rho A}{EI} \right)^{1/4} \ell \quad (3.128)$$

Siirete ja sisejõudude leidmiseks valime vibreeriva jõu amplituudiks $F_b = 1$ N. Siirded ja sisejõud leiame vibreeriva jõu sagedustel $\omega_b = 400$ s⁻¹ ja $\omega_b = 900$ s⁻¹, mis on väiksemad kui esimene resonantssagedus $\omega_1 = 986.94$ s⁻¹ (jn 3.23). Siirete ja sisejõudude amplituudid sagedusel $\omega_b = 1024$ s⁻¹ (mis on suurem kui esimene resonantssagedus) on märgilt vastupidised mõjuva jõu amplituudi märgile [Kis64, lk 119].

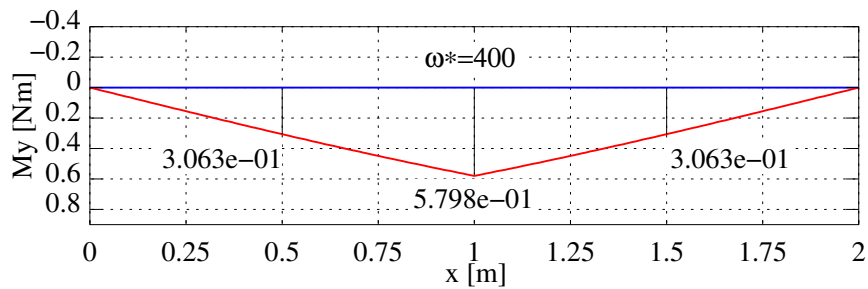
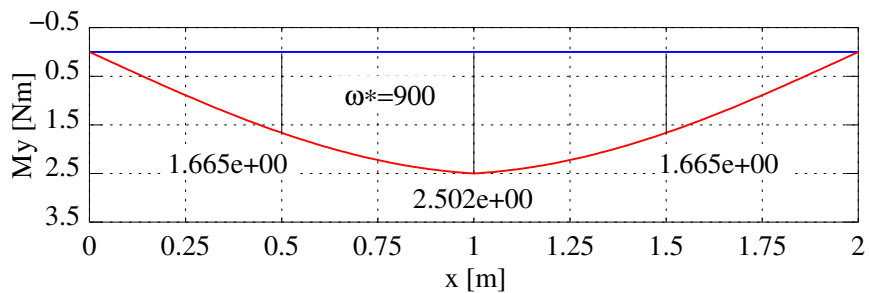
Joonistel 3.24a ja b on toodud kahetoelise tala siirded vibreeriva jõu sagedustel $\omega_b = 400$ s⁻¹ ja $\omega_b = 900$ s⁻¹. Joonisel 3.24c on kahetoelise tala siirded vibreeriva jõu sagedusel $\omega_b = 1024$ s⁻¹. Siin on siirete märgid vastupidised mõjuva jõu amplituudi märgile.

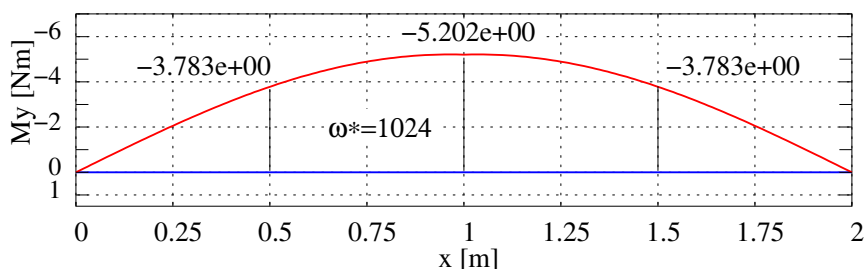
(a) Kahetoelise tala siire sagedusel $\omega = 400$ s⁻¹

(b) Kahetoelise tala siire sagedusel $\omega = 900 \text{ s}^{-1}$ (c) Kahetoelise tala siire sagedusel $\omega = 1024 \text{ s}^{-1}$

Joonis 3.24. Paigalseisva ja liikuva liigendtoega tala siirded eri sagedustel

Joonisel 3.25 on kahetoelise tala momendid vibreeriva jõu sagedustel $\omega_b = 400 \text{ s}^{-1}$, $\omega_b = 900 \text{ s}^{-1}$ ja $\omega_b = 1024 \text{ s}^{-1}$.

(a) Kahetoelise tala moment sagedusel $\omega = 400 \text{ s}^{-1}$ (b) Kahetoelise tala moment sagedusel $\omega = 900 \text{ s}^{-1}$

(c) Kahetoelise tala moment sagedusel $\omega = 1024 \text{ s}^{-1}$

Joonis 3.25. Paigalseisva ja liikuva liigendtoega tala momendid eri sagedustel

Arvutustulemused vibreeriva jõu $F_b = 1.0 \text{ N}$ sagedusel $\omega_b = 400 \text{ s}^{-1}$ on esitatud arvutuspäeviku väljavõttes 3.1.

Väljavõtte arvutuspäevikust 3.1 (NaideTala2Toel1w0.m)

1. element

l1 = 1

Nmitmeks = 4

x=	0.00	0.25	0.50	0.75	1.00
w -	0.000e+00	4.378e-09	8.179e-09	1.084e-08	1.184e-08
fi -	-1.790e-08	-1.674e-08	-1.330e-08	-7.667e-09	0.000e+00
Q -	6.247e-01	6.154e-01	5.888e-01	5.483e-01	5.000e-01
M -	0.000e+00	1.554e-01	3.063e-01	4.486e-01	5.798e-01

2. element

l2 = 1

Nmitmeks = 4

x=	0.00	0.25	0.50	0.75	1.00
w -	1.184e-08	1.084e-08	8.179e-09	4.378e-09	0.000e+00
fi -	1.494e-24	7.667e-09	1.330e-08	1.674e-08	1.790e-08
Q -	-5.000e-01	-5.483e-01	-5.888e-01	-6.154e-01	-6.247e-01
M -	5.798e-01	4.486e-01	3.063e-01	1.554e-01	1.110e-16

Arvutustulemused vibreeriva jõu sagedusel $\omega_b = 900 \text{ s}^{-1}$ toome arvutuspäeviku väljavõttes 3.2.

Väljavõtte arvutuspäevikust 3.2 (NaideTala2Toel1w0.m)

1. element

l1 = 1

Nmitmeks = 4

x=	0.00	0.25	0.50	0.75	1.00
w -	0.000e+00	2.211e-08	4.095e-08	5.367e-08	5.819e-08
fi -	-9.070e-08	-8.400e-08	-6.478e-08	-3.553e-08	-1.323e-23
Q -	3.641e+00	3.403e+00	2.724e+00	1.705e+00	5.000e-01
M -	0.000e+00	8.903e-01	1.665e+00	2.224e+00	2.502e+00

```
2. element
l2 = 1
Nmitmeks = 4
```

x=	0.00	0.25	0.50	0.75	1.00
w -	5.819e-08	5.367e-08	4.095e-08	2.211e-08	2.647e-23
fi -	-8.976e-24	3.553e-08	6.478e-08	8.400e-08	9.070e-08
Q -	-5.000e-01	-1.705e+00	-2.724e+00	-3.403e+00	-3.641e+00
M -	2.502e+00	2.224e+00	1.665e+00	8.903e-01	0.000e+00

Valides arvutusprogrammis vibreeriva jõu sageduseks $\omega_b = 1024 \text{ s}^{-1}$, saame arvutuspäeviku väljavõttes 3.3 toodud sisejõud.

Väljavõtte arvutuspäevikust 3.3 (NaideTala2Toel1w0.m)

```
1. element
l1 = 1
Nmitmeks = 4
```

x=	0.00	0.25	0.50	0.75	1.00
w -	0.000e+00	-4.901e-08	-9.046e-08	-1.180e-07	-1.277e-07
fi -	2.012e-07	1.857e-07	1.416e-07	7.618e-08	5.294e-23
Q -	-8.461e+00	-7.777e+00	-5.832e+00	-2.925e+00	5.000e-01
M -	0.000e+00	-2.058e+00	-3.783e+00	-4.894e+00	-5.202e+00

```
2. element
l2 = 1
Nmitmeks = 4
```

x=	0.00	0.25	0.50	0.75	1.00
w -	-1.277e-07	-1.180e-07	-9.046e-08	-4.901e-08	-2.647e-23
fi -	-2.271e-23	-7.618e-08	-1.416e-07	-1.857e-07	-2.012e-07
Q -	-5.000e-01	2.925e+00	5.832e+00	7.777e+00	8.461e+00
M -	-5.202e+00	-4.894e+00	-3.783e+00	-2.058e+00	8.882e-16

EST-meetodiga leitud tala keskel oleva siirde ja momendi väärtuste kontrolliks kasutame õpikus [Kis64, lk 116] leitud valemite (6.54) ja (6.55):

$$w\left(\frac{\ell}{2}\right) = \frac{F_b}{2\kappa^3 EI} \frac{K_2\left(\kappa, \frac{\ell}{2}\right) K_3\left(\kappa, \frac{\ell}{2}\right) - K_1\left(\kappa, \frac{\ell}{2}\right) K_4\left(\kappa, \frac{\ell}{2}\right)}{K_1^2\left(\kappa, \frac{\ell}{2}\right) - K_3^2\left(\kappa, \frac{\ell}{2}\right)} \quad (3.129)$$

$$M_y\left(\frac{\ell}{2}\right) = \frac{F_b}{2\kappa} \frac{K_1\left(\kappa, \frac{\ell}{2}\right) K_2\left(\kappa, \frac{\ell}{2}\right) - K_3\left(\kappa, \frac{\ell}{2}\right) K_4\left(\kappa, \frac{\ell}{2}\right)}{K_1^2\left(\kappa, \frac{\ell}{2}\right) - K_3^2\left(\kappa, \frac{\ell}{2}\right)} \quad (3.130)$$

Valemite (3.129) ja (3.130) järgi arvutamiseks on koostatud GNU Octave'i programm **NaideLT2keskel.m**. Leitud siirde ja momendi väärtused tala keskel eri sagedustel esitame arvutuspäeviku väljavõttes 3.4.

Väljavõtte arvutuspäevikust 3.4 (NaideLT2keskel.m)

```
Sagedus wf = 400
w_keskel400 = 1.1843e-08
M_keskel400 = 0.57975
```

```
Sagedus wf = 900
w_keskel900 = 5.8194e-08
M_keskel900 = 2.5015
```

```
Sagedus wf = 1024
w_keskel1024 = -1.2766e-07
M_keskel1024 = -5.2023
```

Siit näeme, et EST-meetodiga leitud siirde ja momendi väärtused tala keskel (vt arvutuspäeviku väljavõtteid 3.1, 3.2, 3.3) ühtivad valemite (3.129) ja (3.130) põhjal arvatutega.

Dünaamikateguri k_d leidmiseks arvutame siirde w_{st}^F ja paindemomendi $M_{y_{st}}^F$ sundiva jõu F_b staatilisel rakendamisel. Selleks kasutame GNU Octave'i programmi [Naide-Tala2Toel1w0Staatika.m](#) (vt arvutuspäeviku väljavõte 3.5).

Väljavõte arvutuspäevikust 3.5 ([NaideTala2Toel1w0Staatika.m](#))

```
1. element
l1 = 1
Nmitmeks = 4
```

x=	0.00	0.25	0.50	0.75	1.00
w -	0.000e+00	3.643e-09	6.820e-09	9.068e-09	9.921e-09
fi -	-1.488e-08	-1.395e-08	-1.116e-08	-6.510e-09	0.000e+00
Q -	5.000e-01	5.000e-01	5.000e-01	5.000e-01	5.000e-01
M -	0.000e+00	1.250e-01	2.500e-01	3.750e-01	5.000e-01

```
2. element
l2 = 1
Nmitmeks = 4
```

x=	0.00	0.25	0.50	0.75	1.00
w -	9.921e-09	9.068e-09	6.820e-09	3.643e-09	3.309e-24
fi -	-1.514e-24	6.510e-09	1.116e-08	1.395e-08	1.488e-08
Q -	-5.000e-01	-5.000e-01	-5.000e-01	-5.000e-01	-5.000e-01
M -	5.000e-01	3.750e-01	2.500e-01	1.250e-01	0.000e+00

Kontrolliks arvutame staatilise siirde w_{st}^F ja paindemomendi $M_{y_{st}}^F$ tala keskel valemitega

$$w_{st}^F \left(\frac{\ell}{2} \right) = \frac{F_b \ell^3}{48EI} = \frac{1 \cdot 2^3}{48 \cdot 2.1 \times 10^{11} \cdot 8.0 \times 10^{-5}} = 9.9206 \times 10^9 \text{ m} \quad (3.131)$$

$$M_{y_{st}}^F \left(\frac{\ell}{2} \right) = \frac{F_b \ell}{4} = \frac{1 \cdot 2}{4} = 0.5 \text{ Nm} \quad (3.132)$$

EST-meetodiga leitud tala keskel olevad siirde ja momendi väärtused staatilisest koormusest ühtivad valemite (3.131) ja (3.132) abil leitudga.

Dünaamikategurid siirdel, k_{ds} , ja paindel, k_{dp} , sagedusel $\omega_b = 400 \text{ s}^{-1}$ on erinevad:

$$k_{ds} = \frac{w_d}{w_{st}^F} = \frac{1.184254 \times 10^8}{9.9206 \times 10^9} = 1.1937 \quad (3.133)$$

$$k_{dp} = \frac{M_{yd}}{M_{y_{st}}^F} = \frac{0.5797537}{0.5} = 1.1595 \quad (3.134)$$

Võrdsed on nad ainult ühe vabadusastmega süsteemi korral. Leitud dünaamikategurid ühtivad raamatus [Kis64, lk 118] toodutega.

Dünaamikategurid siirdel, k_{ds} , ja paindel, k_{dp} , sagedusel $\omega_b = 900 \text{ s}^{-1}$

$$k_{ds} = \frac{w_d}{w_{st}^F} = \frac{5.819444 \times 10^8}{9.9206 \times 10^9} = 5.8660 \quad (3.135)$$

$$k_{dp} = \frac{M_{yd}}{M_{yst}^F} = \frac{2.50150}{0.5} = 5.0030 \quad (3.136)$$

Dünaamikategurid siirdel, k_{ds} , ja paindel, k_{dp} , sagedusel $\omega_b = 1024 \text{ s}^{-1}$

$$k_{ds} = \frac{w_d}{w_{st}^F} = \frac{-1.276551 \times 10^7}{9.9206 \times 10^9} = -12.868 \quad (3.137)$$

$$k_{dp} = \frac{M_{yd}}{M_{yst}^F} = \frac{-5.202266}{0.5} = -10.405 \quad (3.138)$$

Vibreeriva jõu sagedusel $\omega_b = 1024 \text{ s}^{-1}$ (mis on suurem kui esimene resonantssagedus) on dünaamikategurid negatiivsed, sest siirde faas ei lange kokku mõjuva jõu faasiga.

Tala omakaalust $q = 1.03 \text{ kN/m}$ põhjustatud staatilise siirde w_{st}^q ja paindemomendi M_{yst}^q arvutame GNU Octave'i programmiga [NaideTala2Toel1w0Staatikaqz.m](#). Leitud siirde ja momendi väärtused toome arvutuspäeviku väljavõttes 3.6.

Väljavõtte arvutuspäevikust 3.6 ([NaideTala2Toel1w0Staatikaqz.m](#))

1. element

l1 = 1

Nmitmeks = 4

x=	0.00	0.25	0.50	0.75	1.00
w -	0.000e+00	4.959e-06	9.101e-06	1.182e-05	1.277e-05
fi -	-2.044e-05	-1.868e-05	-1.405e-05	-7.504e-06	-3.388e-21
Q -	1.030e+03	7.725e+02	5.150e+02	2.575e+02	0.000e+00
M -	0.000e+00	2.253e+02	3.862e+02	4.828e+02	5.150e+02

2. element

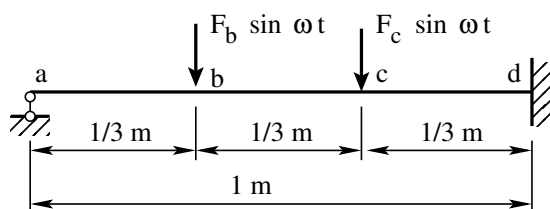
l2 = 1

Nmitmeks = 4

x=	0.00	0.25	0.50	0.75	1.00
w -	1.277e-05	1.182e-05	9.101e-06	4.959e-06	1.694e-21
fi -	-1.551e-21	7.504e-06	1.405e-05	1.868e-05	2.044e-05
Q -	0.000e+00	-2.575e+02	-5.150e+02	-7.725e+02	-1.030e+03
M -	5.150e+02	4.828e+02	3.862e+02	2.253e+02	0.000e+00

Omakaalust $q = 1.03 \text{ kN/m}$ ja dünaamilisest koormusest $F_b \sin \omega t$ tingitud siirde w_{sum} ja paindemomendi $M_{y sum}$ saame vastavate suuruste (w_{st}^q , w_d ja M_{yst}^q , M_{yd}) liitmisel.

Näide 3.5 (liikuva liigendtoe ja jäiga toega tala sundvõnkumine). Arvutada joonisel 3.26 kujutatud tala omavõnkesagedused. Koostada vibreerivate jõududega koormatud tala siirde ja paindemomentide epüürid sagedustel $\omega = 0.8\omega_1 s^{-1}$ ja $\omega = 0.9\omega_2 s^{-1}$.



Joonis 3.26. Liikuva liigendtoe ja jäiga toega tala

Andmed. Tala pikkus $\ell = 1$ m, jõudude rakenduspunktide kaugused vasakust toest $a_b = \ell/3$ m, $a_c = 2/3\ell$ m, elastsusmoodul $E = 210$ GPa, inertsimoment $I = 171 \text{ cm}^4 = 1.71 \times 10^{-6} \text{ m}^4$ (IPN100), vibreerivad jõud on võrdsed ($F_b = F_c = 1.0$ N), ristlõikepindala $A = 10.6 \text{ cm}^2 = 1.06 \times 10^{-3} \text{ m}^2$, materjali tihedus $\rho = 7.85 \times 10^3 \text{ kg/m}^3$, tala lausmass $m = \rho A = 8.321 \text{ kg/m}$ (koormus omakaalust $q = 9.81\rho A = 81.629 \text{ N/m}$).

Lahendus. Algpameetrite leidmiseks koostame EST-meetodi võrrandisüsteemi

$$\text{spA} \cdot \mathbf{Z} = \mathbf{B} \quad (3.139)$$

kus \mathbf{Z} on võrrandisüsteemi tundmatute vektor:

$$\mathbf{Z} = \begin{bmatrix} \mathbf{Z}_a^{(1)} \\ \mathbf{Z}_b^{(1)} \\ \mathbf{Z}_b^{(2)} \\ \mathbf{Z}_c^{(2)} \\ \mathbf{Z}_c^{(3)} \\ \mathbf{Z}_d^{(3)} \end{bmatrix} \quad (3.140)$$

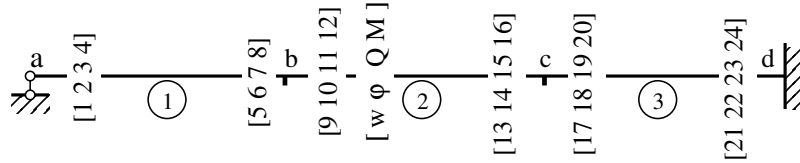
Vektori komponentideks on siirded, paindenurgad, põikjõud ja paindemendid tala elementide ab , bc ja cd alguses ning lõpus:

$$\mathbf{Z}_a^{(1)} = \begin{bmatrix} w_A^{(ab)} \\ \varphi_A^{(ab)} \\ Q_A^{(ab)} \\ M_A^{(ab)} \end{bmatrix} = \begin{bmatrix} Z(1) \\ Z(2) \\ Z(3) \\ Z(4) \end{bmatrix}, \quad \mathbf{Z}_b^{(1)} = \begin{bmatrix} w_L^{(ab)} \\ \varphi_L^{(ab)} \\ Q_L^{(ab)} \\ M_L^{(ab)} \end{bmatrix} = \begin{bmatrix} Z(5) \\ Z(6) \\ Z(7) \\ Z(8) \end{bmatrix} \quad (3.141)$$

$$\mathbf{Z}_b^{(2)} = \begin{bmatrix} w_A^{(bc)} \\ \varphi_A^{(bc)} \\ Q_A^{(bc)} \\ M_A^{(bc)} \end{bmatrix} = \begin{bmatrix} Z(9) \\ Z(10) \\ Z(11) \\ Z(12) \end{bmatrix}, \quad \mathbf{Z}_c^{(2)} = \begin{bmatrix} w_L^{(bc)} \\ \varphi_L^{(bc)} \\ Q_L^{(bc)} \\ M_L^{(bc)} \end{bmatrix} = \begin{bmatrix} Z(13) \\ Z(14) \\ Z(15) \\ Z(16) \end{bmatrix} \quad (3.142)$$

$$\mathbf{Z}_c^{(3)} = \begin{bmatrix} w_A^{(cd)} \\ \varphi_A^{(cd)} \\ Q_A^{(cd)} \\ M_A^{(cd)} \end{bmatrix} = \begin{bmatrix} Z(17) \\ Z(18) \\ Z(19) \\ Z(20) \end{bmatrix}, \quad \mathbf{Z}_d^{(3)} = \begin{bmatrix} w_L^{(cd)} \\ \varphi_L^{(cd)} \\ Q_L^{(cd)} \\ M_L^{(cd)} \end{bmatrix} = \begin{bmatrix} Z(21) \\ Z(22) \\ Z(23) \\ Z(24) \end{bmatrix} \quad (3.143)$$

Muutujate $Z(i)$ ($i = 1, 2, \dots, 24$) järjenumbrid on toodud joonisel 3.27.



Joonis 3.27. Liikuva liigendtoe ja jäiga toega tala muutujate järjenumbrid

Võrrandisüsteemi (3.139) kaksteist esimest võrrandit on põhivõrrandid (3.34). Järgnevad sõlmede b ja c pidevus- ja tasakaaluvõrrandid:

$$\begin{aligned} Z(5) - Z(9) &= w_L^{(ab)} - w_A^{(bc)} = 0 \\ Z(6) - Z(10) &= \varphi_L^{(ab)} - \varphi_A^{(bc)} = 0 \\ Z(7) + Z(11) &= Q_L^{(ab)} + Q_A^{(bc)} = 0 \\ Z(8) + Z(12) &= M_L^{(ab)} + M_A^{(bc)} = 0 \\ Z(13) - Z(17) &= w_L^{(bc)} - w_A^{(cd)} = 0 \\ Z(14) - Z(18) &= \varphi_L^{(bc)} - \varphi_A^{(cd)} = 0 \\ Z(15) + Z(19) &= Q_L^{(bc)} + Q_A^{(cd)} = 0 \\ Z(16) + Z(20) &= M_L^{(bc)} + M_A^{(cd)} = 0 \end{aligned} \quad (3.144)$$

Ülejäänud neli võrrandit saame toetingimustest

$$\begin{aligned} Z(1) &= w_A^{(ab)} = 0 \\ Z(4) &= M_A^{(ab)} = 0 \\ Z(21) &= w_L^{(cd)} = 0 \\ Z(24) &= M_L^{(cg)} = 0 \end{aligned} \quad (3.145)$$

GNU Octave'i programmiga [NaideTalaKahelToel3.m](#) leiame hõreda võrrandisüsteemi determinandi nullid. Liikuva liigendtoe ja jäiga toega tala (jn 3.26) esimesed kuus omavõnkesagedust: $\omega_1 = 3.2030 \times 10^3 \text{ s}^{-1}$, $\omega_2 = 1.0380 \times 10^4 \text{ s}^{-1}$, $\omega_3 = 2.1656 \times 10^4 \text{ s}^{-1}$, $\omega_4 = 3.7034 \times 10^4 \text{ s}^{-1}$, $\omega_5 = 5.6512 \times 10^4 \text{ s}^{-1}$, $\omega_6 = 8.0090 \times 10^4 \text{ s}^{-1}$.

Leitud omavõnkesagedused ω_i teisendame sagedusvõrrandi juurteks λ_i :

$$\lambda_i = \kappa_i \ell = \sqrt{\omega_i} \ell \sqrt[4]{\frac{A \rho}{EI}} \quad (3.146)$$

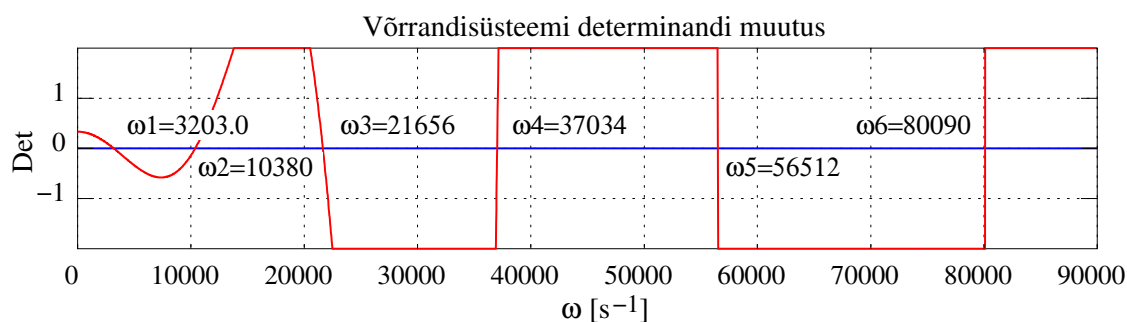
Teisenduse tulemusena saame, et $\lambda_1 = 3.9266$, $\lambda_2 = 7.06858$, $\lambda_3 = 10.21017$, $\lambda_4 = 13.35176$, $\lambda_5 = 16.49336$, $\lambda_6 = 19.63495$.

Tabelis 3.5 on toodud EST-meetodiga leitud liikuva liigendtoe ja jäiga toega tala sagedusvõrrandi juured. Need ühtivad täpsete sagedusvõrrandi juurtega (vt lk 76) ja spektraalelementide meetodi [Mal13, lk 44] abil leitudetega.

Tabel 3.5. Liikuva liigendtoe ja jäiga toega tala sagedusvõrrandi juured

Oma­võnke­ sagedus	EST-meetod Bernoulli teooria		Täpne sagedus­ võrrandi juur
	ω [s ⁻¹]	λ	λ
1.	3202.976686	3.926602	3.9266023
2.	10379.696000	7.068583	7.0685827
3.	21656.407201	10.210176	10.2101761
4.	37033.737768	13.351769	13.3517687
5.	56511.689812	16.493361	16.4933614
6.	80090.263338	19.634954	19.6349541

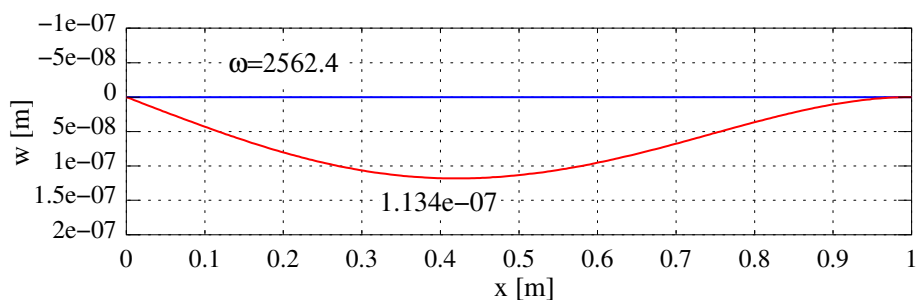
Võrrandisüsteemi (3.139) determinandi sõltuvust nurksagedusest ω näeb jooniselt 3.28.



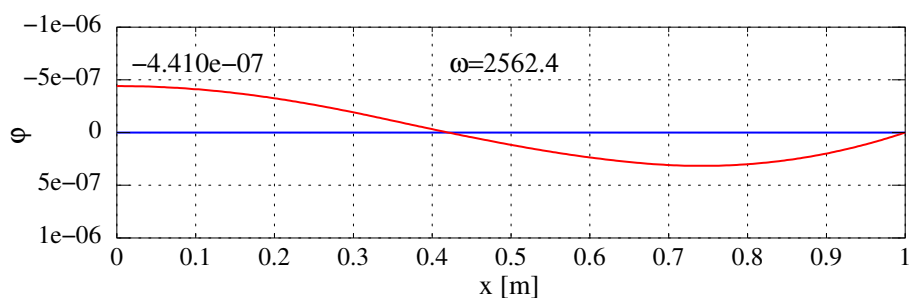
Joonis 3.28. Liikuva liigendtoe ja jäiga toega tala omavõnkesagedused

GNU Octave'i arvutusprogrammis [NaideTala2Toel3w0.m](#) valime vibreerivate jõudude sageduseks $\omega_b = \omega_c = 0.8 \cdot 3.2030 = 2562.4 \text{ s}^{-1}$, mis on väiksem esimesest omavõnkesagedusest $\omega_1 = 3.2030 \times 10^3 \text{ s}^{-1}$. Arvutustulemused toome arvutuspäeviku väljavõttes 3.7.

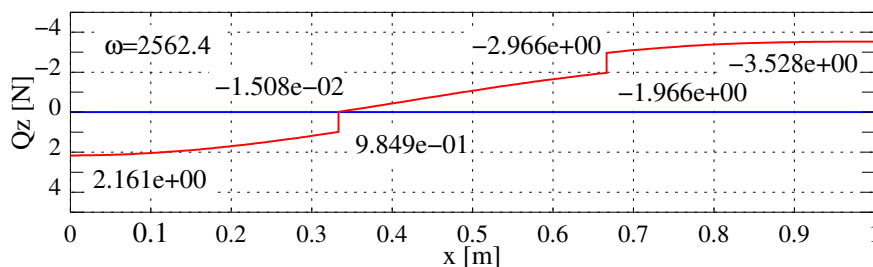
Tala epüürid nimetatud sagedusel on joonisel 3.29. Epüürid on kooskõlas raamatus [Kad15, lk 47] sisalduvatega.



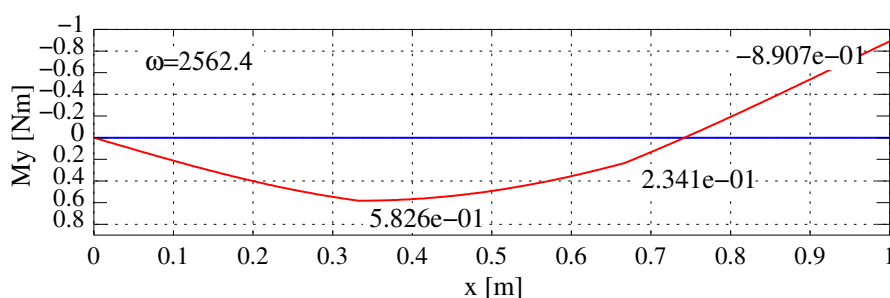
(a) Siire



(b) Paindenurk



(c) Põikjõud

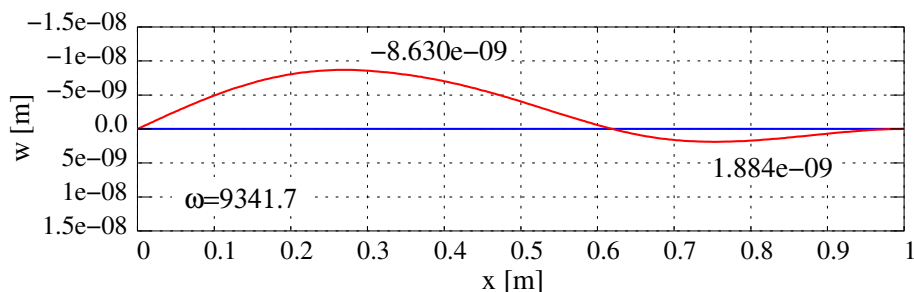


(d) Paindemoment

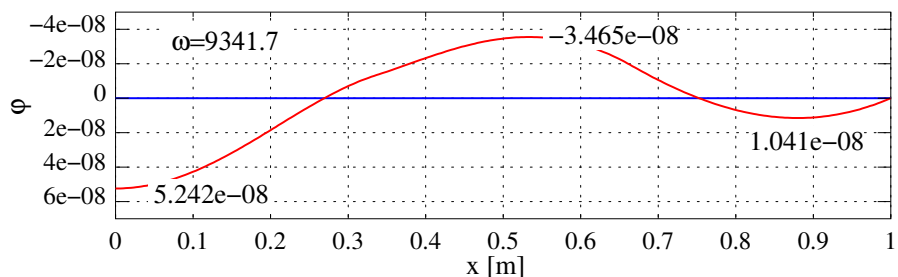
Joonis 3.29. Liikva liigendtoe ja jäiga toega tala epüürid sagedusel $\omega = 2562.4 \text{ s}^{-1}$

Edasi arvutame siirded ja sisejõud sagedusel $\omega = 0.9\omega_2$, mis on suurem kui esimene omavõnkesagedus ω_1 ja väiksem kui teine omavõnkesagedus ω_2 ($\omega_1 < \omega < \omega_2$). GNU Octave'i arvutusprogrammis [NaideTala2Toel3w0.m](#) valime vibreerivate jõudude sageduseks $\omega_b = \omega_c = 0.9 \cdot 10380 = 9341.7 \text{ s}^{-1}$.

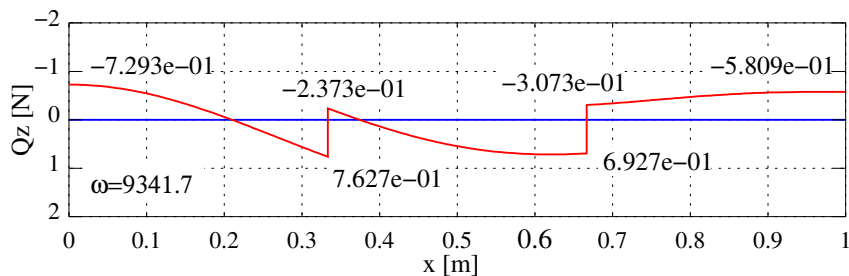
Liikva liigendtoe ja jäiga toega tala epüürid sagedusel $\omega = 9341.7 \text{ s}^{-1}$ on joonisel 3.30. Epüürid on kooskõlas raamatus [Kad15, lk 48] esitatutega.



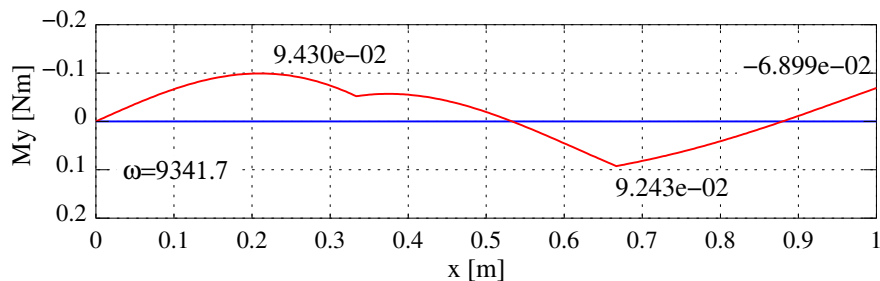
(a) Siire



(b) Paindenurk



(c) Põikjõud



(d) Paindemoment

Joonis 3.30. Liikva liigendtoe ja jäiga toega tala epüürid sagedusel $\omega = 9341.7 \text{ s}^{-1}$

Väljavõtte arvutuspäevikust 3.7 (NaideTala2Toel3w0.m)

1. element
l1 = 0.33333
Nmitmeks = 4

x=	0.00	0.08	0.17	0.25	0.33
w -	0.000e+00	3.617e-08	6.893e-08	9.512e-08	1.121e-07
fi -	-4.410e-07	-4.203e-07	-3.596e-07	-2.636e-07	-1.395e-07
Q -	2.161e+00	2.078e+00	1.837e+00	1.461e+00	9.849e-01
M -	0.000e+00	1.778e-01	3.420e-01	4.802e-01	5.826e-01

2. element
l2 = 0.33333
Nmitmeks = 4

x=	0.00	0.08	0.17	0.25	0.33
w -	1.121e-07	1.181e-07	1.134e-07	9.922e-08	7.773e-08
fi -	-1.395e-07	-6.100e-09	1.168e-07	2.189e-07	2.910e-07
Q -	-1.508e-02	-5.433e-01	-1.074e+00	-1.561e+00	-1.966e+00
M -	5.826e-01	5.595e-01	4.920e-01	3.817e-01	2.341e-01

3. element
l3 = 0.33333
Nmitmeks = 4

x=	0.00	0.08	0.17	0.25	0.33
w -	7.773e-08	5.204e-08	2.688e-08	7.665e-09	1.323e-23
fi -	2.910e-07	3.156e-07	2.773e-07	1.726e-07	-7.941e-23
Q -	-2.966e+00	-3.263e+00	-3.441e+00	-3.516e+00	-3.528e+00
M -	2.341e-01	-2.631e-02	-3.064e-01	-5.969e-01	-8.907e-01

Arvutustulemused sagedusel $\omega = 0.9 \cdot \omega_2 = 9341.7 \text{ s}^{-1}$ on esitatud arvutuspäeviku väljavõttes 3.8. Siit on näha, et siirete ja sisejõudude märgid on muutunud vastupidiseks. Kui vibreeriv jõud on suunatud alla, siis tala siirdub üles. Siirde ja vibreeriva jõu faasid on erinevad. Põhjuseks on esimesest omavõnkesagedusest suurem sagedus.

Väljavõtte arvutuspäevikust 3.8 (NaideTala2Toel3w0.m)

1. element
l1 = 0.33333
Nmitmeks = 4

x=	0.00	0.08	0.17	0.25	0.33
w -	0.000e+00	-4.176e-09	-7.280e-09	-8.630e-09	-8.227e-09
fi -	5.242e-08	4.558e-08	2.750e-08	4.889e-09	-1.294e-08
Q -	-7.293e-01	-6.001e-01	-2.458e-01	2.451e-01	7.627e-01
M -	0.000e+00	-5.715e-02	-9.371e-02	-9.430e-02	-5.213e-02

2. element
l2 = 0.33333
Nmitmeks = 4

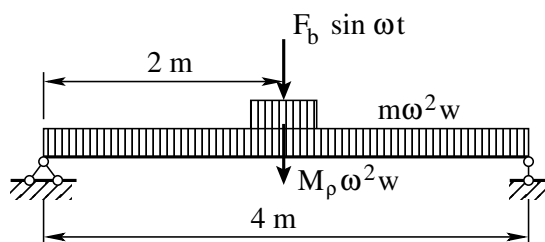
x=	0.00	0.08	0.17	0.25	0.33
----	------	------	------	------	------

w -	-8.227e-09	-6.613e-09	-4.042e-09	-1.125e-09	1.134e-09
fi -	-1.294e-08	-2.579e-08	-3.465e-08	-3.328e-08	-1.866e-08
Q -	-2.373e-01	2.172e-01	5.433e-01	6.991e-01	6.927e-01
M -	-5.213e-02	-5.229e-02	-1.952e-02	3.348e-02	9.243e-02

3. element
 13 = 0.33333
 Nmitmeks = 4

x=	0.00	0.08	0.17	0.25	0.33
w -	1.134e-09	1.884e-09	1.429e-09	5.112e-10	-6.617e-24
fi -	-1.866e-08	-4.622e-10	9.872e-09	1.041e-08	0.000e+00
Q -	-3.073e-01	-4.063e-01	-5.109e-01	-5.698e-01	-5.809e-01
M -	9.243e-02	6.301e-02	2.460e-02	-2.082e-02	-6.899e-02

Näide 3.6 (koondatud massi kandev tala). Koostada joonisel 3.31 kujutatud vibreeriva jõuga koormatud tala siirde ja pindmomentide epiürid.



Joonis 3.31. Koondatud massi kandev tala

Andmed. Tala pikkus $\ell = 4$ m, vibreeriv jõud $F_b = 2.7$ kN, jõu rakenduspunkti kaugus vasakust toest on 2 m, vibreeriva jõu F_b sagedus $\omega_b = 30$ s⁻¹, koondatud mass tala keskel $M_\rho = 1500$ kg, tala lausmass $m = 400$ kg/m, ristlõike inertsimoment $I = 2.500 \times 10^{-5}$ m⁴ = 2500 cm⁴, elastsusmoodul $E = 210$ GPa, tugevusmoment $W = 2.5 \times 10^{-4}$ m³ = 250 cm³ (koormus omakaalust $q = 9.81 \cdot 400 = 3.924$ kN/m, koondatud koormus $F_\rho = 9.81 \cdot 1.500 = 14.715$ kN). Andmed on võrreldavad õpikus [Kis64, lk 36] kasutatutega.

Lahendus. Algpameetrite leidmiseks koostame EST-meetodi võrrandisüsteemi

$$\text{spA} \cdot \mathbf{Z} = \mathbf{B} \quad (3.147)$$

kus \mathbf{Z} on võrrandisüsteemi tundmatute vektor:

$$\mathbf{Z} = \begin{bmatrix} \mathbf{Z}_a^{(1)} \\ \mathbf{Z}_b^{(1)} \\ \mathbf{Z}_b^{(2)} \\ \mathbf{Z}_c^{(2)} \\ \mathbf{Z}_c^{(3)} \\ \mathbf{Z}_d^{(3)} \end{bmatrix} \quad (3.148)$$

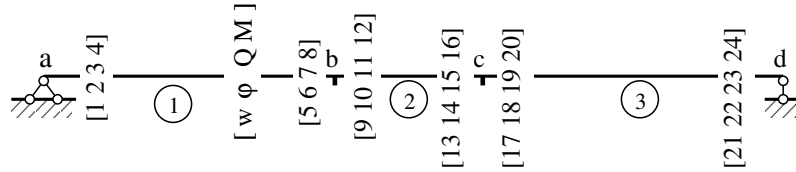
Vektori komponentideks on siirded, paindenurgad, põikjõud ja paindemomendid tala elementide ab , bc ja cd alguses ning lõpus (jn 3.32):

$$\mathbf{Z}_a^{(1)} = \begin{bmatrix} w_A^{(ab)} \\ \varphi_A^{(ab)} \\ Q_A^{(ab)} \\ M_A^{(ab)} \end{bmatrix} = \begin{bmatrix} Z(1) \\ Z(2) \\ Z(3) \\ Z(4) \end{bmatrix}, \quad \mathbf{Z}_b^{(1)} = \begin{bmatrix} w_L^{(ab)} \\ \varphi_L^{(ab)} \\ Q_L^{(ab)} \\ M_L^{(ab)} \end{bmatrix} = \begin{bmatrix} Z(5) \\ Z(6) \\ Z(7) \\ Z(8) \end{bmatrix} \quad (3.149)$$

$$\mathbf{Z}_b^{(2)} = \begin{bmatrix} w_A^{(bc)} \\ \varphi_A^{(bc)} \\ Q_A^{(bc)} \\ M_A^{(bc)} \end{bmatrix} = \begin{bmatrix} Z(9) \\ Z(10) \\ Z(11) \\ Z(12) \end{bmatrix}, \quad \mathbf{Z}_c^{(2)} = \begin{bmatrix} w_L^{(bc)} \\ \varphi_L^{(bc)} \\ Q_L^{(bc)} \\ M_L^{(bc)} \end{bmatrix} = \begin{bmatrix} Z(13) \\ Z(14) \\ Z(15) \\ Z(16) \end{bmatrix} \quad (3.150)$$

$$\mathbf{Z}_c^{(3)} = \begin{bmatrix} w_A^{(cd)} \\ \varphi_A^{(cd)} \\ Q_A^{(cd)} \\ M_A^{(cd)} \end{bmatrix} = \begin{bmatrix} Z(17) \\ Z(18) \\ Z(19) \\ Z(29) \end{bmatrix}, \quad \mathbf{Z}_d^{(3)} = \begin{bmatrix} w_L^{(cd)} \\ \varphi_L^{(cd)} \\ Q_L^{(cd)} \\ M_L^{(cd)} \end{bmatrix} = \begin{bmatrix} Z(21) \\ Z(22) \\ Z(23) \\ Z(24) \end{bmatrix} \quad (3.151)$$

Muutujate $Z(i)$ ($i = 1, 2, \dots, 24$) järjenumbriid on toodud joonisel 3.32.



Joonis 3.32. Koondatud massi kandva tala muutujate järjenumbriid

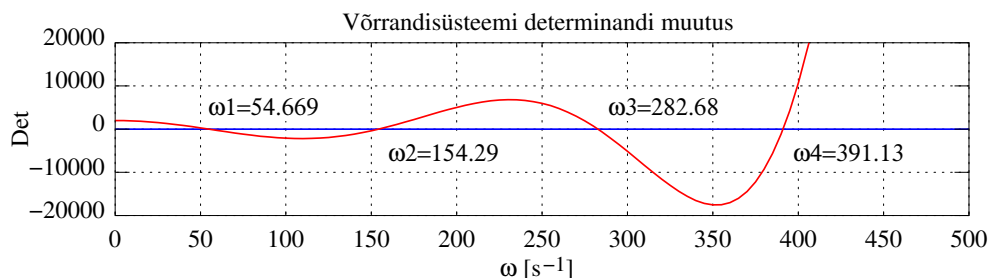
Võrrandisüsteemi (3.147) kaksteist esimest võrrandit on põhivõrrandid (3.34). Järgnevad sõlmede b ja c (jn 3.32) pidevus- ja tasakaaluvõrrandid:

$$\begin{aligned} Z(5) - Z(9) &= w_L^{(ab)} - w_A^{(bc)} = 0 \\ Z(6) - Z(10) &= \varphi_L^{(ab)} - \varphi_A^{(bc)} = 0 \\ Z(7) + Z(11) &= Q_L^{(ab)} + Q_A^{(bc)} = 0 \\ Z(8) + Z(12) &= M_L^{(ab)} + M_A^{(bc)} = 0 \\ Z(13) - Z(17) &= w_L^{(bc)} - w_A^{(cd)} = 0 \\ Z(14) - Z(18) &= \varphi_L^{(bc)} - \varphi_A^{(cd)} = 0 \\ Z(15) + Z(19) &= Q_L^{(bc)} + Q_A^{(cd)} = 0 \\ Z(16) + Z(20) &= M_L^{(bc)} + M_A^{(cd)} = 0 \end{aligned} \quad (3.152)$$

Ülejäänud neli võrrandit saame toetingimustest

$$\begin{aligned} Z(1) &= w_A^{(ab)} = 0 \\ Z(4) &= M_A^{(ab)} = 0 \\ Z(21) &= w_L^{(cd)} = 0 \\ Z(24) &= M_L^{(cg)} = 0 \end{aligned} \quad (3.153)$$

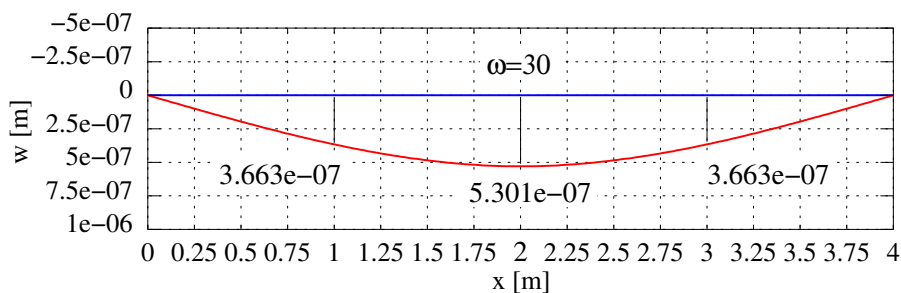
GNU Octave'i programmiga **NaideTala2ToelMdet.m** leiame hõreda võrrandisüsteemi (3.147) determinandi nullid. Koondatud massi kandva tala (jn 3.31) esimesed neli omavõnkesagedust: $\omega_1 = 5.4669 \times 10^1 \text{ s}^{-1}$, $\omega_2 = 1.542 \times 10^2 \text{ s}^{-1}$, $\omega_3 = 2.8268 \times 10^2 \text{ s}^{-1}$, $\omega_4 = 3.9113 \times 10^2 \text{ s}^{-1}$. Võrrandisüsteemi (3.147) determinandi sõltuvus nurksagedusest ω selgub jooniselt 3.33.



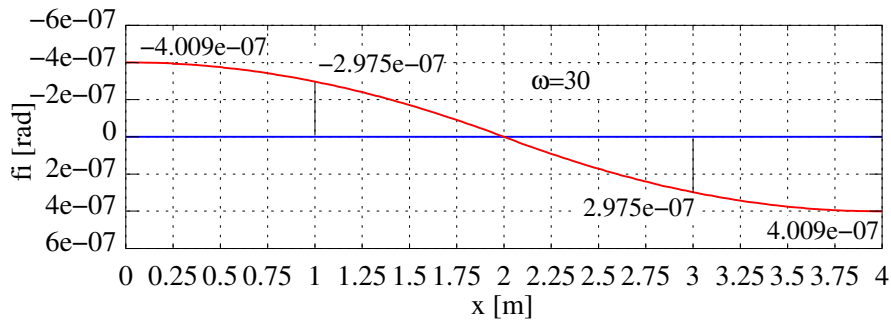
Joonis 3.33. Koondatud massi kandva tala omavõnkesagedused

Siirete ja sisejõudude leidmiseks valime vibreeriva jõu amplituudiks $F_b = 1 \text{ N}$. Siirded ja sisejõud vibreeriva jõu sagedusel $\omega_b = 30 \text{ s}^{-1}$ leiame GNU Octave'i programmiga **NaideTala2ToelMw0.m**. Jooniselt 3.33 on näha, et jõu F_b sagedus $\omega_b = 30 \text{ s}^{-1}$ on väiksem kui esimene resonantssagedus $\omega_1 = 54.669 \text{ s}^{-1}$.

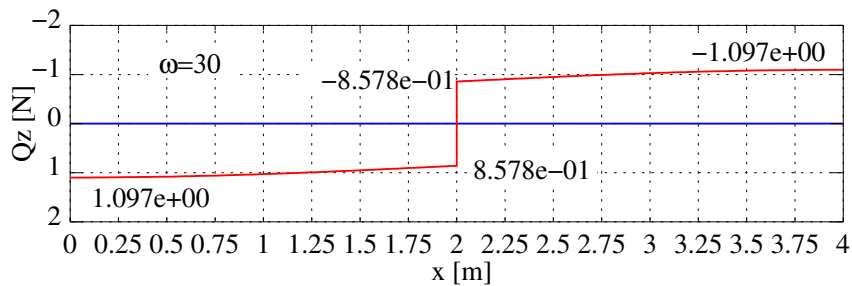
Arvutustulemuste põhjal on koostatud koondatud massi kandva tala epüürid (jn 3.34) vibreeriva jõu $F_b = 1.0 \text{ N}$ sagedusel $\omega_b = 30 \text{ s}^{-1}$.



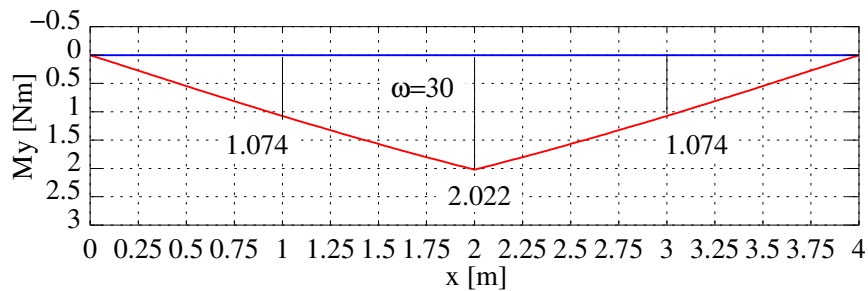
(a) Siire



(b) Paindenurk



(c) Põikjõud



(d) Paindemoment

Joonis 3.34. Koondatud massi kandva tala epüürid sagedusel $\omega = 30 \text{ s}^{-1}$

Arvutustulemused vibreeriva jõu $F_b = 1.0 \text{ N}$ sagedusel $\omega_b = 30 \text{ s}^{-1}$ leiab arvutuspäeviku väljavõttest 3.9.

Väljavõte arvutuspäevikust 3.9 (NaideTala2ToelMw0.m)

1. element

l1 = 2

Nmitmeks = 4

x=	0.00	0.50	1.00	1.50	2.00
w -	0.000e+00	1.961e-07	3.663e-07	4.855e-07	5.301e-07
fi -	-4.009e-07	-3.749e-07	-2.975e-07	-1.714e-07	-1.588e-22
Q -	1.097e+00	1.079e+00	1.028e+00	9.505e-01	8.578e-01
M -	0.000e+00	5.456e-01	1.074e+00	1.569e+00	2.022e+00

3. element

l2 = 2

Nmitmeks = 4

x=	0.00	0.50	1.00	1.50	2.00
w -	5.301e-07	4.855e-07	3.663e-07	1.961e-07	2.118e-22
fi -	-3.293e-23	1.714e-07	2.975e-07	3.749e-07	4.009e-07
Q -	-8.578e-01	-9.505e-01	-1.028e+00	-1.079e+00	-1.097e+00
M -	2.022e+00	1.569e+00	1.074e+00	5.456e-01	0.000e+00

Näeme, et põikjõu epüüril on tala keskel hüpe jõust $F_b = 1.0$ N ja inertsjõust $F_{inerts} = M_\rho \omega w_b = 1500 \cdot 30^2 \cdot 5.301 \times 10^{-7} = 0.71564$ N. Tala keskel jaguneb see hüpe võrdselt, $Q_z \left(\frac{\ell}{2}\right) = \pm (F_b + F_{inerts})/2 = \pm (1 + 0.71564)/2 = \pm (0.5 + 0.35782) = \pm 0.85782$ N.

Vibreeriva jõu $F_b = 2700$ N puhul saame tala keskel siirde w_d ja paindemomendi M_{yd} amplituudiks

$$w_d \left(\frac{\ell}{2}\right) = 5.301 \times 10^{-7} \cdot F_b = 5.301 \times 10^{-7} \cdot 2700 = 0.0014313 \text{ m} = 1.4313 \text{ mm} \quad (3.154)$$

$$M_{yd} \left(\frac{\ell}{2}\right) = 2.022 \cdot F_b = 2.022 \cdot 2700 = 5459 \text{ Nm} = 5.459 \text{ kNm} \quad (3.155)$$

Õpikus [Kis64, lk 37] on lihtsustatud arvutusega saadud $M_{yd} \left(\frac{\ell}{2}\right) = 592 \text{ kg m}$ ($592 \cdot 9.81 = 5807.5 \text{ Nm}$).

Omakaalust $q = 3.924 \text{ kN/m}$ ja koondatud koormusest $F_\rho = 14.715 \text{ kN}$ tingitud staatiline siire $w_{st}^{qF_\rho}$ ja staatiline paindemoment $M_{yst}^{qF_\rho}$ tala keskel avalduvad

$$w_{st}^{qF_\rho} \left(\frac{\ell}{2}\right) = \frac{5}{384} \frac{q\ell^4}{EI} + \frac{F_\rho \ell^3}{48EI} = \frac{5 \cdot 3.924 \times 10^3 \cdot 4.0^4}{384 \cdot 5.250 \times 10^6} + \frac{14.715 \times 10^3 \cdot 4.0^3}{48 \cdot 5.250 \times 10^6} = 2.4914 \times 10^{-3} + 3.7371 \times 10^{-3} = 6.2285 \times 10^{-3} \text{ m} \quad (3.156)$$

$$M_{yst}^{qF_\rho} \left(\frac{\ell}{2}\right) = \frac{q\ell^2}{8} + \frac{F_\rho \ell}{4} = \frac{3.924 \times 10^3 \cdot 4.0^2}{8} + \frac{14.715 \times 10^3 \cdot 4}{4} = 7.8480 \times 10^3 + 14.715 \times 10^3 = 22.563 \times 10^3 \text{ Nm} \quad (3.157)$$

Nimetatud õpikus on lihtsustatud arvutusega saadud $M_{yst}^{qF_\rho} \left(\frac{\ell}{2}\right) = 2300 \text{ kg m}$ ($2300 \cdot 9.81 = 22563 \text{ Nm}$).

Omakaalust $q = 3.924 \text{ kN/m}$, koondatud koormusest $F_\rho = 14.715 \text{ kN}$ ja dünaamilisest koormusest $F_b \sin \omega t$ ($F_b = 2.7 \text{ kN}$) põhjustatud siirde w_{sum} ja paindemomendi $M_{y sum}$ saame vastavate suuruste ($w_{st}^{qF_\rho}$, w_d ja $M_{yst}^{qF_\rho}$, M_{yd}) liitmisel.

Suurim paindepinge tala keskel

$$\sigma_{max} = \frac{M_{yst}^{qF_\rho}}{W} + \frac{M_{yd}}{W} = \frac{2.2563 \times 10^4}{2.5 \times 10^{-4}} + \frac{5.459 \times 10^3}{2.5 \times 10^{-4}} = 9.0252 \times 10^7 + 2.1836 \times 10^7 = 112.088 \text{ MPa} \quad (3.158)$$

Juba mainitud õpikus on lihtsustatud arvutusega saadud $\sigma = 1157 \text{ kG/cm}^2$ ($1157 \cdot 9.81 = 1.1350 \times 10^4 \text{ N/cm}^2 = 113.50 \text{ MPa}$).

Dünaamikategori k_d leidmiseks arvutame siirde $w_{st}^{F_b}$ ja paindemomendi $M_{y_{st}}^{F_b}$ sundiva jõu F_b staatilisel rakendamisel:

$$w_{st}^{F_b} = \frac{F_b \ell^3}{48EI} = \frac{2.7 \times 10^3 \cdot 4.0^3}{48 \cdot 5.250 \times 10^6} = 6.8571 \times 10^{-4} \text{ m} \quad (3.159)$$

$$M_{y_{st}}^{F_b} = \frac{F_b \ell}{4} = \frac{2.7 \times 10^3 \cdot 4.0}{4.0} = 2.7 \times 10^3 \text{ Nm} \quad (3.160)$$

Dünaamikategoriid siirdel, k_{ds} , ja paindel, k_{dp} , sagedusel $\omega_b = 30 \text{ s}^{-1}$ on erinevad:

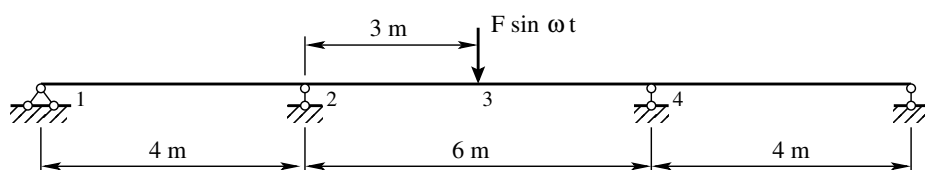
$$k_{ds} = \frac{w_d}{w_{st}^{F_b}} = \frac{1.4313 \times 10^{-3}}{6.8571 \times 10^{-4}} = 2.0873 \quad (3.161)$$

$$k_{dp} = \frac{M_{yd}}{M_{y_{st}}^{F_b}} = \frac{5.459 \times 10^3}{2.7 \times 10^3} = 2.0219 \quad (3.162)$$

Võrdsed on nad ühe vabadusastmega süsteemi korral.

Õpikus [Kis64, lk 36] annab lihtsustatud arvutus ühesuguse dünaamikategori $k_d = 2.152$ nii siirdel kui ka paindel.

Näide 3.7 (kolmesildeline jätkuvtala). Koostada joonisel 3.35 kujutatud kolmesildelise jätkuvtala siirde ja paindemomentide epüürid.



Joonis 3.35. Kolmesildeline jätkuvtala

Andmed. Jätkuvtala avad $\ell_1 = 4 \text{ m}$, $\ell_2 = 6 \text{ m}$ ja $\ell_3 = 4 \text{ m}$. Teise ava keskel on vibreeriv jõud $F = 1.0 \text{ N}$. Jõu F sagedus $\omega = 100 \text{ s}^{-1}$, ristlõike inertsimoment $I = 2.0 \times 10^{-4} \text{ m}^4 = 20000 \text{ cm}^4$, elastsusmoodul $E = 200 \text{ GPa}$, tala lausmass $m = 250 \text{ kg/m}$, koormus omakaalust $q = 9.81 \cdot 250 = 2452.5 \text{ N/m}$.

Lahendus. Algpameetrite leidmiseks koostame EST-meetodi võrrandisüsteemi

$$\text{spA} \cdot \mathbf{Z} = \mathbf{B} \quad (3.163)$$

kus \mathbf{Z} on võrrandisüsteemi tundmatute vektor:

$$\mathbf{Z} = \begin{bmatrix} \mathbf{Z}_1^{(1)} \\ \mathbf{Z}_2^{(1)} \\ \mathbf{Z}_2^{(2)} \\ \mathbf{Z}_3^{(2)} \\ \mathbf{Z}_3^{(3)} \\ \mathbf{Z}_4^{(3)} \\ \mathbf{Z}_4^{(4)} \\ \mathbf{Z}_5^{(4)} \\ \mathbf{Z}_{1\&2}^{(C)} \\ \mathbf{Z}_{3\&4}^{(C)} \end{bmatrix} \quad (3.164)$$

Vektori komponentideks on siirded, paindenurgad, põikjõud ja paindemomendid tala elementide ab , bc , cd ja de alguses ning lõpus (jn 3.36):

$$\mathbf{Z}_1^{(1)} = \begin{bmatrix} w_A^{(1)} \\ \varphi_A^{(1)} \\ Q_A^{(1)} \\ M_A^{(1)} \end{bmatrix} = \begin{bmatrix} Z(1) \\ Z(2) \\ Z(3) \\ Z(4) \end{bmatrix}, \quad \mathbf{Z}_2^{(1)} = \begin{bmatrix} w_L^{(1)} \\ \varphi_L^{(1)} \\ Q_L^{(1)} \\ M_L^{(1)} \end{bmatrix} = \begin{bmatrix} Z(5) \\ Z(6) \\ Z(7) \\ Z(8) \end{bmatrix} \quad (3.165)$$

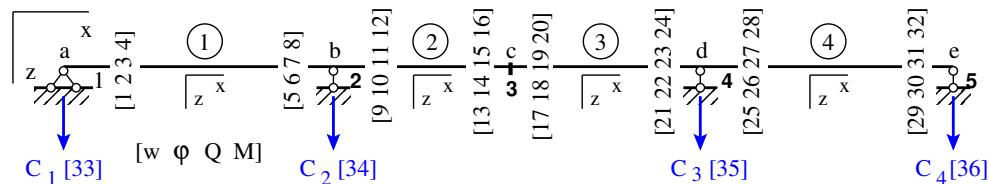
$$\mathbf{Z}_2^{(2)} = \begin{bmatrix} w_A^{(2)} \\ \varphi_A^{(2)} \\ Q_A^{(2)} \\ M_A^{(2)} \end{bmatrix} = \begin{bmatrix} Z(9) \\ Z(10) \\ Z(11) \\ Z(12) \end{bmatrix}, \quad \mathbf{Z}_3^{(2)} = \begin{bmatrix} w_L^{(2)} \\ \varphi_L^{(2)} \\ Q_L^{(2)} \\ M_L^{(2)} \end{bmatrix} = \begin{bmatrix} Z(13) \\ Z(14) \\ Z(15) \\ Z(16) \end{bmatrix} \quad (3.166)$$

$$\mathbf{Z}_3^{(3)} = \begin{bmatrix} w_A^{(3)} \\ \varphi_A^{(3)} \\ Q_A^{(3)} \\ M_A^{(3)} \end{bmatrix} = \begin{bmatrix} Z(17) \\ Z(18) \\ Z(19) \\ Z(20) \end{bmatrix}, \quad \mathbf{Z}_4^{(3)} = \begin{bmatrix} w_L^{(3)} \\ \varphi_L^{(3)} \\ Q_L^{(3)} \\ M_L^{(2)} \end{bmatrix} = \begin{bmatrix} Z(21) \\ Z(22) \\ Z(23) \\ Z(24) \end{bmatrix} \quad (3.167)$$

$$\mathbf{Z}_4^{(4)} = \begin{bmatrix} w_A^{(4)} \\ \varphi_A^{(4)} \\ Q_A^{(4)} \\ M_A^{(4)} \end{bmatrix} = \begin{bmatrix} Z(25) \\ Z(26) \\ Z(27) \\ Z(28) \end{bmatrix}, \quad \mathbf{Z}_5^{(4)} = \begin{bmatrix} w_L^{(4)} \\ \varphi_L^{(4)} \\ Q_L^{(4)} \\ M_L^{(4)} \end{bmatrix} = \begin{bmatrix} Z(29) \\ Z(30) \\ Z(31) \\ Z(32) \end{bmatrix} \quad (3.168)$$

$$\mathbf{Z}_{1\&2}^{(C)} = \begin{bmatrix} C_1 \\ C_2 \end{bmatrix} = \begin{bmatrix} Z(33) \\ Z(34) \end{bmatrix}, \quad \mathbf{Z}_{3\&4}^{(C)} = \begin{bmatrix} C_3 \\ C_4 \end{bmatrix} = \begin{bmatrix} Z(35) \\ Z(36) \end{bmatrix} \quad (3.169)$$

Muutujate $Z(i)$ ($i = 1, 2, \dots, 36$) järjenumbri on joonisel 3.36.



Joonis 3.36. Kolmesildelise jätkuvtala muutujate järjenumbri

Võrrandisüsteemi (3.163) kuusteist esimest võrrandit on põhivõrrandid (3.34). Järgnevad sõlmede pidevus- ja tasakaaluvõrrandid.

Pidevusvõrrandid

$$\begin{aligned}
 Z(5) - Z(9) &= w_L^{(1)} - w_A^{(2)} = 0 \\
 Z(6) - Z(10) &= \varphi_L^{(1)} - \varphi_A^{(2)} = 0 \\
 Z(13) - Z(17) &= w_L^{(2)} - w_A^{(3)} = 0 \\
 Z(14) - Z(18) &= \varphi_L^{(2)} - \varphi_A^{(3)} = 0 \\
 Z(21) - Z(25) &= w_L^{(3)} - w_A^{(4)} = 0 \\
 Z(22) - Z(26) &= \varphi_L^{(3)} - \varphi_A^{(4)} = 0
 \end{aligned} \tag{3.170}$$

Tasakaaluvõrrandid

$$\begin{aligned}
 Z(3) + Z(33) &= Q_A^{(1)} + C_{33} = 0 \\
 Z(7) + Z(11) + Z(34) &= Q_L^{(1)} + Q_A^{(2)} + C_{34} = 0 \\
 Z(8) + Z(12) &= M_L^{(1)} + M_A^{(2)} = 0 \\
 Z(15) + Z(19) &= Q_L^{(2)} + Q_A^{(3)} = F \\
 Z(16) + Z(20) &= M_L^{(2)} + M_A^{(3)} = 0 \\
 Z(23) + Z(27) + Z(35) &= Q_L^{(3)} + Q_A^{(4)} + C_{35} = 0 \\
 Z(24) + Z(28) &= M_L^{(3)} + M_A^{(4)} = 0 \\
 Z(31) + Z(36) &= Q_L^{(4)} + C_{36} = 0
 \end{aligned} \tag{3.171}$$

Ülejäänud kuus võrrandit on

kõrvaltingimused

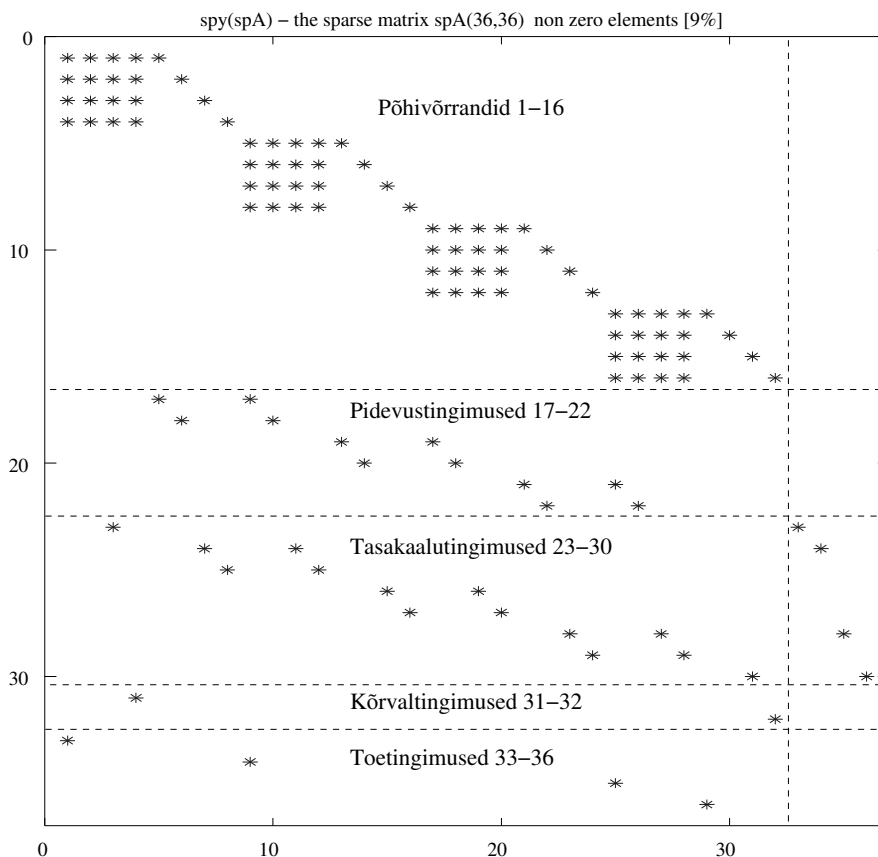
$$\begin{aligned}
 Z(4) &= M_A^{(1)} = 0 \\
 Z(32) &= M_L^{(4)} = 0
 \end{aligned} \tag{3.172}$$

toetingimused

$$\begin{aligned}
 Z(1) &= w_A^{(1)} = 0 \\
 Z(9) &= w_A^{(2)} = 0 \\
 Z(21) &= w_L^{(3)} = 0 \\
 Z(29) &= w_L^{(4)} = 0
 \end{aligned} \tag{3.173}$$

Võrrandisüsteemil (3.163) on 36 võrrandit 36 tundmatuga, kus nullist erinevaid elemente on 116 (9%) (jn 3.37):

spA = Compressed Column Sparse (rows = 36, cols = 36, nnz = 116 [9%])



Joonis 3.37. Kolmesildelise jätkuvtala maatriksi spA muster

GNU Octave'i programmiga [NaideJtkTala1det.m](#) leiame hõreda võrrandisüsteemi (3.163) determinandi nullid. Jätkuvtala (jn 3.35) esimesed viis omavõnkesagedust on $\omega_1 = 1.5492 \times 10^2 \text{ s}^{-1}$, $\omega_2 = 2.9184 \times 10^2 \text{ s}^{-1}$, $\omega_3 = 3.4188 \times 10^2 \text{ s}^{-1}$, $\omega_4 = 5.7293 \times 10^2 \text{ s}^{-1}$, $\omega_5 = 9.8696 \times 10^2 \text{ s}^{-1}$. Võrrandisüsteemi (3.163) determinandi sõltuvus nurksagedusest ω on kujutatud joonisel 3.38. Siit näeme, et vibreeriva jõu F sagedus $\omega = 100 \text{ s}^{-1}$ on väiksem kui esimene resonantssagedus $\omega_1 = 154.92 \text{ s}^{-1}$.

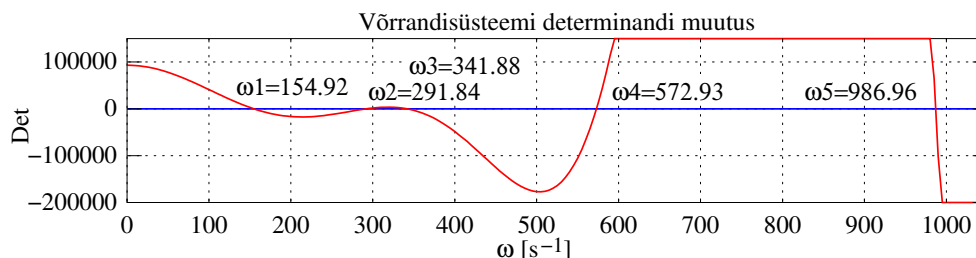
Esimese omavõnkesageduse $\omega_1 = 1.5492 \times 10^2 \text{ s}^{-1}$ avaldame kujul (vt (3.73))

$$\omega_1 = \frac{\lambda_1^2}{\ell_2^2} \sqrt{\frac{EI}{m}} = \frac{3.734^2}{\ell_2^2} \sqrt{\frac{EI}{m}} = \frac{13.943}{\ell_2^2} \sqrt{\frac{EI}{m}} = 154.92 \text{ s}^{-1} \quad (3.174)$$

et võrrelda seda raamatus [BL63, lk 272] esitatud sarnase jätkuvtala esimese omavõnkesagedusega

$$\omega_1 = \frac{14}{\ell_2^2} \sqrt{\frac{EI}{m}} = \frac{14}{6^2} \sqrt{\frac{4.0 \times 10^7}{m}} = 155.56 \text{ s}^{-1} \quad (3.175)$$

Sii selgub, et eri meetodeil arvatud esimesed omavõnkesagedused erinevad väga vähe.

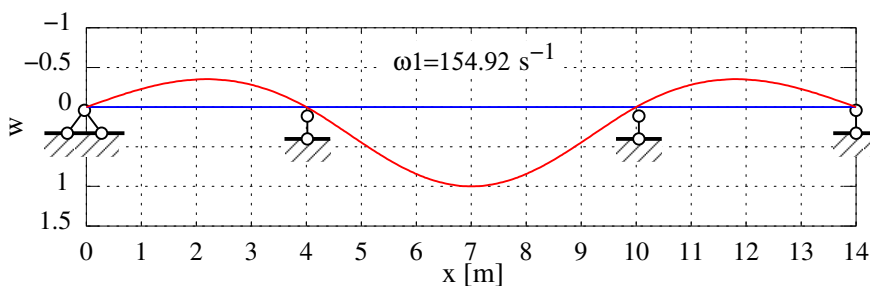


Joonis 3.38. Kolmesildelise jätkuvtala omavõnkesagedused

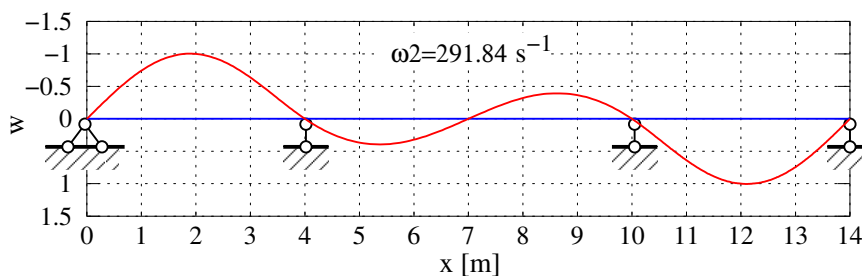
Jätkuvtala esimesed neli omavõnkevormi sagedustel $\omega_1 = 1.5492 \times 10^2 \text{ s}^{-1}$, $\omega_2 = 2.9184 \times 10^2 \text{ s}^{-1}$, $\omega_3 = 3.4188 \times 10^2 \text{ s}^{-1}$, $\omega_4 = 5.7293 \times 10^2 \text{ s}^{-1}$ leiame GNU Octave'i programmidega [NaideJtkTala1 Vorm1.m](#), [NaideJtkTala1 Vorm2.m](#), [NaideJtkTala1 Vorm3.m](#) ja [NaideJtkTala1 Vorm4.m](#).

Esimese ja neljanda omavõnkevormi leidmisel viime võrrandisüsteemis (3.163) kolmeistkümnenda veeru ning teise ja kolmanda omavõnkevormi leidmisel kahekümne esimese veeru paremale poolele. Pärast hõreda võrrandisüsteemi lahendamist vähimruutude meetodiga saame lahendist valida algparameetrid.

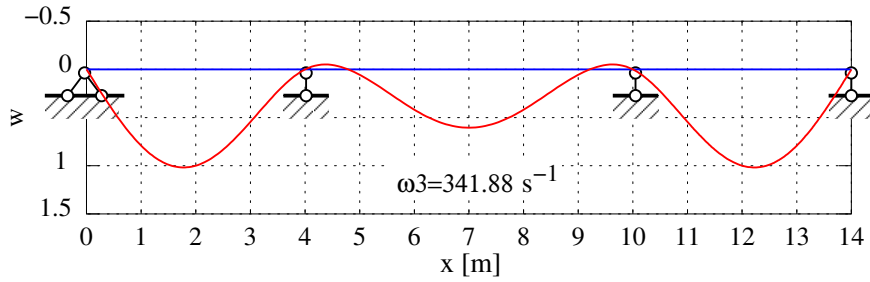
Omavõnkevormid on kujutatud joonisel 3.39.



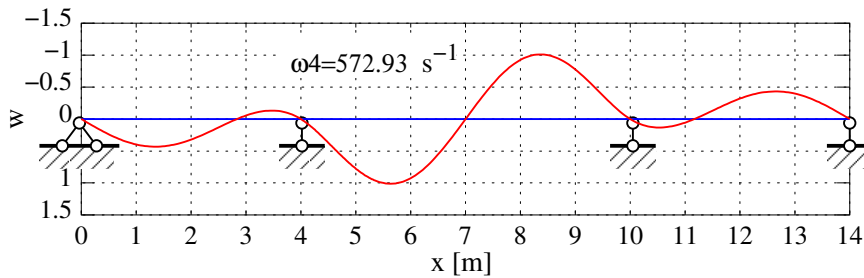
(a) Omavõnkevorm sagedusel $\omega_1 = 1.5492 \times 10^2 \text{ s}^{-1}$



(b) Omavõnkevorm sagedusel $\omega_2 = 2.9184 \times 10^2 \text{ s}^{-1}$



(c) Omavõnkevorm sagedusel $\omega_3 = 3.4188 \times 10^2 \text{ s}^{-1}$



(d) Omavõnkevorm sagedusel $\omega_4 = 5.7293 \times 10^2 \text{ s}^{-1}$

Joonis 3.39. Kolmesildelise jätkuvtala omavõnkevormid

Arvutustulemused jõu $F = 1.0 \text{ N}$ sagedusel $\omega = 100 \text{ s}^{-1}$ toome arvutuspäeviku väljavõttes 3.10.

Väljavõtte arvutuspäevikust 3.10 (NaideJtkTala1Mw.m)

1. element

l1 = 4

Nmitmeks = 4

x=	0.00	1.00	2.00	3.00	4.00
w -	0.000e+00	-1.594e-08	-2.499e-08	-2.119e-08	0.000e+00
fi -	1.712e-08	1.359e-08	3.505e-09	-1.186e-08	-3.106e-08
Q -	-2.857e-01	-2.651e-01	-2.118e-01	-1.509e-01	-1.204e-01
M -	0.000e+00	-2.787e-01	-5.191e-01	-6.997e-01	-8.309e-01

2. element

l21 = 3

Nmitmeks = 4

x=	0.00	0.75	1.50	2.25	3.00
w -	0.000e+00	2.756e-08	5.745e-08	8.087e-08	9.013e-08
fi -	-3.106e-08	-4.034e-08	-3.740e-08	-2.334e-08	-1.323e-23
Q -	8.992e-01	8.744e-01	7.944e-01	6.631e-01	5.000e-01
M -	-8.309e-01	-1.626e-01	4.667e-01	1.016e+00	1.453e+00

3. element

l22 = 3

Nmitmeks = 4

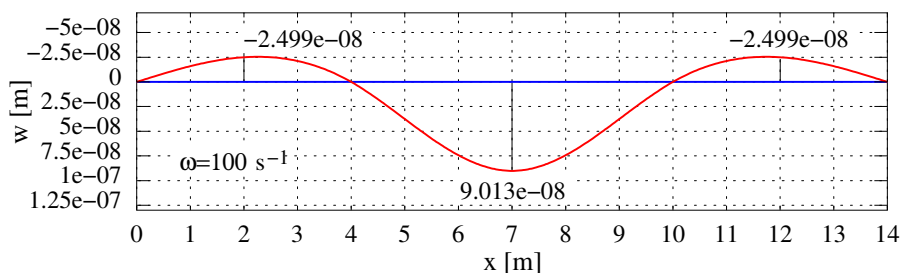
x=	0.00	0.75	1.50	2.25	3.00
----	------	------	------	------	------

w -	9.013e-08	8.087e-08	5.745e-08	2.756e-08	-2.647e-23
fi -	-1.694e-24	2.334e-08	3.740e-08	4.034e-08	3.106e-08
Q -	-5.000e-01	-6.631e-01	-7.944e-01	-8.744e-01	-8.992e-01
M -	1.453e+00	1.016e+00	4.667e-01	-1.626e-01	-8.309e-01

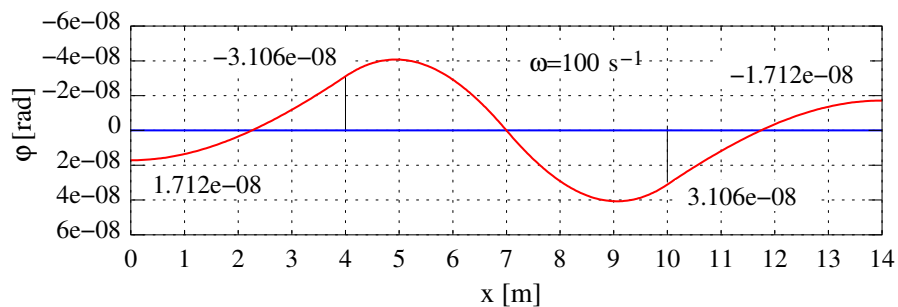
4. element
 l3 = 4
 Nmitmeks = 4

x=	0.00	1.00	2.00	3.00	4.00
w -	0.000e+00	-2.119e-08	-2.499e-08	-1.594e-08	-2.647e-23
fi -	3.106e-08	1.186e-08	-3.505e-09	-1.359e-08	-1.712e-08
Q -	1.204e-01	1.509e-01	2.118e-01	2.651e-01	2.857e-01
M -	-8.309e-01	-6.997e-01	-5.191e-01	-2.787e-01	0.000e+00

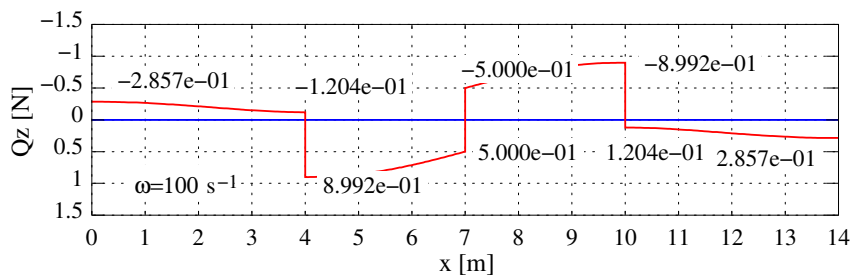
Jätkuvtala sisejõudude epüürid vibreeriva jõu $F = 1.0 \text{ N}$ sagedusel $\omega = 100 \text{ s}^{-1}$ on toodud joonisel 3.40.



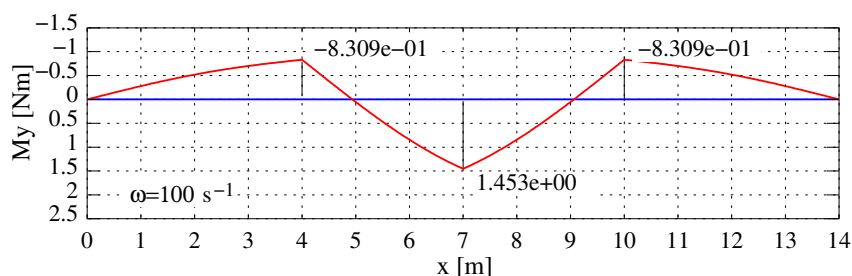
(a) Siire



(b) Paindenurk



(c) Põikjõud



(d) Paindemoment

Joonis 3.40. Kolmesildelise jätkuvtala epüürid sagedusel $\omega = 100 \text{ s}^{-1}$

Vibreeriva jõu $F \sin \theta t$ sagedusel $\omega = 100 \text{ s}^{-1}$ saame tala tugeidel 2 ja 3 ning teise silde keskel paindemomendi amplituudiks $M_{yd}(x = 4) = -0.8309F \text{ kNm}$ ja $M_{yd}(x = 7) = 1.453F \text{ kNm}$ (vt arvutuspäeviku väljavõtte 3.10). Need EST-meetodiga leitud suurused ühtivad õpikus [Kis64, lk 196] toodutega.

GNU Octave'i programmiga **NaideJtkTala1MwStaatika.m** leiame siirde w_{st}^F ja paindemomendi $M_{y_{st}}^F$ sundiva jõu F staatilisel rakendamisel.

Leitud siirde ja momendi väärtused tala koormamisel sundiva jõuga F on antud arvutuspäeviku väljavõttes 3.11.

Väljavõtte arvutuspäevikust 3.11 (**NaideJtkTala1MwStaatika.m**)

1. element

l1 = 4

Nmitmeks = 4

x=	0.00	1.00	2.00	3.00	4.00
w -	0.000e+00	-8.113e-09	-1.298e-08	-1.136e-08	0.000e+00
fi -	8.654e-09	7.031e-09	2.163e-09	-5.950e-09	-1.731e-08
Q -	-1.298e-01	-1.298e-01	-1.298e-01	-1.298e-01	-1.298e-01
M -	0.000e+00	-1.298e-01	-2.596e-01	-3.894e-01	-5.192e-01

2. element

l21 = 3

Nmitmeks = 4

x=	0.00	0.75	1.50	2.25	3.00
w -	0.000e+00	1.575e-08	3.353e-08	4.807e-08	5.409e-08
fi -	-1.731e-08	-2.353e-08	-2.272e-08	-1.487e-08	-6.617e-24
Q -	5.000e-01	5.000e-01	5.000e-01	5.000e-01	5.000e-01
M -	-5.192e-01	-1.442e-01	2.308e-01	6.058e-01	9.808e-01

3. element

l22 = 3

Nmitmeks = 4

x=	0.00	0.75	1.50	2.25	3.00
w -	5.409e-08	4.807e-08	3.353e-08	1.575e-08	-1.323e-23
fi -	-1.446e-24	1.487e-08	2.272e-08	2.353e-08	1.731e-08
Q -	-5.000e-01	-5.000e-01	-5.000e-01	-5.000e-01	-5.000e-01

```
M - 9.808e-01 6.058e-01 2.308e-01 -1.442e-01 -5.192e-01
```

```
4. element
```

```
l3 = 4
```

```
Nmitmeks = 4
```

```

x=      0.00      1.00      2.00      3.00      4.00
w -    0.000e+00  -1.136e-08  -1.298e-08  -8.113e-09  -1.323e-23
fi -    1.731e-08   5.950e-09  -2.163e-09  -7.031e-09  -8.654e-09
Q -    1.298e-01   1.298e-01   1.298e-01   1.298e-01   1.298e-01
M -   -5.192e-01  -3.894e-01  -2.596e-01  -1.298e-01   0.000e+00

```

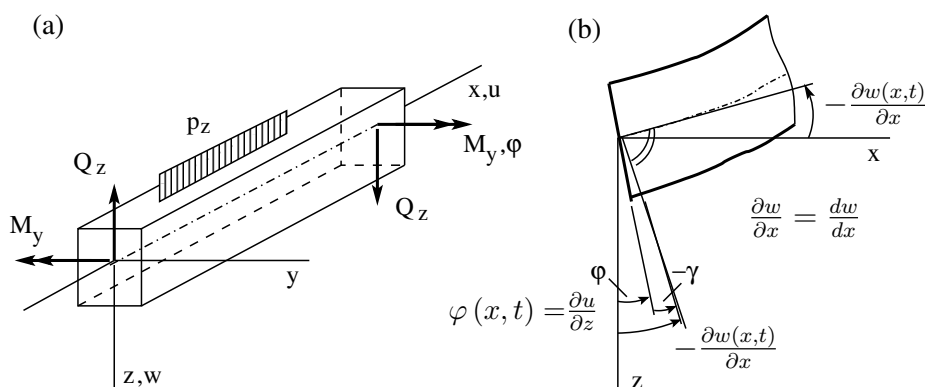
Paindemoment teise silde keskel $M_{y\,st}^F = 0.9808F$ ühtib õpikus [Kis64, lk 196] tooduga.

Jätkuvtala siirded ja sisejõud omakaalust $q = 2.4525$ kN/m saab leida GNU Octave'i programmiga [NaideJtkTala1MwStaatikaqz.m](#).

4. Timošenko tala võnkumine

Euleri-Bernoulli tala teoorias hüljatakse ristlõike suhteline nihkedeformatsioon (nihkemoone, nihkenurk): $\gamma \approx 0$. Põikjõud leitakse tasakaalutingimusest.

Timošenko tala teoorias¹ [HBW99] jäävad tala ristlõiked tasapinnaliseks (ei kõverdu) ja pöörduvad nurga φ võrra (jn 4.1b). Tala ristlõikes arvestatakse suhtelist nihkedeformatsiooni, seega $\gamma \neq 0$.



Joonis 4.1. Timošenko tala

Suhteline nihkedeformatsioon γ tala ristlõikes avaldub kujul

$$\gamma = \frac{\partial w(x,t)}{\partial x} + \varphi \quad (4.1)$$

Tala telgjoone kõverus

$$\varkappa = \frac{\partial \varphi(x,t)}{\partial x} \quad (4.2)$$

Põikjõud

$$Q_z = k_T GA \gamma = k_T GA \left(\frac{\partial w(x,t)}{\partial x} + \varphi \right) \quad (4.3)$$

kus k_T on Timošenko tala teoorias kujutegur [Hut01], mis sõltub ristlõike kujust ja Poissoni tegurist ν (ringile $k_T = (6 + 12\nu + 6\nu^2)/(7 + 12\nu + 4\nu^2)$, ristkülikule $k_T = (5 + 5\nu)/(6 + 5\nu)$); GA on lõikejäikus.

¹https://en.wikipedia.org/wiki/Timoshenko_beam_theory (22.01.2017)

Paindemoment

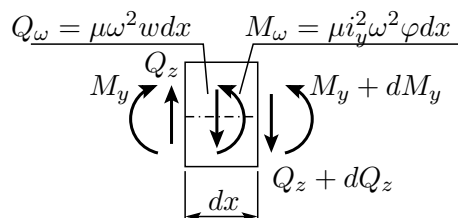
$$M_y = EI_y \frac{\partial \varphi(x, t)}{\partial x} \quad (4.4)$$

kus EI_y on paindejäikus.

4.1 Timošenko tala diferentsiaalvõrrandid

4.1.1 Timošenko tala diferentsiaalseosed

Vaatleme talaelemendi tasakaalu (jn 4.2). Talaelemendile mõjuvad põikjõud Q_z , paindemoment M_y , inertsjõud $Q_\omega = \mu \omega^2 w dx$ ja inertsjõudude moment² $M_\omega = \mu i_y^2 \omega^2 \varphi dx$. Siin on μ pikkusühiku kohta tulev mass, i_y ($i_y^2 = I_y/A$) – inertsiraadius telje y suhtes ja ω – nurksagedus.



Joonis 4.2. Talaelemendi tasakaal

Talaelemendi tasakaaluvõrrandid:

$$dM_y = Q_z dx - m_y dx - \mu i_y^2 \omega^2 \varphi dx \quad (4.5)$$

$$dQ_z = -p_z dx - \mu \omega^2 w dx \quad (4.6)$$

Siin on p_z telje z suunaline lauskoormus ja m_y on lausmoment.

Jagades võrrandid (4.5) ja (4.6) dx -iga, saame diferentsiaalseosed

$$\frac{dM_y}{dx} = Q_z - m_y - \mu i_y^2 \omega^2 \varphi \quad (4.7)$$

$$\frac{dQ_z}{dx} = -p_z - \mu \omega^2 w \quad (4.8)$$

ehk

$$\frac{\partial M_y}{\partial x} - Q_z + \mu i_y^2 \frac{\partial^2 \varphi}{\partial t^2} + m_y = 0 \quad (4.9)$$

$$\frac{\partial Q_z}{\partial x} + \mu \frac{\partial^2 w}{\partial t^2} + p_z = 0 \quad (4.10)$$

²http://www.obs.ee/~jaak/loengud/esimene_02/loeng6/kuues.html

Asetame avaldised (4.3) ja (4.4) võrranditesse (4.9) ning (4.10).

$$\frac{\partial^2 \varphi(x, t)}{\partial x^2} - k_T G A \left(\frac{\partial w(x, t)}{\partial x} + \varphi \right) + \mu i_y^2 \frac{\partial^2 \varphi}{\partial t^2} + m_y = 0 \quad (4.11)$$

$$k_T G A \frac{\partial}{\partial x} \left(\frac{\partial w(x, t)}{\partial x} + \varphi \right) + \mu \frac{\partial^2 w}{\partial t^2} + p_z = 0 \quad (4.12)$$

Võrrandist (4.12) elimineerime φ :

$$\frac{\partial \varphi(x, t)}{\partial x} = -\frac{1}{k_T G A} \left(k_T G A \frac{\partial^2 w(x, t)}{\partial x^2} + \mu \frac{\partial^2 w}{\partial t^2} + p_z \right) \quad (4.13)$$

Tulemuseks on neljandat järku diferentsiaalvõrrand põiksiirdel w [MV14, lk 39 (7)], [SAMST92, lk 39 (2.1)].

$$\begin{aligned} \frac{\partial^4 w(x, t)}{\partial x^4} + \frac{\mu}{EI} \frac{\partial^2 w(x, t)}{\partial t^2} - \frac{\mu}{EA} \left(1 + \frac{E}{k_T G} \right) \frac{\partial^4 w(x, t)}{\partial x^2 \partial t^2} \\ + \frac{\mu^2}{k_T A^2 E G} \frac{\partial^4 w(x, t)}{\partial t^4} = 0 \end{aligned} \quad (4.14)$$

Elimineerides w võrranditest (4.11) ja (4.12), saame avaldisega (4.14) sarnase võrrandi paindenurga φ jaoks [MV14, lk 39 (11)]:

$$\begin{aligned} \frac{\partial^4 \varphi(x, t)}{\partial x^4} + \frac{\mu}{EI} \frac{\partial^2 \varphi(x, t)}{\partial t^2} - \frac{\mu}{EA} \left(1 + \frac{E}{k_T G} \right) \frac{\partial^4 \varphi(x, t)}{\partial x^2 \partial t^2} \\ + \frac{\mu^2}{k_T A^2 E G} \frac{\partial^4 \varphi(x, t)}{\partial t^4} = 0 \end{aligned} \quad (4.15)$$

4.1.2 Timošenko tala vabavõnkumise diferentsiaalvõrrand

Asendame võrrandis (4.8) põikjõu tuletise dQ_z/dx põiksiirde ja paindemomendiga. Selleks võtame põikjõu avaldisest (4.3) tuletise muutuja x suhtes. Tuletises sisalduva $d\varphi/dx$ asendame avaldisest (4.4) saadava seosega M_y/EI_y . Piirdume juhuga, kui $A(x) = konst$ ja $I_y(x) = konst$ ning $p_z = 0$.

$$\frac{d^2 w(x, t)}{dx^2} + \frac{\mu \omega^2}{k_T G A} w + \frac{M_y}{EI_y} = 0 \quad (4.16)$$

Võtame võrrandist (4.7) tuletise muutuja x suhtes. Tuletises sisalduva seose dQ_z/dx asendame avaldisega (4.8) ja $d\varphi/dx$ asendame avaldisest (4.4) saadavaga seosega M_y/EI_y . Piirdume juhuga, kui $A(x) = konst$, $I_y(x) = konst$ ning $p_z = 0$ ja $m_y = 0$.

$$\frac{d^2 M_y}{dx^2} + \frac{\mu i_y^2 \omega^2}{EI_y} M_y + \mu \omega^2 w = 0 \quad (4.17)$$

Kõrvaldades võrranditest (4.16) ja (4.17) paindemomendi M_y , saame neljandat järku diferentsiaalvõrrandi [PL63, lk 133 (5-6)]

$$\frac{d^4 w}{dx^4} + \frac{\mu \omega^2 i_y^2}{EI_y} \left(1 + \frac{E}{k_T G}\right) \frac{d^2 w}{dx^2} - \frac{\mu \omega^2}{EI_y} \left(1 - \frac{\mu i_y^2 \omega^2}{k_T G A}\right) w = 0 \quad (4.18)$$

ehk kujul [SAMST92, lk 39 (2.2)]

$$\frac{d^4 w}{dx^4} + \frac{\mu \omega^2}{EA} \left(1 + \frac{E}{k_T G}\right) \frac{d^2 w}{dx^2} - \frac{\mu \omega^2}{EI_y} \left(1 - \frac{\mu i_y^2 \omega^2}{k_T G A}\right) w = 0 \quad (4.19)$$

Siin on arvestatud, et $i_y^2 = I_y/A$.

Kasutame tähistusi

$$\beta^4 = \frac{\mu \omega^2 \ell^4}{EI_y}, \quad \alpha = \frac{\mu \omega^2 \ell^2}{k_T G A}, \quad \eta = \frac{\mu i_y^2 \omega^2 \ell^2}{EI_y} \quad (4.20)$$

Diferentsiaalvõrrandi (4.18) võib nüüd esitada kujul

$$\frac{d^4 w}{dx^4} + \frac{\alpha + \eta}{\ell^2} \frac{d^2 w}{dx^2} - \frac{\beta^4 - \alpha \eta}{\ell^4} w = 0 \quad (4.21)$$

Võtame kasutusele mõõduta muutujad ξ , ι ja χ :

$$\xi = \frac{x}{\ell}, \quad (\gamma) \iota = \frac{i_y^2}{\ell^2}, \quad (\alpha) \chi = \frac{i_y^2}{\ell^2} \frac{E}{k_T G} \quad (4.22)$$

Saame Timošenko tala põiksiirde w mõõduta muutujaga diferentsiaalvõrrandi

$$\frac{d^4 w}{d\xi^4} + (\alpha + \eta) \frac{d^2 w}{d\xi^2} - (\beta^4 - \alpha \eta) w = 0 \quad (4.23)$$

ehk [SAMST92, lk 39 (2.4)]

$$\frac{d^4 w}{d\xi^4} + \beta^4 (\iota + \chi) \frac{d^2 w}{d\xi^2} + \beta^4 [\beta^4 \iota \chi - 1] w = 0 \quad (4.24)$$

Avaldame diferentsiaalvõrrandi (4.23) karakteristliku võrrandi [PL63, lk 134 (5-8)]:

$$\lambda^4 + (\alpha + \eta) \lambda^2 - (\beta^4 - \alpha \eta) = 0 \quad (4.25)$$

ehk [SAMST92, lk 40 (2.5)]

$$\lambda^4 + \beta^4 (\iota + \chi) \lambda^2 + \beta^4 [\beta^4 \iota \chi - 1] = 0 \quad (4.26)$$

Võrrandi (4.25) lahendid on

$$\lambda_{1,2} = \sqrt{\sqrt{\beta^4 + \frac{1}{4}(\alpha - \eta)^2} \mp \frac{1}{2}(\alpha + \eta)} \quad (4.27)$$

ehk

$$\lambda_{1,2} = \frac{\sqrt{2}}{2} \sqrt{\sqrt{\beta^8 (\chi - \iota)^2 + 4\beta^4 \mp \beta^4 (\chi + \iota)}} \quad (4.28)$$

Leitud lahendid rahuldavad tingimusi

$$\lambda_2^2 - \lambda_1^2 = \alpha + \eta, \quad \lambda_1^2 \lambda_2^2 = \beta^4 - \alpha\eta \quad (4.29)$$

Diferentsiaalvõrrandi (4.21) normeerimata lahendite fundamentaalsüsteem:

$$\begin{aligned} f_1(\lambda_1, x) &= \operatorname{ch}\left(\lambda_1 \frac{x}{\ell}\right), & f_2(\lambda_1, x) &= \operatorname{sh}\left(\lambda_1 \frac{x}{\ell}\right), \\ f_3(\lambda_2, x) &= \cos\left(\lambda_2 \frac{x}{\ell}\right), & f_4(\lambda_2, x) &= \sin\left(\lambda_2 \frac{x}{\ell}\right) \end{aligned} \quad (4.30)$$

Esitame esmalt põiksiirde w avaldise

$$w\left(\frac{x}{\ell}\right) = A_1 \sin\left(\lambda_2 \frac{x}{\ell}\right) + A_2 \cos\left(\lambda_2 \frac{x}{\ell}\right) + A_3 \operatorname{sh}\left(\lambda_1 \frac{x}{\ell}\right) + A_4 \operatorname{ch}\left(\lambda_1 \frac{x}{\ell}\right) \quad (4.31)$$

kus A_i ($i = 1, 2, 3, 4$) on konstandid.

Põiksiirde $w(x/\ell)$ tuletised on:

$$w'\left(\frac{x}{\ell}\right) = \frac{\lambda_2}{\ell} A_1 \cos\left(\lambda_2 \frac{x}{\ell}\right) - \frac{\lambda_2}{\ell} A_2 \sin\left(\lambda_2 \frac{x}{\ell}\right) + \frac{\lambda_1}{\ell} A_3 \operatorname{ch}\left(\lambda_1 \frac{x}{\ell}\right) + \frac{\lambda_1}{\ell} A_4 \operatorname{sh}\left(\lambda_1 \frac{x}{\ell}\right)$$

$$w''\left(\frac{x}{\ell}\right) = -\frac{\lambda_2^2}{\ell^2} A_1 \sin\left(\lambda_2 \frac{x}{\ell}\right) - \frac{\lambda_2^2}{\ell^2} A_2 \cos\left(\lambda_2 \frac{x}{\ell}\right) + \frac{\lambda_1^2}{\ell^2} A_3 \operatorname{sh}\left(\lambda_1 \frac{x}{\ell}\right) + \frac{\lambda_1^2}{\ell^2} A_4 \operatorname{ch}\left(\lambda_1 \frac{x}{\ell}\right)$$

$$w'''\left(\frac{x}{\ell}\right) = -\frac{\lambda_2^3}{\ell^3} A_1 \cos\left(\lambda_2 \frac{x}{\ell}\right) + \frac{\lambda_2^3}{\ell^3} A_2 \sin\left(\lambda_2 \frac{x}{\ell}\right) + \frac{\lambda_1^3}{\ell^3} A_3 \operatorname{ch}\left(\lambda_1 \frac{x}{\ell}\right) + \frac{\lambda_1^3}{\ell^3} A_4 \operatorname{sh}\left(\lambda_1 \frac{x}{\ell}\right)$$

Timošenko tala põiksiirde diferentsiaalvõrrandiga (4.24) samalaadselt avaldub ristlõike paindenurga φ diferentsiaalvõrrand (4.15):

$$\frac{d^4 \varphi}{d\xi^4} + \beta^4 (\iota + \chi) \frac{d^2 \varphi}{d\xi^2} + \beta^4 [\beta^4 \iota \chi - 1] \varphi = 0 \quad (4.32)$$

Ristlõike paindenurga φ avaldise valikul lähtume nihkenurga γ avaldistest (4.1) ja (4.3).

$$\varphi = \gamma - \frac{\partial w(x, t)}{\partial x} = \frac{Q_z}{k_T G A} - \frac{\partial w(x, t)}{\partial x} \quad (4.33)$$

kust saab Euleri-Bernoulli tala ristlõike paindenurga

$$\varphi = \lim_{\gamma \rightarrow 0} \gamma - \frac{\partial w(x, t)}{\partial x} = -\frac{\partial w(x, t)}{\partial x} \quad (4.34)$$

Siin on kasutusel parema käe teljestik (jn A.1), kus pööre toimub ümber y-telje.

Ristlõike paindenurga φ avaldiseks saame

$$\varphi\left(\frac{x}{\ell}\right) = s_1 A_1 \cos\left(\lambda_2 \frac{x}{\ell}\right) - s_1 A_2 \sin\left(\lambda_2 \frac{x}{\ell}\right) + s_2 A_3 \operatorname{ch}\left(\lambda_1 \frac{x}{\ell}\right) + s_2 A_4 \operatorname{sh}\left(\lambda_1 \frac{x}{\ell}\right) \quad (4.35)$$

kus

$$s_1 = -\frac{1}{\ell} \left[\lambda_2 - \frac{\chi}{\lambda_2} \beta^4 \right], \quad s_2 = -\frac{1}{\ell} \left[\lambda_1 + \frac{\chi}{\lambda_1} \beta^4 \right] \quad (4.36)$$

Paindenurga φ avaldises (4.35) leitudvad parameetrid s_i (4.36) erinevad töös [SAMST92, lk 40 (2.8)] esitatutest märgi poolest, sest seal vaadeldud paindenurga suund ($\varphi = -\gamma + \partial w(x, t)/\partial x$) on vastupidine siinsele.

Oleme saanud põiksiirde w avaldise (4.31) ja paindenurga φ avaldised (4.35), mis erinevad raamatus [PL63, lk 134 (5-11) ja (5-12)] tooduist.

Paindemomendi avaldame võrrandist (4.16):

$$M_y(\xi) = -\frac{EI_y}{\ell^2} \frac{d^2 w(\xi)}{d\xi^2} - EI_y \frac{\mu \omega^2}{k_T GA} w \quad (4.37)$$

Võrrandist (4.7) avaldame põikjõu Q_z ($m_y = 0$):

$$Q_z(\xi) = \frac{1}{\ell} \frac{dM_y}{d\xi} + \mu i_y^2 \omega^2 \varphi = -\frac{EI_y}{\ell^3} \frac{d^3 w(\xi)}{d\xi^3} - \frac{EI_y}{\ell} \frac{\mu \omega^2}{k_T GA} \frac{dw}{d\xi} + \mu i_y^2 \omega^2 \varphi = -\frac{EI_y}{\ell^3} \frac{d^3 w(\xi)}{d\xi^3} - \frac{EI_y}{\ell^3} \chi \beta^4 + \mu i_y^2 \omega^2 \varphi \quad (4.38)$$

Põikjõu Q_z leiame kujul

$$Q_z(\xi) = -EI_y \left[-\frac{\lambda_2^3}{\ell^3} A_1 \cos\left(\lambda_2 \frac{x}{\ell}\right) + \frac{\lambda_2^3}{\ell^3} A_2 \sin\left(\lambda_2 \frac{x}{\ell}\right) + \frac{\lambda_1^3}{\ell^3} A_3 \operatorname{ch}\left(\lambda_1 \frac{x}{\ell}\right) + \frac{\lambda_1^3}{\ell^3} A_4 \operatorname{sh}\left(\lambda_1 \frac{x}{\ell}\right) \right] - \frac{EI_y}{\ell^2} \chi \beta^4 \left[\frac{\lambda_2}{\ell} A_1 \cos\left(\lambda_2 \frac{x}{\ell}\right) - \frac{\lambda_2}{\ell} A_2 \sin\left(\lambda_2 \frac{x}{\ell}\right) + \frac{\lambda_1}{\ell} A_3 \operatorname{ch}\left(\lambda_1 \frac{x}{\ell}\right) + \frac{\lambda_1}{\ell} A_4 \operatorname{sh}\left(\lambda_1 \frac{x}{\ell}\right) \right] + \frac{EI_y}{\ell^2} \iota \beta^4 \left[s_1 A_1 \cos\left(\lambda_2 \frac{x}{\ell}\right) - s_1 A_2 \sin\left(\lambda_2 \frac{x}{\ell}\right) + s_2 A_3 \operatorname{ch}\left(\lambda_1 \frac{x}{\ell}\right) + s_2 A_4 \operatorname{sh}\left(\lambda_1 \frac{x}{\ell}\right) \right] Q_z = EI_y s_{11} A_1 \cos\left(\lambda_1 \frac{x}{\ell}\right) - EI_y s_{11} A_2 \sin\left(\lambda_1 \frac{x}{\ell}\right) - EI_y s_{21} A_3 \operatorname{ch}\left(\lambda_2 \frac{x}{\ell}\right) - EI_y s_{21} A_4 \operatorname{sh}\left(\lambda_2 \frac{x}{\ell}\right) \quad (4.39)$$

Esitame paindemomendi M_y avaldise

$$M_y(\xi) = -EI_y \left[-\frac{\lambda_2^2}{\ell^2} A_1 \sin\left(\lambda_2 \frac{x}{\ell}\right) - \frac{\lambda_2^2}{\ell^2} A_2 \cos\left(\lambda_2 \frac{x}{\ell}\right) + \frac{\lambda_1^2}{\ell^2} A_3 \operatorname{sh}\left(\lambda_1 \frac{x}{\ell}\right) + \frac{\lambda_1^2}{\ell^2} A_4 \operatorname{ch}\left(\lambda_1 \frac{x}{\ell}\right) \right] - EI_y \frac{\mu \omega^2}{k_T GA} \left[A_1 \sin\left(\lambda_2 \frac{x}{\ell}\right) + A_2 \cos\left(\lambda_2 \frac{x}{\ell}\right) + A_3 \operatorname{sh}\left(\lambda_1 \frac{x}{\ell}\right) + A_4 \operatorname{ch}\left(\lambda_1 \frac{x}{\ell}\right) \right]$$

$$M_y(\xi) = EI_y s_{12} A_1 \sin\left(\lambda_2 \frac{x}{\ell}\right) + EI_y s_{12} A_2 \cos\left(\lambda_2 \frac{x}{\ell}\right) - EI_y s_{22} A_3 \operatorname{sh}\left(\lambda_1 \frac{x}{\ell}\right) - EI_y s_{22} A_4 \operatorname{ch}\left(\lambda_1 \frac{x}{\ell}\right) \quad (4.40)$$

Avaldistes (4.39) ja (4.40) on kasutatud tähistusi

$$\begin{aligned} s_{11} &= \theta^3 - \chi \frac{\beta^4}{\ell^2} \theta + \iota \frac{\beta^4}{\ell^2} s_1, & s_{12} &= \theta^2 - \chi \frac{\beta^4}{\ell^2} \\ s_{21} &= v^3 + \chi \frac{\beta^4}{\ell^2} v - \iota \frac{\beta^4}{\ell^2} s_2, & s_{22} &= v^2 + \chi \frac{\beta^4}{\ell^2} \end{aligned} \quad (4.41)$$

4.1.3 Timošenko tala ülekanematriks

Esitame diferentsiaalvõrrandi lahendid (4.31), (4.35), (4.39) ja (4.40) matrikskujul

$$\mathbf{Z}_\xi = \mathbf{B}_\xi \mathbf{A} \quad (4.42)$$

kus olekuparameetrite vektor \mathbf{Z}_ξ ja konstantidest \mathbf{A}_i moodustatud vektor \mathbf{A} avalduvad moel

$$\mathbf{Z}_\xi = \begin{bmatrix} w \\ \varphi \\ Q_z \\ M_y \end{bmatrix}_\xi, \quad \mathbf{A} = \begin{bmatrix} A_1 \\ A_2 \\ A_3 \\ A_4 \end{bmatrix} \quad (4.43)$$

ning matriks \mathbf{B}_ξ kujul

$$\mathbf{B}_\xi = \begin{bmatrix} \sin(\lambda_2 \xi) & \cos(\lambda_2 \xi) & \operatorname{sh}(\lambda_1 \xi) & \operatorname{ch}(\lambda_1 \xi) \\ s_1 \cos(\lambda_2 \xi) & -s_1 \sin(\lambda_2 \xi) & s_2 \operatorname{ch}(\lambda_1 \xi) & s_2 \operatorname{sh}(\lambda_1 \xi) \\ \Xi s_{11} \cos(\lambda_1 \xi) & -\Xi s_{11} \sin(\lambda_1 \xi) & -\Xi s_{21} \operatorname{ch}(\lambda_2 \xi) & -\Xi s_{21} \operatorname{sh}(\lambda_2 \xi) \\ \Xi s_{12} \sin(\lambda_2 \xi) & \Xi s_{12} \cos(\lambda_2 \xi) & -\Xi s_{22} \operatorname{sh}(\lambda_1 \xi) & -\Xi s_{22} \operatorname{ch}(\lambda_1 \xi) \end{bmatrix} \quad (4.44)$$

Siin on $\xi = x/\ell$ mõõduta koordinaat ja $\Xi = EJ_y$.

Kohal $\xi = 0$ tähistame olekuvektori $\mathbf{Z}_{\xi=0} = \mathbf{Z}_A$ ja matriksi $\mathbf{B}_{\xi=0} = \mathbf{B}_0$, siis saab võrrand (4.42) kuju

$$\mathbf{Z}_A = \mathbf{B}_0 \mathbf{A} \quad (4.45)$$

kus

$$\mathbf{B}_0 = \begin{bmatrix} 0 & 1 & 0 & 1 \\ s_1 & 0 & s_2 & 0 \\ \Xi s_{11} & 0 & -\Xi s_{21} & 0 \\ 0 & \Xi s_{12} & 0 & -\Xi s_{22} \end{bmatrix} \quad (4.46)$$

Lahendame võrrandi (4.45) konstantide \mathbf{A}_i suhtes:

$$\mathbf{A} = \mathbf{B}_0^{-1} \mathbf{Z}_A \quad (4.47)$$

Võrrandisüsteem (4.45) poolitub kaheks võrrandisüsteemiks:

$$\begin{bmatrix} w \\ M_y \end{bmatrix}_0 = \begin{bmatrix} 1 & 1 \\ \Xi s_{12} & -\Xi s_{22} \end{bmatrix} \begin{bmatrix} A_2 \\ A_4 \end{bmatrix}, \quad (4.48)$$

$$\begin{bmatrix} \varphi \\ Q_z \end{bmatrix}_0 = \begin{bmatrix} s_1 & s_2 \\ \Xi s_{11} & -\Xi s_{21} \end{bmatrix} \begin{bmatrix} A_1 \\ A_3 \end{bmatrix} \quad (4.49)$$

ehk

$$\begin{bmatrix} w \\ M_y \end{bmatrix}_0 = \begin{bmatrix} b_{12} & b_{14} \\ b_{42} & b_{44} \end{bmatrix} \begin{bmatrix} A_2 \\ A_4 \end{bmatrix}, \quad \begin{bmatrix} \varphi \\ Q_z \end{bmatrix}_0 = \begin{bmatrix} b_{21} & b_{23} \\ b_{31} & b_{33} \end{bmatrix} \begin{bmatrix} A_1 \\ A_3 \end{bmatrix} \quad (4.50)$$

Võrranditest (4.50) leiame

$$\begin{bmatrix} A_2 \\ A_4 \end{bmatrix} = \frac{1}{b_{12}b_{44} - b_{14}b_{42}} \begin{bmatrix} b_{44} & -b_{14} \\ -b_{42} & b_{12} \end{bmatrix} \begin{bmatrix} w \\ M_y \end{bmatrix}_0 \quad (4.51)$$

$$\begin{bmatrix} A_1 \\ A_3 \end{bmatrix} = \frac{1}{b_{21}b_{33} - b_{23}b_{31}} \begin{bmatrix} b_{33} & -b_{23} \\ -b_{31} & b_{21} \end{bmatrix} \begin{bmatrix} \varphi \\ Q_z \end{bmatrix}_0 \quad (4.52)$$

Siin

$$b_{12}b_{44} - b_{14}b_{42} = -\Xi (s_{12} + s_{22}), \quad b_{21}b_{33} - b_{23}b_{31} = -\Xi (s_1s_{21} + s_2s_{11}) \quad (4.53)$$

Võrrandis (4.47) on nüüd maatriksiks \mathbf{B}_0^{-1} :

$$\mathbf{B}_0^{-1} = \begin{bmatrix} 0.0 & \frac{s_{21}}{s_1s_{21} + s_2s_{11}} & \frac{s_2}{\Xi (s_1s_{21} + s_2s_{11})} & 0.0 \\ \frac{s_{22}}{s_{12} + s_{22}} & 0.0 & 0.0 & \frac{1}{\Xi (s_{22} + s_{12})} \\ 0.0 & \frac{s_{11}}{s_1s_{21} + s_2s_{11}} & -\frac{s_1}{\Xi (s_1s_{21} + s_2s_{11})} & 0.0 \\ \frac{s_{12}}{s_{12} + s_{22}} & 0.0 & 0.0 & -\frac{1}{\Xi (s_{22} + s_{12})} \end{bmatrix} \quad (4.54)$$

Asetame leitud konstandid \mathbf{A} (4.47) võrrandisse (4.42):

$$\mathbf{Z}_\xi = \mathbf{B}_\xi \mathbf{B}_0^{-1} \mathbf{Z}_\mathbf{A} = \mathbf{U}_\xi^* \mathbf{Z}_\mathbf{A} \quad (4.55)$$

kus \mathbf{U}_ξ^* on ülekanemamaatriks esimese märgikokkuleppe järgi.

$$\mathbf{U}_\xi^* = \mathbf{B}_\xi \mathbf{B}_0^{-1} \quad (4.56)$$

Ülekanemamaatriksi \mathbf{U}_ξ^* element u_{ij}^* on maatriksi \mathbf{B}_ξ i-nda rea ja maatriksi \mathbf{B}_0^{-1} j-inda

veeru vastavate elementide korrutiste summad.

$$\begin{aligned}
 & \mathbf{B}_\xi \begin{bmatrix} b_{11}^{(0)} & b_{12}^{(0)} & b_{13}^{(0)} & b_{14}^{(0)} \\ b_{21}^{(0)} & b_{22}^{(0)} & b_{23}^{(0)} & b_{24}^{(0)} \\ b_{31}^{(0)} & b_{32}^{(0)} & b_{33}^{(0)} & b_{34}^{(0)} \\ b_{41}^{(0)} & b_{42}^{(0)} & b_{43}^{(0)} & b_{44}^{(0)} \end{bmatrix} = \mathbf{B}_0^{-1} \\
 & \begin{bmatrix} b_{11}^{(\xi)} & b_{12}^{(\xi)} & b_{13}^{(\xi)} & b_{14}^{(\xi)} \\ b_{21}^{(\xi)} & b_{22}^{(\xi)} & b_{23}^{(\xi)} & b_{24}^{(\xi)} \\ b_{31}^{(\xi)} & b_{32}^{(\xi)} & b_{33}^{(\xi)} & b_{34}^{(\xi)} \\ b_{41}^{(\xi)} & b_{42}^{(\xi)} & b_{43}^{(\xi)} & b_{44}^{(\xi)} \end{bmatrix} \begin{bmatrix} u_{11}^* & u_{12}^* & u_{13}^* & u_{14}^* \\ u_{21}^* & u_{22}^* & u_{23}^* & u_{24}^* \\ u_{31}^* & u_{32}^* & u_{33}^* & u_{34}^* \\ u_{41}^* & u_{42}^* & u_{43}^* & u_{44}^* \end{bmatrix} = \mathbf{U}_\xi^*
 \end{aligned}$$

kus maatriksi element u_{ij}^* avaldub

$$u_{ij}^* = b_{i1}^{(\xi)} b_{1j}^{(0)} + b_{i2}^{(\xi)} b_{2j}^{(0)} + b_{i3}^{(\xi)} b_{3j}^{(0)} + \dots + b_{in}^{(\xi)} b_{nj}^{(0)} \quad (4.57)$$

Ülekandemaatriksi \mathbf{U}_ξ^* elemendid u_{ij}^* (4.57) on leitud vastavalt parema käe teljestikule (jn A.1) ja esimesele märgikokkuleppele (jn A.2).

$$\begin{aligned}
 u_{11}^* &= \frac{1}{s_{12} + s_{22}} [s_{12} \operatorname{ch}(\lambda_1 \xi) + s_{22} \cos(\lambda_2 \xi)] \\
 u_{12}^* &= \frac{1}{s_1 s_{21} + s_2 s_{11}} [s_{11} \operatorname{sh}(\lambda_1 \xi) + s_{21} \sin(\lambda_2 \xi)] \\
 u_{13}^* &= -\frac{1}{EI_y (s_1 s_{21} + s_2 s_{11})} [s_1 \operatorname{sh}(\lambda_1 \xi) - s_2 \sin(\lambda_2 \xi)] \\
 u_{14}^* &= -\frac{1}{EI_y (s_{12} + s_{22})} [\operatorname{ch}(\lambda_1 \xi) - \cos(\lambda_2 \xi)] \\
 u_{21}^* &= \frac{1}{s_{12} + s_{22}} [s_2 s_{12} \operatorname{sh}(\lambda_1 \xi) - s_1 s_{22} \sin(\lambda_2 \xi)] \\
 u_{22}^* &= \frac{1}{s_1 s_{21} + s_2 s_{11}} [s_2 s_{11} \operatorname{ch}(\lambda_1 \xi) + s_1 s_{21} \cos(\lambda_2 \xi)] \\
 u_{23}^* &= -\frac{s_1 s_2}{EI_y (s_1 s_{21} + s_2 s_{11})} [\operatorname{ch}(\lambda_1 \xi) - \cos(\lambda_2 \xi)] \\
 u_{24}^* &= -\frac{1}{EI_y (s_{12} + s_{22})} [s_2 \operatorname{sh}(\lambda_1 \xi) + s_1 \sin(\lambda_2 \xi)] \\
 u_{31}^* &= -\frac{EI_y}{s_{12} + s_{22}} [s_{12} s_{21} \operatorname{sh}(\lambda_1 \xi) + s_{11} s_{22} \sin(\lambda_2 \xi)] \\
 u_{32}^* &= \frac{EI_y s_{11} s_{21}}{s_1 s_{21} + s_2 s_{11}} [-\operatorname{ch}(\lambda_1 \xi) + \cos(\lambda_2 \xi)]
 \end{aligned} \quad (4.58)$$

$$\begin{aligned}
u_{33}^* &= \frac{1}{s_1 s_{21} + s_2 s_{11}} [s_1 s_{21} \operatorname{ch}(\lambda_1 \xi) + s_2 s_{11} \cos(\lambda_2 \xi)] \\
u_{34}^* &= \frac{1}{s_{12} + s_{22}} [s_{21} \operatorname{sh}(\lambda_1 \xi) - s_{11} \sin(\lambda_2 \xi)] \\
u_{41}^* &= \frac{EI_y s_{12} s_{22}}{s_{12} + s_{22}} [-\operatorname{ch}(\lambda_1 \xi) + \cos(\lambda_2 \xi)] \\
u_{42}^* &= \frac{EI_y}{s_1 s_{21} + s_2 s_{11}} [-s_{11} s_{22} \operatorname{sh}(\lambda_1 \xi) + s_{12} s_{21} \sin(\lambda_2 \xi)] \\
u_{43}^* &= \frac{1}{s_1 s_{21} + s_2 s_{11}} [s_1 s_{22} \operatorname{sh}(\lambda_1 \xi) + s_2 s_{12} \sin(\lambda_2 \xi)] \\
u_{44}^* &= \frac{1}{s_{12} + s_{22}} [s_{22} \operatorname{ch}(\lambda_1 \xi) + s_{12} \cos(\lambda_2 \xi)]
\end{aligned}$$

Varrassüsteemi sõlme tasakaalutingimuste kirjeldamisel on arvutustehnilistel põhjustel kasutusel teine märgikokkulepe (jn A.2). Sel juhul on tala algul põikjõu Q_{zA} ja paindemomendi M_{yA} märgid vastupidised esimese märgikokkulepe kohastele.

Ülekandemaatriksi U_ξ elemendid u_{i3} ja u_{i4} saab teise märgikokkulepe puhul maatriksi elementidest u_{i3}^* ja u_{i4}^* (4.58).

$$\begin{aligned}
u_{i3} &= -u_{i3}^*, \quad u_{i4} = -u_{i4}^* \quad (i = 1, 2, 3, 4) \\
u_{11} &= \frac{1}{s_{12} + s_{22}} [s_{12} \operatorname{ch}(\lambda_1 \xi) + s_{22} \cos(\lambda_2 \xi)] \\
u_{12} &= \frac{1}{s_1 s_{21} + s_2 s_{11}} [s_{11} \operatorname{sh}(\lambda_1 \xi) + s_{21} \sin(\lambda_2 \xi)] \\
u_{13} &= \frac{1}{EI_y (s_1 s_{21} + s_2 s_{11})} [s_1 \operatorname{sh}(\lambda_1 \xi) - s_2 \sin(\lambda_2 \xi)] \\
u_{14} &= \frac{1}{EI_y (s_{12} + s_{22})} [\operatorname{ch}(\lambda_1 \xi) - \cos(\lambda_2 \xi)] \\
u_{21} &= \frac{1}{s_{12} + s_{22}} [s_2 s_{12} \operatorname{sh}(\lambda_1 \xi) - s_1 s_{22} \sin(\lambda_2 \xi)] \\
u_{22} &= \frac{1}{s_1 s_{21} + s_2 s_{11}} [s_2 s_{11} \operatorname{ch}(\lambda_1 \xi) + s_1 s_{21} \cos(\lambda_2 \xi)] \\
u_{23} &= \frac{s_1 s_2}{EI_y (s_1 s_{21} + s_2 s_{11})} [\operatorname{ch}(\lambda_1 \xi) - \cos(\lambda_2 \xi)] \\
u_{24} &= \frac{1}{EI_y (s_{12} + s_{22})} [s_2 \operatorname{sh}(\lambda_1 \xi) + s_1 \sin(\lambda_2 \xi)] \\
u_{31} &= -\frac{EI_y}{s_{12} + s_{22}} [s_{12} s_{21} \operatorname{sh}(\lambda_1 \xi) + s_{11} s_{22} \sin(\lambda_2 \xi)] \\
u_{32} &= \frac{EI_y s_{11} s_{21}}{s_1 s_{21} + s_2 s_{11}} [-\operatorname{ch}(\lambda_1 \xi) + \cos(\lambda_2 \xi)]
\end{aligned} \tag{4.59}$$

$$\begin{aligned}
u_{33} &= -\frac{1}{s_1 s_{21} + s_2 s_{11}} [s_1 s_{21} \operatorname{ch}(\lambda_1 \xi) + s_2 s_{11} \cos(\lambda_2 \xi)] \\
u_{34} &= -\frac{1}{s_{12} + s_{22}} [s_{21} \operatorname{sh}(\lambda_1 \xi) - s_{11} \sin(\lambda_2 \xi)] \\
u_{41} &= \frac{EI_y s_{12} s_{22}}{s_{12} + s_{22}} [-\operatorname{ch}(\lambda_1 \xi) + \cos(\lambda_2 \xi)] \\
u_{42} &= \frac{EI_y}{s_1 s_{21} + s_2 s_{11}} [-s_{11} s_{22} \operatorname{sh}(\lambda_1 \xi) + s_{12} s_{21} \sin(\lambda_2 \xi)] \\
u_{43} &= -\frac{1}{s_1 s_{21} + s_2 s_{11}} [s_1 s_{22} \operatorname{sh}(\lambda_1 \xi) + s_2 s_{12} \sin(\lambda_2 \xi)] \\
u_{44} &= -\frac{1}{s_{12} + s_{22}} [s_{22} \operatorname{ch}(\lambda_1 \xi) + s_{12} \cos(\lambda_2 \xi)]
\end{aligned}$$

Algparameetrite meetodi (sks Methode der Anfangsparameter, ingl method of initial parameters, vn метод начальных параметров) maatriksvõrrandi kuju on

$$\mathbf{Z}_\xi = \mathbf{U}_\xi \cdot \mathbf{Z}_A + \overset{\circ}{\mathbf{Z}} \quad (4.60)$$

kus \mathbf{Z}_A , \mathbf{Z}_ξ on olekuparameetrite vektor tala alguses ja kaugusel $\xi = x/\ell$;

$\overset{\circ}{\mathbf{Z}}$ – koormusvektor;

\mathbf{U}_ξ – ülekanemaatriks, mis arvutatakse GNU Octave'i funktsiooniga [TimalaylekM.m](#).

4.1.4 Timošenko tala põhivõrrandid

Tala painde põhivõrrandid saab teise märgikokkuleppe puhul kirjutada võrrandisüsteemina

$$\mathbf{U}_{\xi=1} \cdot \mathbf{Z}_A - \mathbf{I}_{4 \times 4} \cdot \mathbf{Z}_L = -\overset{\circ}{\mathbf{Z}} \quad (4.61)$$

Lühemalt,

$$\widehat{\mathbf{U}}_{4 \times 8} \cdot \widehat{\mathbf{Z}} = -\overset{\circ}{\mathbf{Z}} \quad (4.62)$$

Siin $\widehat{\mathbf{U}}_{4 \times 8}$ on laiendatud ülekanemaatriks ($U_{4 \times 4} \mid -I_{4 \times 4}$):

$$\widehat{\mathbf{U}}_{4 \times 8} = \left[\begin{array}{cccc|cccc} u_{11} & u_{12} & u_{13} & u_{14} & -1 & 0 & 0 & 0 \\ u_{21} & u_{22} & u_{23} & u_{24} & 0 & -1 & 0 & 0 \\ u_{31} & u_{32} & u_{33} & u_{34} & 0 & 0 & -1 & 0 \\ u_{41} & u_{42} & u_{43} & u_{44} & 0 & 0 & 0 & -1 \end{array} \right] \quad (4.63)$$

ning

$$\widehat{\mathbf{Z}} = \left[\begin{array}{c} \mathbf{Z}_A \\ \mathbf{Z}_L \end{array} \right] \quad (4.64)$$

kus

$$\mathbf{Z}_L = \begin{bmatrix} w(\xi) \\ \varphi_y(\xi) \\ Q(\xi) \\ M(\xi) \end{bmatrix}_{\xi=1}, \quad \mathbf{Z}_A = \begin{bmatrix} w_0 \\ \varphi_0 \\ Q_0 \\ M_0 \end{bmatrix}_A \quad (4.65)$$

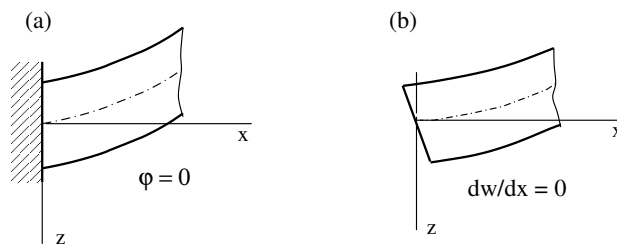
Siin $\xi = x/l$, kus l on tala elemendi pikkus.

Laiendatud ülekandemaatriksi $\widehat{\mathbf{U}}_{4 \times 8}$ saab arvutada GNU Octave'i funktsiooniga [sptalylekTimM.m](#).

Tala ülekandevõrranditele (4.62) lisame rajatingimused. Timošenko tala teoorias tuleb vahet teha toetingimustel

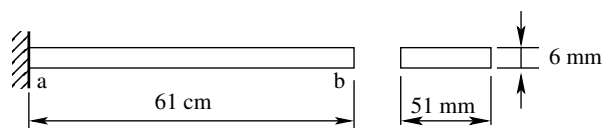
$$\varphi = 0, \quad dw/dx = 0 \Rightarrow \varphi = \frac{Q_z}{k_T GA} \quad (4.66)$$

Toetingimuste erinevust selgitab joonis 4.3.



Joonis 4.3. Toetingimusi Timošenko talal

Näide 4.1 (Timošenko konsooltala omavõnkumine). Leida joonisel 4.4 kujutatud konsooltala omavõnkesagedused ja -vormid.



Joonis 4.4. Timošenko konsooltala

Andmed. Konsooltala pikkus $l = 61$ cm, ristlõike kõrgus $h = 6$ mm, ristlõike laius $b = 51$ mm, elastsusmoodul $E = 210$ GN/m², materjali tihedus $\rho = 7.80 \times 10^3$ kg/m³.

Lahendus. Omavõnkesageduste arutamiseks koostame EST-meetodi võrrandisüsteemi

$$\mathbf{spA} \cdot \mathbf{Z} = 0 \quad (4.67)$$

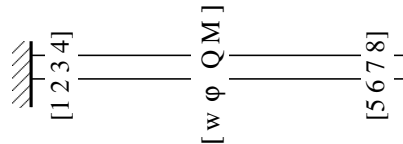
kus \mathbf{Z} on võrrandisüsteemi tundmatute vektor:

$$\mathbf{Z} = \hat{\mathbf{Z}} = \begin{bmatrix} \mathbf{Z}_a \\ \mathbf{Z}_b \end{bmatrix} \quad (4.68)$$

Vektori komponentideks on siirded, paindenurgad, põikjõud ja paindemomendid konsooltala ab alguses ja lõpus:

$$\mathbf{Z}_a = \begin{bmatrix} w_A^{(ab)} \\ \varphi_A^{(ab)} \\ Q_A^{(ab)} \\ M_A^{(ab)} \end{bmatrix} = \begin{bmatrix} Z(1) \\ Z(2) \\ Z(3) \\ Z(4) \end{bmatrix}, \quad \mathbf{Z}_b = \begin{bmatrix} w_L^{(ab)} \\ \varphi_L^{(ab)} \\ Q_L^{(ab)} \\ M_L^{(ab)} \end{bmatrix} = \begin{bmatrix} Z(5) \\ Z(6) \\ Z(7) \\ Z(8) \end{bmatrix} \quad (4.69)$$

Muutujate $Z(i)$ ($i = 1, 2, \dots, 8$) järjenumbrid on toodud joonisel 4.5.



Joonis 4.5. Timošenko konsooltala muutujate järjenumbrid

Võrrandisüsteemi (4.67) neli esimest võrrandit on põhivõrrandid (4.61). Ülejäänud neli võrrandit saame rajatingimustest:

$$\begin{aligned} Z(1) &= w_A^{(ab)} = 0 \\ Z(2) &= \varphi_A^{(ab)} = 0 \\ Z(7) &= Q_L^{(ab)} = 0 \\ Z(8) &= M_L^{(ab)} = 0 \end{aligned} \quad (4.70)$$

GNU Octave'i programmiga [NaideTimKonsool1.m](#) leiame hõreda võrrandisüsteemi (4.67) determinandi nullid. Konsooltala (4.67) esimesed kuus omavõnkesagedust: $\omega_1 = 8.998488 \times 10 \text{ s}^{-1}$, $\omega_2 = 5.636406 \times 10^2 \text{ s}^{-1}$, $\omega_3 = 1.576924 \times 10^3 \text{ s}^{-1}$, $\omega_4 = 3.086469 \times 10^3 \text{ s}^{-1}$, $\omega_5 = 5.094309 \times 10^3 \text{ s}^{-1}$, $\omega_6 = 7.595669 \times 10^3 \text{ s}^{-1}$.

Euleri-Bernoulli tala teoorias vaatlesime omavõnkesageduste ω_i (3.15) ja sagedusvõrrandi mõõduta juurte λ_i [Kis64, lk 110] vahelist seost (3.72). Timošenko teoorias väljendub omavõnkesageduste ω_i ja sagedusvõrrandi mõõduta juurte λ_i vaheline seos järgmiselt:

$$\lambda_i = \sqrt{\omega_i} \left(\frac{\rho A}{EI} \right)^{1/4} \ell \quad (4.71)$$

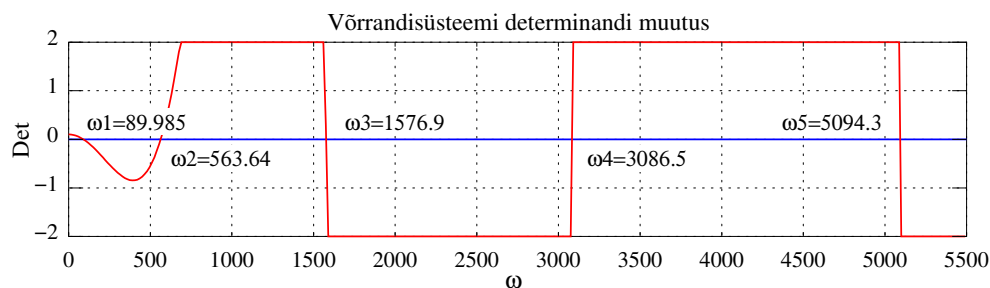
Leitud omavõnkesagedused ω_i teisendame sagedusvõrrandi mõõduta juurteks λ_i : $\lambda_1 = 1.875025$, $\lambda_2 = 4.692706$, $\lambda_3 = 7.849239$, $\lambda_4 = 10.981286$, $\lambda_5 = 14.107981$, $\lambda_6 = 17.226825$.

Tabelis 4.1 on toodud EST-meetodiga leitud Timošenko konsooltala sagedusvõrrandi mõõduta juured. Need ühtivad spektraalelementide meetodi [Mal13, lk 50] abil leitudega. Tala kõrguse h ja pikkuse ℓ suhe $h/\ell = 0.01$.

Tabel 4.1. Timošenko konsooltala sagedusvõrrandi mõõduta juured

Omaõnke-sagedus	EST-meetod		
	Timošenko teooria		Bernoulli teooria
	ω [s^{-1}]	λ	λ
1.	89.98488	1.87503	1.87510
2.	563.64063	4.69271	4.69409
3.	1576.92364	7.84924	7.85476
4.	3086.46934	10.98129	10.99554
5.	5094.30876	14.10798	14.13717
6.	7595.66889	17.22683	17.27876

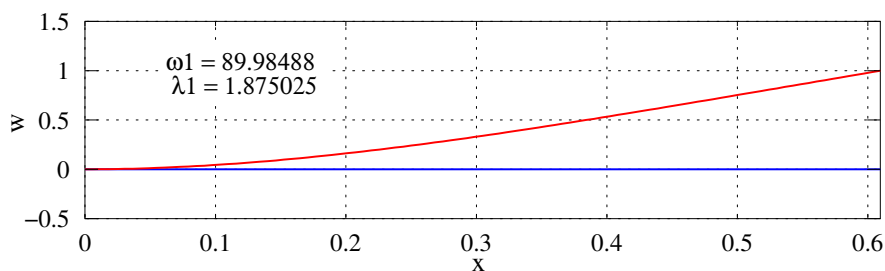
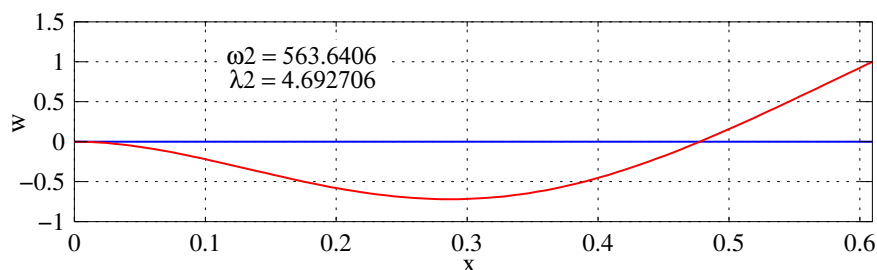
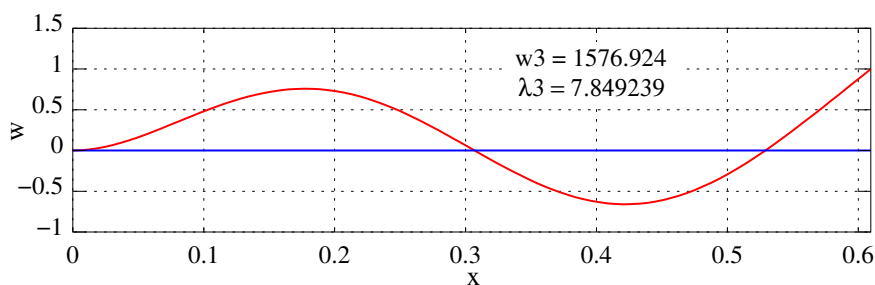
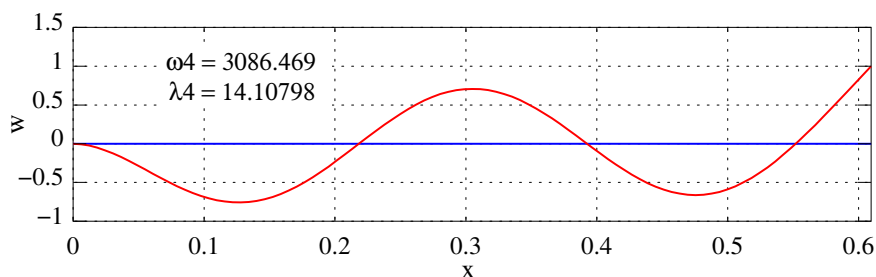
Võrrandisüsteemi (4.67) determinandi sõltuvus nurksagedusest ω selgub jooniselt 4.6.



Joonis 4.6. Timošenko konsooltala omavõnkesagedused

Omaõnkevormid sagedustel $\omega_1 = 8.998488 \times 10^1 s^{-1}$, $\omega_2 = 5.636406 \times 10^2 s^{-1}$, $\omega_3 = 1.576924 \times 10^3 s^{-1}$, $\omega_4 = 3.086469 \times 10^3 s^{-1}$ leiame vastavalt GNU Octave'i programmidega [NaideTimKonsool1w1.m](#), [NaideTimKonsool1w2.m](#), [NaideTimKonsool1w3.m](#) ning [NaideTimKonsool1w4.m](#). Võrrandisüsteemis (4.67) viime viienda veeru paremale poolele. Pärast hõreda võrrandisüsteemi lahendamist vähimruutude meetodiga valime lahendist algparameetrid.

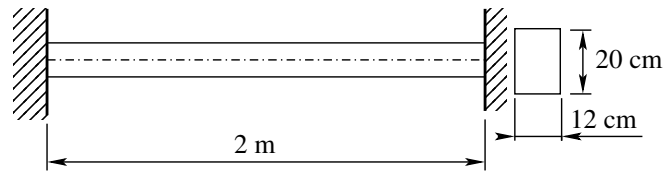
Timošenko konsooltala omavõnkevormid toome joonisel 4.7.

(a) Omavõnkevorm sagedusel $\omega_1 = 8.9985 \times 10^1 \text{ s}^{-1}$ (b) Omavõnkevorm sagedusel $\omega_2 = 5.6364 \times 10^2 \text{ s}^{-1}$ (c) Omavõnkevorm sagedusel $\omega_3 = 1.5769 \times 10^3 \text{ s}^{-1}$ (d) Omavõnkevorm sagedusel $\omega_4 = 3.0865 \times 10^3 \text{ s}^{-1}$

Joonis 4.7. Timošenko konsooltala omavõnkevormid

Näide 4.2 (jäikade tugelega Timošenko tala omavõnkumine). Leida joonisel 4.8 kujutatud jäikade tugelega tala omavõnkesagedused ja -vormid Timošenko teooria abil.

Andmed. Tala pikkus $\ell = 2 \text{ m}$, ristlõike kõrgus $h = 20 \text{ cm}$, ristlõike laius $b = 12 \text{ cm}$, elastsusmoodul $E = 210 \text{ GN/m}^2$, materjali tihedus $\rho = 7.80 \times 10^3 \text{ kg/m}^3$.



Joonis 4.8. Jäikade tugeodega Timošenko tala

Lahendus. Omavõnkesageduste arvutamiseks koostame EST-meetodi võrrandisüsteemi

$$spA \cdot Z = 0 \quad (4.72)$$

kus Z on võrrandisüsteemi tundmatute vektor:

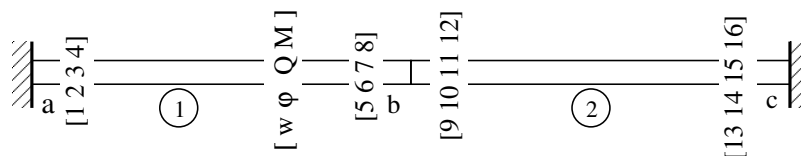
$$Z = \begin{bmatrix} Z_a^{(1)} \\ Z_b^{(1)} \\ Z_b^{(2)} \\ Z_c^{(2)} \end{bmatrix} \quad (4.73)$$

Vektori komponentideks on siirded, paindenurgad, põikjõud ja paindemomendid tala elementide ab ja bc alguses ning lõpus (jn 4.9):

$$Z_a^{(1)} = \begin{bmatrix} w_A^{(ab)} \\ \varphi_A^{(ab)} \\ Q_A^{(ab)} \\ M_A^{(ab)} \end{bmatrix} = \begin{bmatrix} Z(1) \\ Z(2) \\ Z(3) \\ Z(4) \end{bmatrix}, \quad Z_b^{(1)} = \begin{bmatrix} w_L^{(ab)} \\ \varphi_L^{(ab)} \\ Q_L^{(ab)} \\ M_L^{(ab)} \end{bmatrix} = \begin{bmatrix} Z(5) \\ Z(6) \\ Z(7) \\ Z(8) \end{bmatrix} \quad (4.74)$$

$$Z_b^{(2)} = \begin{bmatrix} w_A^{(bc)} \\ \varphi_A^{(bc)} \\ Q_A^{(bc)} \\ M_A^{(bc)} \end{bmatrix} = \begin{bmatrix} Z(9) \\ Z(10) \\ Z(11) \\ Z(12) \end{bmatrix}, \quad Z_c^{(2)} = \begin{bmatrix} w_L^{(bc)} \\ \varphi_L^{(bc)} \\ Q_L^{(bc)} \\ M_L^{(bc)} \end{bmatrix} = \begin{bmatrix} Z(13) \\ Z(14) \\ Z(15) \\ Z(16) \end{bmatrix} \quad (4.75)$$

Muutujate $Z(i)$ ($i = 1, 2, \dots, 16$) järjenumbri on joonisel 4.9.



Joonis 4.9. Jäikade tugeodega Timošenko tala muutujate järjenumbri

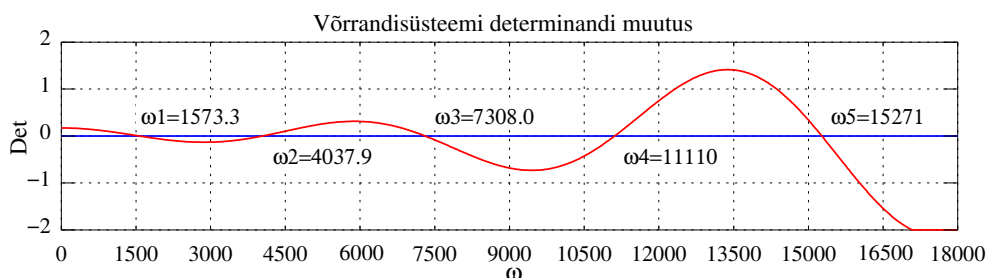
Võrrandisüsteemi (4.72) kaheksa esimest võrrandit on põhivõrrandid (4.61). Lisanduvad sõlme b pidevus- ja tasakaaluvõrrandid

$$\begin{aligned}
 Z(5) - Z(9) &= w_L^{(ab)} - w_A^{(bc)} = 0 \\
 Z(6) - Z(10) &= \varphi_L^{(ab)} - \varphi_A^{(bc)} = 0 \\
 Z(7) + Z(11) &= Q_L^{(ab)} + Q_A^{(bc)} = 0 \\
 Z(8) + Z(12) &= M_L^{(ab)} + M_A^{(bc)} = 0
 \end{aligned} \tag{4.76}$$

Ülejaanud neli võrrandit saame toetingimustest

$$\begin{aligned}
 Z(1) &= w_A^{(ab)} = 0 \\
 Z(2) &= \varphi_A^{(ab)} = 0 \\
 Z(13) &= w_L^{(bc)} = 0 \\
 Z(14) &= \varphi_L^{(bc)} = 0
 \end{aligned} \tag{4.77}$$

GNU Octave'i programmiga `NaideTimTala1.m` leiame hõreda võrrandisüsteemi (4.72) determinandi nullid. Jäikade tugegeda Timošenko tala (4.8) esimesed kuus omavõnkesagedust: $\omega_1 = 1.573268693 \times 10^3 \text{ s}^{-1}$, $\omega_2 = 4.037856679 \times 10^3 \text{ s}^{-1}$, $\omega_3 = 7.307952251 \times 10^3 \text{ s}^{-1}$, $\omega_4 = 1.1109951442 \times 10^4 \text{ s}^{-1}$, $\omega_5 = 1.5271053105 \times 10^4 \text{ s}^{-1}$, $\omega_6 = 1.9675877960 \times 10^4 \text{ s}^{-1}$. Võrrandisüsteemi (4.72) determinandi sõltuvus nurksagedusest ω avaldub joonisel 4.10.



Joonis 4.10. Jäikade tugegeda Timošenko tala omavõnkesagedused

Omavõnkesageduste ω_i ja sagedusvõrrandi mõõduta juurte λ_i vaheline seos Timošenko teooria järgi:

$$\lambda_i = \sqrt{\omega_i} \left(\frac{\rho A}{EI} \right)^{1/4} \ell \tag{4.78}$$

Leitud omavõnkesagedused ω_i teisendame sagedusvõrrandi mõõduta juurteks λ_i : $\lambda_1 = 4.583324$, $\lambda_2 = 7.342680$, $\lambda_3 = 9.878181$, $\lambda_4 = 12.179661$, $\lambda_5 = 14.279521$, $\lambda_6 = 16.208626$.

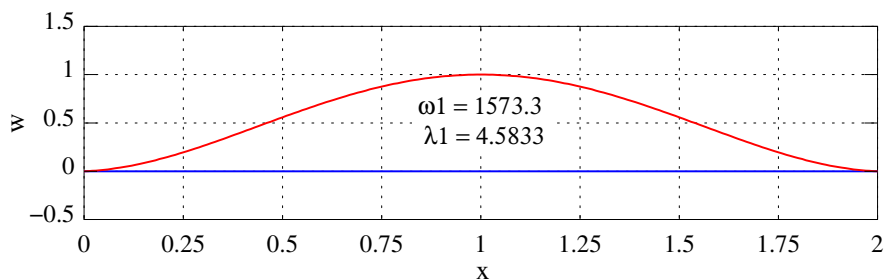
Tabelis 4.2 on toodud EST-meetodiga leitud jäikade tugegeda Timošenko tala sagedusvõrrandi mõõduta juured. Need ühtivad spektraalelementide meetodi [Mal13, lk 47] ja pseudospektraalmeetodi [LS04, lk 614] abil leitudetega. Tala kõrguse h ja pikkuse ℓ suhe $h/\ell = 0.1$.

Tabel 4.2. Jäikade tugegeda Timošenko tala sagedusvõrrandi mõõduta juured

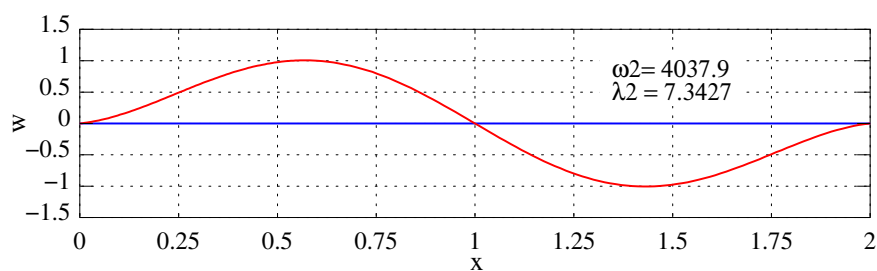
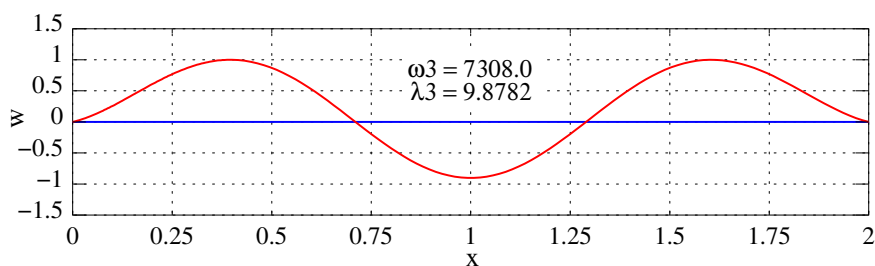
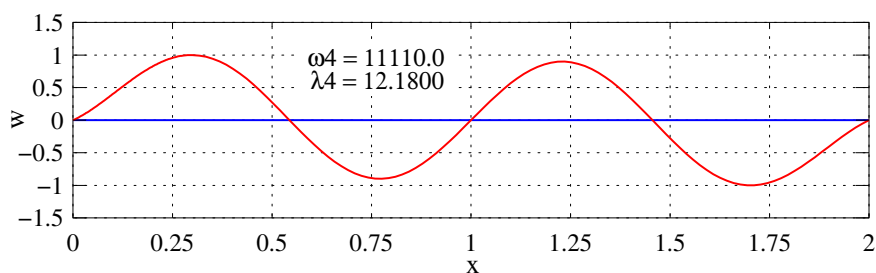
Omaõnkesagedus	EST-meetod		
	Timošenko teooria		Bernoulli teooria
	ω [s^{-1}]	λ	λ
1.	1573.3	4.5833	4.7300
2.	4037.9	7.3427	7.8532
3.	7308.0	9.8782	10.9956
4.	11110.0	12.1800	14.1372
5.	15271.0	14.2800	17.2788
6.	19675.9	16.2086	20.4204

Omaõnkevormid sagedustel $\omega_1 = 1.573268693 \times 10^3 s^{-1}$, $\omega_2 = 4.037856679 \times 10^3 s^{-1}$, $\omega_3 = 7.307952251 \times 10^3 s^{-1}$ ja $\omega_4 = 1.1109951442 \times 10^4 s^{-1}$ leiame vastavalt GNU Octave'i programmidega [NaideTimTala1w1.m](#), [NaideTimTala1w2.m](#), [NaideTimTala1w3.m](#) ning [NaideTimTala1w4.m](#). Nimetatud programmides on tala pikkusega $\ell = 2$ m jagatud kaheks elemendiks. Elementide pikkuseks on vastavalt omaõnkesagedusele valitud (1.0 + 1.0) m, (0.6 + 1.4) m, (0.4 + 1.6) m ja (0.3 + 1.7) m. Vaadeldavais neljas võrrandisüsteemis (4.67) viime viienda, s.t tundmatu Z (5) veeru paremale poolele ja võrdsustame ühega. Lahendanud hõreda võrrandisüsteemi vähimruutude meetodiga, valime lahendist algparameetrid.

Omaõnkevormid esitame joonisel 4.11.



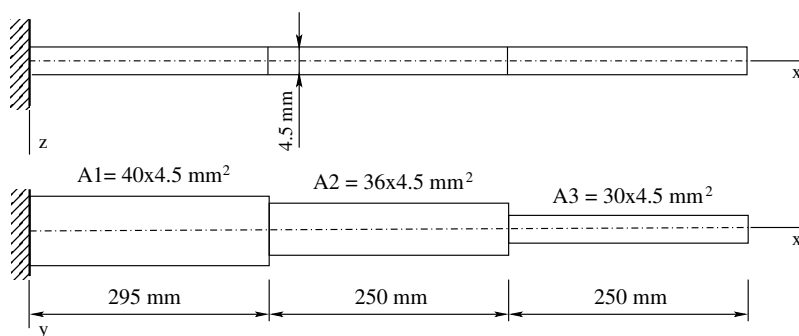
(a) Omaõnkevorm sagedusel $\omega_1 = 1.5733 \times 10^3 s^{-1}$

(b) Omavõnkevorm sagedusel $\omega_2 = 4.0379 \times 10^3 \text{ s}^{-1}$ (c) Omavõnkevorm sagedusel $\omega_3 = 7.3080 \times 10^3 \text{ s}^{-1}$ (d) Omavõnkevorm sagedusel $\omega_4 = 1.1110 \times 10^4 \text{ s}^{-1}$

Joonis 4.11. Jäikade tugegeda Timošenko tala omavõnkevormid

Näide 4.3 (astmeliselt muutuva ristlõikega Timošenko konsooltala omavõnkumine).

Leida Timošenko teooria abil joonisel 4.12 kujutatud astmeliselt muutuva ristlõikega tala omavõnkesagedused ja -vormid tala lapiti- ja servitiasendis (ingl flap-wise, edge-wise).



Joonis 4.12. Astmeliselt muutuva ristlõikega Timošenko konsooltala lapiti- ja servitiasendis

Andmed. Konsooltala pikkus $\ell = 795$ mm ($\ell_1 = 295$ mm, $\ell_2 = 250$ mm, $\ell_3 = 250$ mm); ristlõigete kõrgused $h_1 = h_2 = h_3 = 4.5$ mm; ristlõigete laiused $b_1 = 40$ mm, $b_2 = 36$ mm, $b_3 = 30$ mm. Materjali elastsusmoodul $E = 206$ GPa, tihedus $\rho = 7.850 \times 10^3$ kg/m³s⁻¹, Poissoni³ tegur $\nu = 0.3$. Tala geomeetrilised mõõtmed ja materjali omadused on sarnased töös [Tar08, lk 40] kasutatutega. Nihkeelastsusmoodul $G = E/2(1 + \nu) = 79.231$ GPa ja kujutegur $k_T = (5 + 5\nu)/(6 + 5\nu) = 0.86667$ [Hut01].

Lahendus. Omavõnkesageduste arvutamiseks koostame EST-meetodi võrrandisüsteemi

$$\text{spA} \cdot \mathbf{Z} = 0 \quad (4.79)$$

kus \mathbf{Z} on võrrandisüsteemi tundmatute vektor:

$$\mathbf{Z} = \begin{bmatrix} \mathbf{Z}_a^{(1)} \\ \mathbf{Z}_b^{(1)} \\ \mathbf{Z}_b^{(2)} \\ \mathbf{Z}_c^{(2)} \\ \mathbf{Z}_c^{(3)} \\ \mathbf{Z}_d^{(3)} \end{bmatrix} \quad (4.80)$$

Vektori komponentideks on siirded, paindenurgad, põikjõud ja paindemomendid tala elementide ab , bc , cd alguses ja lõpus (jn 4.13):

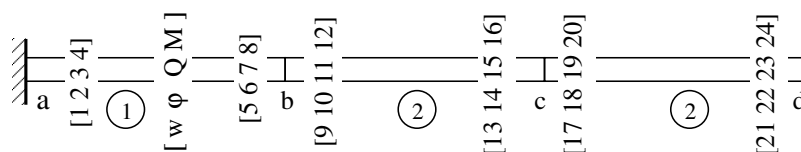
$$\mathbf{Z}_a^{(1)} = \begin{bmatrix} w_A^{(ab)} \\ \varphi_A^{(ab)} \\ Q_A^{(ab)} \\ M_A^{(ab)} \end{bmatrix} = \begin{bmatrix} Z(1) \\ Z(2) \\ Z(3) \\ Z(4) \end{bmatrix}, \quad \mathbf{Z}_b^{(1)} = \begin{bmatrix} w_L^{(ab)} \\ \varphi_L^{(ab)} \\ Q_L^{(ab)} \\ M_L^{(ab)} \end{bmatrix} = \begin{bmatrix} Z(5) \\ Z(6) \\ Z(7) \\ Z(8) \end{bmatrix} \quad (4.81)$$

$$\mathbf{Z}_b^{(2)} = \begin{bmatrix} w_A^{(bc)} \\ \varphi_A^{(bc)} \\ Q_A^{(bc)} \\ M_A^{(bc)} \end{bmatrix} = \begin{bmatrix} Z(9) \\ Z(10) \\ Z(11) \\ Z(12) \end{bmatrix}, \quad \mathbf{Z}_c^{(2)} = \begin{bmatrix} w_L^{(bc)} \\ \varphi_L^{(bc)} \\ Q_L^{(bc)} \\ M_L^{(bc)} \end{bmatrix} = \begin{bmatrix} Z(13) \\ Z(14) \\ Z(15) \\ Z(16) \end{bmatrix} \quad (4.82)$$

$$\mathbf{Z}_c^{(3)} = \begin{bmatrix} w_A^{(cd)} \\ \varphi_A^{(cd)} \\ Q_A^{(cd)} \\ M_A^{(cd)} \end{bmatrix} = \begin{bmatrix} Z(17) \\ Z(18) \\ Z(19) \\ Z(20) \end{bmatrix}, \quad \mathbf{Z}_d^{(3)} = \begin{bmatrix} w_L^{(cd)} \\ \varphi_L^{(cd)} \\ Q_L^{(cd)} \\ M_L^{(cd)} \end{bmatrix} = \begin{bmatrix} Z(21) \\ Z(22) \\ Z(23) \\ Z(24) \end{bmatrix} \quad (4.83)$$

Muutujate $Z(i)$ ($i = 1, 2, \dots, 24$) järjenumbrid on toodud joonisel 4.13.

³Siméon Denis Poisson (1781–1840), prantsuse füüsik ja matemaatik.



Joonis 4.13. Astmeliselt muutuva ristlõikega Timošenko konsooltala muutujate järjenumbrid

Võrrandisüsteemi (4.79) kaksteist esimest võrrandit on põhivõrrandid (4.61). Need koostatakse GNU Octave'i programmidega [NaideTimKonsool3det.m](#) ja [NaideTimKonsool3Srw15.m](#) (vt programmi väljavõtet 4.1).

Väljavõte programmist 4.1 ([NaideTimKonsool3Srdet.m](#))

```
spyleF1=sptalaylekTimM(baasi0,kT,l1,wf,mg,A1,Iy1,E,G); # hõreda laiendatud
ülekan demaatriksi arvutus
IIv=1;
IJv=1;
spAnull=spInsertBtoA(spAnull,IIv,IJv,spyleF1); # asetab ülekan demaatriksi
võrrandisüsteemi
spyleF2=sptalaylekTimM(baasi0,kT,l2,wf,mg,A2,Iy2,E,G);
IIv=5;
IJv=9;
spAnull=spInsertBtoA(spAnull,IIv,IJv,spyleF2);
spyleF3=sptalaylekTimM(baasi0,kT,l3,wf,mg,A3,Iy3,E,G);
IIv=9;
IJv=17;
spAnull=spInsertBtoA(spAnull,IIv,IJv,spyleF3);
```

Põhivõrranditele järgnevad sõlme b ja c pidevus- ja tasakaaluvõrrandid.

Sõlm b

$$\begin{aligned} Z(5) - Z(9) &= w_L^{(ab)} - w_A^{(bc)} = 0 \\ Z(6) - Z(10) &= \varphi_L^{(ab)} - \varphi_A^{(bc)} = 0 \\ Z(7) + Z(11) &= Q_L^{(ab)} + Q_A^{(bc)} = 0 \\ Z(8) + Z(12) &= M_L^{(ab)} + M_A^{(bc)} = 0 \end{aligned}$$

(4.84)

Sõlm c

$$\begin{aligned} Z(13) - Z(17) &= w_L^{(bc)} - w_A^{(cd)} = 0 \\ Z(14) - Z(18) &= \varphi_L^{(bc)} - \varphi_A^{(cd)} = 0 \\ Z(15) + Z(19) &= Q_L^{(bc)} + Q_A^{(cd)} = 0 \\ Z(16) + Z(20) &= M_L^{(bc)} + M_A^{(cd)} = 0 \end{aligned}$$

Ülejaanud neli võrrandit saame toetingimustest.

Sõlm a

$$\begin{aligned} Z(1) &= w_A^{(ab)} = 0 \\ Z(2) &= \varphi_A^{(ab)} = 0 \end{aligned}$$

Sõlm d

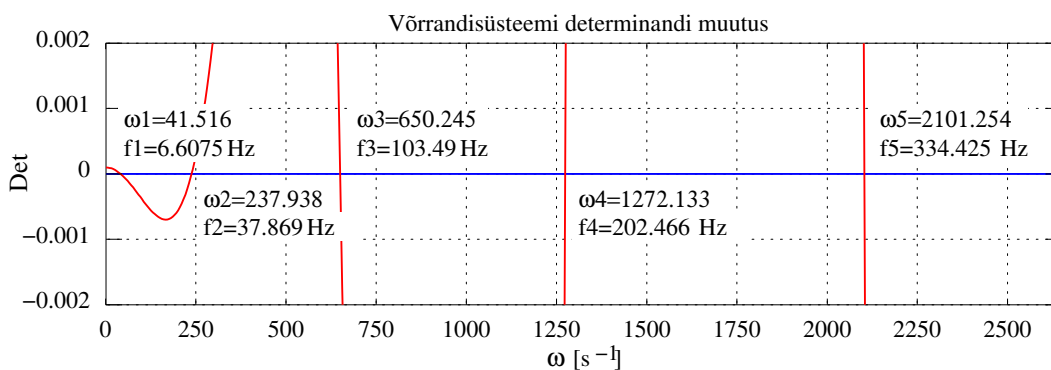
$$\begin{aligned} Z(23) &= Q_L^{(cd)} = 0 \\ Z(24) &= M_L^{(cd)} = 0 \end{aligned}$$

(4.85)

Koostatud võrrandisüsteemis (4.79) on 24 võrrandit 24 tundmatuga, kus nullist erinevaid elemente on 80 (14%):

Compressed Column Sparse (rows = 24, cols = 24, nnz = 80 [14%])

GNU Octave'i programmiga `NaideTimKonsool3det.m` leiame võrrandisüsteemi (4.79) determinandi nullid, s.t astmeliselt muutuva ristlõikega lapitiasendis konsooltala omavõnkesagedused (jn 4.14).



Joonis 4.14. Astmeliselt muutuva ristlõikega lapitiasendis konsooltala omavõnkesagedused

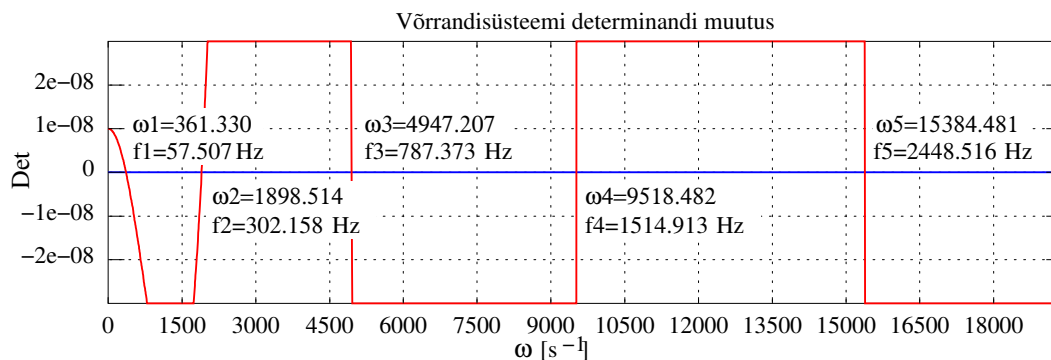
Tabelis 4.3 võrreldakse konsooltala omavõnkesageduste erinevusi, mis on arvutatud EST-meetodi ja programmi Siemens NX5⁴ [Tar08, lk 63] abil.

Tabel 4.3. Astmeliselt muutuva ristlõikega lapitiasendis Timošenko konsooltala omavõnkesagedused

Omavõnkesagedus	EST-meetod. Timošenko teooria			
	Sagedus ω [s ⁻¹]	Sagedus f [Hz]	Erinevus NX5st %	Erinevus katsest %
1.	41.516	6.6075	0.43	17.6
2.	237.938	37.869	0.40	6.31
3.	650.245	103.490	0.39	4.15
4.	1272.133	202.466	0.51	0.30
5.	2101.254	334.425	0.53	8.76
6.	3136.304	499.158		

⁴CAD/CAM/CAE, ruumiline element Nastran-SEMODES 103.

GNU Octave'i programmiga `NaideTimKonsool3Srde.m` leiame astmeliselt muutuva ristlõikega servitiasendis konsooltala omavõnkesagedused (jn 4.15).



Joonis 4.15. Astmeliselt muutuva ristlõikega servitiasendis Timošenko konsooltala omavõnkesagedused

Tabelis 4.4 võrreldakse vaadeldava konsooltala omavõnkesageduste erinevusi EST-meetodi, LEM-programmi BEAMANALYSIS.m (Euleri-Bernoulli teooria) ja programmi Siemens NX5 abil arvatuna [Tar08, lk 63].

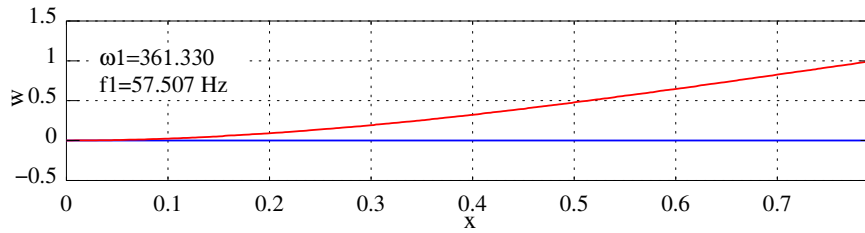
Tabel 4.4. Astmeliselt muutuva ristlõikega servitiasendis Timošenko konsooltala omavõnkesagedused

Omavõnkesagedus	EST-meetod. Timošenko teooria			
	Sagedus ω [s^{-1}]	Sagedus f [Hz]	Erinevus LEMist %	Erinevus NX5st %
1.	361.330	57.507	0.20	0.075
2.	1898.514	302.158	0.11	0.085
3.	4947.207	787.373	2.44	0.175
4.	9518.482	1514.913	4.56	0.072
5.	15384.481	2448.516	6.85	0.062
6.	22266.878	3543.884		

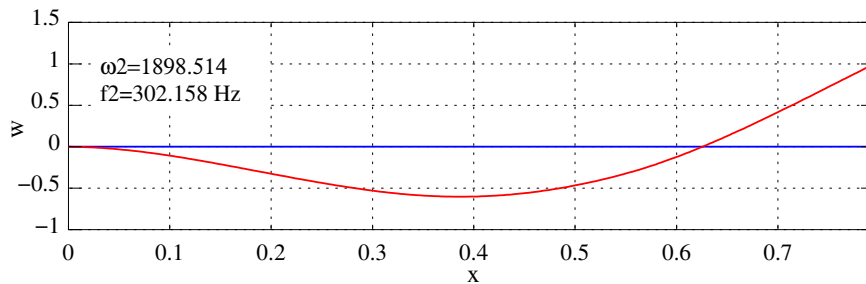
Astmeliselt muutuva ristlõikega servitiasendis konsooltala omavõnkevormide leidmisel on võrrandisüsteemi (4.79) determinandi väärtus null. Viime võrrandisüsteemi veeru 21 paremale poolele ja võrdsustame ühega. Lahendanud hõreda võrrandisüsteemi vähimruutude meetodiga, valime lahendist algparameetrid.

Tala omavõnkesagedusele vastava siirde leidmisel kasutame ülekandemaatriksit (GNU Octave'i funktsioon **TimtalaylekM.m**).

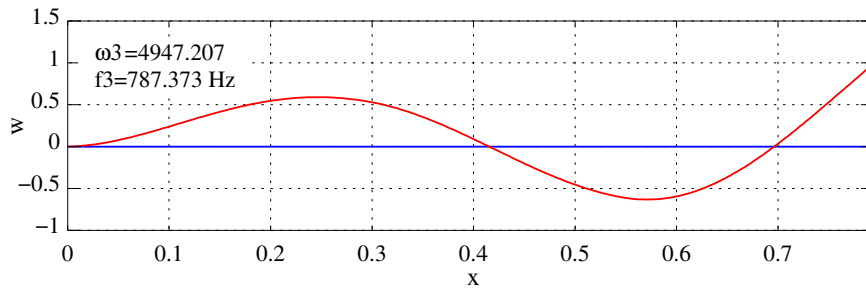
Valides GNU Octave'i programmis **NaideTimKonsool3Srwl5.m** ühe omavõnkesagedustest $\omega_1 = 361.330 \text{ s}^{-1}$, $\omega_2 = 1898.514 \text{ s}^{-1}$, $\omega_3 = 4947.207 \text{ s}^{-1}$, $\omega_4 = 9518.482 \text{ s}^{-1}$ või $\omega_5 = 15384.481 \text{ s}^{-1}$, saame vastava omavõnkevormi (vt joonis 4.16).



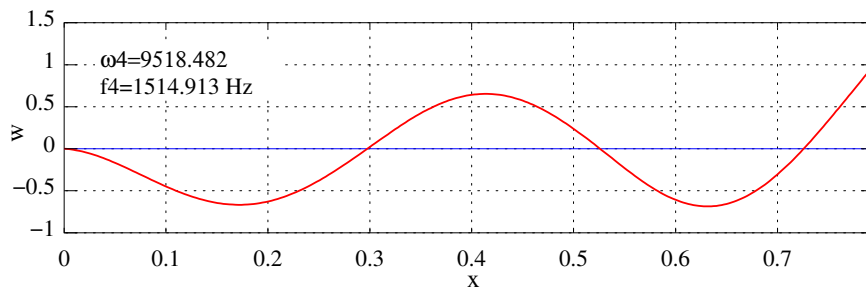
(a) Omavõnkevorm sagedusel $f_1 = 57.507 \text{ Hz}$



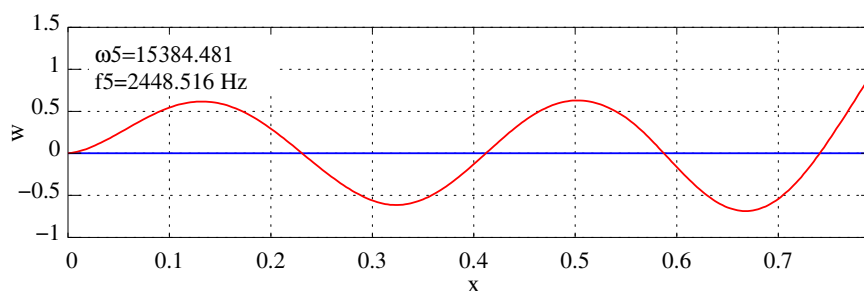
(b) Omavõnkevorm sagedusel $f_2 = 302.158 \text{ Hz}$



(c) Omavõnkevorm sagedusel $f_3 = 787.373 \text{ Hz}$



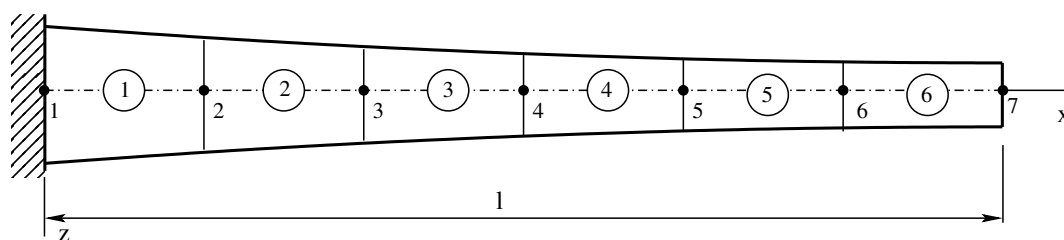
(d) Omavõnkevorm sagedusel $f_4 = 1514.913 \text{ Hz}$



(e) Omavõnkevorm sagedusel $f_5 = 2448.516$ Hz

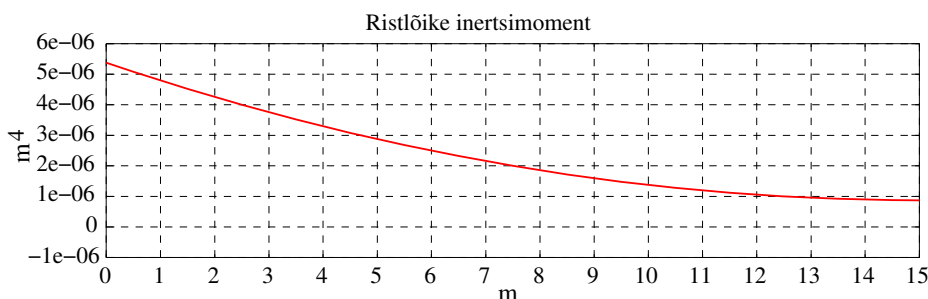
Joonis 4.16. Astmeliselt muutuva ristlõikega servitiasendis Timošenko konsooltala omavõnkevormid

Näide 4.4 (muutuva ristlõikega Timošenko konsooltala omavõnkumine). Leida joonisel 4.17 kujutatud konsooltala omavõnkesagedused ja -vormid.



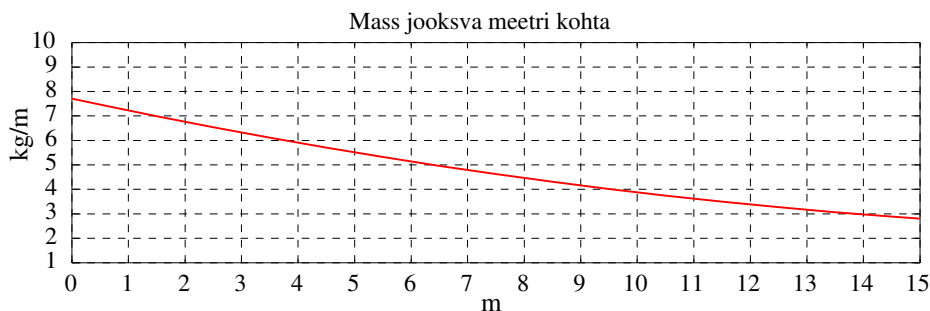
Joonis 4.17. Muutuva ristlõikega Timošenko konsooltala

Andmed. Konsooltala pikkus $\ell = 15$ m. Konsooltala ristlõike inertsimomendi $I_y(x)$ muutumine tala pikiteljel on toodud joonusel 4.18 ja pikkusühiku kohta tuleva massi $\mu(x)$ muutumine on toodud joonusel 4.19. Olgu konsooltala valmistatud alumiiniumoksiidi nanokiust Saffil⁵, mille elastsusmoodul $E = 300$ GPa, Poissoni tegur $\nu = 0.2$ ja materjali tihedus $\rho = 3.300 \times 10^3$ kg/m³. Nihkeelastsusmooduli $G = E/2(1 + \nu)$ ja kujuteguri $k_T = (6 + 12\nu + 6\nu^2)/(7 + 12\nu + 4\nu^2)$ [Hut01] arvutame.



Joonis 4.18. Ristlõike inertsimomendi muutus

⁵<http://www.mse.mtu.edu/~drjohn/my4150/props.html> (06.07.2017)



Joonis 4.19. Pikkusühiku kohta tuleva massi muutus

Lahendus. Omavõnkesageduste arvutamiseks koostame EST-meetodi võrrandisüsteemi

$$\text{spA} \cdot \mathbf{Z} = 0 \quad (4.86)$$

kus \mathbf{Z} on võrrandisüsteemi tundmatute vektor:

$$\mathbf{Z} = \begin{bmatrix} \mathbf{Z}_1^{(1)} \\ \mathbf{Z}_2^{(1)} \\ \mathbf{Z}_2^{(2)} \\ \mathbf{Z}_3^{(2)} \\ \mathbf{Z}_3^{(3)} \\ \mathbf{Z}_4^{(3)} \\ \vdots \\ \mathbf{Z}_6^{(6)} \\ \mathbf{Z}_7^{(6)} \end{bmatrix} \quad (4.87)$$

Vektori komponentideks on siirded, paindenurgad, põikjõud ja paindemomendid tala elementide 1, 2, ..., 48 lõpus (jn 4.20):

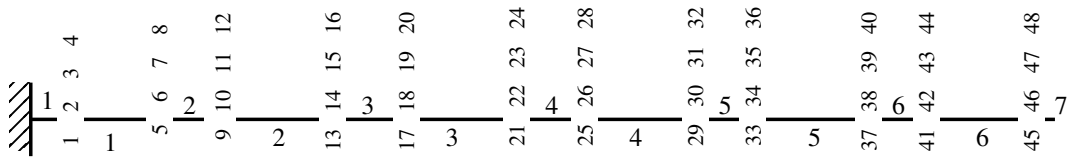
$$\mathbf{Z}_1^{(1)} = \begin{bmatrix} w_A^{(1)} \\ \varphi_A^{(1)} \\ Q_A^{(1)} \\ M_A^{(1)} \end{bmatrix} = \begin{bmatrix} Z(1) \\ Z(2) \\ Z(3) \\ Z(4) \end{bmatrix}, \quad \mathbf{Z}_2^{(1)} = \begin{bmatrix} w_L^{(1)} \\ \varphi_L^{(1)} \\ Q_L^{(1)} \\ M_L^{(1)} \end{bmatrix} = \begin{bmatrix} Z(5) \\ Z(6) \\ Z(7) \\ Z(8) \end{bmatrix} \quad (4.88)$$

$$\mathbf{Z}_2^{(2)} = \begin{bmatrix} w_A^{(2)} \\ \varphi_A^{(2)} \\ Q_A^{(2)} \\ M_A^{(2)} \end{bmatrix} = \begin{bmatrix} Z(9) \\ Z(10) \\ Z(11) \\ Z(12) \end{bmatrix}, \quad \mathbf{Z}_3^{(2)} = \begin{bmatrix} w_L^{(2)} \\ \varphi_L^{(2)} \\ Q_L^{(2)} \\ M_L^{(2)} \end{bmatrix} = \begin{bmatrix} Z(13) \\ Z(14) \\ Z(15) \\ Z(16) \end{bmatrix} \quad (4.89)$$

$$\mathbf{Z}_3^{(3)} = \begin{bmatrix} w_A^{(3)} \\ \varphi_A^{(3)} \\ Q_A^{(3)} \\ M_A^{(3)} \end{bmatrix} = \begin{bmatrix} Z(17) \\ Z(18) \\ Z(19) \\ Z(20) \end{bmatrix}, \quad \mathbf{Z}_4^{(3)} = \begin{bmatrix} w_L^{(3)} \\ \varphi_L^{(3)} \\ Q_L^{(3)} \\ M_L^{(3)} \end{bmatrix} = \begin{bmatrix} Z(21) \\ Z(22) \\ Z(23) \\ Z(24) \end{bmatrix} \quad (4.90)$$

$$\mathbf{Z}_6^{(6)} = \begin{bmatrix} w_A^{(6)} \\ \varphi_A^{(6)} \\ Q_A^{(6)} \\ M_A^{(6)} \end{bmatrix} = \begin{bmatrix} Z(41) \\ Z(42) \\ Z(43) \\ Z(44) \end{bmatrix}, \quad \mathbf{Z}_7^{(6)} = \begin{bmatrix} w_L^{(6)} \\ \varphi_L^{(6)} \\ Q_L^{(6)} \\ M_L^{(6)} \end{bmatrix} = \begin{bmatrix} Z(45) \\ Z(46) \\ Z(47) \\ Z(48) \end{bmatrix} \quad (4.91)$$

Muutujate $Z(i)$ ($i = 1, 2, \dots, 48$) järjenumbriid on toodud joonisel 4.20.



Joonis 4.20. Muutuva ristlõikega Timošenko konsooltala muutujate järjenumbriid

Võrrandisüsteemi (4.86) kakskümmendneli esimest võrrandit on põhivõrrandid (4.61). Need koostatakse GNU Octave'i programmidega [NaideTimKonsool6det.m](#) ja [NaideTimKonsool15det.m](#) (vt programmi väljavõtet 4.2).

Väljavõte programmist 4.2 ([NaideTimKonsool6det.m](#))

```
# hõreda laiendatud ülekanematriksi arvutus
spyleF1=sptalaylekTimM(baasi0, kT, l1, wf, mg, A1, Iy1, E, G);
IIv=1;
IJv=1;
# asetab ülekanematriksi võrrandisüsteemi
spA=spInsertBtoA(spA, IIv, IJv, spyleF1);
spyleF2=sptalaylekTimM(baasi0, kT, l2, wf, mg, A2, Iy2, E, G);
IIv=5;
IJv=9;
spA=spInsertBtoA(spA, IIv, IJv, spyleF2);
spyleF3=sptalaylekTimM(baasi0, kT, l3, wf, mg, A3, Iy3, E, G);
IIv=9;
IJv=17;
spA=spInsertBtoA(spA, IIv, IJv, spyleF3);
spyleF4=sptalaylekTimM(baasi0, kT, l4, wf, mg, A4, Iy4, E, G);
IIv=13;
IJv=25;
spA=spInsertBtoA(spA, IIv, IJv, spyleF4);
spyleF5=sptalaylekTimM(baasi0, kT, l5, wf, mg, A5, Iy5, E, G);
IIv=17;
IJv=33;
spA=spInsertBtoA(spA, IIv, IJv, spyleF5);
spyleF6=sptalaylekTimM(baasi0, kT, l6, wf, mg, A6, Iy6, E, G);
IIv=21;
IJv=41;
spA=spInsertBtoA(spA, IIv, IJv, spyleF6);
%IIv=37; - 36 võrrandit
%IJv=73; - 72 tundmatut
```

Põhivõrranditele järgnevad sõlmede 2, 3, 4, 5, 6 pidevus- ja tasakaaluvõrrandid.

Pidevusvõrrandid

Sõlm 2

$$Z(5) - Z(9) = w_L^{(1)} - w_A^{(2)} = 0$$

$$Z(6) - Z(10) = \varphi_L^{(1)} - \varphi_A^{(2)} = 0$$

Sõlm 3

$$Z(13) - Z(17) = w_L^{(2)} - w_A^{(3)} = 0$$

$$Z(14) - Z(18) = \varphi_L^{(2)} - \varphi_A^{(3)} = 0$$

Sõlm 4

$$Z(21) - Z(25) = w_L^{(3)} - w_A^{(4)} = 0$$

$$Z(22) - Z(26) = \varphi_L^{(3)} - \varphi_A^{(4)} = 0$$

Sõlm 5

$$Z(29) - Z(33) = w_L^{(4)} - w_A^{(5)} = 0$$

$$Z(30) - Z(34) = \varphi_L^{(4)} - \varphi_A^{(5)} = 0$$

Sõlm 6

$$Z(37) - Z(41) = w_L^{(5)} - w_A^{(6)} = 0$$

$$Z(38) - Z(42) = \varphi_L^{(5)} - \varphi_A^{(6)} = 0$$

(4.92)

Tasakaaluvõrrandid

Sõlm 2

$$Z(7) + Z(11) = Q_L^{(1)} + Q_A^{(2)} = 0$$

$$Z(8) + Z(12) = M_L^{(1)} + M_A^{(2)} = 0$$

Sõlm 3

$$Z(15) + Z(19) = Q_L^{(2)} + Q_A^{(3)} = 0$$

$$Z(16) + Z(20) = M_L^{(2)} + M_A^{(3)} = 0$$

Sõlm 4

$$Z(23) + Z(27) = Q_L^{(3)} + Q_A^{(4)} = 0$$

$$Z(24) + Z(27) = M_L^{(3)} + M_A^{(4)} = 0$$

Sõlm 5

$$Z(31) + Z(35) = Q_L^{(4)} + Q_A^{(5)} = 0$$

$$Z(32) + Z(36) = M_L^{(4)} + M_A^{(5)} = 0$$

Sõlm 6

$$Z(39) + Z(43) = Q_L^{(5)} + Q_A^{(6)} = 0$$

$$Z(40) + Z(44) = M_L^{(5)} + M_A^{(6)} = 0$$

(4.93)

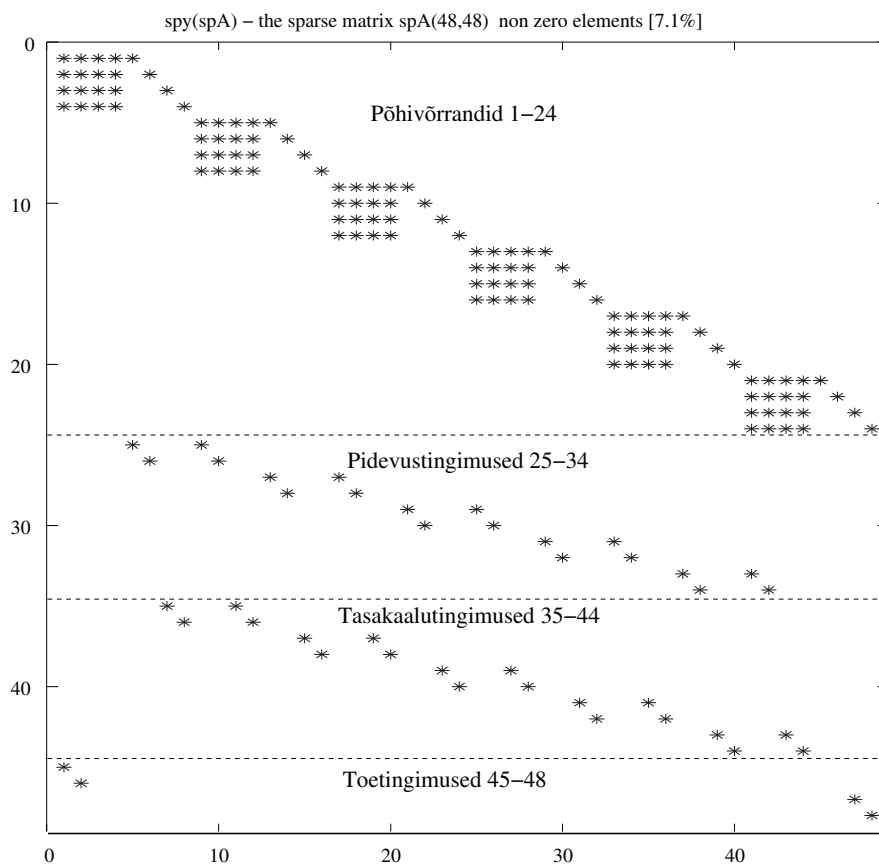
Ülejäänud neli võrrandit saame toetingimustest.

$$\begin{aligned}
 &\text{Sõlm 1} \\
 &Z(1) = w_A^{(1)} = 0 \\
 &Z(2) = \varphi_A^{(1)} = 0 \\
 &\text{Sõlm 7} \\
 &Z(47) = Q_L^{(6)} = 0 \\
 &Z(48) = M_L^{(6)} = 0
 \end{aligned}
 \tag{4.94}$$

Võrrandisüsteemis (4.86) on 48 võrrandit 48 tundmatuga, kus nullist erinevaid elemente on 164:

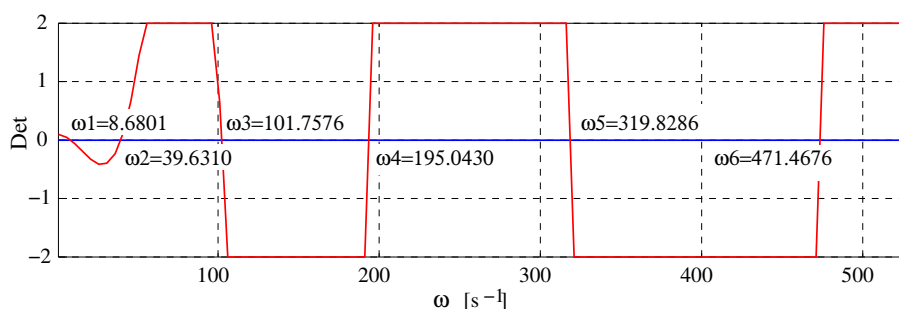
Compressed Column Sparse (rows = 48, cols = 48, nnz = 164 [7.1%])

Muutuva ristlõikega Timošenko konsooltala maatriksi spA muster on joonisel 4.21.

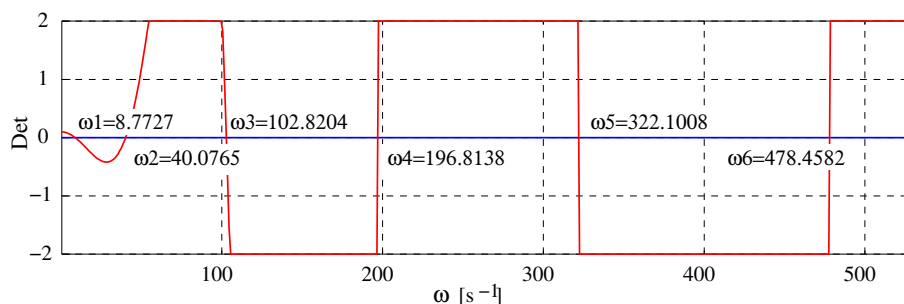


Joonis 4.21. Muutuva ristlõikega Timošenko konsooltala maatriksi spA muster

GNU Octave'i programmidega [NaideTimKonsool6det.m](#) ja [NaideTimKonsool15det.m](#) leiame võrrandisüsteemi (4.86) determinandi nullid, s.t muutuva ristlõikega konsooltala omavõnkesagedused (jn 4.22).



(a) Konsooltala on jaotatud kuueks elemendiks



(b) Konsooltala on jaotatud viieteistkümneks elemendiks

Joonis 4.22. Muutuva ristlõikega Timošenko konsooltala omavõnkesagedused

Omapõnkevormide arvutamisel viime võrrandisüsteemis (4.86) siirde $Z(45) = w_L^{(6)}$ veeru paremale poolele. Lahendanud hõreda võrrandisüsteemi vähimruutude meetodiga, valime lahendist ($Xvect$) algarameetrid (vt väljavõte programmist 4.3).

Väljavõte programmist 4.3 (NaideTimKonsool6SAMSTw6.m)

```
SalgPar1=Xvect(1:4,1);
SalgPar2=Xvect(9:12,1);
SalgPar3=Xvect(17:20,1);
SalgPar4=Xvect(25:28,1);
SalgPar5=Xvect(33:36,1);
SalgPar6=Xvect(41:44,1);
```

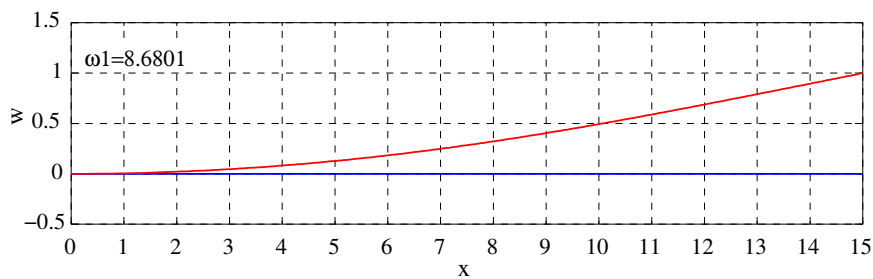
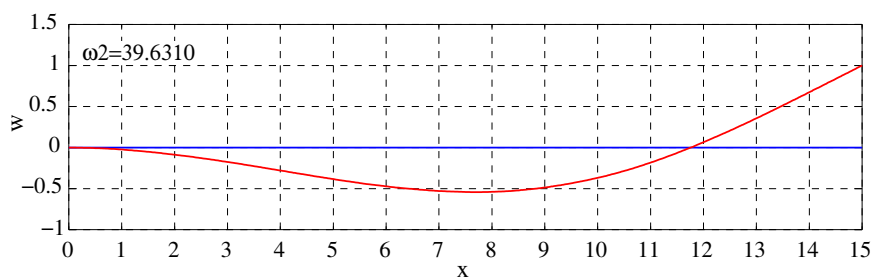
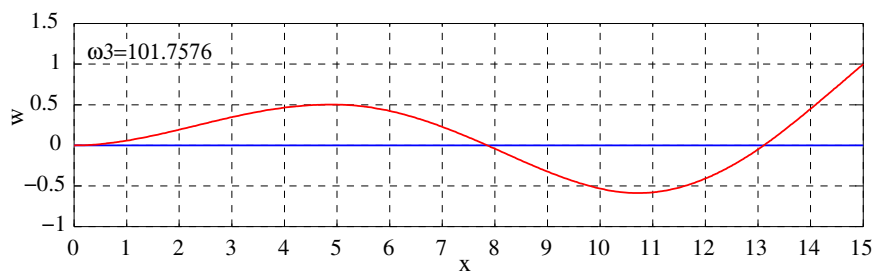
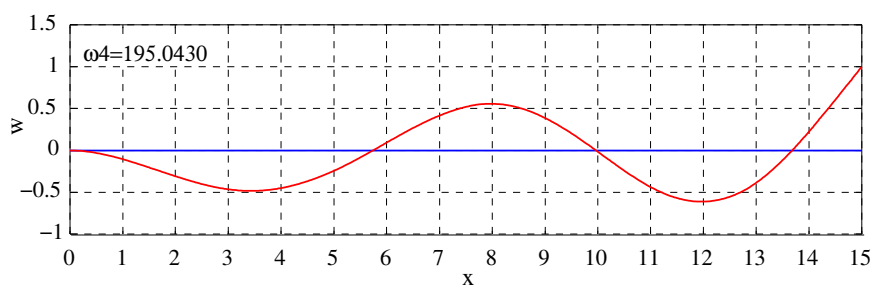
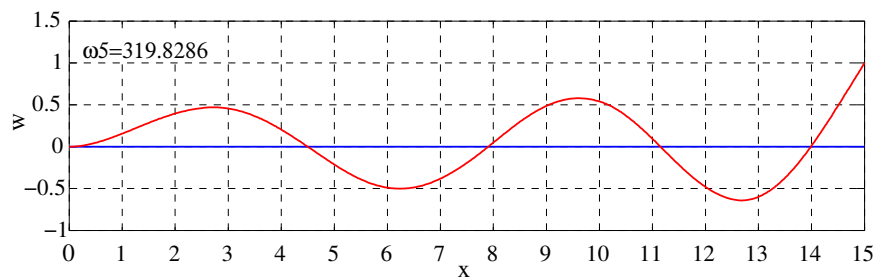
Algarameetrite meetodi maatriksvõrrandiga (4.60)

$$\mathbf{Z}_\xi = \mathbf{U}_\xi \cdot \mathbf{Z}_A \quad (4.95)$$

arvutame kuue elemendi siirded.

Valides GNU Octave'i programmis **NaideTimKonsool6SAMSTw6.m** ühe omavõnkesagedustest $\omega_1 = 8.6801 \text{ s}^{-1}$, $\omega_2 = 39.6310 \text{ s}^{-1}$, $\omega_3 = 101.7576 \text{ s}^{-1}$, $\omega_4 = 195.0430 \text{ s}^{-1}$ ja $\omega_5 = 319.8286 \text{ s}^{-1}$, saame sellele vastava omavõnkevormi.

Omapõnkevormid on toodud joonisel 4.23.

(a) Omavõnkevorm sagedusel $\omega_1 = 8.6801 \text{ s}^{-1}$ (b) Omavõnkevorm sagedusel $\omega_2 = 39.6310 \text{ s}^{-1}$ (c) Omavõnkevorm sagedusel $\omega_3 = 101.7576 \text{ s}^{-1}$ (d) Omavõnkevorm sagedusel $\omega_4 = 195.0430 \text{ s}^{-1}$ (e) Omavõnkevorm sagedusel $\omega_5 = 319.8286 \text{ s}^{-1}$

Joonis 4.23. Muutuva ristlõikega Timošenko konsooltala omavõnkevormid

Tabelisse 4.5 on kantud alumiiniumoksiidi nanokiust Saffil valmistatud muutuva ristlõikega Timošenko konsooltala omavõnkesagedused, mis on arvutatud EST-meetodil kuue ja viieteistkümne elemendiga tala juhul. Võrdluseks on toodud erinevused muutuva ristlõikega, kuid materjali elastsusmooduliga $E = 200$ GPa (materjali teisi omadusi pole avaldatud) Timošenko konsooltala omavõnkesagedused, mis on arvutatud lõplike elementide meetodil (LEM [SAMST92, lk 47]) ja ülekandemaatriksmeetodil (ÜMM [SAMST92, lk 47]) (sks Übertragungsmatrizenverfahren, ingl transfer matrix method, vn метод матриц перехода).

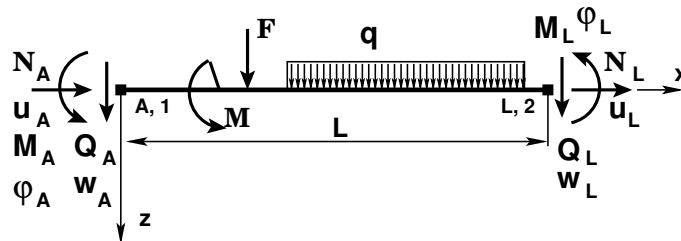
Tabel 4.5. Muutuva ristlõikega Timošenko konsooltala omavõnkesagedused

Omavõnkesagedus	EST-meetod. Timošenko teooria			
	6 elementi Sagedus ω [s ⁻¹]	15 elementi Sagedus ω [s ⁻¹]	Erinevus LEMist %	Erinevus ÜMMist %
1.	8.6801	8.7727	0.28	0.038
2.	39.6310	40.0765	0.22	0.021
3.	101.7576	102.8204	0.13	1.033
4.	195.0430	196.8138	1.05	3.775
5.	319.8286	322.1008	0.30	2.225
6.	471.4676	478.4582		

5. Raamid

5.1 Raami võnkumise põhivõrrandid

Raami elemendi kirjeldamisel kasutame parema käe teljestikku (jn A.1) ja teist märgikokkulepet (jn A.2).



Joonis 5.1. Raami elemendi jõudude ja siirete positiivsed suunad

Avaldame raami elemendi ülekandevõrrandid maatrikskujul

$$\mathbf{Z}_L = \mathbf{U} \cdot \mathbf{Z}_A + \mathring{\mathbf{Z}} \quad (5.1)$$

kus \mathbf{Z}_L ja \mathbf{Z}_A tähistavad pikisiirdeid, paindenurki, piki- ja põikjõude ning paindemomente elemendi lõpus ja alguses (vt avaldise (1.21), (3.32) või (4.65)):

$$\mathbf{Z}_L = \begin{bmatrix} u(x) \\ w(x) \\ \varphi_y(x) \\ N(x) \\ Q(x) \\ M(x) \end{bmatrix}_{x=L}, \quad \mathbf{Z}_A = \begin{bmatrix} u_0 \\ w_0 \\ \varphi_0 \\ N_0 \\ Q_0 \\ M_0 \end{bmatrix}_A \quad (5.2)$$

Ülekandemaatriksi \mathbf{U} saame avaldistest (1.22), (3.33) või (4.59) ning koormusvektori $\mathring{\mathbf{Z}}$ avaldistest (1.42) ja (3.119).

Raami elemendi põhivõrrandid saab teise märgikokkuleppe puhul kirjutada võrrandisüsteemina

$$\mathbf{U} \cdot \mathbf{Z}_A - \mathbf{I}_{6 \times 6} \cdot \mathbf{Z}_L = -\mathring{\mathbf{Z}} \quad (5.3)$$

Lühemalt,

$$\widehat{\mathbf{U}}_{6 \times 12} \cdot \widehat{\mathbf{Z}} = -\dot{\mathbf{Z}} \quad (5.4)$$

kus

$$\widehat{\mathbf{Z}} = \begin{bmatrix} \mathbf{Z}_A \\ \mathbf{Z}_L \end{bmatrix} \quad (5.5)$$

ning $\widehat{\mathbf{U}}_{6 \times 12}$ on laiendatud ülekanematriksi $(U_{6 \times 6} \mid -I_{6 \times 6})$ avaldises (5.9).

Ülekanematriksid on Euleri-Bernoulli¹ ja Timošenko² paindeteoorias erinevad. Timošenko paindeteooriat kirjeldavas 4. järku diferentsiaalvõrrandis on teist järku tuletis, mis Euleri-Bernoulli paindeteooriat kirjeldavas 4. järku diferentsiaalvõrrandis puudub.

Ülekanematriks Euleri-Bernoulli paindeteoorias. Ülekanematriksi (5.8) saab arvutada GNU Octave'i funktsiooniga `raamylekM.m`, laiendatud ülekanematriksi (5.9) funktsiooniga `spraamylekM.m`.

Ülekanematriks Timošenko paindeteoorias. Ülekanematriksi (5.10) arvutame GNU Octave'i funktsiooniga `raamTimylekM.m`, laiendatud ülekanematriksi (5.11) funktsiooniga `spraamTimylekM.m`.

Raami koormusvektori $\dot{\mathbf{Z}}$ komponendid leiame pikke (1.42), (1.43) ja tala koormusvektorist (3.119)–(3.121) ($\dot{\mathbf{Z}} = \dot{\mathbf{Z}}_n + \dot{\mathbf{Z}}_q + \dot{\mathbf{Z}}_N + \dot{\mathbf{Z}}_F + \dot{\mathbf{Z}}_M$ (5.6), (5.7), (5.12)–(5.14)).

$$\dot{\mathbf{Z}}_n = \begin{bmatrix} \dot{u}_e \\ \dot{w}_e \\ \dot{\varphi}_e \\ \dot{N}_e \\ \dot{Q}_e \\ \dot{M}_e \end{bmatrix} = \begin{bmatrix} \frac{n_x}{EA} \frac{1}{\kappa^2} [1 - \cos \kappa (x - a)_+] \\ 0.0 \\ 0.0 \\ n_x \frac{1}{\kappa} [\sin \kappa (x - a)_+] \\ 0.0 \\ 0.0 \end{bmatrix} \quad (5.6)$$

$$\dot{\mathbf{Z}}_q = \begin{bmatrix} \dot{u}_e \\ \dot{w}_e \\ \dot{\varphi}_e \\ \dot{N}_e \\ \dot{Q}_e \\ \dot{M}_e \end{bmatrix} = \begin{bmatrix} 0.0 \\ \frac{q_z}{EI_y} \frac{1}{\kappa^4} [K_1 (\kappa (x - a)_+) - 1] \\ -\frac{q_z}{EI_y} \frac{1}{\kappa^3} [K_4 (\kappa (x - a)_+)] \\ 0.0 \\ -\frac{q_z}{\kappa} [K_2 (\kappa (x - a)_+)] \\ -\frac{q_z}{\kappa^2} [K_3 (\kappa (x - a)_+)] \end{bmatrix} \quad (5.7)$$

¹https://en.wikipedia.org/wiki/Bending#Euler.E2.80.93Bernoulli_bending_theory

²https://en.wikipedia.org/wiki/Bending#Timoshenko_bending_theory

Ülekandemaatriks Euleri-Bernoulli paindeteoorias

$$\mathbf{U}_{6 \times 6} = \begin{bmatrix} \cos \kappa x & 0 & 0 & -\frac{1}{EA} \frac{1}{\kappa} \sin \kappa x & 0 & 0 \\ 0 & K_1(\kappa x) & -\frac{1}{\kappa} K_2(\kappa x) & 0 & \frac{1}{EI} \frac{1}{\kappa^3} K_4(\kappa x) & \frac{1}{EI} \frac{1}{\kappa^2} K_3(\kappa x) \\ 0 & -\kappa K_4(\kappa x) & K_1(\kappa x) & 0 & -\frac{1}{EI} \frac{1}{\kappa^2} K_3(\kappa x) & -\frac{1}{EI} \frac{1}{\kappa} K_2(\kappa x) \\ -EA\kappa \sin \kappa x & 0 & 0 & -\cos \kappa x & 0 & 0 \\ 0 & -EI\kappa^3 K_2(\kappa x) & EI\kappa^2 K_3(\kappa x) & 0 & -K_1(\kappa x) & -\kappa K_4(\kappa x) \\ 0 & -EI\kappa^2 K_3(\kappa x) & EI\kappa K_4(\kappa x) & 0 & -\frac{1}{\kappa} K_2(\kappa x) & -K_1(\kappa x) \end{bmatrix} \quad (5.8)$$

Laendatud ülekandemaatriks Euleri-Bernoulli paindeteoorias

$$\widehat{\mathbf{U}}_{6 \times 12} = \begin{bmatrix} \cos \kappa \ell & 0 & 0 & -\frac{1}{EA} \frac{1}{\kappa} \sin \kappa \ell & 0 & 0 \\ 0 & K_1(\kappa \ell) & -\frac{1}{\kappa} K_2(\kappa \ell) & 0 & \frac{1}{EI} \frac{1}{\kappa^3} K_4(\kappa \ell) & \frac{1}{EI} \frac{1}{\kappa^2} K_3(\kappa \ell) \\ 0 & -\kappa K_4(\kappa \ell) & K_1(\kappa \ell) & 0 & -\frac{1}{EI} \frac{1}{\kappa^2} K_3(\kappa \ell) & -\frac{1}{EI} \frac{1}{\kappa} K_2(\kappa \ell) \\ -EA\kappa \sin \kappa \ell & 0 & 0 & -\cos \kappa \ell & 0 & 0 \\ 0 & -EI\kappa^3 K_2(\kappa \ell) & EI\kappa^2 K_3(\kappa \ell) & 0 & -K_1(\kappa \ell) & -\kappa K_4(\kappa \ell) \\ 0 & -EI\kappa^2 K_3(\kappa \ell) & EI\kappa K_4(\kappa \ell) & 0 & -\frac{1}{\kappa} K_2(\kappa \ell) & -K_1(\kappa \ell) \end{bmatrix} \quad (5.9)$$

Krõlovi funktsioonid $K_i(\kappa x)$ on esitatud avaldistes (3.19)–(3.22).

Ülekandemaatriks Timošenko paindeteoorias

$$\mathbf{U}_{6 \times 6} = \begin{bmatrix} \cos \kappa x & 0 & 0 & -\frac{1}{EA} \frac{1}{\kappa} \sin \kappa x & 0 & 0 \\ 0 & \frac{s_{12} \operatorname{ch}(\lambda_1, \xi) + s_{22} \cos(\lambda_2, \xi)}{s_{12} + s_{22}} & \frac{s_{11} \operatorname{sh}(\lambda_1, \xi) + s_{21} \sin(\lambda_2, \xi)}{s_{11} s_{21} + s_{22} s_{11}} & 0 & \frac{s_1 \operatorname{sh}(\lambda_1, \xi) - s_2 \sin(\lambda_2, \xi)}{EI_y (s_1 s_{21} + s_2 s_{11})} & \frac{\operatorname{ch}(\lambda_1, \xi) - \cos(\lambda_2, \xi)}{EI_y (s_{12} + s_{22})} \\ 0 & \frac{s_2 s_{12} \operatorname{sh}(\lambda_1, \xi) - s_1 s_{22} \sin(\lambda_2, \xi)}{s_{12} + s_{22}} & \frac{s_2 s_{11} \operatorname{ch}(\lambda_1, \xi) + s_1 s_{21} \cos(\lambda_2, \xi)}{s_{11} s_{21} + s_{22} s_{11}} & 0 & \frac{s_1 s_2 (\operatorname{ch}(\lambda_1, \xi) - \cos(\lambda_2, \xi))}{EI_y (s_1 s_{21} + s_2 s_{11})} & \frac{s_2 \operatorname{sh}(\lambda_1, \xi) + s_1 \sin(\lambda_2, \xi)}{EI_y (s_{12} + s_{22})} \\ -EA \kappa \sin \kappa x & 0 & 0 & -\cos \kappa x & 0 & 0 \\ 0 & -\frac{EI_y (s_{12} s_{21} \operatorname{sh}(\lambda_1, \xi) + s_{11} s_{22} \sin(\lambda_2, \xi))}{s_{12} + s_{22}} & \frac{EI_y s_{11} s_{21} (-\operatorname{ch}(\lambda_1, \xi) + \cos(\lambda_2, \xi))}{s_{11} s_{21} + s_{22} s_{11}} & 0 & -\frac{s_1 s_{21} \operatorname{ch}(\lambda_1, \xi) + s_2 s_{11} \cos(\lambda_2, \xi)}{s_{11} s_{21} + s_{22} s_{11}} & -\frac{s_{21} \operatorname{sh}(\lambda_1, \xi) - s_{11} \sin(\lambda_2, \xi)}{s_{12} + s_{22}} \\ 0 & \frac{EI_y s_{12} s_{22} (-\operatorname{ch}(\lambda_1, \xi) + \cos(\lambda_2, \xi))}{s_{12} + s_{22}} & \frac{EI_y (-s_{11} s_{22} \operatorname{sh}(\lambda_1, \xi) + s_{12} s_{21} \sin(\lambda_2, \xi))}{s_{11} s_{21} + s_{22} s_{11}} & 0 & -\frac{s_1 s_{22} \operatorname{sh}(\lambda_1, \xi) + s_2 s_{12} \sin(\lambda_2, \xi)}{s_1 s_{21} + s_2 s_{11}} & -\frac{s_{22} \operatorname{ch}(\lambda_1, \xi) + s_{12} \cos(\lambda_2, \xi)}{s_{12} + s_{22}} \end{bmatrix} \quad (5.10)$$

Laiendatud ülekandemaatriks Timošenko paindeteoorias

$$\widehat{\mathbf{U}}_{6 \times 12} = \begin{bmatrix} \cos \kappa l & 0 & 0 & -\frac{1}{EA} \frac{1}{\kappa} \sin \kappa l & 0 & 0 \\ 0 & \frac{s_{12} \operatorname{ch}(\lambda_1) + s_{22} \cos(\lambda_2)}{s_{12} + s_{22}} & \frac{s_{11} \operatorname{sh}(\lambda_1) + s_{21} \sin(\lambda_2)}{s_{11} s_{21} + s_{22} s_{11}} & 0 & \frac{s_1 \operatorname{sh}(\lambda_1) - s_2 \sin(\lambda_2)}{EI_y (s_1 s_{21} + s_2 s_{11})} & \frac{\operatorname{ch}(\lambda_1) - \cos(\lambda_2)}{EI_y (s_{12} + s_{22})} \\ 0 & \frac{s_2 s_{12} \operatorname{sh}(\lambda_1) - s_1 s_{22} \sin(\lambda_2)}{s_{12} + s_{22}} & \frac{s_2 s_{11} \operatorname{ch}(\lambda_1) + s_1 s_{21} \cos(\lambda_2)}{s_{11} s_{21} + s_{22} s_{11}} & 0 & \frac{s_1 s_2 (\operatorname{ch}(\lambda_1) - \cos(\lambda_2))}{EI_y (s_1 s_{21} + s_2 s_{11})} & \frac{s_2 \operatorname{sh}(\lambda_1) + s_1 \sin(\lambda_2)}{EI_y (s_{12} + s_{22})} \\ -EA \kappa \sin \kappa l & 0 & 0 & -\cos \kappa l & 0 & 0 \\ 0 & -\frac{EI_y (s_{12} s_{21} \operatorname{sh}(\lambda_1) + s_{11} s_{22} \sin(\lambda_2))}{s_{12} + s_{22}} & \frac{EI_y s_{11} s_{21} (-\operatorname{ch}(\lambda_1) + \cos(\lambda_2))}{s_{11} s_{21} + s_{22} s_{11}} & 0 & -\frac{s_1 s_{21} \operatorname{ch}(\lambda_1) + s_2 s_{11} \cos(\lambda_2)}{s_{11} s_{21} + s_{22} s_{11}} & -\frac{s_{21} \operatorname{sh}(\lambda_1) - s_{11} \sin(\lambda_2)}{s_{12} + s_{22}} \\ 0 & \frac{EI_y s_{12} s_{22} (-\operatorname{ch}(\lambda_1) + \cos(\lambda_2))}{s_{12} + s_{22}} & \frac{EI_y (-s_{11} s_{22} \operatorname{sh}(\lambda_1) + s_{12} s_{21} \sin(\lambda_2))}{s_{11} s_{21} + s_{22} s_{11}} & 0 & -\frac{s_1 s_{22} \operatorname{sh}(\lambda_1) + s_2 s_{12} \sin(\lambda_2)}{s_1 s_{21} + s_2 s_{11}} & -\frac{s_{22} \operatorname{ch}(\lambda_1) + s_{12} \cos(\lambda_2)}{s_{12} + s_{22}} \end{bmatrix} \quad (5.11)$$

Tähtised s_1 , s_2 ning s_{11} , s_{12} , s_{21} , s_{22} on kirjeldatud avaldistega (4.36) ja (4.41).

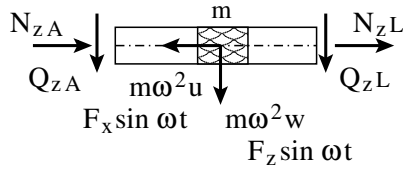
$$\overset{\circ}{\mathbf{Z}}_{\mathbf{N}} = \begin{bmatrix} \overset{\circ}{u}_e \\ \overset{\circ}{w}_e \\ \overset{\circ}{\varphi}_e \\ \overset{\circ}{N}_e \\ \overset{\circ}{Q}_e \\ \overset{\circ}{M}_e \end{bmatrix} = \begin{bmatrix} \frac{F_x}{EA} \frac{1}{\kappa} [\sin \kappa (x - a)_+] \\ 0.0 \\ 0.0 \\ F_x [\cos \kappa (x - a)_+] \\ 0.0 \\ 0.0 \end{bmatrix} \quad (5.12)$$

$$\overset{\circ}{\mathbf{Z}}_{\mathbf{F}} = \begin{bmatrix} \overset{\circ}{u}_e \\ \overset{\circ}{w}_e \\ \overset{\circ}{\varphi}_e \\ \overset{\circ}{N}_e \\ \overset{\circ}{Q}_e \\ \overset{\circ}{M}_e \end{bmatrix} = \begin{bmatrix} 0.0 \\ \frac{F_z}{EI_y} \frac{1}{\kappa^3} [K_4 (\kappa (x - a)_+)] \\ -\frac{F_z}{EI_y} \frac{1}{\kappa^2} [K_3 (\kappa (x - a)_+)] \\ 0.0 \\ -F_z [K_1 (\kappa (x - a)_+)] \\ -\frac{F_z}{\kappa} [K_2 (\kappa (x - a)_+)] \end{bmatrix} \quad (5.13)$$

$$\overset{\circ}{\mathbf{Z}}_{\mathbf{M}} = \begin{bmatrix} \overset{\circ}{u}_e \\ \overset{\circ}{w}_e \\ \overset{\circ}{\varphi}_e \\ \overset{\circ}{N}_e \\ \overset{\circ}{Q}_e \\ \overset{\circ}{M}_e \end{bmatrix} = \begin{bmatrix} 0.0 \\ \frac{\mathcal{M}_y}{EI_y} \frac{1}{\kappa^2} [K_3 (\kappa (x - a)_+)] \\ -\frac{\mathcal{M}_y}{EI_y} \frac{1}{\kappa} [K_2 (\kappa (x - a)_+)] \\ 0.0 \\ -\mathcal{M}_y \kappa [K_4 (\kappa (x - a)_+)] \\ -\mathcal{M}_y [K_1 (\kappa (x - a)_+)] \end{bmatrix} \quad (5.14)$$

5.1.1 Koondatud mass raamil

Vaatleme raami elementi (jn 5.2), millel on koondatud mass m . Elemendile on rakendatud vibreerivad jõud $F_x \sin \omega t$ ja $F_z \sin \omega t$. Ühtlasi mõjuvad elemendile inertsjõud $m\omega^2 u$ ja $m\omega^2 w$, pikijõud N_{zA} ja N_{zL} ning põikjõud Q_{zA} ja Q_{zL} . Siin tähistab ω võnkumise nurksagedust ning u ja w on massi siirded.



Joonis 5.2. Koondatud mass

Koostame tasakaaluvõrrandi maatrikskujul

$$\mathbf{U}_M \cdot \mathbf{Z}_A - \mathbf{I}_{6 \times 6} \cdot \mathbf{Z}_L = \dot{\mathbf{Z}} \quad (5.15)$$

Siin

$$\mathbf{Z}_A = \begin{bmatrix} u_A \\ w_A \\ \varphi_A \\ N_A \\ Q_A \\ M_A \end{bmatrix}_A \quad \mathbf{Z}_L = \begin{bmatrix} u_L \\ w_L \\ \varphi_L \\ N_L \\ Q_L \\ M_L \end{bmatrix}_x \quad (5.16)$$

 $\mathbf{I}_{6 \times 6}$ on 6×6 ühikmaatriks;ülekan demaatriksi \mathbf{U}_M avaldub

$$\mathbf{U}_M = \begin{bmatrix} 1.0 & 0.0 & 0.0 & 0.0 & 0.0 & 0.0 \\ 0.0 & 1.0 & 0.0 & 0.0 & 0.0 & 0.0 \\ 0.0 & 0.0 & 1.0 & 0.0 & 0.0 & 0.0 \\ -m\omega^2 & 0.0 & 0.0 & -1.0 & 0.0 & 0.0 \\ 0.0 & -m\omega^2 & 0.0 & 0.0 & -1.0 & 0.0 \\ 0.0 & 0.0 & 0.0 & 0.0 & 0.0 & -1.0 \end{bmatrix} \quad (5.17)$$

ning koormusvektor

$$\dot{\mathbf{Z}} = \begin{bmatrix} 0.0 \\ 0.0 \\ 0.0 \\ F_x \\ F_z \\ 0.0 \end{bmatrix} \quad (5.18)$$

Tasakaaluvõrrandi (5.15) esitame hõreda võrrandisüsteemina

$$\widehat{\mathbf{U}}_{\mathbf{I}_{6 \times 12}} \cdot \widehat{\mathbf{Z}} = \dot{\mathbf{Z}} \quad (5.19)$$

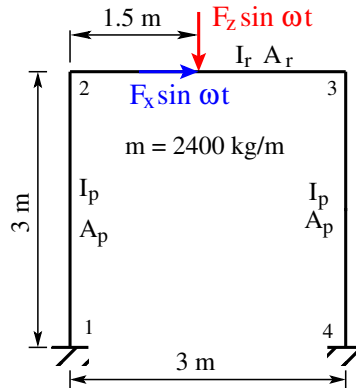
kus

$$\widehat{\mathbf{Z}} = \begin{bmatrix} \mathbf{Z}_A \\ \mathbf{Z}_L \end{bmatrix} \quad (5.20)$$

Laiendatud ülekan demaatriksi $\widehat{\mathbf{U}}_{\mathbf{I}_{6 \times 12}} \equiv (\mathbf{U}_{M6 \times 6} \mid -\mathbf{I}_{6 \times 6})$ saab arvutada GNU Octave'i funktsiooniga [koondMassHLRaam.m](#).

5.2 Raami vabavõnkumine

Näide 5.1 (jäikade sõlmedega põikraami vabavõnkumine). Leida joonisel 5.3 kujutatud raami omavõnkesagedused ja -vormid.



Joonis 5.3. Jäikade sõlmedega põikraam

Andmed. Raami ava on 3 m, ka postide pikkuseks on 3 m. Elastsusmoodul $E = 200 \text{ GPa}$. Raami riivi ja postide lausmass $m = 2400 \text{ kg/m}$. Riivi ja posti ristlõiked on ühesugused. Ristlõike kõrgus $h = 20 \text{ cm}$ ja laius $b = 20 \text{ cm}$.

Lahendus. Algpameetrite leidmiseks koostame EST-meetodi võrrandisüsteemi

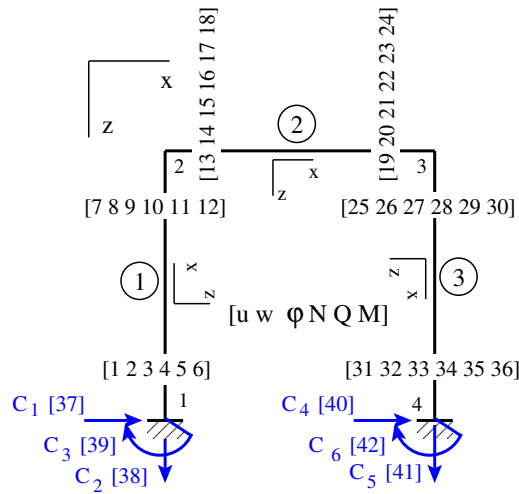
$$\text{spA} \cdot \mathbf{Z} = \mathbf{B} \quad (5.21)$$

kus \mathbf{Z} on võrrandisüsteemi tundmatute vektor.

Vektori komponentideks on piki- ja põiksiirded, paindenurgad, piki- ja põikjõud, paindemomendid raami elementide alguses ja lõpus (5.2) ning toereaktsioonid (jn 5.4):

$$\mathbf{Z} = \begin{bmatrix} Z(1, 1) \\ Z(2, 1) \\ Z(3, 1) \\ Z(4, 1) \\ Z(5, 1) \\ Z(6, 1) \\ \dots \\ Z(37, 1) \\ Z(38, 1) \\ Z(39, 1) \\ Z(40, 1) \\ Z(41, 1) \\ Z(42, 1) \end{bmatrix} = \begin{bmatrix} u_A^{(1)} \\ w_A^{(1)} \\ \varphi_A^{(1)} \\ N_A^{(1)} \\ Q_A^{(1)} \\ M_A^{(1)} \\ \dots \\ C(1, 1) \\ C(2, 1) \\ C(3, 1) \\ C(4, 1) \\ C(5, 1) \\ C(6, 1) \end{bmatrix} \quad (5.22)$$

Muutujate järjenumbrid on toodud joonisel 5.4.



Joonis 5.4. Jäikade sõlmedega põikraami muutujate järjenumbriid

Võrrandisüsteemi (5.21) kaheksateist esimest võrrandit on põhivõrrandid (5.3). Need koostatakse GNU Octave'i programmiga [NaideRaam1det.m](#) (vt programmi väljavõte 5.1).

Väljavõte programmist 5.1 ([NaideRaam1det.m](#))

```
# hõreda laiendatud ülekandemaatriksi arvutus
spvFn1=spraamylekM(baasi0,h,wf,msp,EAp,EIp);
IIv=1;
IJv=1;
# asetab ülekandemaatriksi võrrandisüsteemi
spA=spInsertBtoA(spA,IIv,IJv,spvFn1);
spvFn2=spraamylekM(baasi0,l,wf,mr,EAr,EIr);
IIv=7;
IJv=13;
spA=spInsertBtoA(spA,IIv,IJv,spvFn2);
spvFn3=spraamylekM(baasi0,h,wf,msp,EAp,EIp);
IIv=13;
IJv=25;
spA=spInsertBtoA(spA,IIv,IJv,spvFn3);
%
%IIv=19; - 18 võrrandit
%IJv=37; - 36 tundmatut + 6 toereaktsiooni
```

Lisanduvad sõlmede pidevus- ja tasakaaluvõrrandid, mis koostatakse üldkoordinaatides. Piki- ja põiksiirete, paindenurkade, piki- ja põikjõudude ning paindemomentide teisendamiseks kohalikest koordinaatidest üldkoordinaatidesse kasutame teisendusavaldisi (vt GNU Octave'i funktsiooni [spTeisndMaatriks\(VarrasN,krdn,selem\)](#)).

$$\begin{bmatrix} F_x \\ F_z \\ M_y \end{bmatrix} = \begin{bmatrix} \cos \alpha & -\cos \beta & 0 \\ \cos \beta & \cos \alpha & 0 \\ 0 & 0 & 1 \end{bmatrix} \begin{bmatrix} F_x^* \\ F_z^* \\ M_y^* \end{bmatrix} \quad (5.23)$$

Sõlmedes piki- ja põiksiirete ning paindenurkade pidevuse kirjeldamisel kasutame ka negatiivseid teisendusmaatrikseid (vt programmi väljavõte 5.2).

Väljavõte programmist 5.2 (NaideRaam1det.m)

```
%SpTM3x3=spTeisndMaatriks (VarrasN,krdn,selem)
spTM1=spTeisndMaatriks (1,krdn,selem)
spTM2=spTeisndMaatriks (2,krdn,selem)
spTM3=spTeisndMaatriks (3,krdn,selem)
spTM1m=-spTeisndMaatriks (1,krdn,selem)
spTM2m=-spTeisndMaatriks (2,krdn,selem)
spTM3m=-spTeisndMaatriks (3,krdn,selem)
```

Siin sõltuvad teisendusmaatriksi suunakoosinused elemendi kohalike teljestike suundadest. Raami (jn 5.4)

vardal 1: $\cos \alpha = 0$, $\cos \beta = -1$;
 vardal 2: $\cos \alpha = 1$, $\cos \beta = 0$;
 vardal 3: $\cos \alpha = 0$, $\cos \beta = 1$.

Arvutuspäeviku väljavõttes 5.1 toome teisendusmaatriksid raami postide ja riivi kohalike koordinaatide viimiseks üldkoordinaatide süsteemi.

Väljavõte arvutuspäevikust 5.1 (NaideRaam1det.m)

```
spTM1 =      |      spTM2 =      |      spTM3 =
              |      |      |
(2, 1) -> -1 |      |      |      |      |      |
(1, 2) ->  1 |      |      |      |      |      |
(3, 3) ->  1 |      |      |      |      |      |

spTM1m =     |      spTM2m =     |      spTM3m =
              |      |      |
(2, 1) ->  1 |      |      |      |      |      |
(1, 2) -> -1 |      |      |      |      |      |
(3, 3) -> -1 |      |      |      |      |      |
```

Rajatingimusteks sõlmedes on:

- piki- ja põiksiirete ning paindenurkade pidevusvõrrandid;
- piki- ja põikjõudude ning paindemomentide tasakaaluvõrrandid. Kui sõlmes on toe-reaktsioonid, võetakse need arvesse tasakaaluvõrrandites;
- toetingimused.

Rajatingimuste määramist saame jälgida programmi väljavõttes 5.3.

Väljavõte programmist 5.3 (NaideRaam1det.m)

```
## Pidevustingimused
#sõlm2 (u, w fi)
spA=spInsertBtoA (spA, 19, 7, spTM1); spA=spInsertBtoA (spA, 19, 13, spTM2m);
```

```

#
#sölm3 (u, w fi)
spA=spInsertBtoA(spA, 22, 19, spTM2); spA=spInsertBtoA(spA, 22, 25, spTM3m);
#
## Tasakaalutingimused
#sölm1 (N, Q, M)
spA=spInsertBtoA(spA, 25, 4, spTM1); spA=spSisestaArv(spA, 25, 37, -1); # C1
# C2
# C3
spA=spSisestaArv(spA, 26, 38, -1);
spA=spSisestaArv(spA, 27, 39, -1);

#sölm2 (N, Q, M)
spA=spInsertBtoA(spA, 28, 10, spTM1);
spA=spInsertBtoA(spA, 28, 16, spTM2);
#sölm3 (N, Q, M)
spA=spInsertBtoA(spA, 31, 22, spTM2);
spA=spInsertBtoA(spA, 31, 28, spTM3);
#
#sölm4 (N, Q, M)
spA=spInsertBtoA(spA, 34, 34, spTM3); spA=spSisestaArv(spA, 34, 40, -1); # C4
# C5
# C6
spA=spSisestaArv(spA, 35, 41, -1);
spA=spSisestaArv(spA, 36, 42, -1);

#
# Toetingimused
#sölm1
spA=spSisestaArv(spA, 37, 1, 1); # u
spA=spSisestaArv(spA, 38, 2, 1); # w
spA=spSisestaArv(spA, 39, 3, 1); # fi
#sölm4
spA=spSisestaArv(spA, 40, 31, 1); # u
spA=spSisestaArv(spA, 41, 32, 1); # w
spA=spSisestaArv(spA, 42, 33, 1); # fi

%% 42 võrrandit

```

Rajatingimuste koostamisel arvestame, et programm `spInsertBtoA(spA,IV,Jv,spTM)` lisab võrrandisüsteemi maatriksi `spTM`, milles on kolm rida:

```
spTMN =
```

```
Compressed Column Sparse (rows = 3, cols = 3, nnz = 3 [33%])
```

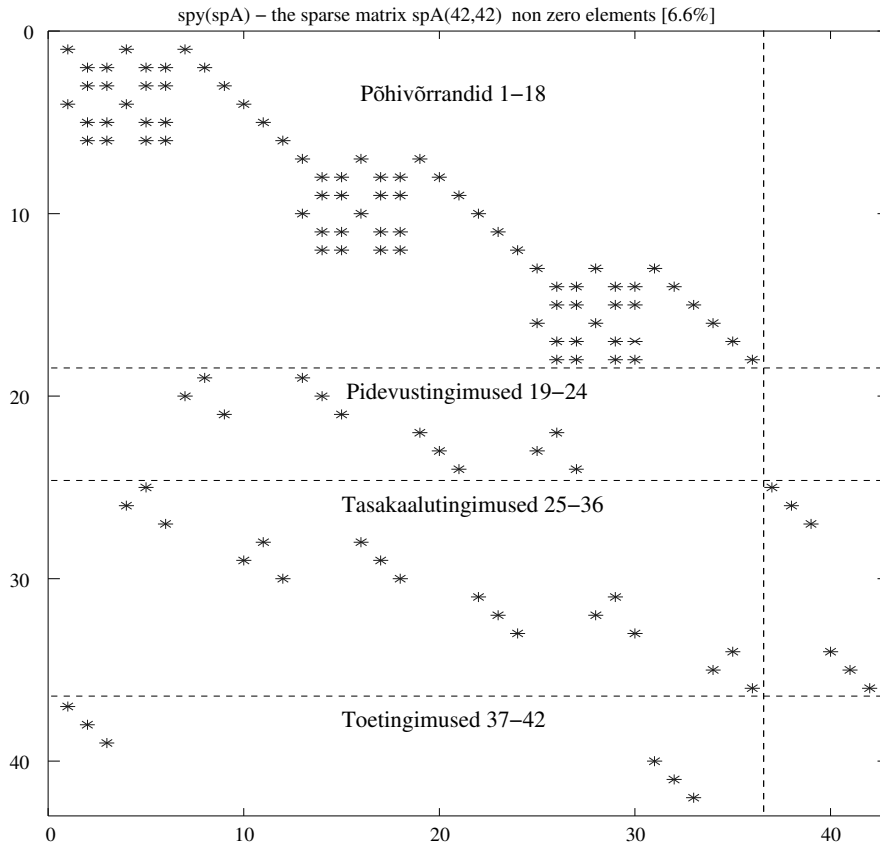
Võrrandisüsteemil (5.21) on nüüd 42 võrrandit 42 tundmatuga, kus nullist erinevaid elemente on 120 (6.8%) (jn 5.5):

```
spA =
```

```
Compressed Column Sparse (rows = 42, cols = 42, nnz = 120 [6.8%])
```

Võrrandisüsteemi tundmatute kordajate maatriksi `spA` muster on joonisel 5.5.

GNU Octave'i programmiga `NaideRaam1det.m` arvutame hõreda võrrandisüsteemi (5.21) determinandi nullide asukohad sõltuvana sagedusest ω (jn 5.6).

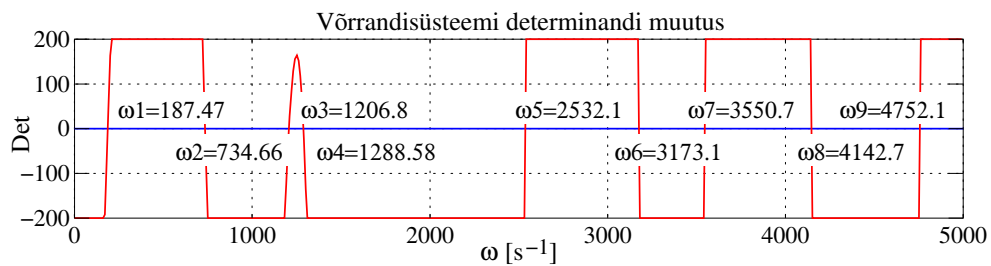


Joonis 5.5. Jäikade sõlmedega põikraami maatriksi spA muster

Leitud omavõnkesagedused ω_i (jn 5.6) teisendame sagedusvõrrandi mõõduta juurteks $\lambda_i = \kappa_i \ell$ (vt seosed (3.72), (3.73)):

antisümmeetrilisel võnkumisel		sümmeetrilisel võnkumisel	
$\omega_1 = 1.8747 \times 10^2 \text{ s}^{-1}$	$\lambda_1 = 1.7892$	$\omega_2 = 7.3466 \times 10^2 \text{ s}^{-1}$	$\lambda_2 = 3.5419$
$\omega_3 = 1.2068 \times 10^3 \text{ s}^{-1}$	$\lambda_3 = 4.5396$	$\omega_4 = 1.2885 \times 10^3 \text{ s}^{-1}$	$\lambda_4 = 4.6907$
$\omega_5 = 2.5321 \times 10^3 \text{ s}^{-1}$	$\lambda_5 = 6.5756$	$\omega_6 = 3.1731 \times 10^3 \text{ s}^{-1}$	$\lambda_6 = 7.3611$
$\omega_7 = 3.5507 \times 10^3 \text{ s}^{-1}$	$\lambda_7 = 7.7867$	$\omega_8 = 4.1427 \times 10^3 \text{ s}^{-1}$	$\lambda_8 = 8.4108$
$\omega_9 = 4.7521 \times 10^3 \text{ s}^{-1}$	$\lambda_9 = 9.0082$		

(5.24)



Joonis 5.6. Jäikade sõlmedega põikraami omavõnkesagedused

Tabelis 5.1 võrreldakse jäikade sõlmedega põikraami omavõnkesagedusi, mis on arvatud EST-meetodiga Bernoulli ja Timošenko teooria järgi (NaideRaamTim1det.m). Raami riivi ristlõike kõrguse h ja riivi pikkuse ℓ suhe $h/\ell = 0.066667$.

Tabel 5.1. Jäikade sõlmedega põikraami omavõnkesagedused

Omavõnkesagedus	EST-meetod			
	Bernoulli teooria		Timošenko teooria	
	ω [s^{-1}]	λ	ω [s^{-1}]	λ
1.	187.470176	1.789217	186.302385	1.783635
2.	734.661871	3.541935	725.891843	3.520731
3.	1206.795708	4.539560	1181.350212	4.491446
4.	1288.468304	4.690658	1254.196110	4.627854
5.	2532.096969	6.575625	2451.428984	6.470034
6.	3173.115157	7.361050	3020.809035	7.182217
7.	3550.662010	7.786666	3371.010949	7.587120
8.	4142.694380	8.410820	4085.995799	8.353065
9.	4752.085628	9.008221	4677.159620	8.936922

Tabelis tähistab λ sagedusvõrrandi mõõduta juurt:

$$\lambda_i = \sqrt{\omega_i} \left(\frac{\rho A}{EI} \right)^{1/4} \ell \quad (5.25)$$

Omavõnkesageduse $\omega_1 = 1.8747 \times 10^2 s^{-1}$ võrdlemiseks raamatus [TD97, lk 308] lõplike elementide meetodil leituga ($\omega_1 = 3.21 \sqrt{EI/(m\ell^4)}$) kasutame seost (3.72). Võrdluses EST-meetodi abil leitud täpse esimese omavõnkesagedusega $\omega_1 = \lambda_1^2 \sqrt{EI/(m\ell^4)} = 1.7892^2 \sqrt{EI/(m\ell^4)} = 3.2012 \sqrt{EI/(m\ell^4)}$ võib viidatud raamatus pakutut $3.21 \sqrt{EI/(m\ell^4)}$ pidada vastuvõetavaks. Järgnevad lõplike elementide meetodiga leitud omavõnkesagedused erinevad täpsetest veelgi enam – adekvaatsete tulemuste saamiseks tuleks suurendada raami elementide ja masspunktide arvu.

Võrdlemaks EST-meetodiga arvatatud täpseid omavõnkesagedusi deformatsioonimeetodi abil leitud vaata, milliseid piiranguid tehakse jäikade sõlmedega põikraami vabavõnkumise uurimisel riivi sõlmede (vt sõlm 2 ja 3, jn 5.3) siiretele u_i , w_i ning paindenurkadele φ_i :

- antisümmeetrilisel võnkumisel $u_2 = u_3$, $w_2 = -w_3$, $\varphi_2 = \varphi_3$ [Now63, lk 167];
- sümmeetrilisel võnkumisel $u_2 = -u_3$, $w_2 = w_3$, $\varphi_2 = -\varphi_3$ [Now63, lk 166].

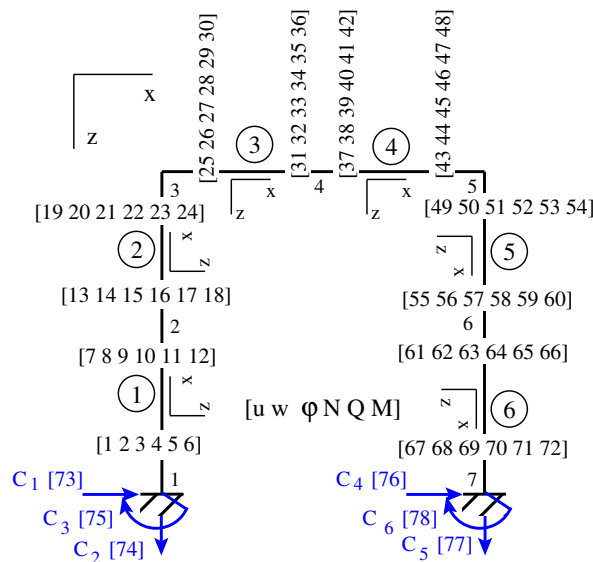
Tehes sümmeetrilise võnkumise arvutamisel täiendavaid lihtsustusi (siirded $u_2 = -u_3 = 0$, $w_2 = w_3 = 0$ [Now63, lk 168]), ei arvestata raami riivi ja postide pikideformatsioone. Nende lihtsustustega valemi (B.18) [Kis64, lk 181] järgi arvutades saame GNU Octave'i

programmiga **NaideSymRaam1det.m** sümmeetrilise võnkumise omavõnkesageduse karakteristikuteks $\lambda_2 = \kappa_2 \ell = 3.5564$, $\lambda_4 = \kappa_4 \ell = 4.7300$ ja $\lambda_6 = \kappa_6 \ell = 7.4295$. Karakteristikud λ_2 ja λ_6 vastavad viidatud raamatus toodutele ($\lambda_2 = 3.556$, $\lambda_6 \approx 7.43$).

GNU Octave'i programmiga **NaideRaam1det.m** arvatades suurendame raami riivi ja postide pikideformatsioonidest loobumiseks riivi ja postide pikijäikusi, näiteks $EAr = EA_p = 4.5036 \times 10^{15}$. Pikideformatsioonide puudumisel saame sümmeetrilise võnkumise omavõnkesagedusteks $\omega_2 = 7.4068 \times 10^2 \text{ s}^{-1}$ ($\lambda_2 = \kappa_2 \ell = 3.5564$), $\omega_4 = 1.3102 \times 10^3 \text{ s}^{-1}$ ($\lambda_4 = \kappa_4 \ell = 4.7300$) ja $\omega_6 = 3.2324 \times 10^3 \text{ s}^{-1}$ ($\lambda_6 = \kappa_6 \ell = 7.4295$). Tulemus $\lambda_2 = 3.5564$ ühtib raamatutes [Kis64, lk 181], [Now63, lk 168], [Now74, lk 246] ja [BL63, lk 222] esitatud sagedusvõrrandi mõõduta juurtega. Pikideformatsioonide puudumisel saab sagedusvõrrandi juuri töös [BL63, lk 222] toodud valemitega arvutada programmiga **SymRaamDet.m**.

Sümmeetrilise võnkumise täpne esimene omavõnkesagedus on $\omega_2 = 7.3466 \times 10^2 \text{ s}^{-1}$ ($\lambda_2 = \kappa_2 \ell = 3.5419$).

Jäikade sõlmedega põikraami (jn 5.3) omavõnkevormide leidmiseks suurendame raami varraste elementide arvu (jn 5.7).



Joonis 5.7. Jäikade sõlmedega põikraami muutujate muudetud järjenumbriid

GNU Octave'i programmiga **NaideRaam1Bdet.m** leiame põikraami omavõnkevormid (jn 5.8). Põikraami muutujate muudetud järjenumbritega omavõnkesageduste arvutamiseks on koostatud GNU Octave'i programm **NaideRaam1Adet.m**. Võrrandisüsteemi determinandi märgi saab siin muuta vastupidiseks, kui vahetada omavahel kaks rida. Leitud omavõnkesagedused on võrdsed avaldistes (5.24) esitatutega.

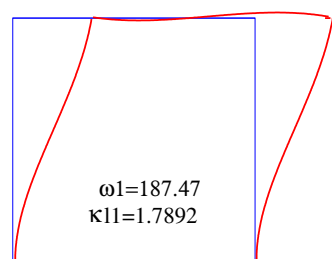
Põikraami omavõnkesagedusele ω_i vastava omavõnkevormi leidmisel viiakse programmis võrrandisüsteemi (5.21) i-s veerg paremale poolele. Elementide pikkused $h_1 = h_2 = 1.5 \text{ m}$ ja $l_1 = l_2 = 1.5 \text{ m}$.

Viienda omavõnkevormi leidmisel muudame pikkusi: $l_1 = 2.25$ m ja $l_2 = 0.75$ m. Kuuenda omavõnkevormi leidmiseks kasutame pikkusi $h_1 = 0.75$ m ja $h_2 = 2.25$ m.

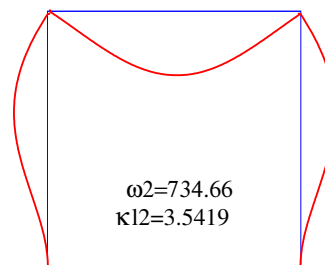
Võnkevorm	ω_i [s^{-1}]	Paremale poolele	Elementide pikkused
1	187.47	veerg 20	
2	734.66	veerg 32	
3	1206.8	veerg 56	
4	1288.58	veerg 56	
5	2532.1	veerg 56	$l_1 = 2.25$ m, $l_2 = 0.75$ m
6	3173.1	veerg 56	$h_1 = 0.75$ m, $h_2 = 2.25$ m

(5.26)

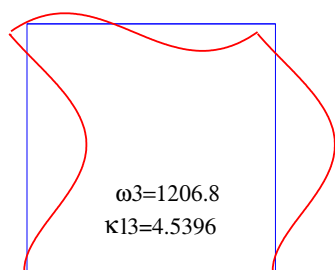
Lahendanud hõreda võrrandisüsteemi vähimruutude meetodiga, valime lahendist algarameetrid. Algarameetritega leitud põiksiire on kujutatud joonisel 5.8.



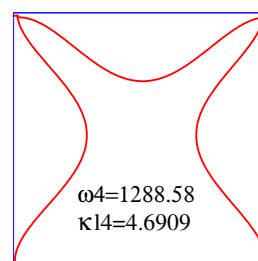
(a) Omavõnkevorm 1. sagedusel
 $\omega_1 = 1.8747 \times 10^2 s^{-1}$



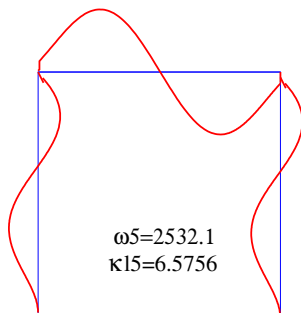
(b) Omavõnkevorm 2. sagedusel
 $\omega_2 = 7.3466 \times 10^2 s^{-1}$



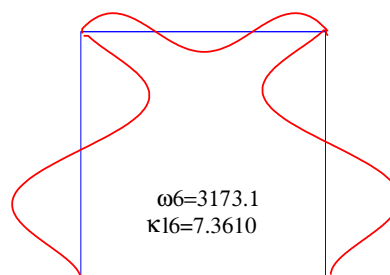
(c) Omavõnkevorm 3. sagedusel
 $\omega_3 = 1.2068 \times 10^3 s^{-1}$



(d) Omavõnkevorm 4. sagedusel
 $\omega_4 = 1.28858 \times 10^3 s^{-1}$



(e) Omavõnkevorm 5. sagedusel
 $\omega_5 = 2.5321 \times 10^3 s^{-1}$

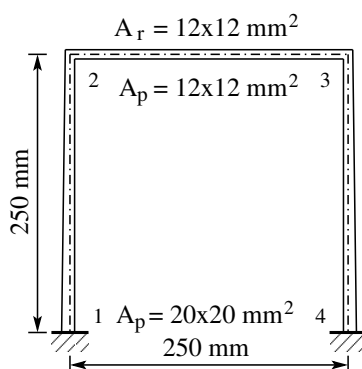


(f) Omavõnkevorm 6. sagedusel
 $\omega_6 = 3.1731 \times 10^3 s^{-1}$

Joonis 5.8. Jäikade sõlmedega põikraami omavõnkevormid

EST-meetodiga arvatatud sümmeetrilise võnkumise esimeseks omavõnkesageduse karakteristikuks saame $\kappa_2 \ell = 3.5419$, mis erineb deformatsioonimeetodil lihtsustustega leitud $\kappa_2 \ell = 3.556$.

Näide 5.2 (muutuva ristlõikega põikraami vabavõnkumine). Leida joonisel 5.9 kujutatud raami omavõnkesagedused ja -vormid.



Joonis 5.9. Muutuva ristlõikega põikraam

Andmed. Nii raami ava kui ka postide pikkuseks on 250 mm. Raami riivi ristlõige on ruudukujuline mõõtmetega 12×12 mm. Riivi ristlõige ei muutu. Postide ruudukujuline ristlõige muutub lineaarselt. Ristlõike mõõtmed raami kannas on 20×20 mm ja posti ülemises otsas 12×12 mm. Materjali elastsusmoodul $E = 200$ GPa, tihedus $\rho = 7.850 \times 10^3$ kg/m³s⁻¹, Poissoni³ tegur $\nu = 0$ (cf. [Tat13, lk 17]). Nihkeelastsusmoodul $G = E/2(1 + \nu) = E/2$ ja kujutegur $k_T = (5 + 5\nu)/(6 + 5\nu) = 5/6$ [Hut01].

Lahendus. Muutuva ristlõikega postide asemel valime astmeliselt muutuvad postid. Postide jagamisel elementideks vaatleme kahte juhtu:

- post on jagatud viieks võrdseks elemendiks ($h/\ell = 20/50 = 1/2.5$);
- post on jagatud kümneks võrdseks elemendiks ($h/\ell = 20/25 = 1/1.25$).

Kõrge tala omavõnkesageduste määramiseks valime Timošenko paindeteooria. Algpäraste leidmiseks koostame EST-meetodi võrrandisüsteemi

$$\text{spA} \cdot \mathbf{Z} = \mathbf{B} \quad (5.27)$$

kus \mathbf{Z} on võrrandisüsteemi tundmatute vektor.

Vektori komponentideks on piki- ja põiksiirded, paindenurgad, piki- ja põikjõud, paindemomendid varraste alguses ja lõpus (5.2) ning toereaktsioonid:

³Siméon Denis Poisson (1781–1840), prantsuse füüsik ja matemaatik.

$$\mathbf{Z} = \begin{bmatrix} Z(1,1) \\ Z(2,1) \\ Z(3,1) \\ Z(4,1) \\ Z(5,1) \\ Z(6,1) \\ \dots \\ Z(145,1) \\ Z(146,1) \\ Z(147,1) \\ Z(148,1) \\ Z(149,1) \\ Z(150,1) \end{bmatrix} = \begin{bmatrix} u_A^{(1)} \\ w_A^{(1)} \\ \varphi_A^{(1)} \\ N_A^{(1)} \\ Q_A^{(1)} \\ M_A^{(1)} \\ \dots \\ C(1,1) \\ C(2,1) \\ C(3,1) \\ C(4,1) \\ C(5,1) \\ C(6,1) \end{bmatrix} \quad (5.28)$$

Muutujate järjenumbrid varraste otstes ja toereaktsioonide järjenumbrid on näidatud programmi väljavõtetes 5.4 ja 5.5.

Väljavõte programmist 5.4 (NaideRaamKVTim5det.m)

```

%=====
% Muutujate järjenumbrid. Ristlõike jäikus
% Sõlme number varda alguses ja lõpus
%=====
selemj1=...
 [1  2  3  4  5  6  7  8  9 10 11 12 EIp1 1 2 ;      % varras 1
 13 14 15 16 17 18 19 20 21 22 23 24 EIp2 2 3 ;      % varras 2
 25 26 27 28 29 30 31 32 33 34 35 36 EIp3 3 4 ;      % varras 3
 37 38 39 40 41 42 43 44 45 46 47 48 EIp4 4 5 ;      % varras 4
 49 50 51 52 53 54 55 56 57 58 59 60 EIp5 5 6 ;      % varras 5
 61 62 63 64 65 66 67 68 69 70 71 72 EIr 6 7 ;      % varras 6 - riiv
 73 74 75 76 77 78 79 80 81 82 83 84 EIr 7 8 ;      % varras 7 - riiv
 85 86 87 88 89 90 91 92 93 94 95 96 EIp5 8 9 ;      % varras 8
 97 98 99 100 101 102 103 104 105 106 107 108 EIp4 9 10 ;      % varras 9
109 110 111 112 113 114 115 116 117 118 119 120 EIp3 10 11 ;      % varras 10
121 122 123 124 125 126 127 128 129 130 131 132 EIp2 11 12 ;      % varras 11
133 134 135 136 137 138 139 140 141 142 143 144 EIp1 12 13 ];      % varras 12
%=====

```

Väljavõte programmist 5.5 (NaideRaamKVTim5det.m)

```

%=====
% Toereaktsioonid
%=====
#sõlm 1
spAnull=spInsertBtoA(spAnull,145,4,spTM1);      % varda 1 suunakoosinused
spAnull=spSisestaArv(spAnull,145,145,-1);      #
spAnull=spSisestaArv(spAnull,146,146,-1);      #
spAnull=spSisestaArv(spAnull,147,147,-1);      #
#sõlm 13
spAnull=spInsertBtoA(spAnull,148,142,spTM12);  % varda 12 suunakoosinused

```

```

spAnull=spSisestaArv(spAnull,148,148,-1); #
spAnull=spSisestaArv(spAnull,149,149,-1); #
spAnull=spSisestaArv(spAnull,150,150,-1); #
%=====

```

Varda 1 ja 12 suunakoosinused esitame arvutuspäeviku väljavõttes [5.2](#).

Väljavõte arvutuspäevikust 5.2 (NaideRaamKVTim5det.m)

```

spTM1 =

Compressed Column Sparse (rows = 3, cols = 3, nnz = 3 [33%])

(2, 1) -> -1
(1, 2) -> 1
(3, 3) -> 1
...
...
spTM12 =

Compressed Column Sparse (rows = 3, cols = 3, nnz = 3 [33%])

(2, 1) -> 1
(1, 2) -> -1
(3, 3) -> 1

```

Võrrandisüsteemi ([5.27](#)) 72 esimest võrrandit on põhivõrrandid ([5.3](#)), kus kasutame laiendatud ülekandemaatriksit ([5.11](#)). See koostatakse GNU Octave'i funktsiooniga [spraam-TimylekM.m](#).

Edasi moodustatakse sõlmede pidevus- ja tasakaaluvõrrandid. Kasutades suunakoosinusi ([A.10](#)), koostame need võrrandid üldteljestikus.

Ülejäänud kuus võrrandit on toetingimused (vt programmi väljavõte [5.6](#)).

Väljavõte programmist 5.6 (NaideRaamKVTim5det.m)

```

%=====
% Toetingimused
%=====
#sõlm 1
spAnull=spSisestaArv(spAnull,139,1,1); # siire u = 0
spAnull=spSisestaArv(spAnull,140,2,1); # siire w = 0
spAnull=spSisestaArv(spAnull,141,3,1); # paindenurk = 0
#sõlm 13
spAnull=spSisestaArv(spAnull,142,139,1); # siire u = 0
spAnull=spSisestaArv(spAnull,143,140,1); # siire w = 0
spAnull=spSisestaArv(spAnull,144,141,1); # paindenurk = 0
%=====

```

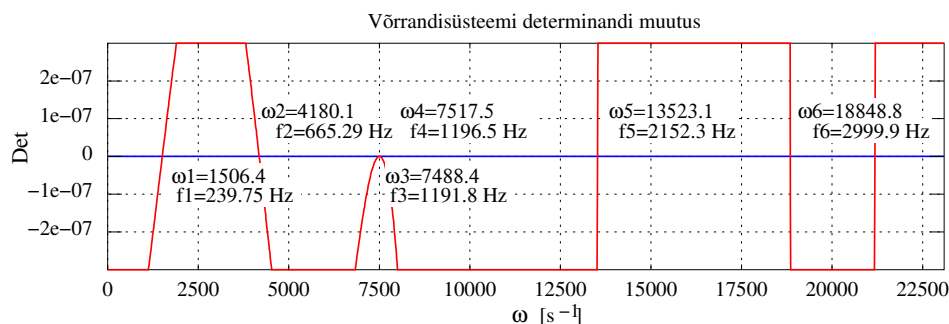
Võrrandisüsteemil ([5.27](#)) on nüüd 150 võrrandit 150 tundmatuga, kus nullist erinevaid elemente on 462 (2.1%):

```

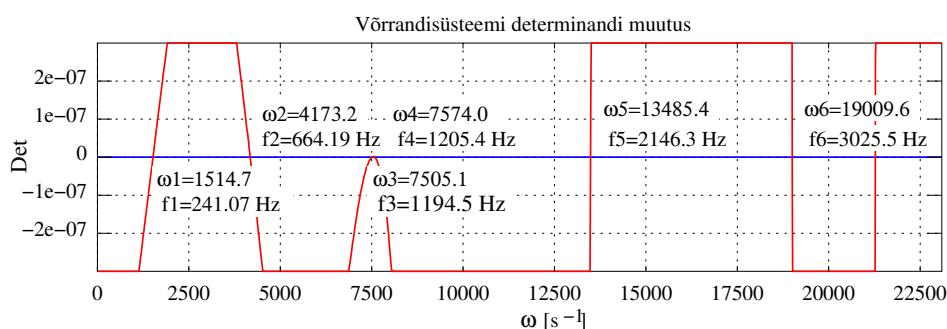
Compressed Column Sparse (rows = 150, cols = 150, nnz = 462 [2.1%])

```

GNU Octave'i programmidega [NaideRaamKVTim5det.m](#) ja [NaideRaamKVTim10det.m](#) leiame muutuva ristlõikega põikraami omavõnkesagedused (jn 5.10).



(a) Raami post on jagatud viieks võrdseks elemendiks



(b) Raami post on jagatud kümneks võrdseks elemendiks

Joonis 5.10. Muutuva ristlõikega põikraami omavõnkesagedused

Tabelis 5.2 on toodud muutuva ristlõikega põikraami omavõnkesagedused EST-meetodi ja LEM-programmi abil arvatuna [Tat13, lk 18] ning katses määratuna [Tat13, lk 23]. Viidatud töös oli raam lõplike elementide meetodiga (ANSYS Solid45) arvatades jagatud 2228 ruumiliseks elemendiks.

Tabel 5.2. Muutuva ristlõikega põikraami omavõnkesagedused

Omavõnkesagedus	EST-meetod. Timošenko teooria			
	11 elementi		21 elementi	
	ω [s ⁻¹]	f [Hz]	ω [s ⁻¹]	f [Hz]
1.	1506.4	239.75	1514.7	241.07
2.	4180.1	665.29	4173.2	664.19
3.	7488.4	1191.8	7505.1	1194.5
4.	7517.5	1196.5	7574.0	1205.4
5.	13523.1	2152.3	13485.4	2146.3
6.	18848.8	2999.9	19009.6	3025.5

Tabelist 5.3 selgub, et EST-meetodiga leitud muutuva ristlõikega põikraami omavõnkesagedused erinevad vähe LEM-programmi abil arvatutest ja katses määratudest [Tat13, lk 18, 23].

Tabel 5.3. EST-meetodiga arvatud ja katses leitud omavõnkesageduste erinevus

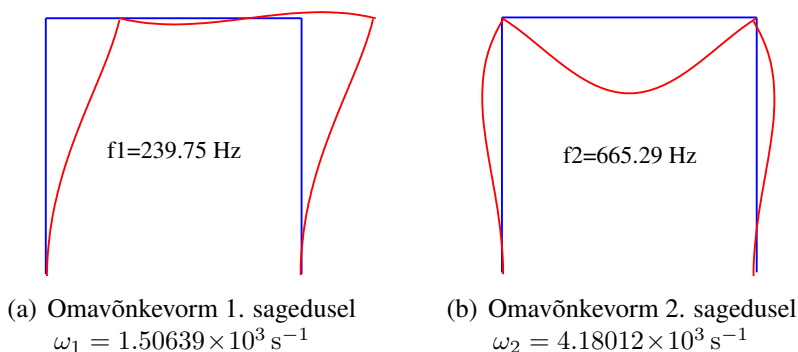
Omavõnkesagedus	EST-meetod. Timošenko teooria					
	11 elementi			21 elementi		
	Sagedus f [Hz]	Erinevus LEMist %	Erinevus katsest %	Sagedus f [Hz]	Erinevus LEMist %	Erinevus katsest %
1.	239.75	1.69	0.93	241.07	1.14	0.38
2.	665.29	0.67	0.41	664.19	0.83	0.57
3.	1191.8	1.72	1.91	1194.5	1.49	1.69
4.	1196.5	2.34	2.33	1205.4	1.62	1.60
5.	2152.3	1.42	1.72	2146.3	1.69	2.00
6.	2999.9	1.89	15.26	3025.5	1.05	14.53

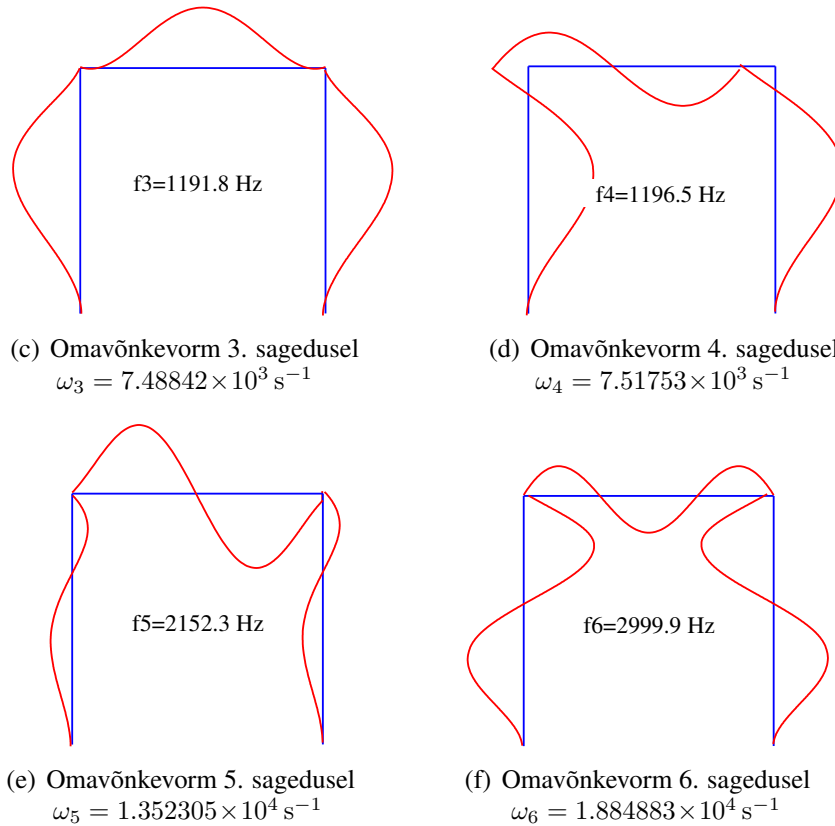
Muutuva ristlõikega põikraami omavõnkevormide leidmisel on vastava omavõnkesageduse puhul võrrandisüsteemi (5.27) determinandi väärtus null. Esimese omavõnkesageduse puhul viime võrrandisüsteemi veeru 56 paremale poolele ja võrdsustame ühega. Järgnevate omavõnkesageduste puhul on võrrandisüsteemi paremale poolele viidavate veergude järjenumbrid 68, 116, 116, 68 ja 104.

Pärast hõreda võrrandisüsteemi lahendamist vähimruutude meetodiga saame lahendist valida algparameetrid.

Raami omavõnkesagedusele vastavate siirete leidmisel kasutame ülekandemaatriksit (GNU Octave'i funktsioon `raamTimylekM.m`).

Valides GNU Octave'i programmis `NaideRaamKVTim5Bvormid.m` ühe omavõnkesagedustest $\omega_1 = 1506.39 \text{ s}^{-1}$, $\omega_2 = 4180.12 \text{ s}^{-1}$, $\omega_3 = 7488.42 \text{ s}^{-1}$, $\omega_4 = 7517.53 \text{ s}^{-1}$, $\omega_5 = 13523.05 \text{ s}^{-1}$ ja $\omega_6 = 18848.83 \text{ s}^{-1}$, saame vastava omavõnkevormi. Omavõnkevormid leiab jooniselt 5.11.





Joonis 5.11. Muutuva ristlõikega pöikraami omavõnkevormid

5.3 Raami sundvõnkumine

Jäikade sõlmedega pöikraami (jn 5.3) sundvõnkumist uurime kahes osas:

- antisümmeetriline sundvõnkumine, vt jaotis 5.3.2,
- sümmeetriline sundvõnkumine, vt jaotis 5.3.3.

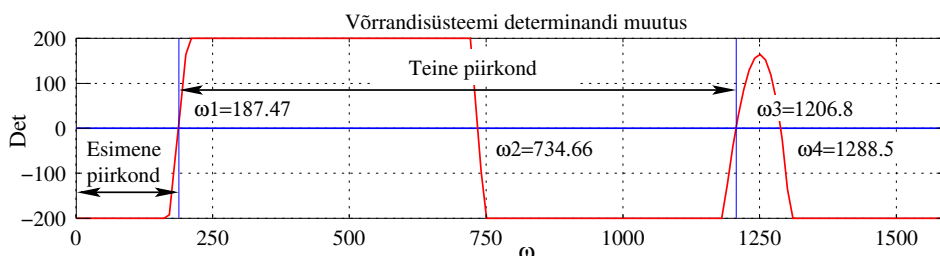
Antisümmeetrilist sundvõnkumist vaatleme kahes piirkonnas (jn 5.12a):

$$- 0 < \omega < \omega_1 \quad \text{ja} \quad \omega_1 < \omega < \omega_3.$$

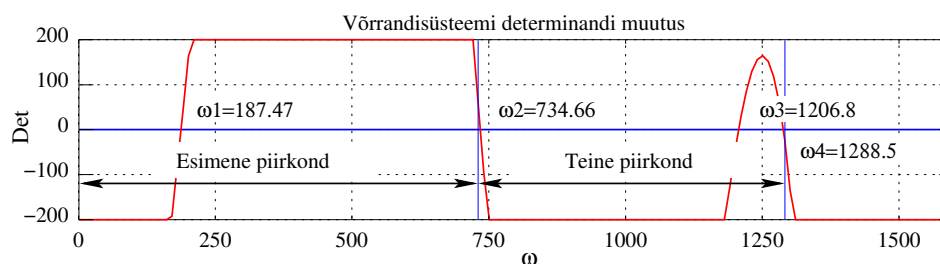
Ka sümmeetrilist sundvõnkumist vaatleme kahes piirkonnas (jn 5.12b):

$$- 0 < \omega < \omega_2 \quad \text{ja} \quad \omega_2 < \omega < \omega_4.$$

Staatilisel koormusel tekkivaid siirdeid ja sisejõude (vt jaotis 5.3.1) võrdleme dünaamilisest koormusest tingitud siirete ja sisejõududega.



(a) Antisümmeetrilise sundvõnkumise piirkonnad



(b) Sümmeetrilise sundvõnkumise piirkonnad

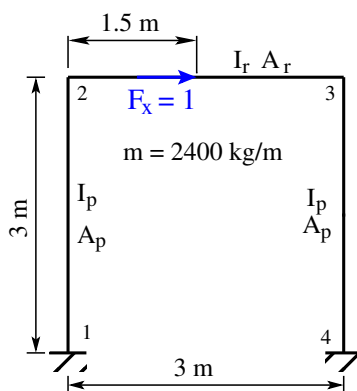
Joonis 5.12. Sundvõnkumise piirkonnad

5.3.1 Raami staatiline koormamine

Leiame raami siirded ja sisejõud ning koostame nende epüürid antisümmeetrilisel (näide 5.3) ja sümmeetrilisel (näide 5.4) koormamisel.

Näide 5.3 (jäikade sõlmedega põikraami antisümmeetriline staatiline koormamine).

Leida joonisel 5.13 kujutatud raami piki- ja põiksiirded, paindenurgad, piki- ja põikjõud, paindemomendid ning toereaktsioonid.

Joonis 5.13. Jäikade sõlmedega põikraam koormusega $F_x = 1 \text{ N}$

Andmed. Nii raami ava kui ka postide pikkuseks on 3 m. Elastsusmoodul $E = 200 \text{ GPa}$. Raami riivi ja postide lausmass $m = 2400 \text{ kg/m}$. Riivi ja posti ristlõiked on ühesugused. Ristlõike kõrgus $h = 20 \text{ cm}$ ja laius $b = 20 \text{ cm}$.

Lahendus. Algpameetrite leidmiseks koostame EST-meetodi võrrandisüsteemi

$$spA \cdot Z = B \quad (5.29)$$

kus \mathbf{Z} on võrrandisüsteemi tundmatute vektor.

Vektori komponentideks on piki- ja põiksiirded, paindenurgad, piki- ja põikjõud, paindemomendid varraste alguses ja lõpus (5.2) ning toereaktsioonid. Muutujate järjenumbrid varraste otstes tõime joonisel 5.7.

Jäikade sõlmedega põikraami (jn 5.13) antisümmeetrilisest staatilisest koormusest tekki- vate piki- ja põiksiirete, paindenurkade, piki- ja põikjõudude, paindemomentide ning toereaktsioonide arvutamiseks kasutame GNU Octave'i programmi [NaideRaam1CwMFXstaatika.m](#).

Arvutuspäeviku väljavõttes 5.3 on esitatud staatilisel koormusel $F_x = 1$ N arvutatud siir- ded ja sisejõud, joonisel 5.14 on nende epüürid. Tabelis 5.4 toome vaadeldava põikraami toereaktsioonid.

Tabel 5.4. Jäikade sõlmedega põikraami toereaktsioonid staatilisel koormusel $F_x = 1$ N

Toereaktsioon (jn 5.7)	Staatilisel koormusel	Toereaktsioon (jn 5.7)	Staatilisel koormusel
C_1 [N]	$-0.50000F_x$	C_4 [N]	$-0.50000F_x$
C_2 [N]	$0.42803F_x$	C_5 [N]	$-0.42803F_x$
C_3 [Nm]	$0.85796F_x$	C_6 [Nm]	$0.85796F_x$

Väljavõte arvutuspäevikust 5.3 ([NaideRaam1CwMFXstaatika.m](#))

```
1. element
h1 = 1.5000
Nmitmeks = 4
```

```

x=      0.00      0.38      0.75      1.12      1.50
u -    0.000e+00    2.006e-11    4.013e-11    6.019e-11    8.026e-11
w -    0.000e+00    2.097e-09    7.730e-09    1.591e-08    2.565e-08
fi -    0.000e+00   -1.075e-08   -1.886e-08   -2.433e-08   -2.717e-08
N -    4.280e-01    4.280e-01    4.280e-01    4.280e-01    4.280e-01
Q -    5.000e-01    5.000e-01    5.000e-01    5.000e-01    5.000e-01
M -   -8.580e-01   -6.705e-01   -4.830e-01   -2.955e-01   -1.080e-01
```

```
2. element
h2 = 1.5000
Nmitmeks = 4
```

```

x=      0.00      0.38      0.75      1.12      1.50
u -    8.026e-11    1.003e-10    1.204e-10    1.404e-10    1.605e-10
w -    2.565e-08    3.596e-08    4.584e-08    5.432e-08    6.041e-08
fi -   -2.717e-08   -2.737e-08   -2.493e-08   -1.986e-08   -1.215e-08
N -    4.280e-01    4.280e-01    4.280e-01    4.280e-01    4.280e-01
Q -    5.000e-01    5.000e-01    5.000e-01    5.000e-01    5.000e-01
M -   -1.080e-01    7.954e-02    2.670e-01    4.545e-01    6.420e-01
```

3. element
 l1 = 1.5000
 Nmitmeks = 4

x=	0.00	0.38	0.75	1.12	1.50
u -	6.041e-08	6.043e-08	6.045e-08	6.048e-08	6.050e-08
w -	-1.605e-10	2.842e-09	3.306e-09	2.076e-09	-3.309e-24
fi -	-1.215e-08	-4.245e-09	1.398e-09	4.784e-09	5.912e-09
N -	5.000e-01	5.000e-01	5.000e-01	5.000e-01	5.000e-01
Q -	-4.280e-01	-4.280e-01	-4.280e-01	-4.280e-01	-4.280e-01
M -	6.420e-01	4.815e-01	3.210e-01	1.605e-01	0.000e+00

4. element
 l2 = 1.5000
 Nmitmeks = 4

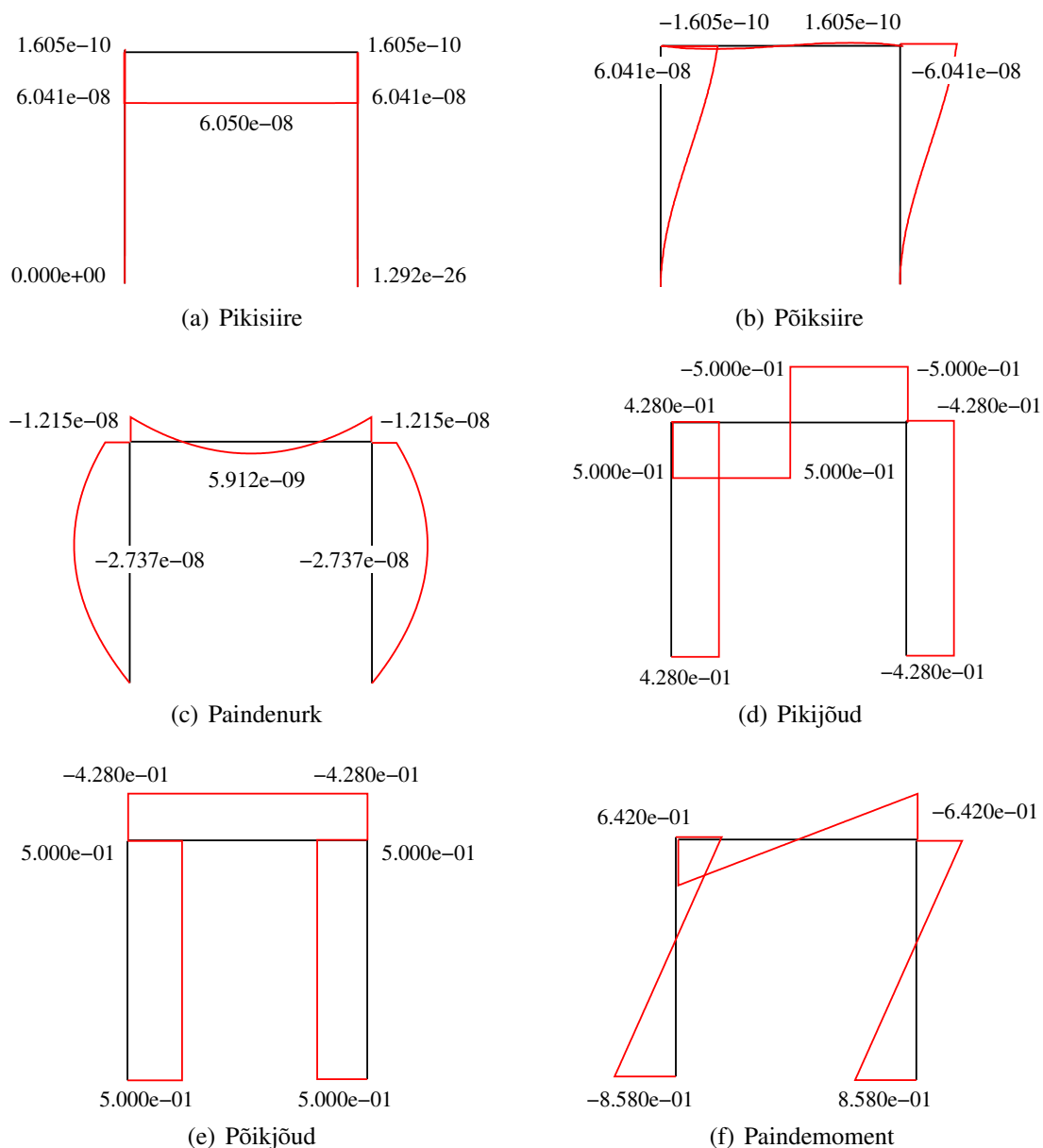
x=	0.00	0.38	0.75	1.12	1.50
u -	6.050e-08	6.048e-08	6.045e-08	6.043e-08	6.041e-08
w -	-1.155e-24	-2.076e-09	-3.306e-09	-2.842e-09	1.605e-10
fi -	5.912e-09	4.784e-09	1.398e-09	-4.245e-09	-1.215e-08
N -	-5.000e-01	-5.000e-01	-5.000e-01	-5.000e-01	-5.000e-01
Q -	-4.280e-01	-4.280e-01	-4.280e-01	-4.280e-01	-4.280e-01
M -	2.004e-17	-1.605e-01	-3.210e-01	-4.815e-01	-6.420e-01

5. element
 h2 = 1.5000
 Nmitmeks = 4

x=	0.00	0.38	0.75	1.12	1.50
u -	1.605e-10	1.404e-10	1.204e-10	1.003e-10	8.026e-11
w -	-6.041e-08	-5.432e-08	-4.584e-08	-3.596e-08	-2.565e-08
fi -	-1.215e-08	-1.986e-08	-2.493e-08	-2.737e-08	-2.717e-08
N -	-4.280e-01	-4.280e-01	-4.280e-01	-4.280e-01	-4.280e-01
Q -	5.000e-01	5.000e-01	5.000e-01	5.000e-01	5.000e-01
M -	-6.420e-01	-4.545e-01	-2.670e-01	-7.954e-02	1.080e-01

6. element
 h1 = 1.5000
 Nmitmeks = 4

x=	0.00	0.38	0.75	1.12	1.50
u -	8.026e-11	6.019e-11	4.013e-11	2.006e-11	1.292e-26
w -	-2.565e-08	-1.591e-08	-7.730e-09	-2.097e-09	-8.272e-24
fi -	-2.717e-08	-2.433e-08	-1.886e-08	-1.075e-08	0.000e+00
N -	-4.280e-01	-4.280e-01	-4.280e-01	-4.280e-01	-4.280e-01
Q -	5.000e-01	5.000e-01	5.000e-01	5.000e-01	5.000e-01
M -	1.080e-01	2.955e-01	4.830e-01	6.705e-01	8.580e-01



Joonis 5.14. Jäikade sõlmedega põikraami epüürid staatilisel koormusel $F_x = 1$ N

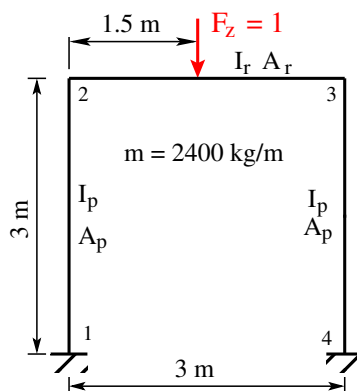
Näide 5.4 (jäikade sõlmedega põikraami sümmeetriline staatiline koormamine). Leida joonisel 5.15 kujutatud raami piki- ja põiksiirded, paindenurgad, piki- ja põikjõud, paindemomendid ning toereaktsioonid.

Andmed. Nii raami ava kui ka postide pikkuseks on 3 m. Elastusmoodul $E = 200$ GPa. Raami riivi ja postide lausmass $m = 2400$ kg/m. Riivi ja posti ristlõiked on ühesugused. Ristlõike kõrgus $h = 20$ cm ja laius $b = 20$ cm.

Lahendus. Algpameetrite leidmiseks koostame EST-meetodi võrrandisüsteemi

$$spA \cdot Z = B \quad (5.30)$$

kus Z on võrrandisüsteemi tundmatute vektor.

Joonis 5.15. Jäikade sõlmedega põikraam koormusega $F_z = 1$ N

Vektori komponentideks on piki- ja põiksiirded, paindenurgad, piki- ja põikjõud, paindemomendid varraste alguses ja lõpus (5.2) ning toereaktsioonid. Muutujate järjenumbrid varraste otstes tõime joonisel 5.7.

Jäikade sõlmedega põikraami (jn 5.15) sümmeetrilisest staatilisest koormusest tingitud piki- ja põiksiirete, paindenurkade, piki- ja põikjõudude, paindemomentide ning toereaktsioonide arvutamiseks kasutame GNU Octave'i programmi [NaideRaam1CwMstaatika.m](#).

Arvutuspäeviku väljavõttes 5.4 on esitatud staatilisest koormusest $F_z = 1$ N tingitud siirete ja sisejõudude arvulised suurused. Joonis 5.16 toob nende epüürid.

Väljavõtte arvutuspäevikust 5.4 ([NaideRaam1CwMstaatika.m](#))

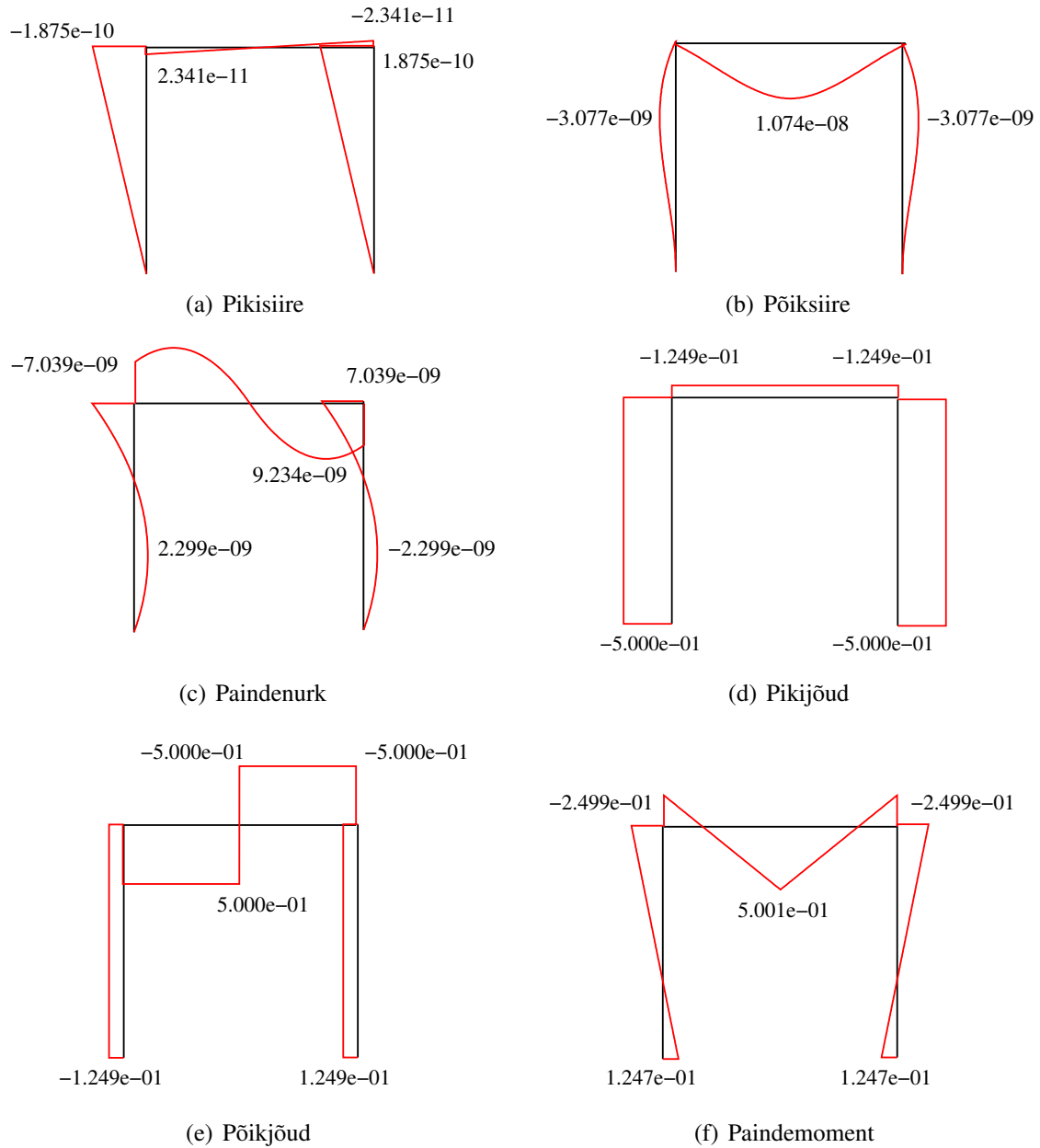
```
1. element
h1 = 1.5000
Nmitmeks = 4
```

x=	0.00	0.38	0.75	1.12	1.50
u -	0.000e+00	-2.344e-11	-4.687e-11	-7.031e-11	-9.375e-11
w -	0.000e+00	-2.877e-10	-9.862e-10	-1.849e-09	-2.628e-09
fi -	0.000e+00	1.425e-09	2.191e-09	2.299e-09	1.748e-09
N -	-5.000e-01	-5.000e-01	-5.000e-01	-5.000e-01	-5.000e-01
Q -	-1.249e-01	-1.249e-01	-1.249e-01	-1.249e-01	-1.249e-01
M -	1.247e-01	7.790e-02	3.108e-02	-1.575e-02	-6.257e-02

```
2. element
h2 = 1.5000
Nmitmeks = 4
```

x=	0.00	0.38	0.75	1.12	1.50
u -	-9.375e-11	-1.172e-10	-1.406e-10	-1.641e-10	-1.875e-10
w -	-2.628e-09	-3.077e-09	-2.950e-09	-1.999e-09	2.341e-11
fi -	1.748e-09	5.390e-10	-1.329e-09	-3.855e-09	-7.039e-09
N -	-5.000e-01	-5.000e-01	-5.000e-01	-5.000e-01	-5.000e-01
Q -	-1.249e-01	-1.249e-01	-1.249e-01	-1.249e-01	-1.249e-01
M -	-6.257e-02	-1.094e-01	-1.562e-01	-2.030e-01	-2.499e-01

```
3. element
l1 = 1.5000
Nmitmeks = 4
```



Joonis 5.16. Jäikade sõlmedega pöikraami epüürid staatilisel koormusel $F_z = 1 \text{ N}$

x=	0.00	0.38	0.75	1.12	1.50
u -	2.341e-11	1.756e-11	1.171e-11	5.853e-12	-3.318e-24
w -	1.875e-10	3.321e-09	6.784e-09	9.586e-09	1.074e-08
fi -	-7.039e-09	-9.234e-09	-8.793e-09	-5.715e-09	0.000e+00
N -	-1.249e-01	-1.249e-01	-1.249e-01	-1.249e-01	-1.249e-01
Q -	5.000e-01	5.000e-01	5.000e-01	5.000e-01	5.000e-01
M -	-2.499e-01	-6.236e-02	1.251e-01	3.126e-01	5.001e-01

4. element
 h2 = 1.5000
 Nmitmeks = 4

x=	0.00	0.38	0.75	1.12	1.50
u -	-3.325e-24	-5.853e-12	-1.171e-11	-1.756e-11	-2.341e-11
w -	1.074e-08	9.586e-09	6.784e-09	3.321e-09	1.875e-10
fi -	2.047e-25	5.715e-09	8.793e-09	9.234e-09	7.039e-09
N -	-1.249e-01	-1.249e-01	-1.249e-01	-1.249e-01	-1.249e-01
Q -	-5.000e-01	-5.000e-01	-5.000e-01	-5.000e-01	-5.000e-01
M -	5.001e-01	3.126e-01	1.251e-01	-6.236e-02	-2.499e-01

5. element
 h2 = 1.5000
 Nmitmeks = 4

x=	0.00	0.38	0.75	1.12	1.50
u -	1.875e-10	1.641e-10	1.406e-10	1.172e-10	9.375e-11
w -	2.341e-11	-1.999e-09	-2.950e-09	-3.077e-09	-2.628e-09
fi -	7.039e-09	3.855e-09	1.329e-09	-5.390e-10	-1.748e-09
N -	-5.000e-01	-5.000e-01	-5.000e-01	-5.000e-01	-5.000e-01
Q -	1.249e-01	1.249e-01	1.249e-01	1.249e-01	1.249e-01
M -	-2.499e-01	-2.030e-01	-1.562e-01	-1.094e-01	-6.257e-02

6. element
 h1 = 1.5000
 Nmitmeks = 4

x=	0.00	0.38	0.75	1.12	1.50
u -	9.375e-11	7.031e-11	4.687e-11	2.344e-11	1.292e-26
w -	-2.628e-09	-1.849e-09	-9.862e-10	-2.877e-10	4.136e-25
fi -	-1.748e-09	-2.299e-09	-2.191e-09	-1.425e-09	4.136e-25
N -	-5.000e-01	-5.000e-01	-5.000e-01	-5.000e-01	-5.000e-01
Q -	1.249e-01	1.249e-01	1.249e-01	1.249e-01	1.249e-01
M -	-6.257e-02	-1.575e-02	3.108e-02	7.790e-02	1.247e-01

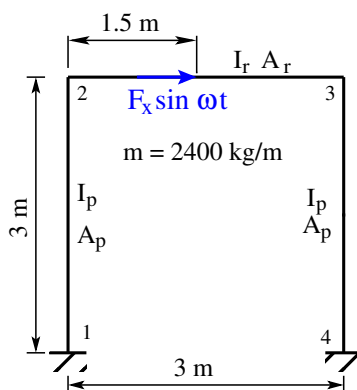
Tabelis 5.5 on esitatud jääkade sõlmedega põikraami toereaktsioonid (jn 5.7) staatilisel koormusel $F_z = 1$ N.

Tabel 5.5. Jääkade sõlmedega põikraami toereaktsioonid staatilisel koormusel $F_z = 1$ N

Toereaktsioon (jn 5.7)	Staatilisel koormusel	Toereaktsioon (jn 5.7)	Staatilisel koormusel
C_1 [N]	$0.12486F_z$	C_4 [N]	$-0.12486F_z$
C_2 [N]	$-0.50000F_z$	C_5 [N]	$-0.50000F_z$
C_3 [Nm]	$-0.12472F_z$	C_6 [Nm]	$0.12472F_z$

5.3.2 Raami antisümmeetriline sundvõnkumine

Näide 5.5 (jäikade sõlmedega põikraami antisümmeetriline sundvõnkumine). Leida joonisel 5.17 kujutatud raami omavõnkesagedused ja -vormid.



Joonis 5.17. Jäikade sõlmedega põikraam antisümmeetrilise koormusega

Andmed. Nii raami ava kui ka postide pikkuseks on 3 m. Elastusmoodul $E = 200 \text{ GPa}$. Raami riivi ja postide lausmass $m = 2400 \text{ kg/m}$. Riivi ja posti ristlõiked on ühesugused. Ristlõike kõrgus $h = 20 \text{ cm}$, ka laius $b = 20 \text{ cm}$.

Lahendus. Algpameetrite leidmiseks koostame EST-meetodi võrrandisüsteemi

$$\text{spA} \cdot \mathbf{Z} = \mathbf{B} \quad (5.31)$$

kus \mathbf{Z} on võrrandisüsteemi tundmatute vektor.

Vektori komponentideks on piki- ja põiksiirded, paindenurgad, piki- ja põikjõud, paindemomendid varraste alguses ja lõpus (5.2) ning toereaktsioonid. Muutujate järjenumbrid varraste otstes on joonisel 5.7. Allpool vaatleme antisümmeetrilisi sundvõnkumisi kahes sageduste ω_i piirkonnas.

- Esimene piirkond kuni esimese omavõnkesageduseni $\omega_1 = 1.8747 \times 10^2 \text{ s}^{-1}$ (omavõnkesageduse karakteristik $\kappa_1 \ell = 1.7892$): siin teeme arvutused sagedustel $7.2216 \times 10 \text{ s}^{-1}$ (lk 230), $1.3627 \times 10^2 \text{ s}^{-1}$ (lk 184) ja $1.8599 \times 10^2 \text{ s}^{-1}$ (lk 232). Vastavad omavõnkesageduse karakteristikud λ on 1.1105, 1.5254 ja 1.7821.
- Teine piirkond ulatub esimesest omavõnkesagedusest $\omega_1 = 1.8747 \times 10^2 \text{ s}^{-1}$ kuni omavõnkesageduseni $\omega_3 = 1.2068 \times 10^3 \text{ s}^{-1}$ (omavõnkesageduse karakteristik $\kappa_3 \ell = 4.5396$), mis on teine antisümmeetrilise võnkumise resonantssagedus. Nüüd teeme arvutused sagedustel $1.8889 \times 10^2 \text{ s}^{-1}$ (lk 187), $7.300 \times 10^2 \text{ s}^{-1}$ (lk 235) ja $1.206 \times 10^3 \text{ s}^{-1}$ (lk 238). Vastavad omavõnkesageduse karakteristikud λ on 1.7960, 3.5307 ja 4.5381.

Antisümmeetrilisel sundvõnkumisel on koormuseks horisontaalne jõud $F_x = 1.0 \text{ N}$. Raami toereaktsioonides võetakse arvesse varrastele mõjuvad inertsjõud $\sum_1^3 \int_0^{\ell_i} m_i \omega^2 u dx$

ja $\sum_1^3 \int_0^{\ell_i} m_i \omega^2 w dx$, kus ℓ_i on varda pikkus; m_i – mass ühikpikkuse kohta; ω – võnkumise nurksagedus; u – pikisiire; w – põiksiire.

Esimeses piirkonnas arvutatakse siirded ja sisejõud sagedusvariantidel 1, 2 ja 3 GNU Octave'i programmiga **NaideRaam1CwMFX.m**. Arvutustulemused leiab arvutuspäeviku väljavõtetest **B.3** (lk 230), **5.6** (lk 184) ja **B.4** (lk 232). Tabelites **B.1**, **5.6** ja **B.2** on esitatud jäikade sõlmedega põikraami toereaktsioonid (jn 5.7). Joonistel **B.9**, **5.19** ja **B.10** on siirete ja sisejõudude epüürid.

Teises piirkonnas arvutatakse siirded ja sisejõud sagedusvariantidel 4, 5 ja 6 GNU Octave'i programmiga **NaideRaam1CwMFX.m**. Arvutustulemused toome arvutuspäeviku väljavõtetes **5.7** (lk 187), **B.5** (lk 235) ja **B.6** (lk 238). Tabelitest **5.7**, **B.3** ja **B.4** leiab jäikade sõlmedega põikraami toereaktsioonid (jn 5.7). Joonistel **5.20**, **B.11** ja **B.12** on siirete ja sisejõudude epüürid.

Jäikade sõlmedega põikraami (jn 5.3) siirdeid ja sisejõude (jn 5.7) antisümmeetrilisel sundvõnkumisel võrdleme staatilisest koormusest tingituiga, need arvutame GNU Octave'i programmiga **NaideRaam1CwMFXstaatika.m**. Arvutuspäeviku väljavõttes **5.3** tuuakse staatilisest koormusest $F_x = 1$ N põhjustatud siirete ja sisejõudude arvulised suurused ning joonisel **5.14** nende epüürid. Tabel **5.4** esitab vaadeldava põikraami toereaktsioonid.

Põikraami riivi algul sõlmes 3 (jn 5.7) leiame GNU Octave'i programmiga **dynaamikategurA.m** paindemomendi dünaamikateguri k_d sõltuvuse sündiva jõu $F_x \sin \omega t$ sagedusest ω .

$$k_d(\omega) = \frac{M_3 \text{dünaamilisest koormusest}}{M_3 \text{staatilisest koormusest}} \quad (5.32)$$

Dünaamikateguri arvutamise tulemused on esitatud arvutuspäeviku väljavõttes **5.5**. Dünaamikateguri graafiku leiame jooniselt **5.18**.

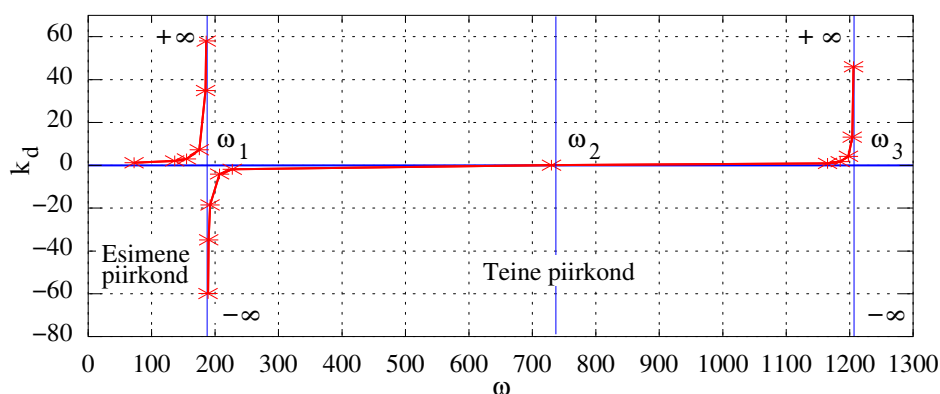
Väljavõte arvutuspäevikust 5.5 (dynaamikategurA.m)

```
Dünaamikategur esimeses piirkonnas kd1 =
    1.1590    2.0218    2.9704    7.1760   34.9065   58.0374

Sagedused esimeses piirkonnas Xw1 =
    72.216   136.270   155.000   175.000   185.000   185.990

Dünaamikategur teises piirkonnas kd2 =
Columns 1 through 6:
   -59.844237  -34.844237  -18.551402   -4.066978   -1.864486    0.060016
Columns 7 through 11:
    0.896417    1.700935    4.180685   13.107477   45.996885

Sagedused teises piirkonnas Xw2 =
Columns 1 through 6:
    188.89    189.90    192.00    207.00    227.00    730.00
Columns 7 and 11:
    1165.00   1185.00   1198.00   1204.00   1206.00
```



Joonis 5.18. Paidemomendi dünaamikategur k_d antisümmeetrilisel võnkumisel

Antisümmeetrilise koormuse esimene piirkond (vt lk 183). Sagedus $\omega = 1.3627 \times 10^2 \text{ s}^{-1}$, $\lambda = 1.5254$.

Tabel 5.6. Jäikade sõlmedega pöikraami toereaktsioonid sagedusel $\omega = 1.3627 \times 10^2 \text{ s}^{-1}$

Toereaktsioon (jn 5.7)	Dünaamilisel koormusel	Staatilisel koormusel	Erinevus
C_1 [N]	$-1.15233F_x$	$-0.50000F_x$	$-0.65233F_x$
C_2 [N]	$0.85999F_x$	$0.42803F_x$	$0.43196F_x$
C_3 [Nm]	$1.88788F_x$	$0.85796F_x$	$1.02992F_x$
C_4 [N]	$-1.15233F_x$	$-0.50000F_x$	$-0.65233F_x$
C_5 [N]	$-0.85999F_x$	$-0.42803F_x$	$-0.43196F_x$
C_6 [Nm]	$1.8878F_x$	$0.85796F_x$	$1.02992F_x$

Väljavõte arvutuspäevikust 5.6 (NaideRaam1CwMFX.m)

```
1. element
h1 = 1.5000
Nmitmeks = 4
```

x=	0.00	0.38	0.75	1.12	1.50
u -	0.000e+00	4.031e-11	8.062e-11	1.209e-10	1.612e-10
w -	0.000e+00	4.598e-09	1.687e-08	3.456e-08	5.540e-08
fi -	0.000e+00	-2.351e-08	-4.095e-08	-5.236e-08	-5.783e-08
N -	8.600e-01	8.600e-01	8.599e-01	8.599e-01	8.598e-01
Q -	1.152e+00	1.151e+00	1.144e+00	1.128e+00	1.098e+00
M -	-1.888e+00	-1.456e+00	-1.025e+00	-5.988e-01	-1.811e-01

```
2. element
h2 = 1.5000
Nmitmeks = 4
```

x=	0.00	0.38	0.75	1.12	1.50
u -	1.612e-10	2.015e-10	2.418e-10	2.821e-10	3.224e-10
w -	5.540e-08	7.721e-08	9.785e-08	1.153e-07	1.277e-07
fi -	-5.783e-08	-5.752e-08	-5.166e-08	-4.057e-08	-2.460e-08
N -	8.598e-01	8.597e-01	8.595e-01	8.593e-01	8.591e-01
Q -	1.098e+00	1.053e+00	9.946e-01	9.231e-01	8.416e-01
M -	-1.811e-01	2.226e-01	6.070e-01	9.669e-01	1.298e+00

3. element
 l1 = 1.5000
 Nmitmeks = 4

x=	0.00	0.38	0.75	1.12	1.50
u -	1.277e-07	1.277e-07	1.277e-07	1.278e-07	1.278e-07
w -	-3.224e-10	5.765e-09	6.708e-09	4.214e-09	1.985e-23
fi -	-2.460e-08	-8.617e-09	2.828e-09	9.708e-09	1.200e-08
N -	8.416e-01	7.562e-01	6.708e-01	5.854e-01	5.000e-01
Q -	-8.591e-01	-8.613e-01	-8.657e-01	-8.695e-01	-8.709e-01
M -	1.298e+00	9.756e-01	6.518e-01	3.264e-01	-2.220e-16

4. element
 l2 = 1.5000
 Nmitmeks = 4

x=	0.00	0.38	0.75	1.12	1.50
u -	1.278e-07	1.278e-07	1.277e-07	1.277e-07	1.277e-07
w -	7.566e-24	-4.214e-09	-6.708e-09	-5.765e-09	3.224e-10
fi -	1.200e-08	9.708e-09	2.828e-09	-8.617e-09	-2.460e-08
N -	-5.000e-01	-5.854e-01	-6.708e-01	-7.562e-01	-8.416e-01
Q -	-8.709e-01	-8.695e-01	-8.657e-01	-8.613e-01	-8.591e-01
M -	1.153e-17	-3.264e-01	-6.518e-01	-9.756e-01	-1.298e+00

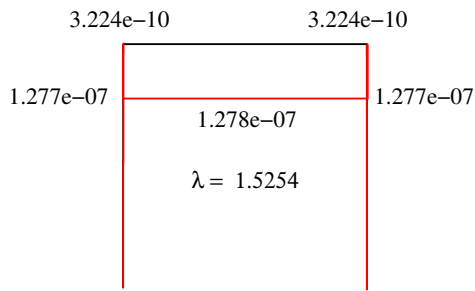
5. element
 h2 = 1.5000
 Nmitmeks = 4

x=	0.00	0.38	0.75	1.12	1.50
u -	3.224e-10	2.821e-10	2.418e-10	2.015e-10	1.612e-10
w -	-1.277e-07	-1.153e-07	-9.785e-08	-7.721e-08	-5.540e-08
fi -	-2.460e-08	-4.057e-08	-5.166e-08	-5.752e-08	-5.783e-08
N -	-8.591e-01	-8.593e-01	-8.595e-01	-8.597e-01	-8.598e-01
Q -	8.416e-01	9.231e-01	9.946e-01	1.053e+00	1.098e+00
M -	-1.298e+00	-9.669e-01	-6.070e-01	-2.226e-01	1.811e-01

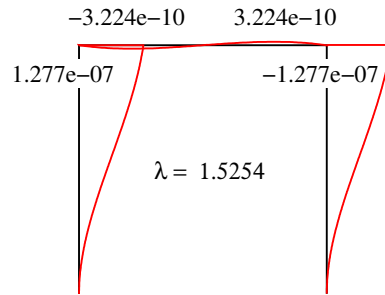
6. element
 h1 = 1.5000
 Nmitmeks = 4

x=	0.00	0.38	0.75	1.12	1.50
u -	1.612e-10	1.209e-10	8.062e-11	4.031e-11	0.000e+00
w -	-5.540e-08	-3.456e-08	-1.687e-08	-4.598e-09	-1.654e-24
fi -	-5.783e-08	-5.236e-08	-4.095e-08	-2.351e-08	-1.158e-23

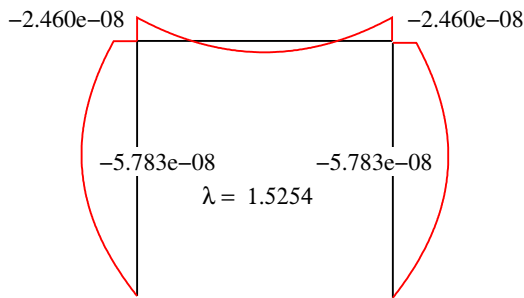
N -	-8.598e-01	-8.599e-01	-8.599e-01	-8.600e-01	-8.600e-01
Q -	1.098e+00	1.128e+00	1.144e+00	1.151e+00	1.152e+00
M -	1.811e-01	5.988e-01	1.025e+00	1.456e+00	1.888e+00



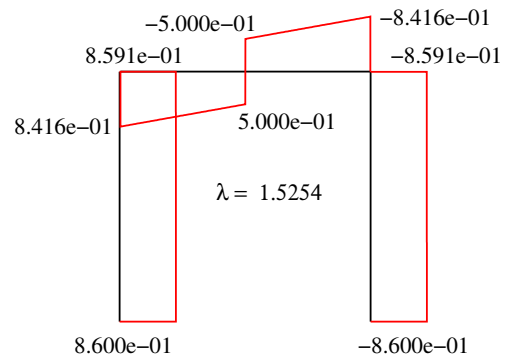
(a) Pikisiire



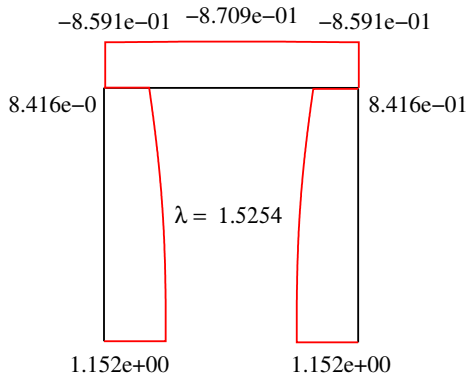
(b) Põiksiire



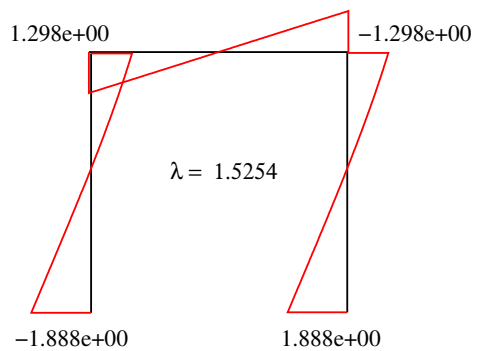
(c) Paindenurk



(d) Pikijõud



(e) Põikjõud



(f) Paindemoment

Joonis 5.19. Jäikade sõlmedega põikraami epüürid sagedusel $\omega = 1.3627 \times 10^2 \text{ s}^{-1}$

Antisümmeetrilise koormuse teine piirkond (vt lk 183). Sageus $\omega = 1.8889 \times 10^2 \text{ s}^{-1}$, $\lambda = 1.7960$.

Tabel 5.7. Jäikade sõlmedega pöikraami toereaktsioonid sagedusel $\omega = 1.8889 \times 10^2 \text{ s}^{-1}$

Toereaktsioon (jn 5.7)	Dünaamilisel koormusel	Staatilisel koormusel	Erinevus
C_1 [N]	$38.46527F_x$	$-0.50000F_x$	$38.965F_x$
C_2 [N]	$-25.30905F_x$	$0.42803F_x$	$-25.737F_x$
C_3 [Nm]	$-60.58417F_x$	$0.85796F_x$	$-61.442F_x$
C_4 [N]	$38.46527F_x$	$-0.50000F_x$	$38.965F_x$
C_5 [N]	$25.30905F_x$	$-0.42803F_x$	$25.737F_x$
C_6 [Nm]	$-60.58417F_x$	$0.85796F_x$	$-61.442F_x$

Väljavõte arvutuspäevikust 5.7 (NaideRaam1CwMFX.m)

1. element
h1 = 1.5000
Nmitmeks = 4

x=	0.00	0.38	0.75	1.12	1.50
u -	0.000e+00	-1.186e-09	-2.373e-09	-3.559e-09	-4.745e-09
w -	0.000e+00	-1.471e-07	-5.376e-07	-1.096e-06	-1.749e-06
fi -	0.000e+00	7.506e-07	1.299e-06	1.647e-06	1.801e-06
N -	-2.531e+01	-2.531e+01	-2.531e+01	-2.530e+01	-2.530e+01
Q -	-3.847e+01	-3.840e+01	-3.798e+01	-3.695e+01	-3.513e+01
M -	6.058e+01	4.617e+01	3.183e+01	1.776e+01	4.216e+00

2. element
h2 = 1.5000
Nmitmeks = 4

x=	0.00	0.38	0.75	1.12	1.50
u -	-4.745e-09	-5.930e-09	-7.116e-09	-8.300e-09	-9.485e-09
w -	-1.749e-06	-2.423e-06	-3.054e-06	-3.580e-06	-3.948e-06
fi -	1.801e-06	1.769e-06	1.568e-06	1.213e-06	7.297e-07
N -	-2.530e+01	-2.529e+01	-2.528e+01	-2.527e+01	-2.526e+01
Q -	-3.513e+01	-3.245e+01	-2.892e+01	-2.465e+01	-1.979e+01
M -	4.216e+00	-8.482e+00	-2.001e+01	-3.008e+01	-3.842e+01

3. element
l1 = 1.5000
Nmitmeks = 4

x=	0.00	0.38	0.75	1.12	1.50
u -	-3.948e-06	-3.949e-06	-3.950e-06	-3.950e-06	-3.950e-06
w -	9.485e-09	-1.712e-07	-1.993e-07	-1.252e-07	-2.118e-22
fi -	7.297e-07	2.560e-07	-8.377e-08	-2.884e-07	-3.567e-07
N -	-1.979e+01	-1.472e+01	-9.647e+00	-4.574e+00	5.000e-01

Q -	2.526e+01	2.538e+01	2.563e+01	2.585e+01	2.593e+01
M -	-3.842e+01	-2.894e+01	-1.937e+01	-9.715e+00	-7.105e-15

4. element
 h2 = 1.5000
 Nmitmeks = 4

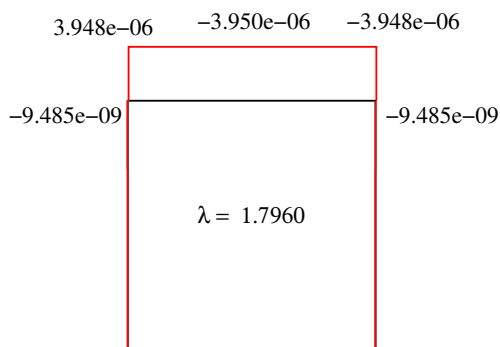
x=	0.00	0.38	0.75	1.12	1.50
u -	-3.950e-06	-3.950e-06	-3.950e-06	-3.949e-06	-3.948e-06
w -	2.381e-23	1.252e-07	1.993e-07	1.712e-07	-9.485e-09
fi -	-3.567e-07	-2.884e-07	-8.377e-08	2.560e-07	7.297e-07
N -	-5.000e-01	4.574e+00	9.647e+00	1.472e+01	1.979e+01
Q -	2.593e+01	2.585e+01	2.563e+01	2.538e+01	2.526e+01
M -	-7.355e-15	9.715e+00	1.937e+01	2.894e+01	3.842e+01

5. element
 h2 = 1.5000
 Nmitmeks = 4

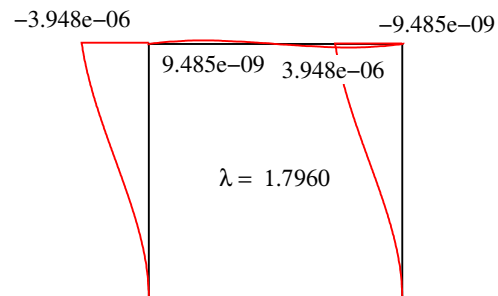
x=	0.00	0.38	0.75	1.12	1.50
u -	-9.485e-09	-8.300e-09	-7.116e-09	-5.930e-09	-4.745e-09
w -	3.948e-06	3.580e-06	3.054e-06	2.423e-06	1.749e-06
fi -	7.297e-07	1.213e-06	1.568e-06	1.769e-06	1.801e-06
N -	2.526e+01	2.527e+01	2.528e+01	2.529e+01	2.530e+01
Q -	-1.979e+01	-2.465e+01	-2.892e+01	-3.245e+01	-3.513e+01
M -	3.842e+01	3.008e+01	2.001e+01	8.482e+00	-4.216e+00

6. element
 h1 = 1.5000
 Nmitmeks = 4

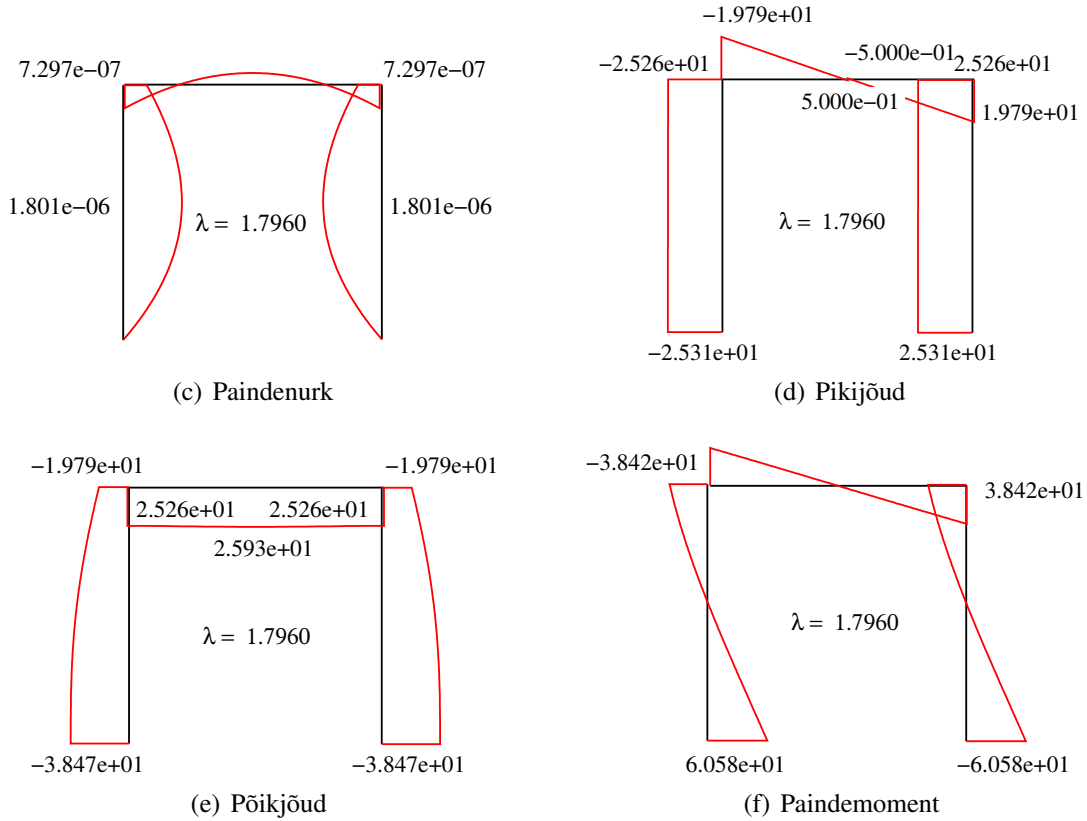
x=	0.00	0.38	0.75	1.12	1.50
u -	-4.745e-09	-3.559e-09	-2.373e-09	-1.186e-09	8.272e-25
w -	1.749e-06	1.096e-06	5.376e-07	1.471e-07	-4.765e-22
fi -	1.801e-06	1.647e-06	1.299e-06	7.506e-07	1.059e-22
N -	2.530e+01	2.530e+01	2.531e+01	2.531e+01	2.531e+01
Q -	-3.513e+01	-3.695e+01	-3.798e+01	-3.840e+01	-3.847e+01
M -	-4.216e+00	-1.776e+01	-3.183e+01	-4.617e+01	-6.058e+01



(a) Pikisiire



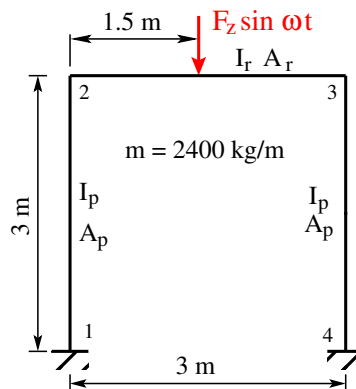
(b) Põiksiire



Joonis 5.20. Jäikade sõlmedega põikraami epüürid sagedusel $\omega = 1.8889 \times 10^2 \text{ s}^{-1}$

5.3.3 Raami sümmeetriline sundvõnkumine

Näide 5.6 (jäikade sõlmedega põikraami sümmeetriline sundvõnkumine). Leida joonisel 5.21 kujutatud raami omavõnkesagedused ja -vormid.



Joonis 5.21. Jäikade sõlmedega põikraam sümmeetrilise koormusega

Andmed. Nii raami ava kui ka postide pikkuseks on 3 m. Elastsusmoodul $E = 200 \text{ GPa}$.

Raami riivi ja postide lausmass $m = 2400$ kg/m. Riivi ja posti ristlõiked on ühesugused. Ristlõike kõrgus $h = 20$ cm ja laius $b = 20$ cm.

Lahendus. Algpameetrite leidmiseks koostame EST-meetodi võrrandisüsteemi

$$\text{spA} \cdot \mathbf{Z} = \mathbf{B} \quad (5.33)$$

kus \mathbf{Z} on võrrandisüsteemi tundmatute vektor.

Vektori komponentideks on piki- ja põiksiirded, paindenurgad, piki- ja põikjõud, paindemomendid varraste alguses ja lõpus (5.2) ning toereaktsioonid. Muutujate järjenumbrid varraste otstes on joonisel 5.7.

Allpool vaatleme sümmeetrilist sundvõnkumist kahes sageduste ω_i piirkonnas.

- Esimene piirkond kuni esimese sümmeetrilise omavõnkesageduseni $\omega_2 = 7.3466 \times 10^2 \text{ s}^{-1}$ (omavõnkesageduse karakteristik $\lambda_2 = 3.5419$): siin teeme arvutused sagedustel $2.83 \times 10^2 \text{ s}^{-1}$ (lk 240), $5.34 \times 10^2 \text{ s}^{-1}$ (lk 243) ja $7.2886 \times 10^2 \text{ s}^{-1}$ (lk 192), vastavad omavõnkesageduse karakteristikud λ on 2.1983, 3.0197 ja 3.527.
- Teine piirkond ulatub esimesest sümmeetrilisest omavõnkesagedusest $\omega_2 = 7.3466 \times 10^2 \text{ s}^{-1}$ kuni omavõnkesageduseni $\omega_4 = 1.28858 \times 10^3 \text{ s}^{-1}$ (omavõnkesageduse karakteristik $\lambda_4 = 4.6909$), kus ω_4 on sümmeetrilise võnkumise teine resonantssagedus. Siin teeme arvutused sagedustel $7.3813 \times 10^2 \text{ s}^{-1}$ (lk 194), $9.95084 \times 10^2 \text{ s}^{-1}$ (lk 246) ja $1.2860274 \times 10^3 \text{ s}^{-1}$ (lk 248). Vastavad omavõnkesageduse karakteristikud λ on 3.5503, 4.122 ja 4.6862.

Sümmeetrilisel sundvõnkumisel on koormuseks horisontaaljõud $F_z = 1.0$ N. Raami toereaktsioonides võetakse arvesse varrastele mõjuvad inertsjõud $\sum_1^3 \int_0^{\ell_i} m_i \omega^2 u dx$ ja $\sum_1^3 \int_0^{\ell_i} m_i \omega^2 w dx$. Siin on ℓ_i varda pikkus, m_i – mass ühikpikkuse kohta, ω – võnkumise nurksagedus, u – pikisiire, w – põiksiire.

Esimeses piirkonnas arvutatakse siirded ja sisejõud sagedusvariantidel 1, 2 ja 3 GNU Octave'i programmiga **NaideRaam1CwM.m**. Tulemused on esitatud arvutuspäeviku väljavõtetes **B.7** (lk 240), **B.8** (lk 243) ja **5.9** (lk 192). Tabelites **B.5**, **B.6** ja **5.8** on toodud jäikade sõlmedega põikraami toereaktsioonid (jn 5.7). Siirete ja sisejõudude epüürid leiab joonistelt **B.13**, **B.14** ja **5.23**.

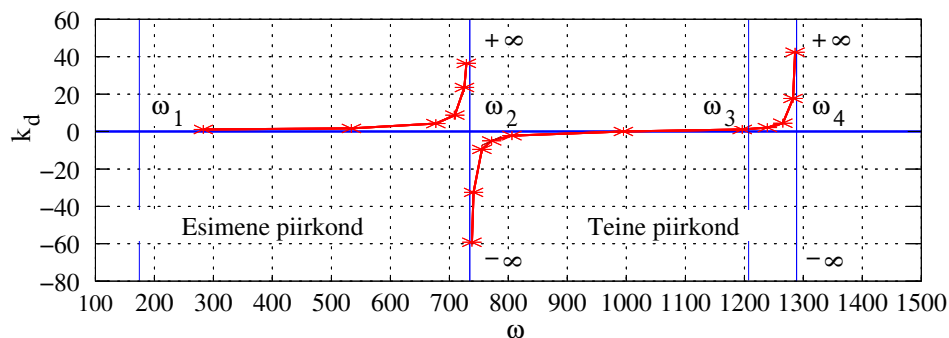
Teises piirkonnas arvutatakse siirded ja sisejõud sagedusvariantidel 4, 5 ja 6 GNU Octave'i programmiga **NaideRaam1CwM.m**. Tulemused on esitatud arvutuspäeviku väljavõtetes **5.10** (lk 194), **B.9** (lk 246) ja **B.10** (lk 248). Tabelites **5.9**, **B.7** ja **B.8** on toodud jäikade sõlmedega põikraami toereaktsioonid (jn 5.7). Joonistel **5.24**, **B.15** ja **B.16** on siirete ja sisejõudude epüürid.

Põikraami riivi keskel, sõlmes 4, leiame GNU Octave'i programmiga **dynaamikategurS.m** paindemomendi dünaamikateguri k_d sõltuvuse sundiva jõu $F_z \sin \omega t$ sagedusest ω .

$$k_d(\omega) = \frac{M_4 \text{dünaamilisest koormusest}}{M_4 \text{staatilisest koormusest}} \quad (5.34)$$

Dünaamikateguri graafiku leiame joonistelt **5.22** (vrd [Kis64, lk 189]).

Dünaamikateguri arvutamise tulemused on esitatud arvutuspäeviku väljavõttes **5.8**.

Joonis 5.22. Paindemomendi dünaamikategur k_d sümmeetrilisel võnkumisel**Väljavõte arvutuspävikust 5.8 (dünaamikategurS.m)**

Dünaamikategur esimeses piirkonnas kd1 =

1.1072 1.6687 4.2472 8.8082 23.5553 36.4727

Sagedused esimeses piirkonnas Xw1 =

283.00 534.00 676.96 709.19 725.59 728.86

Dünaamikategur teises piirkonnas kd2 =

Columns 1 through 6:

-5.9248e+01 -3.2533e+01 -9.5541e+00 -4.9510e+00 -2.2336e+00 1.0188e-06

Columns 7 through 11:

1.1054e+00 2.1136e+00 4.4431e+00 1.7672e+01 4.2412e+01

Sagedused teises piirkonnas Xw2 =

Columns 1 through 6:

738.13 740.92 755.00 771.65 806.04 995.08

Columns 7 and 11:

1196.40 1239.10 1265.00 1282.60 1286.03

Sümmeetrilise koormuse esimene piirkond (vt lk 190). Sagedus $\omega = 7.2886 \times 10^2 \text{ s}^{-1}$,
 $\lambda = 3.5503$.

Tabel 5.8. Jäikade sõlmedega põikraami toereaktsioonid
sagedusel $\omega = 7.2886 \times 10^2 \text{ s}^{-1}$

Toereaktsioon (jn 5.7)	Dünaamilisel koormusel	Staatilisel koormusel	Erinevus
C_1 [N]	$18.83489F_x$	$0.12486F_x$	$18.710F_x$
C_2 [N]	$-28.12344F_x$	$-0.50000F_x$	$-27.623F_x$
C_3 [Nm]	$-15.50564F_x$	$-0.12472F_x$	$-15.381F_x$
C_4 [N]	$-18.83489F_x$	$-0.12486F_x$	$-18.710F_x$
C_5 [N]	$-28.12344F_x$	$-0.50000F_x$	$-27.623F_x$
C_6 [Nm]	$15.50564F_x$	$0.12472F_x$	$15.381F_x$

Väljavõtte arvutuspäevikust 5.9 (NaideRaam1CwM.m)

1. element
 h1 = 1.5000
 Nmitmeks = 4

x=	0.00	0.38	0.75	1.12	1.50
u -	0.000e+00	-1.318e-09	-2.635e-09	-3.950e-09	-5.261e-09
w -	0.000e+00	-3.468e-08	-1.141e-07	-2.029e-07	-2.699e-07
fi -	0.000e+00	1.684e-07	2.393e-07	2.201e-07	1.268e-07
N -	-2.812e+01	-2.811e+01	-2.807e+01	-2.801e+01	-2.792e+01
Q -	-1.883e+01	-1.860e+01	-1.722e+01	-1.418e+01	-9.604e+00
M -	1.551e+01	8.465e+00	1.699e+00	-4.242e+00	-8.742e+00

2. element
 h2 = 1.5000
 Nmitmeks = 4

x=	0.00	0.38	0.75	1.12	1.50
u -	-5.261e-09	-6.567e-09	-7.867e-09	-9.161e-09	-1.045e-08
w -	-2.699e-07	-2.917e-07	-2.546e-07	-1.557e-07	-1.276e-07
fi -	1.268e-07	-1.679e-08	-1.823e-07	-3.422e-07	-4.757e-07
N -	-2.792e+01	-2.781e+01	-2.767e+01	-2.751e+01	-2.732e+01
Q -	-9.604e+00	-4.148e+00	1.174e+00	5.192e+00	6.773e+00
M -	-8.742e+00	-1.133e+01	-1.187e+01	-1.062e+01	-8.281e+00

3. element
 l1 = 1.5000
 Nmitmeks = 4

x=	0.00	0.38	0.75	1.12	1.50
u -	-1.276e-09	-9.580e-10	-6.392e-10	-3.197e-10	7.445e-24
w -	1.045e-08	2.018e-07	3.847e-07	5.148e-07	5.619e-07
fi -	-4.757e-07	-5.211e-07	-4.346e-07	-2.458e-07	0.000e+00
N -	6.773e+00	6.794e+00	6.810e+00	6.819e+00	6.822e+00
Q -	2.732e+01	2.532e+01	1.966e+01	1.094e+01	5.000e-01
M -	-8.281e+00	1.704e+00	1.025e+01	1.606e+01	1.824e+01

4. element
 l2 = 1.5000
 Nmitmeks = 4

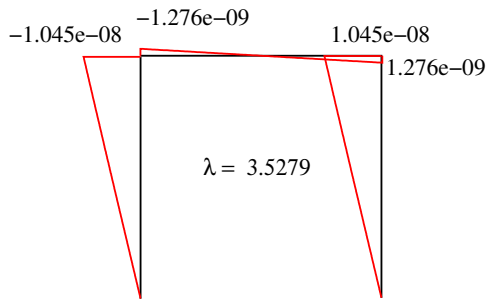
x=	0.00	0.38	0.75	1.12	1.50
u -	7.313e-24	3.197e-10	6.392e-10	9.580e-10	1.276e-09
w -	5.619e-07	5.148e-07	3.847e-07	2.018e-07	1.045e-08
fi -	1.351e-22	2.458e-07	4.346e-07	5.211e-07	4.757e-07
N -	6.822e+00	6.819e+00	6.810e+00	6.794e+00	6.773e+00
Q -	-5.000e-01	-1.094e+01	-1.966e+01	-2.532e+01	-2.732e+01
M -	1.824e+01	1.606e+01	1.025e+01	1.704e+00	-8.281e+00

5. element
 h2 = 1.5000
 Nmitmeks = 4

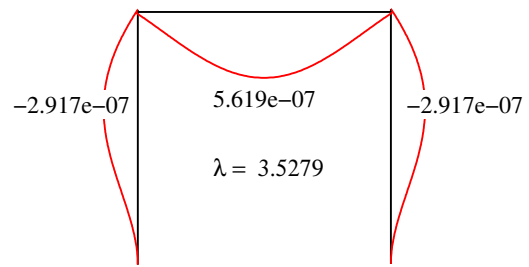
x=	0.00	0.38	0.75	1.12	1.50
u -	1.045e-08	9.161e-09	7.867e-09	6.567e-09	5.261e-09
w -	-1.276e-09	-1.557e-07	-2.546e-07	-2.917e-07	-2.699e-07
fi -	4.757e-07	3.422e-07	1.823e-07	1.679e-08	-1.268e-07
N -	-2.732e+01	-2.751e+01	-2.767e+01	-2.781e+01	-2.792e+01
Q -	-6.773e+00	-5.192e+00	-1.174e+00	4.148e+00	9.604e+00
M -	-8.281e+00	-1.062e+01	-1.187e+01	-1.133e+01	-8.742e+00

6. element
 h1 = 1.5000
 Nmitmeks = 4

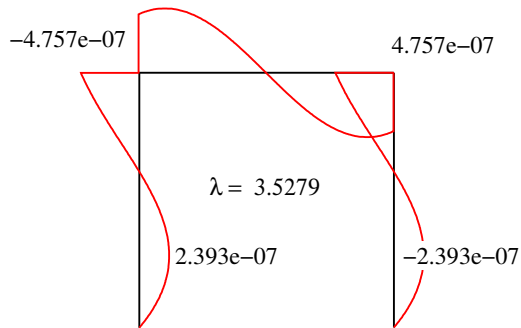
x=	0.00	0.38	0.75	1.12	1.50
u -	5.261e-09	3.950e-09	2.635e-09	1.318e-09	-1.654e-24
w -	-2.699e-07	-2.029e-07	-1.141e-07	-3.468e-08	-1.059e-22
fi -	-1.268e-07	-2.201e-07	-2.393e-07	-1.684e-07	1.059e-22
N -	-2.792e+01	-2.801e+01	-2.807e+01	-2.811e+01	-2.812e+01
Q -	9.604e+00	1.418e+01	1.722e+01	1.860e+01	1.883e+01
M -	-8.742e+00	-4.242e+00	1.699e+00	8.465e+00	1.551e+01



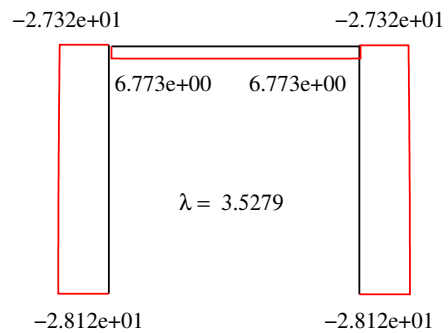
(a) Pikisiire



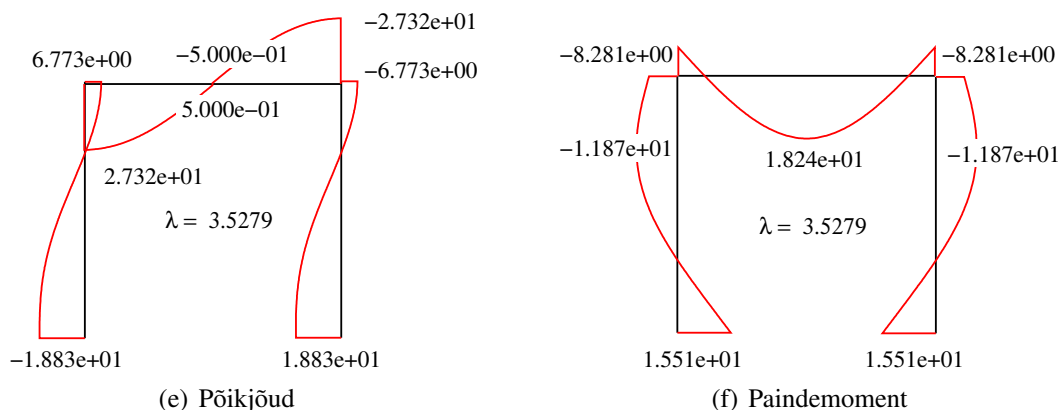
(b) Põiksiire



(c) Paindenurk



(d) Pikijõud



Joonis 5.23. Jäikade sõlmedega põikraami epüürid sagedusel $\omega = 7.2886 \times 10^2 \text{ s}^{-1}$

Sümmeetrilise koormuse teine piirkond (vt lk 190). Sagedus $\omega = 7.3813 \times 10^2 \text{ s}^{-1}$, $\lambda = 3.5503$.

Tabel 5.9. Jäikade sõlmedega põikraami toereaktsioonid sagedusel $\omega = 7.3813 \times 10^2 \text{ s}^{-1}$

Toereaktsioon (jn 5.7)	Dünaamilisel koormusel	Staatilisel koormusel	Erinevus
C_1 [N]	$-32.0431F_x$	$0.12486F_x$	$-32.168F_x$
C_2 [N]	$46.31716F_x$	$-0.50000F_x$	$46.817F_x$
C_3 [Nm]	$26.27555F_x$	$-0.12472F_x$	$26.400F_x$
C_4 [N]	$32.04310F_x$	$-0.12486F_x$	$32.168F_x$
C_5 [N]	$46.31716F_x$	$-0.50000F_x$	$46.817F_x$
C_6 [Nm]	$-26.27555F_x$	$0.12472F_x$	$-26.400F_x$

Väljavõte arvutuspäevikust 5.10 (NaideRaam1CwM.m)

1. element
h1 = 1.5000
Nmitmeks = 4

x=	0.00	0.38	0.75	1.12	1.50
u -	0.000e+00	2.171e-09	4.340e-09	6.504e-09	8.663e-09
w -	0.000e+00	5.873e-08	1.931e-07	3.428e-07	4.552e-07
fi -	0.000e+00	-2.851e-07	-4.043e-07	-3.705e-07	-2.115e-07
N -	4.632e+01	4.630e+01	4.623e+01	4.613e+01	4.598e+01
Q -	3.204e+01	3.164e+01	2.925e+01	2.397e+01	1.605e+01
M -	-2.628e+01	-1.430e+01	-2.799e+00	7.272e+00	1.484e+01

2. element
h2 = 1.5000
Nmitmeks = 4

x=	0.00	0.38	0.75	1.12	1.50
u -	8.663e-09	1.081e-08	1.295e-08	1.508e-08	1.720e-08
w -	4.552e-07	4.909e-07	4.273e-07	2.605e-07	2.294e-09
fi -	-2.115e-07	3.141e-08	3.094e-07	5.748e-07	7.922e-07
N -	4.598e+01	4.579e+01	4.555e+01	4.528e+01	4.496e+01
Q -	1.605e+01	6.618e+00	-2.557e+00	-9.465e+00	-1.218e+01
M -	1.484e+01	1.912e+01	1.984e+01	1.748e+01	1.327e+01

3. element
l1 = 1.5000
Nmitmeks = 4

x=	0.00	0.38	0.75	1.12	1.50
u -	2.294e-09	1.722e-09	1.149e-09	5.749e-10	7.775e-23
w -	-1.720e-08	-3.346e-07	-6.364e-07	-8.500e-07	-9.268e-07
fi -	7.922e-07	8.618e-07	7.151e-07	4.022e-07	3.176e-22
N -	-1.218e+01	-1.222e+01	-1.224e+01	-1.226e+01	-1.227e+01
Q -	-4.496e+01	-4.155e+01	-3.194e+01	-1.717e+01	5.000e-01
M -	1.327e+01	-3.152e+00	-1.712e+01	-2.646e+01	-2.963e+01

4. element
l2 = 1.5000
Nmitmeks = 4

x=	0.00	0.38	0.75	1.12	1.50
u -	7.754e-23	-5.749e-10	-1.149e-09	-1.722e-09	-2.294e-09
w -	-9.268e-07	-8.500e-07	-6.364e-07	-3.346e-07	-1.720e-08
fi -	3.258e-22	-4.022e-07	-7.151e-07	-8.618e-07	-7.922e-07
N -	-1.227e+01	-1.226e+01	-1.224e+01	-1.222e+01	-1.218e+01
Q -	-5.000e-01	1.717e+01	3.194e+01	4.155e+01	4.496e+01
M -	-2.963e+01	-2.646e+01	-1.712e+01	-3.152e+00	1.327e+01

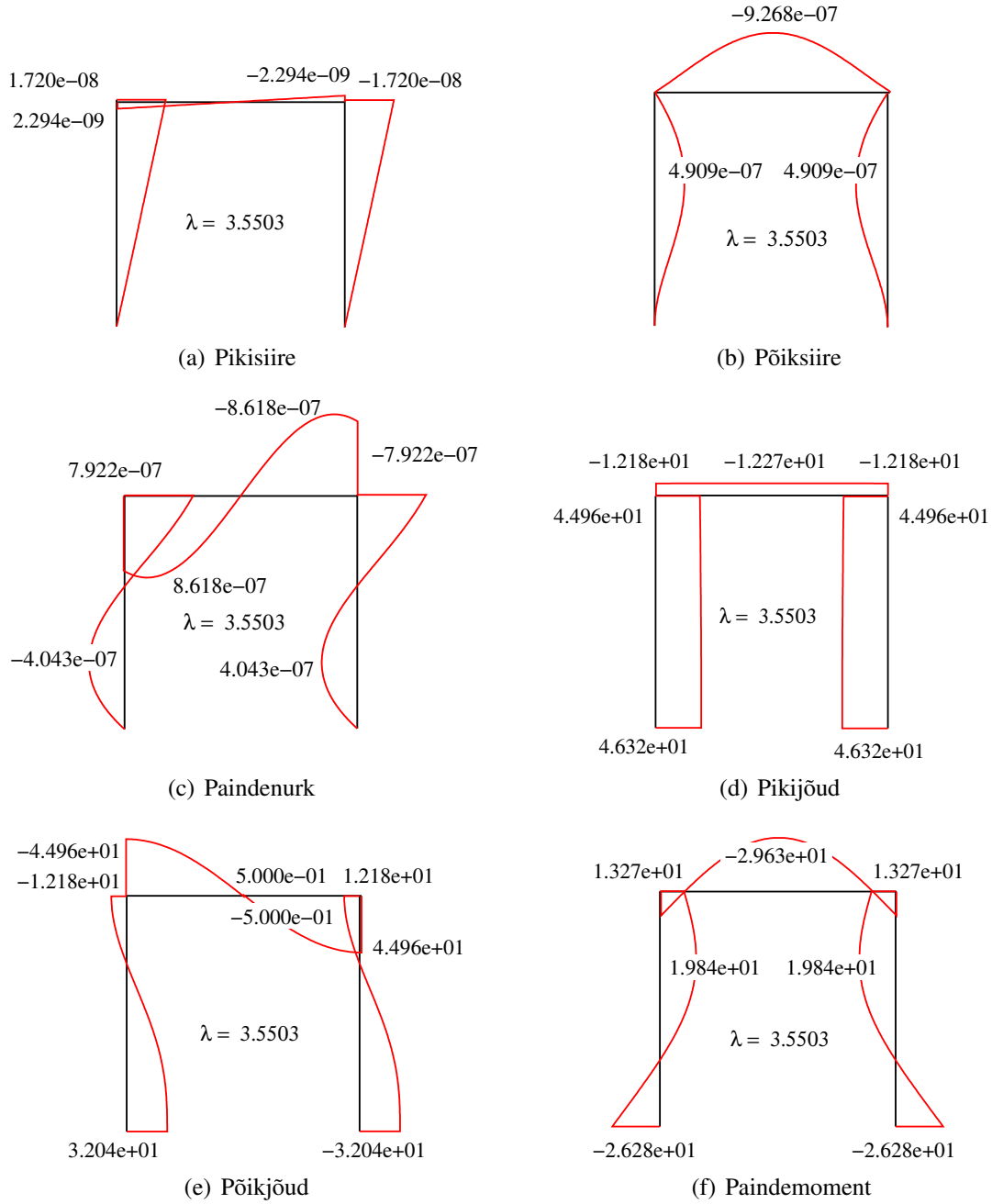
5. element
h2 = 1.5000
Nmitmeks = 4

x=	0.00	0.38	0.75	1.12	1.50
u -	-1.720e-08	-1.508e-08	-1.295e-08	-1.081e-08	-8.663e-09
w -	2.294e-09	2.605e-07	4.273e-07	4.909e-07	4.552e-07
fi -	-7.922e-07	-5.748e-07	-3.094e-07	-3.141e-08	2.115e-07
N -	4.496e+01	4.528e+01	4.555e+01	4.579e+01	4.598e+01
Q -	1.218e+01	9.465e+00	2.557e+00	-6.618e+00	-1.605e+01
M -	1.327e+01	1.748e+01	1.984e+01	1.912e+01	1.484e+01

6. element
h1 = 1.5000
Nmitmeks = 4

x=	0.00	0.38	0.75	1.12	1.50
u -	-8.663e-09	-6.504e-09	-4.340e-09	-2.171e-09	0.000e+00
w -	4.552e-07	3.428e-07	1.931e-07	5.873e-08	0.000e+00
fi -	2.115e-07	3.705e-07	4.043e-07	2.851e-07	0.000e+00

N -	4.598e+01	4.613e+01	4.623e+01	4.630e+01	4.632e+01
Q -	-1.605e+01	-2.397e+01	-2.925e+01	-3.164e+01	-3.204e+01
M -	1.484e+01	7.272e+00	-2.799e+00	-1.430e+01	-2.628e+01

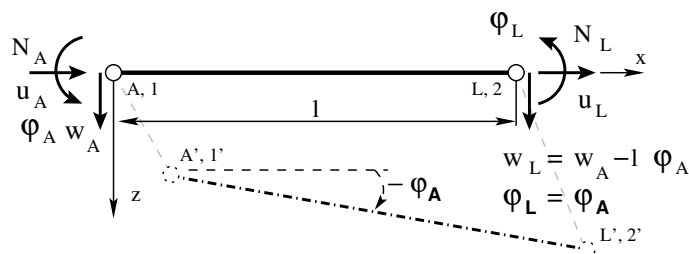


Joonis 5.24. Jäikade sõlmedega põikraami epüürid sagedusel $\omega = 7.3813 \times 10^2 \text{ s}^{-1}$

6. Sõrestikud

6.1 Sõrestiku ülekan demaatriks

Sõrestiku var da (jn 6.1) kirjeldamisel võtame kasutusele parema käe teljestiku ja teise märgi-
kokkuleppe.



Joonis 6.1. Sõrestiku varras

Varda alguse ja lõpu siirdeid kohalikes koordinaatides kirjeldame järgmiste võrranditega
(vrd (1.17) ja [Lah12, lk 384]):

$$u_L = u_A \cos \kappa \ell - \frac{N_A}{EA} \frac{1}{\kappa} \sin \kappa \ell \quad (6.1)$$

$$w_L = w_A - \varphi_A \ell \quad (6.2)$$

$$\varphi_L = \varphi_A \quad (6.3)$$

kus

u_A, u_L on var da alguse ja lõpu siire x-telje suunas,

w_A, w_L – var da alguse ja lõpu siire z-telje suunas,

φ_A, φ_L – var da alguse ja lõpu pööre ümber z-telje (sisemine vabadusaste),

EA – var da ristlõike pikkejäikus,

N_A – pikijõud var da algul,

ℓ – var da pikkus.

Pikijõudu N_L var da lõpus kirjeldame seosega

$$N_L = -u_A EA \kappa \sin \kappa \ell - N_A \cos \kappa \ell \quad (6.4)$$

Esitame eespool vaadeldud seosed maatrikskujul

$$\mathbf{Z}_L = \mathbf{U} \cdot \mathbf{Z}_A \quad (6.5)$$

kus \mathbf{Z}_L , \mathbf{Z}_A on varda lõpus ja alguses olevad siirded ning pikijõud

$$\mathbf{Z}_L = \begin{bmatrix} u_L \\ w_L \\ \varphi_L \\ \dots \\ N_L \end{bmatrix}, \quad \mathbf{Z}_A = \begin{bmatrix} u_A \\ w_A \\ \varphi_A \\ \dots \\ N_A \end{bmatrix} \quad (6.6)$$

ja maatriks \mathbf{U} avaldub kujul

$$\mathbf{U} = \begin{bmatrix} \cos \kappa \ell & 0 & 0 & \vdots & -i_0 \frac{1}{EA} \frac{1}{\kappa} \sin \kappa \ell \\ 0 & 1 & -\ell & \vdots & 0 \\ 0 & 0 & 1 & \vdots & 0 \\ \dots & \dots & \dots & \vdots & \dots \\ \frac{1}{i_0} EA \kappa \sin \kappa \ell & 0 & 0 & \vdots & -\cos \kappa \ell \end{bmatrix} \quad (6.7)$$

kus i_0 on baasjäikus.

Minnes sõrestiku dünaamika laiendatud ülekandemaatriksis piirile $\lambda = \kappa \ell \rightarrow 0$, saame staatika ülekandemaatriksi [Lah12, lk 385]).

$$\begin{aligned} \lim_{\lambda \rightarrow 0} u_{11} &= \lim_{\lambda \rightarrow 0} \cos \lambda = 1, & \lim_{\lambda \rightarrow 0} u_{14} &= -\frac{\ell}{EA} \lim_{\lambda \rightarrow 0} \frac{\sin \lambda}{\lambda} = -\frac{\ell}{EA} \\ \lim_{\lambda \rightarrow 0} u_{41} &= \lim_{\lambda \rightarrow 0} -\frac{EA}{\ell} \lambda \sin \lambda = 0, & \lim_{\lambda \rightarrow 0} u_{44} &= \lim_{\lambda \rightarrow 0} -\cos \lambda = -1 \end{aligned} \quad (6.8)$$

$$\mathbf{U} = \begin{bmatrix} 1 & 0 & 0 & \vdots & -i_0 \frac{x}{EA} \\ 0 & 1 & -\ell & \vdots & 0 \\ 0 & 0 & 1 & \vdots & 0 \\ \dots & \dots & \dots & \vdots & \dots \\ 0 & 0 & 0 & \vdots & -1 \end{bmatrix} \quad (6.9)$$

Maatriks (6.9) koosneb järgmistest alammatriksitest:

$$\mathbf{U} = \begin{bmatrix} \text{jäiga keha liikumist} & \vdots & \text{põhideformatsioone} \\ \text{kirjeldav alammatriks} & \vdots & \text{kirjeldav alammatriks} \\ \dots & \vdots & \dots \\ & \vdots & \text{tasakaaluvõrrandeid} \\ & \vdots & \text{kirjeldav alammatriks} \end{bmatrix} \quad (6.10)$$

Sõrestiku varda põhivõrrandid teise märgikokkuleppe puhul saab kirjutada võrrandisüsteemina

$$\mathbf{U} \cdot \mathbf{Z}_A - \mathbf{I}_{4 \times 4} \cdot \mathbf{Z}_L = 0 \quad (6.11)$$

Lühemalt,

$$\widehat{\mathbf{U}}_{4 \times 8} \cdot \widehat{\mathbf{Z}} = 0 \quad (6.12)$$

kus

$$\widehat{\mathbf{Z}} = \begin{bmatrix} \mathbf{Z}_A \\ \mathbf{Z}_L \end{bmatrix} \quad (6.13)$$

ja $\widehat{\mathbf{U}}_{4 \times 8}$ on laiendatud ülekandemaatriks ($\mathbf{U}_{4 \times 4} \mid -\mathbf{I}_{4 \times 4}$).

Sõrestiku dünaamika hõreda laiendatud ülekandemaatriksi koostamiseks kasutame GNU Octave'i funktsiooni [spTrussP6hiv.m](#). Staatika hõreda laiendatud ülekandemaatriksi koostamiseks rakendame funktsiooni [yspSRmhvIVahet.m](#).

6.1.1 Sõrestikuvarda massi koondamine sõlmedesse

Sõrestikuvarda (jn 6.1) lausmassi $m = \rho \cdot A$ koondamisel sõlmedesse A ja L kasutatakse *konsistentset massimaatriksit* (sks konsistente Massenmatrix¹, ingl consistent mass matrix, вн согласованная матрица масс²) ja *diagonaalile keskendatud massimaatriksit* (sks konzentrierte Massenmatrix³, ingl lumped mass matrix, вн диагональная матрица масс). Kasutusel olevaid massimaatrikseid kirjeldab Carlos Felippa [Fel13].

Konsistentse massimaatriksiga [Rüm05, lk 149], [Wer01, lk 294] sõlmedesse koondatud massi võnkumine nurksagedusega ω tekitab inertsjõud F_{xA} ja F_{xL} :

$$\begin{bmatrix} F_{xA} \\ F_{xL} \end{bmatrix} = -\frac{\rho \cdot A \cdot \ell \cdot \omega^2}{6} \begin{bmatrix} 2 & 1 \\ 1 & 2 \end{bmatrix} \begin{bmatrix} u_A \\ u_L \end{bmatrix} \quad (6.14)$$

Diagonaalile keskendatud massimaatriksiga sõlmedesse koondatud massi võnkumisel avalduvad inertsjõud F_{xA} ja F_{xL} viisil

$$\begin{bmatrix} F_{xA} \\ F_{xL} \end{bmatrix} = -\frac{\rho \cdot A \cdot \ell \cdot \omega^2}{6} \begin{bmatrix} 3 & 0 \\ 0 & 3 \end{bmatrix} \begin{bmatrix} u_A \\ u_L \end{bmatrix} \quad (6.15)$$

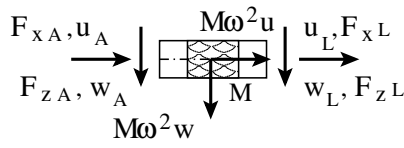
6.1.2 Koondmassi element sõrestikul

Vaatleme koondmassi M sõrestiku sõlmes (jn 6.2). Koondmassi võnkumine nurksagedusega ω tekitab inertsjõud $M\omega^2 u$ ja $M\omega^2 w$, kus u ja w on massi siirded.

¹http://www.cae-wiki.info/wikiplus/index.php/Konsistente_Massenmatrix (19.03.2017)

²<http://mash-xxl.info/info/552137/> (19.03.2017)

³http://www.cae-wiki.info/wikiplus/index.php/Konzentrierte_Massenmatrix (19.03.2017)



Joonis 6.2. Koondmass

Koostame koondmassi võrrandid maatrikskujul:

$$\mathbf{U}_M \cdot \mathbf{Z}_A - \mathbf{I}_{4 \times 4} \cdot \mathbf{Z}_L = 0 \quad (6.16)$$

Siin

$$\mathbf{Z}_A = \begin{bmatrix} u_A \\ w_A \\ F_{xA} \\ F_{zA} \end{bmatrix}, \quad \mathbf{Z}_L = \begin{bmatrix} u_L \\ w_L \\ F_{xL} \\ F_{zL} \end{bmatrix} \quad (6.17)$$

$\mathbf{I}_{4 \times 4}$ on 4×4 ühikmaatriks
ja ülekanemaaatriks \mathbf{U}_M avaldub

$$\mathbf{U}_M = \begin{bmatrix} 1.0 & 0.0 & 0.0 & 0.0 \\ 0.0 & 1.0 & 0.0 & 0.0 \\ -M\omega^2 & 0.0 & -1.0 & 0.0 \\ 0.0 & -M\omega^2 & 0.0 & -1.0 \end{bmatrix} \quad (6.18)$$

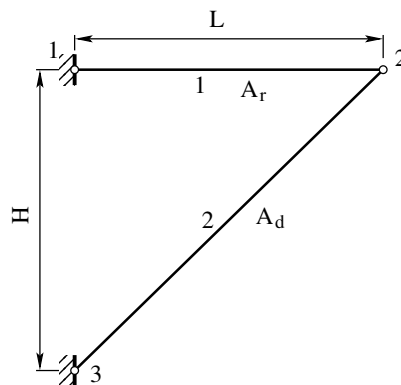
Sõrestiku sõlmesse inertsjõu lisamiseks võtame jõud F_{xL} ja F_{zL} võrdseks nulliga, siis saab võrrandi (6.16) esitada järgmisel kujul:

$$\begin{bmatrix} 1.0 & 0.0 & 0.0 & 0.0 & -1.0 & 0.0 \\ 0.0 & 1.0 & 0.0 & 0.0 & 0.0 & -1.0 \\ M\omega^2 & 0.0 & 1.0 & 0.0 & 0.0 & 0.0 \\ 0.0 & M\omega^2 & 0.0 & 1.0 & 0.0 & 0.0 \end{bmatrix} \begin{bmatrix} u_A \\ w_A \\ F_{xA} \\ F_{zA} \\ u_L \\ w_L \end{bmatrix} = 0 \quad (6.19)$$

Massimaatriksi koostame GNU Octave'i funktsiooniga [koondMassHLSorestik46.m](#).

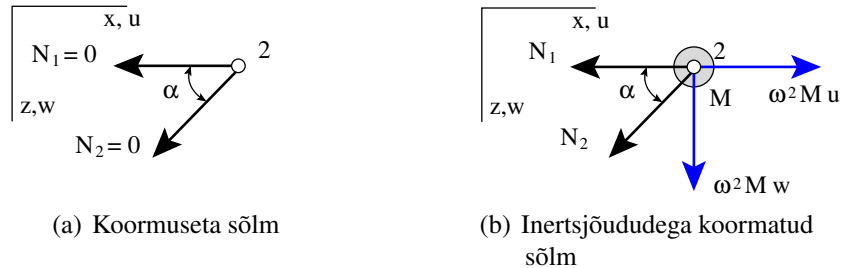
6.2 Sõrestiku omavõnkesagedused

Esmalt vaatleme kahe vardaga tarindit (jn 6.3). Niisugust tarindit nimetatakse kirjutises [Ram16, jn 1b] „üliõpilase tarindiks“ (student's structure).



Joonis 6.3. Kahe vardaga tarind

Selle tarindi uurimisel tuleb tõdeda, et lausmassiga (jaotatud massiga) ja sõlme 2 raketdatud koondmassiga ülesanded (jn 6.4) on erinevad.



(a) Koormuseta sõlm

(b) Inertsjõududega koormatud sõlm

Joonis 6.4. Sõlmes on kaks eri sirgeil asuvat varrast

Koostame koormuseta sõlme (jn 6.4a) tasakaaluvõrrandid.

$$\Sigma X = 0, \quad -N_1 - N_2 \cos \alpha = 0; \quad \Sigma Z = 0, \quad N_2 \sin \alpha = 0 \quad (6.20)$$

Siit järeldub, et $N_1 = 0$ ja $N_2 = 0$. Seega koormuseta sõlmes, mis moodustub kahest eri sirgeil asuvast vardast, on varraste pikijõud võrdsed nulliga (vrd [Rää75, lk196]).

Koostame inertsjõududega koormatud sõlme (jn 6.4b) tasakaaluvõrrandid.

$$\Sigma X = 0, \quad -N_1 - N_2 \cos \alpha + \omega^2 M u = 0; \quad \Sigma Z = 0, \quad N_2 \sin \alpha + \omega^2 M w = 0 \quad (6.21)$$

Siit leiame, et $N_1 = -N_2 \cos \alpha + \omega^2 M u$, kus $N_2 = -\omega^2 M w / \sin \alpha$ ($\sin \alpha \neq 0$, sest vardad asuvad eri sirgeil).

Kirjutises [Ram16, jn 1a] on omavõnkesagedused arvatatud lõplike elementide meetodiga, kusjuures on kasutatud konsistentset CMM ja keskendatud massimaatriksit DLMM. Konsistentse massimaatriksiga leitakse kahe vardaga tarindi omavõnkesageduse ülempiir f_1^{sup} ja f_2^{sup} . Diagonaalile keskendatud massimaatriksiga leitakse kahe vardaga tarindi omavõnkesageduse alampiir f_1^{inf} ja f_2^{inf} . Leitakse ka täpse omavõnkesagedused f_1 ja f_2 .

Näide 6.1 (kahe vardaga tarindi omavõnku mine). Leida joonisel 6.3 kujutatud kahest vardast koosneva tarindi omavõnkesagedused.

Andmed. Kahe vardaga tarindi silde pikkus $L = 1.0$ m, sõrestiku kõrgus $H = 1.0$ m, ristlõikepindala $A_r = A_d = A = 3.1416 \times 10^{-4} \text{ m}^2$, elastsusmoodul $E = 211.62 \text{ GPa}$, materjali tihedus $\rho = 7.86 \times 10^3 \text{ kg/m}^3$ (cf. $\rho = 7.80 \times 10^3 \text{ kg/m}^3$, $E = 210 \text{ GPa}$).

Lahendus. Koostame EST-meetodi võrrandisüsteemi

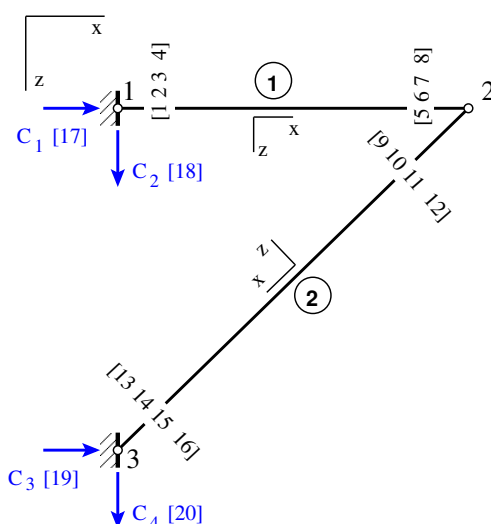
$$\text{spA} \cdot \mathbf{Z} = 0 \quad (6.22)$$

kus \mathbf{Z} on võrrandisüsteemi tundmatute vektor, mille elementideks on piki- ja põiksiirded,

paindenurgad ning pikijõud varraste alguses ja lõpus (6.13) ning toereaktsioonid:

$$\mathbf{Z} = \begin{bmatrix} Z(1, 1) \\ Z(2, 1) \\ Z(3, 1) \\ Z(4, 1) \\ \dots \\ Z(17, 1) \\ Z(18, 1) \\ Z(19, 1) \\ Z(20, 1) \end{bmatrix} = \begin{bmatrix} u_A^{(1)} \\ w_A^{(1)} \\ \varphi_A^{(1)} \\ N_A^{(1)} \\ \dots \\ C(1, 1) \\ C(2, 1) \\ C(3, 1) \\ C(4, 1) \end{bmatrix} \quad (6.23)$$

Varda otste muutujate järjenumbrid on joonisel 6.5.



Joonis 6.5. Kahe vardaga tarindi muutujate järjenumbrid

Võrrandisüsteemi (6.22) kaksteist esimest võrrandit on põhivõrrandid (6.12).

Põhivõrranditele lisanduvad kaks sõlme 2 pidevusvõrrandit. Varraste 1 ja 2 siirded sõlmes üldtelgede X ja Z suunas on võrdsed. Lisanduvad jõudude tasakaaluvõrrandid sõlmedes 1, 2 ja 3 üldtelgede X ja Z suunas.

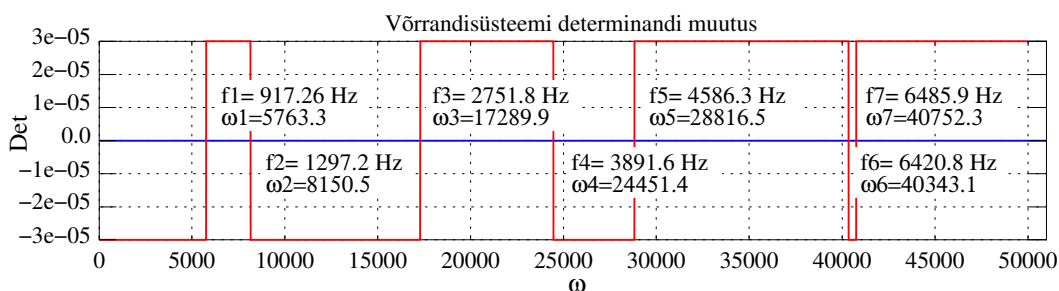
Tugedel siirete piiramise tingimusi on neli, mis on vastavuses toereaktsioonide arvuga.

GNU Octave'i programmiga **NaideTrussTarind1VibrDet.m** leiame hõreda võrrandisüsteemi (6.22) determinandi nullid (jn 6.6).

Kahe vardaga tarindi (jn 6.3) esimesed seitse omavõnkesagedust:

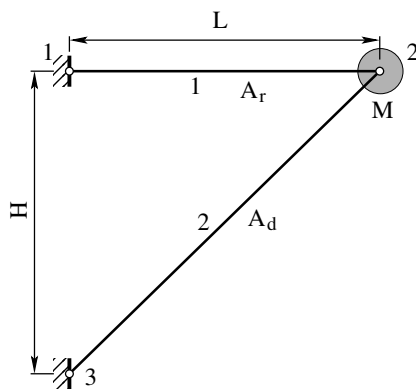
$$\begin{aligned}
\omega_1 &= 5.763301025 \times 10^3 \text{ s}^{-1}, & f_1 &= 917.2 \text{ Hz (vrd varras S2 jn B.7)} \\
\omega_2 &= 8.150461987 \times 10^3 \text{ s}^{-1}, & f_2 &= 1297.2 \text{ Hz (vrd varras S1 jn B.3)} \\
\omega_3 &= 1.7289906506 \times 10^4 \text{ s}^{-1}, & f_3 &= 2751.8 \text{ Hz (vrd varras S2 jn B.7)} \\
\omega_4 &= 2.4451385781 \times 10^4 \text{ s}^{-1}, & f_4 &= 3891.6 \text{ Hz (vrd varras S1 jn B.3)} \\
\omega_5 &= 2.8816510843 \times 10^4 \text{ s}^{-1}, & f_5 &= 4586.3 \text{ Hz (vrd varras S2 jn B.7)} \\
\omega_6 &= 4.0343115181 \times 10^4 \text{ s}^{-1}, & f_6 &= 6420.8 \text{ Hz (vrd varras S2 jn B.7)} \\
\omega_7 &= 4.0752309635 \times 10^4 \text{ s}^{-1}, & f_7 &= 6485.9 \text{ Hz (vrd varras S1 jn B.3)}
\end{aligned} \tag{6.24}$$

Tarindi varraste 1 ja 2 omavõnkesagedused (vt joonised B.3 ja B.7) on järjestatud kasvavas järjekorras (jn 6.6). Kahe vardaga tarindi koormuseta sõlmes 2 asuvad kaks varrast eri sirgeil ja pikijõud sõlmes on nullid (vt tasakaaluvõrrandid (6.20)). Nii on vaadeldava ülesande rajatingimused võrreldavad varraste S1 ja S2 rajatingimustega näidetes B.1 ja B.2. Varraste S1 ja S2 omavõnkesagedused ühtivad kirjutises [Ram16, jn 5] leitudetega.



Joonis 6.6. Kahe vardaga tarindi omavõnkesagedused

Näide 6.2 (koondmassi ja kahe vardaga tarindi omavõnkesagedused). Leida joonisel 6.7 kujutatud kahest vardast koosneva tarindi omavõnkesagedused, kui selle sõlmes on koondatud mass M.



Joonis 6.7. Koondmassi ja kahe vardaga tarind

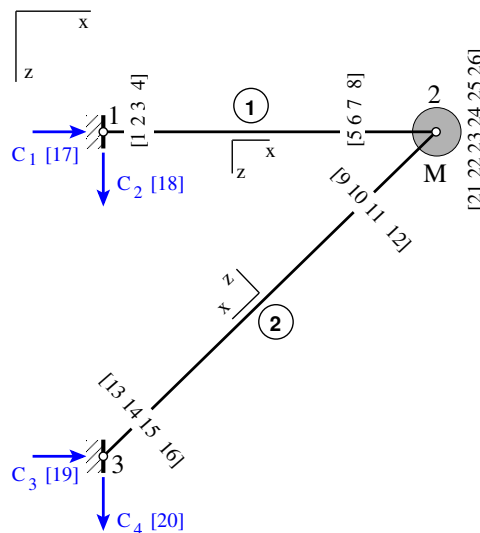
Andmed. Kahe vardaga tarindi silde pikkus $L = 1.0$ m, sõrestiku kõrgus $H = 1.0$ m, ristlõikepindala $A_r = A_d = A = 3.1416 \times 10^{-4} \text{ m}^2$, elastsusmoodul $E = 211.62 \text{ GPa}$, materjali tihedus $\rho = 7.86 \times 10^3 \text{ kg/m}^3$ (cf. $\rho = 7.80 \times 10^3 \text{ kg/m}^3$, $E = 210 \text{ GPa}$). Varraste pikkuseks on ℓ_1 ja ℓ_2 ning varrastevaheline nurk $\alpha = 45^\circ$. Hülgame varraste lausmassi ja võrdleme koondmassidega (konsistentse (6.14) ja diagonaalile keskendatud massimaatriksiga (6.15)) leitud omavõnkesagedusi (vrd [Ram16, jn 1a]). Konsistentne koondmass $M = \rho A (\ell_1 + \ell_2) / 3$ ning keskendatud koondmass $M = \rho A (\ell_1 + \ell_2) / 2$.

Lahendus. Koostame EST-meetodi võrrandisüsteemi

$$\text{spA} \cdot \mathbf{Z} = 0 \quad (6.25)$$

kus \mathbf{Z} on võrrandisüsteemi tundmatute vektor, mille elementideks on piki- ja põiksiirded, paindenurgad ning pikijõud varraste alguses ja lõpus (6.13), toereaktsioonid ning massi siirded ja inertsjõud.

Varraste ja koondmassi elementide muutujate järjenumbrid toome joonisel 6.8.



Joonis 6.8. Koondmassi ja kahe vardaga tarindi muutujate järjenumbrid

Võrrandisüsteemi (6.25) kuusteist esimest võrrandit on põhivõrrandid (6.12). Võrdlemaks EST-meetodiga arvatud omavõnkesagedusi lõplike elementide meetodil leitudetega [Ram16, jn 4] rakendame staatika laiendatud ülekandemaatriksit (6.8).

Põhivõrranditele lisanduvad kaks sõlme 2 pidevusvõrrandit. Varraste 1 ja 2 siirded sõlmes üldtelgede X ja Z suunas on võrdsed. Lisanduvad jõudude tasakaaluvõrrandid sõlmedes 1, 2 ja 3 üldtelgede X ja Z suunas. Tugedel siirete piiramise tingimusi on neli, mis on vastavuses toereaktsioonide arvuga.

Koostatud kahekümnele võrrandile lisanduvad neli koondmassi võrrandit (6.19) ja kaks võrrandit, mis võrdsustavad koondmassi siirded sõlme 2 siiretega üldkoordinaatides. Nüüd on 26 tundmatut ja 26 võrrandit. Jääb üle veel lisada inertsjõud $Z(23, 1)$ ja $Z(24, 1)$ (vt avaldist (6.26)) sõlme 2 tasakaaluvõrranditele.

$$\mathbf{Z} = \begin{bmatrix} Z(1, 1) \\ Z(2, 1) \\ Z(3, 1) \\ Z(4, 1) \\ \dots \\ Z(17, 1) \\ Z(18, 1) \\ Z(19, 1) \\ Z(20, 1) \\ \dots \\ Z(21, 1) \\ Z(22, 1) \\ Z(23, 1) \\ Z(24, 1) \\ Z(25, 1) \\ Z(26, 1) \end{bmatrix} = \begin{bmatrix} u_A^{(1)} \\ w_A^{(1)} \\ \varphi_A^{(1)} \\ N_A^{(1)} \\ \dots \\ C(1, 1) \\ C(2, 1) \\ C(3, 1) \\ C(4, 1) \\ \dots \\ u_A^{(M)} \\ w_A^{(M)} \\ F_x^{(M)} \\ F_z^{(M)} \\ u_L^{(M)} \\ w_L^{(M)} \end{bmatrix} \quad (6.26)$$

Kirjutises [Ram16, jn 4] leitakse täpsete omavõnkesageduse f_1 ja f_2 . Konsistentse massimaatriksiga leitakse kahe vardaga tarindi omavõnkesageduse ülempiir f_1^{sup} ja f_2^{sup} . Diagonaalile keskendatud massimaatriksiga leitakse kahe vardaga tarindi omavõnkesageduse alampiir f_1^{inf} ja f_2^{inf} [Ram16, jn 1b].

Leiame hõreda võrrandisüsteemi (6.25) determinandi nullid (jn 6.9) GNU Octave'i programmiga **NaideTrussTarind3VibrDet.m**, kus valime

inertsjõud = 1: *lausmass, koondmass* $M = 0$ (vt näide 6.1);

inertsjõud = 2: *koondmass*; konsistentne koondmass $M = \rho A (\ell_1 + \ell_2) / 3$;

inertsjõud = 3: *koondmass*; keskendatud koondmass $M = \rho A (\ell_1 + \ell_2) / 2$ või

inertsjõud = 4: *lausmass ja koondmass*; koondmass $M = \rho A (\ell_1 + \ell_2) / (3 \cdot 1.2)$.

EST-meetodil (staatika laiendatud ülekandemaatriksiga) konsistentse koondmassiga $M = \rho A (\ell_1 + \ell_2) / 3$ leitud kaks omavõnkesagedust (jn 6.9a)

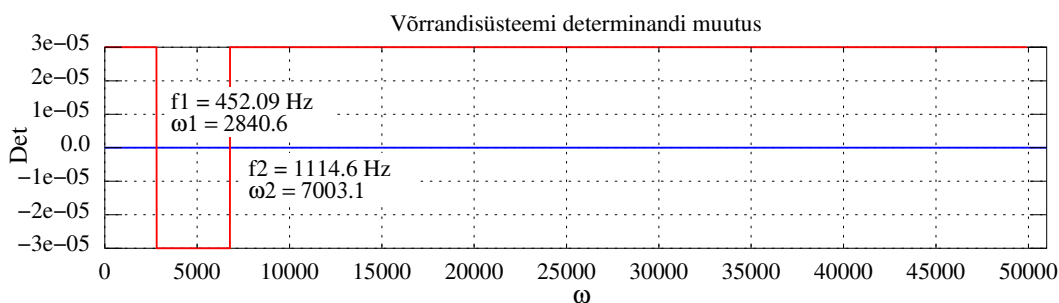
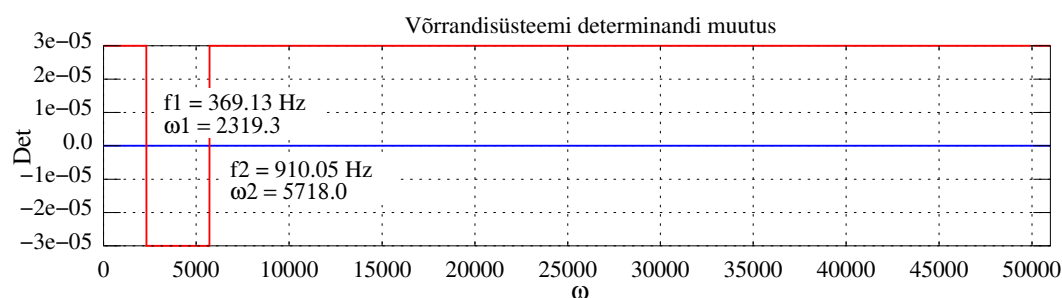
$$\begin{aligned} \omega_1 &= 2.8406 \times 10^3 \text{ s}^{-1}, & f_1 &= 452.09 \text{ Hz} \\ \omega_2 &= 7.0031 \times 10^3 \text{ s}^{-1}, & f_2 &= 1114.6 \text{ Hz} \end{aligned} \quad (6.27)$$

on võrdsed lõplike elementide meetodil konsistentse (CMM) massimaatriksiga leitudega [Ram16, jn 1b].

Keskendatud koondmassiga $M = \rho A (\ell_1 + \ell_2) / 2$ leitud omavõnkesagedused (jn 6.9b)

$$\begin{aligned} \omega_1 &= 2.3193 \times 10^3 \text{ s}^{-1}, & f_1 &= 369.13 \text{ Hz} \\ \omega_2 &= 5.7180 \times 10^3 \text{ s}^{-1}, & f_2 &= 910.05 \text{ Hz} \end{aligned} \quad (6.28)$$

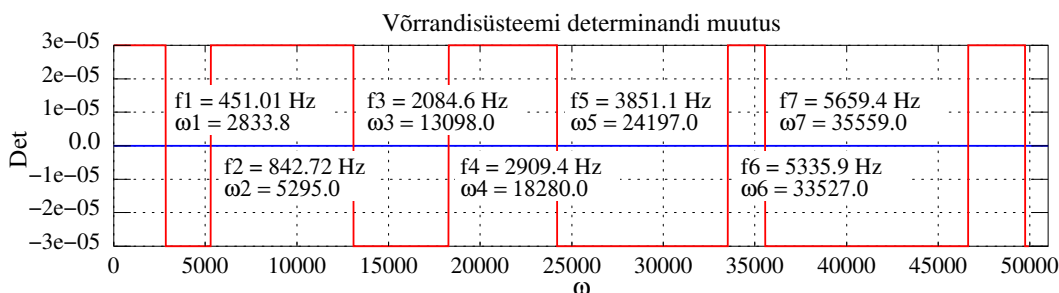
on võrdsed lõplike elementide meetodil keskendatud massimaatriksiga (DLMM) leitudega [Ram16, jn 1b].

(a) Sõlmes on koondmass $\rho A (\ell_1 + \ell_2)/3$ (b) Sõlmes on koondmass $\rho A (\ell_1 + \ell_2)/2$

Joonis 6.9. Koondmassi ja kahe vardaga tarindi omavõnkesagedused

Kirjutises [Ram16, jn 1b] arvutatakse omavõnkesagedusi lõplike elementide meetodiga. Elementide arvu suurendamisega püütakse läheneda lausmassiga tarindile. Leitakse f_1 ja f_2 .

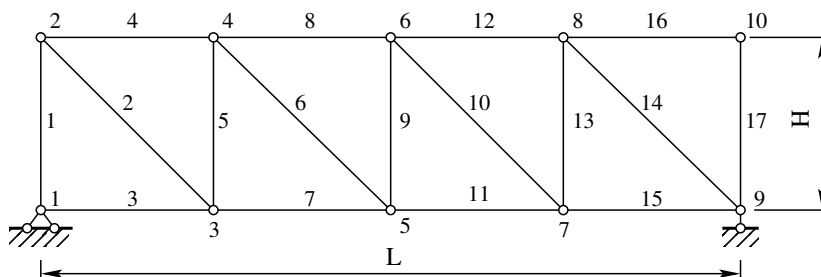
Lausmassi ja koondmassiga tarindid erinevad teineteisest kvalitatiivselt (vt jn 6.4 ja avaldised (6.20), (6.21)). EST-meetodiga lahendamisel (programm **NaideTrussTarind3 VibrDet.m**, inertsjõud = 4) valime lausmassi ja koondmassi $M = \rho A (\ell_1 + \ell_2) / (3 \cdot 1.2)$. Arvutatud omavõnkesagedused on näidatud joonisel 6.10. Siin on koondmass valitud nii, et esimene omavõnkesagedus f_1 oleks võrdne kirjutises [Ram16, jn 4] leituga, teine omavõnkesagedus $f_2 = 842.72$ Hz aga kirjutises pakutust (f_2 -est) oluliselt väiksem.



Joonis 6.10. Koond- ja lausmassiga kahe vardaga tarindi omavõnkesagedused

Näide 6.3 (sõrestiku T omavõnkesagedused). Leida joonisel 6.11 kujutatud sõrestiku omavõnkesagedused.

Andmed. Silde pikkus $L = 2.0$ m, paneeli pikkus $d = 0.5$ m, sõrestiku kõrgus $H = 0.7$ m, ristlõikepindala $A = 4.00 \times 10^{-4}$ m², elastsusmoodul $E = 208.66$ GPa, materjali tihedus $\rho = 7.800 \times 10^3$ kg/m³ (cf. $\rho = 7.85 \times 10^3$ kg/m³, $E = 210$ GPa verifitseerimisnäites [VE 0103]).



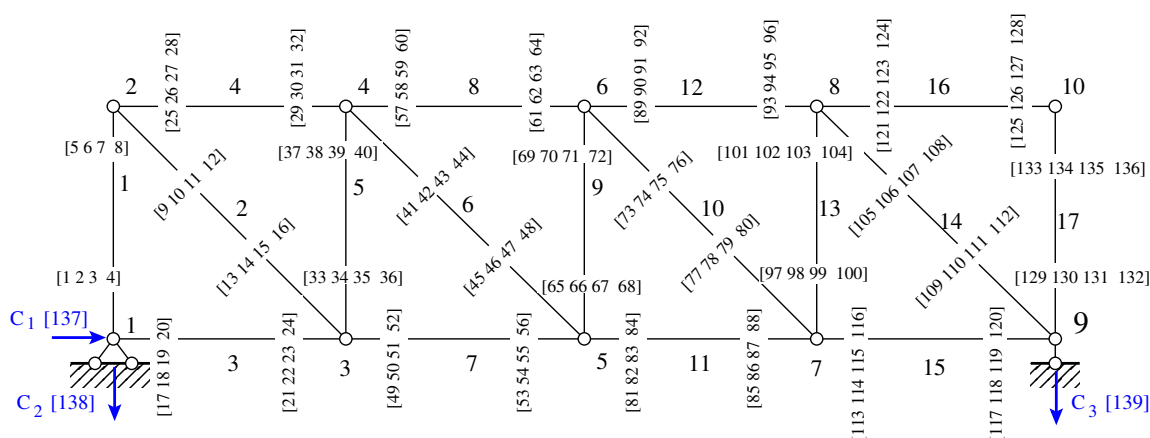
Joonis 6.11. Sõrestik T

Lahendus. Koostame EST-meetodi võrrandisüsteemi

$$spA \cdot Z = 0 \quad (6.29)$$

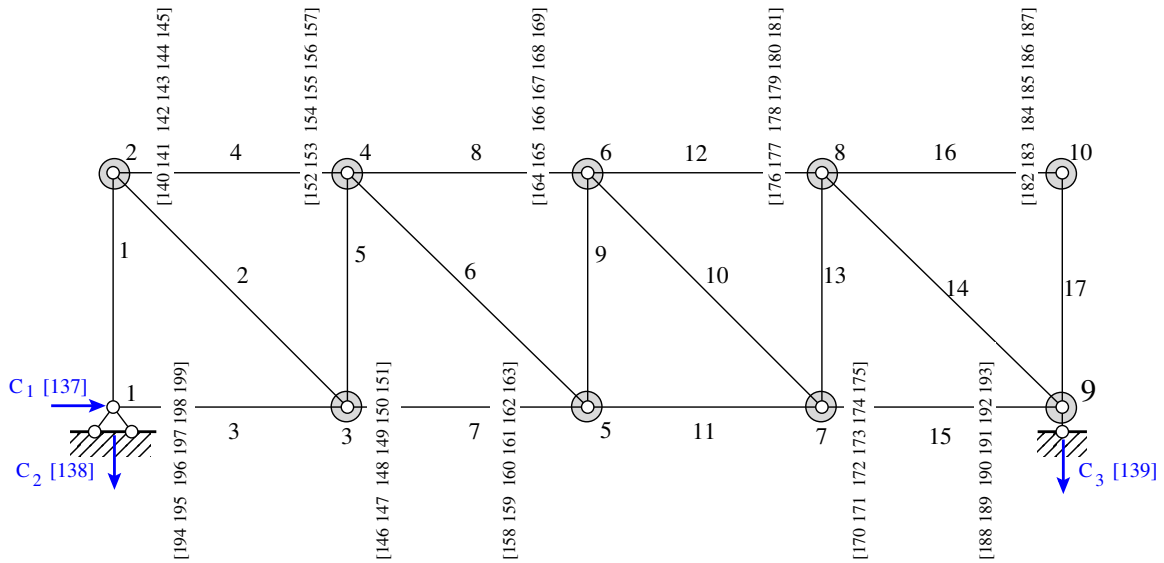
kus Z on võrrandisüsteemi tundmatute vektor, mille elementideks on piki- ja põiksiirded, paindenurgad ning pikijõud varraste alguses ja lõpus, toereaktsioonid ning massi siirded ja inertsi jõud.

Sõrestikuvarraste muutujate järjenumbrid vt joonis 6.12.



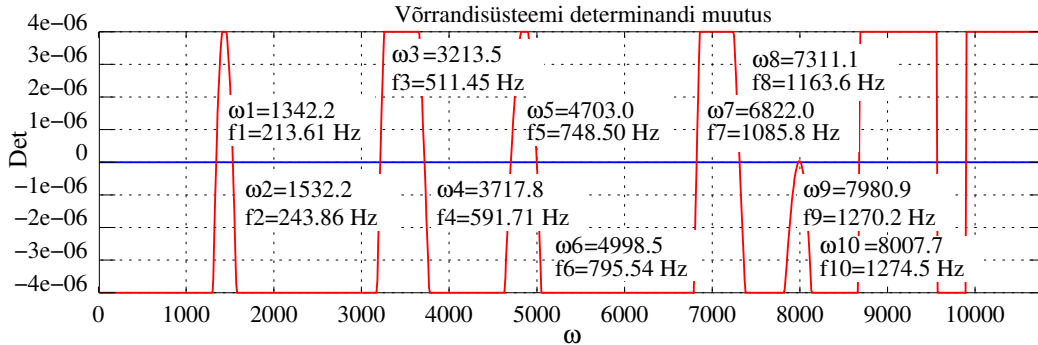
Joonis 6.12. Sõrestiku T muutujate järjenumbrid

Sõrestiku T koondmasside muutujate järjenumbrid on joonisel 6.13.

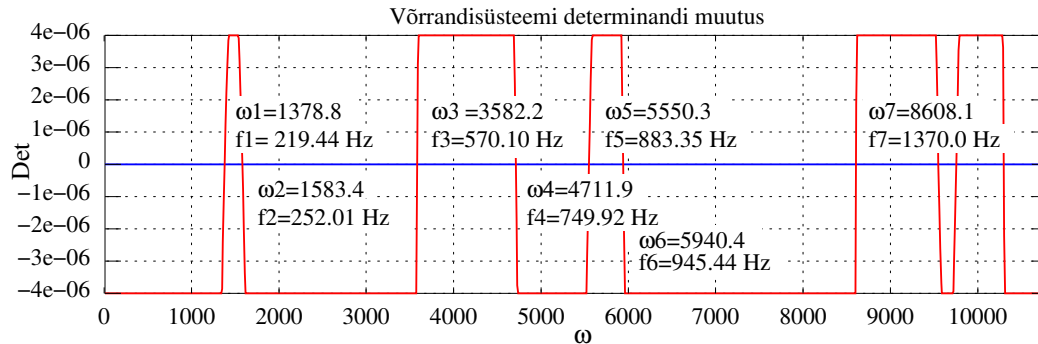


Joonis 6.13. Sõrestiku T koondmasside muutujate järjenumbrid

GNU Octave'i programmiga ([NaideTrussTest3VibrDet.m](#)) arvutatakse sõrestiku T omavõnkesagedused staatika laiendatud ülekandemaatriksiga nii keskendatud kui ka konsistentse koondmassiga.



(a) Sõlmedes on keskendatud koondmass



(b) Sõlmedes on konsistentne koondmass

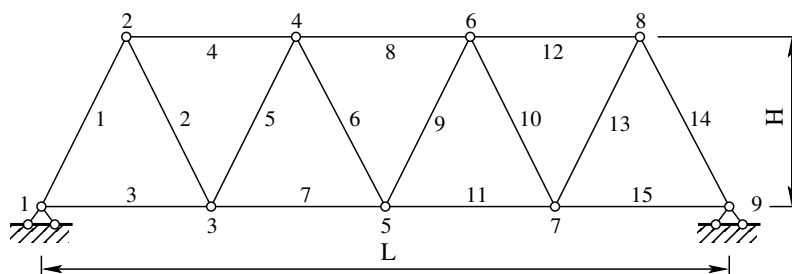
Joonis 6.14. Sõrestiku T omavõnkesagedused

Tabelis 6.1 võrreldakse sõrestiku EST-meetodil konsistentse ja keskendatud koondmassiga arvatud omavõnkesagedusi. Siin esimesed viis keskendatud koondmassiga arvatud omavõnkesagedust ühtivad verifitseerimisnäites [VE 0103] keskendatud massimaatriksiga leitudega.

Tabel 6.1. Sõrestiku T omavõnkesagedused

Omavõnkesagedus	EST-meetod			
	Keskendatud koondmass		Konsistentne koondmass	
	Sagedus ω [s ⁻¹]	Sagedus f [Hz]	Sagedus ω [s ⁻¹]	Sagedus f [Hz]
1.	1342.16	213.61	1378.78	219.44
2.	1532.25	243.86	1583.41	252.01
3.	3213.53	511.45	3582.05	570.10
4.	3717.83	591.71	4711.91	749.92
5.	4702.98	748.50	5550.25	883.35
6.	4998.53	795.54	5940.38	945.44
7.	6822.03	1085.8	8608.07	1370.0
8.	7311.09	1163.6	9549.92	1519.9
9.	7980.87	1270.2	9755.28	1552.6
10.	8007.66	1274.5	10296.29	1638.7
11.	8676.93	1386.9	11150.71	1774.7
12.	9568.30	1522.8	12503.10	1989.9
13.	9893.72	1574.6	13092.80	2083.8
14.	10869.68	1730.0	14787.85	2353.6

Näide 6.4 (sõrestiku AM omavõnkumine). Leida joonisel 6.15 kujutatud sõrestiku omavõnkesagedused.



Joonis 6.15. Sõrestik AM

Andmed. Silde pikkus $L = 8.0$ m, paneeli pikkus $d = 2.0$ m, sõrestiku kõrgus $H =$

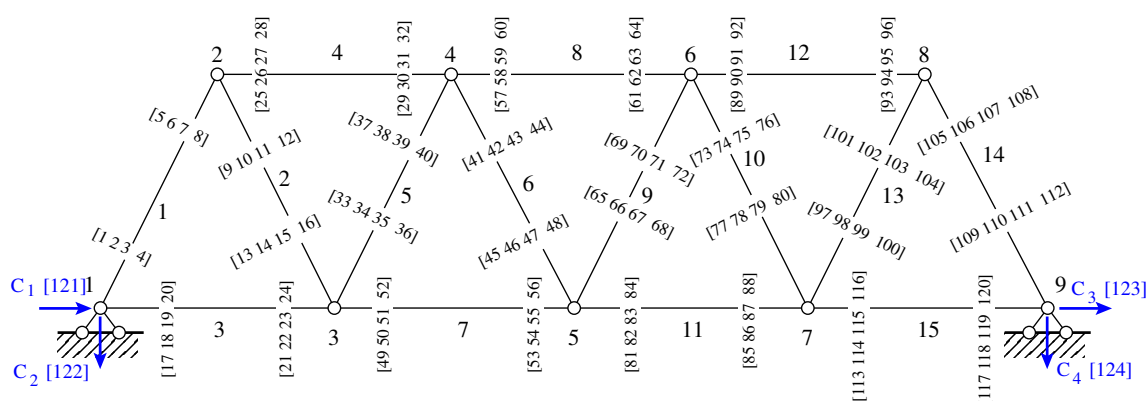
2.0 m, ristlõikepindala $A = 0.001 \text{ m}^2$, elastsusmoodul $E = 206.32 \text{ GPa}$, materjali tihedus $\rho = 7.86 \times 10^3 \text{ kg/m}^3$ (cf. $\rho = 8.0 \times 10^3 \text{ kg/m}^3$, $E = 210 \text{ GPa}$ [AM91], [Arm09]).

Lahendus. Koostame EST-meetodi võrrandisüsteemi

$$\mathbf{spA} \cdot \mathbf{Z} = 0 \quad (6.30)$$

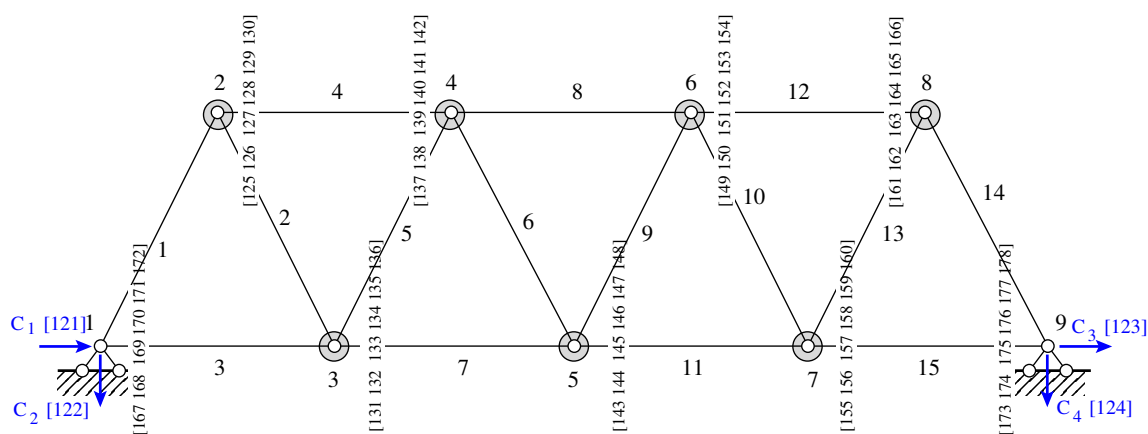
kus \mathbf{Z} on võrrandisüsteemi tundmatute vektor, mille komponentideks on piki- ja põiksiirded, paindenurgad ning pikijõud varraste alguses ja lõpus, toereaktsioonid ning massi siirded ja inertsjõud.

Sõrestikuvarraste muutujate järjenumbriid on joonisel 6.16.



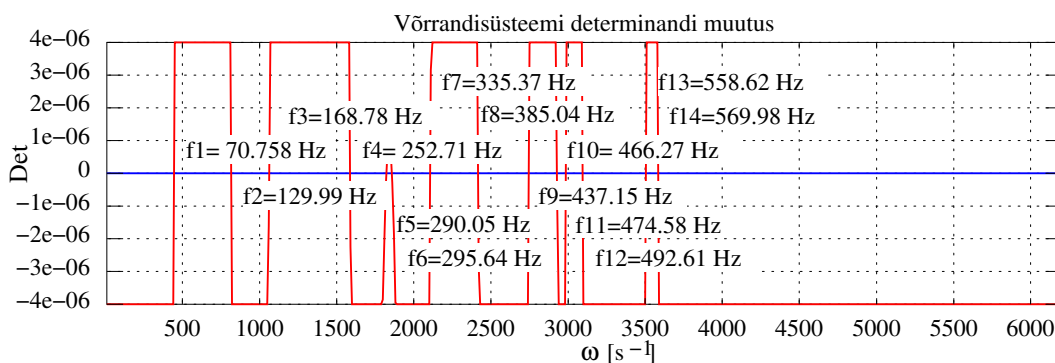
Joonis 6.16. Sõrestiku AM muutujate järjenumbriid

Sõrestiku AM koondmasside muutujate järjenumbriid on toodud joonisel 6.17.

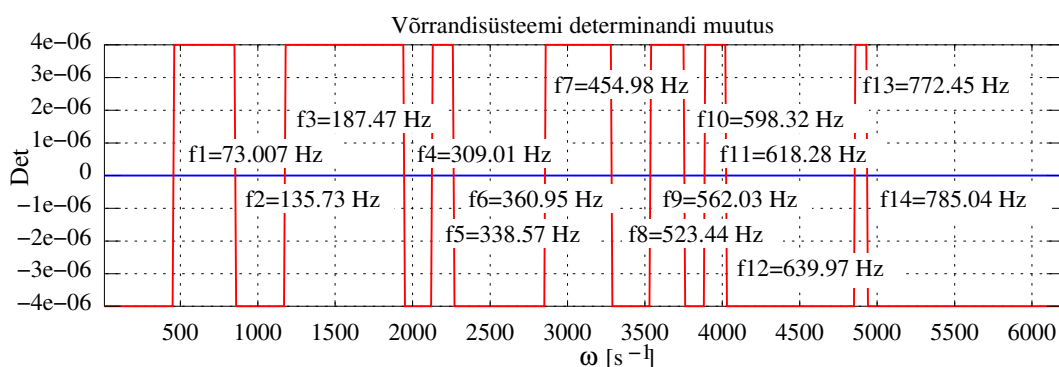


Joonis 6.17. Sõrestiku AM koondmasside muutujate järjenumbriid

GNU Octave'i programmiga [NaideTrussArg3VibrDet.m](#) leiame hõreda võrrandisüsteemi (6.30) determinandi nullid.



(a) Sõlmedes on keskendatud koondmass



(b) Sõlmedes on konsistentne koondmass

Joonis 6.18. Sõrestiku AM omavõnkesagedused

Tabelis 6.2 võrreldakse sõrestiku EST-meetodil programmiga [NaideTrussArg3VibrDet.m](#) konsistentse ja keskendatud koondmassiga arvatud omavõnkesagedusi. Siin esimesed neliteist konsistentse koondmassiga arvatud omavõnkesagedust ühtivad lõplike elementide meetodil [AM91, lk 141] konsistentse massimaatriksiga leitudetega.

Tabel 6.2. Sõrestiku AM omavõnkesagedused

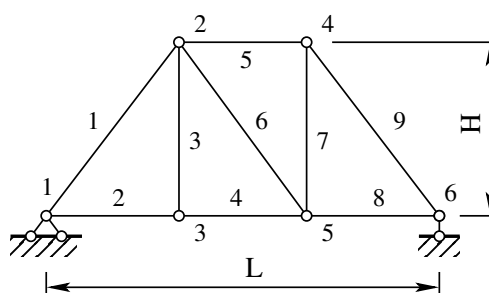
Omavõnkesagedus	EST-meetod			
	Keskendatud koondmass		Konsistentne koondmass	
	Sagedus ω [s ⁻¹]	Sagedus f [Hz]	Sagedus ω [s ⁻¹]	Sagedus f [Hz]
1.	444.587	70.758	458.714	73.007
2.	816.774	129.99	852.847	135.73
3.	1060.46	168.78	1177.92	187.47
4.	1587.84	252.71	1941.58	309.01

Tabeli 6.2 järg

Oma- võnke- sagedus	EST-meetod			
	Keskendatud koondmass		Konsistentne koondmass	
	Sagedus ω [s ⁻¹]	Sagedus f [Hz]	Sagedus ω [s ⁻¹]	Sagedus f [Hz]
5.	1822.44	290.05	2127.27	338.57
6.	1857.57	295.64	2267.94	360.95
7.	2107.17	335.37	2858.71	454.98
8.	2419.26	385.04	3288.87	523.44
9.	2746.70	437.15	3531.36	562.03
10.	2929.68	466.27	3759.36	598.32
11.	2981.88	474.58	3884.74	618.28
12.	3095.15	492.61	4021.03	639.97
13.	3509.89	558.62	4853.46	772.45
14.	3581.26	569.98	4932.58	785.04

Raamatus [AM91, lk 141] toodud sõrestiku omavõnkesagedused on arvatud konsistentse massimaatriksiga Jacobi meetodil. Sealsetes arvutustes on kasutatud lõplike elementide programmi ASKA.

Näide 6.5 (sõrestiku KB omavõnkumine). Leida joonisel 6.19 kujutatud sõrestiku omavõnkesagedused.



Joonis 6.19. Sõrestik KB

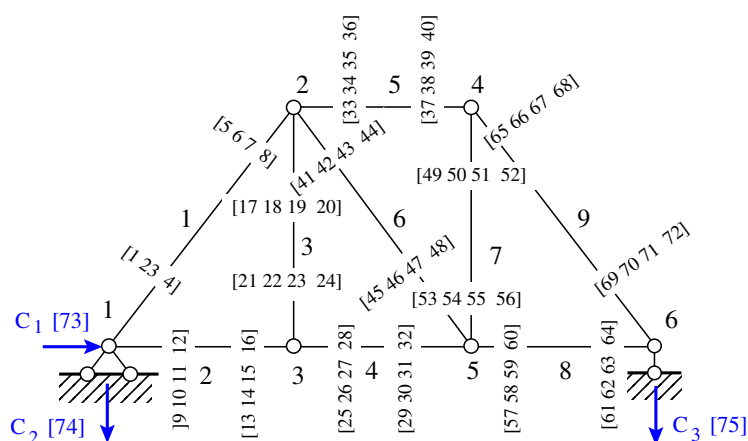
Andmed. Silde pikkus $H = 12.0$ m, paneeli pikkus $d = 4.0$ m, sõrestiku kõrgus $H = 3.0$ m, ristlõikepindala $A = 0.0025$ m², elastsusmoodul $E = 198.47$ GPa, materjali tihedus $\rho = 7.800 \times 10^3$ kg/m³ (cf. $\rho = 7.860 \times 10^3$ kg/m³, $E = 200$ GPa [Kan13, p. 36]).

Lahendus. Koostame EST-meetodi võrrandisüsteemi

$$\text{spA} \cdot \mathbf{Z} = 0 \quad (6.31)$$

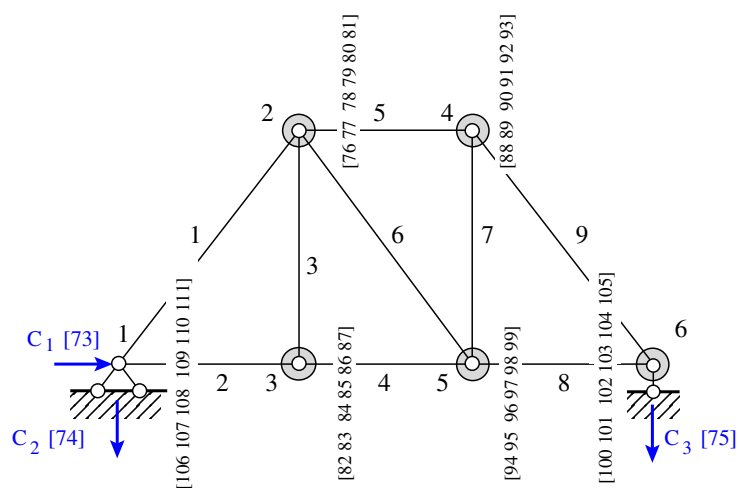
kus \mathbf{Z} on võrrandisüsteemi tundmatute vektor, mille elementideks on piki- ja põiksiirded, paindenurgad ning pikijõud varraste alguses ja lõpus, toereaktsioonid ning massi siirded ja inertsjõud.

Sõrestikuvarraste muutujate järjenumbriid on joonisel 6.20.



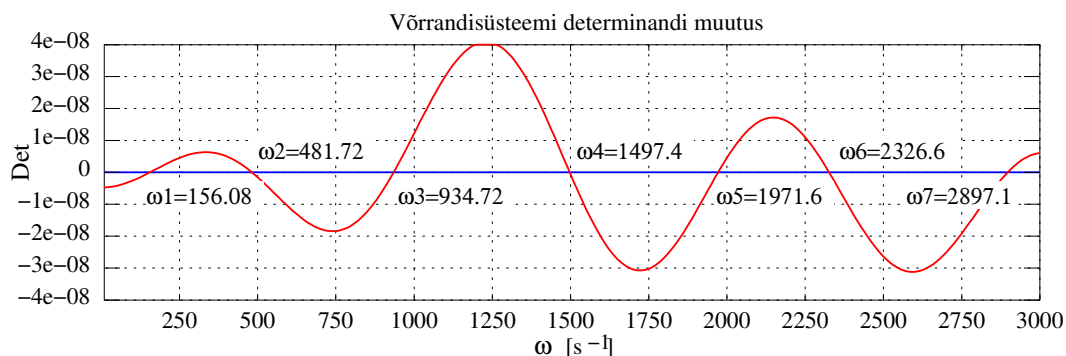
Joonis 6.20. Sõrestiku KB muutujate järjenumbriid

Sõrestiku KB koondmasside muutujate järjenumbriid toome joonisel 6.21.

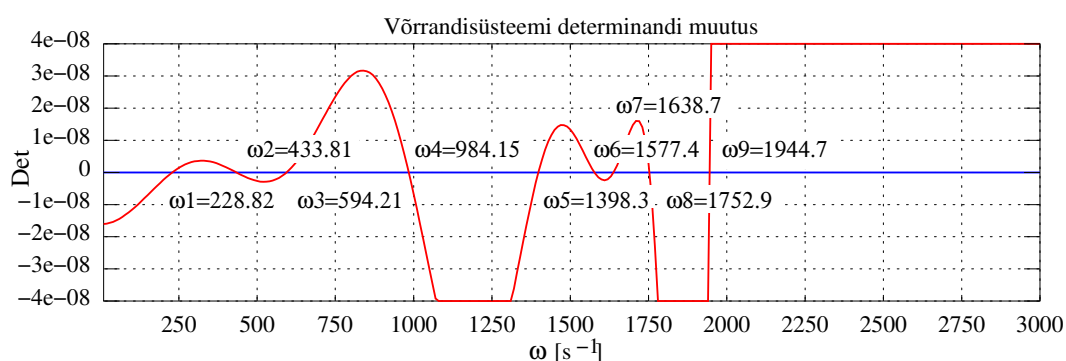


Joonis 6.21. Sõrestiku KB koondmasside muutujate järjenumbriid

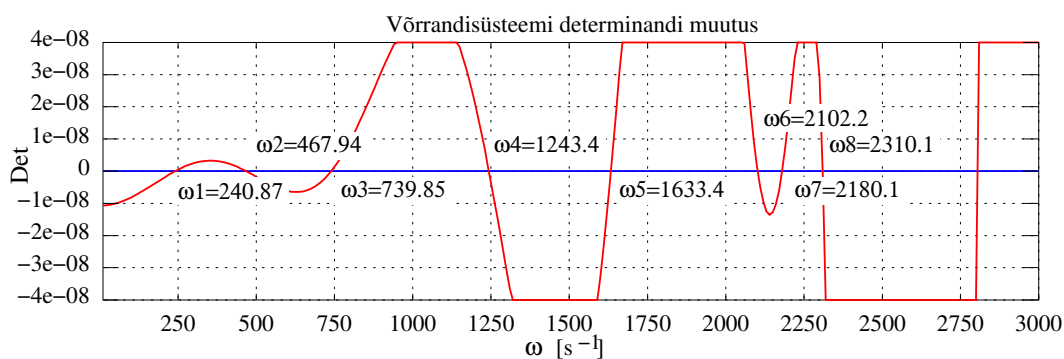
GNU Octave'i programmiga [NaideTrussKB1VibrDet.m](#) leiame hõreda võrrandisüsteemi (6.31) determinandi nullid (jn 6.22).



(a) Lausmassiga sõrestik



(b) Sõlmedes on keskendatud koondmass



(c) Sõlmedes on konsistentne koondmass

Joonis 6.22. Sõrestiku KB omavõnkesagedused

Tabelis 6.3 võrreldakse sõrestiku EST-meetodil konsistentse ja keskendatud koondmassiga arvatud omavõnkesagedusi. Siin esimesed viis konsistentse koondmassiga arvatud omavõnkesagedust ühtivad lõplike elementide meetodil [Kan13, p. 36] konsistentse massimaatriksiga leitudetega.

Tabel 6.3. Sõrestiku KB omavõnkesagedused

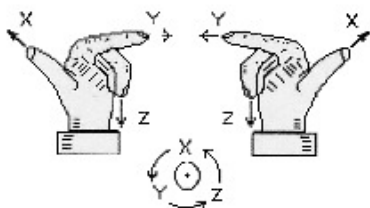
Omavõnkesagedus	EST-meetod			
	Keskendatud koondmass		Konsistentne koondmass	
	Sagedus ω [s ⁻¹]	Sagedus f [Hz]	Sagedus ω [s ⁻¹]	Sagedus f [Hz]
1.	228.82	36.418	240.87	38.336
2.	433.81	69.042	467.94	74.475
3.	594.21	94.572	739.85	117.75
4.	984.15	156.63	1243.4	197.89
5.	1398.3	222.555	1633.4	259.97
6.	1577.4	251.05	2102.2	334.57
7.	1638.7	260.80	2180.1	346.98
8.	1752.9	278.98	2310.1	367.67
9.	1944.7	309.50	2802.2	445.99

A. Vektorite teisendused

A.1 Kohalik ja üldteljestik

Tarindivarraste asukoha ja suuna kirjeldamiseks kasutame xz -üldteljestikku. Varrastarindi iga vardaga seotakse kohalik teljestik x^*z^* nii, et x^* -telg ühtib varda teljega.

Kasutame ainult parema käe teljestikku (jn A.1). Vaadates tasapinnalist tarindit y -telje positiivsest otsast, loeme pöörde positiivseks z -teljest x -telje suunas. Parema käe teljestiku puhul on positiivne pööre (põhjapoolkeral) vastupäeva. Siirete ja jõuvektorite kirjeldamiseks kohalikes ja üldkoordinaatides tuleb teha koordinaatide teisendused.



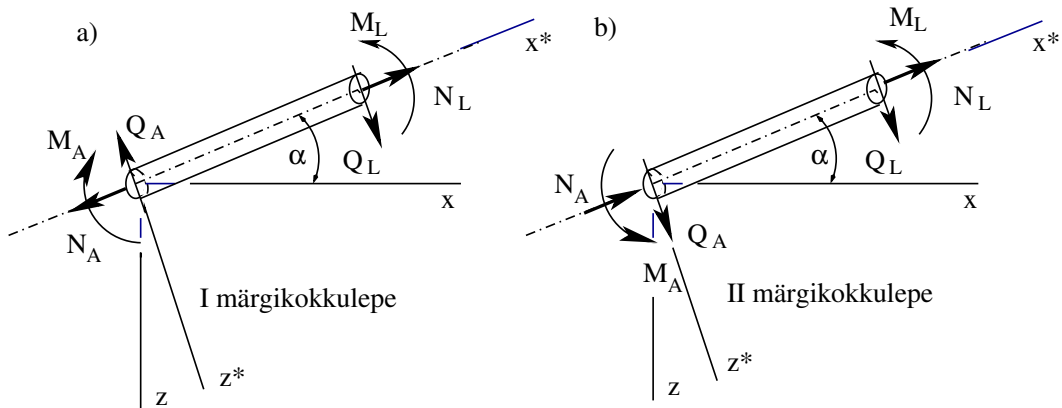
Joonis A.1. Vasaku ja parema käe teljestik

Joonisel on näidatud positiivse pöörde nurga suund. Vaadates telje positiivsest otsast, loeme pöörde positiivseks z -teljest x -telje suunas, x -teljest y -telje suunas ja y -teljest z -telje suunas.

A.2 Märkikokkulepped

Võtame kasutusele parema käe teljestiku (jn A.1). Varda otste välispinnal mõjuvaid rajajõude vaatleme kui välisjõude, täpsemini, kui reaktsiooni mõjuvale koormusele. Reaktsioonijõud määratakse tasakaalutingimustest. Rajajõudude märki määramisel on kasutusel kaks märkikokkulepet. *Esimene märkikokkulepe* (jn A.2a) on tuttav tugevusõpetusest. *Teine märkikokkulepe* (jn A.2b) on vajalik varrassüsteemide tasakaaluvõrrandite algoritmide koostamiseks.

Märkikokkuleppeid võrreldes näeme, et rajajõudude suunad varda lõpus ühtivad, varda alguses on aga vastandmärgilised.



Joonis A.2. Märgikokkulepped

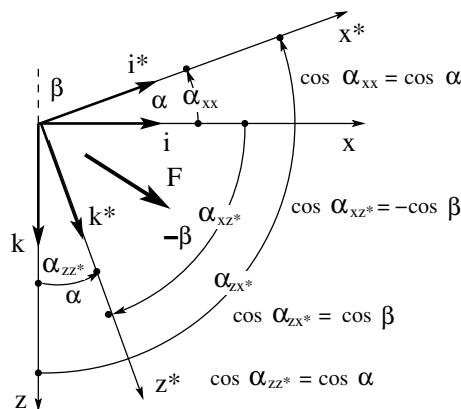
A.3 Koordinaatide teisendus

Koordinaatide teisendusvalemite tuletamiseks vaatleme joonist A.3. Olgu koordinaadid x, y, z üldkoordinaadid ja x^*, y^*, z^* kohalikud koordinaadid. Vaatleme veel parema käe kolmikuid $\mathbf{i}, \mathbf{j}, \mathbf{k}$ ja $\mathbf{i}^*, \mathbf{j}^*, \mathbf{k}^*$. Need on ühikvektorite kolmikud, mis määravad koordinaattelgede suuna. Joonisel A.3 on ühikvektorid \mathbf{j} ja \mathbf{j}^* suunatud vaataja poole. Vektori \vec{F} projektsioonid telgedele x, z on F_x, F_z , telgedele x^*, z^* aga F_x^*, F_z^* . Seega

$$\vec{F} = F_x \cdot \vec{i} + F_z \cdot \vec{k} = F_x^* \cdot \vec{i}^* + F_z^* \cdot \vec{k}^*, \quad \left\{ \begin{array}{c} \vec{i}^* \\ \vec{k}^* \end{array} \right\}, \quad \left\{ \begin{array}{c} \vec{i} \\ \vec{k} \end{array} \right\} \quad (\text{A.1})$$

Korrutame avaldise (A.1) vektoritega \vec{i}^* ja \vec{k}^* . Võtame arvesse, et risti olevate vektorite skalaarkorrutis (sisekorrutis) on null. Saame

$$\begin{aligned} \vec{F} \cdot \vec{i}^* &= F_x^* = F_x \cdot \vec{i} \cdot \vec{i}^* + F_z \cdot \vec{k} \cdot \vec{i}^* \\ \vec{F} \cdot \vec{k}^* &= F_z^* = F_x \cdot \vec{i} \cdot \vec{k}^* + F_z \cdot \vec{k} \cdot \vec{k}^* \end{aligned} \quad (\text{A.2})$$



Joonis A.3. Koordinaatide teisendus

Pöördseoste leidmiseks korrutame avaldist (A.1) vektoritega \vec{i} ja \vec{k} :

$$\begin{aligned}\vec{F} \cdot \vec{i} &= F_x = F_x^* \cdot \vec{i}^* \cdot \vec{i} + F_z^* \cdot \vec{k}^* \cdot \vec{i} \\ \vec{F} \cdot \vec{k} &= F_z^* = F_x^* \cdot \vec{i}^* \cdot \vec{k} + F_z^* \cdot \vec{k}^* \cdot \vec{k}\end{aligned}\quad (\text{A.3})$$

Ühikvektorite skalaarkorrutis võrdub nende positiivsete suundade vahelise nurga koosinusega:

$$\begin{aligned}\vec{i} \cdot \vec{i}^* &= \vec{i}^* \cdot \vec{i} = \cos \alpha_{xx^*}, & \vec{i} \cdot \vec{k}^* &= \cos \alpha_{xz^*} \\ \vec{k} \cdot \vec{k}^* &= \vec{k}^* \cdot \vec{k} = \cos \alpha_{zz^*}, & \vec{i}^* \cdot \vec{k} &= \cos \alpha_{zx^*}\end{aligned}\quad (\text{A.4})$$

Telje x^* suunakoosinused tähistame järgmiselt: $\cos \alpha_{xx^*} = \cos \alpha$ ja $\cos \alpha_{zx^*} = \cos \beta$ ($\cos \beta = \cos(90^\circ + \alpha) = -\sin \alpha$). Jooniselt A.3 näeme, et

$$\begin{aligned}\cos \alpha_{xx^*} &= \cos \alpha, & \cos \alpha_{zx^*} &= \cos \beta \\ \cos \alpha_{zz^*} &= \cos \alpha, & \cos \alpha_{xz^*} &= -\cos \beta\end{aligned}\quad (\text{A.5})$$

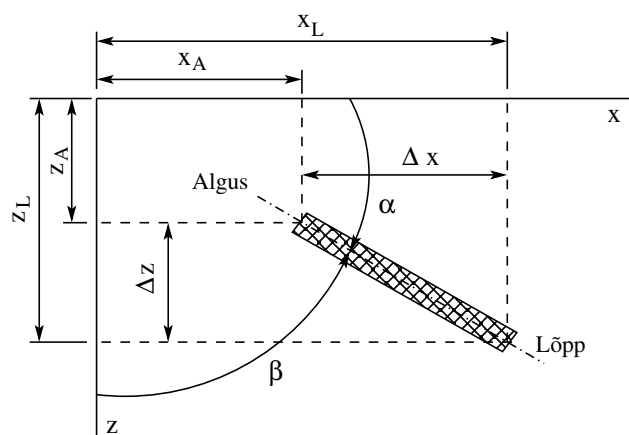
Suunakoosinused arvutame varda lõpu ja alguse koordinaatide x_L, z_L, x_A, z_A (jn A.4) järgi:

$$\cos \alpha = \frac{x_L - x_A}{l} \quad (\text{A.6})$$

$$\cos \beta = \frac{z_L - z_A}{l} \quad (\text{A.7})$$

kus varda pikkus

$$l = \sqrt{(z_L - z_A)^2 + (x_L - x_A)^2} \quad (\text{A.8})$$



Joonis A.4. Varda suunakoosinused

Nüüd avaldame koordinaatide teisenduse:

$$\begin{bmatrix} F_x^* \\ F_z^* \end{bmatrix} = \begin{bmatrix} \cos \alpha & \cos \beta \\ -\cos \beta & \cos \alpha \end{bmatrix} \begin{bmatrix} F_x \\ F_z \end{bmatrix} \quad (\text{A.9})$$

Koordinaatide pöördteisendus (teisendus kohalikest koordinaatidest üldkoordinaatidesse, vt GNU Octave'i funktsioon `spTeisndMaatriks.m`):

$$\begin{bmatrix} F_x \\ F_z \end{bmatrix} = \begin{bmatrix} \cos \alpha & -\cos \beta \\ \cos \beta & \cos \alpha \end{bmatrix} \begin{bmatrix} F_x^* \\ F_z^* \end{bmatrix} \quad (\text{A.10})$$

Võrreldes koordinaatide teisendusmaatrikseid avaldistes (A.9) ja (A.10), näeme, et nendes on read ja veerud vahetatud, s.t ühe saab teisest *transponeerimisel*. Asendades F_x ja F_z võrrandis (A.9) nende avaldistega võrrandis (A.10), saame maatrikskorrutise

$$\begin{bmatrix} \cos \alpha & \cos \beta \\ -\cos \beta & \cos \alpha \end{bmatrix} \begin{bmatrix} \cos \alpha & -\cos \beta \\ \cos \beta & \cos \alpha \end{bmatrix} = \begin{bmatrix} 1 & 0 \\ 0 & 1 \end{bmatrix} \quad (\text{A.11})$$

Siin annab maatriksi korrutamine tema transponeeritud kujuga ühikmaatriksi. Selliseid maatrikseid nimetatakse *ortogonaalseteks*. Ortogonaalse maatriksi pöördmaatriks võrdub tema transponeeritud kujuga (mõlemal juhul on korrutiseks ühikmaatriks).

Arvestades, et $\cos \beta = \cos(90^\circ + \alpha) = -\sin \alpha$, võime seosed (A.9) kirjutada kujul

$$\begin{bmatrix} F_x^* \\ F_z^* \end{bmatrix} = \begin{bmatrix} \cos \alpha & -\sin \alpha \\ \sin \alpha & \cos \alpha \end{bmatrix} \begin{bmatrix} F_x \\ F_z \end{bmatrix} \quad (\text{A.12})$$

ja pöördteisenduse

$$\begin{bmatrix} F_x \\ F_z \end{bmatrix} = \begin{bmatrix} \cos \alpha & \sin \alpha \\ -\sin \alpha & \cos \alpha \end{bmatrix} \begin{bmatrix} F_x^* \\ F_z^* \end{bmatrix} \quad (\text{A.13})$$

Koordinaatide teisendus pöördel nurga α võrra:

– ümber z^* -telje

$$\begin{bmatrix} x \\ y \\ z \end{bmatrix} = R_{z^*}(\alpha) \begin{bmatrix} x^* \\ y^* \\ z^* \end{bmatrix} = \begin{bmatrix} \cos \alpha & \sin \alpha & 0 \\ -\sin \alpha & \cos \alpha & 0 \\ 0 & 0 & 1 \end{bmatrix} \begin{bmatrix} x^* \\ y^* \\ z^* \end{bmatrix} \quad (\text{A.14})$$

– ümber x^* -telje

$$\begin{bmatrix} x \\ y \\ z \end{bmatrix} = R_{x^*}(\alpha) \begin{bmatrix} x^* \\ y^* \\ z^* \end{bmatrix} = \begin{bmatrix} 1 & 0 & 0 \\ 0 & \cos \alpha & -\sin \alpha \\ 0 & \sin \alpha & \cos \alpha \end{bmatrix} \begin{bmatrix} x^* \\ y^* \\ z^* \end{bmatrix} \quad (\text{A.15})$$

– ümber y^* -telje

$$\begin{bmatrix} x \\ y \\ z \end{bmatrix} = R_{y^*}(\alpha) \begin{bmatrix} x^* \\ y^* \\ z^* \end{bmatrix} = \begin{bmatrix} \cos \alpha & 0 & -\sin \alpha \\ 0 & 1 & 0 \\ \sin \alpha & 0 & \cos \alpha \end{bmatrix} \begin{bmatrix} x^* \\ y^* \\ z^* \end{bmatrix} \quad (\text{A.16})$$

Näide A.1 (vektorite teisendus pöördel). Olgu antud varda väändenurga vektor $\theta_x^{(1)}$ ja paindenurga vektor $\varphi_y^{(1)}$. Kohalike koordinaatide x^* , y^* pöördel ümber z^* -telje nurga $-\pi/2$ võrra

$$\begin{bmatrix} \theta_x^{(2)} \\ \varphi_y^{(2)} \\ z^* \end{bmatrix} = R_{x^*} \begin{bmatrix} x^* \\ y^* \\ z^* \end{bmatrix} = \begin{bmatrix} \cos(\pi/2) & \sin(\pi/2) & 0 \\ -\sin(\pi/2) & \cos(\pi/2) & 0 \\ 0 & 0 & 1 \end{bmatrix} \begin{bmatrix} \theta_x^{(1)} \\ \varphi_y^{(1)} \\ z^* \end{bmatrix} \quad (\text{A.17})$$

Siit

$$\theta_x^{(2)} + \varphi_y^{(1)} = 0 \quad (\text{A.18})$$

$$\varphi_y^{(2)} - \theta_x^{(1)} = 0 \quad (\text{A.19})$$

Avaldised (A.18) ja (A.19) selgitavad, kuidas tuleb pöörete vektorid kontakti panna.

Murdepunktis peavad olema tasakaalus väändemomendi vektor $T_x^{(1)}$ ja paindemomendi vektor $M_y^{(1)}$ ning vektorid $T_x^{(2)}$ ja $M_y^{(2)}$:

$$T_x^{(2)} - M_y^{(1)} = 0 \quad (\text{A.20})$$

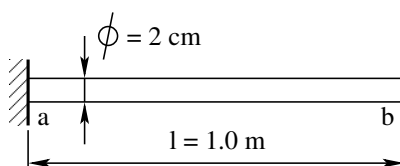
$$M_y^{(2)} + T_x^{(1)} = 0 \quad (\text{A.21})$$

B. EST-meetodiga lahendatud ülesandeid

Algparameetrid varrassüsteemi võnkumise diferentsiaalvõrrandite lahendamiseks leitakse EST-meetodiga. Varda siirete ja sisejõudude arvutamisel ülekandemaatriksmeetodiga kasutatakse leitud algparameetreid.

B.1 Varda võnkumise arvutusi

Näide B.1 (varda S1 omavõnkumine). Leida joonisel B.1 kujutatud sõrestikuvarda (vt ka jn 6.3) [Ram16, jn 1b] omavõnkesagedused ja -vormid.



Joonis B.1. Konsoolvarras S1

Andmed. Varda pikkus $\ell = 1.0$ m, ristlõike diameeter $d = 2.0$ cm, elastsusmoodul $E = 210$ GPa, materjali tihedus $\rho = 7.80 \times 10^3$ kg/m³.

Lahendus. Omavõnkesageduse arvutamiseks koostame EST-meetodi võrrandisüsteemi

$$\mathbf{spA} \cdot \mathbf{Z} = 0 \quad (\text{B.1})$$

kus \mathbf{Z} on võrrandisüsteemi tundmatute vektor:

$$\mathbf{Z} = \hat{\mathbf{Z}} = \begin{bmatrix} \mathbf{Z}_a \\ \mathbf{Z}_b \end{bmatrix} \quad (\text{B.2})$$

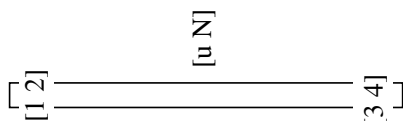
Vektori komponentideks on pikisiirded ja pikijõud varda ab alguses ning lõpus (1.21):

$$\mathbf{Z}_a = \begin{bmatrix} u_A^{(ab)} \\ N_A^{(ab)} \end{bmatrix} = \begin{bmatrix} Z(1) \\ Z(2) \end{bmatrix}, \quad \mathbf{Z}_b = \begin{bmatrix} u_L^{(ab)} \\ N_L^{(ab)} \end{bmatrix} = \begin{bmatrix} Z(3) \\ Z(4) \end{bmatrix} \quad (\text{B.3})$$

Muutujate $Z(i)$ järjenumbrid ($i = 1, 2, 3, 4$) on toodud joonisel B.2.

Võrrandisüsteemi (B.1) kaks esimest võrrandit on põhivõrrandid (1.47). Ülejäänud kaks võrrandit saame rajatingimustest:

$$\begin{aligned} Z(1) &= u_A^{(ab)} = 0 \\ Z(4) &= N_L^{(ab)} = 0 \end{aligned} \quad (\text{B.4})$$



Joonis B.2. Konsoolvarda S1 muutujate järjenumbrid

GNU Octave'i programmiga **NaidePikeS1.m** leiame hõreda võrrandisüsteemi (B.1) determinandi nullid. Determinandi arvutus on toodud programmi väljavõttes B.1.

```
Väljavõte programmist B.1 (NaidePikeS1.m) %
# hõreda laiendatud ülekan demaatriksi arvutus
spvF=splvfmPike (baasi0, l, A, wf, md, E);
IIv=1;
IJv=1;

# sisestab ülekan demaatriksi võrrandisüsteemi spA*Z=0
spA=spInsertBtoA (spA, IIv, IJv, spvF);
##### Rajatingimused
spA=spSisestaArv (spA, 3, 1, 1); # $u_A$ - pikisiire
spA=spSisestaArv (spA, 4, 4, 1); # $T_L$ - $N_L$ - pikijõud

spA determinant
D (j)=det (spA);
```

Võrrandisüsteemi (B.1) determinandi märk muutub nurksageduse ω vahemikus, mida täpsustatakse etteantud väärtuseni $eps0$ (vt arvutuspäeviku väljavõte B.1).

Väljavõte arvutuspäevikust B.1 (NaidePikeS1.m)

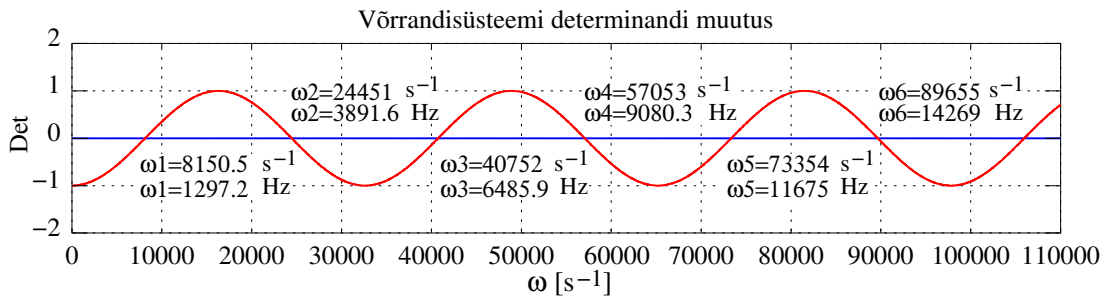
```
octave:1>NaidePikeS1
l = 1
d = 0.02
A = 3.1416e-04
E = 2.1000e+11
md = 7800
EA = 65973600
baasi0 = 65973600
alg=0.1
samm = 15
lop = 110000
Arvutuse algus.
NNK = 4
----- Sparse matrix instantiation -----
spA=sparse (NNK, NNK)
Oota! Arvutan.
Lähme esimest determinandi nulli täpsustama.
wf_enne = 8150.5
wf_parast = 8150.5
```

```
*****
Arvutus on lõppenud.
octave:2>
```

Valime pikisiirde skaleerimisteguri võrdseks pikkejääkusega (baasi0 = EA). Nüüd on omavõnkevormide amplituudid suuremad, kuid omavõnkesagedused jäävad samaks.

Varda (jn B.1) esimesed kuus omavõnkesagedust on $\omega_1 = 8150.5 \text{ s}^{-1}$, $\omega_2 = 2.4451 \times 10^4 \text{ s}^{-1}$, $\omega_3 = 4.0752 \times 10^4 \text{ s}^{-1}$, $\omega_4 = 5.7053 \times 10^4 \text{ s}^{-1}$, $\omega_5 = 7.3354 \times 10^4 \text{ s}^{-1}$ ja $\omega_6 = 8.9655 \times 10^4 \text{ s}^{-1}$.

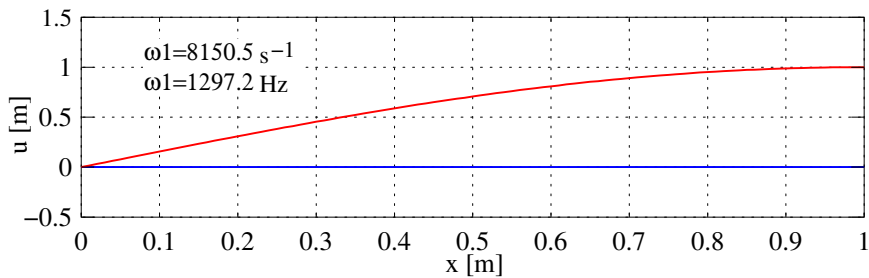
Võrrandisüsteemi (B.1) determinandi sõltuvus nurksagedusest ω on toodud joonisel B.3.



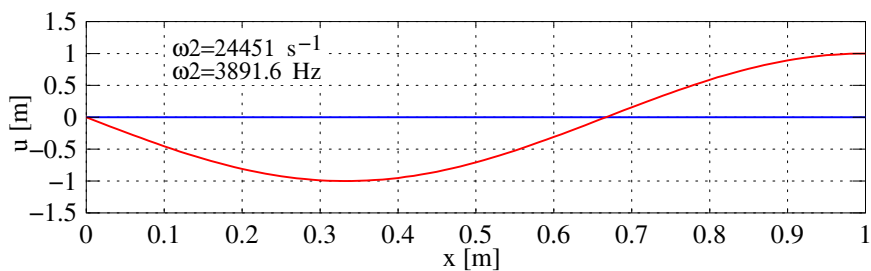
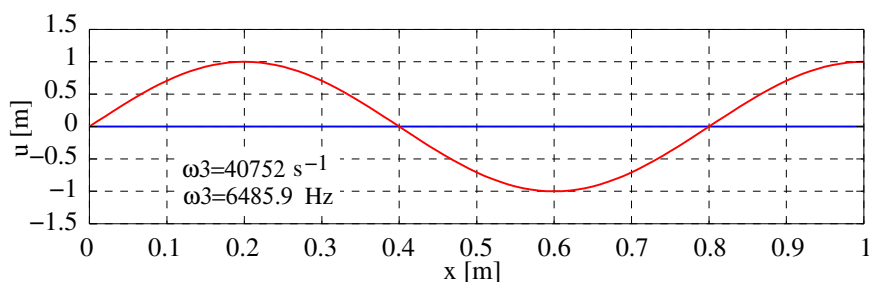
Joonis B.3. Varda S1 omavõnkesagedused

Omavõnkevormid sagedustel $\omega_1 = 8150.5 \text{ s}^{-1}$, $\omega_2 = 24451 \text{ s}^{-1}$ ja $\omega_3 = 40752 \text{ s}^{-1}$ leiame vastavalt GNU Octave'i programmidega [NaidePikeS1w1.m](#), [NaidePikeS1w2.m](#) ning [NaidePikeS1w3.m](#).

Omavõnkevormid toome joonisel B.4.

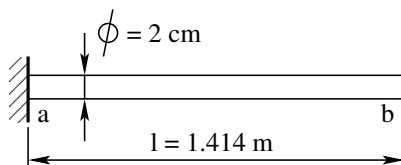


(a) Omavõnkevorm sagedusel $\omega_1 = 8150.5 \text{ s}^{-1}$

(b) Omavõnkevorm sagedusel $\omega_2 = 24451 \text{ s}^{-1}$ (c) Omavõnkevorm sagedusel $\omega_3 = 40752 \text{ s}^{-1}$

Joonis B.4. Varda S1 omavõnkevormid

Näide B.2 (varda S2 omavõnkkumine). Leida joonisel B.5 kujutatud sõrestikuvarda (vt ka jn 6.3) [Ram16, jn 1b] omavõnkesagedused ja -vormid.



Joonis B.5. Konsoolvarras S2

Andmed. Varda pikkus $\ell = 1.4142 \text{ m}$, ristlõike diameeter $d = 2.0 \text{ cm}$, elastsusmoodul $E = 210 \text{ GPa}$, materjali tihedus $\rho = 7.80 \times 10^3 \text{ kg/m}^3$.

Lahendus. Omavõnkesageduse arvutamiseks koostame EST-meetodi võrrandisüsteemi

$$\text{spA} \cdot \mathbf{Z} = 0 \quad (\text{B.5})$$

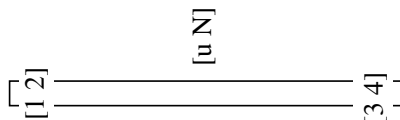
kus \mathbf{Z} on võrrandisüsteemi tundmatute vektor:

$$\mathbf{Z} = \hat{\mathbf{Z}} = \begin{bmatrix} \mathbf{Z}_a \\ \mathbf{Z}_b \end{bmatrix} \quad (\text{B.6})$$

Vektori komponentideks on pikisiirded ja pikijõud varda ab alguses ning lõpus (1.21):

$$\mathbf{Z}_a = \begin{bmatrix} u_A^{(ab)} \\ N_A^{(ab)} \end{bmatrix} = \begin{bmatrix} Z(1) \\ Z(2) \end{bmatrix}, \quad \mathbf{Z}_b = \begin{bmatrix} u_L^{(ab)} \\ N_L^{(ab)} \end{bmatrix} = \begin{bmatrix} Z(3) \\ Z(4) \end{bmatrix} \quad (\text{B.7})$$

Muutujate $Z(i)$ järjenumbrid ($i = 1, 2, 3, 4$) on toodud joonisel B.6.



Joonis B.6. Konsoolvarda S2 muutujate järjenumbrid

Võrrandisüsteemi (B.5) kaks esimest võrrandit on põhivõrrandid (1.47). Ülejäänud kaks võrrandit saame rajatingimustest:

$$\begin{aligned} Z(1) &= u_A^{(ab)} = 0 \\ Z(4) &= N_L^{(ab)} = 0 \end{aligned} \quad (\text{B.8})$$

GNU Octave'i programmiga **NaidePikeS2.m** leiame hõreda võrrandisüsteemi (B.1) determinandi nullid. Determinandi arvutuse toome programmi väljavõttes B.2.

Väljavõte programmist B.2 (NaidePikeS2.m)

```
# hõreda laiendatud ülekandemaatriksi arvutus
spvF=spfvfmPike(baasi0,l,A,wf,md,E);
IIv=1;
IJv=1;

# sisestab ülekandemaatriksi võrrandisüsteemi spA*Z=0
spA=spInsertBtoA(spA,IIv,IJv,spvF);
##### Rajatingimused
spA=spSisestaArv(spA,3,1,1); # $u_A$ - pikisiire
spA=spSisestaArv(spA,4,4,1); # $T_L$ - $N_L$ - pikijõud

spA determinant
D(j)=det(spA);
```

Võrrandisüsteemi (B.5) determinandi märk muutub nurksageduse ω vahemikus, mida täpsustatakse kuni etteantud väärtuseni $eps0$ (vt arvutuspäeviku väljavõte B.2).

Väljavõte arvutuspäevikust B.2 (NaidePikeS2.m)

```
octave:1>NaidePikeS2
l = 1
d = 0.02
A = 3.1416e-04
E = 2.1000e+11
md = 7800
EA = 65973600
baasi0 = 65973600
alg=0.1
samm = 15
lop = 110000
Arvutuse algus.
```

```

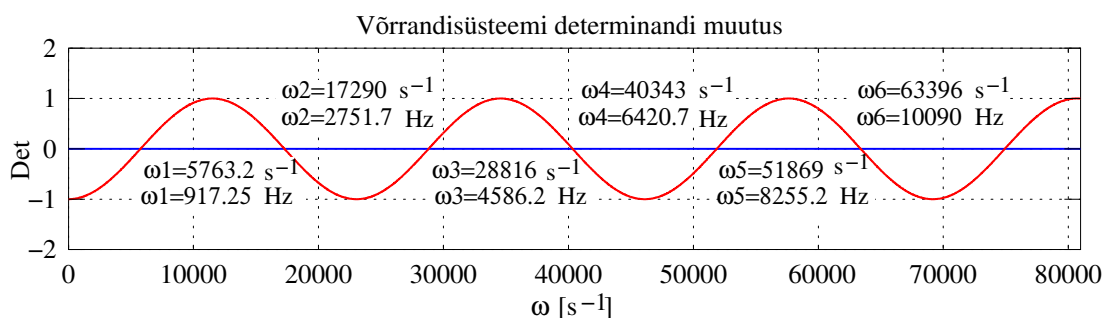
NNK = 4
----- Sparse matrix instantiation -----
spA=sparse(NNK,NNK)
Oota! Arvutan.
Lähme esimest determinandi nulli täpsustama.
wf_enne = 8150.5
wf_parast = 8150.5
*****
Arvutus on lõppenud.
octave:2>

```

Valime pikisiirde skaleerimisteguri võrdseks pikkejääkusega (baasi0 = EA). Nüüd saame suuremad omavõnkevormide amplituudid, kuid omavõnkesagedused jäävad samaks.

Varda (jn B.5) esimesed kuus omavõnkesagedust on $\omega_1 = 5763.2 \text{ s}^{-1}$, $\omega_2 = 1.7290 \times 10^4 \text{ s}^{-1}$, $\omega_3 = 2.8816 \times 10^4 \text{ s}^{-1}$, $\omega_4 = 4.0343 \times 10^4 \text{ s}^{-1}$, $\omega_5 = 5.1869 \times 10^4 \text{ s}^{-1}$ ja $\omega_6 = 6.3396 \times 10^4 \text{ s}^{-1}$.

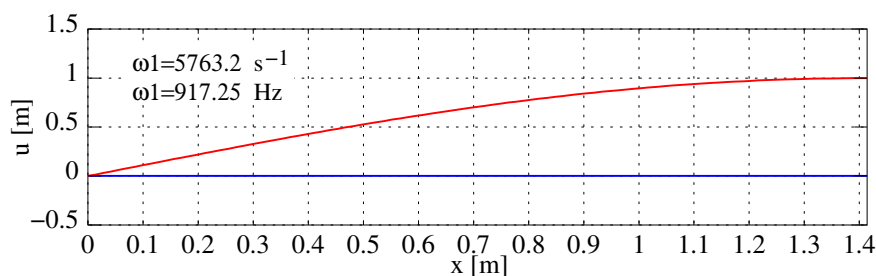
Võrrandisüsteemi (B.5) determinandi sõltuvus nurksagedusest ω on kujutatud joonisel B.7.



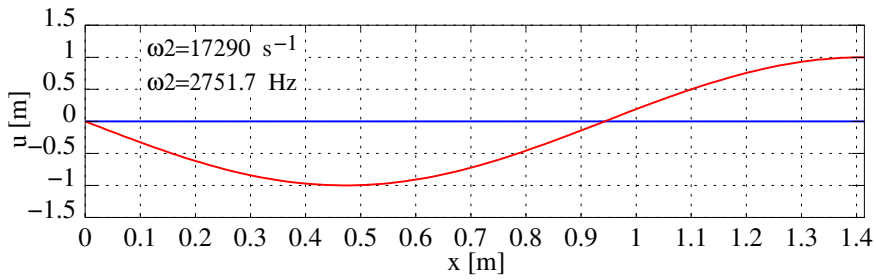
Joonis B.7. Varda S2 omavõnkesagedused

Omavõnkevormid sagedustel $\omega_1 = 5763.2 \text{ s}^{-1}$, $\omega_2 = 17290 \text{ s}^{-1}$ ja $\omega_3 = 28816 \text{ s}^{-1}$ leiame vastavalt GNU Octave'i programmidega [NaidePikeS2w1.m](#), [NaidePikeS2w2.m](#) ning [NaidePikeS2w3.m](#).

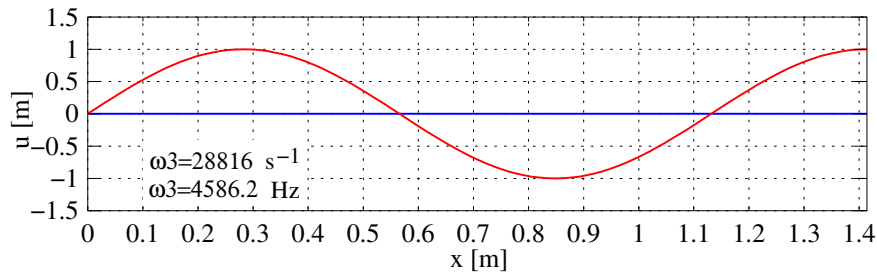
Omavõnkevormid on toodud joonisel B.8.



(a) Omavõnkevorm sagedusel $\omega_1 = 5763.2 \text{ s}^{-1}$



(b) Omavõnkevorm sagedusel $\omega_2 = 17290 \text{ s}^{-1}$



(c) Omavõnkevorm sagedusel $\omega_3 = 28816 \text{ s}^{-1}$

Joonis B.8. Varda S2 omavõnkevormid

B.2 Raami sundvõnkumise arvutusi

Raami sundvõnkumist vaatleme antisümmeetrilisel (jaot 5.3, jn 5.13) ja sümmeetrilisel koormusel (jaot 5.3, jn 5.15).

B.2.1 Jäikade sõlmedega põikraami antisümmeetriline sundvõnkumine

Antisümmeetrilise koormuse esimene piirkond (vt lk 183). Sagedus $\omega = 7.2216 \times 10 \text{ s}^{-1}$, $\lambda = 1.1105$.

Tabel B.1. Jäikade sõlmedega põikraami toereaktsioonid sagedusel $\omega = 7.2216 \times 10 \text{ s}^{-1}$

Toereaktsioon (vt jn 5.7)	Dünaamilisel koormusel	Staatilisel koormusel	Erinevus
C_1 [N]	$-0.60129F_x$	$-0.50000F_x$	$-0.101288F_x$
C_2 [N]	$0.49523F_x$	$0.42803F_x$	$0.067200F_x$
C_3 [Nm]	$1.01803F_x$	$0.85796F_x$	$0.160072F_x$
C_4 [N]	$-0.60129F_x$	$-0.50000F_x$	$-0.101288F_x$
C_5 [N]	$-0.49523F_x$	$-0.42803F_x$	$-0.067200F_x$
C_6 [Nm]	$1.01803F_x$	$0.85796F_x$	$0.160072F_x$

Väljavõtte arvutuspäevikust B.3 (NaideRaam1CwMFX.m)

1. element
 h1 = 1.5000
 Nmitmeks = 4

x=	0.00	0.38	0.75	1.12	1.50
u -	0.000e+00	2.321e-11	4.643e-11	6.964e-11	9.285e-11
w -	0.000e+00	2.486e-09	9.152e-09	1.881e-08	3.027e-08
fi -	0.000e+00	-1.273e-08	-2.229e-08	-2.869e-08	-3.194e-08
N -	4.952e-01	4.952e-01	4.952e-01	4.952e-01	4.952e-01
Q -	6.013e-01	6.011e-01	6.001e-01	5.975e-01	5.929e-01
M -	-1.018e+00	-7.926e-01	-5.673e-01	-3.427e-01	-1.194e-01

2. element
 h2 = 1.5000
 Nmitmeks = 4

x=	0.00	0.38	0.75	1.12	1.50
u -	9.285e-11	1.161e-10	1.393e-10	1.625e-10	1.857e-10
w -	3.027e-08	4.237e-08	5.393e-08	6.381e-08	7.087e-08
fi -	-3.194e-08	-3.206e-08	-2.909e-08	-2.308e-08	-1.408e-08
N -	4.952e-01	4.952e-01	4.952e-01	4.951e-01	4.951e-01
Q -	5.929e-01	5.861e-01	5.770e-01	5.660e-01	5.533e-01
M -	-1.194e-01	1.017e-01	3.199e-01	5.342e-01	7.441e-01

3. element
 l1 = 1.5000
 Nmitmeks = 4

x=	0.00	0.38	0.75	1.12	1.50
u -	7.087e-08	7.089e-08	7.092e-08	7.094e-08	7.097e-08
w -	-1.857e-10	3.297e-09	3.835e-09	2.409e-09	6.617e-24
fi -	-1.408e-08	-4.926e-09	1.620e-09	5.550e-09	6.860e-09
N -	5.533e-01	5.400e-01	5.266e-01	5.133e-01	5.000e-01
Q -	-4.951e-01	-4.954e-01	-4.961e-01	-4.968e-01	-4.970e-01
M -	7.441e-01	5.584e-01	3.725e-01	1.863e-01	-1.110e-16

4. element
 l2 = 1.5000
 Nmitmeks = 4

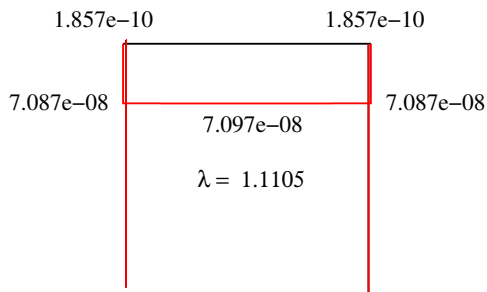
x=	0.00	0.38	0.75	1.12	1.50
u -	7.097e-08	7.094e-08	7.092e-08	7.089e-08	7.087e-08
w -	5.015e-24	-2.409e-09	-3.835e-09	-3.297e-09	1.857e-10
fi -	6.860e-09	5.550e-09	1.620e-09	-4.926e-09	-1.408e-08
N -	-5.000e-01	-5.133e-01	-5.266e-01	-5.400e-01	-5.533e-01
Q -	-4.970e-01	-4.968e-01	-4.961e-01	-4.954e-01	-4.951e-01
M -	-1.144e-17	-1.863e-01	-3.725e-01	-5.584e-01	-7.441e-01

5. element
 h2 = 1.5000
 Nmitmeks = 4

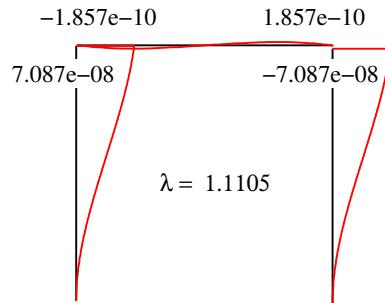
x=	0.00	0.38	0.75	1.12	1.50
u -	1.857e-10	1.625e-10	1.393e-10	1.161e-10	9.285e-11
w -	-7.087e-08	-6.381e-08	-5.393e-08	-4.237e-08	-3.027e-08
fi -	-1.408e-08	-2.308e-08	-2.909e-08	-3.206e-08	-3.194e-08
N -	-4.951e-01	-4.951e-01	-4.952e-01	-4.952e-01	-4.952e-01
Q -	5.533e-01	5.660e-01	5.770e-01	5.861e-01	5.929e-01
M -	-7.441e-01	-5.342e-01	-3.199e-01	-1.017e-01	1.194e-01

6. element
 h1 = 1.5000
 Nmitmeks = 4

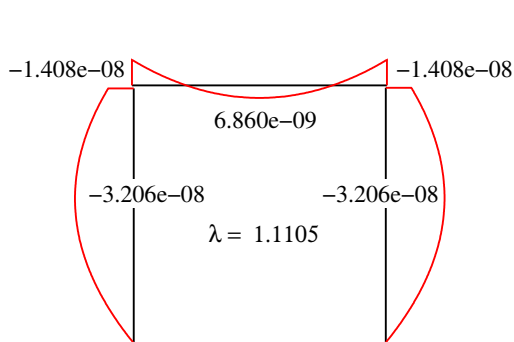
x=	0.00	0.38	0.75	1.12	1.50
u -	9.285e-11	6.964e-11	4.643e-11	2.321e-11	0.000e+00
w -	-3.027e-08	-1.881e-08	-9.152e-09	-2.486e-09	-4.136e-24
fi -	-3.194e-08	-2.869e-08	-2.229e-08	-1.273e-08	3.309e-24
N -	-4.952e-01	-4.952e-01	-4.952e-01	-4.952e-01	-4.952e-01
Q -	5.929e-01	5.975e-01	6.001e-01	6.011e-01	6.013e-01
M -	1.194e-01	3.427e-01	5.673e-01	7.926e-01	1.018e+00



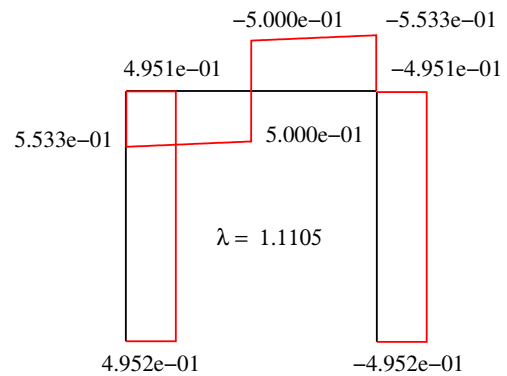
(a) Pikisiire



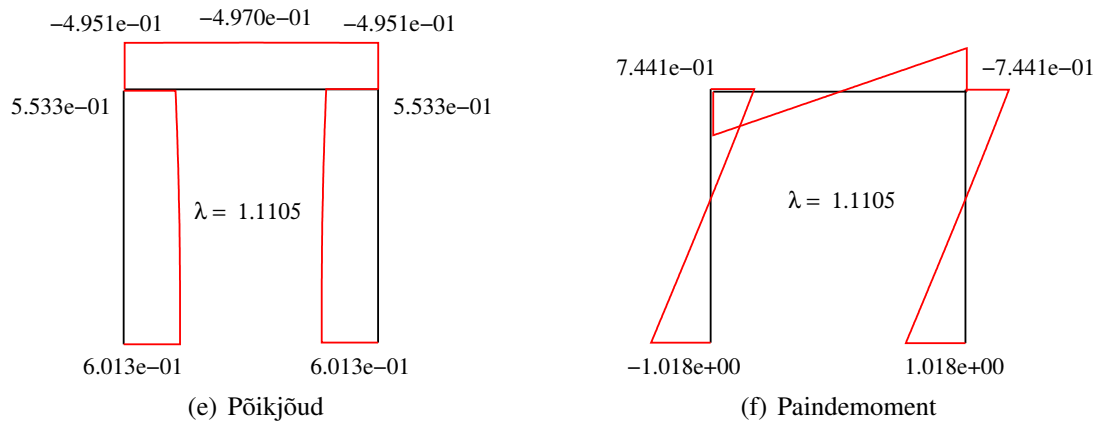
(b) Põiksiire



(c) Paindenurk



(d) Pikijõud



Joonis B.9. Jäikade sõlmedega pöikraami epüürid sagedusel $\omega = 7.2216 \times 10^{-1}$

Antisümmeetrilise koormuse esimene piirkond (vt lk 183). Sagedus $\omega = 1.8599 \times 10^2 \text{ s}^{-1}$, $\lambda = 1.5254$.

Tabel B.2. Jäikade sõlmedega pöikraami toereaktsioonid sagedusel $\omega = 1.8599 \times 10^2 \text{ s}^{-1}$

Toereaktsioon (vt jn 5.7)	Dünaamilisel koormusel	Staatilisel koormusel	Erinevus
C_1 [N]	$-37.01386F_x$	$-0.50000F_x$	$-36.514F_x$
C_2 [N]	$24.54984F_x$	$0.42803F_x$	$24.122F_x$
C_3 [Nm]	$58.43928F_x$	$0.85796F_x$	$57.581F_x$
C_4 [N]	$-37.01386F_x$	$-0.50000F_x$	$-36.514F_x$
C_5 [N]	$-24.54984F_x$	$-0.42803F_x$	$-24.122F_x$
C_6 [Nm]	$58.43928F_x$	$0.85796F_x$	$57.581F_x$

Väljavõtte arvutuspäevikust B.4 (NaideRaam1CwMFX.m)

```
1. element
h1 = 1.5000
Nmitmeks = 4
```

x=	0.00	0.38	0.75	1.12	1.50
u -	0.000e+00	1.151e-09	2.301e-09	3.452e-09	4.602e-09
w -	0.000e+00	1.419e-07	5.188e-07	1.058e-06	1.688e-06
fi -	0.000e+00	-7.242e-07	-1.254e-06	-1.591e-06	-1.740e-06
N -	2.455e+01	2.455e+01	2.455e+01	2.454e+01	2.454e+01
Q -	3.701e+01	3.695e+01	3.656e+01	3.559e+01	3.389e+01
M -	-5.844e+01	-4.456e+01	-3.077e+01	-1.722e+01	-4.162e+00

```
2. element
h2 = 1.5000
Nmitmeks = 4
```

x=	0.00	0.38	0.75	1.12	1.50
u -	4.602e-09	5.752e-09	6.902e-09	8.052e-09	9.200e-09
w -	1.688e-06	2.341e-06	2.951e-06	3.461e-06	3.817e-06
fi -	-1.740e-06	-1.711e-06	-1.518e-06	-1.176e-06	-7.075e-07
N -	2.454e+01	2.453e+01	2.452e+01	2.451e+01	2.450e+01
Q -	3.389e+01	3.138e+01	2.808e+01	2.407e+01	1.952e+01
M -	-4.162e+00	8.101e+00	1.927e+01	2.907e+01	3.726e+01

3. element
l1 = 1.5000
Nmitmeks = 4

x=	0.00	0.38	0.75	1.12	1.50
u -	3.817e-06	3.818e-06	3.819e-06	3.819e-06	3.819e-06
w -	-9.200e-09	1.659e-07	1.932e-07	1.214e-07	0.000e+00
fi -	-7.075e-07	-2.482e-07	8.123e-08	2.796e-07	3.458e-07
N -	1.952e+01	1.477e+01	1.001e+01	5.256e+00	5.000e-01
Q -	-2.450e+01	-2.462e+01	-2.486e+01	-2.506e+01	-2.514e+01
M -	3.726e+01	2.805e+01	1.878e+01	9.417e+00	7.105e-15

4. element
l2 = 1.5000
Nmitmeks = 4

x=	0.00	0.38	0.75	1.12	1.50
u -	3.819e-06	3.819e-06	3.819e-06	3.818e-06	3.817e-06
w -	1.774e-22	-1.214e-07	-1.932e-07	-1.659e-07	9.200e-09
fi -	3.458e-07	2.796e-07	8.123e-08	-2.482e-07	-7.075e-07
N -	-5.000e-01	-5.256e+00	-1.001e+01	-1.477e+01	-1.952e+01
Q -	-2.514e+01	-2.506e+01	-2.486e+01	-2.462e+01	-2.450e+01
M -	8.447e-16	-9.417e+00	-1.878e+01	-2.805e+01	-3.726e+01

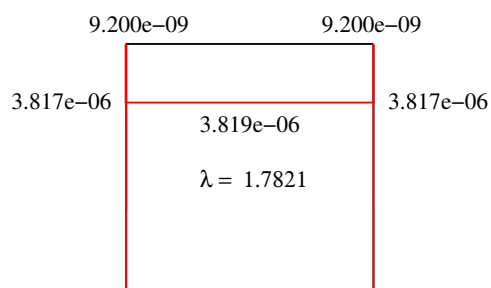
5. element
h2 = 1.5000
Nmitmeks = 4

x=	0.00	0.38	0.75	1.12	1.50
u -	9.200e-09	8.052e-09	6.902e-09	5.752e-09	4.602e-09
w -	-3.817e-06	-3.461e-06	-2.951e-06	-2.341e-06	-1.688e-06
fi -	-7.075e-07	-1.176e-06	-1.518e-06	-1.711e-06	-1.740e-06
N -	-2.450e+01	-2.451e+01	-2.452e+01	-2.453e+01	-2.454e+01
Q -	1.952e+01	2.407e+01	2.808e+01	3.138e+01	3.389e+01
M -	-3.726e+01	-2.907e+01	-1.927e+01	-8.101e+00	4.162e+00

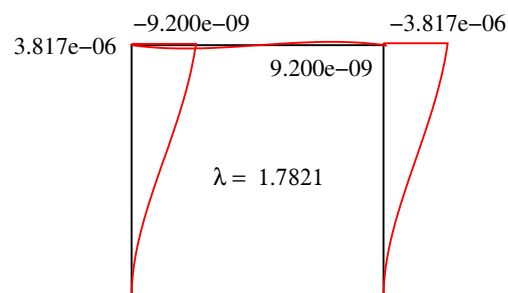
6. element
h1 = 1.5000
Nmitmeks = 4

x=	0.00	0.38	0.75	1.12	1.50
u -	4.602e-09	3.452e-09	2.301e-09	1.151e-09	-1.654e-24
w -	-1.688e-06	-1.058e-06	-5.188e-07	-1.419e-07	1.059e-22
fi -	-1.740e-06	-1.591e-06	-1.254e-06	-7.242e-07	-5.294e-23

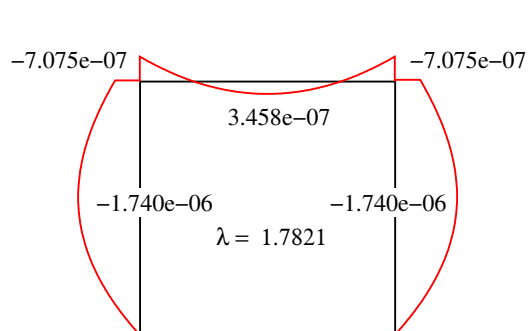
N	-	-2.454e+01	-2.454e+01	-2.455e+01	-2.455e+01	-2.455e+01
Q	-	3.389e+01	3.559e+01	3.656e+01	3.695e+01	3.701e+01
M	-	4.162e+00	1.722e+01	3.077e+01	4.456e+01	5.844e+01



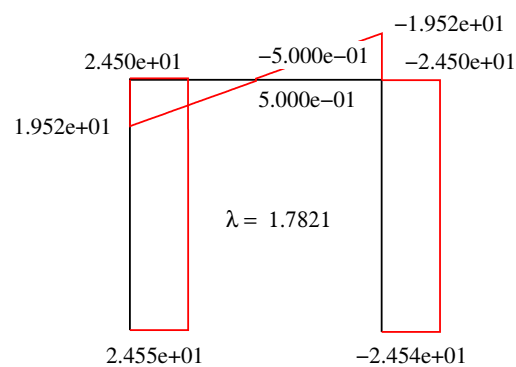
(a) Pikisiire



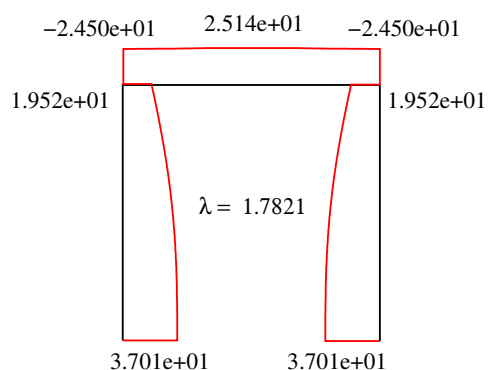
(b) Põiksiire



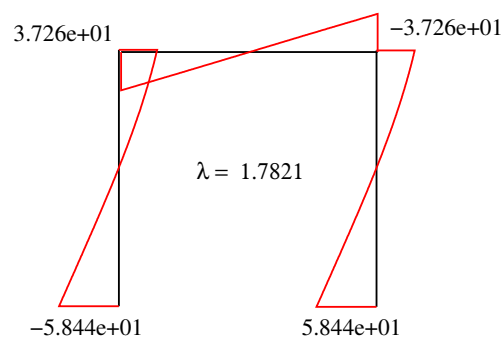
(c) Paindenurk



(d) Pikijõud



(e) Põikjõud



(f) Paindemoment

Joonis B.10. Jäikade sõlmedega põikraami epüürid sagedusel $\omega = 1.8599 \times 10^2 \text{ s}^{-1}$

Antisümmeetrilise koormuse teine piirkond (vt lk 183). Sagedus $\omega = 7.300 \times 10^2 \text{ s}^{-1}$, $\lambda = 3.5307$.

Tabel B.3. Jäikade sõlmedega põikraami toereaktsioonid sagedusel $\omega = 7.300 \times 10^2 \text{ s}^{-1}$

Toereaktsioon (vt jn 5.7)	Dünaamilisel koormusel	Staatilisel koormusel	Erinevus
C_1 [N]	$0.18844F_x$	$-0.50000F_x$	$0.68844F_x$
C_2 [N]	$0.02036F_x$	$0.42803F_x$	$-0.40767F_x$
C_3 [Nm]	$-0.17000F_x$	$0.85796F_x$	$-1.02796F_x$
C_4 [N]	$0.18844F_x$	$-0.50000F_x$	$0.68844F_x$
C_5 [N]	$-0.02036F_x$	$-0.42803F_x$	$0.40767F_x$
C_6 [Nm]	$-0.17000F_x$	$0.85796F_x$	$-1.02796F_x$

Väljavõte arvutuspeavikust B.5 (NaideRaam1CwMFX.m)

1. element
h1 = 1.5000
Nmitmeks = 4

x=	0.00	0.38	0.75	1.12	1.50
u -	0.000e+00	9.544e-13	1.908e-12	2.860e-12	3.809e-12
w -	0.000e+00	-3.862e-10	-1.299e-09	-2.386e-09	-3.345e-09
fi -	0.000e+00	1.895e-09	2.815e-09	2.846e-09	2.174e-09
N -	2.036e-02	2.035e-02	2.033e-02	2.028e-02	2.022e-02
Q -	-1.884e-01	-1.859e-01	-1.703e-01	-1.349e-01	-7.956e-02
M -	1.700e-01	9.958e-02	3.226e-02	-2.562e-02	-6.642e-02

2. element
h2 = 1.5000
Nmitmeks = 4

x=	0.00	0.38	0.75	1.12	1.50
u -	3.809e-12	4.755e-12	5.696e-12	6.633e-12	7.563e-12
w -	-3.345e-09	-3.965e-09	-4.157e-09	-3.983e-09	-3.657e-09
fi -	2.174e-09	1.090e-09	-3.702e-11	-7.962e-10	-7.757e-10
N -	2.022e-02	2.014e-02	2.004e-02	1.992e-02	1.978e-02
Q -	-7.956e-02	-8.794e-03	6.979e-02	1.483e-01	2.216e-01
M -	-6.642e-02	-8.335e-02	-7.203e-02	-3.103e-02	3.853e-02

3. element
l1 = 1.5000
Nmitmeks = 4

x=	0.00	0.38	0.75	1.12	1.50
u -	-3.657e-09	-3.645e-09	-3.630e-09	-3.612e-09	-3.590e-09
w -	-7.563e-12	1.883e-10	2.221e-10	1.410e-10	-1.365e-23
fi -	-7.757e-10	-2.869e-10	8.588e-11	3.220e-10	4.031e-10
N -	2.216e-01	2.917e-01	3.615e-01	4.309e-01	5.000e-01

Q -	-1.978e-02	-2.181e-02	-2.597e-02	-2.959e-02	-3.099e-02
M -	3.853e-02	3.085e-02	2.191e-02	1.145e-02	-4.372e-16

4. element
 $h_2 = 1.5000$
 Nmitmeks = 4

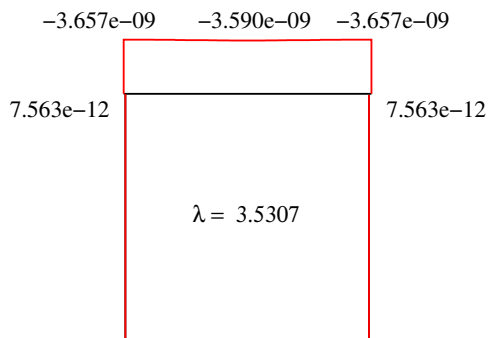
x=	0.00	0.38	0.75	1.12	1.50
u -	-3.590e-09	-3.612e-09	-3.630e-09	-3.645e-09	-3.657e-09
w -	-1.343e-23	-1.410e-10	-2.221e-10	-1.883e-10	7.563e-12
fi -	4.031e-10	3.220e-10	8.588e-11	-2.869e-10	-7.757e-10
N -	-5.000e-01	-4.309e-01	-3.615e-01	-2.917e-01	-2.216e-01
Q -	-3.099e-02	-2.959e-02	-2.597e-02	-2.181e-02	-1.978e-02
M -	-4.316e-16	-1.145e-02	-2.191e-02	-3.085e-02	-3.853e-02

5. element
 $h_2 = 1.5000$
 Nmitmeks = 4

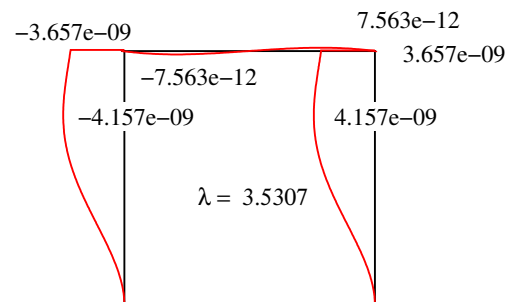
x=	0.00	0.38	0.75	1.12	1.50
u -	7.563e-12	6.633e-12	5.696e-12	4.755e-12	3.809e-12
w -	3.657e-09	3.983e-09	4.157e-09	3.965e-09	3.345e-09
fi -	-7.757e-10	-7.962e-10	-3.702e-11	1.090e-09	2.174e-09
N -	-1.978e-02	-1.992e-02	-2.004e-02	-2.014e-02	-2.022e-02
Q -	2.216e-01	1.483e-01	6.979e-02	-8.794e-03	-7.956e-02
M -	-3.853e-02	3.103e-02	7.203e-02	8.335e-02	6.642e-02

6. element
 $h_1 = 1.5000$
 Nmitmeks = 4

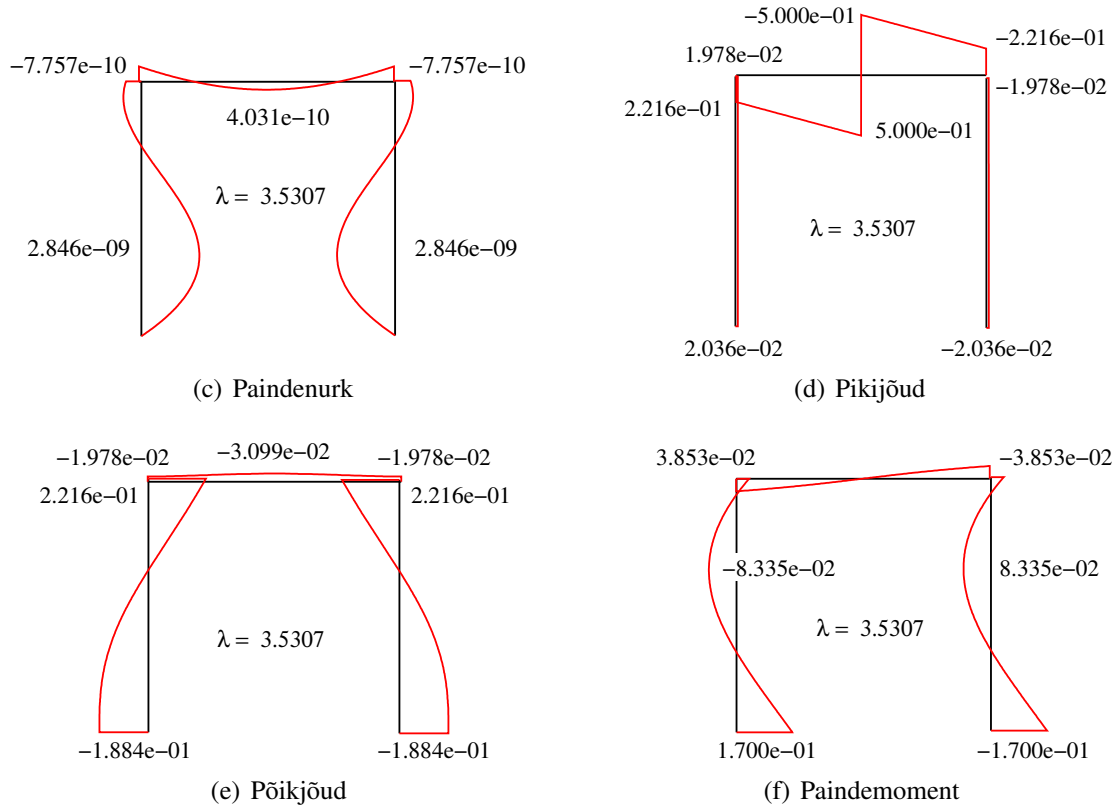
x=	0.00	0.38	0.75	1.12	1.50
u -	3.809e-12	2.860e-12	1.908e-12	9.544e-13	0.000e+00
w -	3.345e-09	2.386e-09	1.299e-09	3.862e-10	-1.241e-24
fi -	2.174e-09	2.846e-09	2.815e-09	1.895e-09	1.654e-24
N -	-2.022e-02	-2.028e-02	-2.033e-02	-2.035e-02	-2.036e-02
Q -	-7.956e-02	-1.349e-01	-1.703e-01	-1.859e-01	-1.884e-01
M -	6.642e-02	2.562e-02	-3.226e-02	-9.958e-02	-1.700e-01



(a) Pikisiire



(b) Põiksiire



Joonis B.11. Jäikade sõlmedega pöikraami epüürid sagedusel $\omega = 7.300 \times 10^2 \text{ s}^{-1}$

Antisümmeetrilise koormuse teine piirkond (vt lk 183). Sagedus $\omega = 1.206 \times 10^3 \text{ s}^{-1}$, $\lambda = 4.5381$.

Tabel B.4. Jäikade sõlmedega pöikraami toereaktsioonid sagedusel $\omega = 1.206 \times 10^3 \text{ s}^{-1}$

Toereaktsioon (vt jn 5.7)	Dünaamilisel koormusel	Staatilisel koormusel	Erinevus
C_1 [N]	$86.47166F_x$	$-0.50000F_x$	$86.9717F_x$
C_2 [N]	$4.57026F_x$	$0.42803F_x$	$4.1422F_x$
C_3 [Nm]	$-57.42325F_x$	$0.85796F_x$	$-58.2812F_x$
C_4 [N]	$86.47166F_x$	$-0.50000F_x$	$86.9717F_x$
C_5 [N]	$-4.57026F_x$	$-0.42803F_x$	$-4.1422F_x$
C_6 [Nm]	$-57.42325F_x$	$0.85796F_x$	$-58.2812F_x$

Väljavõtte arvutuspäevikust B.6 (NaideRaam1CwMFX.m)

1. element
 h1 = 1.5000
 Nmitmeks = 4

x=	0.00	0.38	0.75	1.12	1.50
u -	0.000e+00	2.141e-10	4.278e-10	6.403e-10	8.513e-10
w -	0.000e+00	-1.229e-07	-3.800e-07	-6.173e-07	-7.201e-07
fi -	0.000e+00	5.801e-07	7.211e-07	4.924e-07	3.177e-08
N -	4.570e+00	4.565e+00	4.548e+00	4.520e+00	4.481e+00
Q -	-8.647e+01	-8.420e+01	-7.126e+01	-4.478e+01	-9.007e+00
M -	5.742e+01	2.522e+01	-4.359e+00	-2.651e+01	-3.676e+01

2. element
 h2 = 1.5000
 Nmitmeks = 4

x=	0.00	0.38	0.75	1.12	1.50
u -	8.513e-10	1.060e-09	1.267e-09	1.470e-09	1.669e-09
w -	-7.201e-07	-6.352e-07	-3.807e-07	-3.754e-08	2.755e-07
fi -	3.177e-08	-4.761e-07	-8.441e-07	-9.317e-07	-6.814e-07
N -	4.481e+00	4.431e+00	4.370e+00	4.298e+00	4.216e+00
Q -	-9.007e+00	2.731e+01	5.451e+01	6.561e+01	5.897e+01
M -	-3.676e+01	-3.319e+01	-1.743e+01	5.657e+00	2.953e+01

3. element
 l1 = 1.5000
 Nmitmeks = 4

x=	0.00	0.38	0.75	1.12	1.50
u -	2.755e-07	2.779e-07	2.796e-07	2.807e-07	2.810e-07
w -	-1.669e-09	1.776e-07	2.146e-07	1.388e-07	2.118e-22
fi -	-6.814e-07	-2.797e-07	6.950e-08	3.122e-07	3.994e-07
N -	5.897e+01	4.448e+01	2.988e+01	1.521e+01	5.000e-01
Q -	-4.216e+00	-9.479e+00	-2.032e+01	-2.997e+01	-3.374e+01
M -	2.953e+01	2.726e+01	2.173e+01	1.217e+01	0.000e+00

4. element
 l2 = 1.5000
 Nmitmeks = 4

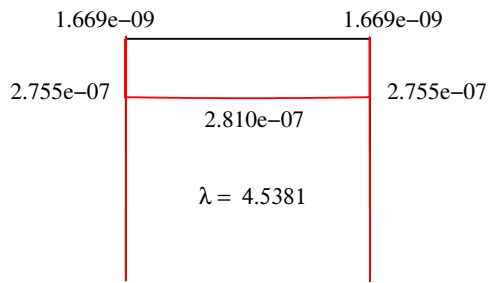
x=	0.00	0.38	0.75	1.12	1.50
u -	2.810e-07	2.807e-07	2.796e-07	2.779e-07	2.755e-07
w -	-1.156e-22	-1.388e-07	-2.146e-07	-1.776e-07	1.669e-09
fi -	3.994e-07	3.122e-07	6.950e-08	-2.797e-07	-6.814e-07
N -	-5.000e-01	-1.521e+01	-2.988e+01	-4.448e+01	-5.897e+01
Q -	-3.374e+01	-2.997e+01	-2.032e+01	-9.479e+00	-4.216e+00
M -	-3.149e-16	-1.217e+01	-2.173e+01	-2.726e+01	-2.953e+01

5. element
 h2 = 1.5000
 Nmitmeks = 4

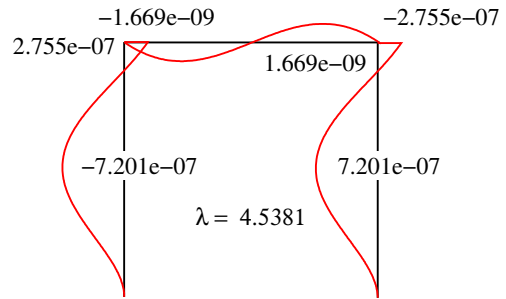
x=	0.00	0.38	0.75	1.12	1.50
u -	1.669e-09	1.470e-09	1.267e-09	1.060e-09	8.513e-10
w -	-2.755e-07	3.754e-08	3.807e-07	6.352e-07	7.201e-07
fi -	-6.814e-07	-9.317e-07	-8.441e-07	-4.761e-07	3.177e-08
N -	-4.216e+00	-4.298e+00	-4.370e+00	-4.431e+00	-4.481e+00
Q -	5.897e+01	6.561e+01	5.451e+01	2.731e+01	-9.007e+00
M -	-2.953e+01	-5.657e+00	1.743e+01	3.319e+01	3.676e+01

6. element
 h1 = 1.5000
 Nmitmeks = 4

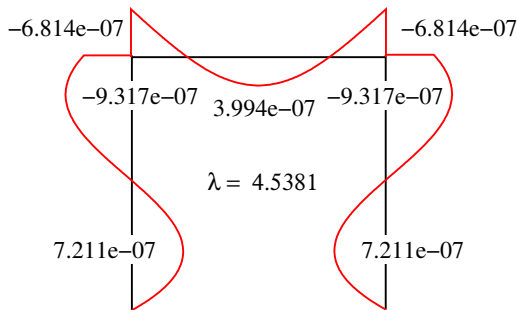
x=	0.00	0.38	0.75	1.12	1.50
u -	8.513e-10	6.403e-10	4.278e-10	2.141e-10	0.000e+00
w -	7.201e-07	6.173e-07	3.800e-07	1.229e-07	0.000e+00
fi -	3.177e-08	4.924e-07	7.211e-07	5.801e-07	0.000e+00
N -	-4.481e+00	-4.520e+00	-4.548e+00	-4.565e+00	-4.570e+00
Q -	-9.007e+00	-4.478e+01	-7.126e+01	-8.420e+01	-8.647e+01
M -	3.676e+01	2.651e+01	4.359e+00	-2.522e+01	-5.742e+01



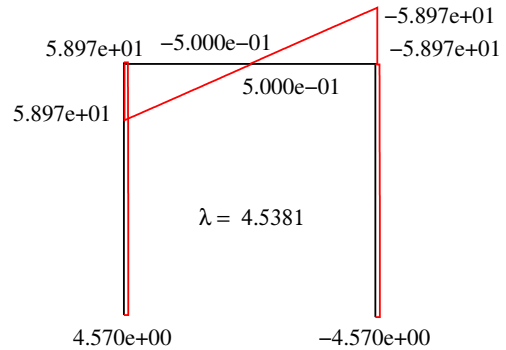
(a) Pikisiire



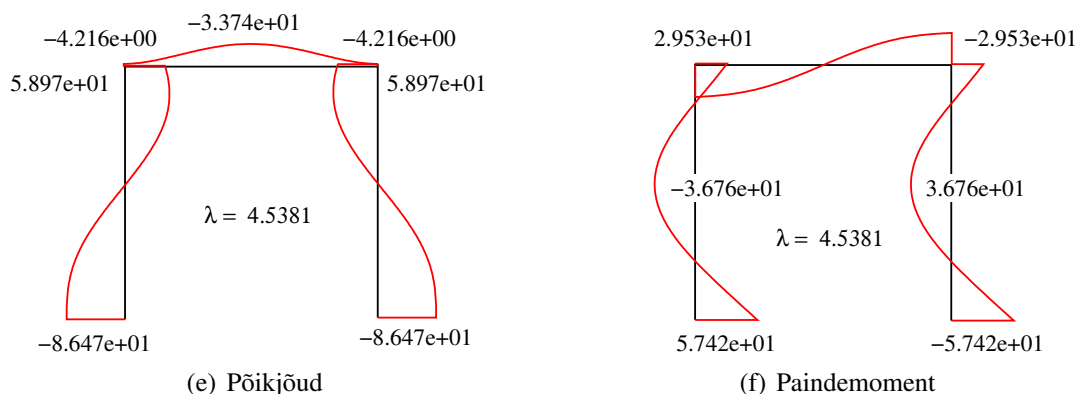
(b) Põiksiire



(c) Paindenurk



(d) Pikijõud

Joonis B.12. Jäikade sõlmedega põikraami epüürid sagedusel $\omega = 1.206 \times 10^3 \text{ s}^{-1}$

B.2.2 Jäikade sõlmedega põikraami sümmeetriline sundvõnkumine

Sümmeetrilise koormuse esimene piirkond (vt lk 190). Sagedus $\omega = 2.83 \times 10^2 \text{ s}^{-1}$, $\lambda = 2.1983$.

Tabel B.5. Jäikade sõlmedega põikraami toereaktsioonid sagedusel $\omega = 2.83 \times 10^2 \text{ s}^{-1}$

Toereaktsioon (vt jn 5.7)	Dünaamilisel koormusel	Staatilisel koormusel	Erinevus
C_1 [N]	$0.16680F_x$	$0.12486F_x$	$0.041944F_x$
C_2 [N]	$-0.58726F_x$	$-0.50000F_x$	$-0.087265F_x$
C_3 [Nm]	$-0.16084F_x$	$-0.12472F_x$	$-0.036123F_x$
C_4 [N]	$-0.16680F_x$	$-0.12486F_x$	$-0.041944F_x$
C_5 [N]	$-0.58726F_x$	$-0.50000F_x$	$-0.087265F_x$
C_6 [Nm]	$0.16084F_x$	$0.12472F_x$	$0.036123F_x$

Väljavõte arvutuspeavikust B.7 (NaideRaam1CwM.m)

1. element
h1 = 1.5000

Nmitmeks = 4

x=	0.00	0.38	0.75	1.12	1.50
u -	0.000e+00	-2.753e-11	-5.505e-11	-8.257e-11	-1.101e-10
w -	0.000e+00	-3.691e-10	-1.257e-09	-2.337e-09	-3.288e-09
fi -	0.000e+00	1.822e-09	2.767e-09	2.848e-09	2.092e-09
N -	-5.873e-01	-5.872e-01	-5.871e-01	-5.869e-01	-5.866e-01
Q -	-1.668e-01	-1.664e-01	-1.642e-01	-1.590e-01	-1.508e-01
M -	1.608e-01	9.833e-02	3.626e-02	-2.444e-02	-8.262e-02

2. element
 h2 = 1.5000
 Nmitmeks = 4

x=	0.00	0.38	0.75	1.12	1.50
u -	-1.101e-10	-1.376e-10	-1.650e-10	-1.925e-10	-2.199e-10
w -	-3.288e-09	-3.806e-09	-3.602e-09	-2.408e-09	2.193e-11
fi -	2.092e-09	5.412e-10	-1.750e-09	-4.725e-09	-8.339e-09
N -	-5.866e-01	-5.863e-01	-5.858e-01	-5.853e-01	-5.847e-01
Q -	-1.508e-01	-1.405e-01	-1.296e-01	-1.206e-01	-1.169e-01
M -	-8.262e-02	-1.373e-01	-1.879e-01	-2.347e-01	-2.790e-01

3. element
 l1 = 1.5000
 Nmitmeks = 4

x=	0.00	0.38	0.75	1.12	1.50
u -	2.193e-11	1.645e-11	1.097e-11	5.484e-12	2.000e-24
w -	2.199e-10	3.890e-09	7.881e-09	1.107e-08	1.236e-08
fi -	-8.339e-09	-1.072e-08	-1.006e-08	-6.437e-09	-9.926e-24
N -	-1.169e-01	-1.169e-01	-1.170e-01	-1.170e-01	-1.170e-01
Q -	5.847e-01	5.790e-01	5.620e-01	5.343e-01	5.000e-01
M -	-2.790e-01	-6.048e-02	1.538e-01	3.597e-01	5.537e-01

4. element
 l2 = 1.5000
 Nmitmeks = 4

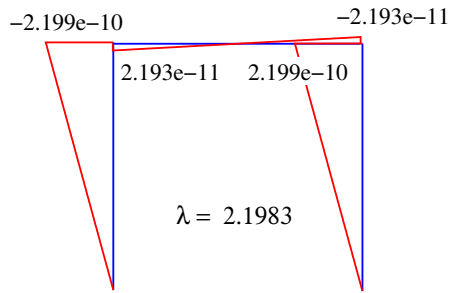
x=	0.00	0.38	0.75	1.12	1.50
u -	2.004e-24	-5.484e-12	-1.097e-11	-1.645e-11	-2.193e-11
w -	1.236e-08	1.107e-08	7.881e-09	3.890e-09	2.199e-10
fi -	-2.975e-24	6.437e-09	1.006e-08	1.072e-08	8.339e-09
N -	-1.170e-01	-1.170e-01	-1.170e-01	-1.169e-01	-1.169e-01
Q -	-5.000e-01	-5.343e-01	-5.620e-01	-5.790e-01	-5.847e-01
M -	5.537e-01	3.597e-01	1.538e-01	-6.048e-02	-2.790e-01

5. element
 h2 = 1.5000
 Nmitmeks = 4

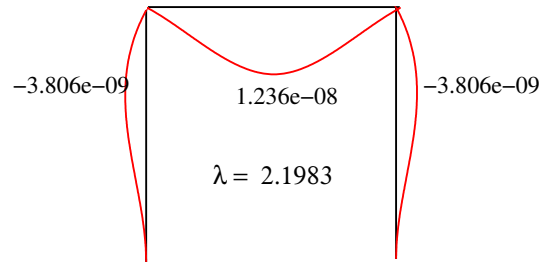
x=	0.00	0.38	0.75	1.12	1.50
u -	2.199e-10	1.925e-10	1.650e-10	1.376e-10	1.101e-10
w -	2.193e-11	-2.408e-09	-3.602e-09	-3.806e-09	-3.288e-09
fi -	8.339e-09	4.725e-09	1.750e-09	-5.412e-10	-2.092e-09
N -	-5.847e-01	-5.853e-01	-5.858e-01	-5.863e-01	-5.866e-01
Q -	1.169e-01	1.206e-01	1.296e-01	1.405e-01	1.508e-01
M -	-2.790e-01	-2.347e-01	-1.879e-01	-1.373e-01	-8.262e-02

6. element
 h1 = 1.5000
 Nmitmeks = 4

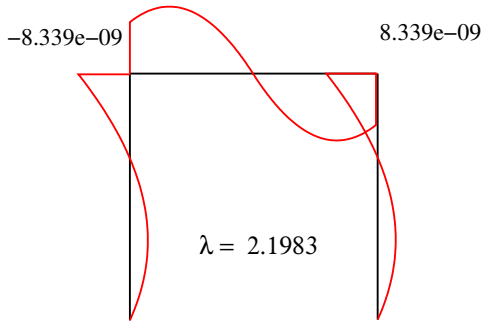
x=	0.00	0.38	0.75	1.12	1.50
u -	1.101e-10	8.257e-11	5.505e-11	2.753e-11	-1.292e-26
w -	-3.288e-09	-2.337e-09	-1.257e-09	-3.691e-10	-8.272e-25
fi -	-2.092e-09	-2.848e-09	-2.767e-09	-1.822e-09	-8.272e-25
N -	-5.866e-01	-5.869e-01	-5.871e-01	-5.872e-01	-5.873e-01
Q -	1.508e-01	1.590e-01	1.642e-01	1.664e-01	1.668e-01
M -	-8.262e-02	-2.444e-02	3.626e-02	9.833e-02	1.608e-01



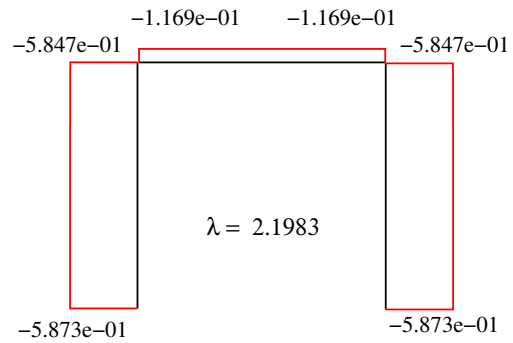
(a) Pikisiire



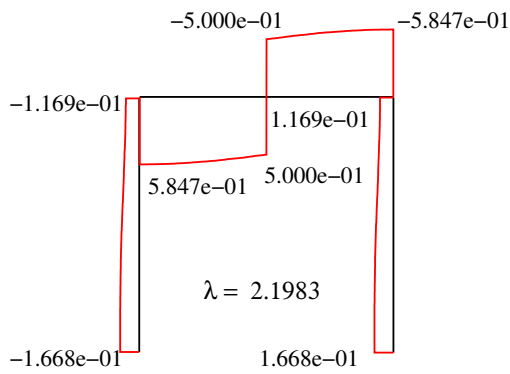
(b) Põiksiire



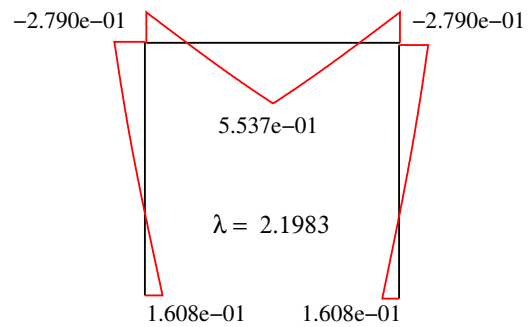
(c) Paindenurk



(d) Pikijõud



(e) Põikjõud



(f) Paidemoment

Joonis B.13. Jäikade sõlmedega põikraami epüürid sagedusel $\omega = 2.83 \times 10^2 \text{ s}^{-1}$

Sümmeetrilise koormuse esimene piirkond (vt lk 190). Sagedus $\omega = 5.34 \times 10^2 \text{ s}^{-1}$, $\lambda = 3.0197$.

Tabel B.6. Jäikade sõlmedega põikraami toereaktsioonid sagedusel $\omega = 5.34 \times 10^2 \text{ s}^{-1}$

Toereaktsioon (vt jn 5.7)	Dünaamilisel koormusel	Staatilisel koormusel	Erinevus
C_1 [N]	$0.41870F_x$	$0.12486F_x$	$0.29384F_x$
C_2 [N]	$-1.03680F_x$	$-0.50000F_x$	$-0.53680F_x$
C_3 [Nm]	$-0.37296F_x$	$-0.12472F_x$	$-0.24824F_x$
C_4 [N]	$-0.41870F_x$	$-0.12486F_x$	$-0.29384F_x$
C_5 [N]	$-1.03680F_x$	$-0.50000F_x$	$-0.53680F_x$
C_6 [Nm]	$0.37296F_x$	$0.12472F_x$	$0.24824F_x$

Väljavõte arvutuspeavikust B.8 (NaideRaam1CwM.m)

1. element
h1 = 1.5000
Nmitmeks = 4

x=	0.00	0.38	0.75	1.12	1.50
u -	0.000e+00	-4.860e-11	-9.717e-11	-1.457e-10	-1.942e-10
w -	0.000e+00	-8.454e-10	-2.833e-09	-5.158e-09	-7.075e-09
fi -	0.000e+00	4.142e-09	6.098e-09	5.969e-09	3.970e-09
N -	-1.037e+00	-1.037e+00	-1.036e+00	-1.035e+00	-1.033e+00
Q -	-4.187e-01	-4.157e-01	-3.974e-01	-3.564e-01	-2.929e-01
M -	3.730e-01	2.162e-01	6.313e-02	-7.896e-02	-2.013e-01

2. element
h2 = 1.5000
Nmitmeks = 4

x=	0.00	0.38	0.75	1.12	1.50
u -	-1.942e-10	-2.425e-10	-2.908e-10	-3.389e-10	-3.868e-10
w -	-7.075e-09	-7.943e-09	-7.258e-09	-4.676e-09	8.723e-12
fi -	3.970e-09	4.331e-10	-4.235e-09	-9.624e-09	-1.541e-08
N -	-1.033e+00	-1.031e+00	-1.028e+00	-1.025e+00	-1.021e+00
Q -	-2.929e-01	-2.147e-01	-1.352e-01	-7.222e-02	-4.640e-02
M -	-2.013e-01	-2.968e-01	-3.622e-01	-4.003e-01	-4.210e-01

3. element
h1 = 1.5000
Nmitmeks = 4

x=	0.00	0.38	0.75	1.12	1.50
u -	8.723e-12	6.546e-12	4.366e-12	2.183e-12	-1.162e-24
w -	3.868e-10	6.941e-09	1.373e-08	1.892e-08	2.094e-08
fi -	-1.541e-08	-1.866e-08	-1.674e-08	-1.023e-08	-9.926e-24

N -	-4.640e-02	-4.648e-02	-4.654e-02	-4.657e-02	-4.658e-02
Q -	1.021e+00	9.843e-01	8.776e-01	7.079e-01	5.000e-01
M -	-4.210e-01	-4.291e-02	3.084e-01	6.073e-01	8.345e-01

4. element
 $l_2 = 1.5000$
 Nmitmeks = 4

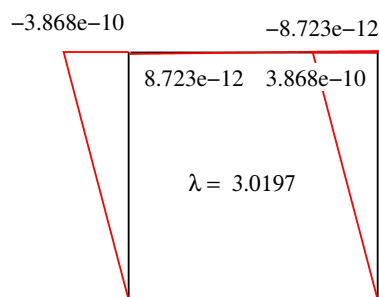
x=	0.00	0.38	0.75	1.12	1.50
u -	-1.160e-24	-2.183e-12	-4.366e-12	-6.546e-12	-8.723e-12
w -	2.094e-08	1.892e-08	1.373e-08	6.941e-09	3.868e-10
fi -	-1.555e-24	1.023e-08	1.674e-08	1.866e-08	1.541e-08
N -	-4.658e-02	-4.657e-02	-4.654e-02	-4.648e-02	-4.640e-02
Q -	-5.000e-01	-7.079e-01	-8.776e-01	-9.843e-01	-1.021e+00
M -	8.345e-01	6.073e-01	3.084e-01	-4.291e-02	-4.210e-01

5. element
 $h_2 = 1.5000$
 Nmitmeks = 4

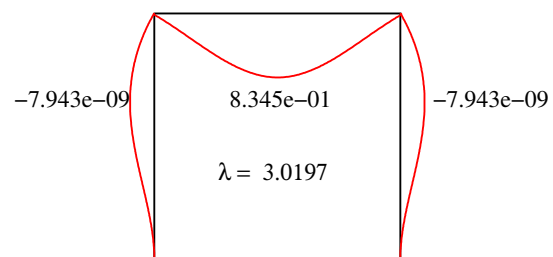
x=	0.00	0.38	0.75	1.12	1.50
u -	3.868e-10	3.389e-10	2.908e-10	2.425e-10	1.942e-10
w -	8.723e-12	-4.676e-09	-7.258e-09	-7.943e-09	-7.075e-09
fi -	1.541e-08	9.624e-09	4.235e-09	-4.331e-10	-3.970e-09
N -	-1.021e+00	-1.025e+00	-1.028e+00	-1.031e+00	-1.033e+00
Q -	4.640e-02	7.222e-02	1.352e-01	2.147e-01	2.929e-01
M -	-4.210e-01	-4.003e-01	-3.622e-01	-2.968e-01	-2.013e-01

6. element
 $h_1 = 1.5000$
 Nmitmeks = 4

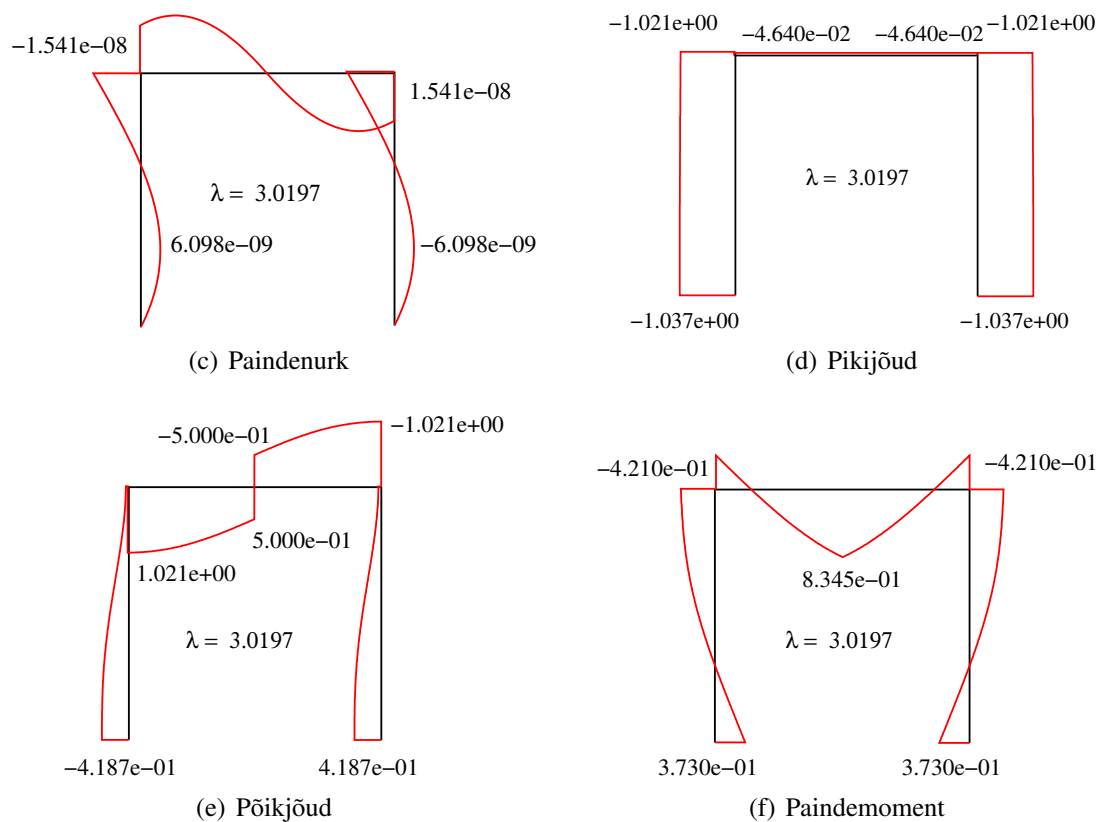
x=	0.00	0.38	0.75	1.12	1.50
u -	1.942e-10	1.457e-10	9.717e-11	4.860e-11	-5.170e-26
w -	-7.075e-09	-5.158e-09	-2.833e-09	-8.454e-10	-1.654e-24
fi -	-3.970e-09	-5.969e-09	-6.098e-09	-4.142e-09	-1.654e-24
N -	-1.033e+00	-1.035e+00	-1.036e+00	-1.037e+00	-1.037e+00
Q -	2.929e-01	3.564e-01	3.974e-01	4.157e-01	4.187e-01
M -	-2.013e-01	-7.896e-02	6.313e-02	2.162e-01	3.730e-01



(a) Pikisiire



(b) Põiksiire



Joonis B.14. Jäikade sõlmedega pöikraami epüürid sagedusel $\omega = 5.34 \times 10^2 \text{ s}^{-1}$

Sümmeetrilise koormuse teine piirkond (vt lk 190). Sagedus $\omega = 9.95084 \times 10^2 \text{ s}^{-1}$, $\lambda = 4.122$.

Tabel B.7. Jäikade sõlmedega pöikraami toereaktsioonid sagedusel $\omega = 9.95084 \times 10^2 \text{ s}^{-1}$

Toereaktsioon (vt jn 5.7)	Dünaamilisel koormusel	Staatilisel koormusel	Erinevus
C_1 [N]	$-0.84691F_x$	$0.12486F_x$	$-0.97177F_x$
C_2 [N]	$0.13685F_x$	$-0.50000F_x$	$0.63685F_x$
C_3 [Nm]	$0.62185F_x$	$-0.12472F_x$	$0.74657F_x$
C_4 [N]	$0.84691F_x$	$-0.12486F_x$	$0.97177F_x$
C_5 [N]	$0.13685F_x$	$-0.50000F_x$	$0.63685F_x$
C_6 [Nm]	$-0.62185F_x$	$0.12472F_x$	$-0.74657F_x$

Väljavõte arvutuspäevikust B.9 (NaideRaam1CwM.m)

1. element
h1 = 1.5000
Nmitmeks = 4

x=	0.00	0.38	0.75	1.12	1.50
u -	0.000e+00	6.413e-12	1.282e-11	1.920e-11	2.554e-11
w -	0.000e+00	1.361e-09	4.343e-09	7.403e-09	9.305e-09
fi -	0.000e+00	-6.516e-09	-8.694e-09	-7.068e-09	-2.744e-09
N -	1.368e-01	1.367e-01	1.364e-01	1.358e-01	1.350e-01
Q -	8.469e-01	8.299e-01	7.307e-01	5.195e-01	2.168e-01
M -	-6.218e-01	-3.059e-01	-9.933e-03	2.279e-01	3.681e-01

2. element
h2 = 1.5000
Nmitmeks = 4

x=	0.00	0.38	0.75	1.12	1.50
u -	2.554e-11	3.185e-11	3.810e-11	4.429e-11	5.041e-11
w -	9.305e-09	9.319e-09	7.353e-09	3.944e-09	1.324e-10
fi -	-2.744e-09	2.708e-09	7.536e-09	1.017e-08	9.557e-09
N -	1.350e-01	1.340e-01	1.328e-01	1.313e-01	1.296e-01
Q -	2.168e-01	-1.212e-01	-4.238e-01	-6.281e-01	-7.000e-01
M -	3.681e-01	3.860e-01	2.817e-01	8.062e-02	-1.727e-01

3. element
h1 = 1.5000
Nmitmeks = 4

x=	0.00	0.38	0.75	1.12	1.50
u -	1.324e-10	9.952e-11	6.644e-11	3.325e-11	2.068e-25
w -	-5.041e-11	-3.139e-09	-5.119e-09	-6.003e-09	-6.150e-09
fi -	9.557e-09	6.816e-09	3.746e-09	1.126e-09	1.654e-24
N -	-7.000e-01	-7.042e-01	-7.071e-01	-7.089e-01	-7.095e-01
Q -	-1.296e-01	-6.969e-02	8.092e-02	2.821e-01	5.000e-01
M -	-1.727e-01	-2.135e-01	-2.136e-01	-1.465e-01	5.095e-07

4. element
h2 = 1.5000
Nmitmeks = 4

x=	0.00	0.38	0.75	1.12	1.50
u -	2.128e-25	-3.325e-11	-6.644e-11	-9.952e-11	-1.324e-10
w -	-6.150e-09	-6.003e-09	-5.119e-09	-3.139e-09	-5.041e-11
fi -	1.290e-24	-1.126e-09	-3.746e-09	-6.816e-09	-9.557e-09
N -	-7.095e-01	-7.089e-01	-7.071e-01	-7.042e-01	-7.000e-01
Q -	-5.000e-01	-2.821e-01	-8.092e-02	6.969e-02	1.296e-01
M -	5.095e-07	-1.465e-01	-2.136e-01	-2.135e-01	-1.727e-01

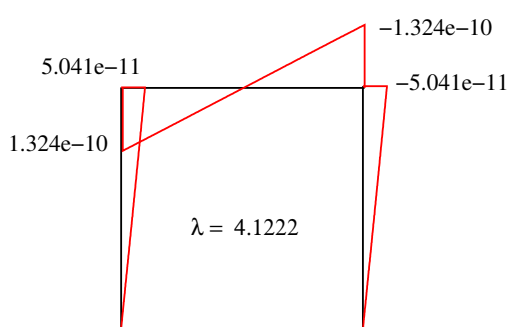
5. element
h2 = 1.5000

Nmitmeks = 4

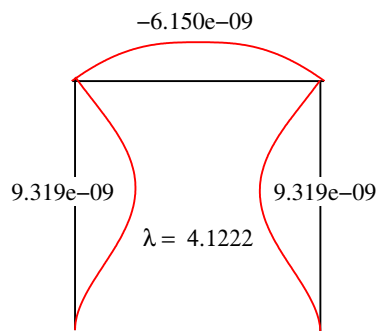
x=	0.00	0.38	0.75	1.12	1.50
u -	-5.041e-11	-4.429e-11	-3.810e-11	-3.185e-11	-2.554e-11
w -	1.324e-10	3.944e-09	7.353e-09	9.319e-09	9.305e-09
fi -	-9.557e-09	-1.017e-08	-7.536e-09	-2.708e-09	2.744e-09
N -	1.296e-01	1.313e-01	1.328e-01	1.340e-01	1.350e-01
Q -	7.000e-01	6.281e-01	4.238e-01	1.212e-01	-2.168e-01
M -	-1.727e-01	8.062e-02	2.817e-01	3.860e-01	3.681e-01

6. element
h1 = 1.5000
Nmitmeks = 4

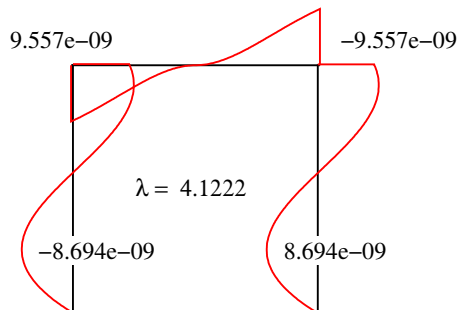
x=	0.00	0.38	0.75	1.12	1.50
u -	-2.554e-11	-1.920e-11	-1.282e-11	-6.413e-12	0.000e+00
w -	9.305e-09	7.403e-09	4.343e-09	1.361e-09	0.000e+00
fi -	2.744e-09	7.068e-09	8.694e-09	6.516e-09	3.309e-24
N -	1.350e-01	1.358e-01	1.364e-01	1.367e-01	1.368e-01
Q -	-2.168e-01	-5.195e-01	-7.307e-01	-8.299e-01	-8.469e-01
M -	3.681e-01	2.279e-01	-9.933e-03	-3.059e-01	-6.218e-01



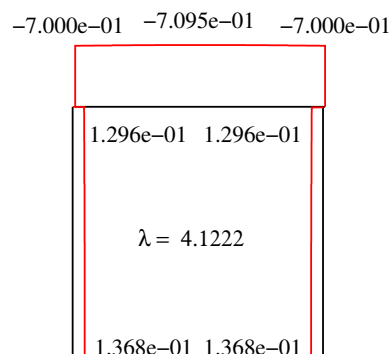
(a) Pikisiire



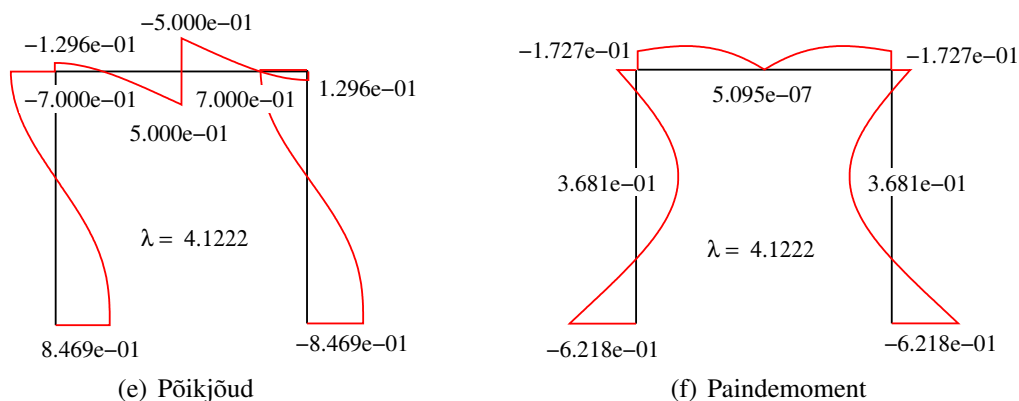
(b) Põiksiire



(c) Paindenurk



(d) Pikijõud

Joonis B.15. Jäikade sõlmedega põikraami epüürid sagedusel $\omega = 9.95084 \times 10^2 \text{ s}^{-1}$

Sümmeetrilise koormuse teine piirkond (vt lk 190). Sagedus $\omega = 1.2860274 \times 10^3 \text{ s}^{-1}$, $\lambda = 4.6862$.

Tabel B.8. Jäikade sõlmedega põikraami toereaktsioonid sagedusel $\omega = 1.2860274 \times 10^3 \text{ s}^{-1}$

Toereaktsioon (vt jn 5.7)	Dünaamilisel koormusel	Staatilisel koormusel	Erinevus
C_1 [N]	$-56.73742F_x$	$0.12486F_x$	$-56.862F_x$
C_2 [N]	$-61.61615F_x$	$-0.50000F_x$	$-61.116F_x$
C_3 [Nm]	$36.99391F_x$	$-0.12472F_x$	$37.119F_x$
C_4 [N]	$56.73742F_x$	$-0.12486F_x$	$56.862F_x$
C_5 [N]	$-61.61615F_x$	$-0.50000F_x$	$-61.116F_x$
C_6 [Nm]	$-36.99391F_x$	$0.12472F_x$	$-37.119F_x$

Väljavõte arvutuspeavikust B.10 (NaideRaam1CwM.m)

1. element
h1 = 1.5000
Nmitmeks = 4

x=	0.00	0.38	0.75	1.12	1.50
u -	0.000e+00	-2.887e-09	-5.766e-09	-8.629e-09	-1.147e-08
w -	0.000e+00	7.887e-08	2.423e-07	3.905e-07	4.522e-07
fi -	0.000e+00	-3.711e-07	-4.553e-07	-3.030e-07	-1.359e-08
N -	-6.162e+01	-6.153e+01	-6.127e+01	-6.084e+01	-6.025e+01
Q -	5.674e+01	5.508e+01	4.567e+01	2.655e+01	9.177e-01
M -	-3.699e+01	-1.588e+01	3.321e+00	1.714e+01	2.241e+01

2. element
h2 = 1.5000

Nmitmeks = 4

x=	0.00	0.38	0.75	1.12	1.50
u -	-1.147e-08	-1.427e-08	-1.704e-08	-1.976e-08	-2.242e-08
w -	4.522e-07	4.001e-07	2.581e-07	9.537e-08	1.101e-08
fi -	-1.359e-08	2.805e-07	4.454e-07	3.778e-07	2.202e-08
N -	-6.025e+01	-5.948e+01	-5.855e+01	-5.745e+01	-5.619e+01
Q -	9.177e-01	-2.501e+01	-4.491e+01	-5.531e+01	-5.782e+01
M -	2.241e+01	1.779e+01	4.415e+00	-1.468e+01	-3.606e+01

3. element

l1 = 1.5000

Nmitmeks = 4

x=	0.00	0.38	0.75	1.12	1.50
u -	1.101e-08	8.281e-09	5.534e-09	2.771e-09	-1.836e-22
w -	2.242e-08	9.085e-08	2.412e-07	3.772e-07	4.309e-07
fi -	2.202e-08	-3.384e-07	-4.199e-07	-2.747e-07	-1.271e-21
N -	-5.782e+01	-5.839e+01	-5.881e+01	-5.905e+01	-5.913e+01
Q -	5.619e+01	5.349e+01	4.376e+01	2.507e+01	5.000e-01
M -	-3.606e+01	-1.536e+01	3.157e+00	1.632e+01	2.121e+01

4. element

l2 = 1.5000

Nmitmeks = 4

x=	0.00	0.38	0.75	1.12	1.50
u -	-1.836e-22	-2.771e-09	-5.534e-09	-8.281e-09	-1.101e-08
w -	4.309e-07	3.772e-07	2.412e-07	9.085e-08	2.242e-08
fi -	-8.298e-22	2.747e-07	4.199e-07	3.384e-07	-2.202e-08
N -	-5.913e+01	-5.905e+01	-5.881e+01	-5.839e+01	-5.782e+01
Q -	-5.000e-01	-2.507e+01	-4.376e+01	-5.349e+01	-5.619e+01
M -	2.121e+01	1.632e+01	3.157e+00	-1.536e+01	-3.606e+01

5. element

h2 = 1.5000

Nmitmeks = 4

x=	0.00	0.38	0.75	1.12	1.50
u -	2.242e-08	1.976e-08	1.704e-08	1.427e-08	1.147e-08
w -	1.101e-08	9.537e-08	2.581e-07	4.001e-07	4.522e-07
fi -	-2.202e-08	-3.778e-07	-4.454e-07	-2.805e-07	1.359e-08
N -	-5.619e+01	-5.745e+01	-5.855e+01	-5.948e+01	-6.025e+01
Q -	5.782e+01	5.531e+01	4.491e+01	2.501e+01	-9.177e-01
M -	-3.606e+01	-1.468e+01	4.415e+00	1.779e+01	2.241e+01

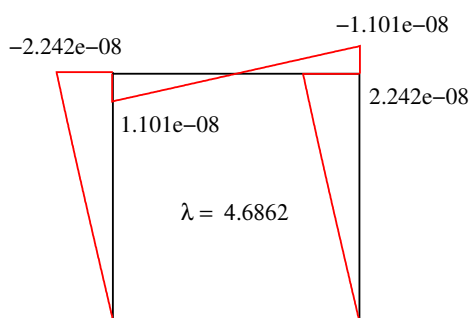
6. element

h1 = 1.5000

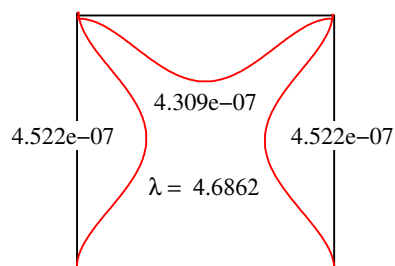
Nmitmeks = 4

x=	0.00	0.38	0.75	1.12	1.50
u -	1.147e-08	8.629e-09	5.766e-09	2.887e-09	-4.963e-24

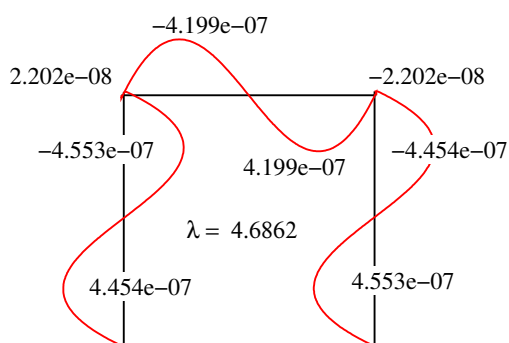
w	-	4.522e-07	3.905e-07	2.423e-07	7.887e-08	2.118e-22
f _i	-	1.359e-08	3.030e-07	4.553e-07	3.711e-07	2.118e-22
N	-	-6.025e+01	-6.084e+01	-6.127e+01	-6.153e+01	-6.162e+01
Q	-	-9.177e-01	-2.655e+01	-4.567e+01	-5.508e+01	-5.674e+01
M	-	2.241e+01	1.714e+01	3.321e+00	-1.588e+01	-3.699e+01



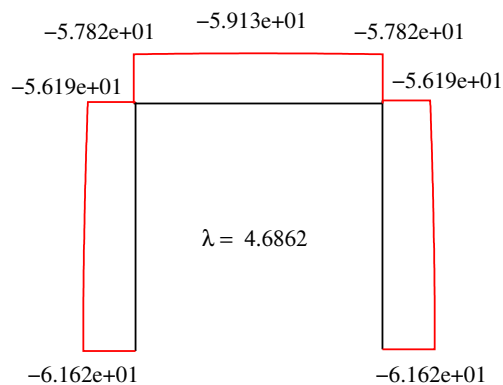
(a) Pikisiire



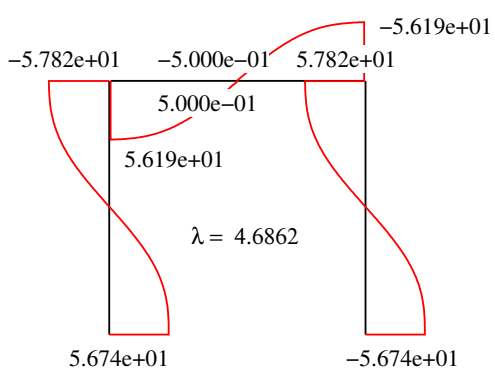
(b) Põiksiire



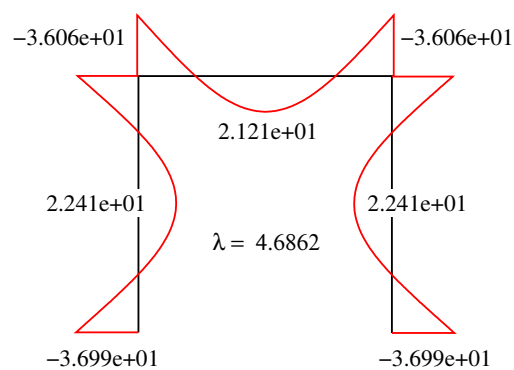
(c) Paindenurk



(d) Pikijõud



(e) Põikjõud

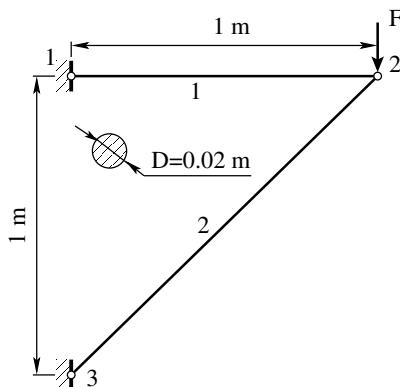


(f) Paindemoment

Joonis B.16. Jäikade sõlmedega pöikraami epüürid sagedusel $\omega = 1.2860274 \times 10^3 \text{ s}^{-1}$

B.3 Sõrestiku arvutusi staatilisel koormusel

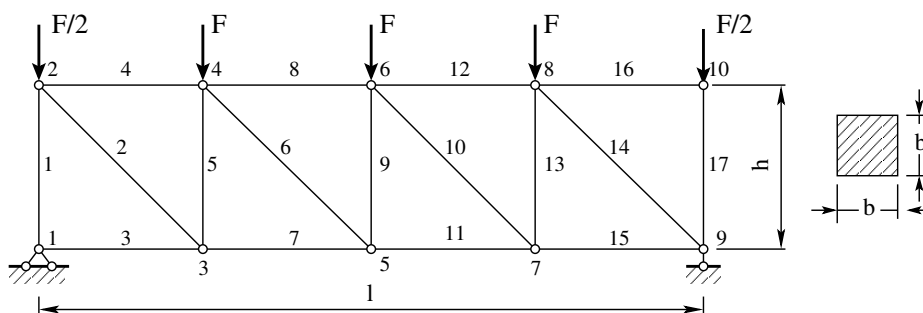
1. Kahe vardaga tarind



Joonis B.17. Kahe vardaga tarind

Arvutame GNU Octave'i programmiga [NaideTrussTarind1Vibr.m](#).

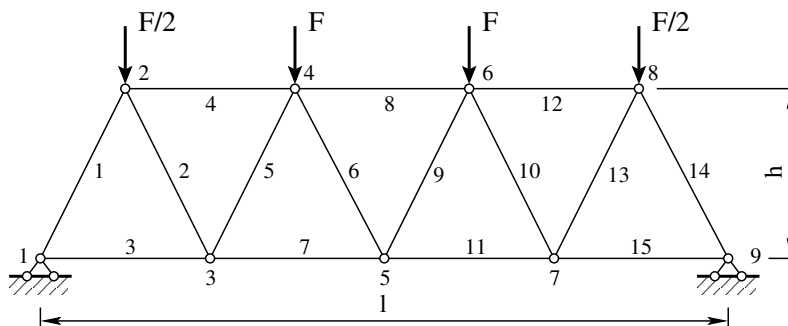
2. Sõrestik T



Joonis B.18. Sõrestik T

Arvutame GNU Octave'i programmiga [NaideTrussTest1Vibr.m](#).

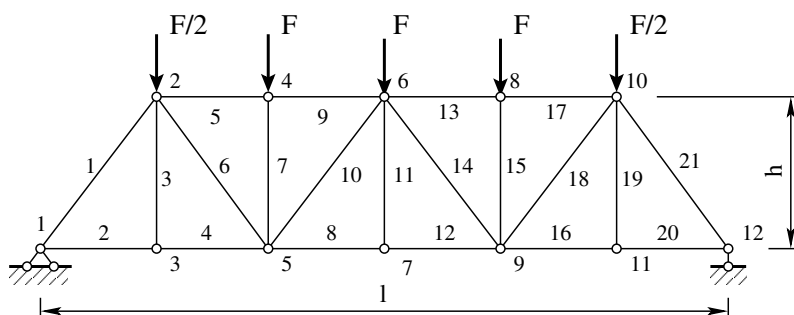
3. Sõrestik AM



Joonis B.19. Sõrestik AM

Arvutame GNU Octave'i programmiga `NaideTrussArg1Vibr.m`.

4. Sillasõrestik



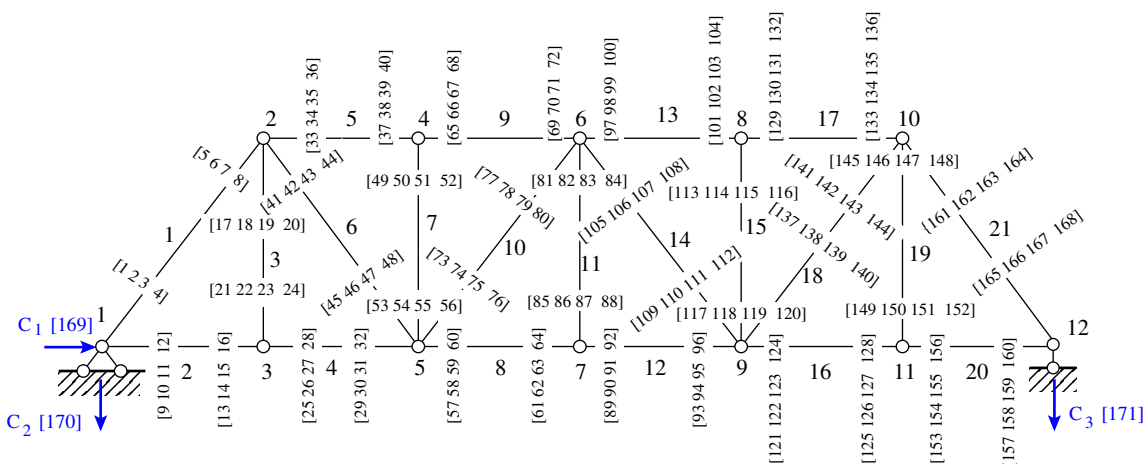
Joonis B.20. Sillasõrestik

Sõrestiku varraste ristlõikepindalad:

$126.75 \text{ mm}^2 = 1.2675 \times 10^{-4} \text{ m}^2$ (alumine vöö)

$81.750 \text{ mm}^2 = 8.1750 \times 10^{-5} \text{ m}^2$ (diagonaal)

$253.50 \text{ mm}^2 = 2.5350 \times 10^{-4} \text{ m}^2$ (ülemine vöö)



Joonis B.21. Sillasõrestiku muutujad

Arvutame GNU Octave'i programmiga `NaideTrussBridge1Vibr.m`.

B.4 Valemeid

Toome tala võnkeamplituudi avaldise algparameetrite kaudu teise märgikokkuleppe puhul (vrd [Kis64, (5.41) lk 100])

$$w(x) = w_0 K_1(\kappa x) - \varphi_0 \frac{1}{\kappa} K_2(\kappa x) + \frac{Q_0}{EI} \frac{1}{\kappa^3} K_4(\kappa x) + \frac{M_0}{EI} \frac{1}{\kappa^2} K_3(\kappa x) + f_{ie}(x) \quad (\text{B.9})$$

kus funktsioone $K_i(\kappa x)$ nimetatakse ka Krölovi funktsioonideks (vrd [Kis64, (5.42) lk 100])

$$K_1(\kappa x) = \frac{1}{2}(\operatorname{ch}\kappa x + \cos \kappa x) = A_{s_{\kappa z}} \quad (\text{B.10})$$

$$K_2(\kappa x) = \frac{1}{2}(\operatorname{sh}\kappa x + \sin \kappa x) = B_{s_{\kappa z}} \quad (\text{B.11})$$

$$K_3(\kappa x) = \frac{1}{2}(\operatorname{ch}\kappa x - \cos \kappa x) = C_{s_{\kappa z}} \quad (\text{B.12})$$

$$K_4(\kappa x) = \frac{1}{2}(\operatorname{sh}\kappa x - \sin \kappa x) = D_{s_{\kappa z}} \quad (\text{B.13})$$

ning $f_{ie}(x)$ on erilahend (vrd [Kis64, (5.59) lk 103])

$$f_{4e}(x) = \frac{q_z}{EI_y} \frac{1}{\kappa^4} [K_1(\kappa(x-a)_+) - 1] \quad (\text{B.14})$$

$$f_{3e}(x) = \frac{F_z}{EI_y} \frac{1}{\kappa^3} [K_4(\kappa(x-a)_+)] \quad (\text{B.15})$$

$$f_{2e}(x) = \frac{\mathcal{M}_y}{EI_y} \frac{1}{\kappa^2} [K_3(\kappa(x-a)_+)] \quad (\text{B.16})$$

Siin on kasutatud tähistust

$$\kappa^4 = \frac{\omega^2 \rho A}{EI_y} \quad (\text{B.17})$$

Sarnaste varraste ja jäikade sõlmedega põikraami sagedusvõrrand sümmeetrilisel võnkumisel (vrd [Kis64, valem (a) lk 181])

$$4\mu_1(\kappa\ell) - \mu_2(\kappa\ell) = 0 \quad (\text{B.18})$$

kus (vrd [Kis64, (6.74), (6.75) lk 121])

$$\begin{aligned} \mu_1(\kappa\ell) &= \frac{\kappa\ell}{4} \frac{K_2(\kappa\ell)K_3(\kappa\ell) - K_1(\kappa\ell)K_4(\kappa\ell)}{K_3^2(\kappa\ell) - K_2(\kappa\ell)K_4(\kappa\ell)} \\ &= \frac{\kappa\ell}{4} \frac{\operatorname{ch}\kappa\ell \sin \kappa\ell - \operatorname{sh}\kappa\ell \cos \kappa\ell}{1 - \operatorname{ch}\kappa\ell \cos \kappa\ell} \end{aligned} \quad (\text{B.19})$$

$$\mu_2(\kappa\ell) = \frac{\kappa\ell}{2} \frac{K_4(\kappa\ell)}{K_3^2(\kappa\ell) - K_2(\kappa\ell)K_4(\kappa\ell)} = \frac{\kappa\ell}{2} \frac{\operatorname{sh}\kappa\ell - \sin \kappa\ell}{1 - \operatorname{ch}\kappa\ell \cos \kappa\ell} \quad (\text{B.20})$$

C. Arvutiprogrammid

Arvutiprogrammid on kirjutatud programmeerimiskeeles GNU Octave ja need leiab raamatule (ISBN 978-9949-83-223-1) lisatud CD-plaadilt (ISBN 978-9949-83-224-8).

C.1 Programmid varda pikivõnkumise arvutamiseks

Programm C.1 (NaidePike1.m)¹ 27, 29 – arvutab konsoolvarda omavõnkesagedused.
Kasutab funktsioone

- `splvfmPike(baasi0,l,A,wf,md,E)`²
- `siiremPike(baasi0,xx,A,wf,md,E)`³
- `spInsertBtoA(spA,IIV,IJv,spB)`⁴
- `spSisestaArv(spA,iv,jv,sv)`⁵
- `mrkmts(a)`⁶

Programm C.2 (NaidePike2.m)⁷ 32 – arvutab jääkade tugelega varda omavõnkesagedused.
Kasutab funktsioone

- `splvfmPike(baasi0,l,A,wf,md,E)`⁸
- `siiremPike(baasi0,xx,A,wf,md,E)`⁹
- `spInsertBtoA(spA,IIV,IJv,spB)`¹⁰
- `spSisestaArv(spA,iv,jv,sv)`¹¹
- `mrkmts(a)`¹²

¹./octaveProgrammid/NaidePike1.m
²./octaveProgrammid/splvfmPike.m
³./octaveProgrammid/siiremPike.m
⁴./octaveProgrammid/spInsertBtoA.m
⁵./octaveProgrammid/spSisestaArv.m
⁶./octaveProgrammid/mrkmts.m
⁷./octaveProgrammid/NaidePike2.m
⁸./octaveProgrammid/splvfmPike.m
⁹./octaveProgrammid/siiremPike.m
¹⁰./octaveProgrammid/spInsertBtoA.m
¹¹./octaveProgrammid/spSisestaArv.m
¹²./octaveProgrammid/mrkmts.m

Programm C.3 (NaidePikeS1.m)¹³ 224 – arvutab konsoolvarda omavõnkesagedused.
Kasutab funktsioone

- `splvfmPike(baasi0,l,A,wf,md,E)`¹⁴
- `siiremPike(baasi0,xx,A,wf,md,E)`¹⁵
- `spInsertBtoA(spA,IIV,IJv,spB)`¹⁶
- `spSisestaArv(spA,iv,jv,sv)`¹⁷
- `mrkmts(a)`¹⁸

Programm C.4 (NaidePikeS2.m)¹⁹ 227 – arvutab konsoolvarda omavõnkesagedused.
Kasutab funktsioone

- `splvfmPike(baasi0,l,A,wf,md,E)`²⁰
- `siiremPike(baasi0,xx,A,wf,md,E)`²¹
- `spInsertBtoA(spA,IIV,IJv,spB)`²²
- `spSisestaArv(spA,iv,jv,sv)`²³
- `mrkmts(a)`²⁴

Programm C.5 (NaidePike1w1.m)²⁵ 29 – arvutab konsoolvarda 1. omavõnkevormi.
Kasutab funktsioone

- `splvfmPike(baasi0,l,A,wf,md,E)`²⁶
- `siiremPike(baasi0,xx,A,wf,md,E)`²⁷
- `spInsertBtoA(spA,IIV,IJv,spB)`²⁸
- `spSisestaArv(spA,iv,jv,sv)`²⁹
- `mrkmts(a)`³⁰

Programm C.6 (NaidePike1w2.m)³¹ 29 – arvutab konsoolvarda 2. omavõnkevormi.
Kasutab funktsioone

13./octaveProgrammid/NaidePikeS1.m
14./octaveProgrammid/splvfmPike.m
15./octaveProgrammid/siiremPike.m
16./octaveProgrammid/spInsertBtoA.m
17./octaveProgrammid/spSisestaArv.m
18./octaveProgrammid/mrkmts.m
19./octaveProgrammid/NaidePikeS2.m
20./octaveProgrammid/splvfmPike.m
21./octaveProgrammid/siiremPike.m
22./octaveProgrammid/spInsertBtoA.m
23./octaveProgrammid/spSisestaArv.m
24./octaveProgrammid/mrkmts.m
25./octaveProgrammid/NaidePike1w1.m
26./octaveProgrammid/splvfmPike.m
27./octaveProgrammid/siiremPike.m
28./octaveProgrammid/spInsertBtoA.m
29./octaveProgrammid/spSisestaArv.m
30./octaveProgrammid/mrkmts.m
31./octaveProgrammid/NaidePike1w2.m

- `splvfmPike(baasi0,l,A,wf,md,E)`³²
- `siiremPike(baasi0,xx,A,wf,md,E)`³³
- `spInsertBtoA(spA,IIV,IJv,spB)`³⁴
- `spSisestaArv(spA,iv,jv,sv)`³⁵
- `mrkmts(a)`³⁶

Programm C.7 (NaidePike1w3.m)³⁷ 29 – arvutab konsoolvarda 3. omavõnkevormi.

Kasutab funktsioone

- `splvfmPike(baasi0,l,A,wf,md,E)`³⁸
- `siiremPike(baasi0,xx,A,wf,md,E)`³⁹
- `spInsertBtoA(spA,IIV,IJv,spB)`⁴⁰
- `spSisestaArv(spA,iv,jv,sv)`⁴¹
- `mrkmts(a)`⁴²

Programm C.8 (NaidePike2w1.m)⁴³ 33 – arvutab jääkade tugelega varda 1. omavõnkevormi.

Kasutab funktsioone

- `splvfmPike(baasi0,l,A,wf,md,E)`⁴⁴
- `siiremPike(baasi0,xx,A,wf,md,E)`⁴⁵
- `spInsertBtoA(spA,IIV,IJv,spB)`⁴⁶
- `spSisestaArv(spA,iv,jv,sv)`⁴⁷
- `mrkmts(a)`⁴⁸

Programm C.9 (NaidePike2w2.m)⁴⁹ 33 – arvutab jääkade tugelega varda 2. omavõnkevormi.

Kasutab funktsioone

³²./octaveProgrammid/splvfmPike.m
³³./octaveProgrammid/siiremPike.m
³⁴./octaveProgrammid/spInsertBtoA.m
³⁵./octaveProgrammid/spSisestaArv.m
³⁶./octaveProgrammid/mrkmts.m
³⁷./octaveProgrammid/NaidePike1w3.m
³⁸./octaveProgrammid/splvfmPike.m
³⁹./octaveProgrammid/siiremPike.m
⁴⁰./octaveProgrammid/spInsertBtoA.m
⁴¹./octaveProgrammid/spSisestaArv.m
⁴²./octaveProgrammid/mrkmts.m
⁴³./octaveProgrammid/NaidePike2w1.m
⁴⁴./octaveProgrammid/splvfmPike.m
⁴⁵./octaveProgrammid/siiremPike.m
⁴⁶./octaveProgrammid/spInsertBtoA.m
⁴⁷./octaveProgrammid/spSisestaArv.m
⁴⁸./octaveProgrammid/mrkmts.m
⁴⁹./octaveProgrammid/NaidePike2w2.m

- `splvfmPike(baasi0,l,A,wf,md,E)`⁵⁰
- `siiremPike(baasi0,xx,A,wf,md,E)`⁵¹
- `spInsertBtoA(spA,IIV,IJv,spB)`⁵²
- `spSisestaArv(spA,iv,jv,sv)`⁵³
- `mrkmts(a)`⁵⁴

Programm C.10 (NaidePike2w3.m)⁵⁵ 33 – arvutab jääkade tugegeda varda 3. omavõnkevormi.

Kasutab funktsioone

- `splvfmPike(baasi0,l,A,wf,md,E)`⁵⁶
- `siiremPike(baasi0,xx,A,wf,md,E)`⁵⁷
- `spInsertBtoA(spA,IIV,IJv,spB)`⁵⁸
- `spSisestaArv(spA,iv,jv,sv)`⁵⁹
- `mrkmts(a)`⁶⁰

Programm C.11 (NaidePike2w4.m)⁶¹ 33 – arvutab jääkade tugegeda varda 4. omavõnkevormi.

Kasutab funktsioone

- `splvfmPike(baasi0,l,A,wf,md,E)`⁶²
- `siiremPike(baasi0,xx,A,wf,md,E)`⁶³
- `spInsertBtoA(spA,IIV,IJv,spB)`⁶⁴
- `spSisestaArv(spA,iv,jv,sv)`⁶⁵
- `mrkmts(a)`⁶⁶

Programm C.12 (NaidePike2Fx.m)⁶⁷ 35 – arvutab jääkade tugegeda varda pikisiirde ja pikijõu sundivast jõust.

Kasutab funktsioone

⁵⁰./octaveProgrammid/splvfmPike.m
⁵¹./octaveProgrammid/siiremPike.m
⁵²./octaveProgrammid/spInsertBtoA.m
⁵³./octaveProgrammid/spSisestaArv.m
⁵⁴./octaveProgrammid/mrkmts.m
⁵⁵./octaveProgrammid/NaidePike2w3.m
⁵⁶./octaveProgrammid/splvfmPike.m
⁵⁷./octaveProgrammid/siiremPike.m
⁵⁸./octaveProgrammid/spInsertBtoA.m
⁵⁹./octaveProgrammid/spSisestaArv.m
⁶⁰./octaveProgrammid/mrkmts.m
⁶¹./octaveProgrammid/NaidePike2w4.m
⁶²./octaveProgrammid/splvfmPike.m
⁶³./octaveProgrammid/siiremPike.m
⁶⁴./octaveProgrammid/spInsertBtoA.m
⁶⁵./octaveProgrammid/spSisestaArv.m
⁶⁶./octaveProgrammid/mrkmts.m
⁶⁷./octaveProgrammid/NaidePike2Fx.m

- `splvfmPike(baasi0,l,A,wf,md,E)`⁶⁸
- `siiremPike(baasi0,xx,A,wf,md,E)`⁶⁹
- `spInsertBtoA(spA,IIV,IJv,spB)`⁷⁰
- `spSisestaArv(spA,iv,jv,sv)`⁷¹
- `mrkmts(a)`⁷²

Programm C.13 (NaidePike2FxStaat.m)⁷³ 35, 36 – arvutab jääkade tugelega varda piki-siirde ja pikijõu staatiliselt rakendatud sundivast jõust.

Kasutab funktsioone

- `splvfmPikeStaat(baasi0,l,EA)`⁷⁴
- `siiremPikeStaat(baasi0,x,EA)`⁷⁵
- `spInsertBtoA(spA,IIV,IJv,spB)`⁷⁶
- `spSisestaArv(spA,iv,jv,sv)`⁷⁷

Programm C.14 (NaidePikeS1w1.m)⁷⁸ 225 – arvutab konsoolvarda 1. omavõnkevormi.

Kasutab funktsioone

- `splvfmPike(baasi0,l,A,wf,md,E)`⁷⁹
- `siiremPike(baasi0,xx,A,wf,md,E)`⁸⁰
- `spInsertBtoA(spA,IIV,IJv,spB)`⁸¹
- `spSisestaArv(spA,iv,jv,sv)`⁸²
- `mrkmts(a)`⁸³

Programm C.15 (NaidePikeS1w2.m)⁸⁴ 225 – arvutab konsoolvarda 2. omavõnkevormi.

Kasutab funktsioone

- `splvfmPike(baasi0,l,A,wf,md,E)`⁸⁵
- `siiremPike(baasi0,xx,A,wf,md,E)`⁸⁶

⁶⁸./octaveProgrammid/splvfmPike.m

⁶⁹./octaveProgrammid/siiremPike.m

⁷⁰./octaveProgrammid/spInsertBtoA.m

⁷¹./octaveProgrammid/spSisestaArv.m

⁷²./octaveProgrammid/mrkmts.m

⁷³./octaveProgrammid/NaidePike2FxStaat.m

⁷⁴./octaveProgrammid/splvfmPikeStaat.m

⁷⁵./octaveProgrammid/siiremPikeStaat.m

⁷⁶./octaveProgrammid/spInsertBtoA.m

⁷⁷./octaveProgrammid/spSisestaArv.m

⁷⁸./octaveProgrammid/NaidePikeS1w1.m

⁷⁹./octaveProgrammid/splvfmPike.m

⁸⁰./octaveProgrammid/siiremPike.m

⁸¹./octaveProgrammid/spInsertBtoA.m

⁸²./octaveProgrammid/spSisestaArv.m

⁸³./octaveProgrammid/mrkmts.m

⁸⁴./octaveProgrammid/NaidePikeS1w2.m

⁸⁵./octaveProgrammid/splvfmPike.m

⁸⁶./octaveProgrammid/siiremPike.m

- `spInsertBtoA(spA,Iv,Iv,spB)`⁸⁷
- `spSisestaArv(spA,iv,jv,sv)`⁸⁸
- `mrkmts(a)`⁸⁹

Programm C.16 (NaidePikeS1w3.m)⁹⁰ 225 – arvutab konsoolvarda 3. omavõnkevormi.
Kasutab funktsioone

- `splvfmPike(baasi0,l,A,wf,md,E)`⁹¹
- `siiremPike(baasi0,xx,A,wf,md,E)`⁹²
- `spInsertBtoA(spA,Iv,Iv,spB)`⁹³
- `spSisestaArv(spA,iv,jv,sv)`⁹⁴
- `mrkmts(a)`⁹⁵

Programm C.17 (NaidePikeS2w1.m)⁹⁶ 228 – arvutab konsoolvarda 1. omavõnkevormi.
Kasutab funktsioone

- `splvfmPike(baasi0,l,A,wf,md,E)`⁹⁷
- `siiremPike(baasi0,xx,A,wf,md,E)`⁹⁸
- `spInsertBtoA(spA,Iv,Iv,spB)`⁹⁹
- `spSisestaArv(spA,iv,jv,sv)`¹⁰⁰
- `mrkmts(a)`¹⁰¹

Programm C.18 (NaidePikeS2w2.m)¹⁰² 228 – arvutab konsoolvarda 2. omavõnkevormi.
Kasutab funktsioone

- `splvfmPike(baasi0,l,A,wf,md,E)`¹⁰³
- `siiremPike(baasi0,xx,A,wf,md,E)`¹⁰⁴
- `spInsertBtoA(spA,Iv,Iv,spB)`¹⁰⁵

⁸⁷./octaveProgramm/SpInsertBtoA.m

⁸⁸./octaveProgramm/SpSisestaArv.m

⁸⁹./octaveProgramm/mrkmts.m

⁹⁰./octaveProgramm/NaidePikeS1w3.m

⁹¹./octaveProgramm/splvfmPike.m

⁹²./octaveProgramm/siiremPike.m

⁹³./octaveProgramm/SpInsertBtoA.m

⁹⁴./octaveProgramm/SpSisestaArv.m

⁹⁵./octaveProgramm/mrkmts.m

⁹⁶./octaveProgramm/NaidePikeS2w1.m

⁹⁷./octaveProgramm/splvfmPike.m

⁹⁸./octaveProgramm/siiremPike.m

⁹⁹./octaveProgramm/SpInsertBtoA.m

¹⁰⁰./octaveProgramm/SpSisestaArv.m

¹⁰¹./octaveProgramm/mrkmts.m

¹⁰²./octaveProgramm/NaidePikeS2w2.m

¹⁰³./octaveProgramm/splvfmPike.m

¹⁰⁴./octaveProgramm/siiremPike.m

¹⁰⁵./octaveProgramm/SpInsertBtoA.m

- `spSisestaArv(spA,iv,jv,sv)`¹⁰⁶
- `mrkmts(a)`¹⁰⁷

Programm C.19 (NaidePikeS2w3.m)¹⁰⁸ 228 – arvutab konsoolvarda 3. omavõnkevormi. Kasutab funktsioone

- `splvfmPike(baasi0,l,A,wf,md,E)`¹⁰⁹
- `siiremPike(baasi0,xx,A,wf,md,E)`¹¹⁰
- `spInsertBtoA(spA,Iv,IJv,spB)`¹¹¹
- `spSisestaArv(spA,iv,jv,sv)`¹¹²
- `mrkmts(a)`¹¹³

Funktsioon C.1 (splvfmPike(baasi0,l,A,wf,md,E))¹¹⁴ 23 – arvutab pikke laiendatud ülekan-
demaatriksi.

Funktsioon C.2 (siiremPike(baasi0,x,A,wf,md,E))¹¹⁵ 19 – arvutab pikke ülekan-
demaatriksi.

Funktsioon C.3 (splvfmPikeStaat(baasi0,l,EA))¹¹⁶ 35 – arvutab pikke laiendatud ülekan-
demaatriksi staatilisel koormusel.

Funktsioon C.4 (siiremPikeStaat(baasi0,x,EA))¹¹⁷ 35 – arvutab pikke ülekan-
demaatriksi staatilisel koormusel.

Funktsioon C.5 (splfHRmassPike(baasi0,wf,mW))¹¹⁸ 23 – arvutab koondmassi pikkel.

Funktsioon C.6 (splfHLmassPike(baasi0,wf,mW))¹¹⁹ 24 – arvutab koondmassi pikkel.

¹⁰⁶./octaveProgrammid/spSisestaArv.m

¹⁰⁷./octaveProgrammid/mrkmts.m

¹⁰⁸./octaveProgrammid/NaidePikeS2w3.m

¹⁰⁹./octaveProgrammid/splvfmPike.m

¹¹⁰./octaveProgrammid/siiremPike.m

¹¹¹./octaveProgrammid/spInsertBtoA.m

¹¹²./octaveProgrammid/spSisestaArv.m

¹¹³./octaveProgrammid/mrkmts.m

¹¹⁴./octaveProgrammid/splvfmPike.m

¹¹⁵./octaveProgrammid/siiremPike.m

¹¹⁶./octaveProgrammid/splvfmPikeStaat.m

¹¹⁷./octaveProgrammid/siiremPikeStaat.m

¹¹⁸./octaveProgrammid/splfHRmassPike.m

¹¹⁹./octaveProgrammid/splfHLmassPike.m

C.2 Programmid võlli väändevõnkumise arvutamiseks

Programm C.20 (NaideKvoll1.m)¹²⁰ 49, 51 – arvutab konsoolvõlli omavõnkesagedused.
Kasutab funktsioone

- `splvfmVoll(baasi0,l,d,wf,md,G)`¹²¹
- `spInsertBtoA(spA,Iv,IJv,spB)`¹²²
- `spSisestaArv(spA,iv,jv,sv)`¹²³
- `mrkmts(a)`¹²⁴

Programm C.21 (NaideKvoll1w1.m)¹²⁵ 51 – arvutab konsoolvõlli 1. omavõnkevormi.
Kasutab funktsioone

- `splvfmVoll(baasi0,l,d,wf,md,G)`¹²⁶
- `spInsertBtoA(spA,Iv,IJv,spB)`¹²⁷
- `spSisestaArv(spA,iv,jv,sv)`¹²⁸
- `siiremVoll(baasi0,xx,d,wf,md,G)`¹²⁹
- `mrkmts(a)`¹³⁰

Programm C.22 (NaideKvoll1w2.m)¹³¹ 51 – arvutab konsoolvõlli 2. omavõnkevormi.
Kasutab funktsioone

- `splvfmVoll(baasi0,l,d,wf,md,G)`¹³²
- `spInsertBtoA(spA,Iv,IJv,spB)`¹³³
- `spSisestaArv(spA,iv,jv,sv)`¹³⁴
- `siiremVoll(baasi0,xx,d,wf,md,G)`¹³⁵
- `mrkmts(a)`¹³⁶

Programm C.23 (NaideKvoll1w3.m)¹³⁷ 51 – arvutab konsoolvõlli 3. omavõnkevormi.
Kasutab funktsioone

¹²⁰ ./octaveProgrammid/NaideKvoll1.m
¹²¹ ./octaveProgrammid/splvfmVoll.m
¹²² ./octaveProgrammid/spInsertBtoA.m
¹²³ ./octaveProgrammid/spSisestaArv.m
¹²⁴ ./octaveProgrammid/mrkmts.m
¹²⁵ ./octaveProgrammid/NaideKvoll1w1.m
¹²⁶ ./octaveProgrammid/splvfmVoll.m
¹²⁷ ./octaveProgrammid/spInsertBtoA.m
¹²⁸ ./octaveProgrammid/spSisestaArv.m
¹²⁹ ./octaveProgrammid/siiremVoll.m
¹³⁰ ./octaveProgrammid/mrkmts.m
¹³¹ ./octaveProgrammid/NaideKvoll1w2.m
¹³² ./octaveProgrammid/splvfmVoll.m
¹³³ ./octaveProgrammid/spInsertBtoA.m
¹³⁴ ./octaveProgrammid/spSisestaArv.m
¹³⁵ ./octaveProgrammid/siiremVoll.m
¹³⁶ ./octaveProgrammid/mrkmts.m
¹³⁷ ./octaveProgrammid/NaideKvoll1w3.m

- `splvfmVoll(baasi0,l,d,wf,md,G)`¹³⁸
- `spInsertBtoA(spA,Iv,Iv,spB)`¹³⁹
- `spSisestaArv(spA,iv,jv,sv)`¹⁴⁰
- `siiremVoll(baasi0,xx,d,wf,md,G)`¹⁴¹
- `mrkmts(a)`¹⁴²

Programm C.24 (NaideVoll2M.m)¹⁴³ 54 – arvutab jääkade tugegeda võlli omavõnkesagedused.

Kasutab funktsioone

- `splvfmVoll(baasi0,l,d,wf,md,G)`¹⁴⁴
- `spInsertBtoA(spA,Iv,Iv,spB)`¹⁴⁵
- `spSisestaArv(spA,iv,jv,sv)`¹⁴⁶
- `mrkmts(a)`¹⁴⁷

Programm C.25 (NaideVoll2Mw1.m)¹⁴⁸ 55 – arvutab jääkade tugegeda võlli 1. omavõnkevormi.

Kasutab funktsioone

- `splvfmVoll(baasi0,l,d,wf,md,G)`¹⁴⁹
- `spInsertBtoA(spA,Iv,Iv,spB)`¹⁵⁰
- `spSisestaArv(spA,iv,jv,sv)`¹⁵¹
- `siiremVoll(baasi0,xx,d,wf,md,G)`¹⁵²
- `mrkmts(a)`¹⁵³

Programm C.26 (NaideVoll2Mw2.m)¹⁵⁴ 55 – arvutab jääkade tugegeda võlli 2. omavõnkevormi.

Kasutab funktsioone

- `splvfmVoll(baasi0,l,d,wf,md,G)`¹⁵⁵

¹³⁸./octaveProgrammid/splvfmVoll.m

¹³⁹./octaveProgrammid/spInsertBtoA.m

¹⁴⁰./octaveProgrammid/spSisestaArv.m

¹⁴¹./octaveProgrammid/siiremVoll.m

¹⁴²./octaveProgrammid/mrkmts.m

¹⁴³./octaveProgrammid/NaideVoll2M.m

¹⁴⁴./octaveProgrammid/splvfmVoll.m

¹⁴⁵./octaveProgrammid/spInsertBtoA.m

¹⁴⁶./octaveProgrammid/spSisestaArv.m

¹⁴⁷./octaveProgrammid/mrkmts.m

¹⁴⁸./octaveProgrammid/NaideVoll2Mw1.m

¹⁴⁹./octaveProgrammid/splvfmVoll.m

¹⁵⁰./octaveProgrammid/spInsertBtoA.m

¹⁵¹./octaveProgrammid/spSisestaArv.m

¹⁵²./octaveProgrammid/siiremVoll.m

¹⁵³./octaveProgrammid/mrkmts.m

¹⁵⁴./octaveProgrammid/NaideVoll2Mw2.m

¹⁵⁵./octaveProgrammid/splvfmVoll.m

- `spInsertBtoA(spA,Iv,IJv,spB)`¹⁵⁶
- `spSisestaArv(spA,iv,jv,sv)`¹⁵⁷
- `siiremVoll(baasi0,xx,d,wf,md,G)`¹⁵⁸
- `mrkmts(a)`¹⁵⁹

Programm C.27 (NaideVoll2Mw3.m)¹⁶⁰ 55 – arvutab jääkade tugelega võlli 3. omavõnkevormi.

Kasutab funktsioone

- `splvfmVoll(baasi0,l,d,wf,md,G)`¹⁶¹
- `spInsertBtoA(spA,Iv,IJv,spB)`¹⁶²
- `spSisestaArv(spA,iv,jv,sv)`¹⁶³
- `siiremVoll(baasi0,xx,d,wf,md,G)`¹⁶⁴
- `mrkmts(a)`¹⁶⁵

Programm C.28 (NaideKvollHratas1.m)¹⁶⁶ 59 – arvutab hoorattaga konsoolvõlli omavõnkesagedused.

Kasutab funktsioone

- `splvfmVoll(baasi0,l,d,wf,md,G)`¹⁶⁷
- `splfHLratas(baasi0,rg,wf,mW)`¹⁶⁸
- `siireHratas(baasi0,rg,wf,mW)`¹⁶⁹
- `spInsertBtoA(spA,Iv,IJv,spB)`¹⁷⁰
- `InsertBtoA(Bvb,I,J,IM,JN,vB,M,N)`¹⁷¹
- `spSisestaArv(spA,iv,jv,sv)`¹⁷²
- `mrkmts(a)`¹⁷³

Programm C.29 (NaideKvollHratas1w1M.m)¹⁷⁴ 59 – arvutab hoorattaga konsoolvõlli 1. omavõnkevormi.

Kasutab funktsioone

-
- ¹⁵⁶./octaveProgrammide/spInsertBtoA.m
 - ¹⁵⁷./octaveProgrammide/spSisestaArv.m
 - ¹⁵⁸./octaveProgrammide/siiremVoll.m
 - ¹⁵⁹./octaveProgrammide/mrkmts.m
 - ¹⁶⁰./octaveProgrammide/NaideVoll2Mw3.m
 - ¹⁶¹./octaveProgrammide/splvfmVoll.m
 - ¹⁶²./octaveProgrammide/spInsertBtoA.m
 - ¹⁶³./octaveProgrammide/spSisestaArv.m
 - ¹⁶⁴./octaveProgrammide/siiremVoll.m
 - ¹⁶⁵./octaveProgrammide/mrkmts.m
 - ¹⁶⁶./octaveProgrammide/NaideKvollHratas1.m
 - ¹⁶⁷./octaveProgrammide/splvfmVoll.m
 - ¹⁶⁸./octaveProgrammide/splfHLratas.m
 - ¹⁶⁹./octaveProgrammide/siireHratas.m
 - ¹⁷⁰./octaveProgrammide/spInsertBtoA.m
 - ¹⁷¹./octaveProgrammide/InsertBtoA.m
 - ¹⁷²./octaveProgrammide/spSisestaArv.m
 - ¹⁷³./octaveProgrammide/mrkmts.m
 - ¹⁷⁴./octaveProgrammide/NaideKvollHratas1w1M.m

- `splvfmVoll(baasi0,l,d,wf,md,G)`¹⁷⁵
- `splfHLratas(baasi0,rg,wf,mW)`¹⁷⁶
- `siireHratas(baasi0,rg,wf,mW)`¹⁷⁷
- `spInsertBtoA(spA,Iv,IJv,spB)`¹⁷⁸
- `InsertBtoA(Bvb,I,J,IM,JN,vB,M,N)`¹⁷⁹
- `spSisestaArv(spA,iv,jv,sv)`¹⁸⁰
- `mrkmts(a)`¹⁸¹

Programm C.30 (NaideKvollHratas1w2M.m)¹⁸² 59 – arvutab hoorattaga konsoolvõlli 2. omavõnkevormi.

Kasutab funktsioone

- `splvfmVoll(baasi0,l,d,wf,md,G)`¹⁸³
- `splfHLratas(baasi0,rg,wf,mW)`¹⁸⁴
- `siireHratas(baasi0,rg,wf,mW)`¹⁸⁵
- `spInsertBtoA(spA,Iv,IJv,spB)`¹⁸⁶
- `InsertBtoA(Bvb,I,J,IM,JN,vB,M,N)`¹⁸⁷
- `spSisestaArv(spA,iv,jv,sv)`¹⁸⁸
- `mrkmts(a)`¹⁸⁹

Programm C.31 (NaideKvollHratas1w3M.m)¹⁹⁰ 59 – arvutab hoorattaga konsoolvõlli 3. omavõnkevormi.

Kasutab funktsioone

- `splvfmVoll(baasi0,l,d,wf,md,G)`¹⁹¹
- `splfHLratas(baasi0,rg,wf,mW)`¹⁹²
- `siireHratas(baasi0,rg,wf,mW)`¹⁹³

¹⁷⁵./octaveProgrammid/splvfmVoll.m

¹⁷⁶./octaveProgrammid/splfHLratas.m

¹⁷⁷./octaveProgrammid/siireHratas.m

¹⁷⁸./octaveProgrammid/spInsertBtoA.m

¹⁷⁹./octaveProgrammid/InsertBtoA.m

¹⁸⁰./octaveProgrammid/spSisestaArv.m

¹⁸¹./octaveProgrammid/mrkmts.m

¹⁸²./octaveProgrammid/NaideKvollHratas1w2M.m

¹⁸³./octaveProgrammid/splvfmVoll.m

¹⁸⁴./octaveProgrammid/splfHLratas.m

¹⁸⁵./octaveProgrammid/siireHratas.m

¹⁸⁶./octaveProgrammid/spInsertBtoA.m

¹⁸⁷./octaveProgrammid/InsertBtoA.m

¹⁸⁸./octaveProgrammid/spSisestaArv.m

¹⁸⁹./octaveProgrammid/mrkmts.m

¹⁹⁰./octaveProgrammid/NaideKvollHratas1w3M.m

¹⁹¹./octaveProgrammid/splvfmVoll.m

¹⁹²./octaveProgrammid/splfHLratas.m

¹⁹³./octaveProgrammid/siireHratas.m

- `spInsertBtoA(spA,Iv,IJv,spB)`¹⁹⁴
- `InsertBtoA(Bvb,I,J,IM,JN,vB,M,N)`¹⁹⁵
- `spSisestaArv(spA,iv,jv,sv)`¹⁹⁶
- `mrkmts(a)`¹⁹⁷

Programm C.32 (NaideVoll2Hratas1.m)¹⁹⁸ 62 – arvutab hoorattaga ja jääkade tudega võlli omavõnkesagedused.

Kasutab funktsioone

- `splvfmVoll(baasi0,l,d,wf,md,G)`¹⁹⁹
- `splfHLratas(baasi0,rg,wf,mW)`²⁰⁰
- `siireHratas(baasi0,rg,wf,mW)`²⁰¹
- `spInsertBtoA(spA,Iv,IJv,spB)`²⁰²
- `InsertBtoA(Bvb,I,J,IM,JN,vB,M,N)`²⁰³
- `spSisestaArv(spA,iv,jv,sv)`²⁰⁴
- `mrkmts(a)`²⁰⁵

Programm C.33 (NaideVoll2Hratas1w1.m)²⁰⁶ 62 – arvutab hoorattaga ja jääkade tudega võlli 1. omavõnkevormi.

Kasutab funktsioone

- `splvfmVoll(baasi0,l,d,wf,md,G)`²⁰⁷
- `splfHLratas(baasi0,rg,wf,mW)`²⁰⁸
- `siireHratas(baasi0,rg,wf,mW)`²⁰⁹
- `spInsertBtoA(spA,Iv,IJv,spB)`²¹⁰
- `InsertBtoA(Bvb,I,J,IM,JN,vB,M,N)`²¹¹
- `spSisestaArv(spA,iv,jv,sv)`²¹²

¹⁹⁴./octaveProgramm/ spInsertBtoA.m

¹⁹⁵./octaveProgramm/ InsertBtoA.m

¹⁹⁶./octaveProgramm/ spSisestaArv.m

¹⁹⁷./octaveProgramm/ mrkmts.m

¹⁹⁸./octaveProgramm/ NaideVoll2Hratas1.m

¹⁹⁹./octaveProgramm/ splvfmVoll.m

²⁰⁰./octaveProgramm/ splfHLratas.m

²⁰¹./octaveProgramm/ siireHratas.m

²⁰²./octaveProgramm/ spInsertBtoA.m

²⁰³./octaveProgramm/ InsertBtoA.m

²⁰⁴./octaveProgramm/ spSisestaArv.m

²⁰⁵./octaveProgramm/ mrkmts.m

²⁰⁶./octaveProgramm/ NaideVoll2Hratas1w1.m

²⁰⁷./octaveProgramm/ splvfmVoll.m

²⁰⁸./octaveProgramm/ splfHLratas.m

²⁰⁹./octaveProgramm/ siireHratas.m

²¹⁰./octaveProgramm/ spInsertBtoA.m

²¹¹./octaveProgramm/ InsertBtoA.m

²¹²./octaveProgramm/ spSisestaArv.m

- `mrkmts(a)`²¹³

Programm C.34 (NaideVoll2Hratas1w2.m)²¹⁴ 62 – arvutab hoorattaga ja jääkade tuge-
dega võlli 2. omavõnkevormi.

Kasutab funktsioone

- `splvfmVoll(baasi0,l,d,wf,md,G)`²¹⁵
- `splfHLratas(baasi0,rg,wf,mW)`²¹⁶
- `siireHratas(baasi0,rg,wf,mW)`²¹⁷
- `spInsertBtoA(spA,Iv,IJv,spB)`²¹⁸
- `InsertBtoA(Bvb,I,J,IM,JN,vB,M,N)`²¹⁹
- `spSisestaArv(spA,iv,jv,sv)`²²⁰
- `mrkmts(a)`²²¹

Programm C.35 (NaideVoll2Hratas1w3.m)²²² 62 – arvutab hoorattaga ja jääkade tuge-
dega võlli 3. omavõnkevormi.

Kasutab funktsioone

- `splvfmVoll(baasi0,l,d,wf,md,G)`²²³
- `splfHLratas(baasi0,rg,wf,mW)`²²⁴
- `siireHratas(baasi0,rg,wf,mW)`²²⁵
- `spInsertBtoA(spA,Iv,IJv,spB)`²²⁶
- `InsertBtoA(Bvb,I,J,IM,JN,vB,M,N)`²²⁷
- `spSisestaArv(spA,iv,jv,sv)`²²⁸
- `mrkmts(a)`²²⁹

Funktsioon C.7 (splvfmVoll(baasi0,l,d,wf,md,G))²³⁰ 44 – arvutab väände laiendatud üle-
kandemaatriksi.

²¹³./octaveProgrammid/mrkmts.m

²¹⁴./octaveProgrammid/NaideVoll2Hratas1w2.m

²¹⁵./octaveProgrammid/splvfmVoll.m

²¹⁶./octaveProgrammid/splfHLratas.m

²¹⁷./octaveProgrammid/siireHratas.m

²¹⁸./octaveProgrammid/spInsertBtoA.m

²¹⁹./octaveProgrammid/InsertBtoA.m

²²⁰./octaveProgrammid/spSisestaArv.m

²²¹./octaveProgrammid/mrkmts.m

²²²./octaveProgrammid/NaideVoll2Hratas1w3.m

²²³./octaveProgrammid/splvfmVoll.m

²²⁴./octaveProgrammid/splfHLratas.m

²²⁵./octaveProgrammid/siireHratas.m

²²⁶./octaveProgrammid/spInsertBtoA.m

²²⁷./octaveProgrammid/InsertBtoA.m

²²⁸./octaveProgrammid/spSisestaArv.m

²²⁹./octaveProgrammid/mrkmts.m

²³⁰./octaveProgrammid/splvfmVoll.m

Funktsioon C.8 (**siiremVoll(baasi0,x,d,wf,md,G)**)²³¹ 41 – arvutab väände ülekandemaatriksi.

Funktsioon C.9 (**splfHLratas(baasi0,rg,wf,mW)**)²³² 45 – arvutab koondmassi väändel.

Funktsioon C.10 (**splfHRratas(baasi0,rg,wf,mW)**)²³³ 45 – arvutab koondmassi väändel.

Funktsioon C.11 (**siireHratas(baasi0,rg,wf,mW)**)²³⁴ 264 – arvutab inertsjõudude momendi väändel.

C.3 Programmid tala võnkumise arvutamiseks

C.3.1 Programmid Euleri-Bernoulli tala võnkumise arvutamiseks

Programm C.36 (NaideKonsool1.m)²³⁵ 77 – arvutab Euleri-Bernoulli konsooltala omavõnkesagedused.

Kasutab funktsioone

- **talaylekM(baasi0,x,wf,mg,A,EI)**²³⁶
- **sptalaylekM(baasi0,l,wf,mg,A,EI)**²³⁷
- **spInsertBtoA(spA,Iv,IJv,spB)**²³⁸
- **InsertBtoA(Bvb,I,J,IM,JN,vB,M,N)**²³⁹
- **spSisestaArv(spA,iv,jv,sv)**²⁴⁰
- **mrkmts(a)**²⁴¹

Programm C.37 (NaideKonsool1M.m)²⁴² – arvutab Euleri-Bernoulli konsooltala omavõnkesagedused.

Kasutab funktsioone

- **talaylekM(baasi0,x,wf,mg,A,EI)**²⁴³
- **sptalaylekM(baasi0,l,wf,mg,A,EI)**²⁴⁴
- **spInsertBtoA(spA,Iv,IJv,spB)**²⁴⁵

²³¹./octaveProgrammid/siiremVoll.m

²³²./octaveProgrammid/splfHLratas.m

²³³./octaveProgrammid/splfHRratas.m

²³⁴./octaveProgrammid/siireHratas.m

²³⁵./octaveProgrammid/NaideKonsool1.m

²³⁶./octaveProgrammid/talaylekM.m

²³⁷./octaveProgrammid/sptalaylekM.m

²³⁸./octaveProgrammid/spInsertBtoA.m

²³⁹./octaveProgrammid/InsertBtoA.m

²⁴⁰./octaveProgrammid/spSisestaArv.m

²⁴¹./octaveProgrammid/mrkmts.m

²⁴²./octaveProgrammid/NaideKonsool1M.m

²⁴³./octaveProgrammid/talaylekM.m

²⁴⁴./octaveProgrammid/sptalaylekM.m

²⁴⁵./octaveProgrammid/spInsertBtoA.m

- `InsertBtoA(Bvb,I,J,IM,JN,vB,M,N)`²⁴⁶
- `spSisestaArv(spA,iv,jv,sv)`²⁴⁷
- `mrkmts(a)`²⁴⁸

Programm C.38 (NaideKonsool1w1.m)²⁴⁹ 78 – arvutab Euleri-Bernoulli konsooltala 1. omavõnkevormi.

Kasutab funktsioone

- `talaylekM(baasi0,x,wf,mg,A,EI)`²⁵⁰
- `sptalaylekM(baasi0,l,wf,mg,A,EI)`²⁵¹
- `spInsertBtoA(spA,IIV,IJv,spB)`²⁵²
- `InsertBtoA(Bvb,I,J,IM,JN,vB,M,N)`²⁵³
- `spSisestaArv(spA,iv,jv,sv)`²⁵⁴
- `mrkmts(a)`²⁵⁵

Programm C.39 (NaideKonsool1w2.m)²⁵⁶ 78 – arvutab Euleri-Bernoulli konsooltala 2. omavõnkevormi.

Kasutab funktsioone

- `talaylekM(baasi0,x,wf,mg,A,EI)`²⁵⁷
- `sptalaylekM(baasi0,l,wf,mg,A,EI)`²⁵⁸
- `spInsertBtoA(spA,IIV,IJv,spB)`²⁵⁹
- `InsertBtoA(Bvb,I,J,IM,JN,vB,M,N)`²⁶⁰
- `spSisestaArv(spA,iv,jv,sv)`²⁶¹
- `mrkmts(a)`²⁶²

Programm C.40 (NaideKonsool1w3.m)²⁶³ 78 – arvutab Euleri-Bernoulli konsooltala 3. omavõnkevormi.

Kasutab funktsioone

-
- ²⁴⁶./octaveProgrammid/InsertBtoA.m
 - ²⁴⁷./octaveProgrammid/spSisestaArv.m
 - ²⁴⁸./octaveProgrammid/mrkmts.m
 - ²⁴⁹./octaveProgrammid/NaideKonsool1w1.m
 - ²⁵⁰./octaveProgrammid/talaylekM.m
 - ²⁵¹./octaveProgrammid/sptalaylekM.m
 - ²⁵²./octaveProgrammid/spInsertBtoA.m
 - ²⁵³./octaveProgrammid/InsertBtoA.m
 - ²⁵⁴./octaveProgrammid/spSisestaArv.m
 - ²⁵⁵./octaveProgrammid/mrkmts.m
 - ²⁵⁶./octaveProgrammid/NaideKonsool1w2.m
 - ²⁵⁷./octaveProgrammid/talaylekM.m
 - ²⁵⁸./octaveProgrammid/sptalaylekM.m
 - ²⁵⁹./octaveProgrammid/spInsertBtoA.m
 - ²⁶⁰./octaveProgrammid/InsertBtoA.m
 - ²⁶¹./octaveProgrammid/spSisestaArv.m
 - ²⁶²./octaveProgrammid/mrkmts.m
 - ²⁶³./octaveProgrammid/NaideKonsool1w3.m

- `talaylekM(baasi0,x,wf,mg,A,EI)`²⁶⁴
- `sptalaylekM(baasi0,l,wf,mg,A,EI)`²⁶⁵
- `spInsertBtoA(spA,Iv,IJv,spB)`²⁶⁶
- `InsertBtoA(Bvb,I,J,IM,JN,vB,M,N)`²⁶⁷
- `spSisestaArv(spA,iv,jv,sv)`²⁶⁸
- `mrkmts(a)`²⁶⁹

Programm C.41 (NaideKonsool1w4.m)²⁷⁰ 78 – arvutab Euleri-Bernoulli konsooltala 4. omavõnkevormi.

Kasutab funktsioone

- `talaylekM(baasi0,x,wf,mg,A,EI)`²⁷¹
- `sptalaylekM(baasi0,l,wf,mg,A,EI)`²⁷²
- `spInsertBtoA(spA,Iv,IJv,spB)`²⁷³
- `InsertBtoA(Bvb,I,J,IM,JN,vB,M,N)`²⁷⁴
- `spSisestaArv(spA,iv,jv,sv)`²⁷⁵
- `mrkmts(a)`²⁷⁶

Programm C.42 (NaideTala1.m)²⁷⁷ 81 – arvutab jäikade tugegedega Euleri-Bernoulli tala omavõnkesagedused.

Kasutab funktsioone

- `talaylekM(baasi0,x,wf,mg,A,EI)`²⁷⁸
- `sptalaylekM(baasi0,l,wf,mg,A,EI)`²⁷⁹
- `spInsertBtoA(spA,Iv,IJv,spB)`²⁸⁰
- `InsertBtoA(Bvb,I,J,IM,JN,vB,M,N)`²⁸¹
- `spSisestaArv(spA,iv,jv,sv)`²⁸²

²⁶⁴./octaveProgrammimid/talaylekM.m
²⁶⁵./octaveProgrammimid/sptalaylekM.m
²⁶⁶./octaveProgrammimid/spInsertBtoA.m
²⁶⁷./octaveProgrammimid/InsertBtoA.m
²⁶⁸./octaveProgrammimid/spSisestaArv.m
²⁶⁹./octaveProgrammimid/mrkmts.m
²⁷⁰./octaveProgrammimid/NaideKonsool1w4.m
²⁷¹./octaveProgrammimid/talaylekM.m
²⁷²./octaveProgrammimid/sptalaylekM.m
²⁷³./octaveProgrammimid/spInsertBtoA.m
²⁷⁴./octaveProgrammimid/InsertBtoA.m
²⁷⁵./octaveProgrammimid/spSisestaArv.m
²⁷⁶./octaveProgrammimid/mrkmts.m
²⁷⁷./octaveProgrammimid/NaideTala1.m
²⁷⁸./octaveProgrammimid/talaylekM.m
²⁷⁹./octaveProgrammimid/sptalaylekM.m
²⁸⁰./octaveProgrammimid/spInsertBtoA.m
²⁸¹./octaveProgrammimid/InsertBtoA.m
²⁸²./octaveProgrammimid/spSisestaArv.m

- `mrkmts(a)`²⁸³

Programm C.43 (NaideTala1w1.m)²⁸⁴ 82 – arvutab jääkade tugegeda Euleri-Bernoulli tala 1. omavõnkevormi.

Kasutab funktsioone

- `talaylekM(baasi0,x,wf,mg,A,EI)`²⁸⁵
- `sptalaylekM(baasi0,l,wf,mg,A,EI)`²⁸⁶
- `spInsertBtoA(spA,IIV,IJv,spB)`²⁸⁷
- `InsertBtoA(Bvb,I,J,IM,JN,vB,M,N)`²⁸⁸
- `spSisestaArv(spA,iv,jv,sv)`²⁸⁹
- `mrkmts(a)`²⁹⁰

Programm C.44 (NaideTala1w2.m)²⁹¹ 82 – arvutab jääkade tugegeda Euleri-Bernoulli tala 2. omavõnkevormi.

Kasutab funktsioone

- `talaylekM(baasi0,x,wf,mg,A,EI)`²⁹²
- `sptalaylekM(baasi0,l,wf,mg,A,EI)`²⁹³
- `spInsertBtoA(spA,IIV,IJv,spB)`²⁹⁴
- `InsertBtoA(Bvb,I,J,IM,JN,vB,M,N)`²⁹⁵
- `spSisestaArv(spA,iv,jv,sv)`²⁹⁶
- `mrkmts(a)`²⁹⁷

Programm C.45 (NaideTala1w3.m)²⁹⁸ 82 – arvutab jääkade tugegeda Euleri-Bernoulli tala 3. omavõnkevormi.

Kasutab funktsioone

- `talaylekM(baasi0,x,wf,mg,A,EI)`²⁹⁹
- `sptalaylekM(baasi0,l,wf,mg,A,EI)`³⁰⁰

283. `./octaveProgrammid/mrkmts.m`

284. `./octaveProgrammid/NaideTala1w1.m`

285. `./octaveProgrammid/talaylekM.m`

286. `./octaveProgrammid/sptalaylekM.m`

287. `./octaveProgrammid/spInsertBtoA.m`

288. `./octaveProgrammid/InsertBtoA.m`

289. `./octaveProgrammid/spSisestaArv.m`

290. `./octaveProgrammid/mrkmts.m`

291. `./octaveProgrammid/NaideTala1w2.m`

292. `./octaveProgrammid/talaylekM.m`

293. `./octaveProgrammid/sptalaylekM.m`

294. `./octaveProgrammid/spInsertBtoA.m`

295. `./octaveProgrammid/InsertBtoA.m`

296. `./octaveProgrammid/spSisestaArv.m`

297. `./octaveProgrammid/mrkmts.m`

298. `./octaveProgrammid/NaideTala1w3.m`

299. `./octaveProgrammid/talaylekM.m`

300. `./octaveProgrammid/sptalaylekM.m`

- `spInsertBtoA(spA,IIV,IJv,spB)`³⁰¹
- `InsertBtoA(Bvb,I,J,IM,JN,vB,M,N)`³⁰²
- `spSisestaArv(spA,iv,jv,sv)`³⁰³
- `mrkmts(a)`³⁰⁴

Programm C.46 (NaideTala1w4.m)³⁰⁵ 82 – arvutab jäikade tugegeda Euleri-Bernoulli tala 4. omavõnkevormi.

Kasutab funktsioone

- `talaylekM(baasi0,x,wf,mg,A,EI)`³⁰⁶
- `sptalaylekM(baasi0,l,wf,mg,A,EI)`³⁰⁷
- `spInsertBtoA(spA,IIV,IJv,spB)`³⁰⁸
- `InsertBtoA(Bvb,I,J,IM,JN,vB,M,N)`³⁰⁹
- `spSisestaArv(spA,iv,jv,sv)`³¹⁰
- `mrkmts(a)`³¹¹

Programm C.47 (NaideTalaKahelToel1.m)³¹² 96 – arvutab paigalseisva ja liikuva liigendtoega Euleri-Bernoulli tala omavõnkesagedused. Tala kirjeldatakse ühe elemendiga.

Kasutab funktsioone

- `talaylekM(baasi0,x,wf,mg,A,EI)`³¹³
- `sptalaylekM(baasi0,l,wf,mg,A,EI)`³¹⁴
- `ysndvnkZF(baasi0,x,a,Fz,wf,mg,A,EI)`³¹⁵
- `spInsertBtoA(spA,IIV,IJv,spB)`³¹⁶
- `InsertBtoA(Bvb,I,J,IM,JN,vB,M,N)`³¹⁷
- `spSisestaArv(spA,iv,jv,sv)`³¹⁸
- `mrkmts(a)`³¹⁹

³⁰¹ `./octaveProgramm/SpInsertBtoA.m`

³⁰² `./octaveProgramm/InsertBtoA.m`

³⁰³ `./octaveProgramm/spSisestaArv.m`

³⁰⁴ `./octaveProgramm/mrkmts.m`

³⁰⁵ `./octaveProgramm/NaideTala1w4.m`

³⁰⁶ `./octaveProgramm/talaylekM.m`

³⁰⁷ `./octaveProgramm/sptalaylekM.m`

³⁰⁸ `./octaveProgramm/spInsertBtoA.m`

³⁰⁹ `./octaveProgramm/InsertBtoA.m`

³¹⁰ `./octaveProgramm/spSisestaArv.m`

³¹¹ `./octaveProgramm/mrkmts.m`

³¹² `./octaveProgramm/NaideTalaKahelToel1.m`

³¹³ `./octaveProgramm/talaylekM.m`

³¹⁴ `./octaveProgramm/sptalaylekM.m`

³¹⁵ `./octaveProgramm/ysndvnkZF.m`

³¹⁶ `./octaveProgramm/spInsertBtoA.m`

³¹⁷ `./octaveProgramm/InsertBtoA.m`

³¹⁸ `./octaveProgramm/spSisestaArv.m`

³¹⁹ `./octaveProgramm/mrkmts.m`

Programm C.48 (NaideTala2Toel1w0.m)³²⁰ 96, 98, 99 – arvutab paigalseisva ja liikuva liigendtoega Euleri-Bernoulli tala siirded ja sisejõud sagedustel $\omega = 400$ (sagedusvariant = 1), $\omega = 900$ (sagedusvariant = 2), $\omega = 1024$ (sagedusvariant = 3). Tala kirjeldatakse kahe elemendiga.

Kasutab funktsioone

- talaylekM(baasi0,x,wf,mg,A,EI)³²¹
- sptalaylekM(baasi0,l,wf,mg,A,EI)³²²
- LT2keskel(F,L,wf,mg,A,EI)³²³
- spInsertBtoA(spA,Iv,IJv,spB)³²⁴
- InsertBtoA(Bvb,I,J,IM,JN,vB,M,N)³²⁵
- spSisestaArv(spA,iv,jv,sv)³²⁶
- mrkmts(a)³²⁷

Programm C.49 (NaideTala2ToelMdet.m)³²⁸ 111 – arvutab koondmassi kandva kahe toega Euleri-Bernoulli tala omavõnkesagedused.

Kasutab funktsioone

- talaylekM(baasi0,x,wf,mg,A,EI)³²⁹
- sptalaylekM(baasi0,l,wf,mg,A,EI)³³⁰
- koondMassHLtala(baasi0,wf,mw)³³¹
- spInsertBtoA(spA,Iv,IJv,spB)³³²
- InsertBtoA(Bvb,I,J,IM,JN,vB,M,N)³³³
- spSisestaArv(spA,iv,jv,sv)³³⁴
- mrkmts(a)³³⁵

Programm C.50 (NaideTala2ToelMw0.m)³³⁶ 111 – arvutab koondmassi kandva kahe toega Euleri-Bernoulli tala siirded ja sisejõud vibreeriva jõu sagedusel $\omega = 30 \text{ s}^{-1}$.

Kasutab funktsioone

- talaylekM(baasi0,x,wf,mg,A,EI)³³⁷

³²⁰ ./octaveProgrammid/NaideTala2Toel1w0.m

³²¹ ./octaveProgrammid/talaylekM.m

³²² ./octaveProgrammid/sptalaylekM.m

³²³ ./octaveProgrammid/LT2keskel.m

³²⁴ ./octaveProgrammid/spInsertBtoA.m

³²⁵ ./octaveProgrammid/InsertBtoA.m

³²⁶ ./octaveProgrammid/spSisestaArv.m

³²⁷ ./octaveProgrammid/mrkmts.m

³²⁸ ./octaveProgrammid/NaideTala2ToelMdet.m

³²⁹ ./octaveProgrammid/talaylekM.m

³³⁰ ./octaveProgrammid/sptalaylekM.m

³³¹ ./octaveProgrammid/koondMassHLtala.m

³³² ./octaveProgrammid/spInsertBtoA.m

³³³ ./octaveProgrammid/InsertBtoA.m

³³⁴ ./octaveProgrammid/spSisestaArv.m

³³⁵ ./octaveProgrammid/mrkmts.m

³³⁶ ./octaveProgrammid/NaideTala2ToelMw0.m

³³⁷ ./octaveProgrammid/talaylekM.m

- `sptalaylekM(baasi0,l,wf,mg,A,EI)`³³⁸
- `LT2keskel(F,L,wf,mg,A,EI)`³³⁹
- `koondMassHLtala(baasi0,wf,mw)`³⁴⁰
- `spInsertBtoA(spA,Iv,IJv,spB)`³⁴¹
- `InsertBtoA(Bvb,I,J,IM,JN,vB,M,N)`³⁴²
- `spSisestaArv(spA,iv,jv,sv)`³⁴³
- `mrkmts(a)`³⁴⁴

Programm C.51 (NaideTalaKahelToel3.m)³⁴⁵ 104 – arvutab liikuva liigend- ja jäiga toega Euleri-Bernoulli tala omavõnkesagedused.

Kasutab funktsioone

- `talaylekM(baasi0,x,wf,mg,A,EI)`³⁴⁶
- `sptalaylekM(baasi0,l,wf,mg,A,EI)`³⁴⁷
- `LT2keskel(F,L,wf,mg,A,EI)`³⁴⁸
- `spInsertBtoA(spA,Iv,IJv,spB)`³⁴⁹
- `InsertBtoA(Bvb,I,J,IM,JN,vB,M,N)`³⁵⁰
- `spSisestaArv(spA,iv,jv,sv)`³⁵¹
- `mrkmts(a)`³⁵²

Programm C.52 (NaideTala2Toel3w0.m)³⁵³ 105 – arvutab liikuva liigend- ja jäiga toega Euleri-Bernoulli tala siirded ja sisejõud vibreerivate jõudude sagedustel $\omega = 0.8\omega_1 s^{-1}$ ja $\omega = 0.9\omega_2 s^{-1}$.

Kasutab funktsioone

- `talaylekM(baasi0,x,wf,mg,A,EI)`³⁵⁴
- `sptalaylekM(baasi0,l,wf,mg,A,EI)`³⁵⁵
- `LT2keskel(F,L,wf,mg,A,EI)`³⁵⁶

338./octaveProgrammid/sptalaylekM.m
 339./octaveProgrammid/LT2keskel.m
 340./octaveProgrammid/koondMassHLtala.m
 341./octaveProgrammid/spInsertBtoA.m
 342./octaveProgrammid/InsertBtoA.m
 343./octaveProgrammid/spSisestaArv.m
 344./octaveProgrammid/mrkmts.m
 345./octaveProgrammid/NaideTalaKahelToel3.m
 346./octaveProgrammid/talaylekM.m
 347./octaveProgrammid/sptalaylekM.m
 348./octaveProgrammid/LT2keskel.m
 349./octaveProgrammid/spInsertBtoA.m
 350./octaveProgrammid/InsertBtoA.m
 351./octaveProgrammid/spSisestaArv.m
 352./octaveProgrammid/mrkmts.m
 353./octaveProgrammid/NaideTala2Toel3w0.m
 354./octaveProgrammid/talaylekM.m
 355./octaveProgrammid/sptalaylekM.m
 356./octaveProgrammid/LT2keskel.m

- `spInsertBtoA(spA,Iv,IJv,spB)`³⁵⁷
- `InsertBtoA(Bvb,I,J,IM,JN,vB,M,N)`³⁵⁸
- `spSisestaArv(spA,iv,jv,sv)`³⁵⁹
- `mrkmts(a)`³⁶⁰

C.3.2 Programmid Timošenko tala võnkumise arvutamiseks

Programm C.53 (NaideTimKonsool1.m)³⁶¹ 135 – arvutab Timošenko konsooltala omavõnkesagedused.

Kasutab funktsioone

- `sptalaylekTimM(baasi0,kT,l,wf,mg,A,Iy,E,G)`³⁶²
- `spInsertBtoA(spA,Iv,IJv,spB)`³⁶³
- `InsertBtoA(Bvb,I,J,IM,JN,vB,M,N)`³⁶⁴
- `spSisestaArv(spA,iv,jv,sv)`³⁶⁵
- `mrkmts(a)`³⁶⁶

Programm C.54 (NaideTimKonsool1w1.m)³⁶⁷ 136 – arvutab Timošenko konsooltala 1. omavõnkevormi.

Kasutab funktsioone

- `TimtalaylekM(baasi0,kT,x,l,wf,mg,A,Iy,E,G)`³⁶⁸
- `sptalaylekTimM(baasi0,kT,l,wf,mg,A,Iy,E,G)`³⁶⁹
- `spInsertBtoA(spA,Iv,IJv,spB)`³⁷⁰
- `InsertBtoA(Bvb,I,J,IM,JN,vB,M,N)`³⁷¹
- `spSisestaArv(spA,iv,jv,sv)`³⁷²
- `mrkmts(a)`³⁷³

³⁵⁷./octaveProgrammid/spInsertBtoA.m

³⁵⁸./octaveProgrammid/InsertBtoA.m

³⁵⁹./octaveProgrammid/spSisestaArv.m

³⁶⁰./octaveProgrammid/mrkmts.m

³⁶¹./octaveProgrammid/NaideTimKonsool1.m

³⁶²./octaveProgrammid/sptalaylekTimM.m

³⁶³./octaveProgrammid/spInsertBtoA.m

³⁶⁴./octaveProgrammid/InsertBtoA.m

³⁶⁵./octaveProgrammid/spSisestaArv.m

³⁶⁶./octaveProgrammid/mrkmts.m

³⁶⁷./octaveProgrammid/NaideTimKonsool1w1.m

³⁶⁸./octaveProgrammid/TimtalaylekM.m

³⁶⁹./octaveProgrammid/sptalaylekTimM.m

³⁷⁰./octaveProgrammid/spInsertBtoA.m

³⁷¹./octaveProgrammid/InsertBtoA.m

³⁷²./octaveProgrammid/spSisestaArv.m

³⁷³./octaveProgrammid/mrkmts.m

Programm C.55 (NaideTimKonsool1w2.m)³⁷⁴ 136 – arvutab Timošenko konsooltala 2. omavõnkevormi.

Kasutab funktsioone

- **TimtalaylekM**(baasi0,kT,x,l,wf,mg,A,Iy,E,G)³⁷⁵
- **sptalaylekTimM**(baasi0,kT,l,wf,mg,A,Iy,E,G)³⁷⁶
- **spInsertBtoA**(spA,IIV,IJv,spB)³⁷⁷
- **InsertBtoA**(Bvb,I,J,IM,JN,vB,M,N)³⁷⁸
- **spSisestaArv**(spA,iv,jv,sv)³⁷⁹
- **mrkmts(a)**³⁸⁰

Programm C.56 (NaideTimKonsool1w3.m)³⁸¹ 136 – arvutab Timošenko konsooltala 3. omavõnkevormi.

Kasutab funktsioone

- **TimtalaylekM**(baasi0,kT,x,l,wf,mg,A,Iy,E,G)³⁸²
- **sptalaylekTimM**(baasi0,kT,l,wf,mg,A,Iy,E,G)³⁸³
- **spInsertBtoA**(spA,IIV,IJv,spB)³⁸⁴
- **InsertBtoA**(Bvb,I,J,IM,JN,vB,M,N)³⁸⁵
- **spSisestaArv**(spA,iv,jv,sv)³⁸⁶
- **mrkmts(a)**³⁸⁷

Programm C.57 (NaideTimKonsool1w4.m)³⁸⁸ 136 – arvutab Timošenko konsooltala 4. omavõnkevormi.

Kasutab funktsioone

- **TimtalaylekM**(baasi0,kT,x,l,wf,mg,A,Iy,E,G)³⁸⁹
- **sptalaylekTimM**(baasi0,kT,l,wf,mg,A,Iy,E,G)³⁹⁰
- **spInsertBtoA**(spA,IIV,IJv,spB)³⁹¹
- **InsertBtoA**(Bvb,I,J,IM,JN,vB,M,N)³⁹²

³⁷⁴./octaveProgramm/NaideTimKonsool1w2.m

³⁷⁵./octaveProgramm/TimtalaylekM.m

³⁷⁶./octaveProgramm/sptalaylekTimM.m

³⁷⁷./octaveProgramm/spInsertBtoA.m

³⁷⁸./octaveProgramm/InsertBtoA.m

³⁷⁹./octaveProgramm/spSisestaArv.m

³⁸⁰./octaveProgramm/mrkmts.m

³⁸¹./octaveProgramm/NaideTimKonsool1w3.m

³⁸²./octaveProgramm/TimtalaylekM.m

³⁸³./octaveProgramm/sptalaylekTimM.m

³⁸⁴./octaveProgramm/spInsertBtoA.m

³⁸⁵./octaveProgramm/InsertBtoA.m

³⁸⁶./octaveProgramm/spSisestaArv.m

³⁸⁷./octaveProgramm/mrkmts.m

³⁸⁸./octaveProgramm/NaideTimKonsool1w4.m

³⁸⁹./octaveProgramm/TimtalaylekM.m

³⁹⁰./octaveProgramm/sptalaylekTimM.m

³⁹¹./octaveProgramm/spInsertBtoA.m

³⁹²./octaveProgramm/InsertBtoA.m

- `spSisestaArv(spA,iv,jv,sv)`³⁹³
- `mrkmts(a)`³⁹⁴

Programm C.58 (NaideTimTala1.m)³⁹⁵ 139 – arvutab jääkade tugegeda Timošenko tala omavõnkesagedused.

Kasutab funktsioone

- `sptalaylekTimM(baasi0,kT,l,wf,mg,A,Iy,E,G)`³⁹⁶
- `spInsertBtoA(spA,IIV,IJv,spB)`³⁹⁷
- `InsertBtoA(Bvb,I,J,IM,JN,vB,M,N)`³⁹⁸
- `spSisestaArv(spA,iv,jv,sv)`³⁹⁹
- `mrkmts(a)`⁴⁰⁰

Programm C.59 (NaideTimTala1w1.m)⁴⁰¹ 140 – arvutab jääkade tugegeda Timošenko tala 1. omavõnkevormi.

Kasutab funktsioone

- `TimtalaylekM(baasi0,kT,x,l,wf,mg,A,Iy,E,G)`⁴⁰²
- `sptalaylekTimM(baasi0,kT,l,wf,mg,A,Iy,E,G)`⁴⁰³
- `spInsertBtoA(spA,IIV,IJv,spB)`⁴⁰⁴
- `InsertBtoA(Bvb,I,J,IM,JN,vB,M,N)`⁴⁰⁵
- `spSisestaArv(spA,iv,jv,sv)`⁴⁰⁶
- `mrkmts(a)`⁴⁰⁷

Programm C.60 (NaideTimTala1w2.m)⁴⁰⁸ 140 – arvutab jääkade tugegeda Timošenko tala 2. omavõnkevormi.

Kasutab funktsioone

- `TimtalaylekM(baasi0,kT,x,l,wf,mg,A,Iy,E,G)`⁴⁰⁹
- `sptalaylekTimM(baasi0,kT,l,wf,mg,A,Iy,E,G)`⁴¹⁰

³⁹³./octaveProgrammid/spSisestaArv.m

³⁹⁴./octaveProgrammid/mrkmts.m

³⁹⁵./octaveProgrammid/NaideTimTala1.m

³⁹⁶./octaveProgrammid/sptalaylekTimM.m

³⁹⁷./octaveProgrammid/spInsertBtoA.m

³⁹⁸./octaveProgrammid/InsertBtoA.m

³⁹⁹./octaveProgrammid/spSisestaArv.m

⁴⁰⁰./octaveProgrammid/mrkmts.m

⁴⁰¹./octaveProgrammid/NaideTimTala1w1.m

⁴⁰²./octaveProgrammid/TimtalaylekM.m

⁴⁰³./octaveProgrammid/sptalaylekTimM.m

⁴⁰⁴./octaveProgrammid/spInsertBtoA.m

⁴⁰⁵./octaveProgrammid/InsertBtoA.m

⁴⁰⁶./octaveProgrammid/spSisestaArv.m

⁴⁰⁷./octaveProgrammid/mrkmts.m

⁴⁰⁸./octaveProgrammid/NaideTimTala1w2.m

⁴⁰⁹./octaveProgrammid/TimtalaylekM.m

⁴¹⁰./octaveProgrammid/sptalaylekTimM.m

- `spInsertBtoA(spA,Iv,IJv,spB)`⁴¹¹
- `InsertBtoA(Bvb,I,J,IM,JN,vB,M,N)`⁴¹²
- `spSisestaArv(spA,iv,jv,sv)`⁴¹³
- `mrkmts(a)`⁴¹⁴

Programm C.61 (NaideTimTala1w3.m)⁴¹⁵ 140 – arvutab jäikade tugedegaga Timošenko tala 3. omavõnkevormi.

Kasutab funktsioone

- `TimtalaylekM(baasi0,kT,x,l,wf,mg,A,Iy,E,G)`⁴¹⁶
- `sptalaylekTimM(baasi0,kT,l,wf,mg,A,Iy,E,G)`⁴¹⁷
- `spInsertBtoA(spA,Iv,IJv,spB)`⁴¹⁸
- `InsertBtoA(Bvb,I,J,IM,JN,vB,M,N)`⁴¹⁹
- `spSisestaArv(spA,iv,jv,sv)`⁴²⁰
- `mrkmts(a)`⁴²¹

Programm C.62 (NaideTimTala1w4.m)⁴²² 140 – arvutab jäikade tugedegaga Timošenko tala 4. omavõnkevormi.

Kasutab funktsioone

- `TimtalaylekM(baasi0,kT,x,l,wf,mg,A,Iy,E,G)`⁴²³
- `sptalaylekTimM(baasi0,kT,l,wf,mg,A,Iy,E,G)`⁴²⁴
- `spInsertBtoA(spA,Iv,IJv,spB)`⁴²⁵
- `InsertBtoA(Bvb,I,J,IM,JN,vB,M,N)`⁴²⁶
- `spSisestaArv(spA,iv,jv,sv)`⁴²⁷
- `mrkmts(a)`⁴²⁸

Programm C.63 (NaideTimKonsool3det.m)⁴²⁹ 143 – arvutab astmeliselt muutuva lapiti ristlõikega Timošenko konsooltala omavõnkesagedused.

Kasutab funktsioone

-
- 411./octaveProgramm/SpInsertBtoA.m
 - 412./octaveProgramm/InsertBtoA.m
 - 413./octaveProgramm/spSisestaArv.m
 - 414./octaveProgramm/mrkmts.m
 - 415./octaveProgramm/NaideTimTala1w3.m
 - 416./octaveProgramm/TimtalaylekM.m
 - 417./octaveProgramm/sptalaylekTimM.m
 - 418./octaveProgramm/spInsertBtoA.m
 - 419./octaveProgramm/InsertBtoA.m
 - 420./octaveProgramm/spSisestaArv.m
 - 421./octaveProgramm/mrkmts.m
 - 422./octaveProgramm/NaideTimTala1w4.m
 - 423./octaveProgramm/TimtalaylekM.m
 - 424./octaveProgramm/sptalaylekTimM.m
 - 425./octaveProgramm/spInsertBtoA.m
 - 426./octaveProgramm/InsertBtoA.m
 - 427./octaveProgramm/spSisestaArv.m
 - 428./octaveProgramm/mrkmts.m
 - 429./octaveProgramm/NaideTimKonsool3det.m

- `sptalaylekTimM(baasi0,kT,l,wf,mg,A,Iy,E,G)`⁴³⁰
- `spInsertBtoA(spA,IIV,IJv,spB)`⁴³¹
- `InsertBtoA(Bvb,I,J,IM,JN,vB,M,N)`⁴³²
- `spSisestaArv(spA,iv,jv,sv)`⁴³³
- `mrkmts(a)`⁴³⁴

Programm C.64 (NaideTimKonsool3Srdet.m)⁴³⁵ 145 – arvutab astmeliselt muutuva serviti ristlõikega Timošenko konsooltala omavõnkesagedused.
Kasutab funktsioone

- `sptalaylekTimM(baasi0,kT,l,wf,mg,A,Iy,E,G)`⁴³⁶
- `spInsertBtoA(spA,IIV,IJv,spB)`⁴³⁷
- `InsertBtoA(Bvb,I,J,IM,JN,vB,M,N)`⁴³⁸
- `spSisestaArv(spA,iv,jv,sv)`⁴³⁹
- `mrkmts(a)`⁴⁴⁰

Programm C.65 (NaideTimKonsool3Srw15.m)⁴⁴¹ 143 – arvutab astmeliselt muutuva serviti ristlõikega Timošenko konsooltala omavõnkevormid sagedustel $wfs = 361.330$ (sagedusvariant = 1), $wfs = 1898.514$ (sagedusvariant = 2), $wfs = 4947.207$ (sagedusvariant = 3), $wfs = 9518.482$ (sagedusvariant = 4), $wfs = 15384.481$ (sagedusvariant = 5).
Kasutab funktsioone

- `sptalaylekTimM(baasi0,kT,l,wf,mg,A,Iy,E,G)`⁴⁴²
- `spInsertBtoA(spA,IIV,IJv,spB)`⁴⁴³
- `InsertBtoA(Bvb,I,J,IM,JN,vB,M,N)`⁴⁴⁴
- `spSisestaArv(spA,iv,jv,sv)`⁴⁴⁵
- `mrkmts(a)`⁴⁴⁶

⁴³⁰./octaveProgrammid/sptalaylekTimM.m

⁴³¹./octaveProgrammid/spInsertBtoA.m

⁴³²./octaveProgrammid/InsertBtoA.m

⁴³³./octaveProgrammid/spSisestaArv.m

⁴³⁴./octaveProgrammid/mrkmts.m

⁴³⁵./octaveProgrammid/NaideTimKonsool3Srdet.m

⁴³⁶./octaveProgrammid/sptalaylekTimM.m

⁴³⁷./octaveProgrammid/spInsertBtoA.m

⁴³⁸./octaveProgrammid/InsertBtoA.m

⁴³⁹./octaveProgrammid/spSisestaArv.m

⁴⁴⁰./octaveProgrammid/mrkmts.m

⁴⁴¹./octaveProgrammid/NaideTimKonsool3Srw15.m

⁴⁴²./octaveProgrammid/sptalaylekTimM.m

⁴⁴³./octaveProgrammid/spInsertBtoA.m

⁴⁴⁴./octaveProgrammid/InsertBtoA.m

⁴⁴⁵./octaveProgrammid/spSisestaArv.m

⁴⁴⁶./octaveProgrammid/mrkmts.m

Programm C.66 (NaideTimKonsool6det.m)⁴⁴⁷ 149 – arvutab muutuva ristlõikega Timošenko konsooltala omavõnkesagedused.

Kasutab funktsioone

- `sptalaylekTimM(baasi0,kT,l,wf,mg,A,Iy,E,G)`⁴⁴⁸
- `spInsertBtoA(spA,Iv,IJv,spB)`⁴⁴⁹
- `InsertBtoA(Bvb,I,J,IM,JN,vB,M,N)`⁴⁵⁰
- `spSisestaArv(spA,iv,jv,sv)`⁴⁵¹
- `mrkmts(a)`⁴⁵²

Programm C.67 (NaideTimKonsool15det.m)⁴⁵³ 151 – arvutab muutuva ristlõikega Timošenko konsooltala omavõnkesagedused.

Kasutab funktsioone

- `sptalaylekTimM(baasi0,kT,l,wf,mg,A,Iy,E,G)`⁴⁵⁴
- `spInsertBtoA(spA,Iv,IJv,spB)`⁴⁵⁵
- `InsertBtoA(Bvb,I,J,IM,JN,vB,M,N)`⁴⁵⁶
- `spSisestaArv(spA,iv,jv,sv)`⁴⁵⁷
- `mrkmts(a)`⁴⁵⁸

Programm C.68 (NaideTimKonsool6SAMSTw6.m)⁴⁵⁹ 152 – arvutab muutuva ristlõikega Timošenko konsooltala omavõnkevormid sagedustel $wfs = 8.6801$ (sagedusvariant = 1), $wfs = 39.6310$ (sagedusvariant = 2), $wfs = 101.7576$ (sagedusvariant = 3), $wfs = 195.0430$ (sagedusvariant = 4), $wfs = 319.8286$ (sagedusvariant = 5).

Kasutab funktsioone

- `sptalaylekTimM(baasi0,kT,l,wf,mg,A,Iy,E,G)`⁴⁶⁰
- `spInsertBtoA(spA,Iv,IJv,spB)`⁴⁶¹
- `InsertBtoA(Bvb,I,J,IM,JN,vB,M,N)`⁴⁶²
- `spSisestaArv(spA,iv,jv,sv)`⁴⁶³
- `mrkmts(a)`⁴⁶⁴

⁴⁴⁷./octaveProgrammid/NaideTimKonsool6det.m

⁴⁴⁸./octaveProgrammid/sptalaylekTimM.m

⁴⁴⁹./octaveProgrammid/spInsertBtoA.m

⁴⁵⁰./octaveProgrammid/InsertBtoA.m

⁴⁵¹./octaveProgrammid/spSisestaArv.m

⁴⁵²./octaveProgrammid/mrkmts.m

⁴⁵³./octaveProgrammid/NaideTimKonsool15det.m

⁴⁵⁴./octaveProgrammid/sptalaylekTimM.m

⁴⁵⁵./octaveProgrammid/spInsertBtoA.m

⁴⁵⁶./octaveProgrammid/InsertBtoA.m

⁴⁵⁷./octaveProgrammid/spSisestaArv.m

⁴⁵⁸./octaveProgrammid/mrkmts.m

⁴⁵⁹./octaveProgrammid/NaideTimKonsool6SAMSTw6.m

⁴⁶⁰./octaveProgrammid/sptalaylekTimM.m

⁴⁶¹./octaveProgrammid/spInsertBtoA.m

⁴⁶²./octaveProgrammid/InsertBtoA.m

⁴⁶³./octaveProgrammid/spSisestaArv.m

⁴⁶⁴./octaveProgrammid/mrkmts.m

C.3.3 Programmid jätkuvtala võnkumise arvutamiseks

Programm C.69 (NaideJtkTala5det.m)⁴⁶⁵ 87 – arvutab viiesildelise jätkuvtala omavõnkesagedused.

Kasutab funktsioone

- talaylekM(baasi0,x,wf,mg,A,EI)⁴⁶⁶
- sptalaylekM(baasi0,l,wf,mg,A,EI)⁴⁶⁷
- spInsertBtoA(spA,IIV,IJv,spB)⁴⁶⁸
- InsertBtoA(Bvb,I,J,IM,JN,vB,M,N)⁴⁶⁹
- spSisestaArv(spA,iv,jv,sv)⁴⁷⁰
- mrkmts(a)⁴⁷¹

Programm C.70 (NaideJtkTala5Vormid.m)⁴⁷² 89 – arvutab viiesildelise jätkuvtala omavõnkevormid sagedustel wfs = 27.7166 (sagedusvariant = 1), wfs = 34.6594 (sagedusvariant = 2), wfs = 43.6561, (sagedusvariant = 3), wfs = 52.4129 (sagedusvariant = 4), wfs = 56.6321 (sagedusvariant = 5), wfs = 105.6309 (sagedusvariant = 6).

Kasutab funktsioone

- talaylekM(baasi0,x,wf,mg,A,EI)⁴⁷³
- sptalaylekM(baasi0,l,wf,mg,A,EI)⁴⁷⁴
- spInsertBtoA(spA,IIV,IJv,spB)⁴⁷⁵
- InsertBtoA(Bvb,I,J,IM,JN,vB,M,N)⁴⁷⁶
- spSisestaArv(spA,iv,jv,sv)⁴⁷⁷ ./octaveProgrammid/mrkmts.m

Programm C.71 (NaideJtkTala1det.m)⁴⁷⁸ 117 – arvutab kolmesildelise jätkuvtala omavõnkesagedused.

Kasutab funktsioone

- talaylekM(baasi0,x,wf,mg,A,EI)⁴⁷⁹
- sptalaylekM(baasi0,l,wf,mg,A,EI)⁴⁸⁰
- spInsertBtoA(spA,IIV,IJv,spB)⁴⁸¹
- InsertBtoA(Bvb,I,J,IM,JN,vB,M,N)⁴⁸²
- spSisestaArv(spA,iv,jv,sv)⁴⁸³

⁴⁶⁵./octaveProgrammid/NaideJtkTala5det.m

⁴⁶⁶./octaveProgrammid/talaylekM.m

⁴⁶⁷./octaveProgrammid/sptalaylekM.m

⁴⁶⁸./octaveProgrammid/spInsertBtoA.m

⁴⁶⁹./octaveProgrammid/InsertBtoA.m

⁴⁷⁰./octaveProgrammid/spSisestaArv.m

⁴⁷¹./octaveProgrammid/mrkmts.m

⁴⁷²./octaveProgrammid/NaideJtkTala5Vormid.m

⁴⁷³./octaveProgrammid/talaylekM.m

⁴⁷⁴./octaveProgrammid/sptalaylekM.m

⁴⁷⁵./octaveProgrammid/spInsertBtoA.m

⁴⁷⁶./octaveProgrammid/InsertBtoA.m

⁴⁷⁷./octaveProgrammid/spSisestaArv.m

⁴⁷⁸./octaveProgrammid/NaideJtkTala1det.m

⁴⁷⁹./octaveProgrammid/talaylekM.m

⁴⁸⁰./octaveProgrammid/sptalaylekM.m

⁴⁸¹./octaveProgrammid/spInsertBtoA.m

⁴⁸²./octaveProgrammid/InsertBtoA.m

⁴⁸³./octaveProgrammid/spSisestaArv.m

- `mrkmts(a)`⁴⁸⁴

Programm C.72 (NaideJtkTala1Vorm1.m)⁴⁸⁵ 118 – arvutab kolmesildelise jätkuvtala 1. omavõnkevormi.

Kasutab funktsioone

- `talaylekM(baasi0,x,wf,mg,A,EI)`⁴⁸⁶
- `sptalaylekM(baasi0,l,wf,mg,A,EI)`⁴⁸⁷
- `spInsertBtoA(spA,IIV,IJv,spB)`⁴⁸⁸
- `InsertBtoA(Bvb,I,J,IM,JN,vB,M,N)`⁴⁸⁹
- `spSisestaArv(spA,iv,jv,sv)`⁴⁹⁰
- `mrkmts(a)`⁴⁹¹

Programm C.73 (NaideJtkTala1Vorm2.m)⁴⁹² 118 – arvutab kolmesildelise jätkuvtala 2. omavõnkevormi.

Kasutab funktsioone

- `talaylekM(baasi0,x,wf,mg,A,EI)`⁴⁹³
- `sptalaylekM(baasi0,l,wf,mg,A,EI)`⁴⁹⁴
- `spInsertBtoA(spA,IIV,IJv,spB)`⁴⁹⁵
- `InsertBtoA(Bvb,I,J,IM,JN,vB,M,N)`⁴⁹⁶
- `spSisestaArv(spA,iv,jv,sv)`⁴⁹⁷
- `mrkmts(a)`⁴⁹⁸

Programm C.74 (NaideJtkTala1Vorm3.m)⁴⁹⁹ 118 – arvutab kolmesildelise jätkuvtala 3. omavõnkevormi.

Kasutab funktsioone

- `talaylekM(baasi0,x,wf,mg,A,EI)`⁵⁰⁰
- `sptalaylekM(baasi0,l,wf,mg,A,EI)`⁵⁰¹

484. `./octaveProgrammide/mrkmts.m`

485. `./octaveProgrammide/NaideJtkTala1Vorm1.m`

486. `./octaveProgrammide/talaylekM.m`

487. `./octaveProgrammide/sptalaylekM.m`

488. `./octaveProgrammide/spInsertBtoA.m`

489. `./octaveProgrammide/InsertBtoA.m`

490. `./octaveProgrammide/spSisestaArv.m`

491. `./octaveProgrammide/mrkmts.m`

492. `./octaveProgrammide/NaideJtkTala1Vorm2.m`

493. `./octaveProgrammide/talaylekM.m`

494. `./octaveProgrammide/sptalaylekM.m`

495. `./octaveProgrammide/spInsertBtoA.m`

496. `./octaveProgrammide/InsertBtoA.m`

497. `./octaveProgrammide/spSisestaArv.m`

498. `./octaveProgrammide/mrkmts.m`

499. `./octaveProgrammide/NaideJtkTala1Vorm3.m`

500. `./octaveProgrammide/talaylekM.m`

501. `./octaveProgrammide/sptalaylekM.m`

- `spInsertBtoA(spA,IIV,IJv,spB)`⁵⁰²
- `InsertBtoA(Bvb,I,J,IM,JN,vB,M,N)`⁵⁰³
- `spSisestaArv(spA,iv,jv,sv)`⁵⁰⁴
- `mrkmts(a)`⁵⁰⁵

Programm C.75 (NaideJtkTala1Vorm4.m)⁵⁰⁶ 118 – arvutab kolmesildelise jätkuvtala 4. omavõnkevormi.

Kasutab funktsioone

- `talaylekM(baasi0,x,wf,mg,A,EI)`⁵⁰⁷
- `sptalaylekM(baasi0,l,wf,mg,A,EI)`⁵⁰⁸
- `spInsertBtoA(spA,IIV,IJv,spB)`⁵⁰⁹
- `InsertBtoA(Bvb,I,J,IM,JN,vB,M,N)`⁵¹⁰
- `spSisestaArv(spA,iv,jv,sv)`⁵¹¹
- `mrkmts(a)`⁵¹²

Programm C.76 (NaideJtkTala1Mw.m)⁵¹³ 119 – arvutab kolmesildelise jätkuvtala siirded ja sisejõud vibreeriva jõu sagedusel $\omega = 100 \text{ s}^{-1}$.

Kasutab funktsioone

- `talaylekM(baasi0,x,wf,mg,A,EI)`⁵¹⁴
- `sptalaylekM(baasi0,l,wf,mg,A,EI)`⁵¹⁵
- `spInsertBtoA(spA,IIV,IJv,spB)`⁵¹⁶
- `InsertBtoA(Bvb,I,J,IM,JN,vB,M,N)`⁵¹⁷
- `spSisestaArv(spA,iv,jv,sv)`⁵¹⁸
- `mrkmts(a)`⁵¹⁹

⁵⁰² `./octaveProgrammid/spInsertBtoA.m`

⁵⁰³ `./octaveProgrammid/InsertBtoA.m`

⁵⁰⁴ `./octaveProgrammid/spSisestaArv.m`

⁵⁰⁵ `./octaveProgrammid/mrkmts.m`

⁵⁰⁶ `./octaveProgrammid/NaideJtkTala1Vorm4.m`

⁵⁰⁷ `./octaveProgrammid/talaylekM.m`

⁵⁰⁸ `./octaveProgrammid/sptalaylekM.m`

⁵⁰⁹ `./octaveProgrammid/spInsertBtoA.m`

⁵¹⁰ `./octaveProgrammid/InsertBtoA.m`

⁵¹¹ `./octaveProgrammid/spSisestaArv.m`

⁵¹² `./octaveProgrammid/mrkmts.m`

⁵¹³ `./octaveProgrammid/NaideJtkTala1Mw.m`

⁵¹⁴ `./octaveProgrammid/talaylekM.m`

⁵¹⁵ `./octaveProgrammid/sptalaylekM.m`

⁵¹⁶ `./octaveProgrammid/spInsertBtoA.m`

⁵¹⁷ `./octaveProgrammid/InsertBtoA.m`

⁵¹⁸ `./octaveProgrammid/spSisestaArv.m`

⁵¹⁹ `./octaveProgrammid/mrkmts.m`

C.4 Programmid raami võnkumise arvutamiseks

Programm C.77 (NaideRaam1det.m)⁵²⁰ 164, 167 – arvutab jäikade sõlmedega Euleri-Bernoulli põikraami omavõnkesagedused.

Kasutab funktsioone

- `spraamylekM(baasi0,h,wf,msp,EAp,EIp)`⁵²¹
- `raamylekM(baasi0,x,wf,mass,EA,EI)`⁵²²
- `spInsertBtoA(spA,IIV,IJv,spB)`⁵²³
- `InsertBtoA(Bvb,I,J,IM,JN,vB,M,N)`⁵²⁴
- `spSisestaArv(spA,iv,jv,sv)`⁵²⁵
- `mrkmts(a)`⁵²⁶

Programm C.78 (NaideRaam1Adet.m)⁵²⁷ 167 – arvutab jäikade sõlmedega kuue elemendiga Euleri-Bernoulli põikraami omavõnkesagedused.

Kasutab funktsioone

- `spraamylekM(baasi0,h,wf,msp,EAp,EIp)`⁵²⁸
- `raamylekM(baasi0,x,wf,mass,EA,EI)`⁵²⁹
- `spInsertBtoA(spA,IIV,IJv,spB)`⁵³⁰
- `InsertBtoA(Bvb,I,J,IM,JN,vB,M,N)`⁵³¹
- `spSisestaArv(spA,iv,jv,sv)`⁵³²
- `mrkmts(a)`⁵³³

Programm C.79 (NaideRaam1Bdet.m)⁵³⁴ 167 – arvutab jäikade sõlmedega Euleri-Bernoulli põikraami omavõnkevormid sagedustel $wfs = 187.47$ (sagedusvariant = 1), $wfs = 734.66$ (sagedusvariant = 2), $wfs = 1206.8$ (sagedusvariant = 3), $wfs = 1288.58$ (sagedusvariant = 4), $wfs = 2532.1$ (sagedusvariant = 5), $wfs = 3173.1$ (sagedusvariant = 6).

Kasutab funktsioone

- `spraamylekM(baasi0,h,wf,msp,EAp,EIp)`⁵³⁵
- `raamylekM(baasi0,x,wf,mass,EA,EI)`⁵³⁶

⁵²⁰ `./octaveProgrammid/NaideRaam1det.m`

⁵²¹ `./octaveProgrammid/spraamylekM.m`

⁵²² `./octaveProgrammid/raamylekM.m`

⁵²³ `./octaveProgrammid/spInsertBtoA.m`

⁵²⁴ `./octaveProgrammid/InsertBtoA.m`

⁵²⁵ `./octaveProgrammid/spSisestaArv.m`

⁵²⁶ `./octaveProgrammid/mrkmts.m`

⁵²⁷ `./octaveProgrammid/NaideRaam1Adet.m`

⁵²⁸ `./octaveProgrammid/spraamylekM.m`

⁵²⁹ `./octaveProgrammid/raamylekM.m`

⁵³⁰ `./octaveProgrammid/spInsertBtoA.m`

⁵³¹ `./octaveProgrammid/InsertBtoA.m`

⁵³² `./octaveProgrammid/spSisestaArv.m`

⁵³³ `./octaveProgrammid/mrkmts.m`

⁵³⁴ `./octaveProgrammid/NaideRaam1Bdet.m`

⁵³⁵ `./octaveProgrammid/spraamylekM.m`

⁵³⁶ `./octaveProgrammid/raamylekM.m`

- `spInsertBtoA(spA,Iv,IJv,spB)`⁵³⁷
- `InsertBtoA(Bvb,I,J,IM,JN,vB,M,N)`⁵³⁸
- `spSisestaArv(spA,iv,jv,sv)`⁵³⁹
- `mrkmts(a)`⁵⁴⁰

Programm C.80 (NaideSymRaam1det.m)⁵⁴¹ 167 – arvutab jääkade sõlmedega Euleri-Bernoulli põikraami sümmeetrilised omavõnkevormid. Raami riivi ja postide pikideformatsioonid on hüljatud.

Kasutab funktsiooni

- `SymRaamDet(h,l,wf,mass1,mass2,E,I1,I2)`⁵⁴²

Programm C.81 (NaideRaam1CwMFx.m)⁵⁴³ 238 – arvutab jääkade sõlmedega Euleri-Bernoulli põikraami siirded ja sisejõud antisümmeetrilisel sundvõnkumisel vibreeriva jõu sagedustel $wfs = 72.216$ (sagedusvariant = 1), $wfs = 136.27$ (sagedusvariant = 2), $wfs = 185.99$ (sagedusvariant = 3), $wfs = 188.89$ (sagedusvariant = 4), $wfs = 730.00$ (sagedusvariant = 5), $wfs = 1206.00$ (sagedusvariant = 6).

Kasutab funktsioone

- `spraamylekM(baasi0,h,wf,msp,EAp,EIp)`⁵⁴⁴
- `raamylekM(baasi0,x,wf,mass,EA,EI)`⁵⁴⁵
- `spInsertBtoA(spA,Iv,IJv,spB)`⁵⁴⁶
- `InsertBtoA(Bvb,I,J,IM,JN,vB,M,N)`⁵⁴⁷
- `spSisestaArv(spA,iv,jv,sv)`⁵⁴⁸
- `mrkmts(a)`⁵⁴⁹

Programm C.82 (NaideRaam1CwM.m)⁵⁵⁰ 248 – arvutab jääkade sõlmedega Euleri-Bernoulli põikraami siirded ja sisejõud sümmeetrilisel sundvõnkumisel vibreeriva jõu sagedustel $wfs = 283$ (sagedusvariant = 1), $wfs = 534$ (sagedusvariant = 2), $wfs = 728.86$ (sagedusvariant = 3), $wfs = 738.13$ (sagedusvariant = 4), $wfs = 995.084$ (sagedusvariant = 5), $wfs = 1286.0274$ (sagedusvariant = 6).

Kasutab funktsioone

- `spraamylekM(baasi0,h,wf,msp,EAp,EIp)`⁵⁵¹

⁵³⁷./octaveProgrammid/spInsertBtoA.m

⁵³⁸./octaveProgrammid/InsertBtoA.m

⁵³⁹./octaveProgrammid/spSisestaArv.m

⁵⁴⁰./octaveProgrammid/mrkmts.m

⁵⁴¹./octaveProgrammid/NaideSymRaam1det.m

⁵⁴²./octaveProgrammid/SymRaamDet.m

⁵⁴³./octaveProgrammid/NaideRaam1CwMFx.m

⁵⁴⁴./octaveProgrammid/spraamylekM.m

⁵⁴⁵./octaveProgrammid/raamylekM.m

⁵⁴⁶./octaveProgrammid/spInsertBtoA.m

⁵⁴⁷./octaveProgrammid/InsertBtoA.m

⁵⁴⁸./octaveProgrammid/spSisestaArv.m

⁵⁴⁹./octaveProgrammid/mrkmts.m

⁵⁵⁰./octaveProgrammid/NaideRaam1CwM.m

⁵⁵¹./octaveProgrammid/spraamylekM.m

- raamylekM(baasi0,x,wf,mass,EA,EI)⁵⁵²
- spInsertBtoA(spA,Iv,IJv,spB)⁵⁵³
- InsertBtoA(Bvb,I,J,IM,JN,vB,M,N)⁵⁵⁴
- spSisestaArv(spA,iv,jv,sv)⁵⁵⁵
- mrkmts(a)⁵⁵⁶

Programm C.83 (NaideRaam1CwMFxstaatika.m)⁵⁵⁷ 183, 176 – arvutab jääkade sõlmedega Euleri-Bernoulli põikraami siirded ja sisejõud antisümmeetrilisel staatilisel koormusel. Kasutab funktsioone

- sptalaStaatikaM(baasi0,l,l,GAr,EI)⁵⁵⁸
- yspTlfhlin(baasi0,x,GAr,EJ)⁵⁵⁹
- ylfhlin(baasi0,xx,GAr,EI)⁵⁶⁰
- spInsertBtoA(spA,Iv,IJv,spB)⁵⁶¹
- InsertBtoA(Bvb,I,J,IM,JN,vB,M,N)⁵⁶²
- spSisestaArv(spA,iv,jv,sv)⁵⁶³

Programm C.84 (NaideRaam1CwMstaatika.m)⁵⁶⁴ 179 – arvutab jääkade sõlmedega Euleri-Bernoulli põikraami siirded ja sisejõud sümmeetrilisel staatilisel koormusel. Kasutab funktsioone

- spraamSaatikaM(baasi0,h1,EAp,GAr,EIp)⁵⁶⁵
- ysplfhlin(baasi0,l,EA,GAr,EJ)⁵⁶⁶
- ylfhlin(baasi0,xx,EA,GAr,EI)⁵⁶⁷
- spInsertBtoA(spA,Iv,IJv,spB)⁵⁶⁸
- InsertBtoA(Bvb,I,J,IM,JN,vB,M,N)⁵⁶⁹
- spSisestaArv(spA,iv,jv,sv)⁵⁷⁰

⁵⁵²./octaveProgramm/raamylekM.m

⁵⁵³./octaveProgramm/spInsertBtoA.m

⁵⁵⁴./octaveProgramm/InsertBtoA.m

⁵⁵⁵./octaveProgramm/spSisestaArv.m

⁵⁵⁶./octaveProgramm/mrkmts.m

⁵⁵⁷./octaveProgramm/NaideRaam1CwMFxstaatika.m

⁵⁵⁸./octaveProgramm/sptalaStaatikaM.m

⁵⁵⁹./octaveProgramm/yspTlfhlin.m

⁵⁶⁰./octaveProgramm/ylfhlin.m

⁵⁶¹./octaveProgramm/spInsertBtoA.m

⁵⁶²./octaveProgramm/InsertBtoA.m

⁵⁶³./octaveProgramm/spSisestaArv.m

⁵⁶⁴./octaveProgramm/NaideRaam1CwMstaatika.m

⁵⁶⁵./octaveProgramm/spraamSaatikaM.m

⁵⁶⁶./octaveProgramm/ysplfhlin.m

⁵⁶⁷./octaveProgramm/ylfhlin.m

⁵⁶⁸./octaveProgramm/spInsertBtoA.m

⁵⁶⁹./octaveProgramm/InsertBtoA.m

⁵⁷⁰./octaveProgramm/spSisestaArv.m

Programm C.85 (NaideRaamTim1det.m)⁵⁷¹ 166 – arvutab jääkade sõlmedega Timošenko põikraami omavõnkesagedused.

Kasutab funktsioone

- [spraamTimylekM\(baasi0,kT,l,wf,mg,A,Iy,E,G\)](#)⁵⁷²
- [raamTimylekM\(baasi0,kT,x,l,wf,mg,A,Iy,E,G\)](#)⁵⁷³
- [spTeisndMaatriks\(VarrasN,krdn,selem\)](#)⁵⁷⁴
- [spInsertBtoA\(spA,Iv,IJv,spB\)](#)⁵⁷⁵
- [InsertBtoA\(Bvb,I,J,IM,JN,vB,M,N\)](#)⁵⁷⁶
- [spSisestaArv\(spA,iv,jv,sv\)](#)⁵⁷⁷
- [mrkmts\(a\)](#)⁵⁷⁸

Programm C.86 (NaideRaamKVTim5det.m)⁵⁷⁹ 170, 172 – arvutab jääkade sõlmedega ja muutuva ristlõikega Timošenko põikraami omavõnkesagedused. Raami postid on jagatud viieks elemendiks.

Kasutab funktsioone

- [spraamTimylekM\(baasi0,kT,l,wf,mg,A,Iy,E,G\)](#)⁵⁸⁰
- [raamTimylekM\(baasi0,kT,x,l,wf,mg,A,Iy,E,G\)](#)⁵⁸¹
- [spTeisndMaatriks\(VarrasN,krdn,selem\)](#)⁵⁸²
- [spInsertBtoA\(spA,Iv,IJv,spB\)](#)⁵⁸³
- [InsertBtoA\(Bvb,I,J,IM,JN,vB,M,N\)](#)⁵⁸⁴
- [spSisestaArv\(spA,iv,jv,sv\)](#)⁵⁸⁵
- [mrkmts\(a\)](#)⁵⁸⁶

Programm C.87 (NaideRaamKVTim10det.m)⁵⁸⁷ 172 – arvutab jääkade sõlmedega ja muutuva ristlõikega Timošenko põikraami omavõnkesagedused. Raami postid on jagatud kümneks elemendiks.

Kasutab funktsioone

- [spraamTimylekM\(baasi0,kT,l,wf,mg,A,Iy,E,G\)](#)⁵⁸⁸

⁵⁷¹ ./octaveProgrammid/NaideRaamTim1det.m

⁵⁷² ./octaveProgrammid/spraamTimylekM.m

⁵⁷³ ./octaveProgrammid/raamTimylekM.m

⁵⁷⁴ ./octaveProgrammid/spTeisndMaatriks.m

⁵⁷⁵ ./octaveProgrammid/spInsertBtoA.m

⁵⁷⁶ ./octaveProgrammid/InsertBtoA.m

⁵⁷⁷ ./octaveProgrammid/spSisestaArv.m

⁵⁷⁸ ./octaveProgrammid/mrkmts.m

⁵⁷⁹ ./octaveProgrammid/NaideRaamKVTim5det.m

⁵⁸⁰ ./octaveProgrammid/spraamTimylekM.m

⁵⁸¹ ./octaveProgrammid/raamTimylekM.m

⁵⁸² ./octaveProgrammid/spTeisndMaatriks.m

⁵⁸³ ./octaveProgrammid/spInsertBtoA.m

⁵⁸⁴ ./octaveProgrammid/InsertBtoA.m

⁵⁸⁵ ./octaveProgrammid/spSisestaArv.m

⁵⁸⁶ ./octaveProgrammid/mrkmts.m

⁵⁸⁷ ./octaveProgrammid/NaideRaamKVTim10det.m

⁵⁸⁸ ./octaveProgrammid/spraamTimylekM.m

- raamTimylekM(baasi0,kT,x,l,wf,mg,A,Iy,E,G)⁵⁸⁹
- spTeisndMaatriks(VarrasN,krdn,selem)⁵⁹⁰
- spInsertBtoA(spA,IIV,IJv,spB)⁵⁹¹
- InsertBtoA(Bvb,I,J,IM,JN,vB,M,N)⁵⁹²
- spSisestaArv(spA,iv,jv,sv)⁵⁹³
- mrkmts(a)⁵⁹⁴

Programm C.88 (NaideRaamKVTim5Bvormid.m)⁵⁹⁵ 173 – arvutab jääkade sõlmedega ja muutuva ristlõikega Timošenko põikraami omavõnkevormid sagedustel wfs = 1506.39 (sagedusvariant = 1), wfs = 4180.12 (sagedusvariant = 2), wfs = 7488.42 (sagedusvariant = 3), wfs = 7517.53 (sagedusvariant = 4), wfs = 13523.05 (sagedusvariant = 5), wfs = 18848.83 (sagedusvariant = 6).

Kasutab funktsioone

- spraamTimylekM(baasi0,kT,l,wf,mg,A,Iy,E,G)⁵⁹⁶
- raamTimylekM(baasi0,kT,x,l,wf,mg,A,Iy,E,G)⁵⁹⁷
- spTeisndMaatriks(VarrasN,krdn,selem)⁵⁹⁸
- spInsertBtoA(spA,IIV,IJv,spB)⁵⁹⁹
- InsertBtoA(Bvb,I,J,IM,JN,vB,M,N)⁶⁰⁰
- spSisestaArv(spA,iv,jv,sv)⁶⁰¹
- mrkmts(a)⁶⁰²

C.5 Programmid sõrestiku võnkumise arvutamiseks

Programm C.89 (NaideTrussTarind1VibrDet.m)⁶⁰³ 202 – arvutab lausmassiga (inertsjõud = 1) kahe vardaga tarindi omavõnkesagedused.

Kasutab funktsioone

- spTrussP6hiv(baasi0,Li,wf,mg,A,E)⁶⁰⁴

⁵⁸⁹./octaveProgrammid/raamTimylekM.m

⁵⁹⁰./octaveProgrammid/spTeisndMaatriks.m

⁵⁹¹./octaveProgrammid/spInsertBtoA.m

⁵⁹²./octaveProgrammid/InsertBtoA.m

⁵⁹³./octaveProgrammid/spSisestaArv.m

⁵⁹⁴./octaveProgrammid/mrkmts.m

⁵⁹⁵./octaveProgrammid/NaideRaamKVTim5Bvormid.m

⁵⁹⁶./octaveProgrammid/spraamTimylekM.m

⁵⁹⁷./octaveProgrammid/raamTimylekM.m

⁵⁹⁸./octaveProgrammid/spTeisndMaatriks.m

⁵⁹⁹./octaveProgrammid/spInsertBtoA.m

⁶⁰⁰./octaveProgrammid/InsertBtoA.m

⁶⁰¹./octaveProgrammid/spSisestaArv.m

⁶⁰²./octaveProgrammid/mrkmts.m

⁶⁰³./octaveProgrammid/NaideTrussTarind1VibrDet.m

⁶⁰⁴./octaveProgrammid/spTrussP6hiv.m

- `spInsertBtoA(spA,IIV,IJv,spB)`⁶⁰⁵
- `InsertBtoA(Bvb,I,J,IM,JN,vB,M,N)`⁶⁰⁶
- `spSisestaArv(spA,iv,jv,sv)`⁶⁰⁷
- `mrkmts(a)`⁶⁰⁸

Programm C.90 (NaideTrussTarind3VibrDet.m)⁶⁰⁹ 205 – arvutab konsistentse koondmassiga (inertsjõud = 2), keskendatud koondmassiga (inertsjõud = 3) ja lausmassi+koondmassiga (inertsjõud = 4) kahe vardaga tarindi omavõnkesagedused.

Kasutab funktsioone

- `spTrussP6hiv(baasi0,Li,wf,mg,A,E)`⁶¹⁰
- `spInsertBtoA(spA,IIV,IJv,spB)`⁶¹¹
- `InsertBtoA(Bvb,I,J,IM,JN,vB,M,N)`⁶¹²
- `spSisestaArv(spA,iv,jv,sv)`⁶¹³
- `mrkmts(a)`⁶¹⁴

Programm C.91 (NaideTrussTest3VibrDet.m)⁶¹⁵ 208 – arvutab konsistentse koondmassiga (inertsjõud = 2) ja keskendatud koondmassiga (inertsjõud = 3) sõrestiku T omavõnkesagedused.

Kasutab funktsioone

- `ySPSRmhvIVahet(baasi0,Li,EA)`⁶¹⁶
- `ySPSRhlin(baasi0,x,EA)`⁶¹⁷
- `spInsertBtoA(spA,IIV,IJv,spB)`⁶¹⁸
- `spInsertNtimesBtoA(spA,IM,JN,NK,spB)`⁶¹⁹
- `InsertBtoA(Bvb,I,J,IM,JN,vB,M,N)`⁶²⁰
- `spSisestaArv(spA,iv,jv,sv)`⁶²¹
- `mrkmts(a)`⁶²²

⁶⁰⁵./octaveProgrammid/spInsertBtoA.m

⁶⁰⁶./octaveProgrammid/InsertBtoA.m

⁶⁰⁷./octaveProgrammid/spSisestaArv.m

⁶⁰⁸./octaveProgrammid/mrkmts.m

⁶⁰⁹./octaveProgrammid/NaideTrussTarind3VibrDet.m

⁶¹⁰./octaveProgrammid/spTrussP6hiv.m

⁶¹¹./octaveProgrammid/spInsertBtoA.m

⁶¹²./octaveProgrammid/InsertBtoA.m

⁶¹³./octaveProgrammid/spSisestaArv.m

⁶¹⁴./octaveProgrammid/mrkmts.m

⁶¹⁵./octaveProgrammid/NaideTrussTest3VibrDet.m

⁶¹⁶./octaveProgrammid/ySPSRmhvIVahet.m

⁶¹⁷./octaveProgrammid/ySPSRhlin.m

⁶¹⁸./octaveProgrammid/spInsertBtoA.m

⁶¹⁹./octaveProgrammid/spInsertNtimesBtoA.m

⁶²⁰./octaveProgrammid/InsertBtoA.m

⁶²¹./octaveProgrammid/spSisestaArv.m

⁶²²./octaveProgrammid/mrkmts.m

Programm C.92 (NaideTrussArg3VibrDet.m)⁶²³ 211 – arvutab konsistentse koondmassiga (inertsjõud = 2) ja keskendatud koondmassiga (inertsjõud = 3) sõrestiku AM omavõnkesagedused.

Kasutab funktsioone

- `ySpSRmhvIVahet(baasi0,Li,EA)`⁶²⁴
- `ySpSRhlin(baasi0,x,EA)`⁶²⁵
- `spInsertBtoA(spA,IIV,IJv,spB)`⁶²⁶
- `spInsertNtimesBtoA(spA,IM,JN,NK,spB)`⁶²⁷
- `InsertBtoA(Bvb,I,J,IM,JN,vB,M,N)`⁶²⁸
- `spSisestaArv(spA,iv,jv,sv)`⁶²⁹
- `mrkmts(a)`⁶³⁰

Programm C.93 (NaideTrussKB1VibrDet.m)⁶³¹ 213 – arvutab konsistentse koondmassiga (inertsjõud = 2) ja keskendatud koondmassiga (inertsjõud = 3) sõrestiku KB omavõnkesagedused.

Kasutab funktsioone

- `ySpSRmhvIVahet(baasi0,Li,EA)`⁶³²
- `ySpSRhlin(baasi0,x,EA)`⁶³³
- `spInsertBtoA(spA,IIV,IJv,spB)`⁶³⁴
- `spInsertNtimesBtoA(spA,IM,JN,NK,spB)`⁶³⁵
- `InsertBtoA(Bvb,I,J,IM,JN,vB,M,N)`⁶³⁶
- `spSisestaArv(spA,iv,jv,sv)`⁶³⁷
- `mrkmts(a)`⁶³⁸

Programm C.94 (NaideTrussTarind1Vibr.m)⁶³⁹ 251 – arvutab kahe vardaga tarindi siirded ja sisejõud staatilisel koormusel.

Kasutab funktsioone

- `ySpSRmhvIVahet(baasi0,Li,EA)`⁶⁴⁰

⁶²³./octaveProgrammid/NaideTrussArg3VibrDet.m

⁶²⁴./octaveProgrammid/ySpSRmhvIVahet.m

⁶²⁵./octaveProgrammid/ySpSRhlin.m

⁶²⁶./octaveProgrammid/spInsertBtoA.m

⁶²⁷./octaveProgrammid/spInsertNtimesBtoA.m

⁶²⁸./octaveProgrammid/InsertBtoA.m

⁶²⁹./octaveProgrammid/spSisestaArv.m

⁶³⁰./octaveProgrammid/mrkmts.m

⁶³¹./octaveProgrammid/NaideTrussKB1VibrDet.m

⁶³²./octaveProgrammid/ySpSRmhvIVahet.m

⁶³³./octaveProgrammid/ySpSRhlin.m

⁶³⁴./octaveProgrammid/spInsertBtoA.m

⁶³⁵./octaveProgrammid/spInsertNtimesBtoA.m

⁶³⁶./octaveProgrammid/InsertBtoA.m

⁶³⁷./octaveProgrammid/spSisestaArv.m

⁶³⁸./octaveProgrammid/mrkmts.m

⁶³⁹./octaveProgrammid/NaideTrussTarind1Vibr.m

⁶⁴⁰./octaveProgrammid/ySpSRmhvIVahet.m

- `ySpSRhlin(baasi0,x,EA)`⁶⁴¹
- `spInsertBtoA(spA,Iv,IJv,spB)`⁶⁴²
- `InsertBtoA(Bvb,I,J,IM,JN,vB,M,N)`⁶⁴³
- `spSisestaArv(spA,iv,jv,sv)`⁶⁴⁴

Programm C.95 (NaideTrussTest1Vibr.m)⁶⁴⁵ 251 – arvutab sõrestiku T siirded ja sisejõud staatilisel koormusel.

Kasutab funktsioone

- `ySpSRmhvIVahet(baasi0,Li,EA)`⁶⁴⁶
- `ySpSRhlin(baasi0,x,EA)`⁶⁴⁷
- `spInsertBtoA(spA,Iv,IJv,spB)`⁶⁴⁸
- `InsertBtoA(Bvb,I,J,IM,JN,vB,M,N)`⁶⁴⁹
- `spSisestaArv(spA,iv,jv,sv)`⁶⁵⁰

Programm C.96 (NaideTrussArg1Vibr.m)⁶⁵¹ 252 – arvutab sõrestiku AM siirded ja sisejõud staatilisel koormusel.

Kasutab funktsioone

- `ySpSRmhvIVahet(baasi0,Li,EA)`⁶⁵²
- `ySpSRhlin(baasi0,x,EA)`⁶⁵³
- `spInsertBtoA(spA,Iv,IJv,spB)`⁶⁵⁴
- `InsertBtoA(Bvb,I,J,IM,JN,vB,M,N)`⁶⁵⁵
- `spSisestaArv(spA,iv,jv,sv)`⁶⁵⁶

Programm C.97 (NaideTrussBridge1Vibr.m)⁶⁵⁷ 252 – arvutab sillasõrestiku siirded ja sisejõud staatilisel koormusel.

Kasutab funktsioone

- `ySpSRmhvIVahet(baasi0,Li,EA)`⁶⁵⁸

⁶⁴¹ `./octaveProgrammid/ySpSRhlin.m`

⁶⁴² `./octaveProgrammid/spInsertBtoA.m`

⁶⁴³ `./octaveProgrammid/InsertBtoA.m`

⁶⁴⁴ `./octaveProgrammid/spSisestaArv.m`

⁶⁴⁵ `./octaveProgrammid/NaideTrussTest1Vibr.m`

⁶⁴⁶ `./octaveProgrammid/ySpSRmhvIVahet.m`

⁶⁴⁷ `./octaveProgrammid/ySpSRhlin.m`

⁶⁴⁸ `./octaveProgrammid/spInsertBtoA.m`

⁶⁴⁹ `./octaveProgrammid/InsertBtoA.m`

⁶⁵⁰ `./octaveProgrammid/spSisestaArv.m`

⁶⁵¹ `./octaveProgrammid/NaideTrussArg1Vibr.m`

⁶⁵² `./octaveProgrammid/ySpSRmhvIVahet.m`

⁶⁵³ `./octaveProgrammid/ySpSRhlin.m`

⁶⁵⁴ `./octaveProgrammid/spInsertBtoA.m`

⁶⁵⁵ `./octaveProgrammid/InsertBtoA.m`

⁶⁵⁶ `./octaveProgrammid/spSisestaArv.m`

⁶⁵⁷ `./octaveProgrammid/NaideTrussBridge1Vibr.m`

⁶⁵⁸ `./octaveProgrammid/ySpSRmhvIVahet.m`

- `ySpSRhlin(baasi0,x,EA)`⁶⁵⁹
- `spInsertBtoA(spA,Iv,IJv,spB)`⁶⁶⁰
- `InsertBtoA(Bvb,I,J,IM,JN,vB,M,N)`⁶⁶¹
- `spSisestaArv(spA,iv,jv,sv)`⁶⁶²

C.6 Varia

Programm C.98 (NaideTala2Toel1w0Staatika.m)⁶⁶³ 101 – arvutab paigalseisva ja liikuva liigendtoega Euleri-Bernoulli tala siirded ja sisejõud jõu F_b staatilisel rakendamisel. Kasutab funktsioone

- `sptalaStaatikaM(baasi0,11,11,GAr,EI)`⁶⁶⁴
- `ySpTlfhlin(baasi0,x,GAr,EI)`⁶⁶⁵
- `spInsertBtoA(spA,Iv,IJv,spB)`⁶⁶⁶
- `InsertBtoA(Bvb,I,J,IM,JN,vB,M,N)`⁶⁶⁷
- `spSisestaArv(spA,iv,jv,sv)`⁶⁶⁸

Programm C.99 (NaideTala2Toel1w0Staatikaqz.m)⁶⁶⁹ 102 – arvutab paigalseisva ja liikuva liigendtoega Euleri-Bernoulli tala siirded ja sisejõud tala koormamisel omakaaluga q_z . Kasutab funktsioone

- `sptalaStaatikaM(baasi0,11,11,GAr,EI)`⁶⁷⁰
- `ySpTlfhlin(baasi0,x,GAr,EI)`⁶⁷¹
- `yzThqz(baasi0,x,qz,EI)`⁶⁷²
- `spInsertBtoA(spA,Iv,IJv,spB)`⁶⁷³
- `InsertBtoA(Bvb,I,J,IM,JN,vB,M,N)`⁶⁷⁴
- `spSisestaArv(spA,iv,jv,sv)`⁶⁷⁵

⁶⁵⁹./octaveProgrammid/ySpSRhlin.m

⁶⁶⁰./octaveProgrammid/spInsertBtoA.m

⁶⁶¹./octaveProgrammid/InsertBtoA.m

⁶⁶²./octaveProgrammid/spSisestaArv.m

⁶⁶³./octaveProgrammid/NaideTala2Toel1w0Staatika.m

⁶⁶⁴./octaveProgrammid/sptalaStaatikaM.m

⁶⁶⁵./octaveProgrammid/ySpTlfhlin.m

⁶⁶⁶./octaveProgrammid/spInsertBtoA.m

⁶⁶⁷./octaveProgrammid/InsertBtoA.m

⁶⁶⁸./octaveProgrammid/spSisestaArv.m

⁶⁶⁹./octaveProgrammid/NaideTala2Toel1w0Staatikaqz.m

⁶⁷⁰./octaveProgrammid/sptalaStaatikaM.m

⁶⁷¹./octaveProgrammid/ySpTlfhlin.m

⁶⁷²./octaveProgrammid/yzThqz.m

⁶⁷³./octaveProgrammid/spInsertBtoA.m

⁶⁷⁴./octaveProgrammid/InsertBtoA.m

⁶⁷⁵./octaveProgrammid/spSisestaArv.m

Programm C.100 (NaideJtkTala1MwStaatika.m)⁶⁷⁶ 121 – arvutab kolmesildelise jätkuv-
tala siirded ja sisejõud tala staatilisel koormamisel jõuga F.

Kasutab funktsioone

- `sptalaStaatikaM(baasi0,11,11,GAr,EI)`⁶⁷⁷
- `yspTlfhlin(baasi0,x,GAr,EI)`⁶⁷⁸
- `spInsertBtoA(spA,Iv,Iv,spB)`⁶⁷⁹
- `InsertBtoA(Bvb,I,J,IM,JN,vB,M,N)`⁶⁸⁰
- `spSisestaArv(spA,iv,jv,sv)`⁶⁸¹

Programm C.101 (NaideJtkTala1MwStaatikaqz.m)⁶⁸² 122 – arvutab kolmesildelise jät-
kuvtala siirded ja sisejõud tala staatilisel koormamisel omakaaluga q_z .

Kasutab funktsioone

- `sptalaStaatikaM(baasi0,11,11,GAr,EI)`⁶⁸³
- `yspTlfhlin(baasi0,x,GAr,EI)`⁶⁸⁴
- `yzThqz(baasi0,x,qz,EI)`⁶⁸⁵
- `spInsertBtoA(spA,Iv,Iv,spB)`⁶⁸⁶
- `InsertBtoA(Bvb,I,J,IM,JN,vB,M,N)`⁶⁸⁷
- `spSisestaArv(spA,iv,jv,sv)`⁶⁸⁸

Programm C.102 (NaideLT2keskel.m)⁶⁸⁹ 100 – arvutab paigalseisva ja liikuva liigend-
toega Euleri-Bernoulli tala keskel siirde ja momendi õpikus [Kis64, lk 116] toodud
valemitega vibreeriva jõu sagedustel $\omega_b = 400 \text{ s}^{-1}$ ja $\omega_b = 900 \text{ s}^{-1}$.

Kasutab funktsiooni

- `LT2keskel(F,L,wf,mg,A,EI)`⁶⁹⁰

Programm C.103 (Kjuured(baasi0,l,wf,mg,A,EI))⁶⁹¹ 72 – arvutab konsooltala sage-
dusvõrrandi (3.51) juured.

Programm C.104 (JaikJaikJuured(baasi0,l,wf,mg,A,EI))⁶⁹² 73 – arvutab jääkade tuge-
dega tala sagedusvõrrandi (3.56) juured.

⁶⁷⁶./octaveProgrammid/NaideJtkTala1MwStaatika.m

⁶⁷⁷./octaveProgrammid/sptalaStaatikaM.m

⁶⁷⁸./octaveProgrammid/yspTlfhlin.m

⁶⁷⁹./octaveProgrammid/spInsertBtoA.m

⁶⁸⁰./octaveProgrammid/InsertBtoA.m

⁶⁸¹./octaveProgrammid/spSisestaArv.m

⁶⁸²./octaveProgrammid/NaideJtkTala1MwStaatikaqz.m

⁶⁸³./octaveProgrammid/sptalaStaatikaM.m

⁶⁸⁴./octaveProgrammid/yspTlfhlin.m

⁶⁸⁵./octaveProgrammid/yzThqz.m

⁶⁸⁶./octaveProgrammid/spInsertBtoA.m

⁶⁸⁷./octaveProgrammid/InsertBtoA.m

⁶⁸⁸./octaveProgrammid/spSisestaArv.m

⁶⁸⁹./octaveProgrammid/NaideLT2keskel.m

⁶⁹⁰./octaveProgrammid/LT2keskel.m

⁶⁹¹./octaveProgrammid/Kjuured.m

⁶⁹²./octaveProgrammid/JaikJaikJuured.m

Programm C.105 (LiigJaikJuured(baasi0,l,wf,mg,A,EI))⁶⁹³ 76 – arvutab liikuva liigendaja jäiga toega tala sagedusvõrrandi (3.67) juured.

Programm C.106 (dynaamikategurA.m)⁶⁹⁴ 183 – arvutab jääkade sõlmedega Euleri-Bernoulli põikraami riivi algul paindemomendi dünaamikateguri k_d sõltuvuse sundiva jõu $F_x \sin \omega t$ sagedusest ω antisümmeetrilisel sundvõnkumisel.

Programm C.107 (dynaamikategurS.m)⁶⁹⁵ 191 – arvutab jääkade sõlmedega Euleri-Bernoulli põikraami riivi keskel paindemomendi dünaamikateguri k_d sõltuvuse sundiva jõu $F_x \sin \omega t$ sagedusest ω sümmeetrilisel sundvõnkumisel.

Funktsioon C.12 (spraamSaatikaM(baasi0,h1,EAp,GAr,EIp))⁶⁹⁶ – arvutab Euleri-Bernoulli raami hõreda laiendatud ülekandemaatriksi staatilisel koormusel.

Funktsioon C.13 (sptalaStaatikaM(baasi0,x,l,GAr,EJ))⁶⁹⁷ – arvutab Euleri-Bernoulli tala hõreda laiendatud ülekandemaatriksi staatilisel koormusel.

Funktsioon C.14 (talaylekM(baasi0,x,wf,mg,A,EI))⁶⁹⁸ – arvutab Euleri-Bernoulli tala ülekandemaatriksi.

Funktsioon C.15 (sptalaylekM(baasi0,l,wf,mg,A,EI))⁶⁹⁹ – arvutab Euleri-Bernoulli tala ülekandemaatriksi.

Funktsioon C.16 (ysplfhlin(baasi0,l,EA,GAr,EJ))⁷⁰⁰ – arvutab Euleri-Bernoulli raami hõreda ülekandemaatriksi staatilisel koormusel.

Funktsioon C.17 (yspTlfhlin(baasi0,x,GAr,EJ))⁷⁰¹ – arvutab Euleri-Bernoulli tala hõreda ülekandemaatriksi staatilisel koormusel.

Funktsioon C.18 (sptalaylekTimM(baasi0,kT,l,wf,mg,A,Iy,E,G))⁷⁰² – arvutab Timošenko tala hõreda laiendatud ülekandemaatriksi.

Funktsioon C.19 (TimalaylekM(baasi0,kT,l,wf,mg,A,Iy,E,G))⁷⁰³ – arvutab Timošenko tala ülekandemaatriksi.

⁶⁹³./octaveProgrammid/LiigJaikJuured.m

⁶⁹⁴./octaveProgrammid/dynaamikategurA.m

⁶⁹⁵./octaveProgrammid/dynaamikategurS.m

⁶⁹⁶./octaveProgrammid/spraamSaatikaM.m

⁶⁹⁷./octaveProgrammid/sptalaStaatikaM.m

⁶⁹⁸./octaveProgrammid/talaylekM.m

⁶⁹⁹./octaveProgrammid/sptalaylekM.m

⁷⁰⁰./octaveProgrammid/ysplfhlin.m

⁷⁰¹./octaveProgrammid/yspTlfhlin.m

⁷⁰²./octaveProgrammid/sptalaylekTimM.m

⁷⁰³./octaveProgrammid/TimalaylekM.m

Funktsioon C.20 ($\text{ylfhlin}(\text{baasi0}, \text{xx}, \text{EA}, \text{GAR}, \text{EI})$)⁷⁰⁴ – arvutab Euleri-Bernoulli raami ülekandemaatriksi staatilisel koormusel.

Funktsioon C.21 ($\text{yzThqz}(\text{baasi0}, \text{x}, \text{qz}, \text{EJ})$)⁷⁰⁵ – arvutab Euleri-Bernoulli tala koormusvektori staatilisel koormusel q_z .

Funktsioon C.22 ($\text{SymRaamDet}(\text{h}, \text{l}, \text{wf}, \text{mass1}, \text{mass2}, \text{E}, \text{I1}, \text{I2})$)⁷⁰⁶ 167 – arvutab õpikus [BL63, lk 222] toodud valemitega Euleri-Bernoulli põikraami omavõnkesagedused.

Funktsioon C.23 ($\text{raamylekM}(\text{baasi0}, \text{x}, \text{wf}, \text{mass}, \text{EA}, \text{EI})$)⁷⁰⁷ 156 – arvutab Euleri-Bernoulli raami ülekandemaatriksi.

Funktsioon C.24 ($\text{spraamylekM}(\text{baasi0}, \text{l}, \text{wf}, \text{mass}, \text{EA}, \text{EI})$)⁷⁰⁸ 156 – arvutab Euleri-Bernoulli raami hõreda laiendatud ülekandemaatriksi.

Funktsioon C.25 ($\text{raamTimylekM}(\text{baasi0}, \text{kT}, \text{x}, \text{l}, \text{wf}, \text{mg}, \text{A}, \text{Iy}, \text{E}, \text{G})$)⁷⁰⁹ 156 – arvutab Timošenko raami ülekandemaatriksi.

Funktsioon C.26 ($\text{spraamTimylekM}(\text{baasi0}, \text{kT}, \text{l}, \text{wf}, \text{mg}, \text{A}, \text{Iy}, \text{E}, \text{G})$)⁷¹⁰ 156, 171 – arvutab Timošenko raami hõreda laiendatud ülekandemaatriksi.

Funktsioon C.27 ($\text{spTeisndMaatriks}(\text{VarrasN}, \text{krdn}, \text{selem})$)⁷¹¹ 162, 220 – teisendab vektorid kohalikest koordinaatidest üldkoordinaatidesse. Teisendusmaatriksid on hõredad maatriksid.

Funktsioon C.28 ($\text{ysndvnkZF}(\text{baasi0}, \text{x}, \text{a}, \text{Fz}, \text{wf}, \text{mg}, \text{A}, \text{EI})$)⁷¹² 94 – arvutab koormusvektori $\overset{\circ}{\mathbf{Z}}_F$ koondjõust F_z Euleri-Bernoulli tala paindel.

Funktsioon C.29 ($\text{ysndvnkZM}(\text{baasi0}, \text{x}, \text{a}, \text{My}, \text{wf}, \text{mg}, \text{A}, \text{EI})$)⁷¹³ 94 – arvutab koormusvektori $\overset{\circ}{\mathbf{Z}}_M$ koondmomendist M_y Euleri-Bernoulli tala paindel.

Funktsioon C.30 ($\text{ysndvnkZq}(\text{baasi0}, \text{x}, \text{a}, \text{qz}, \text{wf}, \text{mg}, \text{A}, \text{EI})$)⁷¹⁴ 94 – arvutab koormusvektori $\overset{\circ}{\mathbf{Z}}_q$ lauskoormusest q_z Euleri-Bernoulli tala paindel.

⁷⁰⁴./octaveProgrammid/ylfhlin.m

⁷⁰⁵./octaveProgrammid/yzThqz.m

⁷⁰⁶./octaveProgrammid/SymRaamDet.m

⁷⁰⁷./octaveProgrammid/raamylekM.m

⁷⁰⁸./octaveProgrammid/spraamylekM.m

⁷⁰⁹./octaveProgrammid/raamTimylekM.m

⁷¹⁰./octaveProgrammid/spraamTimylekM.m

⁷¹¹./octaveProgrammid/spTeisndMaatriks.m

⁷¹²./octaveProgrammid/ysndvnkZF.m

⁷¹³./octaveProgrammid/ysndvnkZM.m

⁷¹⁴./octaveProgrammid/ysndvnkZq.m

Funktsioon C.31 ($\text{LT2keskel}(F,L,wf,mg,A,EI)$)⁷¹⁵ 293 – arvutab paigalseisva ja liikuva liigendtoega Euleri-Bernoulli tala keskel siirded ja momendi õpikus [Kis64, lk 116] toodud valemitega. Funktsiooni kasutab programm [NaideTala2Toe11w0.m](#).

Funktsioon C.32 ($\text{koondMassHLtala}(baasi0,wf,mw)$)⁷¹⁶ 70 – koostab hõreda maatriksi koondmassi arvestamiseks Euleri-Bernoulli talal.

Funktsioon C.33 ($\text{koondMassHLRaam}(baasi0,wf,mw)$)⁷¹⁷ 160 – koostab hõreda maatriksi koondmassi arvestamiseks Euleri-Bernoulli raamil.

Funktsioon C.34 ($\text{spTrussP6hiv}(baasi0,l,wf,mg,A,E)$)⁷¹⁸ 199 – arvutab sõrestiku dünaamika hõreda laiendatud ülekandemaatriksi.

Funktsioon C.35 ($\text{ySpSRmhvIVahet}(baasi0,Li,EA)$)⁷¹⁹ 199 – arvutab sõrestiku staatika hõreda laiendatud ülekandemaatriksi.

Kasutab funktsiooni

– $\text{ySpSRhlin}(baasi0,x,EA)$ ⁷²⁰

Funktsioon C.36 ($\text{ySpSRhlin}(baasi0,x,EA)$)⁷²¹ 296 – arvutab sõrestiku staatika hõreda ülekandemaatriksi.

Funktsioon C.37 ($\text{koondMassHLSorestik46}(baasi0,wf,MassX,MassZ)$)⁷²² 200 – koostab hõreda maatriksi koondmassi arvestamiseks sõrestikul.

Funktsioon C.38 ($\text{spInsertBtoA}(spA,IM,JN,spB)$)⁷²³ – sisestab hõreda maatriksi spB hõredasse maatriksisse spA , alustades IM -inda rea ja JN -inda veeru lõikekohast. Hõredate maatriksite spA ja spB kattuvad elemendid liidetakse.

Funktsioon C.39 ($\text{spInsertNtimesBtoA}(spA,IM,JN,aNK,spB)$)⁷²⁴ – sisestab hõreda maatriksi ($aNK \cdot spB$) hõredasse maatriksisse spA , alustades IM -inda rea ja JN -inda veeru lõikekohast. Hõredate maatriksite spA ja spB kattuvad elemendid liidetakse.

Funktsioon C.40 ($\text{InsertBtoA}(A,I,J,IM,JN,B,M,N)$)⁷²⁵ – sisestab $(M \times N)$ -järku maatriksi $B_{M \times N}$ ($I \times J$)-järku maatriksisse $A_{I \times J}$, alustades IM -inda rea ja JN -inda veeru lõikekohast.

⁷¹⁵./octaveProgrammid/LT2keskel.m

⁷¹⁶./octaveProgrammid/koondMassHLtala.m

⁷¹⁷./octaveProgrammid/koondMassHLRaam.m

⁷¹⁸./octaveProgrammid/spTrussP6hiv.m

⁷¹⁹./octaveProgrammid/ySpSRmhvIVahet.m

⁷²⁰./octaveProgrammid/ySpSRhlin.m

⁷²¹./octaveProgrammid/ySpSRhlin.m

⁷²²./octaveProgrammid/koondMassHLSorestik46.m

⁷²³./octaveProgrammid/spInsertBtoA.m

⁷²⁴./octaveProgrammid/spInsertNtimesBtoA.m

⁷²⁵./octaveProgrammid/InsertBtoA.m

Funktsioon C.41 (`spSisestaArv(spA,iv,jv,sv)`)⁷²⁶ – sisestab arvu `sv` hõreda maatriksi `spA` `iv`-nda rea `jv`-nda veeru lõikekohale.

Funktsioon C.42 (`mrkmts(a)`)⁷²⁷ – arvutab funktsiooni märgi muutuste arvu vaadeldavas vahemikus.

⁷²⁶`./octaveProgrammid/spSisestaArv.m`

⁷²⁷`./octaveProgrammid/mrkmts.m`

Kirjandus

- [Abu03] M. Abu-Hilal. Forced vibration of Euler-Bernoulli beams by means of dynamic Green functions.^{1 2} *Journal of Sound and Vibration*, vol. 267, pp. 191–207, 2003. 91
- [AM91] J. H. Argyris, H.-P. Mlejnek. *Dynamics of Structures*. Amsterdam, New York, Oxford, Tokyo: North-Holland | Elsevier Science Publishers B.V., 1991. 210, 211, 212
- [Arn09] M. Arndt. *O método dos elementos finitos generalizados aplicado a análise de vibrações livres de estruturas reticuladas curitiba*. PhD thesis.³ Curitiba, Universidade Federal do Paraná⁴, 2009. 210
- [BL63] Н. И. Безухов, О. В. Лужин. *Устойчивость и динамика сооружений в примерах и задачах*. Москва: Госстройиздат, 1963. 117, 167, 295
- [Bla05] T. Black. *Spectral Element Analysis of Bars, Beams, and Levy Plates*.⁵ MSci thesis. Virginia Polytechnic Institute and State University, Blacksburg, Virginia, 2005. 28
- [CCD10] V. Ceașu, A. Craifaleanu, Cr. Dragomirescu. Transfer matrix method for forced vibrations of bars.⁶ *U.P.B. Sci. Bull., Series D*, vol. 72, iss. 2, pp. 35–42, 2010. 31, 34
- [EP67] R. Eek, L. Poverus. *Ehitusmehaanika II*.⁷ Tallinn: Valgus, 1967. 65, 91

¹https://www.google.ee/url?sa=t&rct=j&q=&esrc=s&source=web&cd=1&ved=0ahUKEwjTyJi64LDUAhUDSJoKHfAAA8AQFgghMAA&url=https%3A%2F%2Fstaff-old.najah.edu%2Fsites%2Fdefault%2Ffiles%2FForced_Vibration_Of_Euler-Bernoulli_Beams_By_Means_Of_Dynamic_Greens_Functions.pdf&usg=AFQjCNGVWCBuk-6AInP_rRK4hcedT79uEw&cad=rja

²https://www.researchgate.net/publication/222555224_Forced_vibration_of_Euler-Bernoulli_beams_by_means_of_dynamic_Green_functions (17.05.2017)

³<https://acervodigital.ufpr.br/bitstream/1884/19508/1/OMEFGAPLICADOAANALISEDEVIBRACOESLIVRESDEESTRUTURASRETICULADAS.pdf>

⁴<http://www.ufpr.br/portalufpr/>

⁵https://theses.lib.vt.edu/theses/available/etd-05262005-081901/unrestricted/Thesis_Thomas_Black.pdf

⁶http://www.scientificbulletin.upb.ro/rev_docs_arhiva/full16922.pdf

⁷<http://digi.lib.ttu.ee/i/?791>

- [Fel16] C. A. Felippa. *Introduction to Aerospace Structures*.⁸ Ch. 12: Beam Deflections by Discontinuity Functions.⁹ Department of Aerospace Engineering Sciences, University of Colorado at Boulder. Last update: September 12, 2016. 21
- [Fel13] C. A. Felippa. *Matrix Finite Element Methods in Dynamics*.¹⁰ Ch. 16: Mass Matrix Construction Overview.^{11 12} Ch. 22: Mass Templates for Bar2 Elements.¹³ Department of Aerospace Engineering Sciences, University of Colorado at Boulder. Last update: November 27, 2013. 199
- [GV06] W. Graf, T. Vassilev. *Einführung in computerorientierte Methoden der Baustatik*.¹⁴ Berlin: Ernst & Sohn, 2006. S. 359. 3
- [HBW99] S. M. Han, H. Benaroya, T. Wei. Dynamics of transversely vibrating beams using four engineering theories.¹⁵ *Journal of Sound and Vibration*, vol. 225, no. 5, pp. 935–988, 1999. 123
- [HRZ12] B. He, X. Rui, H. Zhang. Transfer matrix method for natural vibration analysis of tree system.¹⁶ *Mathematical Problems in Engineering*, vol. 2012, article ID 393204, 19 p., 2012. 3
- [Hut01] J. R. Hutchinson. Shear coefficients for Timoshenko beam theory. *Journal of Applied Mechanics*, vol. 68, pp. 87–92, 2001. 123, 142, 147, 169
- [Jür85] A. Jürgenson. *Tugevusõpetus*.^{17 18} Tallinn: Valgus, 1985. 19

⁸<http://www.colorado.edu/engineering/CAS/courses.d/Structures.d/> (12.06.2017)

⁹<http://www.colorado.edu/engineering/CAS/courses.d/Structures.d/IAST.Lect12.d/IAST.Lect12.pdf> (12.06.2017)

¹⁰<http://www.colorado.edu/engineering/CAS/courses.d/MFEMD.d/> (19.03.2017)

¹¹<http://www.colorado.edu/engineering/CAS/courses.d/MFEMD.d/MFEMD.Ch16.d/MFEMD.Ch16.pdf> (19.03.2017)

¹²http://kis.tu.kielce.pl/mo/COLORADO_FEM/colorado/IFEM.Ch31.pdf (19.03.2017)

¹³<http://www.colorado.edu/engineering/CAS/courses.d/MFEMD.d/MFEMD.Ch22.d/MFEMD.Ch22.pdf> (19.03.2017)

¹⁴https://books.google.ee/books?id=b8r1EchqijQC&pg=PA69&lpg=PA69&dq=Differentialgleichung+Methode+der+Anfangsparameter&source=bl&ots=GXPdetTU4B&sig=GQAxByl2gyxoMG0lhprOizhcv_I&hl=et&sa=X&ved=0ahUKEwj6j52DvYvVAhVKDZoKHeg1AmcQ6AEILDAB#v=onepage&q=Differentialgleichung%20Methode%20der%20Anfangsparameter&f=false (15.07.2017)

¹⁵http://citeseerx.ist.psu.edu/viewdoc/download?doi=10.1.1.484.7887&rep=rep1&type=pdf&usq=AFQjCNGHW3aQYTXHDVDLd9dLJ-FJ_6r7RQ&bvm=bv.146073913,d.bGs&cad=rja

¹⁶<https://www.hindawi.com/journals/mpe/2012/393204/> (12.12.2017)

¹⁷<http://digi.lib.ttu.ee/i/?472>

¹⁸http://digi.lib.ttu.ee/opik_eme/AJ_tugevus.djvu (3.12.2015)

- [Kad15] Г. М. Кадисов. *Динамика и устойчивость сооружений*.¹⁹ ЛитРес, 2015. 105, 107
- [Kan13] A. K. Kanar. *Free Vibration of 1-D and 2-D Skeletal Structures*. BTech thesis.^{20 21} Department of Civil Engineering, National Institute of Technology Rourkela, 2013. 212, 214
- [Kis64] В. А. Киселев. *Строительная механика. Специальный курс. (Динамика и устойчивость сооружений)*. Москва: Госстройиздат, 1964. 72, 73, 75, 76, 77, 91, 97, 100, 102, 109, 113, 114, 121, 122, 135, 166, 167, 190, 252, 253, 293, 296
- [KMPR12] A. Klauson, J. Metsaveer, P. Põdra, U. Raukas. *Tugevusõpetus*. Tallinn: Tallinna Tehnikaülikooli kirjastus, 2012.
- [Kna17] N. Knarr. *Höhere Mathematik 3. Das Vorlesungsskript zum Herunterladen*.²² 6.5. Normierte Fundamentalsysteme.²³ Universität Stuttgart. Fachbereich Mathematik. Wintersemester 2016/17. 18
- [Kol65] В. Колоушек. *Динамика строительных конструкций*. Москва: Госстройиздат, 1965. 83, 88
- [KB97] Y. W. Kwon, H.-C. Bang. *The Finite Element Method Using MATLAB*.²⁴ Boca Raton, Fl., London, New York, Washington, D.C.: CRC Press LLC, 1997.
- [Lah97] A. Lahe. The transfer matrix and the boundary element method.²⁵ *Proc. Estonian Acad. Sci. Engng.*, 3, 1, pp. 3–12, 1997. 3
- [Lah12] A. Lahe. *Ehitusmehaanika*.²⁶ Tallinn: Tallinna Tehnikaülikooli kirjastus, 2012. 23, 48, 197, 198

¹⁹https://books.google.ee/books?id=e5QoCwAAQBAJ&pg=PA42&lpg=PA42&dq=%D1%84%D1%83%D0%BD%D0%BA%D1%86%D0%B8%D0%B8+%D0%BA%D1%80%D1%8B%D0%BB%D0%BE%D0%B2%D0%B0&source=bl&ots=x_xm0_es4R&sig=IfAOMo9zXgCKf5hWucAtas1QKSg&hl=ru&sa=X&ved=0ahUKEwig_unNn-jNAhXFKywkHX1HBLUQ6AEISzAJ#v=onepage&q=%D1%84%D1%83%D0%BD%D0%BA%D1%86%D0%B8%D0%B8%20%D0%BA%D1%80%D1%8B%D0%BB%D0%BE%D0%B2%D0%B0&f=false

²⁰<http://ethesis.nitrkl.ac.in/4988/> (17.05.2017)

²¹<http://ethesis.nitrkl.ac.in/4988/1/109CE0040.pdf> (17.05.2017)

²²<http://www.mathematik.uni-stuttgart.de/studium/infomat/HM-Knarr/Folien/HM3.pdf> (7.06.2017)

²³<http://www.mathematik.uni-stuttgart.de/studium/infomat/HM-Knarr/Folien/Kapitel6.pdf> (7.06.2017)

²⁴<https://www.scribd.com/doc/49217904/The-Finite-Element-Method-Using-MATLAB> (17.05.2017)

²⁵http://books.google.ee/books?id=ghco7svk5T4C&pg=PA3&lpg=PA3&dq=Andres+Lahe&source=bl&ots=3SFfo4UCES&sig=_XLUez-SfW2FVYGRx8v2LVml6V8&hl=et&ei=YQaFTMeIEoWcOOyCyNwP&sa=X&oi=book_result&ct=result&resnum=5&ved=0CB0Q6AEwBDgK#v=onepage&q=Andres%20Lahe&f=false (3.12.2015)

²⁶http://digi.lib.ttu.ee/opik_eme/Ehitusmehaanika.pdf (8.08.2013)

- [Lah14] A. Lahe. *The EST Method. Structural Analysis*.²⁷ Tallinn: Tallinn University of Technology Press, 2014. 48
- [Lah16] A. Lahe. *Õhukeseseinaliste varraste takistatud vääne. EST-meetod*.²⁸ Tallinn: Tallinna Tehnikaülikooli kirjastus, 2016. 48
- [LS04] J. Lee, W.W. Schultz. Eigenvalue analysis of Timoshenko beams and axisymmetric Mindlin plates by the pseudospectral method.²⁹ *Journal of Sound and Vibration*, vol. 269, no. 3–5, pp. 609–621, 2004. 140
- [Mal13] A. Malik. *Free Vibration of Rods, Beams and Frames Using Spectral Element Method*.³⁰ MTech thesis. National Institute of Technology Rourkela, India, 2013. 28, 32, 77, 81, 96, 105, 136, 140
- [MV14] A. I. Manevich, V. Yu. Vlasova. Free vibrations of Timoshenko beam with end mass in the field of centrifugal forces.³¹ *Mechanics and Mechanical Engineering*, vol. 18, no. 1, pp. 37–51, 2014. 125
- [Now63] В. Новацкий. *Динамика сооружений*.³² Москва: Госстройиздат, 1963. 166, 167
- [Now74] W. Nowacki. *Baudynamik*.³³ Wien: Springer Verlag, 1974. 167
- [PL63] E. C. Pestel, F. A. Leckie. *Matrix Method in Elastomechanics*. New York, San Francisco, Toronto, London: McGraw-Hill, 1963. 18, 40, 93, 126, 128
- [PW94] W. D. Pilkey, W. Wunderlich. *Mechanics of Structures: Variational and Computational Methods*. (2nd ed. 2003: W. Wunderlich, W. D. Pilkey, p. 252.³⁴) Boca Raton, Ann Arbor, London, Tokyo: CRC Press, 1994. 3

²⁷<http://digi.lib.ttu.ee/estmethod/ESTmethod.pdf> (8.08.2013)

²⁸<http://digi.lib.ttu.ee/avatud6huke/Avatud6huke.pdf> (8.06.2016)

²⁹<https://pdfs.semanticscholar.org/191d/673c3a209dc74e5b9c55b7bbf6f47776f4f.pdf>

³⁰<http://ethesis.nitrkl.ac.in/4990/1/211CE2027.pdf>

³¹http://www.kdm.p.lodz.pl/articles/2014/5_M_V.pdf

³²https://www.ester.ee/search~S1*est/X?searchtype=X&searcharg=%D0%9D%D0%BE%D0%B2%D0%B0%D1%86%D0%BA%D0%B8%D0%B9%2C%20%D0%92%D0%B8%D1%82%D0%BE%D0%BB%D1%8C%D0%B4%20%D0%B4%D0%B8%D0%BD%D0%B0%D0%BC%D0%B8%D0%BA%D0%B0%20&searchscope=1&SORT=DZ&extended=0&SUBMIT=OTSI

³³https://books.google.ee/books?id=UfXSbgAAQBAJ&pg=PA244&lpg=PA244&dq=baudynamik+rahmen&source=bl&ots=DFTAF1j19f&sig=Jm_y1720y1HJrHqkP0fZzppYsZ4&hl=et&sa=X&ved=0ahUKEwjx3PjUpYTPAhU1S5oKHUkaCMMQ6AEITzAI#v=onepage&q=baudynamik%20rahmen&f=false

³⁴<https://books.google.ee/books?id=XPnLBQAAQBAJ&pg=PA252&lpg=PA252&dq=The+Transfer+Matrix+Method+mechanics&source=bl&ots=KmworKoFZ&sig=-StrAmN8WaHQohpO9mabbO6Tlu4&hl=et&sa=X&ved=0ahUKEwj1qqH-9YjVAhXkCJoKHQtACh84ChD0AQhHMAy#v=onepage&q=The%20Transfer%20Matrix%20Method%20mechanics&f=false> (17.07.2017)

- [Ram16] A. Ramsay. Dynamic characteristics of a truss structure.^{35 36} *NAFEMS Benchmark Challenge (NBR)*, no 5. January 2016 – April 2016. 200, 201, 203, 204, 205, 206, 223, 226
- [Rao11] S. S. Rao. *Mechanical Vibrations*. 5th ed.³⁷ Upper Saddle River, NJ: Prentice Hall, 2011.
- [Rää75] R. Räämet. *Ehitusmehaanika*.^{38 39} Tallinn: Valgus, 1975. 201
- [Rüm05] A. T. Rümmelin. *Entwicklung, Bemessung, Konstruktion und Anwendung von ultrahochfesten Betonen*. Diplomarbeit.⁴⁰ Fachhochschule Stuttgart – Hochschule für Technik. Stuttgart 2005. 199
- [SALŠ84] А. Ф. Смирнов, А. В. Александров, Б. Я. Лашеников, Н. Н. Шапошников. *Строительная механика. Динамика и устойчивость сооружений*. Москва: Стройиздат, 1984. 20, 42, 67, 91, 93
- [SAMST92] J. Y. Shen, E. G. Abu-Saba, W. M. Mcginley, L. Sharpe Jr., L. W. Taylor Jr. A piecewise continuous Timoshenko beam model for the dynamic analysis of tapered beam-like structures.^{41 42} North Carolina Agricultural and Technical State Univ., the Center for Aerospace Research: A NASA Center of Excellence at N.C.A&T. Dec 12, 1992. 125, 126, 128, 154
- [ST94] J. Y. Shen, L. W. Taylor Jr. Applying transfer matrix method to the estimation of the modal characteristics of the NASA Mini-Mass Truss.^{43 44} NASA Langley Research Center; NASA Workshop on Distributed Parameter Modeling and Control of Flexible Aerospace Systems, pp. 77–94, June 10, 1994. 69

³⁵https://www.researchgate.net/publication/304571394_NAFEMS_Benchmark_Challenge_No_5_Dynamic_Characteristics_of_a_Truss_Structure (12.01.2017)

³⁶<https://www.linkedin.com/pulse/dynamic-characteristics-truss-structure-angus-ramsay> (22.11.2016)

³⁷https://aerocastle.files.wordpress.com/2012/10/mechanical_vibrations_5th-edition_s-s-rao.pdf

³⁸<https://digi.lib.ttu.ee/i/?473>

³⁹http://digi.lib.ttu.ee/opik_eme/RR_ehmeh.djvu

⁴⁰http://ruemmelin.info/Beruf/Diplomarbeit/Diplomarbeit_low.pdf
(12.01.2017)

⁴¹<https://ntrs.nasa.gov/search.jsp?R=19930010270>

⁴²https://archive.org/stream/nasa_techdoc_19930010270/19930010270?ui=embed#page/n0/mode/2up

⁴³<https://ntrs.nasa.gov/search.jsp?R=19940031363>

⁴⁴https://archive.org/details/NASA_NTRS_Archive_19940031363

- [Sob64] L. S. Sobolev. *Partial Differential Equations of Mathematical Physics*.⁴⁵ Translated from the third Russian edition by E.R. Dawson. Ed. T.A.A. Broadbent. Dover Publications, Inc., New York: Pergamon Press Ltd., 1964. 25
- [Ste59] В. В. Степанов. *Курс дифференциальных уравнений*. Москва: Гос. изд-во физико-математической литературы, 1959. 21, 42, 92
- [Sto02] W. F. Stokey. Ch. 7: Vibration of systems having distributed mass and elasticity.⁴⁶ In: *Harris' Shock and Vibration Handbook*. 5th ed.⁴⁷ (C. M. Harris, A. G. Piersol, eds.) New York, Chicago, San Francisco: McGraw-Hill, 2002. 72, 73, 76, 77, 81
- [Tar08] K. Tartibu. *A Simplified Analysis of the Vibration of Variable Length Blade As Might Be Used in Wind Turbine Systems*. MTech thesis⁴⁸ Cape Town: Cape Peninsula University of Technology, 2008. 142, 144, 145
- [Tat13] İ. Tatar. *Vibration Characteristics of Portal Frames*. MSc thesis.⁴⁹ İzmir: İzmir Institute of Technology, 2013. 169, 172, 173
- [TD97] W. T. Thomson, M. D. Dahleh. *Theory of Vibration with Applications*. 5th ed.⁵⁰ Upper Saddle River, NJ: Prentice Hall, 1997. 166
- [VE 0103] Structural Engineering Software for Analysis and Design. Verification Examples | Dlubal Software.⁵¹ Verification Example 0103 – Natural Vibrations of a Planar Truss Structures.⁵² VE 0103 23 December 2015. 207, 209

⁴⁵<https://books.google.ee/books?id=hQGvUcT-h0cC&pg=PA334&lpg=PA334&dq=frequency+equation+characteristic++equation+physics&source=bl&ots=EwD7FDoMKS&sig=bnh6s38Ni01P17aa5ZICpBu57xo&hl=et&sa=X&ved=0ahUKEwjFgbTxi8fWAhXrJZoKHSnrCNqQ6AEIdzAN#v=onepage&q=frequency%20equation%20characteristic%20%20equation%20physics&f=false>

⁴⁶https://perso.univ-rennes1.fr/lalaonirina.rakotomanana-ravelonarivo/Stokey_chapter7.pdf (15.07.2016)

⁴⁷<http://nguyen.hong.hai.free.fr/EBOOKS/SCIENCEANDENGINEERING/MECANIQUE/DYNAMIQUE-VIBRATION/Shock&VibrationHandbook.pdf> (15.07.2016)

⁴⁸https://www.google.ee/url?sa=t&rct=j&q=&esrc=s&source=web&cd=1&cad=rja&uact=8&ved=0ahUKEwj2iLeUgZHaAhVCCCwKHUkHD1gQFggoMAA&url=https://www.researchgate.net/profile/Lagouge_Tartibu2/publication/273769819_A_simplified_analysis_of_the_vibration_of_variable_length_blade_as_might_be_used_in_wind_turbine_systems/links/550c0f080cf2063799397d3f/A-simplified-analysis-of-the-vibration-of-variable-length-blade-as-might-be-used-in-wind-turbine-systems.pdf&usg=AOvVawluKyxz4tAFX2tyZQzGUjti (24.05.2017)

⁴⁹<http://library.iyte.edu.tr/tezler/master/makinamuh/t001109.pdf> (21.05.2017)

⁵⁰<https://www.bookdepository.com/Theory-Vibration-with-Applications-William-T-Thomson/9780136510680>

⁵¹<https://www.dlubal.com/en/downloads-and-information/examples-and-tutorials/verification-examples> (23.04.2017)

⁵²<https://www.dlubal.com/-/media/719B78EA2C044C43983ED6C85921740D.ashx> (23.04.2017)

- [Wer01] H. Werkle. *Finite Elemente in der Baustatik: Statik und Dynamik der Stab- und Flächentragwerke*. 2. Aufl.⁵³ Wiesbaden: Vieweg, 2001. 199
- [Yan05] B. Yang. *Stress, Strain, and Structural Dynamics*.⁵⁴ Elsevier Academic Press, 2005. 25, 26, 42, 46, 47, 72, 73, 76
- [YSM00] A. Yavari, S. Sarkani, E. T. Moyer, Jr. On applications of generalized functions to beam bending problems.⁵⁵ *International Journal of Solids and Structures*, vol. 37, no. 40, pp. 5675–5705, 2000. 20, 42, 91

⁵³https://books.google.ee/books/about/Finite_Elemente_in_der_Baustatik.html?id=JWbFXwAACAAJ&redir_esc=y (12.04.2017)

⁵⁴<https://civilenglineering.files.wordpress.com/2014/10/stress-strain-and-structural-dynamics.pdf>

⁵⁵http://www.yavari.ce.gatech.edu/sites/default/files/pubs/generalized_functions.pdf (25.03.2015)

Aineregister

A

algparameetrid, 3, 51, 59, 140

arvutifunktsioon

InsertBtoA.m, 296

koondMassHLRaam.m, 296

koondMassHLSorestik46.m, 296

koondMassHLtala.m, 296

LT2keskel.m, 296

mrkmts.m, 297

raamTimylekM.m, 295

raamylekM.m, 295

siireHratas.m, 268

siiremPike.m, 261

siiremPikeStaat.m, 261

siiremVoll.m, 268

spInsertBtoA.m, 296

spInsertNtimesBtoA.m, 296

splfHLmassPike.m, 261

splfHLratas.m, 268

splfHRmassPike.m, 261

splfHRratas.m, 268

splvfmPike.m, 261

splvfmPikeStaat.m, 261

splvfmVoll.m, 267

spraamSaatikaM.m, 294

spraamTimylekM.m, 295

spraamylekM.m, 295

spSisestaArv.m, 297

sptalaStaatikaM.m, 294

sptalaylekM.m, 293, 294

sptalaylekTimM.m, 294

spTeisndMaatriks.m, 295

spTrussP6hiv.m, 296

SymRaamDet.m, 295

talaylekM.m, 294

TimtalaylekM.m, 294

ylfmlin.m, 295

ysndvnkZF.m, 295

ysndvnkZM.m, 295

ysndvnkZq.m, 295

ysplfmlin.m, 294

yvspSRhlin.m, 296

yvspSRmhvIVahet.m, 296

yvspTlfhlin.m, 294

yzThqz.m, 295

arvutiprogramm

dynaamikategurA.m, 294

dynaamikategurS.m, 294

NaideJtkTala1det.m, 281

NaideJtkTala1Mw.m, 283

NaideJtkTala1MwStaatika.m, 293

NaideJtkTala1MwStaatikaqz.m, 293

NaideJtkTala1Vorm1.m, 282

NaideJtkTala1Vorm2.m, 282

NaideJtkTala1Vorm3.m, 282

NaideJtkTala1Vorm4.m, 283

NaideJtkTala5det.m, 281

NaideJtkTala5Vormid.m, 281

NaideKonsool1.m, 268

NaideKonsool1M.m, 268

NaideKonsool1w1.m, 269

NaideKonsool1w2.m, 269

NaideKonsool1w3.m, 269

NaideKonsool1w4.m, 270

NaideKvoll1.m, 262

NaideKvoll1w1.m, 262

NaideKvoll1w2.m, 262

NaideKvoll1w3.m, 262

NaideKvollHratas1.m, 264

NaideKvollHratas1w1M.m, 264

NaideKvollHratas1w2M.m, 265

NaideKvollHratas1w3M.m, 265

- NaideLT2keskel.m, 293
 NaidePike1.m, 255
 NaidePike1w1.m, 256
 NaidePike1w2.m, 256
 NaidePike1w3.m, 257
 NaidePike2Fx.m, 258
 NaidePike2FxStaat.m, 259
 NaidePike2.m, 255
 NaidePike2w1.m, 257
 NaidePike2w2.m, 257
 NaidePike2w3.m, 258
 NaidePike2w4.m, 258
 NaidePikeS1.m, 256
 NaidePikeS1w1.m, 259
 NaidePikeS1w2.m, 259
 NaidePikeS1w3.m, 260
 NaidePikeS2.m, 256
 NaidePikeS2w1.m, 260
 NaidePikeS2w2.m, 260
 NaidePikeS2w3.m, 261
 NaideRaam1Adet.m, 284
 NaideRaam1Bdet.m, 284
 NaideRaam1CwMFX.m, 285
 NaideRaam1CwMFXstaatika.m, 286
 NaideRaam1CwM.m, 285
 NaideRaam1CwMstaatika.m, 286
 NaideRaam1det.m, 284
 NaideRaamKVTim5Bvormid.m, 288
 NaideRaamKVTim5det.m, 287
 NaideRaamKVTim10det.m, 287
 NaideRaamTim1det.m, 287
 NaideSymRaam1det.m, 285
 NaideTala1.m, 270
 NaideTala1w1.m, 271
 NaideTala1w2.m, 271
 NaideTala1w3.m, 271
 NaideTala1w4.m, 272
 NaideTala2Toel1w0.m, 273
 NaideTala2Toel1w0Staatika.m, 292
 NaideTala2Toel1w0Staatikaqz.m, 292
 NaideTala2Toel3w0.m, 274
 NaideTala2ToelMdet.m, 273
 NaideTala2ToelMw0.m, 273
 NaideTalaKahelToel1.m, 272
 NaideTalaKahelToel3.m, 274
 NaideTimKonsool1.m, 275
 NaideTimKonsool1w1.m, 275
 NaideTimKonsool1w2.m, 276
 NaideTimKonsool1w3.m, 276
 NaideTimKonsool1w4.m, 276
 NaideTimKonsool3det.m, 278
 NaideTimKonsool3Srdet.m, 279
 NaideTimKonsool3Srw15.m, 279
 NaideTimKonsool6det.m, 280
 NaideTimKonsool6SAMSTw6.m, 280
 NaideTimKonsool15det.m, 280
 NaideTimTala1.m, 277
 NaideTimTala1w1.m, 277
 NaideTimTala1w2.m, 277
 NaideTimTala1w3.m, 278
 NaideTimTala1w4.m, 278
 NaideTrussArg1Vibr.m, 291
 NaideTrussArg3VibrDet.m, 290
 NaideTrussBridge1Vibr.m, 291
 NaideTrussKB1VibrDet.m, 290
 NaideTrussTarind1VibrDet.m, 288
 NaideTrussTarind1Vibr.m, 290
 NaideTrussTarind3VibrDet.m, 289
 NaideTrussTest1Vibr.m, 291
 NaideTrussTest3VibrDet.m, 289
 NaideVoll2Hratas1.m, 266
 NaideVoll2Hratas1w1.m, 266
 NaideVoll2Hratas1w2.m, 267
 NaideVoll2Hratas1w3.m, 267
 NaideVoll2M.m, 263
 NaideVoll2Mw1.m, 263
 NaideVoll2Mw2.m, 263
 NaideVoll2Mw3.m, 264
- B**
 baasjäikus, 198
- C**
 Cauchy valem, 21, 42, 92
- D**
 deltafunktsioon, 21, 42, 92
 Diraci deltafunktsioon, 21, 42, 92

dünaamikategur, 35, 101, 114

E

ekvivalentne koondmoment, 91
 ekvivalentne koormus, 20, 42, 91
 elastsusmoodul, 17
 erilahend, 21, 22, 43, 44, 93, 94
 esimene märgikokkulepe, 19, 40, 41, 130, 131

H

Heaviside'i funktsioon, 22, 43
 hooratas, 56

I

I märgikokkulepe, 19, 40, 41, 217
 II märgikokkulepe, 19, 40, 41, 217
 inertsiraadius, 39, 45

K

karakteristlik võrrand, 126
 karakteristliku võrrandi juured, 25
 karakteristliku võrrandi lahend, 66
 katkevusfunktsioon, 21, 43, 92
 kohalikud koordinaadid, 218
 konsooltala sagedusvõrrand, 72
 kontaktjõud, 40
 koondatud mass tala paindel, 70
 koondjõud, 20, 91
 koondmass, 23
 koondmoment, 42
 koordinaadid
 kohalikud koordinaadid, 218
 üldkoordinaadid, 218
 koordinaatide teisendus, 220
 koormusfunktsioon, 21, 43, 92
 koormusvektor, 3, 20, 22, 44, 155
 kujutegur, 123

L

lahendite fundamentaalsüsteem, 18
 laiendatud ülekandemaatriks, 23, 44, 69, 133, 156–158, 199
 lõpp-parameetrid, 3

M

maatriks
 laiendatud ülekandemaatriks, 23, 44, 69, 133, 156–158, 199
 ortogonaalne maatriks, 220
 Macaulay noolsulud, 21
 mõõduta koordinaat, 129
 märgikokkulepe, 217

N

nihkeelastsusmoodul, 39
 nihkemoone, 123
 nihkenurk, 123
 normaaldeformatsioon, 17
 normaalmoone, 17
 normeerimata lahendite fundamentaalsüsteem, 127
 normeeritud lahendite fundamentaalsüsteem, 18, 21, 43, 67, 92

O

olekuvektor, 3
 omavõnkesagedus, 25, 66, 96, 111, 117
 omavõnkesageduste spekter, 66
 omavõnkevormid, 26, 48

P

parema käe kolmikud, 218
 parema käe teljestik, 131
 pidevus- ja tasakaaluvõrrandid, 86, 139, 143, 150, 162
 pidevusvõrrand, 32
 pikisiire, 17
 pikkejäikus, 17, 24
 pikkekarakteristik, 18
 Poissoni tegur, 123
 polaarinertsimoment, 39
 põhivõrrandid, 22, 24, 32, 44, 46, 69, 85, 133, 135, 143, 149, 155, 162, 198

R

rajajõud, 19, 40
 rajatingimused, 24, 32, 46, 135
 resonantssagedus, 96, 111, 117

S

sagedusvõrrand, 25, 26, 46, 47, 72
sagedusvõrrandi juured, 25, 26, 46, 47
skaleerimine, 23
skaleerimistegur, 23, 44, 69
spektraalelementide meetod, 28
suhteline nihkedeformatsioon, 123
suunakoosinus, 219

T

tala painde põhivõrrandid, 69
tala sagedusvõrrandi juured, 75
teine märgikokkulepe, 19, 40, 41, 132
telgjoone kõverus, 123
toetingimused, 87, 139, 143, 150

V

varda tunnusarv pikkel, 18
vektorite skalaarkorrutis, 218
Wronski determinant, 18, 40, 67
võlli tunnusarv väändel, 40
võrrandisüsteemi tundmatute vektor, 24
väändejäikus, 39, 45
väändekarakteristik, 40
väändenurk, 39

Ü

ühikvektorite kolmikud, 218
üldistatud koormus, 20, 42, 91
üldkoordinaadid, 218
ülekandemaatriks, 3, 19, 41, 68, 155
ülekandevõrrand, 41, 155